Vlaanderen
is erfgoed

# Onderzoeksrapport

## Het vooroorlogse kerkhof van Wijtschate onder het Sint-Medardusplein (Heuvelland, W.-Vl.). Deel 2: bijlagen

Eindverslag van vier toevalsvondsten

Agentschap
**Onroerend**
**Erfgoed**

## COLOFON

TITEL
Het vooroorlogse kerkhof van Wijtschate onder het Sint-Medardusplein (Heuvelland, W.-Vl.). Deel 2: bijlagen
Eindverslag van vier toevalsvondsten.

REEKS
Onderzoeksrapporten agentschap Onroerend Erfgoed nr. 315

AUTEURS
Arno van den Dorpel, Emiel Vandewalle, April Pijpelink, Simon Verdegem, Yelmer Debouck, Elenora Vanbrabant, Birger Stichelbaut, Kristof Haneca, Marnix Pieters en Sofie Vanhoutte

JAAR VAN UITGAVE
2023

Een uitgave van agentschap Onroerend Erfgoed Wetenschappelijke instelling van de Vlaamse Overheid, Beleidsdomein Omgeving
Published by the Flanders Heritage Agency Scientific Institution of the Flemish Government, policy area Environment

VERANTWOORDELIJKE UITGEVER
Peter De Wilde

OMSLAGILLUSTRATIE
Tekening van een zekere Seidel, uit 1916, die de Sint-Medarduskerk van Wijtschate toont, of beter gezegd de ruïne die ervan overschiet, achter het kerkhof, in 1916 tijdens de Eerste Wereldoorlog. Met tekst: Wytschaete 1916 (Kirche mit Friedhof). Copyright: Westhoek Verbeeldt (uit privé-collectie). Foto van één van de aangetroffen graven van het vooroorlogse kerkhof. Foto door Simon Verdegem. Copyright: agentschap Onroerend Erfgoed.

agentschap Onroerend Erfgoed
Havenlaan 88 bus 5
1000 Brussel
**T** +32 2 553 16 50
info@onroerenderfgoed.be
www.onroerenderfgoed.be

Dit werk is beschikbaar onder de Modellicentie Gratis Hergebruik v1.0.
This work is licensed under the Free Open Data Licence v.1.0.

Dit werk is beschikbaar onder een Creative Commons Naamsvermelding 4.0 Internationaal-licentie. Bezoek http://creativecommons.org/licenses/by/4.0/ om een kopie te zien van de licentie.
This work is licensed under a Creative Commons Attribution 4.0 International License. To view a copy of this license, visit http://creativecommons.org/licenses/by/4.0/.

https://doi.org/10.55465/FWII2017
ISSN 1371-4678
D/2023/3241/452

Agentschap
Onroerend
Erfgoed

# HET VOOROORLOGSE KERKHOF VAN WIJTSCHATE ONDER HET SINT-MEDARDUSPLEIN (WIJTSCHATE, W.-VL.)

## Eindverslag van vier toevalsvondsten

Deel 2: bijlagen

ARNO VAN DEN DORPEL, EMIEL VANDEWALLE, APRIL PIJPELINK, SIMON VERDEGEM, YELMER DEBOUCK, ELENORA VANBRABANT, BIRGER STICHELBAUT, KRISTOF HANECA, MARNIX PIETERS EN SOFIE VANHOUTTE

Vlaanderen
is erfgoed

INHOUD


1 FYSISCH-ANTROPOLOGISCHE ANALYSE KERKHOF ..... 7
1.1 INLEIDING ..... 7
1.2 METHODEN EN TECHNIEKEN ..... 8
1.2.1 CONSERVERING ..... 8
1.2.2 GESLACHT ..... 9
1.2.3 LEEFTIJD BIJ OVERLIJDEN ..... 9
1.2.4 LICHAAMSLENGTE ..... 11
1.2.5 ZIEKTEVERSCHIJNSELEN ..... 11
1.2.6 GEBITSSTATUS ..... 12
1.3 RESULTATEN ..... 12
1.3.1 VOLLEDIGHEID ..... 12
1.3.2 CONSERVERING ..... 13
1.3.3 FRAGMENTATIE ..... 13
1.3.4 INVENTARIS ..... 14
1.3.5 GESLACHT ..... 16
1.3.6 LEEFTIJD BIJ OVERLIJDEN ..... 17
1.3.7 DE LICHAAMSLENGTE ..... 19
1.3.8 ZIEKTEVERSCHIJNSELEN ..... 19
1.3.9 GEBITSSTATUS ..... 54
1.4 GRAFRITUEEL EN PERIODISERING ..... 57
1.5 DISCUSSIE ..... 61
1.6 CONCLUSIE ..... 62
1.7 LITERATUUR ..... 64
1.8 BIJLAGEN: ..... 66
1.8.1 BIJLAGE 1: RESULTATEN OVERZICHT PER INDIVIDU. ..... 66
1.8.2 BIJLAGE 2: GEBITSSTATUS EN AANDOENINGEN VAN DE VOLWASSENEN. ..... 69
1.8.3 BIJLAGE 3: LEEFTIJD BIJ OVERLIJDEN VAN DE VOLWASSENEN. ..... 71
1.8.4 BIJLAGE 4: LEEFTIJD BIJ OVERLIJDEN VAN DE ONVOLWASSENEN. ..... 72
1.8.5 BIJLAGE 5: GESLACHTSBEPALING PER INDIVIDU. ..... 73
1.8.6 BIJLAGE 6: LICHAAMSLENGTE ..... 74
1.8.7 BIJLAGE 7: GRAFRITUEEL VAN DE ONDERZOCHTE INDIVIDUEN. ..... 75
1.8.8 BIJLAGE 8: INDIVIDUEN MET EEN ANTROPOMORFE GRAFKIST, DATERENDE UIT DE 12DE EEUW. ..... 76
1.8.9 BIJLAGE 9: INDIVIDUEN DATERENDE UIT DE 13DE-BEGIN 19DE EEUW ..... 77
1.8.10 BIJLAGE 10: INDIVIDUEN DATERENDE UIT EIND 19DE - 20STE EEUW. ..... 78
2 FYSISCH-ANTROPOLOGISCHE ANALYSE GESNEUVELDEN ..... 79
2.1 INLEIDING ..... 79

2.2 METHODEN EN TECHNIEKEN ..... 79
2.2.1 CONSERVERING ..... 79
2.2.2 GESLACHT ..... 80
2.2.3 LEEFTIJD BIJ OVERLIJDEN ..... 80
2.2.4 LICHAAMSLENGTE ..... 81
2.2.5 ZIEKTEVERSCHIJNSELEN ..... 82
2.2.6 GEBITSSTATUS ..... 83
2.3 RESULTATEN ..... 83
2.3.1 INDIVIDU 1 ..... 83
2.3.2 INDIVIDU 2 ..... 85
2.4 CONCLUSIE ..... 86
2.5 LITERATUUR ..... 86
3 LUCHTFOTOGRAFISCHE STUDIE ..... 88
3.1 INLEIDING EN VRAAGSTELLING ..... 90
3.2 STUDIEGEBIED – AFBAKENING ZONE ..... 91
3.3 DATA EN ARCHIEVEN ..... 91
3.4 GEORECTIFICATIE LUCHTFOTO'S ..... 93
3.5 HISTORISCHE OMKADERING & LUCHTFOTO-INTERPRETATIE ..... 93
3.5.1 EERSTE SLAG OM IEPER EN UITBOUW VAN HET LOOPGRAVENSTELSEL ..... 93
3.5.2 1915-1917 ..... 95
3.5.3 MIJNENSLAG 1917 TOT DUITS VOORJAARSOFFENSIEF ..... 100
3.5.4 VOORJAARSOFFENSIEF EN EINDOFFENSIEF 1918 ..... 102
3.6 WEDEROPBOUW ..... 104
3.7 CONCLUSIE ..... 105
3.8 BIBLIOGRAFIE ..... 105
4 SKELETTENLIJST ..... 107
4.1 DEEL 1 (2020I174) ..... 107
4.2 DEEL 2 (2021C69) ..... 136
4.3 DEEL 3 (2021D126) ..... 142
4.4 DEEL 4 (2021D243) ..... 143
5 HARRIS MATRIX ..... 144
6 C14-DATERING ..... 145
7 LIJST VAN TEKENINGEN ..... 148
8 LIJST VAN FOTO'S ..... 149
8.1 DEEL 1 (2020I174) ..... 149
8.1.1 TERREINFOTO'S ..... 149

8.1.2 VONDSTENFOTO'S ..... 282
8.2 DEEL 2 (2021C69) ..... 325
8.2.1 TERREINFOTO'S ..... 325
8.2.2 VONDSTENFOTO'S ..... 349
8.3 DEEL 3 (2021D126) ..... 353
8.3.1 TERREINFOTO'S ..... 353
8.3.2 VONDSTENFOTO'S ..... 355
8.4 DEEL 4 (2021D243) ..... 358
8.4.1 TERREINFOTO'S ..... 358
8.4.2 VONDSTENFOTO'S ..... 362
9 LIJST VAN SPOREN ..... 363
9.1 DEEL 1 (2020I174) ..... 363
9.2 DEEL 2 (2021C69) ..... 367
9.3 DEEL 3 (2021D126) ..... 368
9.4 DEEL 4 (2021D243) ..... 368
10 LIJST VAN VONDSTEN ..... 369
10.1 DEEL 1 (2020I174) ..... 369
10.1.1 KERKHOF ..... 369
10.1.2 GESNEUVELDEN ..... 466
10.2 DEEL 2 (2021C69) ..... 473
10.2.1 VONDSTENINVENTARIS ..... 473
10.2.2 VONDSTENCATALOGUS ..... 476
10.3 DEEL 3 (2021D126) ..... 483
10.3.1 VONDSTENINVENTARIS ..... 483
10.3.2 VONDSTENCATALOGUS ..... 485
10.4 DEEL 4 (2021D243) ..... 490
10.4.1 VONDSTENINVENTARIS ..... 490
10.4.2 VONDSTENCATALOGUS ..... 491
11 LIJST VAN STALEN ..... 492
11.1 DEEL 1 (2020I174) ..... 492
11.2 DEEL 2 (2021C69) ..... 494
11.3 DEEL 3 (2021D126) ..... 495
11.4 DEEL 4 (2021D243) ..... 495

# 1 FYSISCH-ANTROPOLOGISCHE ANALYSE KERKHOF

*April Pijpelink*

## 1.1 INLEIDING

Bij civieltechnische werkzaamheden voor het vernieuwen van het riool te Wijtschate werden onder de straat van het Sint-Medardusplein skeletten aangetroffen. Omdat hier geen skeletten werden verwacht is de opgraving als toevalsvondst door Onroerend Erfgoed in samenwerking met Ruben Willaert NV opgegraven, in het najaar van 2020, met een vervolgfase in het voorjaar van 2021.

In totaal waren 122 individuen opgegraven. Twee individuen werden aangetroffen in een bomkrater en betroffen gesneuvelde soldaten uit de Eerste wereldoorlog (deze zullen in een apart hoofdstuk worden behandeld) en 120 individuen maakten deel uit van het voormalige kerkhof rondom de Sint-Medarduskerk.

Gesneuvelde soldaten uit de Eerste Wereldoorlog dienen altijd binnen 30 dagen onderzocht te worden. Deze individuen zijn volgens de richtlijnen onderzocht en de onderzoeksresultaten zullen in een ander hoofdstuk worden gepresenteerd. Voor de overige 120 opgegraven individuen is een selectie gemaakt voor verder onderzoek op basis van de conservering en volledigheid van de individuen voor een zo hoog mogelijk onderzoekspotentieel, maar er is ook gelet op de ouderdom van de graven. Vijftien individuen waren in vermoedelijke antropomorfe grafkisten aangetroffen, wat te dateren valt rond de 12de eeuw. Omdat dit vrij bijzondere- en de oudste graven van Wijtschate zullen zijn, waren al deze individuen geselecteerd voor verder onderzoek, ondanks dat de bewaring van deze individuen in de meeste gevallen zeer slecht was. Op deze manier waren oorspronkelijk 68 individuen geselecteerd voor verder onderzoek. Na de vondstverwerking bleek echter dat er van vijf individuen niets meer bewaard was gebleven aan botmateriaal (vijf van de individuen afkomstig uit antropomorfe grafkisten). Deze individuen vielen daardoor af voor verder onderzoek. Eén geselecteerd individu bleek tijdens het onderzoek uit twee individuen te bestaan, waardoor het totale aantal onderzochte individuen op 64 kwam.

Alle 64 geselecteerde individuen zijn macroscopisch onderzocht en gedetermineerd. Het fysisch antropologisch onderzoek had tot doel om de volgende onderzoeksvragen te beantwoorden:

- Zijn er op grond van de begravingswijze, bijgiften of fysieke kenmerken van de skeletten aanwijzingen voor sociaaleconomische verschillen tussen de begravenen?
- Wat zijn de demografische kenmerken van de opgegraven populatie (leeftijdsopbouw, geslacht, kinderen, mortaliteit)?
- Welke ziekten en aandoeningen en wellicht ook doodsoorzaken zijn van de skeletten af te leiden? Wat is het algemene beeld van de gezondheidskenmerken van de opgegraven populatie (ziektes/aandoeningen in relatie tot tijd, locatie binnen het grafveld, geslacht, sociale status, leefomstandigheden, beroep etc.)?

## 1.2 METHODEN EN TECHNIEKEN

Voor de determinatie van menselijk skeletmateriaal zijn standaard methoden en technieken opgesteld. Deze worden gebruikt om het geslacht, de leeftijd bij overlijden en de lichaamslengte te bepalen en om een uitspraak te doen over de staat van het gebit van het overleden individu. Daarnaast wordt het hele skelet bekeken voor de constatering van botveranderingen die kunnen duiden op ziekteverschijnselen. Aan de hand van deze factoren is het mogelijk om een uitspraak te doen over de samenstelling van een grafveld en de sociale positie van de individuen die in het grafveld begraven lagen.

De meest gangbare methoden en technieken voor de determinatie van menselijk skeletmateriaal zijn gecombineerd tot een standaard methode. Deze standaard methode wordt ook wel 'Barge's Antropologica' of het 'groene boekje' genoemd.[1] Naast de standaard methoden en technieken voor de determinatie van menselijk skeletmateriaal zijn er nog methoden en technieken ter beschikking, maar van vele staat de betrouwbaarheid nog ter discussie. Voor dit onderzoek is dus gebruik gemaakt van Barge's Antropologica en enkele aanvullende methoden (zie hieronder), met name om de leeftijd bij overlijden en het geslacht te kunnen bepalen indien er te weinig materiaal beschikbaar is voor een determinatie aan de hand van de standaard methode.

### 1.2.1 Conservering

De mate van conservering heeft een grote invloed op de determinatiemogelijkheden. In de meest gunstige omstandigheden is het skelet volledig, zijn de individuele botten niet gefragmenteerd en is de cortex (de wand van het bot) onbeschadigd. In het slechtste geval is het botmateriaal zo ver vergaan dat er van het skelet slechts een lijksilhouet over is.

De conservering van het materiaal wordt op drie onderdelen beoordeeld: de volledigheid van het skelet, de conservering van het botmateriaal zelf en de mate van fragmentatie.

De volledigheid wordt in vier categorieën opgedeeld: <25%, 25-50%, 50-75% en >75%.

De conservering van het botmateriaal zelf wordt in vier categorieën opgedeeld:

- 0: Goed: de cortex van het bot is onbeschadigd en het bot is hard.
- 1: Gemiddeld: De cortex ontbreekt gedeeltelijk, het bot is nog vrij hard.
- 2: Matig: De cortex ontbreek gedeeltelijk of geheel en het materiaal is broos.
- 3: Slecht: De cortex ontbreek grotendeels of volledig, het materiaal valt vrijwel volledig uit elkaar.

De mate van fragmentatie wordt in vijf categorieën opgedeeld:

- 0: Alle beenderen zijn volledig intact.
- 1: Er zijn enkele beenderen in twee delen gebroken.
- 2: Vrijwel alle beenderen zijn in twee of drie delen gebroken, metingen zijn niet altijd meer mogelijk.
- 3: De meeste gewrichten ontbreken en vrijwel het gehele skelet is gefragmenteerd, metingen zijn zelden nog mogelijk.
- 4: De beenderen zijn deels versplinterd, geen enkel bot is nog intact of volledig aanwezig.
- 5: De beenderen zijn sterk versplinterd, grote delen van het skelet ontbreken.

Om een beeld te krijgen van de compleetheid van het materiaal, wordt er per individu een inventaris bijgehouden van welke lichaamsdelen er aanwezig en afwezig zijn. Per skelet is een foto gemaakt om een duidelijk beeld te krijgen van de compleetheid (zie bijlage 8).

[1] Maat & Mastwijk 2005.

### 1.2.2 Geslacht

Het geslacht werd bepaald aan de hand van 10 kenmerken aan het bekken, 4 kenmerken aan de onderkaak en 11 kenmerken aan de schedel. Elk kenmerk krijgt een positieve (mannelijke) of negatieve (vrouwelijke) score, die per skeletonderdeel wordt berekend. De resultaten worden dan gecombineerd tot één uitkomst waarbij sommige kenmerken zwaarder wegen dan andere. Het bekken is het meest bepalend voor de definitieve geslachtsbepaling. De onderkaak wordt alleen als aanvullende geslachtsindicator gebruikt. Bij de geslachtsdeterminatie in dit onderzoek worden de uitkomsten tussen de -0,5 en de 0,5 als onbetrouwbaar beschouwd.

Daarnaast werd de DSP-methode gebruikt (Diagnose Sexuelle Probabiliste[2]) voor een geslachtsbepaling aan de hand van 10 metrische gegevens aan het bekken. Op basis van studies blijkt de methode meer dan 98% betrouwbaar[3]. Er zijn echter wel minimaal vier metrische kenmerken nodig om tot een geslachtsbepaling te kunnen komen. Als de uitkomst van een geslachtsdeterminatie 'onzijdig' is wordt het resultaat aangeduid met 'ND'.

Wanneer noch de schedel, noch het bekken aanwezig waren, kunnen metingen van de diameter van de kop van de opperarm en het dijbeen gebruikt worden[4]. Deze formules zijn minder accuraat, maar kunnen aanwijzingen geven voor de geslachtsverdeling bij onvolledig bewaarde skeletten.

Over het algemeen is het bij onvolwassen individuen niet mogelijk om het geslacht vast te stellen. De geslachtskenmerken ontwikkelen zich immers gedurende de groei van het lichaam. Pas als het lichaam voldoende volgroeid is (ongeveer 20 jaar en ouder), is het mogelijk om het geslacht te bepalen. Onvolwassen individuen lijken daarom altijd vrouwelijk te zijn.

### 1.2.3 Leeftijd bij overlijden

Onder volwassen individuen worden individuen vanaf 20 jaar oud verstaan. De leeftijd bij overlijden van onvolwassen individuen is vaak nauwkeuriger en betrouwbaarder dan de leeftijd bij overlijden van volwassenen, omdat het lichaam van onvolwassen individuen nog in ontwikkeling is. Vele ontwikkelingsstadia kunnen nauwkeurig gekoppeld worden aan een leeftijd, maar er moet wel rekening gehouden worden met het feit dat de gezondheid van een individu de ontwikkelingssnelheid van het lichaam kan beïnvloeden.

De leeftijd bij overlijden van onvolwassen individuen kan op vier manieren worden vastgesteld. Waar mogelijk worden deze methoden gecombineerd. De leeftijd van onvolwassen individuen wordt bepaald door te kijken naar de doorbraak van de gebitselementen[5], naar de fusering van de verschillende skeletonderdelen van de schedel, de wervelkolom en het bekken[6], naar de lengte van de lange beenderen met of zonder gewrichtsuiteinden (zonder epifyseschijven)[7] en naar de fusering van de uiteinden (epifyseschijven) van de lange beenderen.[8]

De leeftijd bij overlijden van volwassenen is bepaald aan de hand van de complexe methode, aangevuld met twee verschillende methoden die kijken naar de slijtage op het darmbeen (*auriculair* oppervlak)[9].

[2] Murail *et al.* 2005.
[3] Brůžek *et al.* 2017.
[4] Stewart 1979.
[5] Ubelaker 1978; WEA 1980.
[6] Maat & Mastwijk 1995; Rauber & Kopsch 1952; Wolff-Heidegger 1954.
[7] Maresh 1955.
[8] Brothwell 1981; WEA 1980.
[9] Buckberry & Chamberlain 2002; Schmitt 2005.

De complexe methode bestaat uit een combinatie van vier methoden voor de bepaling van de leeftijd bij overlijden, namelijk de vergroeiing van de schedelnaden[10], de slijtage op het schaambeen (*symphysis pubis*)[11] en de mate van porositeit van de opperarm en het dijbeen[12].

De methoden waarbij wordt gekeken naar de slijtage van het darmbeen worden de laatste jaren als betrouwbare methoden beschouwd om een leeftijd bij overlijden te bepalen en worden vaak ter aanvulling op de complexe methode toegepast. Het darmbeen blijft vaak beter bewaard dan de lichaamsdelen die benodigd zijn voor de complexe methode. Bij een slechte conservering zijn de degeneratieve veranderingen in het darmbeen vaak de enige leeftijdsindicator. Het concluderende leeftijdsinterval aan de hand van de degeneratieve veranderingen in het darmbeen is kleiner als het leeftijdsinterval aan de hand van de complexe methode. De uitkomst van de twee verschillende methoden komen meestal overeen, maar de complexe methode wordt als meest betrouwbaar geacht. Het stadium van de degeneratieve veranderingen in het darmbeen wordt bij elk individu genoteerd, maar zal alleen in de concluderende resultaten worden opgenomen indien de complexe methode geen resultaten oplevert of resulteert in een leeftijdsinterval van 20 jaar. Bij de determinatie van de leeftijd bij overlijden moet rekening gehouden worden met het feit dat elk individu zich in een ander tempo ontwikkelt en dat een leeftijdsbepaling dus altijd iets kan afwijken van de echte leeftijd.

De concluderende leeftijd bij overlijden per individu valt altijd binnen een leeftijdsinterval.[13] De uitkomst van de verschillende methoden komen meestal redelijk overeen. Hoe verder de resultaten uit elkaar liggen tussen de verschillende methoden, hoe groter het leeftijdsinterval is. Per individu wordt het gemiddelde van het leeftijdsinterval gebruikt om de totale gemiddelde leeftijd bij overlijden te bepalen. Bij een leeftijdsinterval van bijvoorbeeld 20-40 jaar wordt een leeftijd van 30 jaar gebruikt om de gemiddelde leeftijd van de onderzochte populatie te berekenen. In de tabel met een overzicht van de sterfteleeftijd waarbij de individuen per 10 jaar zijn ingedeeld, zou een individu van 20-40 jaar oud dus worden ingedeeld in de categorie van 30-40 jaar. Het nadeel van vrijwel alle methoden en technieken die momenteel voor handen zijn voor het bepalen van een leeftijd bij overlijden, is dat de maximale leeftijdscategorie 60+ is. Bij het berekenen van een gemiddelde leeftijd bij overlijden binnen het gehele grafveld kan dit de gemiddelde leeftijdsberekening behoorlijk vertekenen. Als een individu als 60+ gecategoriseerd is, wordt er daarom voor gekozen om deze individuen bij de berekening als 70 jaar oud te rekenen. Zodoende valt er een relatieve betrouwbare gemiddelde leeftijd bij overlijden uit het gehele grafveld te onttrekken.

Om de sterfteleeftijd bij dit onderzoek zo veel mogelijk vergelijkbaar te kunnen maken met andere grafvelden uit België, maar ook uit Frankrijk en Nederland, is de leeftijd bij overlijden tevens opgedeeld in volgende ranges:

- <1 maand: Perinataal (rond het moment van de geboorte)
- 1-12 maanden
- 1-5 jaar
- 6-11 jaar
- 12-17 jaar
- 18-25 jaar
- 26-50 jaar
- >50 jaar

Indien er geen leeftijdsbepalende kenmerken meer aanwezig waren is een minimale leeftijd vastgesteld aan de hand van de robusticiteit van het skelet. Bijvoorbeeld >5, >15 of >20 jaar. Indien het duidelijk is dat een individu volwassen (volgroeid) is, maar er zijn geen aanvullende leeftijdskenmerken meer aanwezig, dan is de leeftijd bij overlijden geregistreerd als >20 jaar.

[10] Broca 1875; Nemescéri *et al.* 1960.
[11] Brooks & Suchey 1990.
[12] Nemescéri *et al.* 1960.
[13] Bijvoorbeeld 5-8 of 20-40 jaar.

### 1.2.4 Lichaamslengte

De lichaamslengte van een individu is deels erfelijk bepaald, maar ook afhankelijk van de leefomstandigheden.[14] Hoe beter de leefomstandigheden, bijvoorbeeld een vitaminerijke voeding en lichte arbeid, hoe groter iemand kan worden. Daarom kan de lichaamslengte een bijdrage leveren aan de bepaling van de sociale status van de begraven individuen.

Voor de berekening van de lichaamslengte van een individu wordt de lengte van de lange beenderen gemeten. Deze lengte(s) worden verwerkt in een formule om zo tot een lichaamslengte te komen. Voor dit onderzoek werd de methode van Trotter (en Gleser)[15] gebruikt. Deze is bruikbaar voor de berekening van de lichaamslengte van zowel mannen als vrouwen.

### 1.2.5 Ziekteverschijnselen

Botveranderingen die kunnen duiden op ziekteverschijnselen zijn misschien wel de meest belangrijke factoren voor het bepalen van de sociale positie van een bevolkingsgroep. Er zijn verschillende categorieën van ziekteverschijnselen: traumata, infectieziekten, deficiëntieziekten, degeneratieve gewrichtsaandoeningen, overige ziekteverschijnselen en anomalieën. Elke soort ziekteverschijnselen zegt iets over de gezondheid en daarmee de sociale positie van de bevolkingsgroep.

*Trauma*

Onder trauma wordt over het algemeen botbreuken verstaan, maar ook andere vervormingen aan het bot die het gevolg zijn van knelling, verwonding of een harde klap. In de meeste gevallen worden geheelde botbreuken teruggevonden, maar het is ook mogelijk dat een individu is overleden als gevolg van de breuk, in welk geval die een scherpe rand heeft. Als een botbreuk gezet en gespalkt wordt kan deze zo mooi helen dat er weinig van de oorspronkelijke breuk te zien is. Ongezette of ongespalkte breuken kunnen scheef groeien en zijn vaak een stuk beter te herkennen.

*Infectieziekten*

Infectieziekten kunnen het lichaam binnentreden via lichamelijk contact, via voedsel of door inhalatie.[16] De meeste infectieziekten blijven in het zachte weefsel van het lichaam en zijn daardoor archeologisch onzichtbaar. In veel gevallen is het individu overleden voordat de infectieziekte zich in het skelet manifesteert. Enkele infectieziekten manifesteren zich wel al in een vroeg stadium in het skelet.[17] In veel gevallen zijn er één of meerdere indicatoren voor een infectieziekte zichtbaar op het bot, maar zijn deze niet direct aan een specifieke infectie toe te schrijven. Dit worden niet-specifieke infecties genoemd.

*Deficiëntieziekten*

Deficiëntieziekten zijn ziekten als gevolg van een tekort aan voedingsmiddelen of andere belangrijke bestanddelen die men nodig heeft om normaal te kunnen leven. De aan- of afwezigheid van deficiëntieziekten is daarom een zeer geschikte factor om uitspraak te kunnen doen over de sociale positie van een bevolkingsgroep.[18]

*Degeneratieve gewrichtsaandoeningen*

Er zijn drie soorten degeneratieve gewrichtsaandoeningen: *perifere osteoartrose* of POA (artrose in alle gewrichten behalve in de wervelkolom), *vertebrale osteoartrose* of VOA (artrose in de onderlinge articulatievlakken van de wervelkolom) en de *degenerative disc disease* of DDD (slijtage en botreactie in de tussenwervelschijven).[19] Alle drie gewrichtsaandoeningen zijn deels gerelateerd aan leeftijd:

[14] Maat 2003, 62.
[15] Trotter 1970; Trotter & Gleser 1958.
[16] Ortner 2003, 179.
[17] Ortner & Putschar 1981.
[18] Ortner & Putschar 1981; Maat & Mastwijk 2005, 15.
[19] Rogers & Waldron 1995.

gewrichten slijten als gevolg van hun gebruik. De intensiteit daarvan en de belasting bepalen echter hoe snel de gewrichtsslijtage optreedt. Over het algemeen treedt bij iedereen boven de 40 jaar gewrichtsslijtage op.[20]

*Overige ziekteverschijnselen*

Overige ziekteverschijnselen zijn ziekten die niet aan één van de andere ziektecategorieën zijn toe te schrijven, omdat er geen duidelijke oorzaak van de ziekte is, of omdat de oorzaak van de ziekte verschilt van de ziekten uit de andere categorieën.

*Anomalieën*

Anomalieën op het skelet zijn (meestal aangeboren) afwijkingen waar een individu over het algemeen geen last van heeft. Sommige van deze anomalieën zijn overerfbaar.[21]

### 1.2.6 Gebitsstatus

De aan- of afwezigheid van tanden en kiezen kan iets zeggen over de gezondheid van het gebit. Bij elk individu komen normaal 32 gebitselementen door (bij het ontbreken van de verstandskiezen 28). Door onder andere een slecht onderhoud van het gebit kunnen tanden en kiezen uitvallen. Ook bepaalde aandoeningen zijn belangrijke indicatoren voor de gezondheid van het gebit en mogelijk ook voor de sociale status van het individu. Onder gebitsaandoeningen worden gaatjes (cariës), abcessen, wortelpuntontstekingen (fistula's), emailhypoplasiën (ribbels in het tandemail als gevolg van een tijdelijke stop in de ontwikkeling van de tanden door een tekort aan voedingsstoffen) en pijprokersgaten gerekend.

## 1.3 RESULTATEN

Van de 120 opgegraven individuen afkomstig uit het kerkhof van de Sint-Medarduskerk is een selectie gemaakt voor verder onderzoek. In totaal zijn 64 individuen volledig onderzocht op geslacht, leeftijd bij overlijden, lichaamslengte, ziekteverschijnselen en de staat van het gebit.

Een compleet overzicht van de determinatieresultaten per individu is te vinden in bijlage 1.

### 1.3.1 Volledigheid

De volledigheid van de individuen varieert, al is het grootste deel van de individuen voor ten minste de helft bewaard gebleven. Dit is gedeeltelijk het gevolg van de selectie, waarbij rekening is gehouden met de volledigheid en conservering van de individuen. De aanwezigheid van minder volledige of minder goed geconserveerde individuen is ontstaan als gevolg van het selecteren van individuen uit verschillende periodes, waarbij niet altijd voldoende complete of goed bewaarde individuen meer aanwezig waren (fig. 1).

[20] Rogers & Waldron 1995.
[21] Ortner 2003, 453-479.

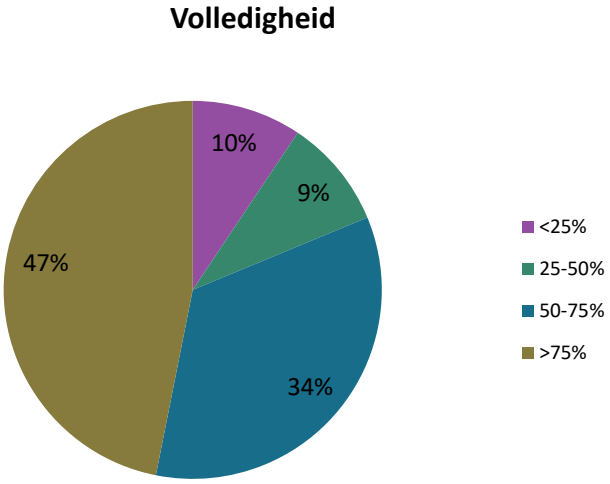


Figuur 1: Volledigheid van de geselecteerde individuen (N=64).

### 1.3.2 Conservering

De conservering van het materiaal varieert sterk (fig. 2). Vermoedelijk heeft dit te maken met het verschil in datering van de individuen. Hoe ouder de individuen hoe slechter het materiaal is geconserveerd. De meeste skeletten hebben een matige conservering, waarbij een groot deel van de cortex van het bot ontbreekt en de beenderen broos zijn. Daarnaast zijn de beenderen veelal sterk gefragmenteerd, waardoor metingen slechts beperkt mogelijk waren en gewrichtsaandoeningen beperkt waarneembaar waren. Van de wervelkolom waren in veel gevallen slechts fragmenten bewaard gebleven, waardoor ziekteverschijnselen in de wervelkolom beperkt inspecteerbaar waren.

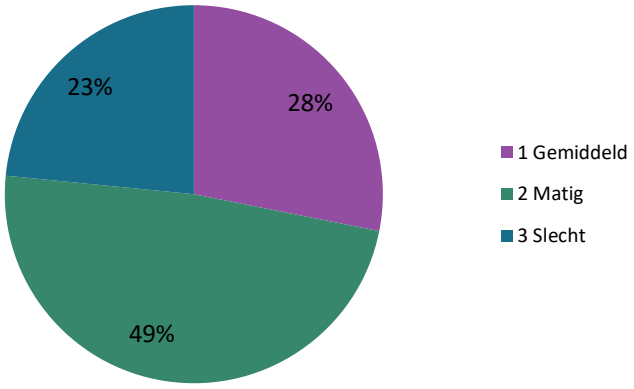


Figuur 2: Conservering van het botmateriaal (N=64, 108 skeletten en 24 losse schedels).

### 1.3.3 Fragmentatie

Ook de fragmentatiegraad verschilde sterk binnen dit onderzoek (fig. 3), met een gemiddelde van 3,4. De meeste gewrichten ontbreken, de skeletten zijn veelal volledig gefragmenteerd, waarbij soms geen enkel bot meer intact is en metingen zijn zelden nog mogelijk. Met name de wervelkolom was van veel individuen sterk gefragmenteerd. Van enkele individuen was nog amper meer dan een lijksilhouet bewaar gebleven (fragmentatiegraad 5). Van vijf initieel geselecteerde individuen was na het wassen

zelfs niets meer bewaard gebleven (individuen 110, 162, 163, 164 en 221. Deze individuen zijn dan ook niet meegenomen in de rapportage.

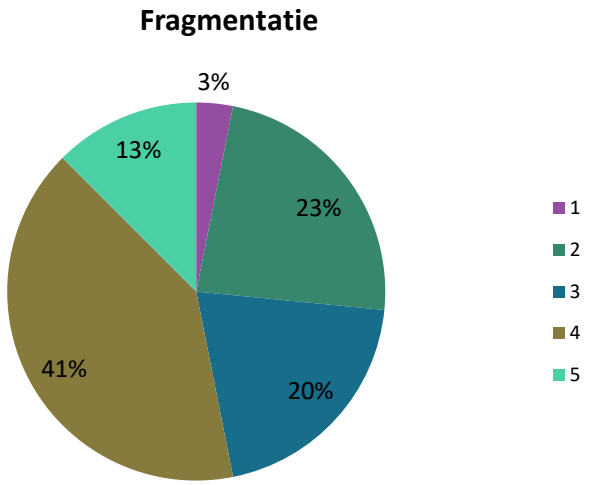


Figuur 3: Fragmentatie van het botmateriaal (N= 64).

### 1.3.4 Inventaris

De inventaris (tabel 1, fig. 4) geeft aan in welke aantallen de verschillende lichaamsdelen zijn aangetroffen voor alle 64 onderzochte individuen. Bij de inventaris is alleen gekeken of een lichaamsdeel wel of niet aanwezig is. Als een lichaamsdeel aanwezig is hoeft dat dus niet te betekenen dat het lichaamsdeel compleet is. Voor de wervels en ribben zijn het totale aantal aangetroffen elementen aangeduid, alsmede het aantal individuen waarbij deze elementen zijn aangetroffen (dit laatste staat tussenhaakjes aangeduid achter 'N'). De compleetheid per individu is te zien in de skeletcatalogus in bijlage 11.

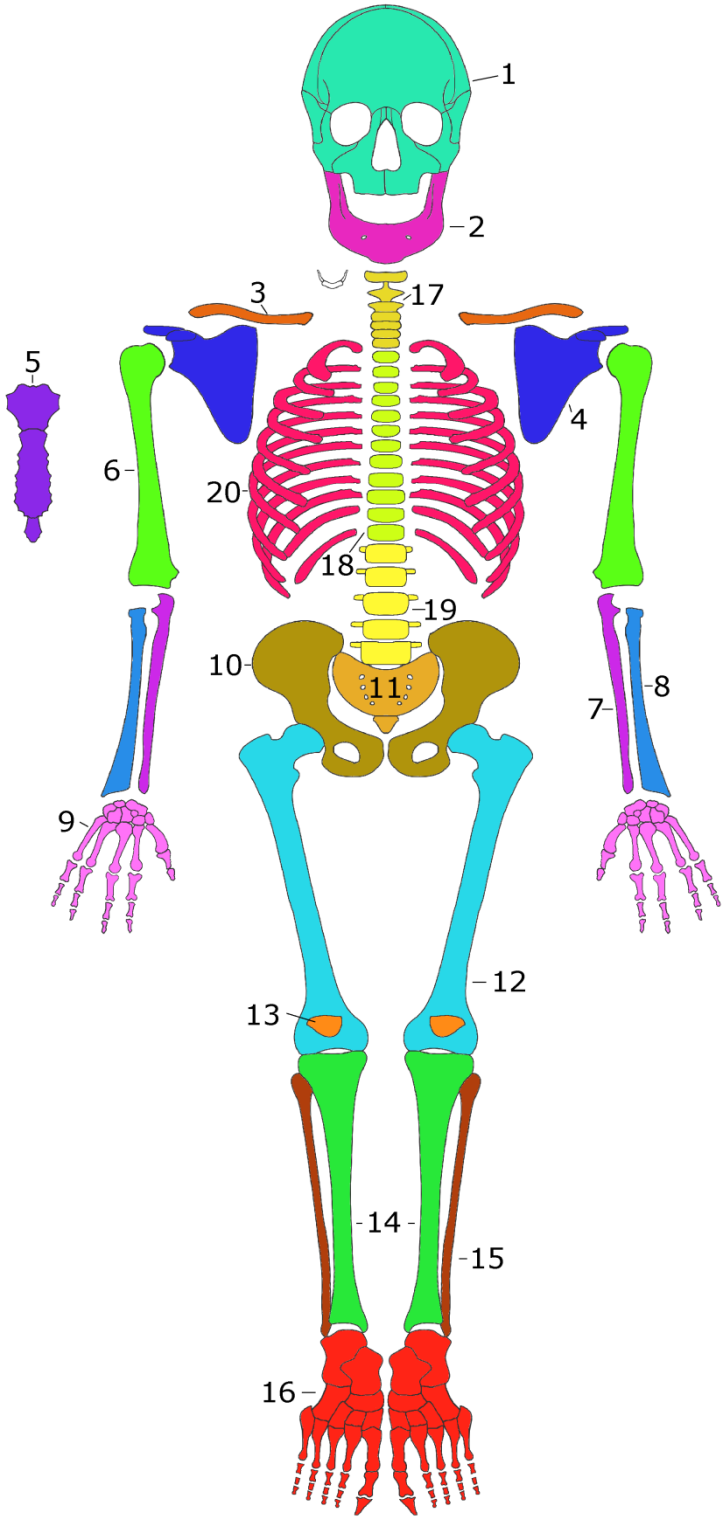


Figuur 4: De belangrijkste skeletonderdelen in kleur weergegeven. De cijfercodes komen overeen met de inventarislijst in tabel 1.

| Skeletonderdeel | Rechts | Links | Totaal |
|---|---|---|---|
| 1. Schedel (*cranium*) | - | - | 43 |
| 2. Onderkaak (*mandibula*) | - | - | 42 |
| 3. Sleutelbeen (*clavicula*) | 38 | 30 | 68 |
| 4. Schouderblad (*scapula*) | 42 | 33 | 75 |
| 5. Borstbeen (*sternum*) | - | - | 18 |
| 6. Opperarm (*humerus*) | 46 | 46 | 92 |
| 7. Ellepijp (*ulna*) | 46 | 42 | 88 |
| 8. Spaakbeen (*radius*) | 41 | 43 | 84 |
| 9. Hand ((*meta)carpalen* en *phalanges*) | 42 | 40 | 82 |
| 10. Bekken (*pelvis*) | 47 | 47 | 94 |
| 11. Heiligbeen (*sacrum*) | - | - | 37 |
| 12. Dijbeen (*femur*) | 58 | 56 | 114 |
| 13. Knieschijf (*patella*) | 15 | 18 | 33 |
| 14. Scheenbeen (*tibia*) | 45 | 47 | 92 |
| 15. Kuitbeen (*fibula*) | 38 | 41 | 79 |
| 16. Voet ((*meta)tarsalen* en *phalanges*) | 34 | 35 | 69 |
| 17. Halswervels (*vertebrae cervicales*) | - | - | 156 (N=36)[22] |
| 18. Borstwervels 1-6 (*vertebrae thoracicae*) | - | - | 113 (N=29)[23] |
| 18. Borstwervels 7-12 (*vertebrae thoracicae*) | - | - | 153 (N=38)[24] |
| 19. Lendenwervels (*vertebrae lumbales*) | - | - | 142 (N=42)[25] |
| 20. Ribben (*costae*) | 251 (N=45) | 245 (N=43) | 496[26] |

Tabel 1: Inventaris van de belangrijkste skeletonderdelen[27]. 'N' staat voor het aantal individuen waarbij de betreffende lichaamsdelen zijn aangetroffen.

### 1.3.5 Geslacht

Van 51 volwassen individuen kon het geslacht worden vastgesteld (fig. 5). Bij zes volwassen individuen kon dit niet gebeuren omdat er geen geslachtskenmerken meer bewaard waren gebleven. Wanneer de geslachtsdeterminatie niet overtuigend was, of wel overtuigend maar slechts bepaald aan de hand van een zeer beperkt aantal geslachtskenmerken, is er een vraagteken achter de geslachtsdeterminatie geplaatst, dus 'M?' of 'V?'. Om de onderzoeksresultaten overzichtelijk te houden zullen deze individuen respectievelijk als man en vrouw worden behandeld bij de interpretatie van de verdere onderzoeksgegevens.

In totaal zijn er 32 mannelijke individuen en 19 vrouwelijke individuen aangetroffen. Hierbij is de man-vrouw verhouding ongeveer 1,7-1. Dit is geen gelijke verdeling zoals op een normale begraafplaats kan worden verwacht. Nu kan dit vertekenen als gevolg van de selectie en omdat het bij zes individuen niet meer mogelijk was om een geslacht te bepalen, maar dan nog is dit verschil aan de hoge kant. Hier zal in de discussie verder op in worden gegaan.

De geslachtsdeterminatie wordt per individu gespecificeerd weergegeven in bijlage 5.

[22] Een compleet individu heeft 7 halswervels. Dit is het totaal aantal aangetroffen halswervels van alle 64 individuen.
[23] Een compleet individu heeft 12 borstwervels. Dit is het totaal aantal bovenste aangetroffen borstwervels van alle 64 individuen.
[24] Een compleet individu heeft 12 borstwervels. Dit is het totaal aantal onderste aangetroffen borstwervels van alle 64 individuen.
[25] Een compleet individu heeft 5 lendenwervels. Dit is het totaal aantal aangetroffen lendenwervels van alle 64 individuen.
[26] Een compleet individu heeft aan beide kanten 12 ribben. Dit is het totaal aantal aangetroffen ribben van alle 64 individuen.
[27] Gedeeltelijk naar Baetsen 2013.

Figuur 5: Geslachtsverhouding (N=64).

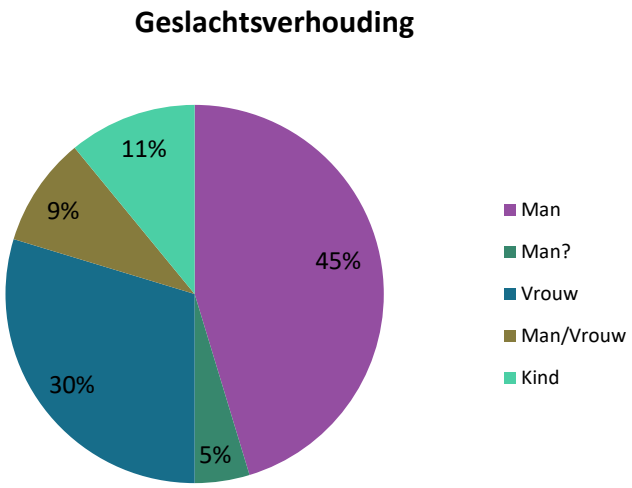


### 1.3.6 Leeftijd bij overlijden

Voor de meeste individuen was het mogelijk om een minimale en maximale sterfteleeftijd te bepalen, maar voor sommige individuen was het alleen mogelijk om een minimale leeftijd te bepalen. In totaal is er voor vijf individuen alleen een minimale sterfteleeftijd vast te stellen van >20.
Daarnaast zijn twee individuen ingedeeld in de leeftijdscategorie >60. Dit heeft er mee te maken dat de meeste methoden voor de vaststelling voor de leeftijd bij overlijden zich beperken tot >60 jaar, omdat een nauwkeurigere leeftijdsbepaling boven de 60 jaar te onbetrouwbaar wordt.

De gemiddelde leeftijd bij overlijden werd berekend aan de hand van de gemiddelde sterfteleeftijd aan de hand van de uitkomst van verschillende methoden die hiervoor zijn opgesteld (zie 2.3: methoden en technieken). Vervolgens is de uitkomst van de combinatie van deze methoden gebruikt om elk individu in te delen in een gestandaardiseerde leeftijdsrange, zodat de onderzoeksresultaten van dit grafveld vergeleken kunnen worden met dat van andere onderzochte sites uit België, Nederland en Frankrijk.

Voor 57 individuen kan een minimale en maximale sterfteleeftijd worden vastgesteld. Hiervan zijn zeven individuen onvolwassen (<20 jaar) en 50 individuen volwassen. De onvolwassenen zijn iets ondervertegenwoordigd voor een normale begraafplaats, dit kan met de matige conservering van het botmateriaal te maken hebben. De beenderen van kinderen zijn brozer als die van volwassenen, waardoor deze eerder vergaan. Aangezien de beenderen van de volwassenen in veel gevallen al matig tot slecht bewaard zijn gebleven, is het goed mogelijk dat er van enkele kindergraven niets meer bewaard is gebleven. Echter, dan hadden hier wel grafkuilen van aangetroffen moeten worden, wat niet het geval lijkt te zijn. Een andere mogelijkheid is dat (kleine) kinderen op een aparte locatie binnen het grafveld zijn begraven en deze locatie bij de opgraving niet is aangesneden. Het jongste individu is namelijk tussen de 4 en 5 jaar overleden. De jongste leeftijdscategorieën (<2 jaar) ontbreken volledig, terwijl binnen deze categorieën normaliter de hoogste aantallen onvolwassenen sterven.
Eén individu is overleden tussen de 4 en 5 jaar. Drie individuen zijn overleden tussen de 5 en 10 jaar oud en drie individuen zijn overleden tussen de 10 en 15 jaar oud. Er zijn geen late tieners aangetroffen van 15-20 jaar.

De gemiddelde leeftijd bij overlijden van de volwassenen is 43,2 jaar (N=52). De gemiddelde leeftijd van de mannen is 42,9 (N=32) en de gemiddelde leeftijd van de vrouwen is 44,2 (N=18). De leeftijd bij overlijden per individu is terug te vinden in bijlagen 3 en 4.

Figuren 6, 7 en 8 geven een overzicht van de distributie van de leeftijd bij overlijden per leeftijdsrange en per 10 jaar. Alle drie de figuren laten zien dat de meeste individuen zijn overleden tussen de 25 en 50 jaar. Wat in figuur 7 duidelijk naar voren komt, maar in figuur 8 een stuk minder opvalt, is dat de meeste vrouwen tussen de 40 en 50 jaar zijn overleden, terwijl de sterfte onder de mannen wat meer verdeeld is tussen de 20 en 60 jaar en juist minder is tussen de 40 en 50 jaar.

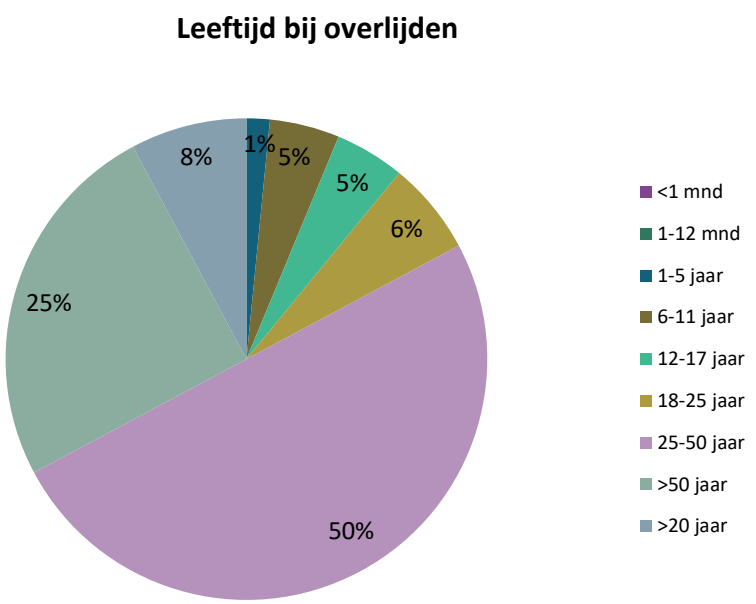


Figuur 6: Leeftijd bij overlijden van alle individuen (N=64).

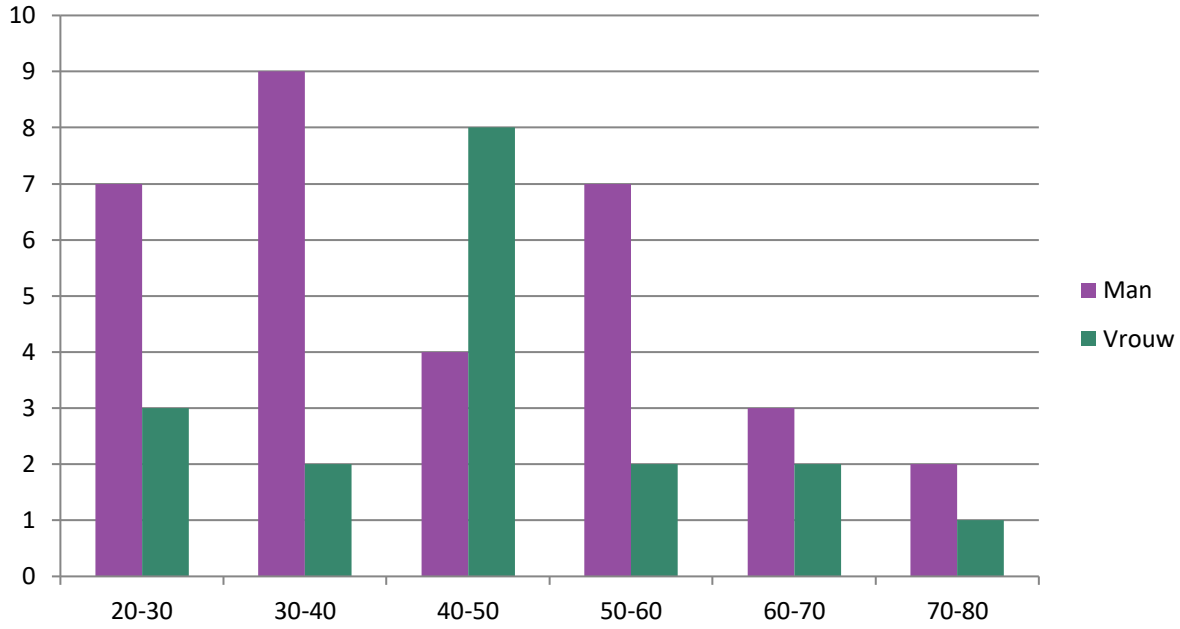


Figuur 7: Verhouding van de geslachten (aantallen) per 10 jaar (gebaseerd op de gemiddelde leeftijd bij overlijden) van de volwassenen (N=50).

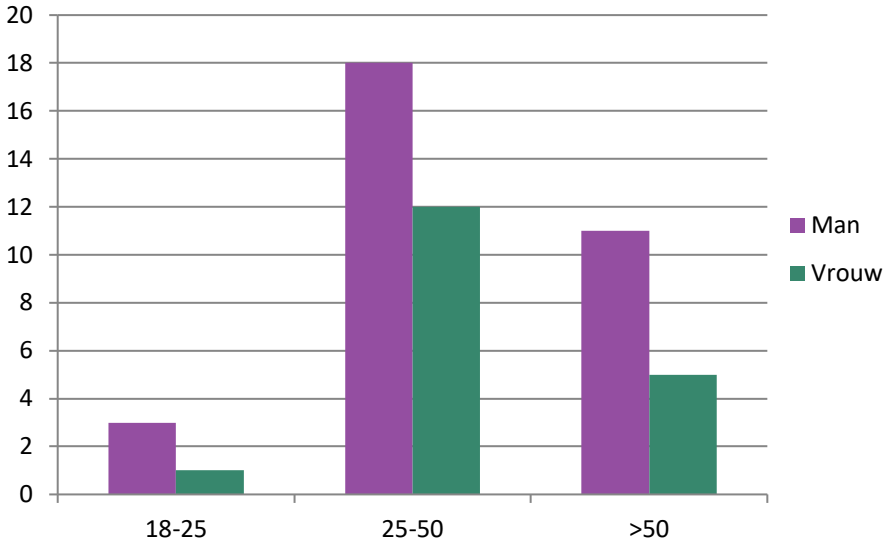


Figuur 8: Verhouding van de geslachten (aantallen) per leeftijdsrange van de volwassenen (N=50).

### 1.3.7 De lichaamslengte

Het meest voorkomende opmeetbare bot voor een lichaamslengteberekening binnen dit onderzoek was het dijbeen. Van 21 volwassen individuen kon het dijbeen worden opgemeten. Het gaat hierbij om achttien volwassen mannen, en drie volwassen vrouwen. De totale gemiddelde lichaamslengte van alle mannen komt hierbij op 171,2 (met een minimum van 163,4 cm, en een maximum van 182,8 cm) en de gemiddelde lichaamslengte van de volwassen vrouwen komt op 160,8,0 cm (met een minimum van 157,7 cm en een maximum van 164,9 cm). Omdat de lichaamslengte slechts voor drie individuen te berekenen viel aan de hand van de lengte van het dijbeen is er aanvullend gekeken naar de lengte van de opperarmen. Voor twee mannen en vier vrouwen was het mogelijk om een lichaamslengte berekening uit te voeren op basis van de opperarm waar het dijbeen niet meer opmeetbaar was. Wanneer de lichaamslengtes van de berekening aan de hand van het dijbeen en de opperarm worden samen gevoegd komt de gemiddelde lichaamslengte voor mannen op 171,0 cm (N=20, met een minimum van 163,4 cm, en een maximum van 182,8 cm) en voor de vrouwen op 161,6 cm (N=7, met een minimum van 157,7 cm en een maximum van 169,2 cm). De gemiddelde lichaamslengte van de mannen blijft hiermee vrijwel onveranderd, de gemiddelde lichaamslengte van de vrouwen komt hier mee iets hoger uit.
De lichaamslengte per individu is terug te vinden in bijlage 6.

### 1.3.8 Ziekteverschijnselen

Tijdens het onderzoek zijn diverse ziekteverschijnselen aangetroffen. In bijlage 1 zijn de onderzoeksresultaten per individu weergegeven.

**Trauma**
Er zijn verschillende vormen van trauma aangetroffen binnen zit onderzoek. Figuren 9 tot en met 13 geven enkele voorbeelden van de aangetroffen traumata binnen dit onderzoek. Tabel 2 geeft een overzicht van alle individuen waarbij trauma is aangetroffen met een omschrijving van de aard van het trauma.

*Botbreuken*

Bij zes individuen zijn geheelde botbreuken waargenomen (tabel 2, fig. 9, 10, 11, 12). Deze zijn waargenomen in de het sleutelbeen, de ribben, het dijbeen en de wervelkolom. Twee individuen vertoonden geheelde ribbreuken. Individu 222 (man, 66 jaar) had ten minste één rib gebroken aan de linkerzijde (fig. 9) en individu 125 (man, 30 jaar) vertoonde ten minste drie geheelde ribbreuken. De breuken in de wervelkolom bestaan uit een compressiefractuur in de onderste borstwervel (T12, fig. 10) bij individu 138 (man, 20-29 jaar) en een vermoedelijke breuk van twee aansluitende wervelbogen (fig. 11) bij individu 186 (man, 30-39 jaar). De wervelkolom van individu 186 was dermate sterk gefragmenteerd dat het trauma beperkt inspecteerbaar was en de aard en omvang van het trauma niet verder valt te duiden. Bij de geheelde breuk in het rechterdijbeen van individu 134 (man, 25-34 jaar) was het bovenste 3de deel losgebroken en iets diagonaal en verdraaid terug aan gegroeid (fig. 12). De breuk in het sleutelbeen is aangetroffen bij een vrouw (individu 114, 40-44 jaar). Behalve de breuk in het sleutelbeen zijn alle geheelde breuken bij mannen aangetroffen.

Figuur 9: Geheelde breuk in een linker rib van individu 222.

Figuur 10: Compressiefractuur in de onderste borstwervel (T12) van individu 138.

Figuur 11: Geheelde breuk in een wervelboog van individu 186.

Figuur 12: Geheelde breuk in het rechter dijbeen van individu 134.

*Geheelde oppervlakkige verwondingen*

Twee individuen vertoonden een vorm van een geheelde verwonding (tabel 2, fig. 13 en 14). Individu 176 (vrouw, 45-49 jaar) vertoonde een benig uitsteeksel aan de diafyse van de linker ellepijp (fig. 13). Vermoedelijk betreft dit een verbeend bloedstolsel. Bij individu 225 (man 30-34 jaar) was aan de achterzijde van het rechter scheenbeen een plaatselijke onregelmatige verdikking zichtbaar (fig. 14). Door de erosie van de cortex van het bot was de aard van het uitsteeksel beperkt waarneembaar, maar het lijkt om een verwonding te gaan waarbij het bot beschadigd is geraakt, maar niet geheel doorgebroken. Het oppervlak van het scheenbeen is geheeld, maar door het ontbreken van de cortex van het bot kan niet meer worden achterhaald of de verwonding gepaard ging met een ontsteking en of deze wel of niet genezen was.

Figuur 13: De ellepijp van individu 176 met een benig uitsteeksel aan de diafyse, vermoedelijk een verbeend bloedstolsel als gevolg van een oppervlakkige verwonding.

Figuur 14: De achterzijde van het scheenbeen van individu 225 met een onregelmatige botreactie, vermoedelijk als gevolg van een verwonding waarbij het bot is geraakt, maar niet doormidden is gebroken.

*Indicatoren voor stress*

Buiten botbreuken en oppervlakkige verwondingen kunnen er ook andere indicatoren van stress worden aangetroffen in de vorm van entesopathieën (kleine botuitsteeksels) en depressies in het botoppervlak. Deze kunnen ontstaan als gevolg van overbelasting, extreme spierontwikkeling of langdurige of frequente beknelling. Entesopathieën zijn verbeningen van de peesaanhechtingen, welke vaak op standaard locaties worden aangetroffen binnen het lichaam. Bij vijf individuen zijn dergelijke entesopathieën aangetroffen. Entesopathieën zijn waargenomen in de knieën (knieschijven, fig. 15), in de hielen (achterzijde *calcaneum*) en aan de achterzijde van het darmbeen (bekken).

Wanneer een individu vele entesopathieën vertoont in combinatie met een botbrug in de wervelkolom (een nieuw gevormde verbening die meerdere wervellichamen aan de rechterzijde met elkaar verbind), kan dit in verband worden gebracht met de aandoening ‘DISH’. Dit zou bij één individu het geval kunnen zijn en zal verderop worden behandeld onder ‘Overige ziekteverschijnselen’.

Buiten entesopathieën zijn er ook andere indicatoren voor stress aangetroffen. Twee individuen vertoonden een zogenaamde *rhomboid fossa* aan het sleutelbeen. Dit is een depressie aan de onderzijde van het proximale sleutelbeen waar de peesaanhechting met de eerste rib zich bevindt. Deze depressie ontstaat door overbelasting op deze pees. En individu 134 (man, 25-34 jaar) vertoonde een beknelling aan het middelvoetsbeentje van zijn linker kleine teen, waarbij het bot vlak achter de aansluiting met de enkelbeentjes een afvlakking en onregelmatige botreactie vertoonde (fig. 16).

Figuur 15: Entesopathieën op de knieschijven

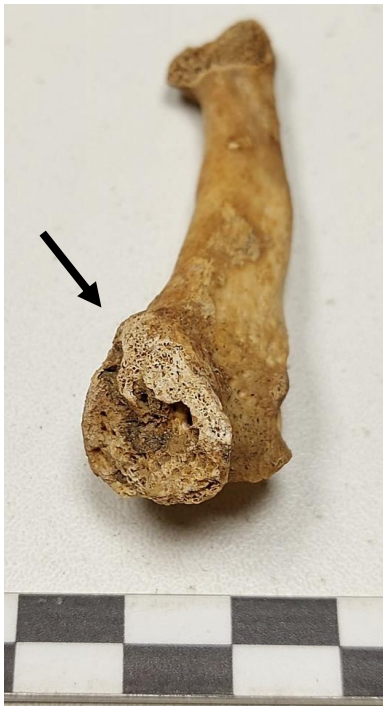

Figuur 16: Het middenvoetsbeentje van de kleine teen van individu 134 met onregelmatige botreactie en een afvlakking van het bot achter de aansluiting met de enkelbeentjes.

Osteochondritis dissecans

*Osteochondritis dissecans* is een vorm van trauma. Hierbij komt tijdens de groei van het lichaam een klein botfragment los van het gewricht, waardoor permanent een poreus en vaak rond plekje in het gewricht zichtbaar blijft. Deze vorm van trauma heeft verder geen invloed op de gezondheidstoestand of levenskwaliteit van het individu. Bij één individu (individu 101, man, 20-25 jaar) was *osteochondritis dissecans* aangetroffen in beide schouderbladen (fig. 17).

Figuur 17: *Osteochondritis dissecans* in het rechter schouderblad van individu 101.

| Individu | Spoor | Vnr | Geslacht | Leeftijd | Leeftijds range | Geheelde breuk/dislocatie | Stress indicator |
|---|---|---|---|---|---|---|---|
| **101** | 23 | 28 | M | 20-25 | 18-25 | *osteochondritis dissecans* beide schouderbladen | |
| **114** | 43 | 134 | V | 40-44 | 25-50 | geheelde sleutelbeen links | |
| **125** | 54 | 181 | M | 30,33 | 25-50 | geheelde ribbreuk links (ten minste drie ribben) | *rhomboid fossa* links en rechts |
| **134** | 66 | 154 | M | 25-34 | 25-50 | geheelde breuk rechter dijbeen | beknelling middenvoetsbeentje kleine teen links |
| **138** | 70 | 303 | M | 20-29 | 18-25 | compressiefractuur onderste borstwervel (T12) | *rhomboid fossa* rechter sleutelbeen |
| **147** | 75 | 309 | V | 25-34 | 25-50 | | entesopathieën knieën en ellebogen |
| **175** | 91 | 476 | M | 36-45 | 25-50 | | entesopathieën knieën en ellebogen |
| **176** | 118 | 429 | V | 45-49 | 25-50 | verbeend bloedstolsel linker ellepijp | |
| **184** | 121 | 464 | M | 29 | 25-50 | | *rhomboid fossa* links en rechts |
| **186** | 126 | 479 | M | 30-39 | 25-50 | geheelde breuk in twee wervelbogen | |
| **189** | 111 | 512 | M | 30-39 | 25-50 | | entesopathie rechter hiel |
| **212** | 22 | 39 | M | 50-60 | >50 | | entesopathieën hielen |
| **222** | 30 | 50 | M | 66 | >50 | geheelde ribbreuk links (ten minste één rib) | entesopathieën achterzijde darmbeen links en rechts |
| **225** | 34 | 58 | M | 30-34 | 25-50 | geheelde verwonding achterzijde linker scheenbeen | |

Tabel 2: De verschillende soorten trauma per individu.

### Infecties

Voordat een infectie zich manifesteert op het bot is de infectie meestal al geruime tijd in het lichaam aanwezig. In veel gevallen overlijdt een individu aan de infectie voordat de infectie überhaupt het skelet heeft aangetast. Infecties in het skelet zijn vrijwel altijd herkenbaar aan een laagje poreus bot bovenop het botoppervlak of zwelling van het bot (beenvliesontsteking). Indien een infectie ver gevorderd is, kunnen de beenderen hevig opzwellen, pusgaten vertonen en kan een zeer onregelmatig oppervlak ontstaan (beenmergontsteking). Infecties kunnen onder andere door plaatselijke verwondingen ontstaan en zullen in dat geval in eerste instantie leiden tot een infectie van slechts één of enkele aangrenzende beenderen.

De meeste sporen van een infectie in het lichaam zijn echter niet-specifiek. In dat geval is waar te nemen dat het individu leed aan een infectie, maar is de exacte oorzaak onbekend, omdat de infectie op vele manieren kan zijn veroorzaakt. Voorbeelden hiervan die binnen dit onderzoek zijn aangetroffen zijn hersenvliesontsteking, bijholteontsteking of longontsteking.

Indien meerdere beenderen verspreid door het lichaam zijn aangetast, heeft het individu vermoedelijk geleden aan een infectieziekte. Het is echter veelal niet meer vast te stellen aan welke infectieziekte het individu specifiek heeft geleden omdat vele infectieziekten dezelfde symptomen op het bot vertonen. Twee infectieziekten waren vermoedelijk specifiek te onderscheiden binnen dit onderzoek, namelijk *tuberculose* (TBC) en lepra. *Tuberculose* wordt gekenmerkt door destructieve botveranderingen in de gewrichten en de wervelkolom in combinatie met longontsteking en bij lepra vertonen individuen typische destructieve veranderingen in de handen, voeten of het aangezicht, veelal in combinatie met beenvliesontsteking.

In totaal zijn er bij 21 individuen één of meerdere vormen van een infectie in het lichaam aangetroffen. Infecties zijn ongeveer evenredig aangetroffen onder mannen en vrouwen. Bij de onvolwassenen zijn geen infecties waargenomen. De aangetroffen infecties binnen dit onderzoek zullen per categorie worden behandeld. Een overzicht van het voorkomen van de verschillende infecties binnen dit onderzoek wordt weergegeven in tabel 3.

*Beenvliesontsteking (periostitis) en beenmergontsteking (osteomyelitis)*

Beenvliesontsteking is de ontsteking van het botvlies (het *periosteum*) en treedt op als gevolg van een infectie. Lokale beenvliesontsteking (geconcentreerd op één plek in het lichaam) is meestal het gevolg van een infectie die is overgeslagen van een plaatselijke verwonding. Beenvliesontsteking op meerdere plaatsen in het lichaam of tweezijdig is meestal het gevolg van een infectie(ziekte) die zich via de bloedbaan heeft verspreid, of het gevolg van zware overbelasting van de benen.[28] Beenmergontsteking is de ontsteking van het beenmerg. Dit kan het gevolg van zijn van onbehandelde beenvliesontsteking, maar kan ook ontstaan als gevolg van een doorgeslagen infectie van een lokale verwonding. Bij beenmergontsteking is het bot van binnenuit geïnfecteerd geraakt en ontstaat een sterk onregelmatige oppervlakte met pusholtes.

Beenvliesontsteking en beenmergontsteking kunnen optreden als gevolg van meerdere infectieziektes en worden daarom meestal 'niet specifieke infecties' genoemd. Beenvliesontsteking kan na genezing soms ook nog worden waargenomen in de vorm van een lichte oppervlakkige gestreeptheid op het aangetaste bot.

Binnen dit onderzoek zijn acht individuen met beenvliesontsteking in de onderbenen aangetroffen. Bij drie van deze individuen is de beenvliesontsteking symmetrisch aangetroffen en wordt vermoed dat de beenvliesontsteking het gevolg was van een (niet nader te specificeren) infectieziekte. Bij één van deze individuen was de beenvliesontsteking in de benen reeds genezen (individu 201, man?, 30-34 jaar) en bij één individu (individu 160, vrouw, 25-34) was de beenvliesontsteking in de gehele benen en het bekken aanwezig. Dit laatste individu leed vermoedelijk aan een infectieziekte die niet verder meer valt te specificeren. Vier individuen vertoonden beenvliesontsteking in één onderbeen waarbij de beenvliesontsteking vermoedelijk het gevolg was van een doorgeslagen infectie als gevolg van een plaatselijke verwonding. Eén van deze individuen (individu 224, vrouw, 51 jaar) vertoonde tevens een pusgat (fig. 18), wat aangeeft dat het bot zelf ook was gaan ontsteken (*osteomyelitis*). Eén individu (individu 212, man, 50-60 jaar) vertoonde een klein plekje beenvliesontsteking op één scheenbeen waarvan vermoed wordt dat een deel is weg gewassen. Het is dan ook onduidelijk of dit individu leed aan beenvliesontsteking in één been of in beide benen.

Tot slot vertoonde individu 115 (vrouw, 30-60 jaar) een infectie in de rechter onderkaak rondom de zenuwingang (het *mental foramen,* fig. 19), welke vermoedelijk is ontstaan als gevolg van een doorgeslagen wortelpuntontsteking (bij gebitselement 45).

Beenvliesontsteking aan de binnenkant van de schedel (hersenvliesontsteking of *meningitis*), in de bijholtes (bijholteontsteking of *sinusitis*) en aan de binnenzijde van de ribben (longontsteking) zullen apart worden behandeld.

Figuur 18: Beenvliesontsteking in het linker onderbeen van individu 224 met een pusgat.

[28] Maat & Mastwijk 2005, 14-15; Roberts & Manchester 2007, 172.

Figuur 19: Botontsteking in de rechter onderkaak van individu 115 als gevolg van een doorgeslagen infectie van een wortelpuntontsteking.

*Hersenvliesontsteking of meningitis*

Hersenvliesontsteking is waar te nemen in het skelet door een laagje extra poreus bot aan de binnenzijde van de schedel (fig. 20). Bij vier individuen is hersenvliesontsteking aangetroffen. Er is geen directe oorzaak voor de hersenvliesontsteking aan te duiden.

Figuur 20: Hersenvlies-ontsteking bij individu 109.

*Bijholteontsteking of sinusitis*

Bijholteontsteking is een langdurige ontsteking van de neusbijholtes of de voorhoofdsholte. Bijholteontsteking is herkenbaar aan een laagje poreus extra bot of kleine benige uitsteeksels in de holtes (fig. 21). Als de schedel volledig intact is zijn deze holtes niet inspecteerbaar, maar in veel gevallen is de schedel gefragmenteerd en kunnen deze holtes wel op *sinusitis* geïnspecteerd worden. Bij zes individuen is bijholteontsteking waargenomen in de neusholtes. In alle gevallen kwam de bijholteontsteking zowel links als rechts voor.

Figuur 21: Bijholteontsteking bij individu 128.

*Longontsteking*

Twee individuen vertoonden een laagje poreus bot aan de binnenzijde van de ribben (fig. 22). Als gevolg van de ontsteking van het longweefsel kan de infectie overslaan op het botweefsel, waardoor de ribben worden aangetast. Bij allebei de individuen waren alleen de linker ribben aangetast.

Figuur 22: Longontsteking bij individu 101.

*Tuberculose (TBC)*

*Tuberculose* is een infectieziekte die kan worden overgedragen via de lucht door de bacterie *Mycobacterium tuberculosis*. Een typisch kenmerk voor deze ziekte is destructieve ontstekingen van het bot in de gewrichten en in de wervelkolom in combinatie met longontsteking. Het komt echter vaak voor dat het individu overlijdt voordat deze destructie zich in het bot voordoet.[29]

Bij één individu (individu 159, man 50-56 jaar) is vermoedelijk TBC waargenomen. Het individu vertoont een typische destructie in een halswervel (C5) welke kenmerkend is voor TBC (fig. 23). Helaas is er van dit individu zeer weinig van het axiale skelet bewaard gebleven, waardoor er geen andere indicatoren in het lichaam van de man zijn aangetroffen die kunnen duiden op TBC.

[29] Ortner 2003, 235-239.

Figuur 23: De vijfde halswervel van individu 159, met destructie van het wervellichaam kenmerkend voor TBC.

*Mogelijk lepra*

***Lepra*** is een infectie met de mycobacterie ***Mycobacterium leprae***. Lepra is zeer besmettelijk. Besmetting met de leprabacterie verloopt vermoedelijk via druppeltjes die verspreid worden door leprapatiënten bijvoorbeeld tijdens hoesten, niezen of praten, maar ook via zweertjes en huidbeschadigingen. Echter, slechts 5% van de besmette individuen vertoont ziekteverschijnselen, omdat het immuunsysteem de bacterie in de meeste gevallen direct onderdrukt. Daarnaast heeft de ziekte een lange incubatietijd van gemiddeld 2 tot 6 jaar. Er bestaan meerdere typen lepra, maar de bekendste daarvan zijn: *lepromateuze* lepra en *tuberculoïde* lepra. Bij *lepromateuze* lepra kan het individu geen, of amper weerstand bieden tegen de infectie en ontstaan in het gezicht verdikkingen en rimpels, en kan de enorme hoeveelheid bacteriën leiden tot de vernietiging van het neustussenschot. *Lepromateuze* lepra is zeer besmettelijk. Bij *tuberculoïde* lepra zorgt het afweersysteem voor een afweerreactie, wat op zichzelf echter zeer ongunstige gevolgen heeft. Hierdoor ontstaat een aantasting van de huid en zenuwen, waardoor verminkingen kunnen optreden. *Tuberculoïde* lepra is minder besmettelijk, omdat er door het afweersysteem minder bacteriën in het lichaam aanwezig zijn.[30] Als gevolg van de beschadiging van de zenuwen die lepra met zich mee brengt, ontstaat gevoelloosheid, waardoor het niet opvalt als iemand zich brandt of andere verwondingen oploopt. Deze verwondingen raken snel ontstoken, met uiteindelijk verminkingen als gevolg. De handen en voeten zijn meestal de eerst aangetaste delen, omdat deze doorgaans het meeste risico lopen op verwondingen en zich aan het eind van het zenuwstelsel bevinden.[31]

Archeologisch kan lepra via DNA-onderzoek of op het bot worden waargenomen. Voordat een infectie het bot aantast, moet die echter al geruime tijd aanwezig zijn in het lichaam. Kenmerkende botveranderingen bij lepra zijn aantasting van de schedel in en rondom de neusholte, resorptie van het kaakbot in de bovenkaak, het verlies van gebitselementen (met name de voortanden in de bovenkaak) en degeneratieve veranderingen in de handen en voeten. De indirecte gevolgen van lepra (geïnfecteerde gevoelloze verwondingen of algemene ontstekingen) kunnen echter overal in het lichaam optreden. Zo kunnen beenvliesontsteking of botontsteking (zie hierboven), die velerlei oorzaken kunnen hebben, goede bijkomende indicatoren zijn voor lepra.

Er zijn twee individuen aangetroffen welke mogelijk aan lepra hebben geleden (individuen 107 en 186). Individu 107 (vrouw, 66-75 jaar) vertoont destructieve geïnfecteerde veranderingen in de vingers (fig. 24) van beide handen in combinatie met bijholteontsteking en beenvliesontsteking in de onderbenen.

[30] Roberts 2020 ; Brenner & Touati 2021.
[31] Roberts 2020 ; Brenner & Touati 2021.

De vrouw had alle gebitselementen voor de dood verloren, maar gezien de oudere sterfteleeftijd is dit niet opvallend en kan dit niet als indicator voor lepra worden gezien. Als gevolg van de sterke fragmentatie van dit individu waren het aangezicht en de voeten beperkt inspecteerbaar op lepra.

Individu 122 (man, 25-29 jaar) vertoonde destructieve botveranderingen in de hielen, de grote tenen en mogelijk de linker pols (fig. 25, 26, 27 en 28). Van de rechter teen leek nog slechts een stompje bot over te zijn (fig. 26 en 27). Van dit individu was geen schedel meer bewaard gebleven ter inspectie op lepra.

Vermoedelijk dateren beide individuen uit een periode waarin lepra in de Lage Landen amper nog voorkomt. Dat beide individuen aan lepra leden zou dan ook uitzonderlijk zijn. Zonder hulp van DNA-onderzoek is het onmogelijk om met zekerheid vast te stellen of de individuen wel of niet aan lepra leden.

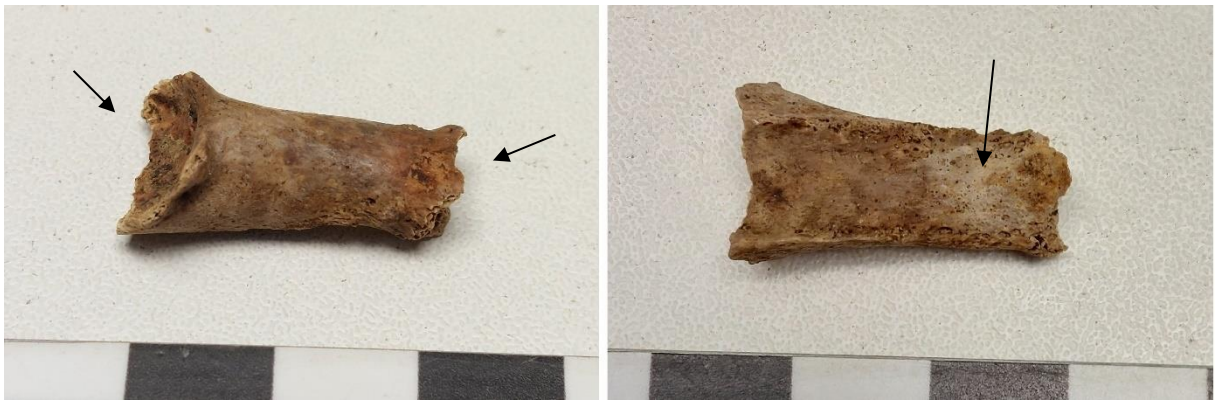

Figuur 24: De voor- en achterzijde van een vingerkootje van individu 107 met typische destructieve veranderingen aan de gewrichtsuiteinden en een laagje poreus bot als gevolg van een ontsteking aan de achterzijde van het vingerkootje, vermoedelijk als gevolg van lepra.

Figuur 25: Destructieve veranderingen in de linker hiel van individu 122, vermoedelijk als gevolg van lepra.

Figuur 26: Destructieve veranderingen in de middenvoetsbeentjes van de grote tenen en de kootjes van de grote tenen van individu 122, vermoedelijk als gevolg van lepra.

Figuur 27: Het enige stompje wat over is gebleven van de rechter grote teen van individu 122, na destructieve botveranderingen, vermoedelijk als gevolg van lepra.

Figuur 28: Lichte destructieve veranderingen in de distale linker ellepijp van individu 122, mogelijk als gevolg van lepra.

*Jicht*

*Jicht* is een door urinezuurkristallen veroorzaakte ontsteking van een gewricht. Meestal wordt *jicht* aangetroffen in de voet of in het grote teengewricht.

Bij drie individuen is vermoedelijk jicht aangetroffen. Alle drie de individuen vertoonden jicht in de middenvoetsbeentjes van de grote teen (fig. 29).

Figuur 29: Jicht in het middenvoetsbeentje van de rechter grote teen van individu 222.

| Individu | Spoor | Vnr | Geslacht | Leeftijd | Leeftijds range | Infectie |
|---|---|---|---|---|---|---|
| **101** | 23 | 28 | M | 20-25 | 18-25 | longontsteking links |
| **107** | 33 | 68 | V | 66-75 | >50 | bijholteontsteking, beenvliesontsteking beide benen, mogelijk lepra |
| **109** | 35 | 149 | V | 20-29 | 18-25 | Hersenvliesontsteking |
| **113** | 42 | 116 | M | 64,33 | >50 | Bijholteontsteking |
| **115** | 44 | 102 | V | 30-60 | 25-50 | beenvliesontsteking rechter onderkaak (doorgeslagen infectie) |
| **116** | 45 | 123 | M | 30-34 | 25-50 | beenvliesontsteking rechter onderbeen (plaatselijke verwonding) |
| **120** | 52 | 185 | M | 50-65 | >50 | Hersenvliesontsteking |
| **122** | 55 | 174 | M | 25-29 | 25-50 | mogelijk lepra |
| **128.1** | 60 | 191 | V | 40-80 | >50 | hersenvliesontsteking, bijholteontsteking |
| **136** | 68 | 255 | V | 30-60 | 25-50 | beenvliesontsteking rechter onderbeen (plaatselijke verwonding) |
| **152** | 88 | 272 | M | 52 | >50 | beenvliesontsteking linker onderbeen (plaatselijke verwonding) |
| **159** | 77 | 374 | M | 50-65 | >50 | TBC |
| **160** | 99 | 358 | V | 25-34 | 25-50 | bijholteontsteking, beenvliesontsteking beide gehele benen en bekken |
| **183** | 125 | 480 | M | 40-80 | >50 | Jicht |
| **186** | 126 | 479 | M | 30-39 | 25-50 | longontsteking links |
| **189** | 111 | 512 | M | 30-39 | 25-50 | Jicht |
| **201** | 10 | 5 | M? | 30-34 | 25-50 | geheelde beenvliesontsteking beide benen |
| **212** | 22 | 39 | M | 50-60 | >50 | beenvliesontsteking linker onderbeen (deels weggewassen) |
| **220** | 31 | 40 | M | 20-40 | 25-50 | hersenvliesontsteking, bijholteontsteking |
| **222** | 30 | 50 | M | 66 | >50 | Jicht |
| **224** | 33 | 59 | V | 51 | >50 | beenvliesontsteking linker onderbeen (plaatselijke verwonding) met botontsteking |

Tabel 3: De verschillende soorten infecties per individu.

**Deficiëntieziekten**

*Cribra orbitalia*

*Cribra orbitalia* zijn poreuze plekken in de oogkassen (fig. 30). Deze porositeit is het gevolg van een chronische bloedarmoede, wat wordt veroorzaakt door een chronisch ijzertekort. Door het chronische ijzer- en bloedtekort kan het beenmerg gaan uitzetten, waardoor de cortex wordt aangetast. Hierdoor ontstaat en poreus oppervlak. De exacte oorzaak van *cribra* staat nog ter discussie. De chronische bloedarmoede of het ijzertekort kan ontstaan als gevolg van een tekort aan bepaalde voedingsstoffen (eventueel als gevolg van een infectieziekte[32]).

Eén individu vertoonde *cribra orbitalia* (individu 179, man, 52-61 jaar). Het is onduidelijk of de deficiëntie is ontstaan als gevolg van een voedingstekort of als gevolg van een infectie.

Figuur 30: *Cribra orbitalia* in de rechter oogkas van individu 179.

*Rachitis*

*Rachitis* (ofwel de Engelse ziekte genoemd) zijn kromme beenderen als gevolg van een chronisch vitamine D-tekort (fig. 31). Als gevolg van een chronisch tekort aan vitamine D kunnen de beenderen in het lichaam niet voldoende calcium opnemen, waardoor de botten verzwakken. Dit heeft als gevolg dat de beenderen die het meest worden belast, kunnen vervormen. In de meeste gevallen zijn alleen de benen aangetast, maar indien de ziekte op zeer jonge leeftijd is voorgekomen, kunnen ook de opperarmen zijn aangedaan als gevolg van de belasting op de armen bij het kruipen.

*Rachitis* is bij twee individuen waargenomen. Bij één individu in de onderbenen (individu 117, man, 25-29 jaar) en bij één individu in de dijbeentjes (individu 209, kind, 5-7 jaar).

[32] Alders & van der Linde 2011, 42-43.

Figuur 31: *Rachitis* in het linker scheenbeen van individu 117.

*Emailhypoplasie*

*Emailhypoplasie* is een gebitsaandoening en kan worden herkend door de aanwezigheid van lijnen of deuken (*pitting*) in het tandglazuur (fig. 32), die ontstaan als gevolg van een tijdelijke stop in de groei van het gebitselement tijdens de ontwikkeling (dit vindt plaats in de eerste zes levensjaren van een individu). *Emailhypoplasie* is een indicator voor een voedingstekort of een ernstige ziekte gedurende de jeugd, waardoor de tijdelijke stop in de ontwikkeling van het gebitselement plaatsvindt. *Emailhypoplasie* is bij vijf individuen waargenomen.

Figuur 32: *Emailhypoplasie* bij individu 101.

| Individu | Spoor | Vnr | Geslacht | Leeftijd | Leeftijdsrange | Deficiëntie |
|---|---|---|---|---|---|---|
| **101** | 23 | 28 | M | 20-25 | 18-25 | *Emailhypoplasie* |
| **109** | 35 | 149 | V | 20-29 | 18-25 | *Emailhypoplasie* |
| **117** | 46 | 133 | M | 25-29 | 25-50 | *rachitis onderbenen* |
| **149** | 80 | 284 | K | 12-15 | 12-17 | *Emailhypoplasie* |
| **175** | 91 | 476 | M | 36-45 | 25-50 | *Emailhypoplasie* |
| **179** | 97 | 450 | M | 52-61 | >50 | *cribra orbitalia* |
| **209** | 18 | 17 | K | 5-7 | 6-11 | *rachitis dijbenen* |
| **222** | 30 | 50 | M | 66 | >50 | *Emailhypoplasie* |

Tabel 4: De verschillende soorten deficiëntieziekten per individu.

**Degeneratieve gewrichtsaandoeningen**

Degenerative disc disease (DDD)

DDD, een aandoening in de wervelkolom als gevolg van een (chronische) overbelasting van de rug, is een veel voorkomende aandoening, vooral op een wat oudere leeftijd.[33] DDD kan in drie vormen voorkomen: als artrose in de wervellichamen in de vorm van pitting, polijsting en extra botvorming in het gehele wervellichaam (erosie), als deuken in de wervellichamen (*Schmorlse noduli*) en als extra botontwikkeling langs de rand van de wervellichamen (*osteofyten*). Deze drie vormen komen vaak tegelijk voor in het lichaam. Wanneer een deuk in het wervellichaam (*Schmorlse noduli*) doorloopt tot aan de zenuwbaan wordt dit een hernia genoemd.

Bij 47 volwassen individuen zijn delen van de wervelkolom aangetroffen. Van deze 47 individuen hebben er 32 (68%) één of meerdere vormen van DDD (tabel 5). In totaal hebben 23 individuen artrose in de vorm van pitting, polijsting en extra botvorming in het gehele wervellichaam (fig. 33, 34), acht individuen hebben deuken in de wervellichamen (fig. 36) waarbij er bij twee individuen spraken is van een hernia, en 25 individuen hebben extra botvorming langs de rand van de wervellichamen (fig. 33, 35). Degeneratie in de wervelkolom komt vaker voor bij mannen als bij vrouwen en *Schmorlse noduli* komen alleen maar bij mannen voor. Alleen artrose in de vorm van pitting, polijsting en extra botvorming, komt verhoudingsgewijs vaker voor bij vrouwen (fig. 37). Dit patroon zal vermoedelijk arbeidsgerelateerd zijn, waarbij mannen doorgaans vaker zwaarder lichamelijk belastend werk uitvoerden als vrouwen. Tevens zal de sterfteleeftijd een rol hebben gespeeld bij de ontwikkeling van de artrose. Van alle individuen met artrose in de wervelkolom, was bijna 69% ouder dan 40 jaar (N=35), waarbij het voorkomen van artrose een normaal verschijnsel is. Slechts vijf individuen waren onder de 30 jaar oud.

Bij vier individuen zijn meerdere wervels met elkaar verbonden door middel van een zogenaamde botbrug. Twee van deze individuen leden aan de ziekte van Bechterew en twee individuen leden aan DISH. Deze aandoeningen zullen verderop onder het hoofdstuk ‘Overige ziekten’ worden behandeld.

*Vertebrale osteoartrose (VOA)*

VOA is ook een aandoening in de wervelkolom als gevolg van een (chronische) overbelasting van de rug, maar dan in de facetgewrichten[34] van de wervels (fig. 34). VOA komt vaak in combinatie met DDD voor en wordt meestal aangetroffen bij individuen met een wat oudere leeftijd bij overlijden (tabel 5). VOA is bij tien individuen aangetroffen. Bij drie individuen zijn de halswervels gefuseerd (*ankylose*, zie verderop), vermoedelijk als gevolg van de hevige VOA in de betreffende wervels en bij één individu als gevolg van de ziekte van Bechterew (zie verderop). VOA is aangetroffen bij mannen en vrouwen, waarbij het verhoudingsgewijs iets vaker voorkomt bij mannen als bij vrouwen.

[33] Mann & Hunt 2005, 94-95.

[34] De facetgewrichten zijn de gewrichtsvlakjes waar de wervels, buiten de centrale wervellichamen, onderling mee in verband staan.

Figuur 33: Halswervel van individu 183 met artrose in het wervellichaam zelf en osteofyten.

Figuur 34: Halswervel van individu 222 met artrose in het wervellichaam zelf en VOA in het rechter facetgewricht.

Figuur 35: Borstwervel van individu 140 met osteofyten.

Figuur 36: Borstwervel van individu 152 met *Schmorlse noduli*.

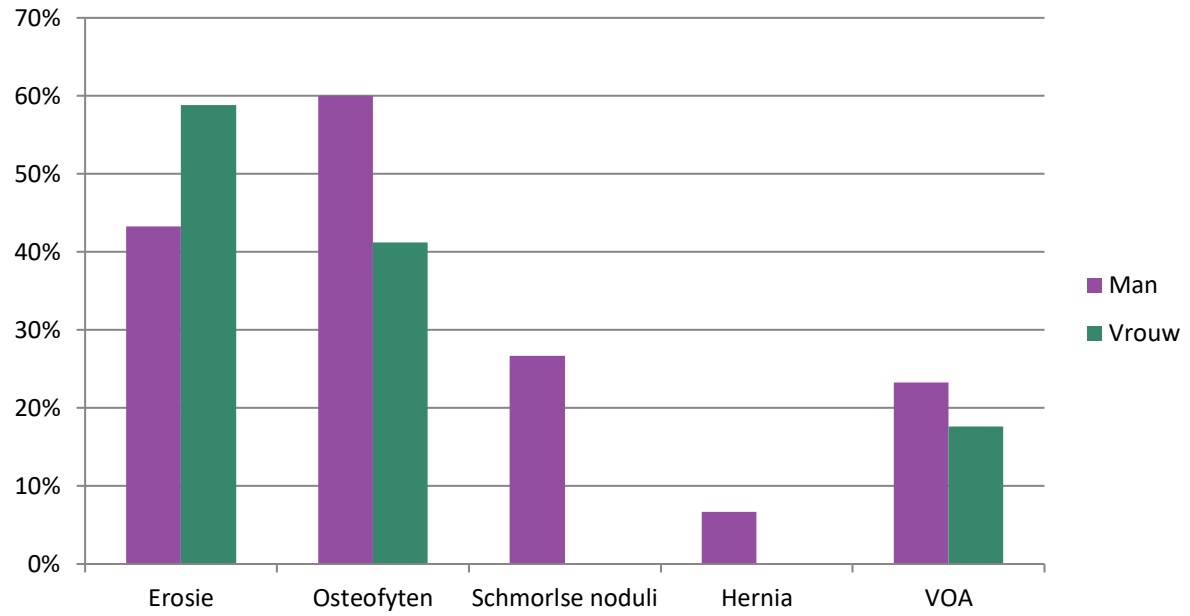


Figuur 37: Percentage van het voorkomen van de verschillende vormen van degeneratie in de wervelkolom per geslacht bij de individuen waar nog een (deel van de) wervelkolom bewaard was gebleven.[35]

[35] De percentages zijn gebaseerd bij de mannen op N=30 en bij de vrouwen op N=17.

| Individu | Spoor | Vnr | Geslacht | Leeftijd | Leeftijdsrange | C | | | T1-6 | | | | | T7-12 | | | | | L | | | | S | | |
|---|---|---|---|---|---|---|---|---|---|---|---|---|---|---|---|---|---|---|---|---|---|---|---|---|---|
| | | | | | | Osteofyten | Erosie | VOA | Schmorl's | Herniae | Osteofyten | Erosie | VOA | Schmorl's | Herniae | Osteofyten | Erosie | VOA | Schmorl's | Osteofyten | Erosie | VOA | Osteofyten | Erosie | VOA |
| 101 | 23 | 28 | M | 20-25 | 18-25 | | | | | | | | | | | | | | | | | | | | |
| 104 | 30 | 65 | V | 40-80 | >50 | | | | | | | | | | | | | | | | | | | | |
| 107 | 33 | 68 | V | 66-75 | >50 | | | | | | | | | | | | | | | | | | | | |
| 113 | 42 | 116 | M | 64,33 | >50 | | | | | | | | | | | | | | | | | | | | |
| 114 | 43 | 134 | V | 40-44 | 25-50 | | | | | | | | | | | | | | | | | | | | |
| 116 | 45 | 123 | M | 30-34 | 25-50 | | | | | | | | | | | | | | | | | | | | |
| 120 | 52 | 185 | M | 50-65 | >50 | | | | | | | | | | | | | | | | | | | | |
| 122 | 55 | 174 | M | 25-29 | 25-50 | | | | | | | | | | | | | | | | | | | | |
| 125 | 54 | 181 | M | 30,33 | 25-50 | | | | | | | | | | | | | | | | | | | | |
| 128.1 | 60 | 191 | V | 40-80 | >50 | | | | | | | | | | | | | | | | | | | | |
| 128.2 | 4 | 7 | V | 30-60 | 25-50 | | | | | | | | | | | | | | | | | | | | |
| 137 | 69 | 280 | V | 46 | 25-50 | | | | | | | | | | | | | | | | | | | | |
| 138 | 70 | 303 | M | 20-29 | 18-25 | | | | | | | | | | | | | | | | | | | | |
| 140 | 21 | 317 | M | 52-61 | 25-50 | | | | | | | | | | | | | | | | | | | | |
| 141 | 22 | 299 | V | 20+ | | | | | | | | | | | | | | | | | | | | | |
| 144 | 65 | 288 | M? | 35-55 | 25-50 | | | | | | | | | | | | | | | | | | | | |
| 147 | 75 | 309 | V | 25-34 | 25-50 | | | | | | | | | | | | | | | | | | | | |
| 148 | 76 | 329 | M | 45-49 | 25-50 | | | | | | | | | | | | | | | | | | | | |
| 150 | 86 | 302 | M | 60+ | >50 | | | | | | | | | | | | | | | | | | | | |
| 152 | 88 | 272 | M | 52 | >50 | | | | | | | | | | | | | | | | | | | | |
| 155 | 79 | 379 | V | 37-46 | 25-50 | | | | | | | | | | | | | | | | | | | | |
| 159 | 77 | 374 | M | 50-65 | >50 | | | | | | | | | | | | | | | | | | | | |
| 166 | 84 | 390 | M | 60+ | >50 | | | | | | | | | | | | | | | | | | | | |
| 174 | 117 | 428 | M | 35-39 | 25-50 | | | | | | | | | | | | | | | | | | | | |
| 175 | 91 | 476 | M | 36-45 | 25-50 | | | | | | | | | | | | | | | | | | | | |
| 176 | 118 | 429 | V | 45-49 | 25-50 | | | | | | | | | | | | | | | | | | | | |
| 179 | 97 | 450 | M | 52-61 | >50 | | | | | | | | | | | | | | | | | | | | |
| 183 | 125 | 480 | M | 40-80 | >50 | | | | | | | | | | | | | | | | | | | | |
| 184 | 121 | 464 | M | 29 | 25-50 | | | | | | | | | | | | | | | | | | | | |
| 186 | 126 | 479 | M | 30-39 | 25-50 | | | | | | | | | | | | | | | | | | | | |
| 212 | 22 | 39 | M | 50-60 | >50 | | | | | | | | | | | | | | | | | | | | |
| 219 | 28 | 28 | V | 40-44 | 25-50 | | | | | | | | | | | | | | | | | | | | |
| 220 | 31 | 40 | M | 20-40 | 25-50 | | | | | | | | | | | | | | | | | | | | |
| 222 | 30 | 50 | M | 66 | >50 | | | | | | | | | | | | | | | | | | | | |
| 224 | 33 | 59 | V | 51 | >50 | | | | | | | | | | | | | | | | | | | | |

Tabel 5: Degeneratieve gewrichtsveranderingen in de wervelkolom.

*Perifere osteoartrose (POA)*

POA is eveneens een vorm van artrose en kan in elk gewricht voorkomen behalve in de rug (in dat geval heet het DDD of VOA). POA komt meestal voor als gevolg van een chronische overbelasting van het gewricht en hangt vaak samen met ouderdom. De aandoening is bij 23 individuen aangetroffen (tabel 6). POA is aangetroffen in het kaakgewricht (fig. 38), de borst (fig. 39), de schouders (fig. 40), de ellebogen (fig. 41), de polsen, de handen (fig. 42), de heupen (fig. 43), de knieën (fig. 44), de enkels, de voeten en de proximale ribben (fig. 45). De vaakst aangetaste gewrichten zijn de heupen en de schouders, waarna de proximale ribben, de knieën en de overige gewrichten. De enkels en voeten zijn slechts bij één individu aangetast.

Bij mannen is naar verhouding vaker POA aangetroffen dan bij vrouwen (fig. 46). Alleen in het kaakgewricht en in de handen is POA iets vaker aangetroffen bij vrouwen als bij mannen. De POA is deels gerelateerd aan de sterfteleeftijd: negentien individuen waren boven de 40 jaar oud, maar zal vermoedelijk voor een deel ook arbeidsgerelateerd zijn.

Figuur 38: Artrose (POA) in het linker kaakgewricht van individu 147

Figuur 39: Artrose (POA) in het rechter sleutelbeen (borst) van individu 125.

Figuur 40: Artrose (POA) in de linker schouder van individu 222.

Figuur 41: Artrose (POA) in de linker elleboog van individu 222 met eburnatie in de opperarm (polijsting, zie pijl).

Figuur 42: Artrose (POA) in het middenhandsbeentje van de rechter middelvinger van individu 175.

Figuur 43: Artrose (POA) in de linker heup van individu 166 met eburnatie (polijsting, zie pijl).

Figuur 44: Artrose (POA) in de rechter knie van individu 113.

Figuur 45: Artrose (POA) in een proximale rechter rib van individu 113.

| Individu | Spoor | Vnr | Geslacht | Leeftijd | Leeftijdsrange | Kaakgewricht | | Borst (sleutelbeen) | | Schouder | | Elleboog | | Pols | | Hand | | Heup | | Knie | | Enkel | | Voet | | Wervel-rib | |
|---|---|---|---|---|---|---|---|---|---|---|---|---|---|---|---|---|---|---|---|---|---|---|---|---|---|---|---|
| | | | | | | R | L | R | L | R | L | R | L | R | L | R | L | R | L | R | L | R | L | R | L | R | L |
| 107 | 33 | 68 | V | 66-75 | >50 | | | | | | | | | | | | | | | | | | | | | | |
| 113 | 42 | 116 | M | 64,33 | >50 | | | | | | | | | | | | | | | | | | | | | | |
| 116 | 45 | 123 | M | 30-34 | 25-50 | | | | | | | | | | | | | | | | | | | | | | |
| 120 | 52 | 185 | M | 50-65 | >50 | | | | | | | | | | | | | | | | | | | | | | |
| 122 | 55 | 174 | M | 25-29 | 25-50 | | | | | | | | | | | | | | | | | | | | | | |
| 125 | 54 | 181 | M | 30,33 | 25-50 | | | | | | | | | | | | | | | | | | | | | | |
| 128.1 | 60 | 191 | V | 40-80 | >50 | | | | | | | | | | | | | | | | | | | | | | |
| 128.2 | 4 | 7 | V | 30-60 | 25-50 | | | | | | | | | | | | | | | | | | | | | | |
| 140 | 21 | 317 | M | 52-61 | 25-50 | | | | | | | | | | | | | | | | | | | | | | |
| 141 | 22 | 299 | V | 20+ | | | | | | | | | | | | | | | | | | | | | | | |
| 144 | 65 | 288 | M? | 35-55 | 25-50 | | | | | | | | | | | | | | | | | | | | | | |
| 147 | 75 | 309 | V | 25-34 | 25-50 | | | | | | | | | | | | | | | | | | | | | | |
| 150 | 86 | 302 | M | 60+ | >50 | | | | | | | | | | | | | | | | | | | | | | |
| 152 | 88 | 272 | M | 52 | >50 | | | | | | | | | | | | | | | | | | | | | | |
| 155 | 79 | 379 | V | 37-46 | 25-50 | | | | | | | | | | | | | | | | | | | | | | |
| 159 | 77 | 374 | M | 50-65 | >50 | | | | | | | | | | | | | | | | | | | | | | |
| 166 | 84 | 390 | M | 60+ | >50 | | | | | | | | | | | | | | | | | | | | | | |
| 175 | 91 | 476 | M | 36-45 | 25-50 | | | | | | | | | | | | | | | | | | | | | | |
| 176 | 118 | 429 | V | 45-49 | 25-50 | | | | | | | | | | | | | | | | | | | | | | |
| 179 | 97 | 450 | M | 52-61 | >50 | | | | | | | | | | | | | | | | | | | | | | |
| 183 | 125 | 480 | M | 40-80 | >50 | | | | | | | | | | | | | | | | | | | | | | |
| 211 | 20 | 35 | V | 52-61 | >50 | | | | | | | | | | | | | | | | | | | | | | |
| 222 | 30 | 50 | M | 66 | >50 | | | | | | | | | | | | | | | | | | | | | | |
| 224 | 33 | 59 | V | 51 | >50 | | | | | | | | | | | | | | | | | | | | | | |

Tabel 6: *Perifere osteoartrose* (POA) per individu per gewricht.

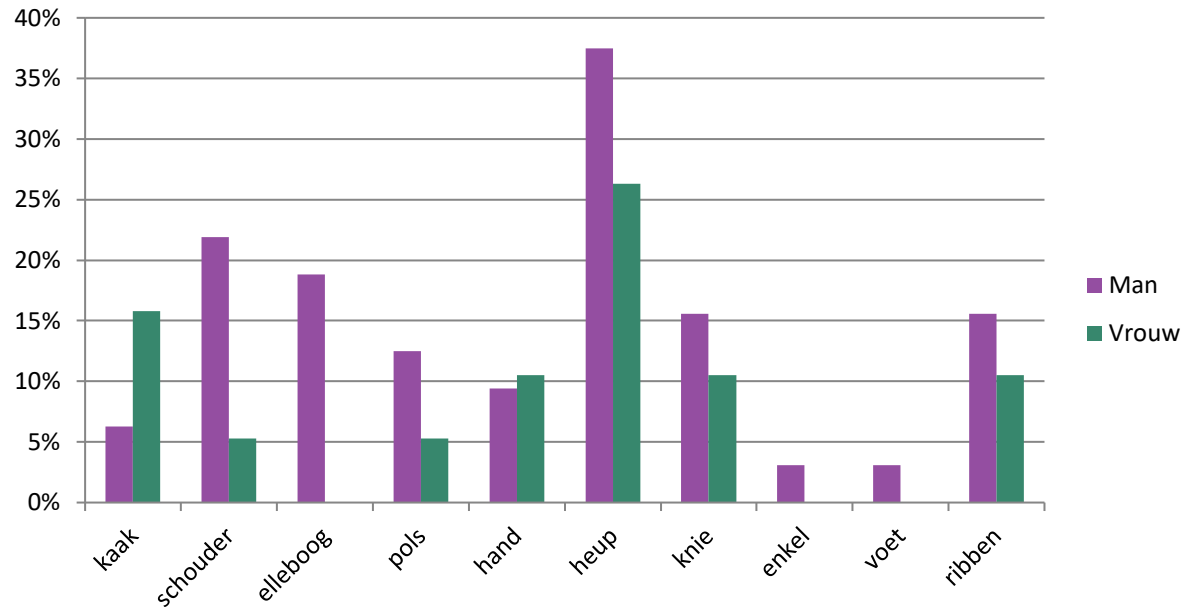


Figuur 46: Het aantal voorkomen van POA in de verschillende gewrichten per geslacht.

### Overige ziekten

*Ankylose*

*Ankylose* is de onderlinge verbening van meerdere skeletdelen zonder een duidelijke oorzaak.[36] *Ankylose* is bij vijf individuen aangetroffen. Bij vier individuen zijn meerdere wervels met elkaar gefuseerd. Bij twee individuen zijn twee halswervels gefuseerd vermoedelijk als gevolg van artrose (fig. 47) en bij twee individuen zijn meerdere delen van de wervelkolom gefuseerd, vermoedelijk als gevolg van de ziekte van Bechterew (een zogenaamde 'bamboo-spine', zie verderop).

Bij één individu (individu 152, man, 52 jaar) is het heiligbeen met het rechter bekkenblad gefuseerd zonder duidelijke oorzaak (fig. 48). Tabel 7 geeft een overzicht van alle aangetroffen overige ziekten.

[36] Ortner 2003, 571.

Figuur 47: *Ankylose* van twee halswervels (C4-C5) bij individu 222, vermoedelijk als gevolg van artrose in de facetgewrichtjes (VOA).

Figuur 48: *Ankylose* van het rechter bekkenblad met het heiligbeen bij individu 152.

Ziekte van Bechterew of *ankylosing spondilitis*

De ziekte van Bechterew is een aandoening waarbij een ontsteking van gewrichten in de wervelkolom en het bekken tot pijn en stijfheid kan lijden. Door abnormale botvorming rond de gewrichten in de rug en in de peesaanhechtingen treedt stijfheid op en kan de wervelkolom uiteindelijk vergroeien tot één benige zuil, een zogenaamde 'bamboo spine' (fig. 49 en 50).[37]

De ziekte van Bechterew is bij twee individuen aangetroffen, individuen 144 en 175, en mogelijk nog bij een derde individu: individu 159. Bij individu 144 (man?, 35-55 jaar) lijkt vrijwel de gehele wervelkolom te zijn gefuseerd (de typische bamboo-spine). Mogelijk begonnen de ribben ook met de wervellichamen te vergroeien en het heiligbeen met het bekken, maar door de sterke fragmentatie van het botmateriaal was dit niet meer goed inspecteerbaar.

Individu 175 (man, 36-45 jaar) vertoonde net als individu 144 een bamboo spine waar vrijwel de gehele wervelkolom was gefuseerd. Ook de middelste ribben leken beginnende fusie met de wervels te vertonen. Dit individu vertoonde tevens een botreactie in het zitbeen (aan de *ischial tuberosity*, fig. 51) wat ook een typisch kenmerk is voor deze aandoening.[38] De botreactie in het zitbeen is in te delen in categorie 4 (de meest hevige vorm), waarbij de verbening met de peesaanhechtingen tot een zeer onregelmatig oppervlakte leidt.[39]

Van individu 159 (man, 50-65 jaar) is bijna niets meer van de wervelkolom bewaard gebleven. Er zijn nog slechts vijf halswervels en twee borstwervels van dit individu bewaard gebleven. De twee borstwervels vertonen een botbrug aan beide zijden van de wervellichamen. Echter De vijfde halswervel vertoont duidelijke destructieve veranderingen die aan tuberculose zijn toe te schrijven (zie boven). Het valt niet meer te achterhalen of de verbeningen in de borstwervels bij dit individu het gevolg zijn van de ziekte van Bechterew of TBC.

[37] S.N. 2023.
[38] Jajič *et al*. 2000.
[39] Jajič *et al*. 2000.

Figuur 49: Ziekte van Bechterew in de wervelkolom van individu 175 (een zogenaamde ‘bamboo spine’).

Figuur 50: Detail van de botbrug in de wervelkolom van individu 175 als gevolg van de ziekte van Bechterew.

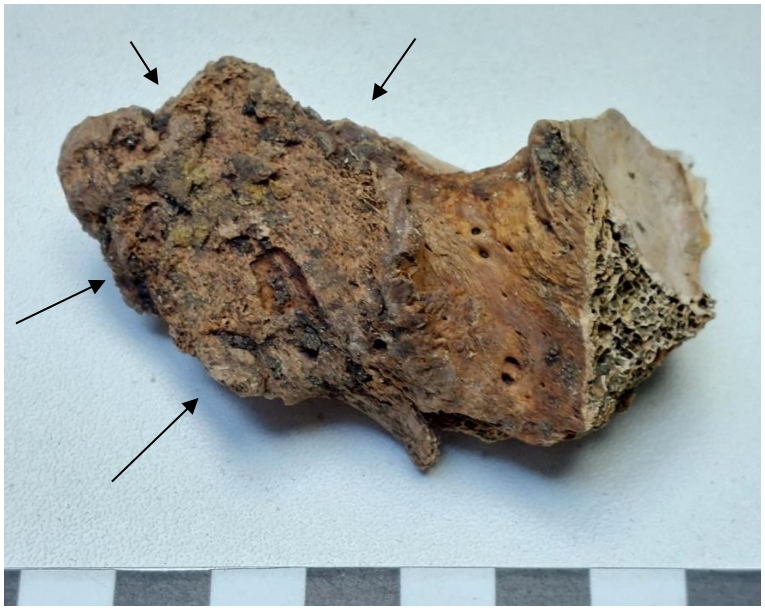

Figuur 51: Hevige botreactie aan het darmbeen van individu 175, als gevolg van de ziekte van Bechterew.

*Diffuse idiopathic skeletal hyperostosis (DISH)*

DISH is de verbening van de peesaanhechtingen als gevolg van overgewicht of diabetes en komt meestal voor bij individuen van 50 jaar en ouder. Als een individu meerdere verbeningen van de peesaanhechtingen vertoont (*entesopathiën*) in combinatie met een kenmerkende botbrug (een nieuw gevormde verbening die meerdere wervellichamen met elkaar verbind) aan de rechterzijde van ten minste vier borstwervels, heeft een individu DISH. Omdat DISH meestal voorkomt als gevolg van diabetes of overgewicht, wordt het ook wel een welvaartsziekte genoemd.[40]

Bij twee individuen is vermoedelijk DISH aangetroffen. Individu 147 (vrouw, 25-34 jaar) vertoont *entesopathieën* in de knieën en enkels en *osteofyten* aan de rechterzijde in enkele wervels. Echter bijna de gehele wervelkolom van dit individu ontbreekt, waardoor het niet meer is vast te stellen of dit individu daadwerkelijk aan DISH leed of niet. Individu 184 (man, 29 jaar) voldeed aan de diagnose DISH: vier borstwervels vertoonden een kenmerkende botbrug aan de rechter zijde (fig. 52). Bij dit individu zijn geen *entesopathieën* aangetroffen, al moet hierbij worden opgemerkt dat de knieën en voeten van dit individu ontbraken en er dus slechts één locatie in het lichaam inspecteerbaar was op entesopathiën.

[40] Ortner 2003, 559; Roberts & Manchester 2007, 159-161.

Figuur 52: Botbrug aan de rechterzijde van de wervelkolom bij individu 184, als gevolg van DISH.

*Dystophische calcinosis cutis*

*Dystofische calcinosos cutis* is een overkoepelede benaming waarbij onderhuidse kalkdeposities ontstaan. De kalkdeposities ontstaan als gevolg van een beschadiging van de dermis (tweede grote huidlaag) of de onderhuidse vetlaag als gevolg van velerlei mogelijke aandoeningen.[41]

Bij één individu (individu 137, vrouw, 46 jaar) zijn in het veld grote onderhuidse kalk deposities aangetroffen bij de billen (fig. 53 en 54). Als gevolg van de kalk deposities was een deel van het vetweefsel bewaard gebleven, waardoor het goed zichtbaar was dat de kalkdeposities zich onderhuids hadden bevonden. Onderhuidse kalkdeposities kunnen meerdere oorzaken hebben, maar bij de billen wordt gezien als een kenmerk van een auto-immuunziekte.[42] Fysisch-antropologisch zijn er na het wassen van het botmateriaal behalve hevige VOA in de wervelkolom (zie boven) geen ziekteverschijnselen waargenomen bij dit individu. In het veld is van hout een soort steun waargenomen onder de rechter arm (fig. 54, 55). De afmetingen van de kalk deposities waren behoorlijk (*ca.* 4 bij 10 cm aan beide zijden), wat doet vermoeden dat de vrouw al geruime tijd aan een auto-immuunziekte leed en mogelijk vergevorderde symptomen vertoonde waarbij mogelijk meerdere delen van het lichaam waren aangetast. Dit zou een mogelijke verklaring kunnen zijn voor de armsteun. Maar directe bewijzen daarvoor zijn niet aangetroffen.

[41] Mekkes s.d.
[42] Balin *et al*. 2012; Park *et al*. 1999, Filipa Costa Sousa *et al*. 2021.

Figuur 53: Veldfoto van individu 137 tijdens het blootleggen (het kistdeksel is hier nog aanwezig).

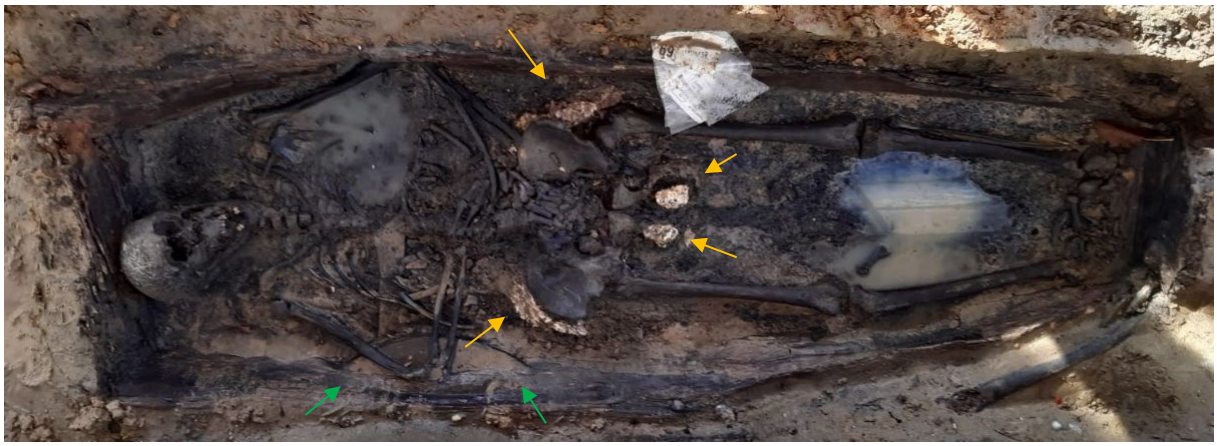

Figuur 54: Veldfoto van individu 137 na het blootleggen, waarbij de kalk deposities ter hoogte van de billen duidelijk zichtbaar zijn (de witte plekken). De groene pijlen geven de armsteun weer.

Figuur 55: Detail van de armsteun in de grafkist van individu 137.

| Individu | Spoor | Vnr | Geslacht | Leeftijd | Leeftijdsrange | Soort Overige ziekte |
|---|---|---|---|---|---|---|
| **113** | 42 | 116 | M | 64,33 | >50 | *Ankylose* twee halswervelbogen (C2-C3) |
| **137** | 69 | 280 | V | 46 | 25-50 | *Dystophische calcinosis cutis* |
| **144** | 65 | 288 | M? | 35-55 | 25-50 | Ziekte van Bechterew |
| **147** | 75 | 309 | V | 25-34 | 25-50 | Mogelijk DISH |
| **152** | 88 | 272 | M | 52 | >50 | *Ankylose* heiligbeen met rechter bekkenblad |
| **159** | 77 | 374 | M | 50-65 | >50 | Mogelijk DISH |
| **175** | 91 | 476 | M | 36-45 | 25-50 | Ziekte van Bechterew |
| **184** | 121 | 464 | M | 29 | 25-50 | DISH |
| **222** | 30 | 50 | M | 66 | >50 | *Ankylose* twee halswervelbogen (C4-C5) |

Tabel 7: De verschillende soorten overige ziekten per individu.

## Anomalieën

*Afwijkingen in schedelnaadformatie*

Er zijn drie grote schedelnaden te onderscheiden: *bregma* (voorhoofd), *sagittale* (in het midden bovenop de schedel) en *lambda* (achterhoofd). Normaal lopen de schedelnaden (*suturen*) kartelig

maar in rechte lijnen. Regelmatig worden echter afwijkingen aangetroffen binnen de formatie van deze schedelnaden. De meest voorkomende zijn *sutura metopica* en de aanwezigheid van *wormian bones*. Een *sutura metopica* houdt in dat de schedelnaad van de twee helften van het voorhoofd onvergroeid is. Normaal vergroeien deze schedelnaden voor het tweede levensjaar.[43] Een *sutura metopica* is bij zeven individuen aangetroffen (fig. 56). *Wormian bones* zijn kleine 'eilandjes' in de schedelnaden. Deze kunnen in elke schedelnaad voorkomen, maar worden het meest aangetroffen in de *lambda*. Bij drie individuen zijn *wormian bones* aangetroffen in de *lambda* schedelnaad (fig. 57).

Tabel 8 geeft een overzicht van alle vormen van anomalieën per individu.

Figuur 56: *Sutura metopica* in de schedel van individu 125.

[43] Ortner 2003, 453-463.

Figuur 57: *Wormian bones* in de *lambda* schedelnaad bij individu 120.

*Button osteoma*

Een *button osteoma* is een klein onschuldig kankergezwel aan de buitenzijde van de hersenschedel (fig. 58). *Button osteoma* is bij één individu (individu 137, vrouw, 46 jaar), aangetroffen aan de rechter zijkant van de schedel (het *os pariëtale*).

Figuur 58: *Button osteoma* aan de rechter zijkant van de schedel van individu 137.

*Avian spur*

Een *avian spur* is een normale anatomische variant waarbij een puntig benig uitsteeksel aanwezig is op de schacht van de opperarm (fig. 59). Dit kan zowel eenzijdig als enkelzijdig voorkomen bij een individu. Bij één individu (individu 136, vrouw, 30-60 jaar) was een *avian spur* aangetroffen in de rechter opperarm. De linker opperarm van dit individu was niet aanwezig voor inspectie.

Figuur 59: *Avian spur* in de rechter opperarm van individu 136.

### *Volledig gefuseerd borstbeen*

Het borstbeen bestaat bij de geboorte uit vijf benige delen, die fuseren naarmate het individu ouder wordt. Het bovenste deel (het *manubrium*) blijft normaal altijd gescheiden van het staartdeel (het *xiphoid*) door een laagje kraakbeen, maar in een enkel geval kunnen deze twee delen ook met elkaar fuseren[44]. Een volledig gefuseerd borstbeen is bij twee individuen aangetroffen (fig. 60). De borstkast zal hierdoor wat meer gefixeerd zijn geweest.

Figuur 60: Volledig gefuseerd borstbeen van individu 125.

### *Femoral plaque*

*Femoral plaque* is een depressie direct naast de proximale gewrichtskop van het dijbeen (fig. 61). De exacte oorzaak staat nog ter discussie, maar kan mogelijk in verband worden gebracht met bepaalde inspannende activiteiten.[45] Bij vijf individuen is *femoral plaque* waargenomen, waarvan vier mannelijke individuen en één vrouwelijk individu.

[44] Yekeler *et al.* 2006:,186, 956–960.
[45] Mann & Hunt 2005: 165-166.

Figuur 61: *Femoral plaque* in het rechter dijbeen van individu 144.

Gebitsafwijkingen

Er bestaan enorm veel variaties in het menselijk gebit. Binnen dit onderzoek zijn bij vier verschillende individuen afwijkingen in het gebit waargenomen. Bij individu 109 (vrouw, 20-29 jaar) was de verstandskies in de linker bovenkaak onderontwikkeld, waardoor dit element slechts een stompje was, bij individu 118 (kind, 11-15 jaar) was een extra gebitselement aanwezig tussen de eerste en tweede molaar, aan de wangzijde van de kaak, in de rechter bovenkaak (fig. 62). Bij individu 149 (kind, 12-15 jaar) groeide de hoektand in de linker onderkaak diagonaal, waardoor deze achter de 2de snijtand was doorgekomen (fig. 63). Tot slot vertoonde individu 159 (man, 50-65 jaar) *hypochondrie* (de aangeboren afwezigheid van bepaalde gebitselementen), waarbij de tweede snijtand in de rechter bovenkaak aangeboren afwezig was.

Figuur 62: Extra gebitselement tussen de eerste en tweede molaar in de rechter bovenkaak van individu 118.

Figuur 63: De hoektand in de linker bovenkaak groeide diagonaal en kwam daardoor achter de tweede snijtand door bij individu 149.

| Individu | Spoor | Vnr | Geslacht | Leeftijd | Leeftijdsrange | *Sutura metopica* | *Lambdoïd wormian bones* | *Plaque femoris* | Gefuseerd borstbeen | *Avian spur* | *Button osteoma* | Gebitsanomalie |
|---|---|---|---|---|---|---|---|---|---|---|---|---|
| 109 | 35 | 149 | V | 20-29 | 18-25 | | | | | | | onderontwikkelde verstandskies links boven (E28) |
| 118 | 50 | 166 | K | 11-15 | 12-17 | | | | | | | extra gebitselement linker bovenkaak (tussen E16 en E17) |
| 120 | 52 | 185 | M | 50-65 | >50 | | | | | | | |
| 125 | 54 | 181 | M | 50-65 | >50 | | | | | | | |
| 136 | 68 | 255 | V | 30-60 | 25-50 | | | | | | | |
| 137 | 69 | 280 | V | 46 | 25-50 | | | | | | | |
| 144 | 65 | 288 | M? | 35-55 | 25-50 | | | | | | | |
| 147 | 75 | 309 | V | 25-34 | 25-50 | | | | | | | |
| 149 | 80 | 284 | K | 12-15 | 12-17 | | | | | | | *impacted* hoektand links onder (E33) |
| 152 | 88 | 272 | M | 52 | >50 | | | | | | | |
| 155 | 79 | 379 | V | 37-46 | 25-50 | | | | | | | |
| 159 | 77 | 374 | M | 50-65 | >50 | | | | | | | *hypochondrie* (E12 ontbreekt aangeboren) |
| 175 | 91 | 476 | M | 36-45 | 25-50 | | | | | | | |
| 182 | 110 | 441 | K | 9-14 | 12-17 | | | | | | | |
| 212 | 22 | 39 | M | 50-60 | >50 | | | | | | | |
| 216 | 23 | 43 | V | 20-40 | 25-50 | | | | | | | |
| 222 | 30 | 50 | M | 66 | >50 | | | | | | | |
| 224 | 33 | 59 | V | 51 | >50 | | | | | | | |

Tabel 8: Anomalieën per individu.

### 1.3.9 Gebitsstatus

Bij de analyse van de gebitsstatus wordt er alleen gekeken naar de volwassen individuen, omdat het gebit hiervoor volgroeid moet zijn. Voor gebitsaandoeningen wordt er ook naar onvolwassenen gekeken omdat de staat van hun gebit ook al informatie kan verschaffen over de gezondheid en leefomstandigheden van de individuen.

Van de 57 volwassen individuen zijn er bij 35 kaakfragmenten aangetroffen. In totaal zijn er bij die 35 individuen met kaakfragmenten 647 gebitselementen doorgekomen. Hiervan zijn 299 gebitselementen aangetroffen in de kaak, zijn 251 gebitselementen voor de dood verloren bij in totaal

24 individuen en er zijn 97 gebitselementen na de dood verloren. In totaal waren 21 elementen aangeboren afwezig (op één snijtand bij individu 159 na, in alle gevallen verstandskiezen) en was er één boventallig gebitselement waargenomen (individu 118, kind, 11-15 jaar).

Wat betreft de gebitsaandoeningen zijn er in totaal 49 gaatjes (*cariës*) verspreid over zeventien individuen aangetroffen (1-11 *cariës* per individu), vier abcessen verspreid over drie individuen aangetroffen (1-2 abcessen per individu) en zes wortelpuntontstekingen (fig. 64) verspreid over zes individuen (1 ontstekingen per individu). Teruggetrokken tandvlees, tandsteen en kaakbotontsteking kwamen regelmatig voor, maar niet opvallend veel of weinig.

Twee individuen vertoonden opvallend veel cariës. Individu 137 (vrouw, 46 jaar) vertoonde maar liefst 11 cariës. Dit individu was begraven in een opvallende kist met een armsteun en leed aan *Dystofische calcinosos cutis* (zie boven). Individu 184 (man, 29 jaar) vertoonde 7 cariës en had tevens pijprokersgaten. De man leed aan DISH (zie boven), een zogenaamde welvaartsziekte. Mogelijk hadden deze twee individuen een relatief hoge sociale status met meer toegang tot een suikerrijk dieet.

*Emailhypoplasie* was bij vier volwassen individuen aangetroffen (fig. 32). Bij de meeste individuen was *emailhypoplasie* licht aanwezig, slechts bij één individu (individu 101, man, 20-25 jaar) was de *emailhypoplasie* in hevige mate aanwezig. Pijprokersgaten zijn bij vier individuen aangetroffen. Enkel bij mannelijke individuen. Individu 125 (man, 30 jaar) vertoonde maar liefst 5 tot 6 pijprokersgaten en rokersaanslag aan de binnenzijde van de gebitselementen (fig. 65 en 66).

Van de zeven onvolwassenen waren er zes met een inspecteerbare kaak. Eén onvolwassen individu (I149, kind, 12-15 jaar) vertoonde één *cariës* en *emailhypoplasie*. De rest van de onvolwassen individuen vertoonde geen gebitsaandoeningen.

De gezondheidstoestand van de kaken en tanden was binnen de onderzochte populatie redelijk te noemen. Er zijn redelijk wat gebitselementen voor de dood verloren, maar de hoeveelheid emailhypoplasie, abcessen, wortelpuntontstekingen en cariës komen niet uitbundig voor (op twee individuen met 7 en 11 cariës na).

Figuur 64: Wortelpuntontsteking in de rechter bovenkaak van individu 109.

Figuur 65: Pijprokersgaten in de onderkaak van individu 125.

Figuur 66: Rokersaanslag aan de binnenzijde van de gebitselementen van individu 125.

## 1.4 GRAFRITUEEL EN PERIODISERING

Alle individuen lijken op de rug te zijn begraven met gestrekte benen. De positie van de armen varieerde sterk. Grafvelden vertonen vaak variatie in de positie van de armen, maar tot nu toe zonder eenduidige of ruimere trends[46]. In eerste instantie leken veel individuen dermate compact te liggen dat er werd gedacht aan het gebruik van een lijkwade (fig. 67). Echter, wanneer er delen van de grafkisten werden aangetroffen bleek dat sommige kisten behoorlijk smal waren, wat vermoedelijk heeft geleid tot de compacte ligging van de individuen.

Figuur 67: Zeer compacte ligging van individu 125 als gevolg van een smalle grafkist.

De graforiëntatie was wisselend. De meeste individuen lagen begraven met het hoofd in het westen en de voeten in het oosten, volgens de Christelijke traditie. Echter, 29 individuen, een groot del van het grafveld, lag andersom, met het hoofd in het oosten en de voeten in het westen (fig. 68). Een afwijkende oriëntatie kan geassocieerd zijn met de sociale achtergrond van een individu, een afwijkende religie of de omstandigheden van de dood, maar kan ook onopzettelijk of juist per ongeluk zijn, of een gevolg zijn van de lay-out van bovengrondse structuren. Begravingen volgens een oost-west oriëntatie worden vaak geïnterpreteerd als priesterbegravingen, omdat zij bij het Laatste Oordeel, dat zich aankondigt in het oosten, naar hun congregatie gericht zouden zijn[47]. Dit wordt echter vooral bij begravingen binnen een kerk geconcludeerd, waarbij objecten en kledij duidelijk uitwijzen dat het individu een geestelijke betrof. Buiten de kerk worden bij andere grafvelden ook regelmatig individuen in een afwijkende oriëntatie teruggevonden, maar hiertoe behoren ook regelmatig vrouwen en kinderen, welke duidelijk geen geestelijken waren geweest. Het is onduidelijk of deze individuen een andere sociale status of religie hadden dan de individuen begraven in een reguliere west-oost oriëntatie. Aangezien 45% van de onderzochte individuen in een oost-west oriëntatie begraven lagen kan het zijn dat de oriëntatie (in latere perioden) minder belangrijk was of dat er uit praktische overwegingen geschaard werd begraven, waardoor de graven compacter ter aarde konden worden gesteld. In bijlage 7 is het grafritueel per individu terug te vinden. In fig. 68 is duidelijk te zien dat de graven zeer compact opeen lagen als gevolg van het om-en-om begraven. Door de vele verstoringen van het grafveld was het echter moeilijk na te gaan of dit een consequent gebruik was of toeval (fig. 69).

[46] Daniell 1997, 118; Gilchrist & Sloane 2005, 156.
[47] Daniell 1997, 149; Gilchrist & Sloane 2005, 153.

Een verklaring voor het gebruik van verschillende oriëntaties kan op basis van archeologische gegevens niet worden gegeven.

Figuur 68: Bewuste of onbewuste geschaarde positionering van de grafkisten, waarbij individu 113 west-oost georiënteerd begraven lag en individu 108 oost-west georiënteerd begraven lag. Op het lichaam van individu 113 zijn nog duidelijk siernagels van op het deksel van de grafkist zichtbaar.

Figuur 69: Verstoringen van de graven door kabels en leidingen in de grond.

Bij veel individuen waren nog contouren van de grafkist zichtbaar of waren zelfs nog delen van de kist zelf bewaard gebleven. Er was een verscheidenheid aan kistvormen aangetroffen, namelijk rechthoekig, trapezoïde, ruitvormig en antropomorf. Daarnaast vertoonde een deel van de grafkisten kistdecoraties in de vorm van een metalen jezus beeld op een houten kruis of siernagels (fig. 68 en 70). In veel gevallen was het niet meer mogelijk om onderscheid te maken tussen bepaalde kistvormen als

gevolg van de vervorming van de kisten in de grond en de ver vergane staat van het hout. Zo was een ruitvormige kist amper te onderscheiden van een trapezoïde kist en hadden grafkisten welke trapezoïde van vorm leken soms ook mogelijk rechthoekig geweest kunnen zijn.

Aan de hand van de grafkisten kunnen globaal drie faseringen in het grafveld worden onderscheiden (zie ook bijlagen 8, 9 en 10).

De oudste grafkisten zijn de antropomorfe kisten en dateren doorgaans rond de 12de eeuw. De grafkisten met kistdecoraties zijn te dateren eind 19de tot begin 20ste eeuw. Alle grafkisten die niet antropomorf zijn of geen kistdecoraties vertoonden vallen vermoedelijk tussen deze periodes in, dus zullen grofweg dateren van de 13de tot begin 19de eeuw. In totaal konden 51 van de onderzochte individuen in één van deze faseringen worden ingedeeld.

Figuur 70: Jezusbeeld op de kistdeksel van individu 107.

Er waren zestien graven geselecteerd voor verder onderzoek met een antropomorfe grafkist. In deze graven was het botmateriaal in de meeste gevallen zeer slecht bewaard gebleven, maar omdat dit de oudste gebruiksfase van het grafveld lijkt te zijn, zou alle informatie die hier nog uit te halen valt interessant zijn. Bij vijf van deze graven bleef echter na de vondstverwerking niets meer aan bot over. De overige elf individuen konden nog wel onderzocht worden. Van vier individuen was de bewaring echter nog dermate slecht dat alleen kon worden vastgesteld dat de individuen volwassen waren. Van vier individuen kon nog het geslacht worden bepaald, waarbij drie individuen mannelijk waren en één individu vrouwelijk. Een individu was onvolwassen met een sterfteleeftijd van 9-14 jaar. Bij twee individuen waren ziekteverschijnselen waargenomen. Individu 189 (man, 30-39 jaar) vertoonde met mogelijk jicht in de rechter voet en individu 225 (man, 30-34 jaar) vertoonde een geheeld verwonding aan de achterzijde van het rechter scheenbeen.
Omdat er weinig informatie uit de individuen uit deze fasering viel te halen is het niet mogelijk om deze periode goed te vergelijken met de andere faseringen binnen het grafveld.

Uit de middelste gebruiksperiode van het grafveld zijn 24 individuen onderzocht en uit de vroegste fase van het grafveld zijn zestien individuen onderzocht. In beide faseringen zijn zowel mannen, vrouwen als kinderen aangetroffen. Wanneer de belangrijkste onderzoeksresultaten met elkaar worden vergeleken (tabel 9) zijn er weinig grote verschillen waar te nemen. Daarnaast kunnen verschillen vertekenen als gevolg van het kleine sample. Het grootste verschil tussen beide fases is de man-vrouw verhouding. In de meest recente periode zijn ruim drie keer zoveel mannen aangetroffen dan vrouwen, terwijl de man-vrouw verhouding in de voorafgaande periode ongeveer 1-1 is. Op basis van fysisch antropologische kenmerken is hier geen verklaring voor te geven. Het gebruik van de begraafplaats zou vlak voor het begin van de Eerste Wereldoorlog zijn gestopt. Een mogelijke verklaring zou zijn dat men gesneuvelde soldaten gedurende de Eerste Wereldoorlog op het grafveld hadden bijgezet. Ware het niet dat de individuen die binnen dit onderzoek in de laatste fase lijken te dateren, hier ingedeeld zijn wegens kistdecoraties. Het is zeer onwaarschijnlijk dat men gedurende de

oorlog kistdecoraties op de kisten plaatste. Daarnaast lag de gemiddelde sterfteleeftijd in deze periode vrij hoog, wat het onwaarschijnlijk maakt dan deze individuen gesneuvelde soldaten waren. De meerderheid aan mannen ten opzichte van vrouwen gedurende de laatste fase van het grafveld kan dus niet worden verklaard door de bijzetting van gesneuvelde soldaten. Het is daarom waarschijnlijk dat de man-vrouw verhouding vertekend is door de kleine sample.
Een ander opmerkelijk verschil tussen beide fases was het voorkomen van POA. In beide perioden komt POA ongeveer evenveel voor, maar in de meest recente periode werd POA in vrijwel alle gewrichten aangetroffen, terwijl het voorkomen van POA in de voorafgaande periode beperkt leek tot de schouders, de heupen, de knieën en de kaak gewrichten. Dit zou weer het gevolg van de kleine sample kunnen zijn, maar kan ook te maken hebben met een verandering in arbeidsgerelateerde belasting van het lichaam. Degeneratie in de wervelkolom leek in de meest recente periode iets vaker voor te komen. Cariës werden in de recentste periode veelvuldig aangetroffen en in de voorafgaande periode een stuk minder. Echter, dit heeft er vermoedelijk mee te maken dat er in de middelste periode veel meer gebitselementen voor de dood waren verloren als in de meest recente periode, waardoor cariës niet meer waarneembaar zijn.
De gemiddelde sterfteleeftijd ligt in de meest recente periode bijna drie jaar hoger als in de voorgaande periode, maar dat kan evenwel het gevolg van de grootte van de selectie en hoeft niet per se te duiden op een betere levenskwaliteit.
Er waren te weinig individuen per periode beschikbaar waar een lichaamslengteberekening mogelijk was, om de gemiddelde lichaamslengte onderling te kunnen vergelijken.
Wanneer de hoeveelheid trauma percentueel per periode wordt vergeleken, lijkt trauma in de recentste periode veel vaker voor te komen. Echter, deze percentages zijn gebaseerd op drie individuen uit de meest recente periode en twee individuen uit de voorafgaande periode. Dit zal dus eerder vertekenen door het lage voorkomen van trauma. Dit zelfde geldt voor het voorkomen van *emailhypoplasie*, waarbij de percentages zijn gebaseerd op één en twee individuen per periode.

| Vergelijkingsmateriaal | 13de-begin 19de eeuw | eind 19de eeuw-20ste eeuw |
|---|---|---|
| Aantal individuen onderzocht | 24 | 16 |
| Man-vrouw ratio[48] | 1-1,1 | 3,3-1 |
| Gemiddelde sterfteleeftijd[49] | 45,5 | 48,2 |
| Percentage kinderen | 12,5% | 18,8% |
| Geheelde botbreuken | 8,3% (N=2) | 18,8% (N=3) |
| Infecties | 33,3% (N=8) | 37,5% (N=6) |
| *Jicht* | 4,2% (N=1) | 6,3% (N=1) |
| *Emailhypoplasie* | 4,2% (N=1) | 12,5% (N=2) |
| POA | 45,8% (N=11) | 43,8% (N=7) |
| Degeneratie wervelkolom (DDD+VOA) | 66,7% (N=16) | 75% (N=12) |
| DISH | 4,2% (N=1) | 6,3% (N-1) |
| *Cariës* | 16,7% (3,7% van alle oorspronkelijk doorgekomen gebitselementen) | 37,5% (12,9% van alle oorspronkelijk doorgekomen gebitselementen) |
| Gebitselementen voor de dood verloren | 50% (63% van alle oorspronkelijk doorgekomen gebitselementen) | 50% (39,2% van alle oorspronkelijk doorgekomen gebitselementen) |

Tabel 9: Vergelijking van de belangrijkste onderzoeksresultaten per periode.[50]

Een opvallend verschijnsel binnen dit onderzoek was het mogelijke voorkomen van lepra bij twee individuen. Beide individuen lijken op basis van de grafkisten te dateren in de meest recente periode. Echter in deze periode kwam lepra eigenlijk vrijwel niet meer voor in de Lage Landen. Het is de vraag of deze individuen mogelijk toch uit een eerdere periode dateren, of toch aan een andere aandoening hebben geleden of daadwerkelijk uitzonderlijke gevallen van lepra aan het eind van de 19de - begin 20ste eeuw waren. Opvallend is wel dat beide individuen dicht bij elkaar begraven lagen (fig. 71). Dit kan echter ook toevallig zijn.

[48] Deze aantallen zijn ter indicatie, maar vertekenen vermoedelijk als gevolg van het kleine sample.
[49] Hier is geen opsplitsing gemaakt per geslacht omdat de hoeveelheden te laag waren voor een vergelijking per geslacht.
[50] Het aantal individuen staat achter de percentages vermeld (N), om aan te geven dat de percentages soms op zeer lage aantallen zijn gebaseerd en daardoor een vertekend beeld kunnen opleveren.

Wanneer het voorkomen van overige infecties binnen dit onderzoek wordt geplot op de vlaktekening lijken er geen concentraties of patronen te bestaan. Ook in het voorkomen van de zogenaamde welvaartsziekten DISH en *jicht* lijken geen patronen zichtbaar in spreiding over het grafveld. De opgegraven strook van het grafveld bevond zicht aan de meest zuidelijke grens van de begraafplaats, het is daarom waarschijnlijk dat alle individuen een vergelijkbare sociale status hadden.

Mannen, vrouwen en kinderen liggen door heel het grafveld verspreid. Er lijken geen concentraties per geslacht voor te komen en er lijkt geen speciale kinderhoek te zijn geweest binnen de opgegraven zone.

## 1.5 DISCUSSIE

Van de 120 opgegraven individuen uit het Sint-Medardusplein te Wijtschate, waren 68 individuen geselecteerd voor verder onderzoek. Na de vondstverwerking bleek dat er van vijf individuen niets meer bewaard was gebleven. Deze individuen vielen daardoor af voor verder onderzoek. Eén geselecteerd individu bleek tijdens het onderzoek uit twee individuen te bestaan, waardoor het totale aantal onderzochte individuen op 64 kwam.

Om een uitspraak te kunnen doen betreffende de gezondheidstoestand in Wijtschate ten opzichte van andere Vlaamse steden, is er een vergelijking gemaakt met de onderzoeksresultaten van drie grootschalige onderzochte grafveldpopulaties, namelijk Ieper de Meersen[51], Gent Sint-Janskerk[52] en Mechelen Sint-Romboutskerkhof[53], en een nabijgelegen kleinere site, namelijk Wervik Sint-Medardusstraat[54]. Een overzicht van de vergeleken resultaten is te vinden in tabel 10.

De verhouding man-vrouw-kind in Wijtschate geeft een beeld wat niet helemaal past bij een begraafplaats van de lokale bevolking. De man-vrouw verhouding was 1,7-1, wat aangeeft dat er veel meer mannen waren aangetroffen dan vrouwen. Daarnaast was het percentage onvolwassenen relatief laag. Wanneer naar andere grafvelden wordt gekeken, kan de man-vrouw verhouding nogal wisselend zijn, maar 1,7-1 is een flink verschil. Er zijn geen directe oorzaken voor dit verschil aangetroffen. Mogelijk is de scheve verhouding het gevolg van het relatief kleine aantal onderzochte individuen.

De lage hoeveelheid kinderen had vermoedelijk voor een groot deel te maken met de slechtere bewaring van het botmateriaal. De beenderen van onvolwassenen zijn een stuk brozer dan die van volwassen individuen, waardoor deze sneller vergaan. Het is daarnaast mogelijk dat kinderen (in een bepaalde periode) in een aparte hoek op de begraafplaats werden bijgezet en dit deel van het grafveld buiten het opgravingsareaal lag.

De gemiddelde sterfteleeftijd en lichaamslengte waren iets aan de hoge kant ten opzichte van andere onderzoeken in Vlaanderen. Met name de sterfteleeftijd van de vrouwen was hoog in Wijtschate.

Het voorkomen van traumata was gemiddeld ten opzichte van andere onderzoeken. Het voorkomen van infecties was in Wijtschate echter vrij hoog, al kwamen er in Mechelen meer infecties voor. Opvallend is dat deficiënties in Wijtschate zeer weinig voorkwamen. *Cribra orbitalia* kwam amper voor en ook *emailhypoplasie* was weinig aangetroffen. Het voorkomen van VOA was gemiddeld. Het voorkomen van DDD en POA was relatief hoog ten opzichte van de grote steden, maar ongeveer gelijk ten opzichte de kleine(re) stad Wervik.

Jicht en DISH, zogenaamde welvaartsziekten, kwamen relatief veel voor ten opzichte van de grote steden, maar ongeveer in gelijke hoeveelheid ten opzichte van Wervik. De gezondheidstoestand van het gebit was redelijk goed ten opzichte van andere onderzoeken.

[51] De Groote *et al.* 2022.
[52] Pijpelink 2022.
[53] Van de Vijver 2018.
[54] Pijpelink 2023.

Concluderend lijkt het er op dat de inwoners van Wijtschate een welvarend leven hadden met voldoende levensmiddelen ter beschikking, met zware fysieke arbeid en niet al te beste hygiënische leefomstandigheden waardoor infecties zich makkelijk konden manifesteren.

Dit past bij wat verwacht kan worden bij een boerengemeenschap. Aangezien Wijtschate een belangrijk dorp was voor de voedselvoorziening van Ieper is het logisch dat de boeren zelf voldoende voedingsmiddelen ter beschikking hadden. Echter het boerenbestaan is fysiek zwaar werk en ging mogelijk gepaard met slechtere hygiënische leefomstandigheden als in de steden.

| Vergelijkingsmateriaal | | Wijtschate Sint-Medardusplein 12de-20ste eeuw | Wervik Sint-Medarduskerkhof[55] 11de-19de eeuw | Gent Sint-Janskerk[56] 10de-18de eeuw | Ieper de Meerssen[57] 12de-16deeeuw | Mechelen Sint-Romboutskerkhof[58] 12de-18de eeuw |
|---|---|---|---|---|---|---|
| Aantal individuen onderzocht | | 64 | 60 | 546 | 502 | 400 |
| Sterfteleeftijd | Mannen | 42,9 | 38,3 | 43,4 | 38,1 | 39,9 |
| | Vrouwen | 44,2 | 36,8 | 37,9 | 36,1 | 35,7 |
| | Man-vrouw ratio | 1,7-1 | 1-1 | 1,1-1 | 1-1 | 0,8-1-3,5-1 |
| Percentage kinderen | | 10,9% | 31,7% | 35% | 18,6% | 26,6% |
| Gemiddelde Lichaamslengte | Man | 171,2 | 168,7 | 170,2 | 170,2 | 168,5-170,8 |
| | Vrouw | 160,8 | 159,5 | 157,2 | 158,5 | 159,3 |
| Geheelde botbreuken | | 10,9% | 13,3% | 8,8% | 10,6% | 43,1% |
| Infecties | | 32,8% | 18,3% | 20% | 24,4% | 49,2% |
| *Cribra orbitalia* | | 1,6% | 11,7% | 6,2% | 16,3% | 8,9% |
| Degeneratieve gewrichtsaandoeningen | VOA | 15,6% | 15% | 10,8% | 27,2% | 16,3% |
| | DDD | 50% | 55% | 44,1% | 46,2% | 39,8% |
| | POA | 35,9% | 38,3% | 28,6% | 10,2% | 17,8-24,8 |
| *Emailhypoplasie* | | 7,8% | 18,3% | 7% | 19,9% | 22,7% |
| *Cariës* | | 28,1% | 48,3% | 22,7% | 33% | x |
| *Peri-apicale holtes* | | 12,5% | 11,7% | 21,8% | 21,4% | x |
| *Jicht* | | 4,7% | 5% | 1,5% | 0,6% | x |
| *DSIH* | | 3,1% | 3,3% | 1,6% | 0,2% | x |

Tabel 10: De belangrijkste onderzoeksresultaten van Wijtschate uitgezet tegenover enkele andere grafveldonderzoeken in Vlaanderen.

## 1.6 CONCLUSIE

Van de 120 opgegraven individuen uit het Sint-Medardusplein te Wijtschate, zijn uiteindelijk 64 individuen verder onderzocht.

De opgegraven zone maakte deel uit van het zuidelijkste deel van de begraafplaats rondom de Sint-Medarduskerk. Op basis van de grafkisten zijn drie periodes binnen het grafveld onderscheiden: antropomorfe kisten daterende van rond de 12de eeuw, begravingen vanaf de 13de eeuw tot de eerste helft van de 19de eeuw en recente begravingen met kistdecoraties daterende uit de tweede helft van de 19de eeuw tot het begin van de 20ste eeuw (tot vlak voor de eerste wereldoorlog).

De graven uit de oudste periode waren zeer slecht bewaard gebleven en leverden te weinig informatie op om een vergelijking met de recentere periodes te kunnen maken. De twee recentere gebruiksfasen van de begraafplaats vertoonden onderling weinig verschillen en kunnen daarnaast vertekenen als gevolg van de kleine hoeveelheid individuen die per periode konden worden opgedeeld.

Om een uitspraak te kunnen doen betreffende de gezondheidstoestand in Wijtschate ten opzichte van andere Vlaamse steden, is er een vergelijking gemaakt met de onderzoeksresultaten van drie

[55] Pijpelink 2023.
[56] Pijpelink 2022.
[57] De Groote *et al.* 2022.
[58] Van de Vijver 2018.

grootschalige onderzochte grafveld populaties (Ieper de Meersen, Gent Sint-Janskerk en Mechelen Sint-Romboutskerkhof) en een nabijgelegen kleinere stad (Wervik).

De 64 individuen bestonden uit 32 mannen, negentien vrouwen en zeven onvolwassenen. De verhouding man-vrouw-kind gaf een beeld wat niet helemaal past bij een begraafplaats van de lokale bevolking. De man-vrouw verhouding was 1,7-1, wat aangeeft dat er veel meer mannen waren aangetroffen dan vrouwen. Daarnaast was het percentage onvolwassenen relatief laag. Er zijn geen directe oorzaken voor dit verschil aangetroffen. Mogelijk is de scheve verhouding het gevolg van het relatief kleine aantal onderzochte individuen. De lage hoeveelheid kinderen heeft vermoedelijk voor een groot deel te maken met de slechtere bewaring van het botmateriaal. Het is daarnaast mogelijk dat kinderen (in een bepaalde periode) in een apart hoek op de begraafplaats werden bijgezet en dit deel van het grafveld buiten het opgravingsareaal lag.

De gemiddelde sterfteleeftijd en lichaamslengte waren iets aan de hoge kant ten opzichte van andere onderzoeken in Vlaanderen.

Het voorkomen van infecties was in Wijtschate vrij hoog. Deficiënties kwamen echter juist zeer weinig voor. Het voorkomen van gewrichtsaandoeningen DDD en POA was relatief hoog ten opzichte van de grote steden, maar ongeveer gelijk ten opzichte de kleine(re) stad Wervik.

Welvaartsziekten kwamen relatief veel voor ten opzichte van de grote steden, maar ongeveer in gelijke hoeveelheid ten opzichte van Wervik. De gezondheidstoestand van het gebit was redelijk goed ten opzichte van andere onderzoeken.

Een opvallend verschijnsel binnen dit onderzoek was het mogelijke voorkomen van lepra bij twee individuen. Beide individuen lijken op basis van de grafkisten te dateren in de meest recente periode. Echter in deze periode kwam lepra eigenlijk vrijwel niet meer voor in de Lage Landen. Het is de vraag of deze individuen mogelijk toch uit een eerdere periode dateren, of toch aan een andere aandoening hebben geleden of daadwerkelijk uitzonderlijke gevallen van lepra aan het eind van de 19de – begin 20ste eeuw waren.

Concluderend lijkt het er op dat de inwoners van Wijtschate een welvarend leven hadden met voldoende levensmiddelen ter beschikking, met zware fysieke arbeid en niet al te beste hygiënische leefomstandigheden waardoor infecties zich makkelijk konden manifesteren. Dit past bij wat verwacht kan worden bij een boerengemeenschap. Aangezien Wijtschate een belangrijk dorp was voor de voedselvoorziening van Ieper, is het logisch dat de boeren zelf voldoende voedingsmiddelen ter beschikking hadden. Echter het boerenbestaan is fysiek zwaar werk en ging mogelijk gepaard met slechtere hygiënische leefomstandigheden als in de steden.

## 1.7 LITERATUUR


ALDERS G.P. & VAN DER LINDE C. 2012: *Het Vroner Kerkhof te Sint-Pancras, gemeente Langedijk. Archeologisch onderzoek naar een middeleeuwse begraafplaats aan de Bovenweg*, Alkmaar.BAETSEN S. & WETERINGS-KORTHORST L. 2013: De menselijke overblijfselen. In: ARTS N. (ed.), *Een knekelveld maakt geschiedenis. Het archeologisch onderzoek van het koor en het grafveld van de middeleeuwse Catharinakerk in Eindhoven, circa 1200-1850*, Utrecht, 151-212.

BALIN S.J., WETTER D.A., ANDERSEN L.K. & DAVIS M.D.P. 2012: Calcinosis Cutis occurring in association with autoimmune connective tissue disease, The mayo clinic experience with 78 Patients, 1996-2009, *Arch Dermatol* 148/4, 455-462. https://doi.org/10.1001/archdermatol.2011.2052

BRENNER E. & TOUATI F-O. 2021: Leprosy and identity in the Middle Ages: from England to the Mediterranean, Manchester. https://doi.org/10.7765/9781526127426

BROCA P. 1875 : *Instructions craniologiques et craniométriques*, Mémoires de la Société d'Anthropologie de Paris II, 2ème sér., Paris. https://doi.org/10.3406/bmsap.1875.3626

BROOKS S. & SUCHEY J. M. 1990: Skeletal age determination based on the os pubis: A comparison of the Ascadi-Nemeskeri and Suchey- Brooks methods, *Human Evolution* 5, 227-238. https://doi.org/10.1007/BF02437238

BROTHWELL D.R. 1981: *Digging up bones* [3rd edition], Oxford.

BUCKBERRY J.L. & CHAMBERLAIN A.T. 2002: Age estimation from the auricular surface of the ilium: A revised method, *American Journal of Physical Anthropology* 119, 231-239. https://doi.org/10.1002/ajpa.10130

BUIKSTRA J. E. & UBELAKER D. 1994: *Standards for data collection from human skeletal remains*, Arkansas Archeological Survey Research Series 44, Fayetteville.

BRŮŽEK J., SANTOS F., DUTAILLY B., MURAIL P. & CUNHA E. 2017: Validation and reliability of the sex estimation of the human os coxae using freely available DSP2 software for bioarchaeology and forensic anthropology, *American Journal of Physical Anthropology* 164/2, 440-449. https://doi.org/10.1002/ajpa.23282

COSTA SOUSA F. *et al*. 2021: Dystrophic calcinosis cutis associated with systemic lupus erythematosus: a case report, *Pan African Medical Journal* 40, 258. https://doi.org/10.11604/pamj.2021.40.258.28215

DANIELL C. 1997: *Death and burial in medieval England 1066-1550*. London.

DE GROOTE K., ERVYNCK A., PIJPELINK A., VAN DE VIJVER K. 2022: *Ieper De Meersen. Deel 1. Een kerk, kerkhof en abdij in de Ieperse binnenstad. Studie van de begravingen*, Onderzoeksrapporten agentschap Onroerend Erfgoed 229, Brussel. https://doi.org/10.55465/OUCJ4659

GILCHRIST R. 1 SLOANE B. 2005: *Requiem. The medieval monastic cemetery in Britain*, London.

JAJIČ, Z., JAJIČ I., NEMČIČ T., 2000: Radiological changes of ischial tuberosity in ankylosing spondylitis (AS), *Pôvodná Práca Original Paper* 14/2, 61-64.

MAAT G.J.R. 2003: Male stature, a parameter of health and wealth in the low countries, 50-1997 AD. In: HILLSON S.W., BROTHWELL D.R. & MAAT G.J.R. (red.), Wealth, Health and Human Remains in Archaeology (Vijfentwintigste Kroonvoordracht), Amsterdam, 57-88.

MAAT G.J.R. & MASTWIJK R.W. 1995: Fusion status of the jugular growth plate: an aid for age at death determination, *International Journal of Osteoarchaeology* 5, 163-167. https://doi.org/10.1002/oa.1390050209

MAAT G.J.R. & MASTWIJK R.W. 2005: *Manual for the Physical Anthropological Report*, Barge's Anthropologica 6, Leiden.

MANN R.W. & HUNT D.R. 2005: *Photographical regional atlas of bone disease, a guide to pathologic and normal variation in the human skeleton*, Springfield.

MARESH M.M. 1955: Linear growth of long bones of extremities from infancy through adolescence, *American Journal of diseases of Children* 89, 725-742. https://doi.org/10.1001/archpedi.1955.02050110865010

MURAIL P., BRUZEK J., HOUËT F. & CUNHA E. 2005: DSP: A tool for probabilistic sex diagnosis using worldwide variability in hip-bone measurements, *Bulletins et Mémoires de la Société d'Anthropologie de Paris* 17/3-4, 167-176. https://doi.org/10.4000/bmsap.1157

NEMESKÉRI J., HARSÁNYI R. & ACSÁDI G. 1960 : Methoden zur Diagnose des lebensalters von Skeletfunden, *Anthropologischer Anzeiger* 24, 70-95.

ORTNER D.J. 2003: *Identification of Pathological Conditions in Human Skeletal Remains* [second edition], San Diego.

ORTNER D.J. & PUTSCHAR W.G.J. 1981: *Identification of pathological conditions in human skeletal remains*, Washington.

PARK Y.M., LEE S.J., KANG H. & CHO S.H., 1999: Large subcutaneous calcification in systemic lupus erythematosus: treatment with oral aluminum hydroxide administration followed by surgical excision, *J Korean Med Sci* 14, 589-582. https://doi.org/10.3346/jkms.1999.14.5.589

PIJPELINK A. 2022: *Determinatierapport van het onderzoek naar de inhumaties opgegraven in en rondom de Sint-Baafskathedraal te Gent, specialistisch rapport*, Maaseik.

PIJPELINK A. 2023: *Determinatierapport van het onderzoek naar de inhumaties afkomstig van de begraafplaats te Wervik Sint-Medarduskerk, specialistisch rapport*, Maaseik.

RAUBER A. & KOPSCH F. 1952: *Lehrbuch und Atlas der Anatomie des Menschen* [18. Auflage], Leipzig.

ROBERTS C. & MANCHESTER M. 2007: *The Archaeology of Disease* [3rd Edition], New York,.

ROGERS J. & WALDRON T. 1995: *A Field Guide to Joint Disease in Archaeology*, New York.

SCHMITT A. 2005 : Une nouvelle méthode pour estimer l'âge au décès des adultes à partir de la surface sacro-pelvienne iliaque, *Bulletins et Mémoires de la Société d'Anthropologie de Paris* 17/1-2, 89-101. https://doi.org/10.4000/bmsap.943

STEWART T.D. 1979 : *Essentials of forensic anthropology*, Springfield.

TROTTER M. 1970: Estimation of stature from intact limb bones. In: Stewart T.D. (ed.), *Personal identification in mass disasters*, Washington.

TROTTER M. & GLESER G.C. 1958: A re-evaluation of estimation of stature based on measurements of stature taken during life and of long bones after death, *American Journal of Physical Anthropology* 16, 79-123. https://doi.org/10.1002/ajpa.1330160106

UBELAKER D.H. 1978: *Human Skeletal Remains: excavation, analysis and interpretation*, AChicago.

WOLFF-HEIDEGGER G. 1954: *Atlas der Systematischen Anatomie des Menschen, Band 1*, Basel.

WORKSHOP OF EUROPEAN ANTHROPOLOGISTS (WEA) 1980: Recommendations for age and sex diagnosis of skeletons, *Journal of Human Evolution* 9, 517-549. https://doi.org/10.1016/0047-2484(80)90061-5

VAN DE VIJVER K. 2018: Past life and death in a Flemish town. An archaeo-anthropological study of burials from the medieval and post-medieval St. Rombout's cemetery in Mechelen, Belgium (10th–18th centuries CE), *Journal of Archaeological Science: Reports* 20, 524-555. https://doi.org/10.1016/j.jasrep.2018.05.007

YEKELER E., TUNACI M., TUNACI A., DURSUN M., ACUNAS G. 2006: Frequency of sternal variations and anomalies evaluated by MDCT, *AJR. American journal of roentgenology* 186/4, 956-60. https://doi.org/10.2214/AJR.04.1779

**Internetbronnen:**

MEKKES J.R. s.d.: *Calcinosis cutis* [online], https://www.huidziekten.nl/zakboek/dermatosen/ctxt/CalcinosisCutis.htm (geraadpleegd op 9 december 2023).

S.N. 2023: *Bechterew's Disease (ankylosing spondylitis)* [online], https://www.pijn.com/en/bechterews-disease-ankylosing-spondylitis (geraadpleegd op 9 december 2023).

## 1.8 BIJLAGEN:

### 1.8.1 Bijlage 1: Resultaten overzicht per individu.

| Individu | Spoor | Vondstnummer | Volledigheid | Conservering | Fragmentatie | Geslacht | Leeftijd | Leeftijdsrange | Lengte | Ziekteverschijnselen |
|---|---|---|---|---|---|---|---|---|---|---|
| 101 | 23 | 28 | >75 | 2 | 2 | M | 20-25 | 18-25 | 167,8 | trauma, infectie, deficiëntie, degeneratie |
| 102 | 28 | 63 | 50-75 | 2 | 4 | V | 20-40 | 25-50 | 161,12 (hum) | |
| 104 | 30 | 65 | 50-75 | 2 | 4 | V | 40-80 | >50 | x | Degeneratie |
| 107 | 33 | 68 | >75 | 2 | 4 | V | 66-75 | >50 | x | infectie, degeneratie |
| 108 | 34 | 69 | >75 | 1 | 2 | K | 7-9 | 6-11 | x | |
| 109 | 35 | 149 | >75 | 1 | 2 | V | 20-29 | 18-25 | 159,44 (hum) | infectie, deficiëntie, anomalie |
| 111 | 40 | 70 | 25-50 | 2 | 2 | K | 4-5 | 1-5 | x | |
| 113 | 42 | 116 | >75 | 2 | 3 | M | 64,33 | >50 | 174,22 | infectie, degeneratie, overig |
| 114 | 43 | 134 | 50-75 | 2 | 4 | V | 40-44 | 25-50 | x | trauma, degeneratie |
| 115 | 44 | 102 | 50-75 | 2 | 4 | V | 30-60 | 25-50 | x | infectie |
| 116 | 45 | 123 | 50-75 | 2 | 3 | M | 30-34 | 25-50 | x | infectie, degeneratie |
| 117 | 46 | 133 | 50-75 | 1 | 4 | M | 25-29 | 25-50 | 166,13 | deficiëntie |
| 118 | 50 | 166 | >75 | 3 | 3 | K | 11-15 | 12-17 | x | anomalie |
| 120 | 52 | 185 | >75 | 1 | 3 | M | 50-65 | >50 | x | infectie, degeneratie, anomalie |
| 122 | 55 | 174 | 50-75 | 1 | 1 | M | 25-29 | 25-50 | 177,91 | infectie, degeneratie |
| 125 | 54 | 181 | >75 | 2 | 2 | M | 30,33 | 25-50 | 167,08 | trauma, stress, degeneratie, anomalie |
| 128.1 | 60 | 191 | 50-75 | 3 | 5 | V | 40-80 | >50 | x | infectie, degeneratie |
| 128.2 | 4 | 7 | 25-50 | 2 | 4 | V | 45 | 25-50 | | degeneratie |
| 129 | 61 | 139 | <25 | 3 | 5 | M/V | 20+ | x | x | |
| 130 | 14 | 138 | <25 | 3 | 5 | M/V | 20+ | x | x | |
| 134 | 66 | 154 | >75 | 1 | 3 | M | 25-34 | 25-50 | 172,56 | trauma, stress |
| 136 | 68 | 255 | 50-75 | 3 | 4 | V | 30-60 | 25-50 | x | infectie, anomalie |
| 137 | 69 | 280 | >75 | 1 | 2 | V | 46 | 25-50 | 164,88 | degeneratie, overig, anomalie |
| 138 | 70 | 303 | >75 | 2 | 3 | M | 20-29 | 18-25 | x | trauma, stress, degeneratie |

| Individu | Spoor | Vondstnummer | Volledigheid | Conservering | Fragmentatie | Geslacht | Leeftijd | Leeftijdsrange | Lengte | Ziekteverschijnselen |
|---|---|---|---|---|---|---|---|---|---|---|
| 140 | 21 | 317 | >75 | 2 | 2 | M | 52-61 | 25-50 | 167,8 | degeneratie |
| 141 | 22 | 299 | 50-75 | 2 | 4 | V | 20+ | x | x | degeneratie |
| 144 | 65 | 288 | >75 | 2 | 2 | M? | 35-55 | 25-50 | 163,4 | degeneratie, overig, anomalie |
| 145 | 73 | 283 | 50-75 | 2 | 2 | M | 20-25 | 18-25 | 166,61 | |
| 147 | 75 | 309 | >75 | 2 | 3 | V | 25-34 | 25-50 | 157,72 | stress, degeneratie, overig, anomalie |
| 148 | 76 | 329 | 50-75 | 1 | 2 | M | 45-49 | 25-50 | 171,6 | degeneratie |
| 149 | 80 | 284 | >75 | 3 | 4 | K | 12-15 | 12-17 | x | deficiëntie, anomalie |
| 150 | 86 | 302 | 50-75 | 2 | 4 | M | 60+ | >50 | x | degeneratie |
| 152 | 88 | 272 | >75 | 3 | 2 | M | 52 | >50 | 169,7 | infectie, degeneratie, overig, anomalie |
| 153 | 89 | 265 | 50-75 | 2 | 4 | M | 50-60 | >50 | x | degeneratie |
| 155 | 79 | 379 | 50-75 | 2 | 3 | V | 37-46 | 25-50 | 159,11 (hum) | degeneratie, anomalie |
| 159 | 77 | 374 | >75 | 2 | 3 | M | 50-65 | >50 | 171,78 (hum) | infectie, degeneratie, overig, anomalie |
| 160 | 99 | 358 | >75 | 3 | 4 | V | 25-34 | 25-50 | 159,82 | infectie |
| 161 | 12 | 371 | <25 | 2 | 5 | M/V | 20+ | x | x | |
| 166 | 84 | 390 | >75 | 2 | 4 | M | 60+ | >50 | x | degeneratie |
| 170 | 112 | 427 | >75 | 1 | 2 | K | 6-9 | 6-11 | x | |
| 174 | 117 | 428 | 25-50 | 1 | 2 | M | 35-39 | 25-50 | 168,51 | degeneratie |
| 175 | 91 | 476 | >75 | 2 | 3 | M | 36-45 | 25-50 | 166,13 | stress, deficiëntie, degeneratie, overig, anomalie |
| 176 | 118 | 429 | 50-75 | 1 | 4 | V | 45-49 | 25-50 | x | trauma, degeneratie |
| 177 | 47 | 436 | 25-50 | 3 | 4 | M? | 30-60 | 25-50 | x | |
| 179 | 97 | 450 | >75 | 2 | 4 | M | 52-61 | >50 | x | deficiëntie, degeneratie |
| 181 | 49 | 442 | 25-50 | 3 | 5 | M/V | 20+ | x | x | |
| 182 | 110 | 441 | >75 | 3 | 4 | K | 9-14 | 12-17 | x | anomalie |
| 183 | 125 | 480 | 50-75 | 2 | 4 | M | 40-80 | >50 | x | infectie, degeneratie |
| 184 | 121 | 464 | >75 | 1 | 2 | M | 29 | 25-50 | 166,85 (hum) | stress, degeneratie, overig |
| 186 | 126 | 479 | >75 | 2 | 2 | M | 30-39 | 25-50 | 178,03 | trauma, infectie, degeneratie |
| 189 | 111 | 512 | >75 | 2 | 3 | M | 30-39 | 25-50 | 171,13 | stress, infectie |
| 201 | 10 | 5 | 50-75 | 1 | 4 | M? | 30-34 | 25-50 | x | infectie |
| 209 | 18 | 17 | >75 | 1 | 4 | K | 5-7 | 6-11 | x | deficiëntie |

| Individu | Spoor | Vondstnummer | Volledigheid | Conservering | Fragmentatie | Geslacht | Leeftijd | Leeftijdsrange | Lengte | Ziekteverschijnselen |
|---|---|---|---|---|---|---|---|---|---|---|
| 211 | 20 | 35 | 50-75 | 2 | 4 | V | 52-61 | >50 | x | degeneratie |
| 212 | 22 | 39 | 50-75 | 1 | 4 | M | 50-60 | >50 | 182,79 | stress, infectie, degeneratie, anomalie |
| 213 | 35 | 62 | <25 | 3 | 5 | M/V | 20-40 | 25-50 | x | |
| 214 | 24 | 49 | >75 | 2 | 4 | M | 30-34 | 25-50 | x | |
| 216 | 23 | 43 | <25 | 3 | 5 | V | 20-40 | 25-50 | x | anomalie |
| 219 | 28 | 28 | 50-75 | 1 | 3 | V | 40-44 | 25-50 | x | degeneratie |
| 220 | 31 | 40 | 25-50 | 1 | 4 | M | 20-40 | 25-50 | x | infectie, degeneratie |
| 222 | 30 | 50 | >75 | 1 | 1 | M | 66 | >50 | 181,36 | trauma, stress, infectie, deficiëntie, degeneratie, overig, anomalie |
| 223 | 32 | 57 | <25 | 3 | 5 | M/V | 30-60 | 25-50 | x | |
| 224 | 33 | 59 | >75 | 2 | 3 | V | 51 | >50 | 169,19 (hum) | infectie, degeneratie, anomalie |
| 225 | 34 | 58 | 50-75 | 3 | 4 | M | 30-34 | 25-50 | 169,7 | trauma |

### 1.8.2 Bijlage 2: Gebitsstatus en aandoeningen van de volwassenen.

| Individu | Spoor | Vnr | Doorgekomen (E) | Aanwezig (I) | Afwezig (M) | Aangeboren afwezig (C) | AM | PM | Boventallig | Gaatjes | Abcessen | Wortelpunt | Emailhypoplasie | Pijprokersgaten | Rokersaanslag | Teruggetrokken tandvlees | Tandsteen | Kaakbotontsteking |
|---|---|---|---|---|---|---|---|---|---|---|---|---|---|---|---|---|---|---|
| 101 | 23 | 28 | 32 | 31 | 0 | 0 | 1 | 0 | 0 | 2 | 1 | 0 | 2 | 0 | 0 | 0 | 1 | 2 |
| 102 | 28 | 63 | 1 | 0 | 31 | 0 | 1 | 0 | x | x | 0 | 0 | x | x | x | x | x | 0 |
| 104 | 30 | 65 | 21 | 11 | 11 | 0 | 1 | 9 | 0 | 1 | 0 | 0 | 0 | 0 | 0 | 3 | 2 | 2 |
| 107 | 33 | 68 | 23 | 0 | 9 | 0 | 23 | 0 | x | x | 0 | 0 | x | x | x | x | x | 1 |
| 109 | 35 | 149 | 31 | 27 | 0 | 1 | 0 | 4 | 0 | 1 | 0 | 1 | 1 | 0 | 0 | 1 | 2 | 2 |
| 113 | 42 | 116 | 17 | 0 | 14 | 0 | 17 | 0 | x | x | 0 | 0 | x | x | x | x | x | 2 |
| 114 | 43 | 134 | 9 | 7 | 22 | 1 | 1 | 1 | 0 | 0 | 0 | 0 | 0 | 0 | 0 | 3 | 2 | 2 |
| 115 | 44 | 102 | 13 | 0 | 19 | 0 | 8 | 5 | 0 | x | 0 | 1 | x | x | x | x | x | 2 |
| 116 | 45 | 123 | x | x | x | x | x | x | x | x | x | x | x | x | x | x | x | x |
| 117 | 46 | 133 | x | x | x | x | x | x | x | x | x | x | x | x | x | x | x | x |
| 120 | 52 | 185 | 16 | 0 | 16 | 0 | 14 | 2 | 0 | 0 | 0 | 0 | x | x | x | 3 | x | 3 |
| 122 | 55 | 174 | x | x | x | x | x | x | x | x | x | x | x | x | x | x | x | x |
| 125 | 54 | 181 | 30 | 22 | 0 | 2 | 5 | 3 | 0 | 3 | 0 | 1 | 0 | 1 | 1 | 2 | 2 | 2 |
| 128.1 | 60 | 191 | 19 | 0 | 13 | 0 | 19 | 0 | x | x | 0 | 0 | x | x | x | x | x | 2 |
| 128.2 | 4 | 7 | x | x | x | x | x | x | x | x | x | x | x | x | x | x | x | x |
| 129 | 61 | 139 | 1 | 1 | 31 | 0 | 0 | 0 | x | 0 | x | x | 0 | x | x | x | x | x |
| 130 | 14 | 138 | 3 | 3 | 29 | 0 | 0 | 0 | x | 0 | x | x | 0 | 0 | 0 | x | 0 | x |
| 134 | 66 | 154 | x | x | x | x | x | x | x | x | x | x | x | x | x | x | x | x |
| 136 | 68 | 255 | x | x | x | x | x | x | x | x | x | x | x | x | x | x | x | x |
| 137 | 69 | 280 | 28 | 14 | 3 | 1 | 7 | 7 | 0 | 11 | 0 | 0 | 0 | 0 | 0 | 3 | 1 | 3 |
| 138 | 70 | 303 | x | x | x | x | x | x | x | x | x | x | x | x | x | x | x | x |
| 140 | 21 | 317 | 16 | 0 | 16 | 0 | 14 | 2 | x | x | 0 | 0 | x | x | x | x | x | 3 |
| 141 | 22 | 299 | 9 | 1 | 23 | 0 | 3 | 5 | 0 | 1 | 0 | 0 | 0 | 0 | 0 | x | 0 | 1 |
| 144 | 65 | 288 | x | x | x | x | x | x | x | x | x | x | x | x | x | x | x | x |
| 145 | 73 | 283 | x | x | x | x | x | x | x | x | x | x | x | x | x | x | x | x |
| 147 | 75 | 309 | 32 | 0 | 0 | 0 | 32 | 0 | x | x | 0 | 0 | x | x | x | x | x | 2 |
| 148 | 76 | 329 | x | x | x | x | x | x | x | x | x | x | x | x | x | x | x | x |
| 150 | 86 | 302 | x | x | x | x | x | x | x | x | x | x | x | x | x | x | x | x |
| 152 | 88 | 272 | 32 | 0 | 0 | 0 | 32 | 0 | x | x | 0 | 0 | x | x | x | x | x | 1 |
| 153 | 89 | 265 | x | x | x | x | x | x | x | x | x | x | x | x | x | x | x | x |
| 155 | 79 | 379 | x | x | x | x | x | x | x | x | x | x | x | x | x | x | x | x |
| 159 | 77 | 374 | 6 | 1 | 8 | 2 | 3 | 2 | 0 | 0 | 0 | 0 | 0 | 0 | 0 | 2 | 0 | 1 |
| 160 | 99 | 358 | 28 | 19 | 0 | 4 | 3 | 6 | 0 | 2 | 1 | 1 | 0 | 0 | 0 | 2 | 1 | 1 |
| 161 | 12 | 371 | x | x | x | x | x | x | x | x | x | x | x | x | x | x | x | x |
| 166 | 84 | 390 | x | x | x | x | x | x | x | x | x | x | x | x | x | x | x | x |
| 174 | 117 | 428 | x | x | x | x | x | x | x | x | x | x | x | x | x | x | x | x |
| 175 | 91 | 476 | 14 | 14 | 16 | 2 | 0 | 0 | 0 | 3 | 0 | 0 | 1 | 0 | 0 | 2 | 1 | 2 |
| 176 | 118 | 429 | x | x | x | x | x | x | x | x | x | x | x | x | x | x | x | x |
| 177 | 47 | 436 | 12 | 5 | 20 | 0 | 0 | 7 | 0 | 0 | 0 | 0 | 0 | 0 | 0 | 2 | 0 | 1 |
| 179 | 97 | 450 | 17 | 1 | 15 | 0 | 13 | 3 | 0 | 1 | 0 | 0 | 0 | 0 | 0 | x | x | x |
| 181 | 49 | 442 | x | x | x | x | x | x | x | x | x | x | x | x | x | x | x | x |
| 183 | 125 | 480 | 6 | 0 | 26 | 0 | 6 | 0 | x | x | 0 | 0 | x | x | x | x | x | 2 |
| 184 | 121 | 464 | 28 | 17 | 0 | 4 | 5 | 6 | 0 | 7 | 0 | 1 | 0 | 1 | 0 | 3 | 1 | 2 |

| Individu | Spoor | Vnr | Doorgekomen (E) | Aanwezig (I) | Afwezig (M) | Aangeboren afwezig (C) | AM | PM | Boventallig | Gaatjes | Abcessen | Wortelpunt | Emailhypoplasie | Pijprokersgaten | Rokersaanslag | Teruggetrokken tandvlees | Tandsteen | Kaakbotontsteking |
|---|---|---|---|---|---|---|---|---|---|---|---|---|---|---|---|---|---|---|
| 186 | 126 | 479 | 29 | 14 | 2 | 1 | 7 | 8 | 0 | 4 | 0 | 0 | 0 | 1 | 1 | 3 | 1 | 2 |
| 189 | 111 | 512 | 32 | 29 | 0 | 0 | 0 | 3 | 0 | 2 | 0 | 1 | 0 | 0 | 0 | 3 | 0 | 2 |
| 201 | 10 | 5 | x | x | x | x | x | x | x | x | x | x | x | x | x | x | x | x |
| 211 | 20 | 35 | x | x | x | x | x | x | x | x | x | x | x | x | x | x | x | x |
| 212 | 22 | 39 | x | x | x | x | x | x | x | x | x | x | x | x | x | x | x | x |
| 213 | 35 | 62 | 5 | 5 | 27 | 0 | 0 | 0 | 0 | 0 | x | x | 0 | 0 | 0 | x | 0 | x |
| 214 | 24 | 49 | x | x | x | x | x | x | x | x | x | x | x | x | x | x | x | x |
| 216 | 23 | 43 | 25 | 19 | 7 | 0 | 0 | 6 | 0 | 1 | 0 | 0 | 0 | 0 | 0 | 2 | x | x |
| 219 | 28 | 28 | 22 | 14 | 10 | 0 | 1 | 7 | 0 | 2 | 0 | 0 | 0 | 0 | 0 | 2 | 0 | 0 |
| 220 | 31 | 40 | 30 | 30 | 2 | 0 | 0 | 0 | 0 | 0 | 0 | 0 | 0 | 0 | 0 | 1 | 0 | 1 |
| 222 | 30 | 50 | 27 | 2 | 5 | 0 | 24 | 1 | 0 | 2 | 0 | 0 | 1 | 1 | 0 | 3 | 1 | 2 |
| 223 | 32 | 57 | 2 | 2 | 30 | 0 | 0 | 0 | x | 0 | x | x | 0 | 0 | 0 | x | 0 | x |
| 224 | 33 | 59 | 27 | 8 | 2 | 3 | 11 | 8 | 0 | 5 | 2 | 0 | 0 | 0 | 0 | 3 | 2 | 3 |
| 225 | 34 | 58 | 4 | 2 | 28 | 0 | 0 | 2 | 0 | 1 | x | x | 0 | 0 | 0 | x | x | x |

### 1.8.3 Bijlage 3: Leeftijd bij overlijden van de volwassenen.

| Individu | Spoor | Vnr | Geslacht | Leeftijd Suturen | Leeftijd opperarm | Leeftijd dijbeen | Leeftijd Auriculair Buckberry & Chamberlain | Leeftijd Auriculair Schmitt | Leeftijd Schaambeen | Leeftijd totaal | Leeftijdsrange |
|---|---|---|---|---|---|---|---|---|---|---|---|
| 101 | 23 | 28 | M | 20-40 | x | x | 20-24 | 20-29 | 20-40 | 20-25 | 18-25 |
| 102 | 28 | 63 | V | 20-40 | x | x | x | x | x | 20-40 | 25-50 |
| 104 | 30 | 65 | V | 40-80 | x | x | x | x | x | 40-80 | >50 |
| 107 | 33 | 68 | V | 40-80 | x | x | 60+ | >60 | 60-80 | 66-75 | >50 |
| 109 | 35 | 149 | V | 20-40 | 20-40 | x | 25-29 | 20-29 | x | 20-29 | 18-25 |
| 113 | 42 | 116 | M | 40-80 | x | 40-60 | 50-60 | >60 | 50-70 | 64,33 | >50 |
| 114 | 43 | 134 | V | 20-40 | x | x | 40-44 | >40 | x | 40-44 | 25-50 |
| 115 | 44 | 102 | V | 30-60 | x | x | x | x | x | 30-60 | 25-50 |
| 116 | 45 | 123 | M | x | x | x | 30-34 | 20-39 | x | 30-34 | 25-50 |
| 117 | 46 | 133 | M | x | x | x | 25-29 | 20-29 | x | 25-29 | 25-50 |
| 120 | 52 | 185 | M | 40-80 | 40-70 | x | x | x | x | 50-65 | >50 |
| 122 | 55 | 174 | M | x | x | 20-40 | 25-29 | 20-39 | x | 25-29 | 25-50 |
| 125 | 54 | 181 | M | 30-60 | 20-40 | 20-40 | 30-34 | 20-39 | x | 30,33 | 25-50 |
| 128.1 | 60 | 191 | V | 40-80 | x | x | 60+ | >60 | x | 40-80 | >50 |
| 128.2 | 4 | 7 | V | 30-60 | x | x | x | x | x | 30-60 | 25-50 |
| 129 | 61 | 139 | M/V | x | x | x | x | x | x | 20+ | |
| 130 | 14 | 138 | M/V | x | x | x | x | x | x | 20+ | |
| 134 | 66 | 154 | M | 20-40 | x | 35-55 | x | x | x | 25-34 | 25-50 |
| 136 | 68 | 255 | V | 30-60 | x | x | x | x | x | 30-60 | 25-50 |
| 137 | 69 | 280 | V | 30-60 | x | 20-40 | 40-44 | 20-49 | 40-60 | 46 | 25-50 |
| 138 | 70 | 303 | M | x | x | x | 25-29 | 20-29 | 20-40 | 20-29 | 18-25 |
| 140 | 21 | 317 | M | x | x | 40-60 | 50-60 | >50 | 50-70 | 52-61 | 25-50 |
| 141 | 22 | 299 | V | x | x | x | x | x | x | 20+ | |
| 144 | 65 | 288 | M? | x | x | 35-55 | 60+ | >60 | x | 35-55 | 25-50 |
| 145 | 73 | 283 | M | x | x | 20-40 | 20-29 | 20-29 | x | 20-25 | 18-25 |
| 147 | 75 | 309 | V | 20-40 | x | 35-55 | 45-49 | 20-49 | x | 25-34 | 25-50 |
| 148 | 76 | 329 | M | x | x | 40-60 | 45-49 | >40 | x | 45-49 | 25-50 |
| 150 | 86 | 302 | M | x | x | x | 60+ | x | x | 60+ | >50 |
| 152 | 88 | 272 | M | 30-60 | 30-60 | 40-60 | 50-60 | >40 | x | 52 | >50 |
| 153 | 89 | 265 | M | 40-80 | x | x | 50-60 | >50 | x | 50-60 | >50 |
| 155 | 79 | 379 | V | x | 40-70 | 35-55 | 40-44 | 20-49 | x | 37-46 | 25-50 |
| 159 | 77 | 374 | M | 40-80 | 30-60 | x | x | x | x | 50-65 | >50 |
| 160 | 99 | 358 | V | 30-60 | x | 20-40 | x | x | x | 25-34 | 25-50 |
| 161 | 12 | 371 | M/V | x | x | x | x | x | x | 20+ | |
| 166 | 84 | 390 | M | x | x | x | 60+ | >60 | x | 60+ | >50 |
| 174 | 117 | 428 | M | x | x | x | 35-39 | 20-49 | x | 35-39 | 25-50 |
| 175 | 91 | 476 | M | 30-60 | x | 35-55 | 35-39 | 20-39 | x | 36-45 | 25-50 |
| 176 | 118 | 429 | V | x | x | x | 45-49 | >40 | x | 45-49 | 25-50 |
| 177 | 47 | 436 | M? | 30-60 | x | x | x | x | x | 30-60 | 25-50 |
| 179 | 97 | 450 | M | 40-80 | x | x | 40-44 | 20-49 | 40-60 | 52-61 | >50 |
| 181 | 49 | 442 | M/V | x | x | x | x | x | x | 20+ | |
| 183 | 125 | 480 | M | 40-80 | x | x | x | x | x | 40-80 | >50 |
| 184 | 121 | 464 | M | 20-40 | 30-60 | 20-40 | 25-29 | 20-29 | x | 29 | 25-50 |
| 186 | 126 | 479 | M | 30-60 | x | 20-40 | 30-34 | 20-39 | x | 30-39 | 25-50 |
| 189 | 111 | 512 | M | 30-60 | x | x | 30-34 | 20-39 | 20-40 | 30-39 | 25-50 |
| 201 | 10 | 5 | M? | x | x | x | 30-34 | 20-39 | x | 30-34 | 25-50 |

| Individu | Spoor | Vnr | Geslacht | Leeftijd Suturen | Leeftijd opperarm | Leeftijd dijbeen | Leeftijd Auriculair Buckberry & Chamberlain | Leeftijd Auriculair Schmitt | Leeftijd Schaambeen | Leeftijd totaal | Leeftijdsrange |
|---|---|---|---|---|---|---|---|---|---|---|---|
| 211 | 20 | 35 | V | 40-80 | x | 40-60 | 50-60 | >50 | x | 52-61 | >50 |
| 212 | 22 | 39 | M | x | x | 40-60 | 50-60 | >40 | x | 50-60 | >50 |
| 213 | 35 | 62 | M/V | x | x | x | x | x | x | 20-40 | 25-50 |
| 214 | 24 | 49 | M | x | x | x | 30-34 | 20-49 | x | 30-34 | 25-50 |
| 216 | 23 | 43 | V | 20-40 | x | x | x | x | x | 20-40 | 25-50 |
| 219 | 28 | 28 | V | 20-40 | x | x | 40-44 | >40 | 50-70 | 40-44 | 25-50 |
| 220 | 31 | 40 | M | 20-40 | x | x | x | x | x | 20-40 | 25-50 |
| 222 | 30 | 50 | M | 40-80 | 40-70 | 40-60 | 50-60 | >50 | 50-70 | 66 | >50 |
| 223 | 32 | 57 | M/V | 30-60 | x | x | x | x | x | 30-60 | 25-50 |
| 224 | 33 | 59 | V | 30-60 | 40-70 | 40-60 | 45-49 | >40 | x | 51 | >50 |
| 225 | 34 | 58 | M | x | x | 20-40 | 30-34 | 20-39 | x | 30-34 | 25-50 |

### 1.8.4 Bijlage 4: Leeftijd bij overlijden van de onvolwassenen.

| Individu | Spoor | Vnr | Leeftijd gebit | Vergroeiing axiaal skelet | Lengte lange beenderen | Vergroeiing epifyses | Leeftijd totaal | Leeftijdsrange |
|---|---|---|---|---|---|---|---|---|
| 108 | 34 | 69 | 7-9 | 6 | 8-8,5 | x | 7-9 | 6-11 |
| 111 | 40 | 70 | 6-8 | 3-6 | 4-5 | x | 4-5 | 1-5 |
| 118 | 50 | 166 | 12-15 | 6-15 | 11-12 | 14-16 | 11-15 | 12-17 |
| 149 | 80 | 284 | 12-15 | 6-15 | x | x | 12-15 | 12-17 |
| 170 | 112 | 427 | x | 6-14 | 8-9 | x | 6-9 | 6-11 |
| 182 | 110 | 441 | 12-21 | <15 | 9-10 | <14 | 9-14 | 12-17 |
| 209 | 18 | 17 | 5-7 | 3-6 | x | x | 5-7 | 6-11 |

## 1.8.5 Bijlage 5: Geslachtsbepaling per individu.

| Individu | Spoor | Vnr | Leeftijd | Leeftijdsrange | Bekken | Schedel | Onderkaak | DSP | Diameter opperarm | Diameter dijbeen | Conclusie |
|---|---|---|---|---|---|---|---|---|---|---|---|
| 101 | 23 | 28 | 20-25 | 18-25 | 1 (17) | 1 (24) | 1 (8) | M | 45 | 48 | M |
| 102 | 28 | 63 | 20-40 | 25-50 | -1 (5) | x | -1 (2) | x | 39 | 45 | V |
| 104 | 30 | 65 | 40-80 | >50 | x | -1 (7) | -1 (8) | x | x | 44 | V |
| 107 | 33 | 68 | 66-75 | >50 | -1 (7) | -0,71 (24) | -1 (8) | x | x | x | V |
| 109 | 35 | 149 | 20-29 | 18-25 | -1 (16) | -1 (12) | -1 (8) | x | 43 | 47 | V |
| 113 | 42 | 116 | 64,33 | >50 | 0,72 (18) | 1,21 (24) | 1 (8) | x | x | 51 | M |
| 114 | 43 | 134 | 40-44 | 25-50 | -1 (6) | -1 (5) | -0,75 (8) | x | x | 45,5 | V |
| 115 | 44 | 102 | 30-60 | 25-50 | x | -0,86 (7) | -1 (6) | x | 39 | 40,5 | V |
| 116 | 45 | 123 | 30-34 | 25-50 | 0,93 (15) | x | x | M | x | 51 | M |
| 117 | 46 | 133 | 25-29 | 25-50 | 1 (12) | x | x | x | x | 50,5 | M |
| 120 | 52 | 185 | 50-65 | >50 | x | 1,33 (21) | 1,25 (8) | x | 48 | 50 | M |
| 122 | 55 | 174 | 25-29 | 25-50 | 1,18 (17) | x | x | M | x | 50,5 | M |
| 125 | 54 | 181 | 30,33 | 25-50 | 1,37 (19) | 0,75 (24) | 1 (8) | M | 49,5 | 51,5 | M |
| 128.1 | 60 | 191 | 40-80 | >50 | -1 (8) | -1,17 (24) | -1 (8) | x | x | 42,5 | V |
| 128.2 | 4 | 7 | 30-60 | 25-50 | x | -1 (5) | -1 (5) | x | x | x | V |
| 129 | 61 | 139 | 20+ | x | x | x | x | x | x | x | M/V |
| 130 | 14 | 138 | 20+ | x | x | x | x | x | x | x | M/V |
| 134 | 66 | 154 | 25-34 | 25-50 | 1,19 (16) | 1 (5) | x | x | x | 52 | M |
| 136 | 68 | 255 | 30-60 | 25-50 | -1 (5) | -1,14 (22) | -1 (5) | x | 43 | x | V |
| 137 | 69 | 280 | 46 | 25-50 | -1,26 (19) | -0,96 (24) | -1 (8) | ND | x | 45 | V |
| 138 | 70 | 303 | 20-29 | 18-25 | 1,13 (16) | x | x | x | 48 | 51,5 | M |
| 140 | 21 | 317 | 52-61 | 25-50 | 1,21 (14) | x | 1,25 (8) | x | x | 49 | M |
| 141 | 22 | 299 | 20+ | x | -1 (5) | x | -1 (6) | x | x | x | V |
| 144 | 65 | 288 | 35-55 | 25-50 | x | x | x | x | x | 49 | M? |
| 145 | 73 | 283 | 20-25 | 18-25 | 0,75 (12) | x | x | x | x | 44,5 | M |
| 147 | 75 | 309 | 25-34 | 25-50 | -1,2 (15) | -1,13 (24) | -1 (8) | x | x | 44 | V |
| 148 | 76 | 329 | 45-49 | 25-50 | 1 (14) | x | x | x | 48 | 51,5 | M |
| 150 | 86 | 302 | 60+ | >50 | 1 (5) | x | x | x | x | 51 | M |
| 152 | 88 | 272 | 52 | >50 | 1,25 (12) | 0,95 (21) | 1 (8) | x | 45 | x | M |
| 153 | 89 | 265 | 50-60 | >50 | 1 (8) | 1 (1) | x | x | x | 52 | M |
| 155 | 79 | 379 | 37-46 | 25-50 | -1,25 (12) | x | x | x | 43 | 43 | V |
| 159 | 77 | 374 | 50-65 | >50 | 1 (8) | 0,46 (24) | 1 (2) | x | 50 | x | M |
| 160 | 99 | 358 | 25-34 | 25-50 | -1,33 (9) | -1,43 (21) | -1 (8) | x | x | 44 | V |
| 161 | 12 | 371 | 20+ | x | x | x | x | x | x | x | M/V |
| 166 | 84 | 390 | 60+ | >50 | 1,2 (10) | x | x | x | x | 53 | M |
| 174 | 117 | 428 | 35-39 | 25-50 | 1,08 (13) | x | x | x | x | 49 | M |
| 175 | 91 | 476 | 36-45 | 25-50 | 1 (14) | 0,96 (24) | 1 (8) | x | x | 49,5 | M |
| 176 | 118 | 429 | 45-49 | 25-50 | -0,83 (12) | x | x | x | x | x | V |
| 177 | 47 | 436 | 30-60 | 25-50 | x | 1 (5) | x | x | x | 45 | M? |
| 179 | 97 | 450 | 52-61 | >50 | 1,42 (12) | 0,93 (15) | 1 (8) | x | x | 52 | M |
| 181 | 49 | 442 | 20+ | x | x | x | x | x | x | x | M/V |
| 183 | 125 | 480 | 40-80 | >50 | x | 1,14 (22) | x | x | x | x | M |
| 184 | 121 | 464 | 29 | 25-50 | 0,63 (16) | 0,57 (21) | 0,75 (8) | M | 46 | 48 | M |
| 186 | 126 | 479 | 30-39 | 25-50 | 1 (14) | 0,46 (24) | 1 (8) | x | x | 52 | M |
| 189 | 111 | 512 | 30-39 | 25-50 | 1 (17) | 0,64 (11) | 1 (8) | x | 44 | 49 | M |
| 201 | 10 | 5 | 30-34 | 25-50 | x | x | x | x | >47 | x | M? |
| 211 | 20 | 35 | 52-61 | >50 | -0,75 (8) | -0,83 (12) | x | x | x | 45,5 | V |
| 212 | 22 | 39 | 50-60 | >50 | 1 (12) | x | x | x | x | 54 | M |

| Individu | Spoor | Vnr | Leeftijd | Leeftijdsrange | Bekken | Schedel | Onderkaak | DSP | Diameter opperarm | Diameter dijbeen | Conclusie |
|---|---|---|---|---|---|---|---|---|---|---|---|
| 213 | 35 | 62 | 20-40 | 25-50 | x | x | x | x | x | x | M/V |
| 214 | 24 | 49 | 30-34 | 25-50 | 1,13 (16) | x | x | x | 46 | 53 | M |
| 216 | 23 | 43 | 20-40 | 25-50 | x | -1 (10) | x | x | x | x | V |
| 219 | 28 | 28 | 40-44 | 25-50 | -1,28 (18) | -1,28 (18) | -1,38 (8) | x | x | 43 | V |
| 220 | 31 | 40 | 20-40 | 25-50 | x | 1,11 (19) | 1 98) | x | 44 | x | M |
| 222 | 30 | 50 | 66 | >50 | 1,26 (19) | 1,17 (24) | 1 (8) | M | 48 | 52 | M |
| 223 | 32 | 57 | 30-60 | 25-50 | x | x | x | x | x | x | M/V |
| 224 | 33 | 59 | 51 | >50 | -1,07 (14) | -0,75 (24) | -0,5 (8) | x | 42 | 47 | V |
| 225 | 34 | 58 | 30-34 | 25-50 | 1 (10) | 1 (3) | x | x | x | 45 | M |

### 1.8.6 Bijlage 6: Lichaamslengte

(hierbij is altijd het dijbeen gebruikt, tenzij '(hum)' staat vermeld, dan is de opperarm (*humerus*) gebruikt. Berekeningen aan de hand van de opperarm zijn niet meegerekend bij de gemiddelde lichaamslengte berekening).

| Individu | Spoor | Vnr | Geslacht | Leeftijd | Leeftijdsrange | Mannen | Vrouwen |
|---|---|---|---|---|---|---|---|
| 101 | 23 | 28 | M | 20-25 | 18-25 | 167,8 | x |
| 102 | 28 | 63 | V | 20-40 | 25-50 | x | 161,12 (hum) |
| 109 | 35 | 149 | V | 20-29 | 18-25 | x | 159,44 (hum) |
| 113 | 42 | 116 | M | 64,33 | >50 | 174,22 | x |
| 117 | 46 | 133 | M | 25-29 | 25-50 | 166,13 | x |
| 122 | 55 | 174 | M | 25-29 | 25-50 | 177,91 | x |
| 125 | 54 | 181 | M | 30,33 | 25-50 | 167,08 | x |
| 134 | 66 | 154 | M | 25-34 | 25-50 | 172,56 | x |
| 137 | 69 | 280 | V | 46 | 25-50 | x | 164,88 |
| 140 | 21 | 317 | M | 52-61 | 25-50 | 167,8 | x |
| 144 | 65 | 288 | M? | 35-55 | 25-50 | 163,4 | x |
| 145 | 73 | 283 | M | 20-25 | 18-25 | 166,61 | x |
| 147 | 75 | 309 | V | 25-34 | 25-50 | x | 157,72 |
| 148 | 76 | 329 | M | 45-49 | 25-50 | 171,6 | x |
| 152 | 88 | 272 | M | 52 | >50 | 169,7 | x |
| 155 | 79 | 379 | V | 37-46 | 25-50 | x | 159,11 (hum) |
| 159 | 77 | 374 | M | 50-65 | >50 | 171,78 (hum) | x |
| 160 | 99 | 358 | V | 25-34 | 25-50 | x | 159,82 |
| 174 | 117 | 428 | M | 35-39 | 25-50 | 168,51 | x |
| 175 | 91 | 476 | M | 36-45 | 25-50 | 166,13 | x |
| 184 | 121 | 464 | M | 29 | 25-50 | 166,85 (hum) | x |
| 186 | 126 | 479 | M | 30-39 | 25-50 | 178,03 | x |
| 189 | 111 | 512 | M | 30-39 | 25-50 | 171,13 | x |
| 212 | 22 | 39 | M | 50-60 | >50 | 182,79 | x |
| 222 | 30 | 50 | M | 66 | >50 | 181,36 | x |
| 224 | 33 | 59 | V | 51 | >50 | x | 169,19 (hum) |
| 225 | 34 | 58 | M | 30-34 | 25-50 | 169,7 | x |

## 1.8.7 Bijlage 7: Grafritueel van de onderzochte individuen.

| Individu | WP | Vlak | Spoor | Vnr | Geslacht | Leeftijd | Leeftijdsrange | Oriëntatie | Kistvorm | Kistdecoratie | Globale datering |
|---|---|---|---|---|---|---|---|---|---|---|---|
| 101 | 1 | 1 | 23 | 28 | M | 20-25 | 18-25 | o-w | ruit | ja | eind 19de-begin 20ste eeuw |
| 102 | 1 | 1 | 28 | 63 | V | 20-40 | 25-50 | w-o | trapezoïde | nee | 13de-begin 19de eeuw |
| 104 | 1 | 1 | 30 | 65 | V | 40-80 | >50 | w-o | rechthoekig | nee | 13de-begin 19de eeuw |
| 107 | 1 | 1 | 33 | 68 | V | 66-75 | >50 | o-w | ruit | ja | eind 19de-begin 20ste eeuw |
| 108 | 1 | 1 | 34 | 69 | K | 7-9 | 6-11 | o-w | trapezoïde | ja | eind 19de-begin 20ste eeuw |
| 109 | 1 | 1 | 35 | 149 | V | 20-29 | 18-25 | o-w | ruit | nee | ? |
| 111 | 1 | 1 | 40 | 70 | K | 4-5 | 1-5 | o-w | rechthoekig | ja | eind 19de-begin 20ste eeuw |
| 113 | 1 | 1 | 42 | 116 | M | 64,33 | >50 | w-o | ? | ja | eind 19de-begin 20ste eeuw |
| 114 | 1 | 1 | 43 | 134 | V | 40-44 | 25-50 | w-o | trapezoïde/ruit | nee | 13de-begin 19de eeuw |
| 115 | 1 | 1 | 44 | 102 | V | 30-60 | 25-50 | w-o | rechthoekig | nee | 13de-begin 19de eeuw |
| 116 | 1 | 1 | 45 | 123 | M | 30-34 | 25-50 | w-o | Trapezoïde? | nee | 13de-begin 19de eeuw |
| 117 | 1 | 1 | 46 | 133 | M | 25-29 | 25-50 | w-o | rechthoekig | nee | 13de-begin 19de eeuw |
| 118 | 1 | 1 | 50 | 166 | K | 11-15 | 12-17 | o-w | trapezoïde | nee | eind 19de-begin 20ste eeuw |
| 120 | 1 | 1 | 52 | 185 | M | 50-65 | >50 | w-o | ruit | nee | 13de-begin 19de eeuw |
| 122 | 1 | 1 | 55 | 174 | M | 25-29 | 25-50 | w-o | trapezoïde | nee | ? |
| 125 | 1 | 1 | 54 | 181 | M | 30,33 | 25-50 | w-o | trapezoïde/ruit | nee | ? |
| 128.1 | 1 | 1 | 60 | 191 | V | 40-80 | >50 | w-o | trapezoïde | nee | 13de-begin 19de eeuw |
| 128.2 | 1 | 1 | 4 | 7 | V | 30-60 | 25-50 | w-o | ? | nee | ? |
| 129 | 1 | 1 | 61 | 139 | M/V | 20+ | x | w-o | antropomorf? | nee | 12de eeuw? |
| 130 | 1 | 1 | 14 | 138 | M/V | 20+ | x | w-o | antropomorf | nee | 12de eeuw |
| 134 | 1 | 1 | 66 | 154 | M | 25-34 | 25-50 | w-o | trapezoïde | nee | ? |
| 136 | 1 | 1 | 68 | 255 | V | 30-60 | 25-50 | w-o | rechthoekig? | nee | 13de-begin 19de eeuw |
| 137 | 1 | 1 | 69 | 280 | V | 46 | 25-50 | o-w | trapezoïde/ruit | ja | eind 19de-begin 20ste eeuw? |
| 138 | 1 | 1 | 70 | 303 | M | 20-29 | 18-25 | o-w | trapezoïde | ? | eind 19de-begin 20ste eeuw? |
| 140 | 1 | 1 | 21 | 317 | M | 52-61 | 25-50 | o-w | trapezoïde | nee | 13de-begin 19de eeuw |
| 141 | 1 | 1 | 22 | 299 | V | 20+ | x | o-w | ? | nee | ? |
| 144 | 1 | 1 | 65 | 288 | M? | 35-55 | 25-50 | o-w | trapezoïde | nee | ? |
| 145 | 1 | 1 | 73 | 283 | M | 20-25 | 18-25 | o-w | trapezoïde | nee | ? |
| 147 | 1 | 1 | 75 | 309 | V | 25-34 | 25-50 | o-w | trapezoïde/ruit | nee | 13de-begin 19de eeuw |
| 148 | 1 | 1 | 76 | 329 | M | 45-49 | 25-50 | w-o | ? | nee | 13de-begin 19de eeuw |
| 149 | 1 | 1 | 80 | 284 | K | 12-15 | 12-17 | w-o | rechthoekig/trapezoïde | nee | 1d3e-begin 19de eeuw |
| 150 | 1 | 1 | 86 | 302 | M | 60+ | >50 | o-w | trapezoïde | nee | ? |
| 152 | 1 | 1 | 88 | 272 | M | 52 | >50 | o-w | ? | nee | 13de-begin 19de eeuw |
| 153 | 1 | 1 | 89 | 265 | M | 50-60 | >50 | w-o | rechthoekig? | nee | eind 19de-begin 20ste eeuw? |
| 155 | 1 | 1 | 79 | 379 | V | 37-46 | 25-50 | w-o | rechthoekig? | nee | 13de-begin 19de eeuw |
| 159 | 1 | 1 | 77 | 374 | M | 50-65 | >50 | o-w | ruit | ja | eind 19de-begin 20ste eeuw |
| 160 | 1 | 1 | 99 | 358 | V | 25-34 | 25-50 | o-w | ruit | ja? | ? |
| 161 | 1 | 1 | 12 | 371 | M/V | 20+ | x | w-o | antropomorf | nee | 12de eeuw |
| 166 | 1 | 1 | 84 | 390 | M | 60+ | >50 | o-w | trapezoïde | ja | eind 19de-begin 20ste eeuw |
| 170 | 1 | 1 | 112 | 427 | K | 6-9 | 6-11 | w-o | trapezoïde | nee | 13de-begin 19de eeuw |
| 174 | 1 | 1 | 117 | 428 | M | 35-39 | 25-50 | w-o | rechthoekig | nee | 13de-begin 19de eeuw |
| 175 | 1 | 1 | 91 | 476 | M | 36-45 | 25-50 | o-w | ruit? | ja | eind 19de-begin 20ste eeuw |
| 176 | 1 | 1 | 118 | 429 | V | 45-49 | 25-50 | w-o | trapezoïde/ruit | nee | ? |
| 177 | 1 | 1 | 47 | 436 | M? | 30-60 | 25-50 | w-o | antropomorf | nee | 12de eeuw |

| Individu | WP | Vlak | Spoor | Vnr | Geslacht | Leeftijd | Leeftijdsrange | Oriëntatie | Kistvorm | Kistdecoratie | Globale datering |
|---|---|---|---|---|---|---|---|---|---|---|---|
| 179 | 1 | 1 | 97 | 450 | M | 52-61 | >50 | o-w | ruit | ja | ? |
| 181 | 1 | 1 | 49 | 442 | M/V | 20+ | x | w-o | antropomorf | nee | 12de eeuw |
| 182 | 1 | 1 | 110 | 441 | K | 9-14 | 12-17 | w-o | antropomorf | nee | 12de eeuw |
| 183 | 1 | 1 | 125 | 480 | M | 40-80 | >50 | o-w | trapezoïde/ruit | nee | 13de-begin 19de eeuw |
| 184 | 1 | 1 | 121 | 464 | M | 29 | 25-50 | o-w | ? | ja | eind 19de-begin 20ste eeuw |
| 186 | 1 | 1 | 126 | 479 | M | 30-39 | 25-50 | w-o | ? | nee | 13de-begin 19de eeuw |
| 189 | 1 | 1 | 111 | 512 | M | 30-39 | 25-50 | w-o | antropomorf? | nee | 12de eeuw? |
| 201 | 1 | 1 | 10 | 5 | M? | 30-34 | 25-50 | w-o | ? | nee | ? |
| 209 | 1 | 1 | 18 | 17 | K | 5-7 | 6-11 | w-o | trapezoïde | nee | 13de-begin 19de eeuw |
| 211 | 1 | 3 | 20 | 35 | V | 52-61 | >50 | o-w | trapezoïde | nee | 13de-begin 19de eeuw |
| 212 | 1 | 1 | 22 | 39 | M | 50-60 | >50 | w-o | trapezoïde | nee | 13de-begin 19de eeuw |
| 213 | 1 | 1 | 35 | 62 | M/V | 20-40 | 25-50 | w-o | antropomorf | nee | 12de eeuw |
| 214 | 1 | 1 | 24 | 49 | M | 30-34 | 25-50 | o-w | ? | nee | ? |
| 216 | 1 | 1 | 23 | 43 | V | 20-40 | 25-50 | o-w | antropomorf | nee | 12de eeuw |
| 219 | 1 | 1 | 28 | 28 | V | 40-44 | 25-50 | w-o | rechthoekig | nee | 13de-begin 19de eeuw |
| 220 | 1 | 1 | 31 | 40 | M | 20-40 | 25-50 | w-o | ? | nee | eind 19de-begin 20ste eeuw |
| 222 | 1 | 1 | 30 | 50 | M | 66 | >50 | o-w | ruit | nee | eind 19de-begin 20ste eeuw |
| 223 | 1 | 2 | 32 | 57 | M/V | 30-60 | 25-50 | o-w | antropomorf | nee | 12de eeuw |
| 224 | 1 | 2 | 33 | 59 | V | 51 | >50 | o-w | rechthoekig | nee | eind 19de-begin 20ste eeuw |
| 225 | 1 | 3 | 34 | 58 | M | 30-34 | 25-50 | o-w | antropomorf? | nee | 12de eeuw? |

### 1.8.8 Bijlage 8: Individuen met een antropomorfe grafkist, daterende uit de 12de eeuw.

| Individu | Spoor | Vnr | Geslacht | Leeftijd | Leeftijdsrange | Periode | Ziekteverschijnselen |
|---|---|---|---|---|---|---|---|
| 129 | 61 | 139 | M/V | 20+ | x | 12de eeuw | |
| 130 | 14 | 138 | M/V | 20+ | x | 12de eeuw | |
| 161 | 12 | 371 | M/V | 20+ | x | 12de eeuw | |
| 177 | 47 | 436 | M? | 30-60 | 25-50 | 12de eeuw | |
| 181 | 49 | 442 | M/V | 20+ | x | 12de eeuw | |
| 182 | 110 | 441 | K | 9-14 | 12-17 | 12de eeuw | |
| 189 | 111 | 512 | M | 30-39 | 25-50 | 12de eeuw | enthesopathieën enkels, jicht |
| 213 | 35 | 62 | M/V | 20-40 | 25-50 | 12de eeuw | |
| 216 | 23 | 43 | V | 20-40 | 25-50 | 12de eeuw | |
| 223 | 32 | 57 | M/V | 30-60 | 25-50 | 12de eeuw | |
| 225 | 34 | 58 | M | 30-34 | 25-50 | 12de eeuw | geheelde verwonding achterzijde rechter scheenbeen |

### 1.8.9 Bijlage 9: Individuen daterende uit de 13de-begin 19de eeuw.

| Individu | Spoor | Vnr | Geslacht | Leeftijd | Leeftijdsrange | Periode | Ziekteverschijnselen |
|---|---|---|---|---|---|---|---|
| 102 | 28 | 63 | V | 20-40 | 25-50 | 13de-begin 19de eeuw | |
| 104 | 30 | 65 | V | 40-80 | >50 | 13de-begin 19de eeuw | DDD |
| 114 | 43 | 134 | V | 40-44 | 25-50 | 13de-begin 19de eeuw | DDD, geheelde breuk linker sleutelbeen |
| 115 | 44 | 102 | V | 30-60 | 25-50 | 13de-begin 19de eeuw | beenvliesontsteking rechter onderkaak |
| 116 | 45 | 123 | M | 30-34 | 25-50 | 13de-begin 19de eeuw | POA heupen, DDD, beenvliesontsteking rechter onderbeen (plaatselijke verwonding) |
| 117 | 46 | 133 | M | 25-29 | 25-50 | 13de-begin 19de eeuw | rachitis |
| 120 | 52 | 185 | M | 50-65 | >50 | 13de-begin 19de eeuw | POA schouders en heup, DDD, hersenvliesontsteking |
| 128.1 | 60 | 191 | V | 40-80 | >50 | 13de-begin 19de eeuw | POA kaak en heupen, DDD, hersenvliesontsteking, bijholteontsteking |
| 128.2 | 4 | 7 | V | 30-60 | 25-50 | 13de-begin 19de eeuw | DDD, VOA |
| 136 | 68 | 255 | V | 30-60 | 25-50 | 13de-begin 19de eeuw | beenvliesontsteking rechter onderbeen (plaatselijke verwonding) |
| 140 | 21 | 317 | M | 52-61 | 25-50 | 13de-begin 19de eeuw | POA hand en heupen, DDD, VOA |
| 147 | 75 | 309 | V | 25-34 | 25-50 | 13de-begin 19de eeuw | POA kaak, heupen en knie, DDD, mogelijk DISH, entesopathieën knieën en enkels |
| 148 | 76 | 329 | M | 45-49 | 25-50 | 13de-begin 19de eeuw | DDD |
| 149 | 80 | 284 | K | 12-15 | 12-17 | 13de-begin 19de eeuw | emailhypoplasie |
| 152 | 88 | 272 | M | 52 | >50 | 13de-begin 19de eeuw | POA kaak, schouder, heupen en knie, DDD, VOA, ankylose heiligbeen met rechter bekkenhelft, beenvliesontsteking linker onderbeen (plaatselijke verwonding) |
| 155 | 79 | 379 | V | 37-46 | 25-50 | 13de-begin 19de eeuw | POA ribben, DDD, VOA |
| 170 | 112 | 427 | K | 6-9 | 6-11 | 13de-begin 19de eeuw | |
| 174 | 117 | 428 | M | 35-39 | 25-50 | 13de-begin 19de eeuw | DDD |
| 183 | 125 | 480 | M | 40-80 | >50 | 13de-begin 19de eeuw | POA schouder, DDD, jicht |
| 186 | 126 | 479 | M | 30-39 | 25-50 | 13de-begin 19de eeuw | DDD, VOA, geheelde breuk in twee wervelbogen, longontsteking links |
| 209 | 18 | 17 | K | 5-7 | 6-11 | 13de-begin 19de eeuw | rachitis |
| 211 | 20 | 35 | V | 52-61 | >50 | 13de-begin 19de eeuw | POA heupen en knieën |
| 212 | 22 | 39 | M | 50-60 | >50 | 13de-begin 19de eeuw | DDD, entesopathieën enkels, beenvliesontsteking linker onderbeen |
| 219 | 28 | 28 | V | 40-44 | 25-50 | 13de-begin 19de eeuw | DDD |

## 1.8.10 Bijlage 10: Individuen daterende uit eind 19de - 20ste eeuw.

| Individu | Spoor | Vnr | Geslacht | Leeftijd | Leeftijdsrange | Periode | Ziekteverschijnselen |
|---|---|---|---|---|---|---|---|
| 101 | 23 | 28 | M | 20-25 | 18-25 | eind 19de-begin 20ste eeuw | emailhypoplasie, DDD, osteochondritis dissecans beide schouders, longontsteking |
| 107 | 33 | 68 | V | 66-75 | >50 | eind 19de-begin 20ste eeuw | POA schouders en handen, DDD, bijholteontsteking, beenvliesontsteking beide benen, mogelijk lepra |
| 108 | 34 | 69 | K | 7-9 | 6-11 | eind 19de-begin 20ste eeuw | |
| 111 | 40 | 70 | K | 4-5 | 1-5 | eind 19de-begin 20ste eeuw | |
| 113 | 42 | 116 | M | 64,33 | >50 | eind 19de-begin 20ste eeuw | POA kaak, ellebogen, pols, handen, heupen, knieën en ribben, DDD, VOA, ankylose twee halswervelbogen, bijholteontsteking |
| 118 | 50 | 166 | K | 11-15 | 12-17 | eind 19de-begin 20ste eeuw | |
| 137 | 69 | 280 | V | 46 | 25-50 | eind 19de-begin 20ste eeuw | VOA |
| 138 | 70 | 303 | M | 20-29 | 18-25 | eind 19de-begin 20ste eeuw | DDD, compressiefractuur borstwervel |
| 153 | 89 | 265 | M | 50-60 | >50 | eind 19de-begin 20ste eeuw | |
| 159 | 77 | 374 | M | 50-65 | >50 | eind 19de-begin 20ste eeuw | POA schouders, elleboog, heupen en knieën, DDD, VOA, TBC |
| 166 | 84 | 390 | M | 60+ | >50 | eind 19de-begin 20ste eeuw | POA elleboog en heupen, DDD |
| 175 | 91 | 476 | M | 36-45 | 25-50 | eind 19de-begin 20ste eeuw | emailhypoplasie, POA schouders, elleboog, pols, handen, heupen, knieën en ribben, DDD, VOA, ziekte van Bechterew, entesopathieën knieën en enkels |
| 184 | 121 | 464 | M | 29 | 25-50 | eind 19de-begin 20ste eeuw | DDD, DISH, rhomboid fossa |
| 220 | 31 | 40 | M | 20-40 | 25-50 | eind 19de-begin 20ste eeuw | DDD, hersenvliesontsteking, bijholteontsteking |
| 222 | 30 | 50 | M | 66 | >50 | eind 19de-begin 20ste eeuw | emailhypoplasie, POA schouders, ellebogen, polsen, heupen, enkels, voeten en ribben, DDD, VOA, ankylose twee halswervelbogen, entesopathieën achterzijde darmbeen, geheelde ribbreuk links, jicht |
| 224 | 33 | 59 | V | 51 | >50 | eind 19de-begin 20ste eeuw | DDD, beenvliesontsteking linker onderbeen (plaatselijke verwonding) met botontsteking |

# 2 FYSISCH-ANTROPOLOGISCHE ANALYSE GESNEUVELDEN

*April Pijpelink*

## 2.1 INLEIDING

Bij civieltechnische werkzaamheden voor het vernieuwen van het riool te Wijtschate werden onder de straat van het Sint-Medardusplein skeletten aangetroffen. Omdat hier geen skeletten werden verwacht is de opgraving als toevalsvondst door Onroerend Erfgoed in samenwerking met Ruben Willaert NV opgegraven, in het najaar van 2020, met een vervolg fase in het voorjaar van 2021.

In totaal waren 122 individuen opgegraven. Twee individuen werden aangetroffen in een bomkrater en betroffen gesneuvelde soldaten uit de Eerste wereldoorlog en 120 individuen maakten deel uit van het voormalige kerkhof rondom de Sint-Medarduskerk (deze zullen in een apart hoofdstuk worden behandeld).

In dit hoofdstuk wordt het fysisch-antropologisch onderzoek naar de twee gesneuvelde soldaten uit de Eerste Wereldoorlog omschreven en worden de resultaten gepresenteerd.

## 2.2 METHODEN EN TECHNIEKEN

Voor de determinatie van menselijk skeletmateriaal zijn standaard methoden en technieken opgesteld. Deze methoden en technieken worden gebruikt om het geslacht, de leeftijd bij overlijden en de lichaamslengte te bepalen en om een uitspraak te doen over de staat van het gebit van het overleden individu. Daarnaast wordt het hele skelet bekeken voor de constatering op botveranderingen die kunnen duiden op ziekteverschijnselen. Aan de hand van deze factoren is het mogelijk om een uitspraak te doen over de samenstelling van het grafveld en de sociale positie van de overleden individuen die in het grafveld begraven lagen.

De meest gangbare methoden en technieken voor de determinatie van menselijk skeletmateriaal zijn gecombineerd tot een standaard methode. Deze standaard methode wordt ook wel ‘Barge’s Antropologica’ of het ‘groene boekje’ genoemd.[59] Naast de standaard methoden en technieken voor de determinatie van menselijk skeletmateriaal zijn er enkele andere methoden en technieken ter beschikking, maar van velen is de betrouwbaarheid nog onder discussie. Voor dit onderzoek is gebruik gemaakt van Barge’s Antropologica en enkele aanvullende methoden (zie hieronder) om de leeftijd bij overlijden en het geslacht te kunnen bepalen indien er te weinig materiaal beschikbaar is voor een determinatie aan de hand van de standaard methode.

### 2.2.1 Conservering

De mate van conservering heeft een grote invloed op de determinatiemogelijkheden. In de meest gunstige omstandigheden is het skelet volledig, zijn de individuele botten niet gefragmenteerd en is de cortex (de wand van het bot) onbeschadigd. In het slechtste geval is het botmateriaal zo ver vergaan dat er slechts een lijksilhouet over is.

De conservering van het materiaal is bij determinatie in vier categorieën opgedeeld:

- Goed: de cortex van het bot is onbeschadigd en het materiaal is niet of amper gefragmenteerd
- Gemiddeld: De cortex ontbreekt gedeeltelijk en het materiaal is gefragmenteerd

[59] Maat & Mastwijk 2005.

- Matig: De cortex ontbreek gedeeltelijk of geheel, het materiaal is sterk gefragmenteerd en de broze delen van het skelet zijn deels of volledig vergaan.
- Slecht: het materiaal is compleet vergaan en/of verpulverd. Er is geen determinatie meer mogelijk.

Om een beeld te krijgen van de compleetheid van het materiaal, wordt er per individu een inventaris bijgehouden van welke lichaamsdelen er aanwezig en afwezig zijn. Nadat het individu terug in anatomisch verband is gelegd wordt er per individu een foto recht van boven gemaakt om duidelijk te kunnen weergeven wat er nog aanwezig is van het individu.[60]

### 2.2.2 Geslacht

Het geslacht wordt bepaald aan de hand van 10 kenmerken aan het bekken, 4 kenmerken aan de onderkaak en 11 kenmerken aan de schedel. Elk kenmerk krijgt een positieve (mannelijke) of negatieve (vrouwelijke) score, welke per lichaamsonderdeel worden berekend (sommige kenmerken wegen zwaarder dan andere) tot één uitkomst. Aan de hand van de uitkomst van het bekken, de onderkaak en de schedel wordt het geslacht vastgesteld. Het bekken is het meest bepalend voor de definitieve geslachtsbepaling. De onderkaak wordt alleen als aanvullende geslachtsindicator gebruikt omdat de Nederlandse onderkaak vaak erg mannelijk is.[61] Bij de geslachtsdeterminatie in dit onderzoek worden de uitkomsten tussen de -0,5 en de 0,5 als onbetrouwbaar beschouwd.

Het bekken en de schedel zijn niet altijd meer aanwezig. In dat geval kan er gekeken worden naar de robuustheid van het lichaam om te bepalen of het om en mannelijk of een vrouwelijk individu gaat. Omdat dit een relatieve methode is zal de geslachtsbepaling op basis van de robuustheid van het lichaam met een vraagteken worden aangeduid om aan te geven dat de geslachtsbepaling waarschijnlijk, maar niet zeker is.

Bij onvolwassen individuen is het niet mogelijk om het geslacht vast te stellen. De geslachtskenmerken ontwikkelen zich gedurende de ontwikkeling van het lichaam. Pas als het lichaam volgroeid is, is het mogelijk om het geslacht te bepalen. Onvolwassen individuen lijken daarom altijd vrouwelijk te zijn.

### 2.2.3 Leeftijd bij overlijden

Onder volwassen individuen worden individuen vanaf 20 jaar oud verstaan. Rond het twintigste levensjaar is het menselijk lichaam namelijk volledig volgroeid. De leeftijd bij overlijden van onvolwassen individuen is vaak nauwkeuriger en betrouwbaarder dan de leeftijd bij overlijden van volwassenen, omdat het lichaam van onvolwassen individuen nog in ontwikkeling is. Vele ontwikkelingsstadia kunnen nauwkeurig gekoppeld worden aan een leeftijd, maar er moet wel rekening gehouden worden met het feit dat de gezondheid van een individu de ontwikkelingssnelheid van het lichaam kan beïnvloeden.

De leeftijd bij overlijden van onvolwassen individuen (jonger dan 20 jaar) kan op vier manieren worden vastgesteld. Waar mogelijk worden deze methoden gecombineerd. De leeftijd van onvolwassen individuen wordt bepaald door te kijken naar de doorbraak van de gebitselementen[62], naar de fusering van de verschillende skeletonderdelen van de schedel, de wervelkolom en het bekken[63], naar de lengte van de lange beenderen met of zonder gewrichtsuiteinden (zonder epifyseschijven)[64] en naar de fusering van de uiteinden (epifyseschijven) van de lange beenderen.[65]

[60] Zie figuur 1.
[61] Maat & Mastwijk 2005, 10.
[62] Ubelaker 1978; WEA 1980.
[63] Maat & Mastwijk 1995; Rauber & Kopsch 1952; Wolff-Heidegger 1954.
[64] Maresh 1955.
[65] Brothwell 1981; WEA 1980.

De leeftijd bij overlijden van volwassenen (boven de 20 jaar) is bepaald aan de hand van de complexe methode[66], dat wil zeggen, door middel van een combinatie van vier methoden voor de bepaling van de leeftijd bij overlijden.[67] De leeftijd bij overlijden is bepaald aan de hand van de slijtage op het schaambeen, de vergroeiing van de schedelnaden en de poreusheid van de proximale opperarm en het proximale dijbeen.[68] De complexe methode is de meest gangbare methode voor de determinatie van de leeftijd bij overlijden van volwassenen in Nederland. Indien er te weinig materiaal beschikbaar is om tot een leeftijd bij overlijden te komen aan de hand van de complexe methode, is er ter aanvulling ook gekeken naar de degeneratieve veranderingen in het darmbeen.[69] Deze laatste methode wordt de laatste jaren als betrouwbare methode beschouwd om een leeftijd bij overlijden te bepalen en wordt vaak ter aanvulling op de complexe methode toegepast. Het darmbeen blijft vaak beter bewaard dan de lichaamsdelen die benodigd zijn voor de complexe methode. Bij een slechte conservering zijn de degeneratieve veranderingen in het darmbeen vaak de enige leeftijdsindicator. De concluderende leeftijdsrange aan de hand van de degeneratieve veranderingen in het darmbeen is kleiner dan de leeftijdsrange aan de hand van de complexe methode. De uitkomst van de twee verschillende methoden komen meestal overeen, maar de complexe methode wordt als meest betrouwbaar geacht.

Het stadium van de degeneratieve veranderingen in het darmbeen wordt bij elk individu genoteerd, maar zal alleen in de concluderende resultaten worden opgenomen indien de complexe methode geen resultaten oplevert.

Bij de determinatie van de leeftijd bij overlijden moet rekening gehouden worden met het feit dat elk individu zich in een ander tempo ontwikkelt en dat een leeftijdsbepaling dus altijd iets kan afwijken van de echte leeftijd.

De concluderende leeftijd bij overlijden per individu valt altijd binnen een leeftijdsrange.[70] Per individu wordt het gemiddelde van deze leeftijdsrange gebruikt om de totale gemiddelde leeftijd bij overlijden te bepalen. Bij een leeftijdsrange van bijvoorbeeld 20-40 jaar wordt een leeftijd van 30 jaar gebruikt om de gemiddelde leeftijd van de onderzochte populatie te berekenen. Bij een leeftijdsoverzicht per 10 jaar zou een individu van 20-40 jaar oud dus worden ingedeeld in de categorie van 30-40 jaar.

### 2.2.4 Lichaamslengte

De lichaamslengte van een individu is deels erfelijk bepaald, maar ook afhankelijk van de leefomstandigheden. Hoe beter de leefomstandigheden, bijvoorbeeld een vitaminerijke voeding en lichte arbeid, hoe langer iemand kan worden. Daarom kan de lichaamslengte een bijdrage leveren aan de bepaling van de sociale status van de begraven individuen.

Er zijn twee methoden voor de berekening van de lichaamslengte van een individu. Bij beide methoden wordt de lengte van de lange beenderen gemeten. Deze lengte(s) worden verwerkt in een formule om zo tot een lichaamslengte te komen. De eerste methode voor de berekening van de lichaamslengte is de methode van Trotter (en Gleser).[71] Deze methode is bruikbaar voor de berekening van de lichaamslengte van zowel mannen als vrouwen en kent een correctie factor voor de leeftijd bij overlijden van een individu. De tweede methode voor de berekening van de lichaamslengte is de methode van Breitinger.[72] Deze methode is alleen te gebruiken voor mannen en vergt deels andere maten van de lange beenderen dan de methode van Trotter (en Gleser).[73]

[66] De complexe methode is een onderdeel van Barge's Antropologica.
[67] Maat & Mastwijk 2005, 12.
[68] Acsádi & Nemeskéri 1970; Broca 1875; Nemeskéri *et al.* 1960; Sjøvold 1975; WEA 1980.
[69] Lovejoy *et al.* 1985.
[70] Bijvoorbeeld 5-8 of 20-40 jaar.
[71] Trotter 1970; Trotter & Gleser 1958.
[72] Breitinger 1937.
[73] Maat & Mastwijk 2005, 13.

### 2.2.5 Ziekteverschijnselen

Botveranderingen die kunnen duiden op ziekteverschijnselen zijn misschien wel de meest belangrijke factoren voor het bepalen van de sociale positie van een bevolkingsgroep. Er zijn verschillende categorieën ziekteverschijnselen: traumata, infectieziekten, deficiëntieziekten, degeneratieve gewrichtsaandoeningen, overige ziekteverschijnselen en anomalieën.

Elke soort ziekteverschijnselen zegt iets over de gezondheid en daarmee de sociale positie van de bevolkingsgroep.

*Trauma*

Onder trauma worden over het algemeen botbreuken verstaan, maar ook andere vervormingen aan het bot welke het gevolg zijn van knelling, een harde klap of geweld. In de meeste gevallen worden geheelde botbreuken teruggevonden, maar het is ook mogelijk dat een individu is overleden als gevolg van de breuk, in welk geval de breuk een scherpe rand heeft. Als een botbreuk gezet en gespalkt wordt kan deze zo mooi helen dat er weinig van de oorspronkelijke breuk te zien is. Ongezette of ongespalkte breuken kunnen scheef groeien en zijn vaak een stuk beter te herkennen.

*Infectieziekten*

Infectieziekten kunnen het lichaam binnentreden via lichamelijk contact, via voedsel of door inhalatie.[74] De meeste infectieziekten blijven in het zachte weefsel van het lichaam en blijven daardoor archeologisch onzichtbaar. Enkele infectieziekten manifesteren zich wel al in een vroeg stadium in het skelet.[75]

*Deficiëntieziekten*

Deficiëntieziekten zijn ziekten als gevolg van een tekort aan voedingsmiddelen of andere belangrijke bestanddelen die men nodig heeft om normaal te kunnen leven. De aan- of afwezigheid van deficiëntieziekten is daarom een zeer geschikte factor om uitspraak te kunnen doen over de sociale positie van een bevolkingsgroep.[76]

*Degeneratieve gewrichtsaandoeningen*

Er zijn drie soorten degeneratieve gewrichtsaandoeningen: *perifere osteoartrose* of POA (artrose in alle gewrichten behalve in de wervelkolom), *vertebrale osteoartrose* of VOA (artrose in de onderlinge articulatievlakken van de wervelkolom) en de *degenerative disc disease* of DDD (slijtage en botreactie in de tussenwervelschijven)[77].

Alle drie de gewrichtsaandoeningen zijn deels gerelateerd aan leeftijd: gewrichten slijten als gevolg van het gebruik van de gewrichten. De intensiteit van het gebruik van de gewrichten en de belasting van de gewrichten bepaald hoe snel de gewrichtsslijtage optreedt. Over het algemeen treedt bij iedereen boven de 40 jaar gewrichtsslijtage op.[78]

*Overige ziekteverschijnselen*

Overige ziekteverschijnselen zijn ziekten die niet aan één van de andere ziektecategorieën zijn toe te schrijven, doordat er geen duidelijke oorzaak van de ziekte is, of omdat de oorzaak van de ziekte verschilt van de ziekten uit de andere categorieën.

[74] Ortner 2003, 179.
[75] Ortner & Putschar 1981.
[76] Ortner & Putschar 1981; Maat & Mastwijk 2005, 15.
[77] Rogers & Waldron 1995.
[78] Rogers & Waldron 1995.

*Anomalieën*

Anomalieën zijn (meestal aangeboren) afwijkingen waar een individu over het algemeen geen last van heeft. Sommige van deze anomalieën zijn overerfbaar.[79]

### 2.2.6 Gebitsstatus

De aan- of afwezigheid van gebitselementen kan iets zeggen over de gezondheid van het gebit. Bij elk individu komen normaal 32 gebitselementen door (bij het ontbreken van de verstandskiezen 28). Door onder andere een slecht onderhoud van het gebit kunnen gebitselementen uitvallen.

Ook gebitsaandoeningen zijn belangrijke indicatoren voor de gezondheid van het gebit en mogelijk ook voor de sociale status van het individu. Onder gebitsaandoeningen worden gaatjes (cariës), abcessen, wortelpunt ontstekingen (fistula's), emailhypoplasiën (ribbels of putjes in het tandemail als gevolg van een tijdelijke stop in de ontwikkeling van de tanden door een tekort aan voedingsstoffen) en pijprokersgaten gerekend.

## 2.3 RESULTATEN

Gedurende de opgraving zijn de resten van twee soldaten uit de Eerste Wereldoorlog aangetroffen. De gesneuvelde soldaten konden worden onderscheiden van het voormalige kerkhof wat deel uitmaakte van de Sint-Medarduskerk doordat de soldaten werden aangetroffen in bomkraters en werden gevonden met resten van hun militaire uitrusting.

De onderzoeksresultaten zullen per individu worden behandeld.

### 2.3.1 Individu 1

Individu 1 lag tussen de inhumaties van de voormalige begraafplaats in een bomkrater. Het individu werd in drie delen uit de bomkrater verzameld, waarbij alle lichaamsdelen van één individu afkomstig lijken te zijn (fig. 1, 2 en 3). Het individu was vrij compleet, alleen de linker onderarm en het linker been ontbraken. De resten van kledij doen vermoeden dat de soldaat een Duitse nationaliteit had.

Het botmateriaal was gemiddeld tot matig bewaard gebleven. Delen van de wervelkolom en de gewrichten zijn deels vergaan en de cortex van het bot begint af te bladeren. Het botmateriaal was grotendeels gefragmenteerd. Slechts één bot was volledig bewaard gebleven.

De geslachtskenmerken aan het bekken duiden op een mannelijk individu. De wervellichamen waren nog niet volledig volgroeid wat duidt op een leeftijd bij overlijden van 18-25 jaar. Alle gewrichten waren wel volgroeid, wat aangeeft dat de jonge man ten minste 20 jaar oud was. Individu 1 had dus een sterfteleedtijd van 20-25 jaar oud. Op basis van de lengte van de rechter opperarm kon worden berekend dat het individu een lichaamslengte had van 176,1 cm (± 4,05 cm).

Er waren geen delen van het gebit meer aanwezig voor inspectie. De jonge man vertoonde twee '*Schmorl's noduli*' in de onderrug (fig. 4). Dit is een vorm van degeneratie in de wervelkolom als gevolg van zware overbelasting. Normaliter is degeneratie in de wervelkolom normaal vanaf een leeftijd van 40 jaar, maar bij oorlogsslachtoffers wordt dit zeer frequent al op jonge leeftijd waargenomen.[80] In de rechter opperarm is een klein goedaardig gezwel waargenomen (*osteochondroom*) in de vorm van een klein bultje (fig. 5) en het individu vertoonde een veel voorkomende aangeboren afwijking in de vorm van eilandjes in de schedelnaad van het achterhoofd (*lambdoïd wormian bones*).

[79] Ortner 2003, 453-479.
[80] Waarneming van auteur bij alle uitgevoerde Eerste Wereldoorlog onderzoeken.

De vingerkootjes van de rechter hand vertoonden een groene verkleuring als gevolg van de oxidatie van een ring die bij het individu werd aangetroffen.

Figuur 1: De volledigheid van individu 1 deel 1.

Figuur 2: De volledigheid van individu 1 deel 2.

Figuur 3: De volledigheid van individu 1 deel 3.

Figuur 4: *Schmorl's noduli* in een borstwervel van individu 1.

Figuur 5: Goedaardig gezwel in de rechter opperarm van individu 1.

### 2.3.2 Individu 2

Individu 2 werd meer richting het westen aangetroffen ten opzichte van individu 1. Dit individu lag ook in een bomkrater en binnen de grenzen van het kerkhof van de Sint-Medarduskerk, maar op een locatie waar de begravingen van het kerkhof in mindere mate aanwezig waren en waar de begraafplaats voor een groot deel lijkt te zijn afgetopt.

Van dit individu was veel minder bewaard gebleven dan van individu 1. Er waren nog slechts een linker onderarm (*radius*), een linker knieschijf en een linker voet aanwezig (fig. 6). Het botmateriaal was gemiddeld tot matig bewaard gebleven. En behalve de knieschijf waren alle beenderen gefragmenteerd.

Het was niet meer mogelijk om het geslacht te bepalen, al zal het individu zeer waarschijnlijk een man zijn geweest aangezien het een gesneuvelde soldaat betrof. Aan de hand van de volgroeiing van de voet zal het individu ten minste 20 jaar oud zijn geweest. Een maximale sterfteleeftijd was niet meer vast te stellen. Een lichaamslengteberekening was niet meer mogelijk bij gebrek aan volledige pijpbeenderen en er zijn geen ziekteverschijnselen waargenomen.

Figuur 6: De volledigheid van individu 2.

## 2.4 CONCLUSIE

Tijdens het veldwerk zijn de resten van twee gesneuvelde soldaten aangetroffen. Beide individuen zijn in een bomkrater gevonden binnen de grenzen van het grafveld van de Sint-Medarduskerk, maar maakten duidelijk geen deel uit van de begravingen op het voormalige kerkhof.

Individu 1 was vrij compleet en betrof een jonge man van 20-25 jaar oud. De man vertoonde degeneratie in de wervelkolom, vermoedelijk als gevolg van de zware lichamelijke belasting in de loopgraven. Van individu 2 waren nog slechts een linker onderarm, een linker knieschijf en linker voet aangetroffen. Van dit individu kon enkel nog worden vastgesteld dat het een volwassen individu betrof van ten minste 20 jaar oud.

## 2.5 LITERATUUR


ACSÁDI G. & NEMESKÉRI J. 1970: *History of Human Life Span and Mortality*. Budapest.

BREITINGER E. 1938: Zur berechnung der Korperhöhe aus den langen Gliedermassenknochen, *Anthropologischer Anzeiger* 14, 249-47.

BROCA P. 1875 : *Instructions craniologiques et craniométriques*, Mémoires de la Société d'Anthropologie de Paris II, 2ème sér., Paris. https://doi.org/10.3406/bmsap.1875.3626

BROTHWELL D.R. 1981: *Digging up bones* [3rd edition], Oxford.

LOVEJOY C.O., MEINDL R.S., PRYZBECK T.R. & MENSFORTH R.P. 1985: Chronological metamorphosis of the auricular surface of the ilium: a new method for the determination of adult skeletal age at death, *American Journal of Physical Anthropology* 68, 15-28. https://doi.org/10.1002/ajpa.1330680103

MAAT G.J.R. 2003: Male stature, a parameter of health and wealth in the low countries, 50-1997 AD. In: HILLSON S.W., BROTHWELL D.R. & MAAT G.J.R. (red.), Wealth, Health and Human Remains in Archaeology (Vijfentwintigste Kroonvoordracht), Amsterdam, 57-88.

MAAT G.J.R. & MASTWIJK R.W. 1995: Fusion status of the jugular growth plate: an aid for age at death determination, *International Journal of Osteoarchaeology* 5, 163-167. https://doi.org/10.1002/oa.1390050209

MAAT G.J.R. & MASTWIJK R.W. 2005: *Manual for the Physical Anthropological Report*, Barge's Anthropologica 6, Leiden.

MAAT G.J.R., MASTWIJK R.W. & JONKER M.A. 2002: *Citizens buried in the 'Sint Janskerkhof' of the 'Sint Jans'cathedral of 's-Hertogenbosch in the Netherlands. ca. 1450 and 1830-1858 AD*, Barge's Anthropologica 8, Leiden.

MANN R.W. & HUNT D.R. 2005: *Photographical regional atlas of bone disease, a guide to pathologic and normal variation in the human skeleton*, Springfield.

MARESH M.M. 1955: Linear growth of long bones of extremities from infancy through adolescence, *American Journal of diseases of Children* 89, 725-742. https://doi.org/10.1001/archpedi.1955.02050110865010NEMESKÉRI J., HARSÁNYI R. & ACSÁDI G. 1960 : Methoden zur Diagnose des lebensalters von Skeletfunden, *Anthropologischer Anzeiger* 24, 70-95.

ORTNER D.J. 2003: *Identification of Pathological Conditions in Human Skeletal Remains* [second edition], San Diego. ORTNER D.J. & PUTSCHAR W.G.J. 1981: *Identification of pathological conditions in human skeletal remains*, Washington.

RAUBER A. & KOPSCH F. 1952: *Lehrbuch und Atlas der Anatomie des Menschen* [18. Auflage], Leipzig.

ROGERS J. & WALDRON T. 1995: *A Field Guide to Joint Disease in Archaeology*, New York.

SJØVOLD T. 1975: Tablesof the combined method for determination of age at death given by Nemeskéri, Harsányi and Acsádi, *Anthrop. Közl*. 19, 9-22.TROTTER M. 1970: Estimation of stature from intact limb bones. In: Stewart T.D. (ed.), *Personal identification in mass disasters*, Washington.

TROTTER M. & GLESER G.C. 1958: A re-evaluation of estimation of stature based on measurements of stature taken during life and of long bones after death, *American Journal of Physical Anthropology* 16, 79-123. https://doi.org/10.1002/ajpa.1330160106

UBELAKER D.H. 1978: *Human Skeletal Remains: excavation, analysis and interpretation*, AChicago.

WOLFF-HEIDEGGER G. 1954: *Atlas der Systematischen Anatomie des Menschen, Band 1*, Basel.

WORKSHOP OF EUROPEAN ANTHROPOLOGISTS (WEA) 1980: Recommendations for age and sex diagnosis of skeletons, *Journal of Human Evolution* 9, 517-549. https://doi.org/10.1016/0047-2484(80)90061-5

3 LUCHTFOTOGRAFISCHE STUDIE

# Wijtschate: Sint-Medardusplein

Historisch onderzoek projectgebied a.d.h.v. historische luchtfoto's en loopgravenkaarten

**Opdrachtgever:** Ruben Willaert NV / agentschap Onroerend Erfgoed

**Auteur: dr. B. Stichelbaut**

**Project:** *Wijtschate: Sint-Medardusplein: Historisch onderzoek projectgebied a.d.h.v. historische luchtfoto's en loopgravenkaarten*

**Opdrachtgever:** Ruben Willaert NV / Agentschap Onroerend Erfgoed

**Projectcode:** Vondstmelding ID 5606 – 7477 – 7940 - 7998

**Uitvoerder:** dr. Birger Stichelbaut, Centrum voor Historische en Archeologische Luchtfotografie, UGent Vakgroep Archeologie.

**Rapport**: CHAL-rapport 225

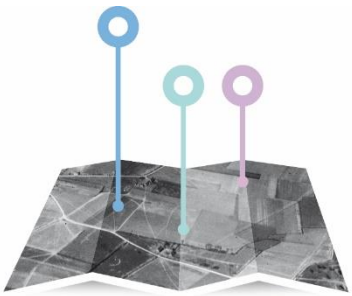

CENTRUM VOOR HISTORISCHE & ARCHEOLOGISCHE LUCHTFOTOGRAFIE

IN FLANDERS FIELDS MUSEUM

UNIVERSITEIT GENT

west-vlaanderen de gedreven provincie

## 3.1 INLEIDING EN VRAAGSTELLING

Naar aanleiding van enkele WO1-vondstmeldingen op het Sint-Medardusplein in Wijtschate (Heuvelland) ( ID 5606 – 7477 – 7940 – 7998) (Verdegem & Pijpelink 2020, 2021a, b, c) wordt een desktopstudie uitgevoerd met betrekking tot de historische en ruimtelijke contextualisatie van de aangetroffen structuren. Met betrekking tot de Eerste Wereldoorlog werden de resten aangetroffen van twee gesneuvelden (resten van één Brits en één Duits slachtoffer) en een loopgraaf.

Op basis van een beproefde methodologie worden door de Vakgroep Archeologie sinds 2005 historische luchtfoto's bestudeerd die dateren uit de Eerste Wereldoorlog (Stichelbaut 2006, Stichelbaut 2011). Letterlijk duizenden beelden werden tijdens dit conflict genomen door alle strijdende partijen en deze beelden bevinden zich in enkele grote militaire archieven en musea ter wereld (Stichelbaut & Bourgeois 2009). Luchtfoto's uit de Eerste Wereldoorlog zijn een zeer gedetailleerde bron van informatie die een inzicht bieden in wat er op het terrein gebeurde.

De **concrete doelstellingen** van dit historisch desktoponderzoek zijn:

- Analyse van historische luchtfoto's met betrekking tot de vondstlocatie, ruimtelijke en historische contextualisatie van het projectgebied;
- Chronologisch overzicht geven van de ontwikkeling van de site tijdens WO1;
- Aandacht voor de evolutie van de loopgraven in het projectgebied met bijzondere aandachtvoor de loopgraven en de grenzen en eventuele evolutie/degradatie van het kerkhof tijdens de oorlog;
- Vergelijking van de opgravingsresultaten met de *remote sensing* gegevens.

## 3.2 STUDIEGEBIED – AFBAKENING ZONE

Het projectgebied (combinatie van vier kleinere vondstmeldingen) bevindt zich in Heuvelland (Wijtschate) aan het Sint-Medardusplein en wordt afgebeeld op figuur 1.

Figuur 1: Afbakening studiegebied (bron orthofoto: Digitaal Vlaanderen).

## 3.3 DATA EN ARCHIEVEN

Archiefonderzoek heeft aangetoond dat er zich verspreid over België, Europa, Australië en de VS grote luchtfotoarchieven bevinden (Stichelbaut 2009, Stichelbaut & Bourgeois 2008, Stichelbaut & Bourgeois 2009). Het studiegebied wordt bedekt door 48 historische luchtfoto's.

De oudste luchtfoto die binnen deze zone teruggevonden werd dateert van 3 juli 1915. De laatste gedateerde WO1-foto dateert van 21 augustus 1918. Een vergelijkende luchtfotografische studie biedt dus een diachroon overzicht van het militaire landschap in het studiegebied in deze periode. Om de evolutie van het naoorlogse landschap te bekijken, worden in deze studie ook de luchtfoto's uit de Tweede Wereldoorlog geraadpleegd.

De luchtfoto's die van toepassing zijn voor dit specifieke projectgebied, zijn afkomstig uit vijf archiefinstellingen:

- Bayerisches Hauptstaatsarchiv (BayHaupsta): 7
- Imperial War Museums (IWM): 28
- Mc Masters University: 2
- US National Archives (NARA): 5
- National Collection of Aerial Photographs (TARA): 6.

| Ugent ID | Datum | Historische referentie | Archiefreferentie | Archief |
|---|---|---|---|---|
| **6983** | 3/07/1915 | B 793 | box 17 1915 | IWM |
| **12473** | 3/07/1915 | B 799 | Box 17 | IWM |
| **18471** | 3/07/1915 | B 799 | Box 17 799 B 28 O 1915 | IWM |
| **25822** | 3/07/1915 | | MC Masters University 245WW1AIR | Mc Masters University |
| **12528** | 17/01/1916 | BC155 | Box 46 | IWM |
| **7005** | 23/01/1916 | BC 278 | box 46 1916 | IWM |
| **12559** | 23/01/1916 | BC278 | Box 46 | IWM |
| **12592** | 5/02/1916 | BC350 | Box 46 | IWM |
| **12598** | 21/02/1916 | BC490 | Box 47 | IWM |
| **6991** | 16/05/1916 | IB 57 | box 42 1916 | IWM |
| **13884** | 25/08/1916 | A FL A 213 472a | Karton 13 | Bayerisches Hauptstaatsarchiv |
| **12615** | 26/09/1916 | 1B693 | Box 53 | IWM |
| **7012** | 21/10/1916 | IB 723 | box 53 1916 | IWM |
| **12622** | 21/10/1916 | 1B723 | Box 53 | IWM |
| **14796** | 13/11/1916 | 1 B 806 | Box 53 | IWM |
| **7011** | 20/12/1916 | IB 836 | box 54 1916 | IWM |
| **7002** | 24/12/1916 | IB 866 | box 45 1916 | IWM |
| **7013** | 24/12/1916 | IB 867 | box 54 1916 | IWM |
| **14066** | 26/05/1917 | 53 B 501 | Box 195 | IWM |
| **4346** | 3/06/1917 | 20 K 1458 | Box 185 1917 | IWM |
| **4347** | 3/06/1917 | 20 K 1463 | Box 185 1917 | IWM |
| **7030** | 3/06/1917 | 20 K 1458 | box 185 1917 | IWM |
| **7042** | 6/06/1917 | 53 B 692 | box 197 1917 | IWM |
| **25821** | 12/06/1917 | 53 B 750 | MC Masters University 245WW1AIR | Mc Masters University |
| **16476** | 14/06/1917 | 3370 | B- Fl. Abteilung 294 8b | Bayerisches Hauptstaatsarchiv |
| **16477** | 14/06/1917 | 3371 | B- Fl. Abteilung 294 8b | Bayerisches Hauptstaatsarchiv |
| **16478** | 14/06/1917 | 3374 | B- Fl. Abteilung 294 8b | Bayerisches Hauptstaatsarchiv |
| **16479** | 14/06/1917 | 3372 | B- Fl. Abteilung 294 8b | Bayerisches Hauptstaatsarchiv |
| **16480** | 14/06/1917 | 3376 | B- Fl. Abteilung 294 8b | Bayerisches Hauptstaatsarchiv |
| **7037** | 18/12/1917 | 69 B 160 | box 187 1917 | IWM |
| **15944** | 28/12/1917 | FL 8 7109 | Karton 23 | Bayerisches Hauptstaatsarchiv |
| **19043** | 3/01/1918 | X69B 21 | Box 180 21 X69B 28O 1918 | IWM |
| **7056** | 29/07/1918 | 10 B 95 | box 179 1918 | IWM |
| **7057** | 31/07/1918 | 10 B 125 | box 179 1918 | IWM |
| **19448** | 21/08/1918 | 10B 285 | Box 179 285 10B 28O | IWM |
| **19451** | 21/08/1918 | 10B 291 | Box 179 291 10B 28O | IWM |
| **16998** | 1/06/1942 | TARA_ACIU_A_838_1048 | TARA ACIU A/0838 | TARA |
| **16999** | 1/06/1942 | TARA_ACIU_A_838_1049 | TARA ACIU A/0838 | TARA |
| **17000** | 1/06/1942 | TARA_ACIU_A_838_1050 | TARA ACIU A/0838 | TARA |
| **22623** | 23/12/1942 | | NCAP_ACIU_R_972_5039 | TARA |
| **22624** | 23/12/1942 | | NCAP_ACIU_R_972_5040 | TARA |
| **17043** | 20/06/1943 | TARA_ACIU_RA_456_5066 | TARA ACIU RA 456 | TARA |
| **47983** | 23/03/1944 | 30 PRS PP 37 - 2004 | RG373 D 8531 | NARA |
| **47984** | 23/03/1944 | 30 PRS PP 37 - 2005 | RG373 D 8531 | NARA |
| **47985** | 23/03/1944 | 30 PRS PP 37 - 2006 | RG373 D 8531 | NARA |
| **43741** | 8/07/1945 | 755A 3076-2-1 - 201 | RG373 E 1338 | NARA |
| **43742** | 8/07/1945 | 755A 3076-2-1 - 199 | RG373 E 1338 | NARA |
| **7071** | s.d. | | IWM | IWM |

Tabel 1: Lijst geconsulteerde luchtfoto's.

## 3.4 GEORECTIFICATIE LUCHTFOTO'S

De luchtfoto's lijken op het eerste zicht perfect verticaal te zijn. Omwille van de opname-omstandigheden treden er echter schaalverschillen treden op in delen van de luchtfoto's. De beelden worden daarom beter omschreven als 'bijna-verticaal'. Om deze reden werd geopteerd voor een polynomiale transformatie van de 2de orde om de beelden recht te trekken. Onderstaande figuur toont de luchtfotobedekking van het onderzoeksgebied met 48 verticale luchtfoto's uit de periode van de Eerste en Tweede Wereldoorlog.

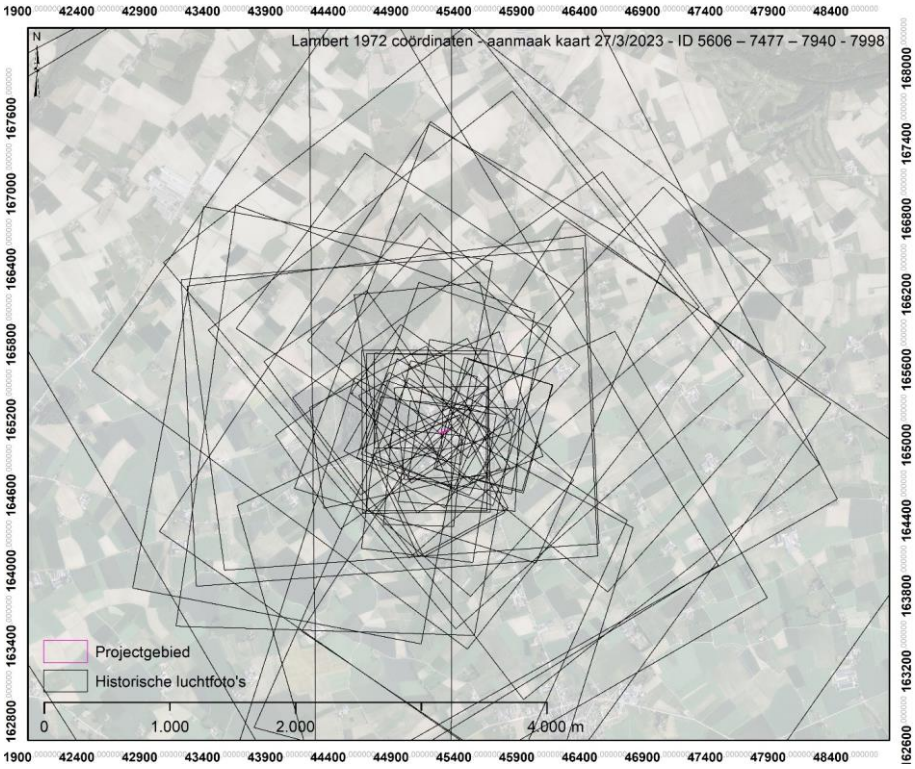


Figuur 2: Verspreiding van 47 geraadpleegde verticale luchtfoto's (bron orthofoto: Digitaal Vlaanderen).

## 3.5 HISTORISCHE OMKADERING & LUCHTFOTO-INTERPRETATIE

### 3.5.1 Eerste Slag om Ieper en uitbouw van het loopgravenstelsel

Na de val van de Antwerpse fortengordel en de terugtrekking van het Belgische Leger naderde de oorlog begin oktober 1914 met rasse schreden de Westhoek. Het Belgische Leger trok zich terug achter de IJzer en nabij Diksmuide werd een bruggenhoofd opgericht. Nabij Ieper namen de geallieerden stelling op de hoogtes ten oosten van de stad. Tijdens en net na de Eerste Slag om Ieper (19 oktober – 22 november 1914 ) sloeg de bewegingsoorlog om in een patstelling in de loopgraven. Wijtschate (en het projectgebied) kwam tussen 30 oktober en 2 november 1914 pal op het slagveld van de Eerste Slag om Ieper te liggen wanneer het dorp enkele malen van bezetter wisselde maar uiteindelijk werd ingenomen na Duitse aanvallen door de Duitse 3de Divisie (Figuur 4 tot Figuur 6) (Edmonds 1925). Het front kwam aan het einde van de Eerste Slag om Ieper in een wijde boog rondom Ieper – de Ieperboog of *Ypres Salient* – te liggen. Ten zuiden maakte de frontlijn een omgekeerde S-vorm en volgde het de hoogtes bij Wijtschate en Mesen; deze sector stond bekend als de Wijtschateboog. Het projectgebied situeerde zich in een sector die van groot strategisch belang was en sterk uitgebouwd werd. Het bevond zich op zowat anderhalve kilometer achter de Duitse frontlijn (Figuur 3).

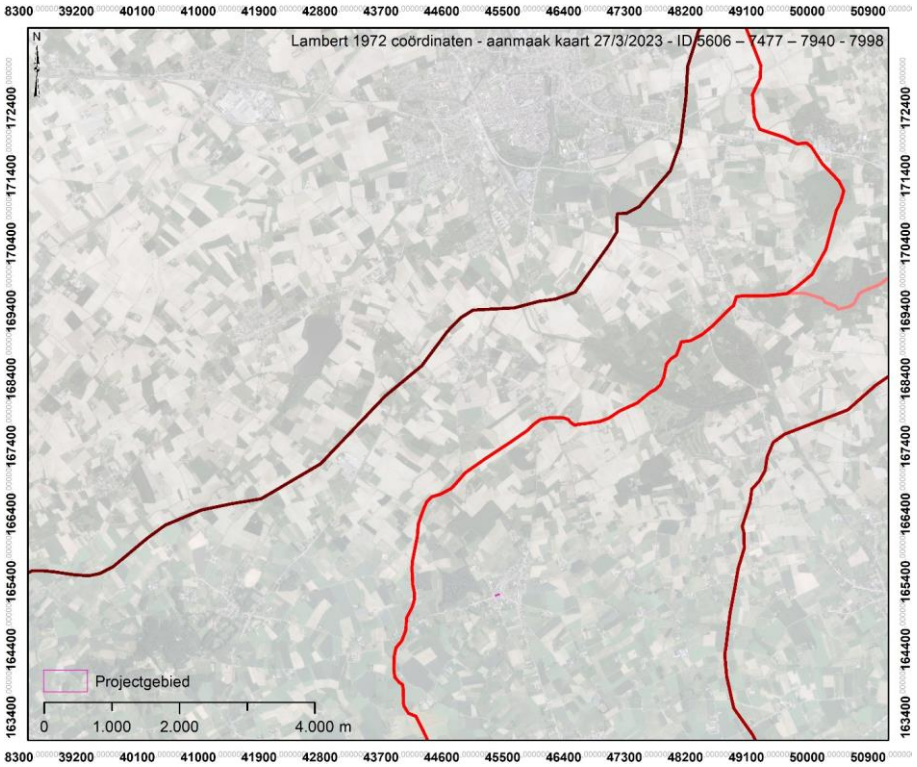


Figuur 3: Ligging van het projectgebied ten opzichte van de voornaamste frontlijnen (bron orthofoto: Digitaal Vlaanderen).

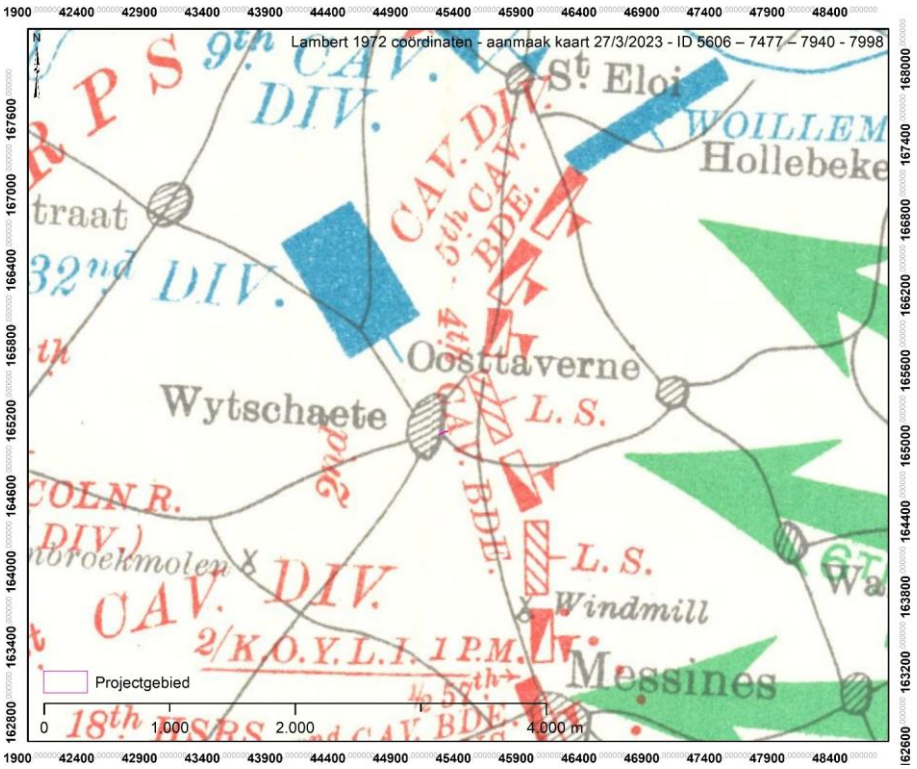


Figuur 4: Frontlijn op 31 oktober 1914 (uit: Edmonds 1925).

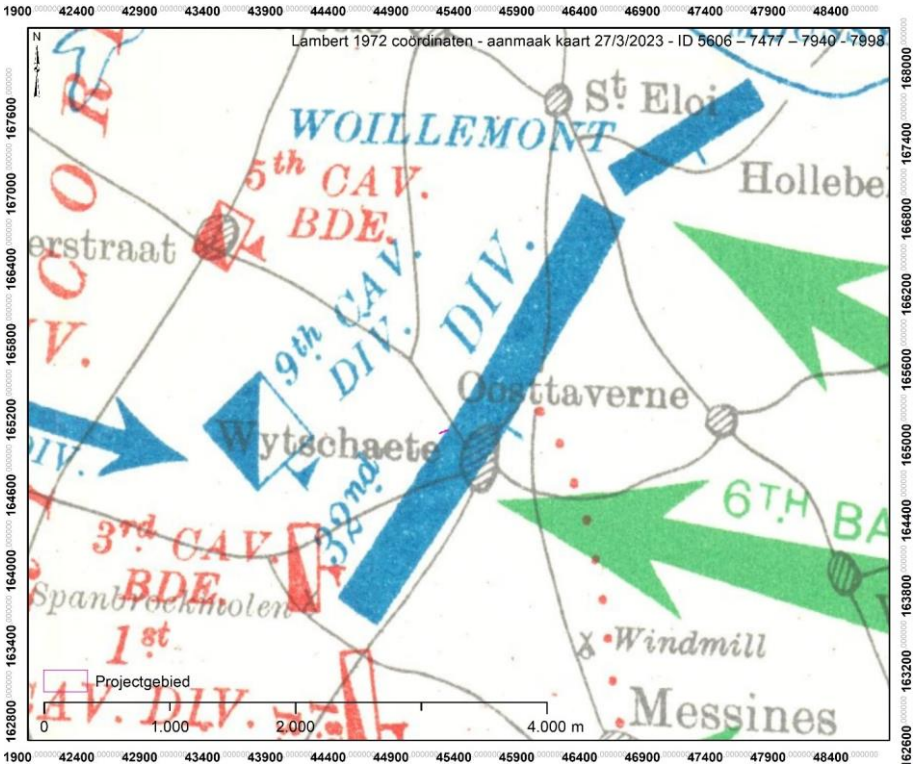


Figuur 5: Frontlijn op 1 november 1914 (uit: Edmonds 1925).

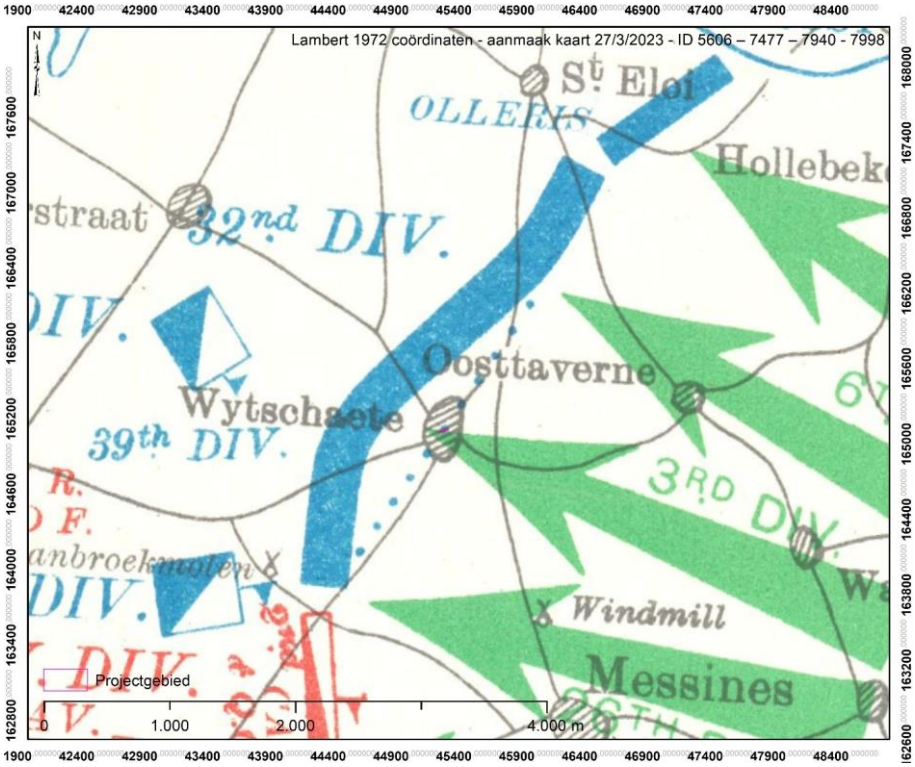


Figuur 6: Frontlijn op 2 november 1914 (uit: Edmonds 1925).

### 3.5.2 1915-1917

De vroegste beschikbare kaarten voor deze plek dateren van 21 april en 1 mei 1915. Hierop zien we voor het eerst de verdediging van het dorp volledig aangeduid. Binnen de contouren van het projectgebied zijn er geen militaire structuren waar te nemen. De afgebeelde kaart is wel informatief met betrekking tot de afbakening van het kerkhof dat tot in het projectgebied liep (Figuur 7).

De vroegste luchtfoto's dateren van 3 juli 1915 en tonen de begrenzing van de civiele begraafplaats rond de kerk. Ten zuiden van het projectgebied bevond zich geen open plein zoals vandaag maar wel een huizenrij. Deze huizenrij werd van het kerkhof gescheiden door een smalle voetwegel (Figuur 8). Maanden later zien we begin februari 1916 de steeds toenemende mate van vernieling van de kerk (Figuur 9). Ook op het kerkhof zijn tal van grote granaattrechters zichtbaar (Figuur 9).

Op 21 februari zien we voor het eerst een diepe loopgraaf met een recht verloop die het projectgebied volledig dwarst. Naar het noorden toe sluit deze aan op de versterkingen bij Kapellerie. In het zuiden knikt deze oostwaarts af. In augustus en september 1916 zien we duidelijk dat de loopgraaf ter hoogte van het projectgebied werd overdekt, wellicht met de bedoeling de bovengrondse wegen bruikbaar te houden (Figuur 11 & Figuur 12). Amper één maand later zien we in de westelijke helft van het projectgebied enkele vergravingen die moeilijk te interpreteren zijn. Mogelijk gaat het om grote granaattrechters die gedempt werden om de voetweg te repareren (Figuur 13). Tot aan de start van de Mesenslag zijn geen wijzigingen te bemerken (Figuur 14).

Figuur 7: Duitse loopgravenkaart 1 mei 1915 (bron: IFFM).

Figuur 8: Britse luchtfoto 3 juli 1915 (bron: IWM).

Figuur 9: Britse luchtfoto 5 februari 1916 (bron: IWM).

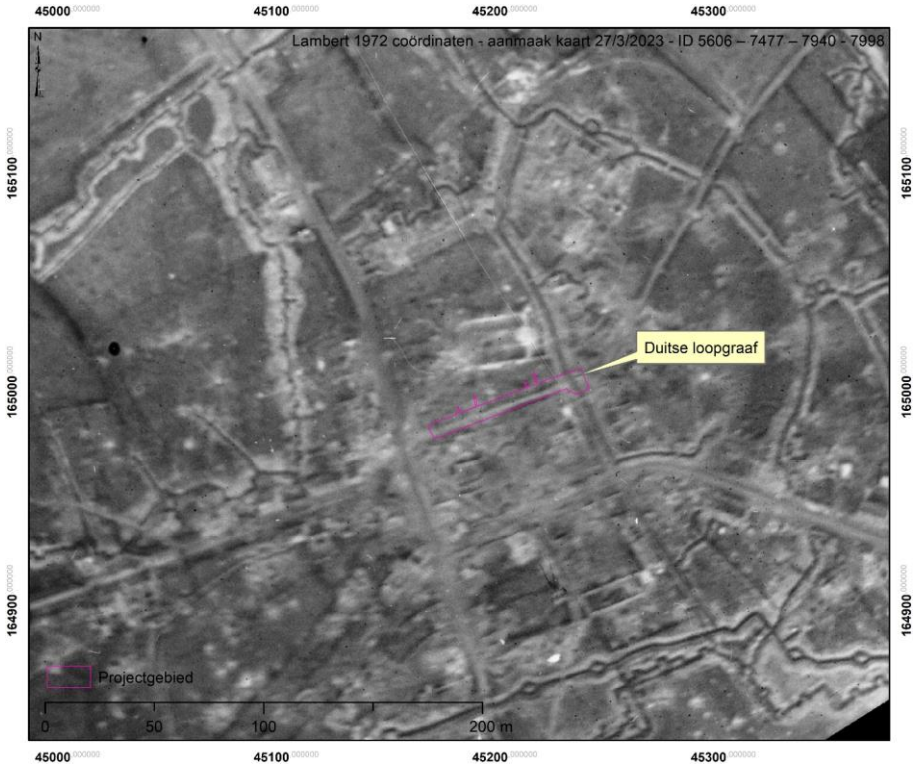


Figuur 10: Britse luchtfoto 21 februari 1916 (bron: IWM).

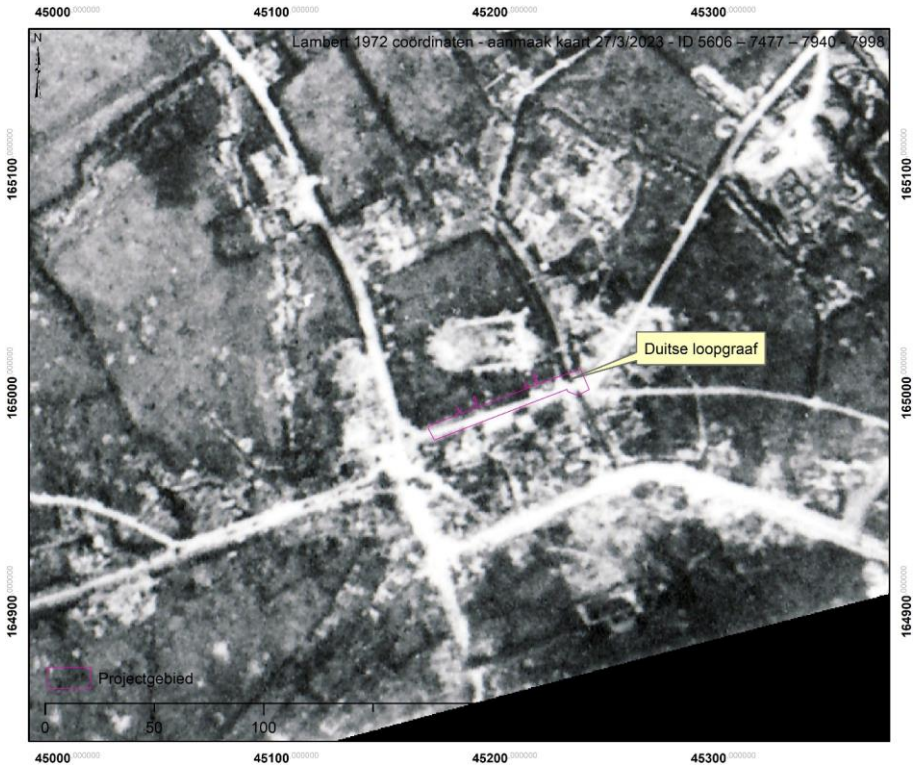


Figuur 11: Britse luchtfoto 25 augustus 1916 (bron: BayHaupSta).

Figuur 12: Britse luchtfoto 26 september 1916 (bron: IWM).

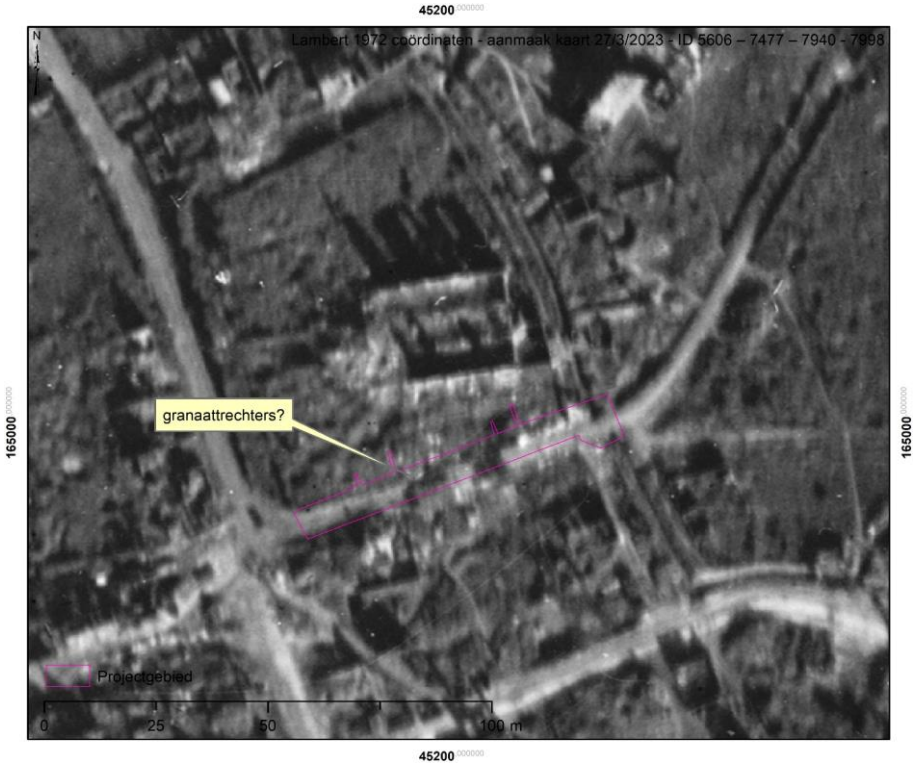


Figuur 13: Britse luchtfoto 21 oktober 1916 (bron: IWM).

Figuur 14: Britse luchtfoto 26 mei 1917 (bron: IWM).

### 3.5.3 Mijnenslag 1917 tot Duits voorjaarsoffensief

In 1917 plande de Britse opperbevelhebber Sir Douglas Haig een groot offensief om het Duitse 4de Leger te verdrijven van de heuvelruggen bij Ieper en om de logistieke knooppunten bij Roeselare en Torhout in te nemen (Edmonds 1948; Passingham 1998). Het ultieme doel was om de stellingenoorlog te doorbreken en op te rukken naar de Duitse onderzeebootbasissen aan de kust die volgens Haig een bedreiging vormden voor de Britse vloot. Om door de Ieperboog te kunnen breken, moest echter eerst de Wijtschateboog ten zuiden van Ieper rechtgetrokken worden. De Duitsers hadden de Wijtschate-Mesen heuvelrug sinds november 1914 omgevormd tot een quasi onneembare stelling. Er werd een ambitieus plan ontwikkeld door de Britten om 25 diepe ondergrondse mijnen onder de Duitse frontlijn te laten ontploffen, gevolgd door een grote infanterieaanval.

In het voorjaar van 1917 kreeg het aanvalsplan onder leiding van Generaal Plumer, de bevelhebber van het Britse Tweede Leger, vorm. *Zero Hour* – het aanvalsuur – was vastgesteld in de ochtend van 7 juni 1917. Na jarenlange ondergrondse graafwerkzaamheden bereikte de mijnenslag een hoogtepunt. Negentien dieptemijnen gevuld met in totaal 406.000 kg springstof werden onder de Duitse linies tot ontploffing gebracht. Meteen erna gingen zowat 80.000 manschappen in de aanval onder de dekking van een vuurwals.

Tussen Hill 60 en Ploegsteert werden de verpulverde Duitse loopgraven snel onder de voet gelopen. Wijtschate lag in de aanvalszone van de Britse 16de en 11de divisie. De uitgezette objectieven werden volledig volgens planning behaald. Aan het einde van de dag lag de frontlijn zelfs meer dan twee kilometer ten oosten van het dorp. Een week na het begin van de aanval waren alle doelen bereikt (Figuur 3). Het projectgebied kwam dus op bijna 3 kilometer achter de Britse frontlijn te liggen en maakte vanaf dan deel uit van het Britse achterland. Toen de frontlijn ten zuiden van Ieper was rechtgetrokken, kon Haig's offensief richting Passendale van start gaan. Voor het projectgebied speelt de Derde Slag om Ieper echter een minder belangrijke rol. Het gebied bleef de gehele tijd in het Britse achterland liggen (Figuur 3).

Foto’s genomen net vóór, tijdens en net na de Mesenslag tonen de immense impact van de artillerie en honderden granaattrechters in de omgeving van de projectzone (Figuur 15). Het is in deze weken dat het landschap het zwaarst werd vernield. Puur op basis van de intensiteit van de beschietingen en van de gevechten die plaatsvonden is er veel kans dat de twee gesneuvelden die in het projectgebied werden aangetroffen in deze periode om het leven kwamen.

Foto’s van na de Mesenslag tonen de complete vernieling van het dorp en alle infrastructuur. Op een luchtfoto van januari 1918 kan de vroegere Duitse loopgraaf zelfs niet meer herkend worden. Wel zien we de voetwegel nog steeds in gebruik was en er bovenop een Britse smalspoorlijn werd aangelegd (Figuur 16).

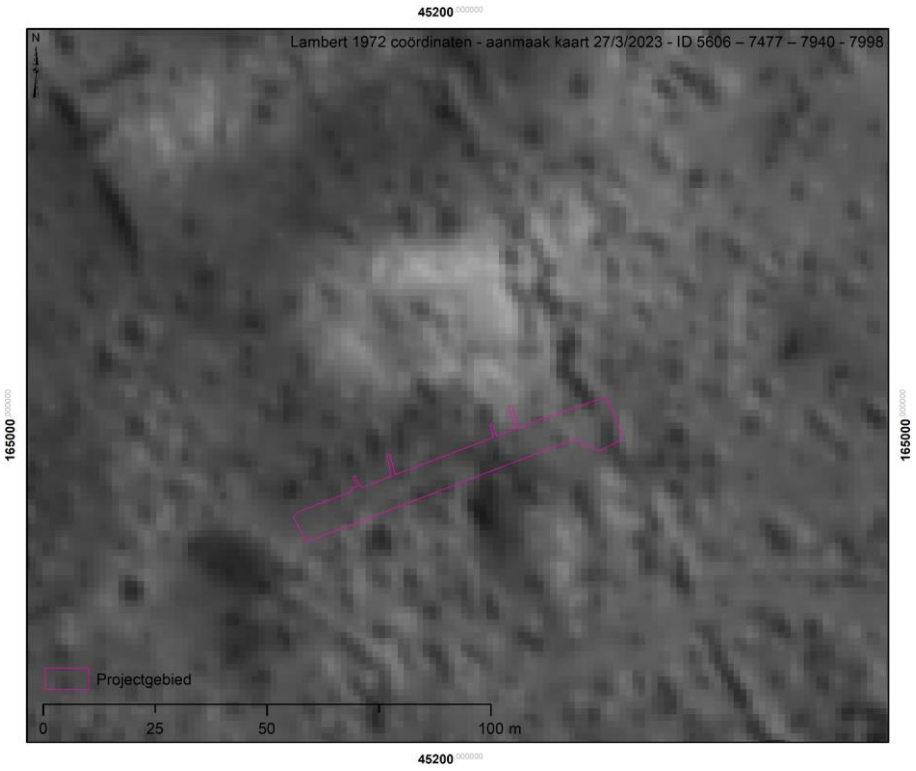


Figuur 15: Britse luchtfoto 3 juni 1917 (bron: IWM).

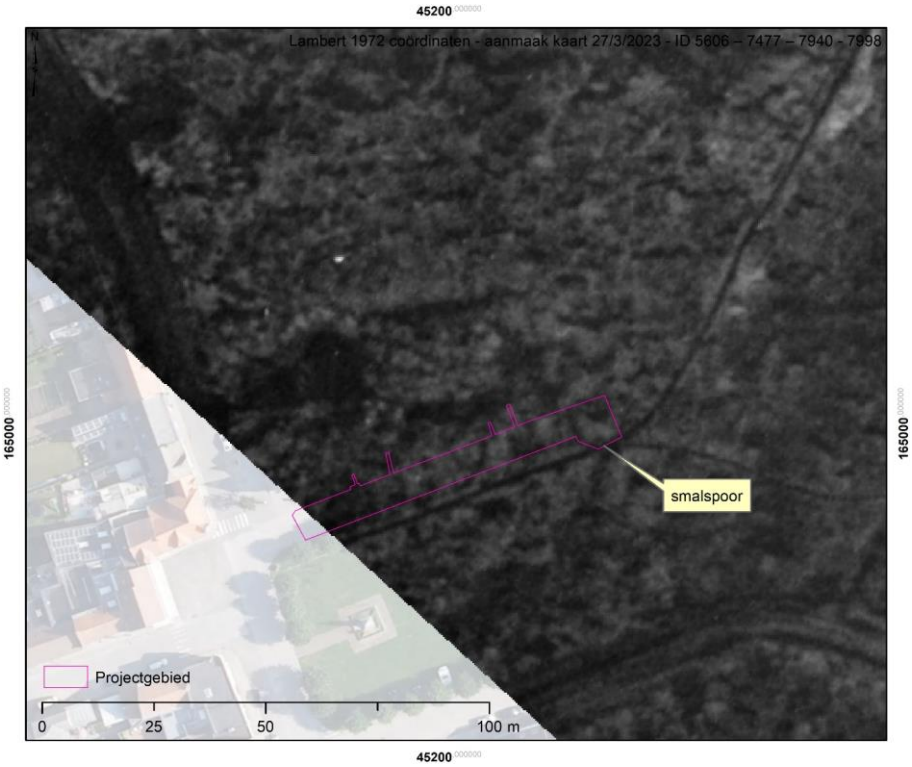


Figuur 16: Britse luchtfoto 3 januari 1918 (bron: IWM).

### 3.5.4 Voorjaarsoffensief en Eindoffensief 1918

Gedurende de volledige winter bleef het projectgebied achter de Britse frontlijn liggen. Pas in het voorjaar van 1918 veranderde de situatie aan het front drastisch. In een laatste poging de kanaalhavens te bereiken, lanceerden de Duitse troepen langs het Westelijke Front een grootschalig voorjaarsoffensief. Op 9 april ging Operatie Georgette van start in Noord-Frankrijk; een dag later werd er ook gevochten in de zuidelijke Ieperboog. Vanaf dan tot midden april ligt het projectgebied pal op het slagveld. Wijtschate werd door de Duitse aanvallers ingenomen op 16 april 1918 (Figuur 17 & Figuur 18). Dezelfde dag werd de volledige Ieperboog door de Britten opgegeven en schoof de frontlijn terug naar de startposities net vóór de Derde Slag om Ieper (Edmonds 1937). In het zuiden van de Ieperboog viel op 25 april ook de Kemmelberg in Duitse handen en slagen de aanvallers erin om op te rukken tot vlakbij Loker. Nooit eerder in de oorlog lag de frontlijn zo dicht bij Ieper. Luchtfoto's geven geen indicatie voor nieuwe Duitse structuren binnen het projectgebied. De vernieling van het dorp is compleet; zelfs de kerk is slechts met veel moeite te herkennen (Figuur 19).

Het is mogelijk dat één of beide van de gesneuvelden die in het projectgebied werden aangetroffen in deze periode om het leven kwamen.

Op 28 september 1918 ging overal langsheen de frontlijn in België het eindoffensief van start. Het projectgebied werd reeds de dag erop door de Britse 34ste divisie bevrijd (Edmonds & Maxwell-Hyslop 1947).

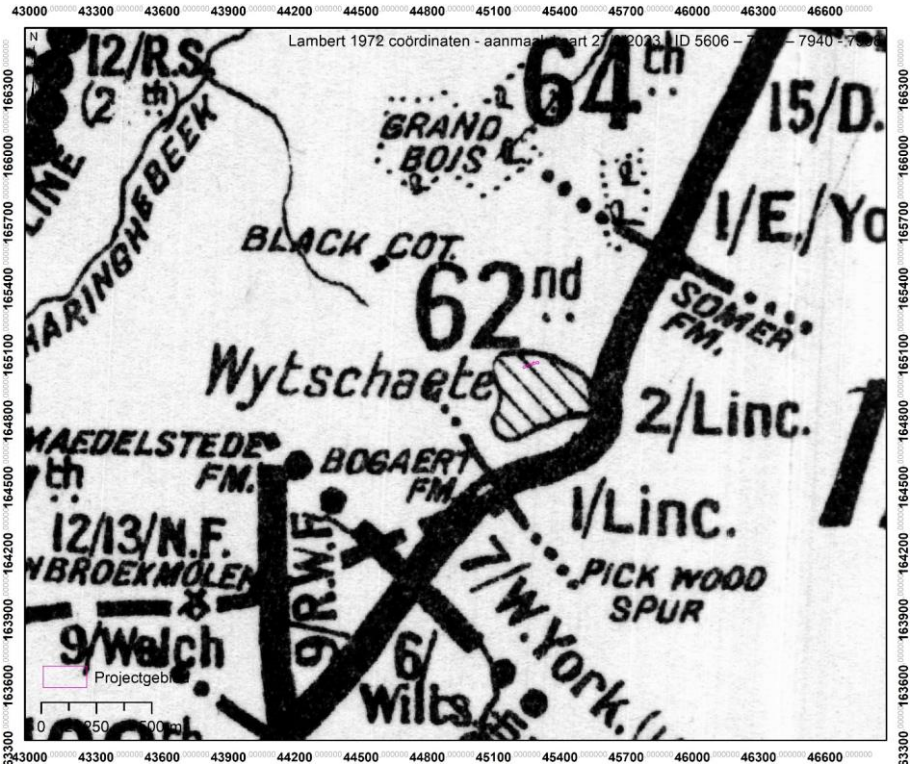


Figuur 17: Frontsituatie op 15 april 1918 (uit: Edmonds 1937).

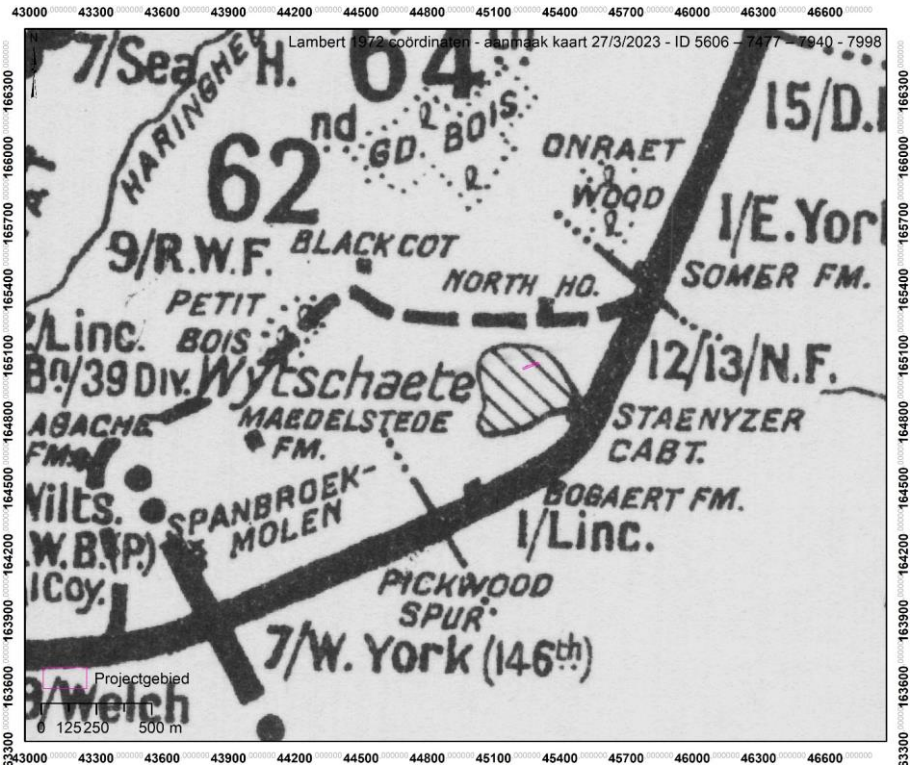


Figuur 18: Frontsituatie op 16 april 1918 (uit: Edmonds 1937).

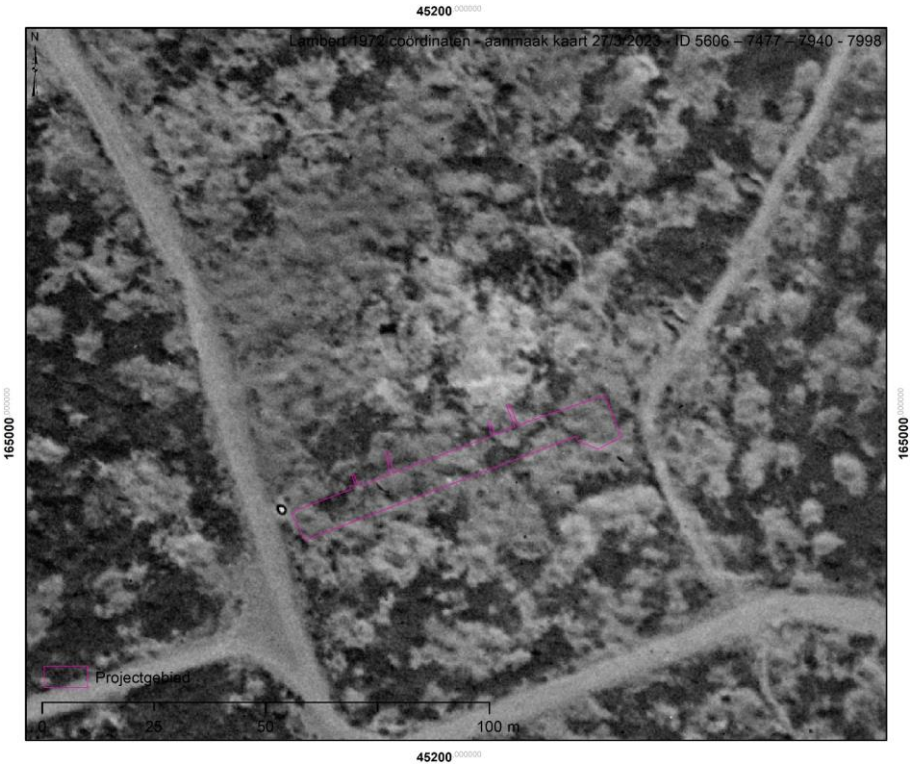


Figuur 19: Britse luchtfoto 21 augustus 1918 (bron: IWM).

## 3.6 WEDEROPBOUW

Louter ter referentie wordt ook nog de situatie na de wederopbouw afgebeeld. Hierop zien we een sterk verbreedde straat met nieuwe woningen bovenop het kerkhof, de aanleg van het Sint-Medardusplein en de naar het noorden toe verplaatste kerk (Figuur 20).

Figuur 20: Amerikaanse luchtfoto 2 maart 1944 (bron: NARA).

## 3.7 CONCLUSIE

De luchtfotostudie heeft een ruimtelijk kader geschetst waarbinnen de archeologische vondsten gerelateerd aan de Eerste Wereldoorlog geplaatst kunnen worden. Op vroegste beschikbare luchtfoto's uit 1915 zien we dat het projectgebied zich ten zuiden van het kerkhof van Wijtschate bevond ter hoogte van een smalle voetwegel. In het zuiden werd deze begrensd door een gebouwenrij. In februari 1916 werd in de oostelijke helft van het projectgebied een N-Z georiënteerde loopgraaf aangelegd. Aan de schaduwwerking is te zien dat het om een vrij diepe loopgraaf ging die in een tweede fase ter hoogte van het projectgebied werd overkapt.

Met betrekking tot het kerkhof leert deze studie enkel dat vanaf 1916 er zware schade was als gevolg van Britse beschietingen. De intensiteit ervan nam nog meer toe tijdens de Mesenslag. Op luchtfoto's van de 1917 en 1918 is de schade zelfs zo zwaar dat de ruïnes van de kerk slechts met veel moeite herkend kunnen worden.

Er zij geen specifieke aanwijzingen gevonden die kunnen helpen bij het dateren van de twee oorlogsslachtoffers. Algemeen genomen kunnen we wel zeggen dat vooral de periode van de Mesenslag en het Voorjaarsoffensief relevant zijn gezien de intensiteit van de gevechten.

## 3.8 BIBLIOGRAFIE


EDMONDS, E., 1925. *History of the Great War. Military Operations: France and Belgium, 1914. volume II: Antwerp, La Bassé, Armentières, Messines and Ypres, October – November 1914*. London: Macmillan.

EDMONDS, E., 1937. *Military Operations France and Belgium, 1918. March-April: continuation of the German offensives*. London: Macmillan and co ltd.

EDMONDS, E. & MAXWELL-HYSLOP, R., 1947. *Military Operations: France and Belgium, 1918. Volume V: 26 September-11 November: The Advance to Victory*. London: HMSO.

EDMONDS, E., 1948. *History of the Great War based on official documents by direction of the Historical Section of the Committee of Imperial Defence. Military Operations. France and Belgium, 1917: [Vol. II] Messines and Third Ypres (Passchendaele) 7 June - 10 November*. London: Macmillan.

PASSINGHAM, I., 1998. *Pillars of fire. The Battle of Messines Ridge, June 1917*. Gloucestershire Sutton.

STICHELBAUT, B., 2006. 'The Application of Great War Aerial Photography for Battlefield Archaeology. The Example of Flanders', *Journal of Conflict Archaeology,* 1: 235-244. https://doi.org/10.1163/157407705774928944

STICHELBAUT, B. & BOURGEOIS, J., 2008. Images of Conflict: An Archival Research of Great War Air Photos and Overview of the Main Applications, in R. LASAPONARA & N. MASINI (eds.) *Remote Sensing for Archaeology and Cultural Heritage Management*: 59-62. Rome.

STICHELBAUT, B., 2009. The Interpretation of Great War Air Photographs for Conflict Archaeology & Overview of the Belgian Royal Army Museum's Collection, in B. STICHELBAUT, J. BOURGEOIS, N. SAUNDERS & P. CHIELENS (eds.) *Images of Conflict: Military Aerial Photography and Archaeology*: 185-202. Newcastle-upon-Tyne: Cambridge Scholars Publishing.

STICHELBAUT, B. & BOURGEOIS, J., 2009. 'The Overlooked Aerial imagery of World War One: a Unique Source for Conflict and Landscape Archaeology', *Photogrammetrie - Fernerkundung - Geoinformation*, 3: 231-240. https://doi.org/10.1127/0935-1221/2009/0018

STICHELBAUT, B., 2011. 'The First Thirty Kilometres of the Western Front 1914-1918: an aerial archaeological approach with historical remote sensing data', *Journal of Archaeological prospection,* 18, 1: 57-66. https://doi.org/10.1002/arp.397

VERDEGEM, S. & PIJPELINK, A., 2020. 'Het vooroorlogse kerkhof van Wijtschate onder het Sint-Medardusplein (Wijtschate, W.-Vl.). Archeologierapport van een toevalsvondst', onuitgegeven rapport. Brussel: Agentschap Onroerend Erfgoed.

VERDEGEM, S. & PIJPELINK, A., 2021a. 'Het vooroorlogse kerkhof van Wijtschate onder het Sint-Medardusplein (Wijtschate, W.-Vl.) (Deel 2). Archeologierapport van een toevalsvondst', onuitgegeven rapport. Brussel: Agentschap Onroerend Erfgoed.
VERDEGEM, S. & PIJPELINK, A., 2021b. 'Het vooroorlogse kerkhof van Wijtschate onder het Sint-Medardusplein (Wijtschate, W.-Vl.) (Deel 3). Archeologierapport van een toevalsvondst', onuitgegeven rapport. Brussel: Agentschap Onroerend Erfgoed.
VERDEGEM, S. & PIJPELINK, A., 2021c. 'Het vooroorlogse kerkhof van Wijtschate onder het Sint-Medardusplein (Wijtschate, W.-Vl.) (Deel 4). Archeologierapport van een toevalsvondst', onuitgegeven rapport. Brussel: Agentschap Onroerend Erfgoed.

# 4 SKELETTENLIJST

## 4.1 DEEL 1 (2020I174)

*Individu 101*

*Individu 102*

*Individu 103*

*Individu 104*

*Individu 105*

*Individu 106*

*Individu 107*

*Individu 108*

*Individu 109*

*Individu 110*

*Individu 111*

*Individu 112*

*Individu 113*

*Individu 114*

*Individu 115*

*Individu 116*

*Individu 117*

*Individu 118*

*Individu 119*

*Individu 120*

*Individu 122*

*Individu 124*

*Individu 125*

*Individu 126*

*Individu 127*

*Individu 128*

*Individu 129*

*Individu 130*

*Individu 131*

*Individu 132*

*Individu 134*

*Individu 135*

*Individu 136*

*Individu 137*

*Individu 138*

*Individu 139*

*Individu 140*

*Individu 141*

*Individu 143*

*Individu 144*

*Individu 145*

*Individu 146*

*Individu 147*

*Individu 148*

*Individu 149*

*Individu 150*

*Individu 151*

*Individu 152*

*Individu 153*

*Individu 154*

*Individu 155*

*Individu 156*

*Individu 157*

*Individu 158*

*Individu 159*

*Individu 160*

*Individu 161*

*Individu 162*

*Individu 163*

*Individu 164*

*Individu 166*

*Individu 167*

*Individu 168*

*Individu 169*

*Individu 170*

*Individu 171*

*Individu 172*

*Individu 173*

*Individu 174-176*

*Individu 175*

*Individu 177*

*Individu 178*

*Individu 179*

*Individu 180*

*Individu 181*

*Individu 182*

*Individu 183*

*Individu 184*

*Individu 185*

*Individu 186*

*Individu 187*

*Individu 188*

*Individu 189*

*Individu 190*

*Individu 191*

*Individu 192*

*Individu 193*

*Individu 194*

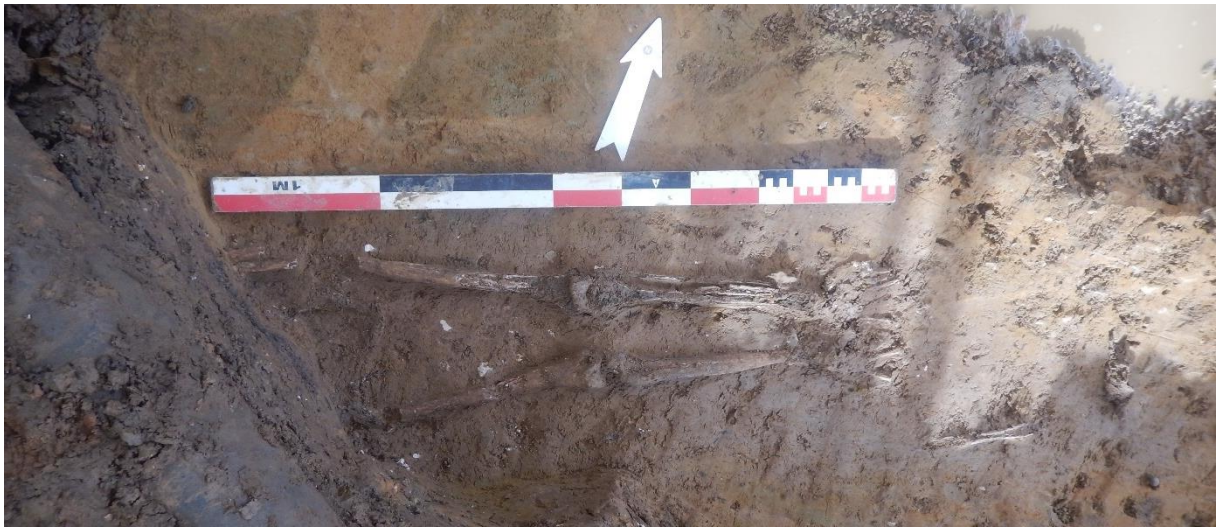

*Individu 195*

## 4.2 DEEL 2 (2021C69)

*Individu 201*

*Individu 202*

*Individu 203*

*Individu 204*

*Individu 205*

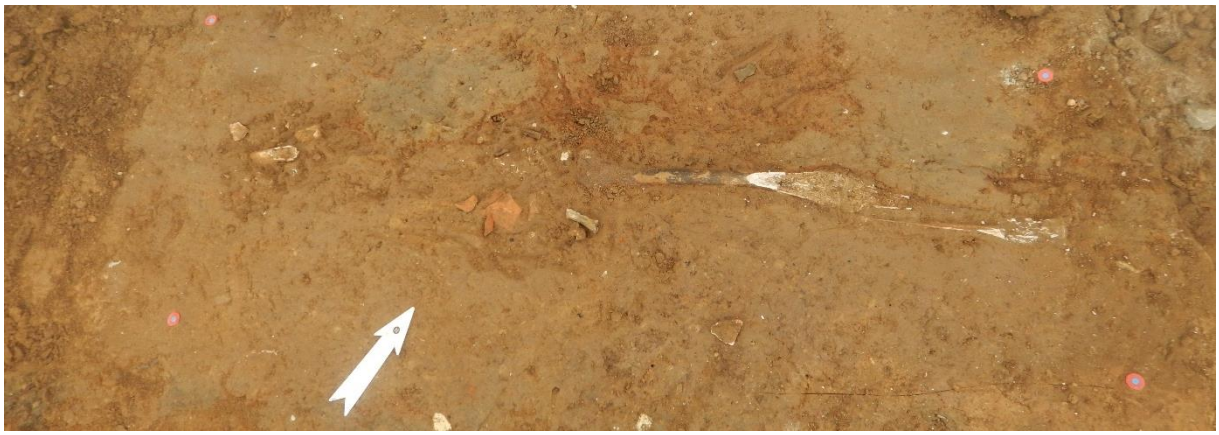

*Individu 206*

*Individu 207*

*Individu 208*

*Individu 209*

*Individu 210*

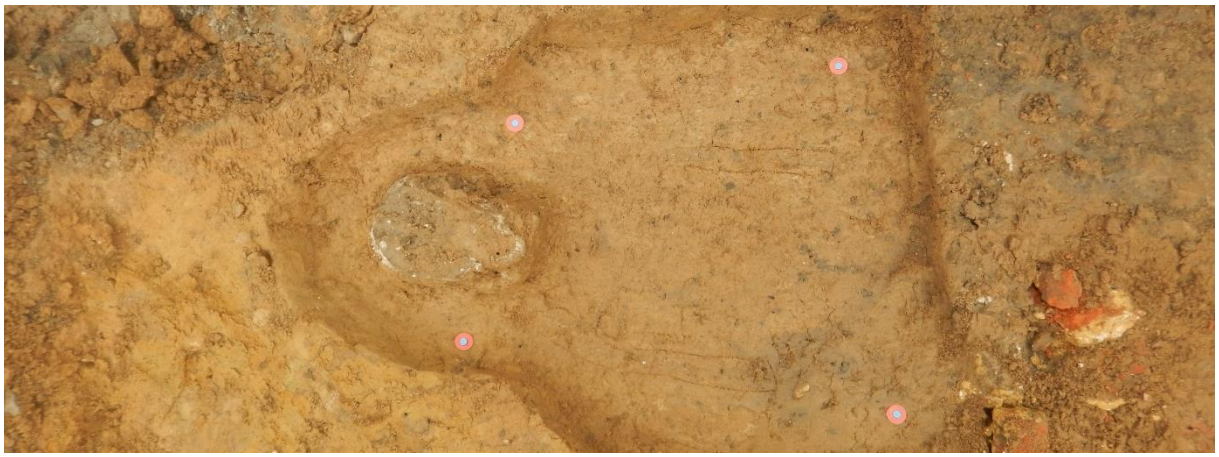

*Individu 213*

*Individu 214*

*Individu 215*

*Individu 216*

*Individu 217*

*Individu 218*

*Individu 219*

*Individu 220*

*Individu 221*

*Individu 222*

*Individu 223*

*Individu 224*

*Individu 225*

## 4.3 DEEL 3 (2021D126)

*Individu 226*

## 4.4 DEEL 4 (2021D243)

*Individu 127.2*

*Individu 128.2*

*Individu 129.2*

*Individu 130.2*

# 5 HARRIS MATRIX

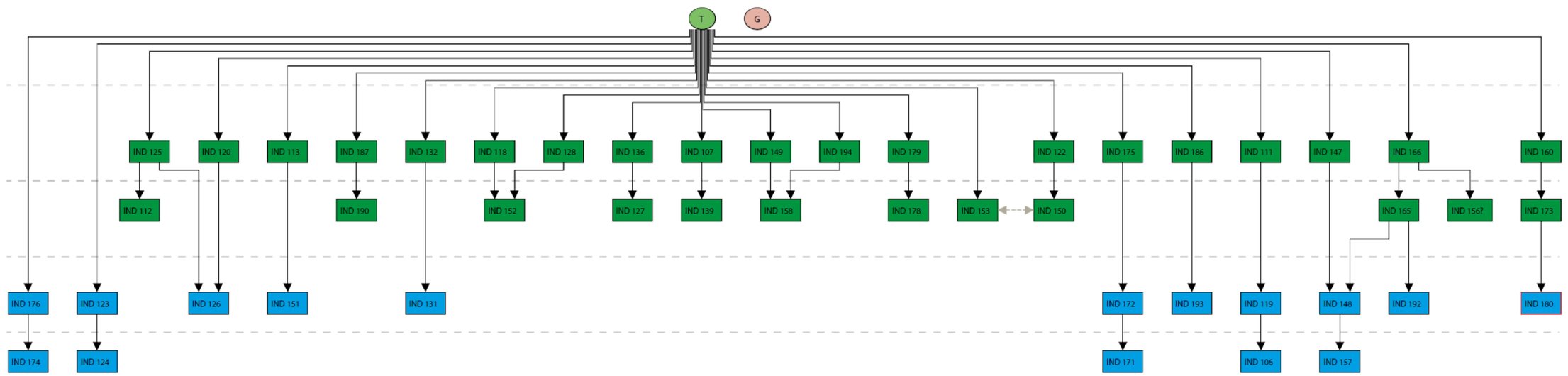


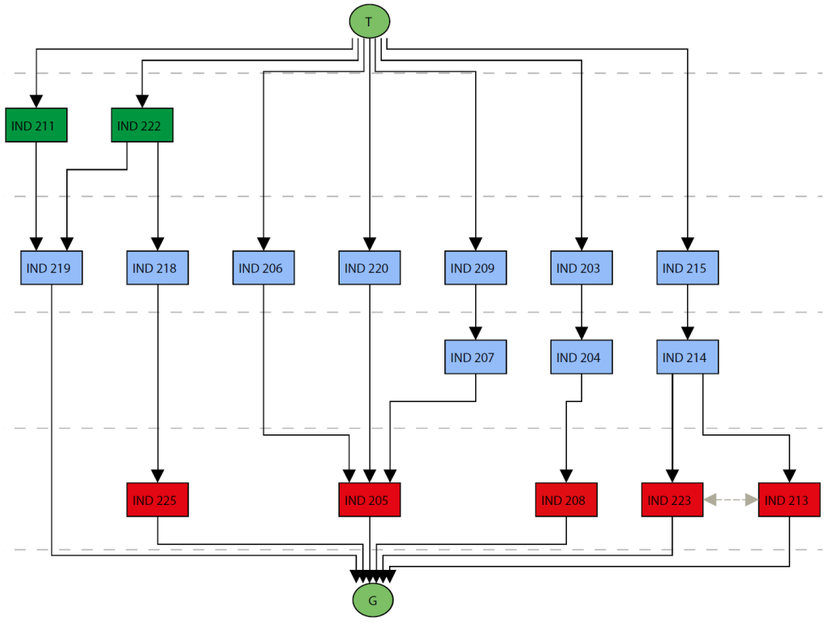

# 6 C14-DATERING

INSTITUT ROYAL DU PATRIMOINE ARTISTIQUE
Politique scientifique fédérale

KONINKLIJK INSTITUUT VOOR HET KUNSTPATRIMONIUM
Federaal wetenschapsbeleid

www.kikirpa.be

2013.12113
19/9/2023

Ruben Willaert bvba
Ten Briele 14 bus 15
8200 Sint-Michiels-Brugge

## RADIOCARBON DATING REPORT

**Wijtschate**

RICH-33763 (V428 ind174) : 175±23BP
68.2% probability
1660AD (12.6%) 1690AD
1730AD (41.6%) 1810AD
1920AD (14.1%) 1950AD
95.4% probability
1660AD (17.8%) 1700AD
1720AD (50.6%) 1820AD
1830AD ( 4.4%) 1880AD
1910AD (22.6%) 1955AD

RICH-33766 (V512-IND189) : 960±29BP
68.2% probability
1030AD (12.7%) 1050AD
1080AD (55.5%) 1150AD
95.4% probability
1020AD (95.4%) 1160AD

RICH-33752 (V9-IND212) : 222±24BP
68.2% probability
1640AD (27.0%) 1670AD
1770AD (25.6%) 1800AD
1940AD (15.6%) 1950AD
95.4% probability
1640AD (35.1%) 1690AD
1730AD (41.3%) 1810AD
1920AD (19.0%) 1955AD

Parc du Cinquantenaire 1 - BE-1000 Bruxelles
Jubelpark 1 - BE-1000 Brussel

Tel. +32 2 739 67 11 • Fax +32 2 732 01 05 • E-mail info@kikirpa.be
CCP IBAN BE73 6792 0047 5960 • BIC PCHQBEBB

RICH-33754 (V17-IND209) : 244±31BP
68.2% probability
1630AD (40.7%) 1670AD
1770AD (18.7%) 1800AD
1940AD ( 8.8%) 1950AD
95.4% probability
1520AD ( 9.9%) 1580AD
1630AD (46.3%) 1690AD
1730AD (28.0%) 1810AD
1920AD (11.1%) 1955AD

RICH-33757 (V63-IND102) : 634±24BP
68.2% probability
1300AD (30.6%) 1325AD
1355AD (18.3%) 1370AD
1375AD (19.3%) 1395AD
95.4% probability
1290AD (95.4%) 1400AD

RICH-33759 (V123-IND116) : 968±26BP
68.2% probability
1020AD (16.9%) 1050AD
1080AD (51.3%) 1150AD
95.4% probability
1020AD (95.4%) 1160AD

RICH-33760 (V133-IND117) : 262±23BP
68.2% probability
1530AD ( 5.7%) 1540AD
1630AD (57.8%) 1670AD
1780AD ( 4.7%) 1800AD
95.4% probability
1520AD (21.5%) 1580AD
1630AD (62.5%) 1670AD
1780AD ( 9.9%) 1800AD
1940AD ( 1.4%) 1950AD

RICH-33761 (V181-IND125) : 940±29BP
68.2% probability
1040AD (68.2%) 1160AD
95.4% probability
1020AD (95.4%) 1170AD

RICH-33762 (V154-IND134) : 102±24BP
68.2% probability
1690AD (21.7%) 1730AD
1810AD (19.1%) 1840AD
1860AD (27.4%) 1920AD
95.4% probability
1680AD (25.5%) 1730AD
1800AD (69.9%) 1930AD

| Code: | %C | %N | d13C | d15N | at C/N |
|---|---|---|---|---|---|
| 33763 | 38.2 | 14.1 | -20.6 | 10.8 | 3.2 |
| 33766 | 20.1 | 7.5 | -20.5 | 11.4 | 3.1 |
| 33752 | 11.9 | 4.4 | -20.4 | 10.8 | 3.1 |
| 33754 | 7.2 | 2.6 | -21.1 | 11.0 | 3.2 |
| 33757 | 17.8 | 6.6 | -20.1 | 11.2 | 3.1 |
| 33759 | 18.6 | 6.9 | -20.4 | 10.7 | 3.1 |
| 33760 | 28.5 | 10.7 | -20.0 | 11.8 | 3.1 |
| 33761 | na | na | na | na | 3.2 |
| 33762 | 27.8 | 10.3 | -20.3 | 12.1 | 3.1 |

Opmerking:
V441 ind 182 en V436 ind 177 waren te klein om te dateren maar C:N was wel goed (goede collageen). V57-ind223 leverde slechte collageen op en kon niet gedateerd worden (te hoge C:N).

Met vriendelijke groeten,

Mathieu Boudin
Mathieu.boudin@kikirpa.be

# 7 LIJST VAN TEKENINGEN

| Projectcode | Formaat | Onderwerp |
|---|---|---|
| **2020I174** | A3 | Coupeblad |
| **2021C69** | A3 | Coupeblad |

# 8 LIJST VAN FOTO'S

## 8.1 DEEL 1 (2020I174)

### 8.1.1 Terreinfoto's

| Bestand | Soort | Put | Vlak | Spoor | Individu | Coupe | Profielnr. | Opmerking |
|---|---|---|---|---|---|---|---|---|
| WISM-20_P1_PR1_637390458992659522.jpeg | Profiel | 1 | | | | | 1 | |
| WISM-20_P1_PR1_637390459007304376.jpeg | Profiel | 1 | | | | | 1 | |
| WISM-20_P1_PR1_637390459022167237.jpeg | Profiel | 1 | | | | | 1 | |
| WISM-20_P1_PR1_637390459045585442.jpeg | Profiel | 1 | | | | | 1 | |
| WISM-20_P1_PR1_637390460236028649.jpeg | Profiel | 1 | | | | | 1 | Met aflijning |
| WISM-20_P1_PR1_637390460249624675.jpeg | Profiel | 1 | | | | | 1 | Met aflijning |
| WISM-20_P1_PR1_637390460262104419.jpeg | Profiel | 1 | | | | | 1 | Met aflijning |
| WISM-20_P1_PR1_637390460274986282.jpeg | Profiel | 1 | | | | | 1 | Met aflijning |
| WISM-20_P1_PR2_637393059868972518.jpeg | Profiel | 1 | | | | | 2 | |
| WISM-20_P1_PR2_637393059881239435.jpeg | Profiel | 1 | | | | | 2 | |
| WISM-20_P1_PR2_637393059894892147.jpeg | Profiel | 1 | | | | | 2 | |
| WISM-20_P1_PR2_637393059907919032.jpeg | Profiel | 1 | | | | | 2 | |
| WISM-20_P1_PR2_637393059921495016.jpeg | Profiel | 1 | | | | | 2 | |
| WISM-20_P1_PR2_637393069065832330.jpeg | Profiel | 1 | | | | | 2 | |
| WISM-20_P1_PR2_637393069101072794.jpeg | Profiel | 1 | | | | | 2 | |
| WISM-20_P1_PR2_637393069124983865.jpeg | Profiel | 1 | | | | | 2 | |
| WISM-20_P1_PR2_637393069139204557.jpeg | Profiel | 1 | | | | | 2 | |
| WISM-20_P1_PR2_637393069152717277.jpeg | Profiel | 1 | | | | | 2 | |
| WISM-20_P1_PR2_637393069166906807.jpeg | Profiel | 1 | | | | | 2 | |
| WISM-20_P1_PR2_637393069179933464.jpeg | Profiel | 1 | | | | | 2 | |
| WISM-20_P1_PR2_637393088651308936.jpeg | Profiel | 1 | | | | | 2 | Met aflijning |
| WISM-20_P1_PR2_637393088669012274.jpeg | Profiel | 1 | | | | | 2 | Met aflijning |
| WISM-20_P1_PR2_637393088690234128.jpeg | Profiel | 1 | | | | | 2 | Met aflijning |
| WISM-20_P1_PR2_637393088703042472.jpeg | Profiel | 1 | | | | | 2 | Met aflijning |
| WISM-20_P1_PR2_637393088723603647.jpeg | Profiel | 1 | | | | | 2 | Met aflijning |
| WISM-20_P1_SP1_637358646790613424.jpeg | Detail | 1 | 1 | 1 | | | | Kist |
| WISM-20_P1_SP1_637358646804414772.jpeg | Detail | 1 | 1 | 1 | | | | Kist |

| Bestand | Soort | Put | Vlak | Spoor | Individu | Coupe | Profielnr. | Opmerking |
|---|---|---|---|---|---|---|---|---|
| WISM-20_P1_SP1_637366249343643221.jpeg | Detail | 1 | 1 | 1 | | | | Tussen IND118 en IND108. Naast IND112. Bovenop IND118 |
| WISM-20_P1_SP1_637366249358833298.jpeg | Detail | 1 | 1 | 1 | | | | Tussen IND118 en IND108. Naast IND112. Bovenop IND118 |
| WISM-20_P1_SP1_637366249374163742.jpeg | Detail | 1 | 1 | 1 | | | | Tussen IND118 en IND108. Naast IND112. Bovenop IND118 |
| WISM-20_P1_SP1_637366249391570191.jpeg | Detail | 1 | 1 | 1 | | | | Tussen IND118 en IND108. Naast IND112. Bovenop IND118 |
| WISM-20_P1_SP1_637366249410062870.jpeg | Detail | 1 | 1 | 1 | | | | Tussen IND118 en IND108. Naast IND112. Bovenop IND118 |
| WISM-20_P1_SP1_637366249429456620.jpeg | Detail | 1 | 1 | 1 | | | | Tussen IND118 en IND108. Naast IND112. Bovenop IND118 |
| WISM-20_P1_SP1_637366249445686267.jpeg | Detail | 1 | 1 | 1 | | | | Tussen IND118 en IND108. Naast IND112. Bovenop IND118 |
| WISM-20_P1_SP1_637366249463337524.jpeg | Detail | 1 | 1 | 1 | | | | Tussen IND118 en IND108. Naast IND112. Bovenop IND118 |
| WISM-20_P1_SP1_637366249479728153.jpeg | Detail | 1 | 1 | 1 | | | | Tussen IND118 en IND108. Naast IND112. Bovenop IND118 |
| WISM-20_P1_SP1_637366249495904275.jpeg | Detail | 1 | 1 | 1 | | | | Tussen IND118 en IND108. Naast IND112. Bovenop IND118 |
| WISM-20_P1_SP1_637366249513236317.jpeg | Detail | 1 | 1 | 1 | | | | Tussen IND118 en IND108. Naast IND112. Bovenop IND118 |
| WISM-20_P1_SP1_637366249531427005.jpeg | Detail | 1 | 1 | 1 | | | | Tussen IND118 en IND108. Naast IND112. Bovenop IND118 |
| WISM-20_P1_SP1_637366249550037810.jpeg | Detail | 1 | 1 | 1 | | | | Tussen IND118 en IND108. Naast IND112. Bovenop IND118 |
| WISM-20_P1_SP1_637366249573797058.jpeg | Detail | 1 | 1 | 1 | | | | Tussen IND118 en IND108. Naast IND112. Bovenop IND118 |
| WISM-20_P1_SP1_637366249592977592.jpeg | Detail | 1 | 1 | 1 | | | | Tussen IND118 en IND108. Naast IND112. Bovenop IND118 |
| WISM-20_P1_SP1_637366249615534465.jpeg | Detail | 1 | 1 | 1 | | | | Tussen IND118 en IND108. Naast IND112. Bovenop IND118 |
| WISM-20_P1_SP1_637374941938015455.jpeg | Detail | 1 | 1 | 1 | | | | Los bot op S52 |
| WISM-20_P1_SP1_637374941952841009.jpeg | Detail | 1 | 1 | 1 | | | | Los bot op S52 |
| WISM-20_P1_SP1_637374941966062802.jpeg | Detail | 1 | 1 | 1 | | | | Los bot op S52 |
| WISM-20_P1_SP1_637374941979152856.jpeg | Detail | 1 | 1 | 1 | | | | Los bot op S52 |
| WISM-20_P1_SP10_637363633888185435.jpeg | Detail | 1 | 1 | 10 | 110 | | | |
| WISM-20_P1_SP10_637363633901671609.jpeg | Detail | 1 | 1 | 10 | 110 | | | |
| WISM-20_P1_SP10_637363633915077562.jpeg | Detail | 1 | 1 | 10 | 110 | | | |
| WISM-20_P1_SP10_637363633928573062.jpeg | Detail | 1 | 1 | 10 | 110 | | | |

| Bestand | Soort | Put | Vlak | Spoor | Individu | Coupe | Profielnr. | Opmerking |
|---|---|---|---|---|---|---|---|---|
| WISM-20_P1_SP10_637363633941134901.jpeg | Detail | 1 | 1 | 10 | 110 | | | |
| WISM-20_P1_SP10_637377455892042991.jpeg | Detail | 1 | 1 | 10 | 110 | | | |
| WISM-20_P1_SP10_637377455906054950.jpeg | Detail | 1 | 1 | 10 | 110 | | | |
| WISM-20_P1_SP10_637377455921253915.jpeg | Detail | 1 | 1 | 10 | 110 | | | |
| WISM-20_P1_SP10_637377455937288727.jpeg | Detail | 1 | 1 | 10 | 110 | | | |
| WISM-20_P1_SP10_637377455951327109.jpeg | Detail | 1 | 1 | 10 | 110 | | | |
| WISM-20_P1_SP10_637377455976176301.jpeg | Detail | 1 | 1 | 10 | 110 | | | |
| WISM-20_P1_SP10_637377456017729213.jpeg | Detail | 1 | 1 | 10 | 110 | | | |
| WISM-20_P1_SP10_637377456031514850.jpeg | Detail | 1 | 1 | 10 | 110 | | | |
| WISM-20_P1_SP10_637377456045011429.jpeg | Detail | 1 | 1 | 10 | 110 | | | |
| WISM-20_P1_SP10_637377456059269888.jpeg | Detail | 1 | 1 | 10 | 110 | | | |
| WISM-20_P1_SP10_637377456073137935.jpeg | Detail | 1 | 1 | 10 | 110 | | | |
| WISM-20_P1_SP10_637377456085625142.jpeg | Detail | 1 | 1 | 10 | 110 | | | |
| WISM-20_P1_SP10_637377456099812147.jpeg | Detail | 1 | 1 | 10 | 110 | | | |
| WISM-20_P1_SP10_637377456112845525.jpeg | Detail | 1 | 1 | 10 | 110 | | | |
| WISM-20_P1_SP10_637377456126240818.jpeg | Detail | 1 | 1 | 10 | 110 | | | |
| WISM-20_P1_SP10_637377456152765916.jpeg | Detail | 1 | 1 | 10 | 110 | | | |
| WISM-20_P1_SP10_637377456165162737.jpeg | Detail | 1 | 1 | 10 | 110 | | | |
| WISM-20_P1_SP10_637377456178648733.jpeg | Detail | 1 | 1 | 10 | 110 | | | |
| WISM-20_P1_SP10_637377456192358796.jpeg | Detail | 1 | 1 | 10 | 110 | | | |
| WISM-20_P1_SP10_637377456204854797.jpeg | Detail | 1 | 1 | 10 | 110 | | | |
| WISM-20_P1_SP10_637377456218407254.jpeg | Detail | 1 | 1 | 10 | 110 | | | |
| WISM-20_P1_SP100_637383762870096700.jpeg | Detail | 1 | 1 | 100 | 158 | | | |
| WISM-20_P1_SP100_637383762894685928.jpeg | Detail | 1 | 1 | 100 | 158 | | | |
| WISM-20_P1_SP101_637384455880947992.jpeg | Detail | 1 | 1 | 101 | 157 | | | IND157_slecht bewaard. Onduidelijke aflijning |
| WISM-20_P1_SP101_637384455905832194.jpeg | Detail | 1 | 1 | 101 | 157 | | | IND157_slecht bewaard. Onduidelijke aflijning |
| WISM-20_P1_SP101_637384455920859820.jpeg | Detail | 1 | 1 | 101 | 157 | | | IND157_slecht bewaard. Onduidelijke aflijning |
| WISM-20_P1_SP101_637384455934479928.jpeg | Detail | 1 | 1 | 101 | 157 | | | IND157_slecht bewaard. Onduidelijke aflijning |
| WISM-20_P1_SP101_637384455947836281.jpeg | Detail | 1 | 1 | 101 | 157 | | | IND157_slecht bewaard. Onduidelijke aflijning |
| WISM-20_P1_SP101_637384455960921388.jpeg | Detail | 1 | 1 | 101 | 157 | | | IND157_slecht bewaard. Onduidelijke aflijning |
| WISM-20_P1_SP101_637384455975095641.jpeg | Detail | 1 | 1 | 101 | 157 | | | IND157_slecht bewaard. Onduidelijke aflijning |
| WISM-20_P1_SP101_637384455988282294.jpeg | Detail | 1 | 1 | 101 | 157 | | | IND157_slecht bewaard. Onduidelijke aflijning |
| WISM-20_P1_SP101_637384456001569610.jpeg | Detail | 1 | 1 | 101 | 157 | | | IND157_slecht bewaard. Onduidelijke aflijning |
| WISM-20_P1_SP101_637384456015612465.jpeg | Detail | 1 | 1 | 101 | 157 | | | IND157_slecht bewaard. Onduidelijke aflijning |
| WISM-20_P1_SP101_637384456028633236.jpeg | Detail | 1 | 1 | 101 | 157 | | | IND157_slecht bewaard. Onduidelijke aflijning |
| WISM-20_P1_SP101_637384456042696688.jpeg | Detail | 1 | 1 | 101 | 157 | | | IND157_slecht bewaard. Onduidelijke aflijning |
| WISM-20_P1_SP101_637384456056301319.jpeg | Detail | 1 | 1 | 101 | 157 | | | IND157_slecht bewaard. Onduidelijke aflijning |

| Bestand | Soort | Put | Vlak | Spoor | Individu | Coupe | Profielnr. | Opmerking |
|---|---|---|---|---|---|---|---|---|
| WISM-20_P1_SP102_637387017468415278.jpeg | Detail | 1 | 1 | 102 | | | | |
| WISM-20_P1_SP102_637387017482740532.jpeg | Detail | 1 | 1 | 102 | | | | |
| WISM-20_P1_SP102_637387017494912699.jpeg | Detail | 1 | 1 | 102 | | | | |
| WISM-20_P1_SP102_637387017508011678.jpeg | Detail | 1 | 1 | 102 | | | | |
| WISM-20_P1_SP102_637387017521573594.jpeg | Detail | 1 | 1 | 102 | | | | |
| WISM-20_P1_SP102_637389606842361215.jpeg | Detail | 1 | 2 | 102 | | | | |
| WISM-20_P1_SP102_637389606856106110.jpeg | Detail | 1 | 2 | 102 | | | | |
| WISM-20_P1_SP102_637389606869788877.jpeg | Detail | 1 | 2 | 102 | | | | |
| WISM-20_P1_SP102_637389610014605443.jpeg | Detail | 1 | 2 | 102 | | | | |
| WISM-20_P1_SP102_637389610028092458.jpeg | Detail | 1 | 2 | 102 | | | | |
| WISM-20_P1_SP103_637387020745889243.jpeg | Detail | 1 | 1 | 103 | | | | Granaattrechter S9 |
| WISM-20_P1_SP103_637387020761608618.jpeg | Detail | 1 | 1 | 103 | | | | Granaattrechter S9 |
| WISM-20_P1_SP103_637387020776725107.jpeg | Detail | 1 | 1 | 103 | | | | Granaattrechter S9 |
| WISM-20_P1_SP103_637387020797084352.jpeg | Detail | 1 | 1 | 103 | | | | Granaattrechter S9 |
| WISM-20_P1_SP105_637387099197276042.jpeg | Detail | 1 | 1 | 105 | | | | S104, S37 en S6 |
| WISM-20_P1_SP105_637387099210146997.jpeg | Detail | 1 | 1 | 105 | | | | S104, S37 en S6 |
| WISM-20_P1_SP105_637387099224363263.jpeg | Detail | 1 | 1 | 105 | | | | S104, S37 en S6 |
| WISM-20_P1_SP105_637387099238914160.jpeg | Detail | 1 | 1 | 105 | | | | S104, S37 en S6 |
| WISM-20_P1_SP105_637387099251625066.jpeg | Detail | 1 | 1 | 105 | | | | S104, S37 en S6 |
| WISM-20_P1_SP105_637387099264655507.jpeg | Detail | 1 | 1 | 105 | | | | S104, S37 en S6 |
| WISM-20_P1_SP106_637387103298733808.jpeg | Detail | 1 | 1 | 106 | | | | |
| WISM-20_P1_SP106_637387103343340009.jpeg | Detail | 1 | 1 | 106 | | | | |
| WISM-20_P1_SP106_637387103445231641.jpeg | Detail | 1 | 1 | 106 | | | | |
| WISM-20_P1_SP107_637387100633050707.jpeg | Detail | 1 | 1 | 33 | 107 | | | |
| WISM-20_P1_SP107_637387100647607830.jpeg | Detail | 1 | 1 | 33 | 107 | | | |
| WISM-20_P1_SP107_637387100666196404.jpeg | Detail | 1 | 1 | 33 | 107 | | | |
| WISM-20_P1_SP107_637387100679912339.jpeg | Detail | 1 | 1 | 33 | 107 | | | |
| WISM-20_P1_SP107_637387100694241614.jpeg | Detail | 1 | 1 | 33 | 107 | | | |
| WISM-20_P1_SP107_637387222700034848.jpeg | Detail | 1 | 1 | 33 | 107 | | | |
| WISM-20_P1_SP107_637387222713595997.jpeg | Detail | 1 | 1 | 33 | 107 | | | |
| WISM-20_P1_SP107_637387222726922688.jpeg | Detail | 1 | 1 | 33 | 107 | | | |
| WISM-20_P1_SP107_637387222739507214.jpeg | Detail | 1 | 1 | 33 | 107 | | | |
| WISM-20_P1_SP107_637387222752308679.jpeg | Detail | 1 | 1 | 33 | 107 | | | |
| WISM-20_P1_SP108_637387102078454380.jpeg | Detail | 1 | 1 | 108 | | | | S49 en S48 |
| WISM-20_P1_SP108_637387102092782663.jpeg | Detail | 1 | 1 | 108 | | | | S49 en S48 |
| WISM-20_P1_SP108_637387102108345527.jpeg | Detail | 1 | 1 | 108 | | | | S49 en S48 |
| WISM-20_P1_SP11_637387016225669468.jpeg | Detail | 1 | 1 | 11 | | | | |

| Bestand | Soort | Put | Vlak | Spoor | Individu | Coupe | Profielnr. | Opmerking |
|---|---|---|---|---|---|---|---|---|
| WISM-20_P1_SP11_637387016239843966.jpeg | Detail | 1 | 1 | 11 | | | | |
| WISM-20_P1_SP11_637387016253410307.jpeg | Detail | 1 | 1 | 11 | | | | |
| WISM-20_P1_SP111_637390450218019147.jpeg | Detail | 1 | 4 | 111 | 189 | | | IND189 |
| WISM-20_P1_SP111_637390450232328823.jpeg | Detail | 1 | 4 | 111 | 189 | | | IND189 |
| WISM-20_P1_SP111_637390450245194287.jpeg | Detail | 1 | 4 | 111 | 189 | | | IND189 |
| WISM-20_P1_SP111_637390450259442685.jpeg | Detail | 1 | 4 | 111 | 189 | | | IND189 |
| WISM-20_P1_SP111_637390450272943686.jpeg | Detail | 1 | 4 | 111 | 189 | | | IND189 |
| WISM-20_P1_SP111_637390450302553819.jpeg | Detail | 1 | 4 | 111 | 189 | | | IND189 |
| WISM-20_P1_SP111_637390450331616627.jpeg | Detail | 1 | 4 | 111 | 189 | | | IND189 |
| WISM-20_P1_SP111_637390450348286281.jpeg | Detail | 1 | 4 | 111 | 189 | | | IND189 |
| WISM-20_P1_SP111_637390450369620084.jpeg | Detail | 1 | 4 | 111 | 189 | | | IND189 |
| WISM-20_P1_SP111_637390450392351851.jpeg | Detail | 1 | 4 | 111 | 189 | | | IND189 |
| WISM-20_P1_SP111_637390450411231657.jpeg | Detail | 1 | 4 | 111 | 189 | | | IND189 |
| WISM-20_P1_SP111_637390450419017507.jpeg | Detail | 1 | 4 | 111 | 189 | | | IND189 |
| WISM-20_P1_SP111_637390450435339131.jpeg | Detail | 1 | 4 | 111 | 189 | | | IND189 |
| WISM-20_P1_SP111_637390450453083779.jpeg | Detail | 1 | 4 | 111 | 189 | | | IND189 |
| WISM-20_P1_SP111_637390450463374429.jpeg | Detail | 1 | 4 | 111 | 189 | | | IND189 |
| WISM-20_P1_SP111_637390450473176498.jpeg | Detail | 1 | 4 | 111 | 189 | | | IND189 |
| WISM-20_P1_SP111_637390450484356980.jpeg | Detail | 1 | 4 | 111 | 189 | | | IND189 |
| WISM-20_P1_SP111_637390450495909813.jpeg | Detail | 1 | 4 | 111 | 189 | | | IND189 |
| WISM-20_P1_SP111_637390450506933974.jpeg | Detail | 1 | 4 | 111 | 189 | | | IND189 |
| WISM-20_P1_SP111_637390450518530829.jpeg | Detail | 1 | 4 | 111 | 189 | | | IND189 |
| WISM-20_P1_SP111_637390450528021012.jpeg | Detail | 1 | 4 | 111 | 189 | | | IND189 |
| WISM-20_P1_SP111_637390450537768906.jpeg | Detail | 1 | 4 | 111 | 189 | | | IND189 |
| WISM-20_P1_SP111_637390450546948344.jpeg | Detail | 1 | 4 | 111 | 189 | | | IND189 |
| WISM-20_P1_SP111_637390450568837624.jpeg | Detail | 1 | 4 | 111 | 189 | | | IND189 |
| WISM-20_P1_SP111_637390450584658946.jpeg | Detail | 1 | 4 | 111 | 189 | | | IND189 |
| WISM-20_P1_SP111_637390450598898256.jpeg | Detail | 1 | 4 | 111 | 189 | | | IND189 |
| WISM-20_P1_SP111_637390450612549530.jpeg | Detail | 1 | 4 | 111 | 189 | | | IND189 |
| WISM-20_P1_SP111_637390450627902173.jpeg | Detail | 1 | 4 | 111 | 189 | | | IND189 |
| WISM-20_P1_SP111_637390450643232806.jpeg | Detail | 1 | 4 | 111 | 189 | | | IND189 |
| WISM-20_P1_SP111_637390450658602588.jpeg | Detail | 1 | 4 | 111 | 189 | | | IND189 |
| WISM-20_P1_SP111_637390450672950999.jpeg | Detail | 1 | 4 | 111 | 189 | | | IND189 |
| WISM-20_P1_SP111_637390450686988281.jpeg | Detail | 1 | 4 | 111 | 189 | | | IND189 |
| WISM-20_P1_SP116_637388753469519240.jpeg | Detail | 1 | 1 | 116 | 173 | | | IND173 |
| WISM-20_P1_SP116_637388753501070355.jpeg | Detail | 1 | 1 | 116 | 173 | | | IND173 |
| WISM-20_P1_SP116_637388753513812853.jpeg | Detail | 1 | 1 | 116 | 173 | | | IND173 |

| Bestand | Soort | Put | Vlak | Spoor | Individu | Coupe | Profielnr. | Opmerking |
|---|---|---|---|---|---|---|---|---|
| WISM-20_P1_SP116_637388753541562606.jpeg | Detail | 1 | 1 | 116 | 173 | | | IND173 |
| WISM-20_P1_SP116_637388753555061054.jpeg | Detail | 1 | 1 | 116 | 173 | | | IND173 |
| WISM-20_P1_SP117_637388757615248028.jpeg | Detail | 1 | 1 | 117 | 174 | | | IND174 |
| WISM-20_P1_SP117_637388757628968969.jpeg | Detail | 1 | 1 | 117 | 174 | | | IND174 |
| WISM-20_P1_SP117_637388757642990596.jpeg | Detail | 1 | 1 | 117 | 174 | | | IND174 |
| WISM-20_P1_SP117_637388757656176581.jpeg | Detail | 1 | 1 | 117 | 174 | | | IND174 |
| WISM-20_P1_SP117_637388757669384119.jpeg | Detail | 1 | 1 | 117 | 174 | | | IND174 |
| WISM-20_P1_SP117_637388757683428374.jpeg | Detail | 1 | 1 | 117 | 174 | | | IND174 |
| WISM-20_P1_SP117_637388757701120041.jpeg | Detail | 1 | 1 | 117 | 174 | | | IND174 |
| WISM-20_P1_SP117_637388757715206241.jpeg | Detail | 1 | 1 | 117 | 174 | | | IND174 |
| WISM-20_P1_SP117_637388757729177254.jpeg | Detail | 1 | 1 | 117 | 174 | | | IND174 |
| WISM-20_P1_SP117_637388757743268371.jpeg | Detail | 1 | 1 | 117 | 174 | | | IND174 |
| WISM-20_P1_SP117_637388757766018149.jpeg | Detail | 1 | 1 | 117 | 174 | | | IND174 |
| WISM-20_P1_SP117_637388757793262794.jpeg | Detail | 1 | 1 | 117 | 174 | | | IND174 |
| WISM-20_P1_SP117_637388757806652457.jpeg | Detail | 1 | 1 | 117 | 174 | | | IND174 |
| WISM-20_P1_SP117_637388757820025352.jpeg | Detail | 1 | 1 | 117 | 174 | | | IND174 |
| WISM-20_P1_SP117_637388757833884782.jpeg | Detail | 1 | 1 | 117 | 174 | | | IND174 |
| WISM-20_P1_SP117_637388757847904057.jpeg | Detail | 1 | 1 | 117 | 174 | | | IND174 |
| WISM-20_P1_SP117_637388757862561099.jpeg | Detail | 1 | 1 | 117 | 174 | | | IND174 |
| WISM-20_P1_SP117_637388757875429467.jpeg | Detail | 1 | 1 | 117 | 174 | | | IND174 |
| WISM-20_P1_SP117_637388757888299542.jpeg | Detail | 1 | 1 | 117 | 174 | | | IND174 |
| WISM-20_P1_SP117_637388757901634713.jpeg | Detail | 1 | 1 | 117 | 174 | | | IND174 |
| WISM-20_P1_SP12_637387014824462310.jpeg | Detail | 1 | 1 | 12 | | | | Granaattrechter S39 |
| WISM-20_P1_SP12_637387014838485251.jpeg | Detail | 1 | 1 | 12 | | | | Granaattrechter S39 |
| WISM-20_P1_SP12_637387014852396829.jpeg | Detail | 1 | 1 | 12 | | | | Granaattrechter S39 |
| WISM-20_P1_SP12_637387014871146037.jpeg | Detail | 1 | 1 | 12 | | | | Granaattrechter S39 |
| WISM-20_P1_SP12_637387014915646255.jpeg | Detail | 1 | 1 | 12 | | | | Granaattrechter S39 |
| WISM-20_P1_SP12_637387014928236531.jpeg | Detail | 1 | 1 | 12 | | | | Granaattrechter S39 |
| WISM-20_P1_SP12_637387014941796706.jpeg | Detail | 1 | 1 | 12 | | | | Granaattrechter S39 |
| WISM-20_P1_SP12_637387014956247280.jpeg | Detail | 1 | 1 | 12 | | | | Granaattrechter S39 |
| WISM-20_P1_SP125_637389817670058288.jpeg | Detail | 1 | 1 | 125 | 183 | | | IND 183 |
| WISM-20_P1_SP125_637389817696273653.jpeg | Detail | 1 | 1 | 125 | 183 | | | IND 183 |
| WISM-20_P1_SP125_637389817726225017.jpeg | Detail | 1 | 1 | 125 | 183 | | | IND 183 |
| WISM-20_P1_SP125_637389817795254643.jpeg | Detail | 1 | 1 | 125 | 183 | | | IND 183 |
| WISM-20_P1_SP127_637390605265083626.jpeg | Detail | 1 | 1 | 127 | 187 | | | IND 187 |
| WISM-20_P1_SP127_637390605280007447.jpeg | Detail | 1 | 1 | 127 | 187 | | | IND 187 |
| WISM-20_P1_SP127_637390605295062825.jpeg | Detail | 1 | 1 | 127 | 187 | | | IND 187 |

| Bestand | Soort | Put | Vlak | Spoor | Individu | Coupe | Profielnr. | Opmerking |
|---|---|---|---|---|---|---|---|---|
| WISM-20_P1_SP127_637390605368295498.jpeg | Detail | 1 | 1 | 127 | 187 | | | IND 187 |
| WISM-20_P1_SP127_637390605440131282.jpeg | Detail | 1 | 1 | 127 | 187 | | | IND 187 |
| WISM-20_P1_SP127_637390605498980214.jpeg | Detail | 1 | 1 | 127 | 187 | | | IND 187 |
| WISM-20_P1_SP127_637390605513851030.jpeg | Detail | 1 | 1 | 127 | 187 | | | IND 187 |
| WISM-20_P1_SP127_637390605533104912.jpeg | Detail | 1 | 1 | 127 | 187 | | | IND 187 |
| WISM-20_P1_SP127_637390605564710048.jpeg | Detail | 1 | 1 | 127 | 187 | | | IND 187 |
| WISM-20_P1_SP127_637390605579054638.jpeg | Detail | 1 | 1 | 127 | 187 | | | IND 187 |
| WISM-20_P1_SP127_637390605592076199.jpeg | Detail | 1 | 1 | 127 | 187 | | | IND 187 |
| WISM-20_P1_SP127_637390605606401668.jpeg | Detail | 1 | 1 | 127 | 187 | | | IND 187 |
| WISM-20_P1_SP13_637376592987639892.jpeg | Detail | 1 | 1 | 13 | | | | Grafkuil |
| WISM-20_P1_SP13_637376593002937934.jpeg | Detail | 1 | 1 | 13 | | | | Grafkuil |
| WISM-20_P1_SP13_637376593017501022.jpeg | Detail | 1 | 1 | 13 | | | | Grafkuil |
| WISM-20_P1_SP13_637376593034393800.jpeg | Detail | 1 | 1 | 13 | | | | Grafkuil |
| WISM-20_P1_SP13_637376593050196891.jpeg | Detail | 1 | 1 | 13 | | | | Grafkuil |
| WISM-20_P1_SP13_637376593065376512.jpeg | Detail | 1 | 1 | 13 | | | | Grafkuil |
| WISM-20_P1_SP13_637376617772942964.jpeg | Detail | 1 | 1 | 13 | | | | Weinig bot |
| WISM-20_P1_SP13_637376617791435659.jpeg | Detail | 1 | 1 | 13 | | | | Weinig bot |
| WISM-20_P1_SP130_637389825634990016.jpeg | Detail | 1 | 3 | 130 | | | | Ook S131 en S132 |
| WISM-20_P1_SP130_637389825664528979.jpeg | Detail | 1 | 3 | 130 | | | | Ook S131 en S132 |
| WISM-20_P1_SP130_637389825679188132.jpeg | Detail | 1 | 3 | 130 | | | | Ook S131 en S132 |
| WISM-20_P1_SP130_637389825690982401.jpeg | Detail | 1 | 3 | 130 | | | | Ook S131 en S132 |
| WISM-20_P1_SP132_637390437845234820.jpeg | Detail | 1 | 2 | 132 | | | | |
| WISM-20_P1_SP132_637390437882124121.jpeg | Detail | 1 | 2 | 132 | | | | |
| WISM-20_P1_SP132_637390437914561738.jpeg | Detail | 1 | 2 | 132 | | | | |
| WISM-20_P1_SP133_637390659609355306.jpeg | Detail | 1 | 4 | 133 | 190 | | | IND 190 |
| WISM-20_P1_SP133_637390659631665708.jpeg | Detail | 1 | 4 | 133 | 190 | | | IND 190 |
| WISM-20_P1_SP133_637390659647322870.jpeg | Detail | 1 | 4 | 133 | 190 | | | IND 190 |
| WISM-20_P1_SP133_637390659662348589.jpeg | Detail | 1 | 4 | 133 | 190 | | | IND 190 |
| WISM-20_P1_SP133_637390659691646463.jpeg | Detail | 1 | 4 | 133 | 190 | | | IND 190 |
| WISM-20_P1_SP133_637390659712679077.jpeg | Detail | 1 | 4 | 133 | 190 | | | IND 190 |
| WISM-20_P1_SP133_637390659730568517.jpeg | Detail | 1 | 4 | 133 | 190 | | | IND 190 |
| WISM-20_P1_SP133_637390659758106274.jpeg | Detail | 1 | 4 | 133 | 190 | | | IND 190 |
| WISM-20_P1_SP133_637390659788781818.jpeg | Detail | 1 | 4 | 133 | 190 | | | IND 190 |
| WISM-20_P1_SP133_637390659802821908.jpeg | Detail | 1 | 4 | 133 | 190 | | | IND 190 |
| WISM-20_P1_SP133_637390659825412227.jpeg | Detail | 1 | 4 | 133 | 190 | | | IND 190 |
| WISM-20_P1_SP133_637390659849998193.jpeg | Detail | 1 | 4 | 133 | 190 | | | IND 190 |
| WISM-20_P1_SP133_637390659869642101.jpeg | Detail | 1 | 4 | 133 | 190 | | | IND 190 |

| Bestand | Soort | Put | Vlak | Spoor | Individu | Coupe | Profielnr. | Opmerking |
|---|---|---|---|---|---|---|---|---|
| WISM-20_P1_SP134_637390526809641738.jpeg | Detail | 1 | 1 | 134 | | | | |
| WISM-20_P1_SP134_637390526824648850.jpeg | Detail | 1 | 1 | 134 | | | | |
| WISM-20_P1_SP134_637390526901390554.jpeg | Detail | 1 | 1 | 134 | | | | |
| WISM-20_P1_SP134_637390526974384079.jpeg | Detail | 1 | 1 | 134 | | | | |
| WISM-20_P1_SP134_637390527057622907.jpeg | Detail | 1 | 1 | 134 | | | | |
| WISM-20_P1_SP134_637390527077621068.jpeg | Detail | 1 | 1 | 134 | | | | |
| WISM-20_P1_SP134_637390527092579170.jpeg | Detail | 1 | 1 | 134 | | | | |
| WISM-20_P1_SP134_637390527107790915.jpeg | Detail | 1 | 1 | 134 | | | | |
| WISM-20_P1_SP134_637390527121652531.jpeg | Detail | 1 | 1 | 134 | | | | |
| WISM-20_P1_SP135_637390527828264299.jpeg | Detail | 1 | 1 | 135 | 192 | | | IND 192 |
| WISM-20_P1_SP135_637390527842913083.jpeg | Detail | 1 | 1 | 135 | 192 | | | IND 192 |
| WISM-20_P1_SP135_637390527857618334.jpeg | Detail | 1 | 1 | 135 | 192 | | | IND 192 |
| WISM-20_P1_SP135_637390527873798954.jpeg | Detail | 1 | 1 | 135 | 192 | | | IND 192 |
| WISM-20_P1_SP135_637390527889004277.jpeg | Detail | 1 | 1 | 135 | 192 | | | IND 192 |
| WISM-20_P1_SP136_637390529130907538.jpeg | Detail | 1 | 1 | 136 | | | | |
| WISM-20_P1_SP136_637390529144951273.jpeg | Detail | 1 | 1 | 136 | | | | |
| WISM-20_P1_SP136_637390529160455839.jpeg | Detail | 1 | 1 | 136 | | | | |
| WISM-20_P1_SP136_637390529174796261.jpeg | Detail | 1 | 1 | 136 | | | | |
| WISM-20_P1_SP136_637390529189201540.jpeg | Detail | 1 | 1 | 136 | | | | |
| WISM-20_P1_SP136_637390529203320896.jpeg | Detail | 1 | 1 | 136 | | | | |
| WISM-20_P1_SP136_637390529217458991.jpeg | Detail | 1 | 1 | 136 | | | | |
| WISM-20_P1_SP136_637390529231654441.jpeg | Detail | 1 | 1 | 136 | | | | |
| WISM-20_P1_SP136_637390529245742862.jpeg | Detail | 1 | 1 | 136 | | | | |
| WISM-20_P1_SP137_637390525611550898.jpeg | Detail | 1 | 1 | 137 | | | | |
| WISM-20_P1_SP137_637390525628112889.jpeg | Detail | 1 | 1 | 137 | | | | |
| WISM-20_P1_SP137_637390525640765802.jpeg | Detail | 1 | 1 | 137 | | | | |
| WISM-20_P1_SP137_637390525654793731.jpeg | Detail | 1 | 1 | 137 | | | | |
| WISM-20_P1_SP137_637390525668192396.jpeg | Detail | 1 | 1 | 137 | | | | |
| WISM-20_P1_SP14_637376594536422121.jpeg | Detail | 1 | 1 | 14 | 130 | | | Grafkuil antropomorf? |
| WISM-20_P1_SP14_637376594550736058.jpeg | Detail | 1 | 1 | 14 | 130 | | | Grafkuil antropomorf? |
| WISM-20_P1_SP14_637376594565605832.jpeg | Detail | 1 | 1 | 14 | 130 | | | Grafkuil antropomorf? |
| WISM-20_P1_SP14_637376594579900127.jpeg | Detail | 1 | 1 | 14 | 130 | | | Grafkuil antropomorf? |
| WISM-20_P1_SP14_637376594594134666.jpeg | Detail | 1 | 1 | 14 | 130 | | | Grafkuil antropomorf? |
| WISM-20_P1_SP14_637376594607171847.jpeg | Detail | 1 | 1 | 14 | 130 | | | Grafkuil antropomorf? |
| WISM-20_P1_SP140_637390665040912443.jpeg | Detail | 1 | 4 | 140 | 191 | | | IND 191 |
| WISM-20_P1_SP140_637390665058402557.jpeg | Detail | 1 | 4 | 140 | 191 | | | IND 191 |
| WISM-20_P1_SP140_637390665074437714.jpeg | Detail | 1 | 4 | 140 | 191 | | | IND 191 |

| Bestand | Soort | Put | Vlak | Spoor | Individu | Coupe | Profielnr. | Opmerking |
|---|---|---|---|---|---|---|---|---|
| WISM-20_P1_SP140_637390722482233804.jpeg | Detail | 1 | 3 | 140 | 191 | | | IND191 |
| WISM-20_P1_SP140_637390722511542191.jpeg | Detail | 1 | 3 | 140 | 191 | | | IND191 |
| WISM-20_P1_SP140_637390722525675174.jpeg | Detail | 1 | 3 | 140 | 191 | | | IND191 |
| WISM-20_P1_SP140_637390722541487876.jpeg | Detail | 1 | 3 | 140 | 191 | | | IND191 |
| WISM-20_P1_SP140_637390722556218969.jpeg | Detail | 1 | 3 | 140 | 191 | | | IND191 |
| WISM-20_P1_SP140_637390722576000531.jpeg | Detail | 1 | 3 | 140 | 191 | | | IND191 |
| WISM-20_P1_SP140_637390722589024813.jpeg | Detail | 1 | 3 | 140 | 191 | | | IND191 |
| WISM-20_P1_SP140_637390722603388857.jpeg | Detail | 1 | 3 | 140 | 191 | | | IND191 |
| WISM-20_P1_SP140_637390722648928927.jpeg | Detail | 1 | 3 | 140 | 191 | | | IND191 |
| WISM-20_P1_SP15_637376598415049149.jpeg | Detail | 1 | 1 | 15 | | | | |
| WISM-20_P1_SP15_637376598430611230.jpeg | Detail | 1 | 1 | 15 | | | | |
| WISM-20_P1_SP15_637376598444522159.jpeg | Detail | 1 | 1 | 15 | | | | |
| WISM-20_P1_SP15_637376598458852200.jpeg | Detail | 1 | 1 | 15 | | | | |
| WISM-20_P1_SP15_637376598472719035.jpeg | Detail | 1 | 1 | 15 | | | | |
| WISM-20_P1_SP15_637376598486787711.jpeg | Detail | 1 | 1 | 15 | | | | |
| WISM-20_P1_SP15_637376598500584524.jpeg | Detail | 1 | 1 | 15 | | | | |
| WISM-20_P1_SP15_637376598513765377.jpeg | Detail | 1 | 1 | 15 | | | | |
| WISM-20_P1_SP15_637376598527786919.jpeg | Detail | 1 | 1 | 15 | | | | |
| WISM-20_P1_SP18_637378476770199157.jpeg | Coupe | 1 | 1 | 18 | | AB | | |
| WISM-20_P1_SP18_637378476783696000.jpeg | Coupe | 1 | 1 | 18 | | AB | | |
| WISM-20_P1_SP18_637378476798552646.jpeg | Coupe | 1 | 1 | 18 | | AB | | |
| WISM-20_P1_SP18_637378476815118352.jpeg | Coupe | 1 | 1 | 18 | | AB | | |
| WISM-20_P1_SP18_637378476830474712.jpeg | Coupe | 1 | 1 | 18 | | AB | | |
| WISM-20_P1_SP20_637358648098585304.jpeg | Detail | 1 | 1 | 20 | | | | Schoen |
| WISM-20_P1_SP20_637358648112759471.jpeg | Detail | 1 | 1 | 20 | | | | Schoen |
| WISM-20_P1_SP21_637378393082708233.jpeg | Detail | 1 | 1 | 21 | 140 | | | |
| WISM-20_P1_SP21_637378393097356352.jpeg | Detail | 1 | 1 | 21 | 140 | | | |
| WISM-20_P1_SP21_637378393112236841.jpeg | Detail | 1 | 1 | 21 | 140 | | | |
| WISM-20_P1_SP21_637378393129732897.jpeg | Detail | 1 | 1 | 21 | 140 | | | |
| WISM-20_P1_SP21_637378393148914844.jpeg | Detail | 1 | 1 | 21 | 140 | | | |
| WISM-20_P1_SP21_637378393172166188.jpeg | Detail | 1 | 1 | 21 | 140 | | | |
| WISM-20_P1_SP21_637378393195027125.jpeg | Detail | 1 | 1 | 21 | 140 | | | |
| WISM-20_P1_SP21_637378393220287356.jpeg | Detail | 1 | 1 | 21 | 140 | | | |
| WISM-20_P1_SP21_637378393242510342.jpeg | Detail | 1 | 1 | 21 | 140 | | | |
| WISM-20_P1_SP21_637378393260160711.jpeg | Detail | 1 | 1 | 21 | 140 | | | |
| WISM-20_P1_SP21_637378393275720213.jpeg | Detail | 1 | 1 | 21 | 140 | | | |
| WISM-20_P1_SP21_637378393291402497.jpeg | Detail | 1 | 1 | 21 | 140 | | | |

| Bestand | Soort | Put | Vlak | Spoor | Individu | Coupe | Profielnr. | Opmerking |
|---|---|---|---|---|---|---|---|---|
| WISM-20_P1_SP21_637378393306137874.jpeg | Detail | 1 | 1 | 21 | 140 | | | |
| WISM-20_P1_SP21_637378393320001515.jpeg | Detail | 1 | 1 | 21 | 140 | | | |
| WISM-20_P1_SP21_637378393335505301.jpeg | Detail | 1 | 1 | 21 | 140 | | | |
| WISM-20_P1_SP21_637378393350222687.jpeg | Detail | 1 | 1 | 21 | 140 | | | |
| WISM-20_P1_SP21_637378393364699619.jpeg | Detail | 1 | 1 | 21 | 140 | | | |
| WISM-20_P1_SP21_637378393379871801.jpeg | Detail | 1 | 1 | 21 | 140 | | | |
| WISM-20_P1_SP21_637378393396185869.jpeg | Detail | 1 | 1 | 21 | 140 | | | |
| WISM-20_P1_SP21_637378393412164255.jpeg | Detail | 1 | 1 | 21 | 140 | | | |
| WISM-20_P1_SP21_637378393428410747.jpeg | Detail | 1 | 1 | 21 | 140 | | | |
| WISM-20_P1_SP21_637378393443758388.jpeg | Detail | 1 | 1 | 21 | 140 | | | |
| WISM-20_P1_SP21_637378393459515161.jpeg | Detail | 1 | 1 | 21 | 140 | | | |
| WISM-20_P1_SP21_637378393480793813.jpeg | Detail | 1 | 1 | 21 | 140 | | | |
| WISM-20_P1_SP21_637378393496280139.jpeg | Detail | 1 | 1 | 21 | 140 | | | |
| WISM-20_P1_SP21_637378393509847134.jpeg | Detail | 1 | 1 | 21 | 140 | | | |
| WISM-20_P1_SP21_637378393524924827.jpeg | Detail | 1 | 1 | 21 | 140 | | | |
| WISM-20_P1_SP21_637378393539742740.jpeg | Detail | 1 | 1 | 21 | 140 | | | |
| WISM-20_P1_SP21_637378393555606452.jpeg | Detail | 1 | 1 | 21 | 140 | | | |
| WISM-20_P1_SP21_637378393571196190.jpeg | Detail | 1 | 1 | 21 | 140 | | | |
| WISM-20_P1_SP21_637378393585222939.jpeg | Detail | 1 | 1 | 21 | 140 | | | |
| WISM-20_P1_SP22_637359313274978421.jpeg | Detail | 1 | 1 | 22 | 141 | | | S22-23 |
| WISM-20_P1_SP22_637359313294161639.jpeg | Detail | 1 | 1 | 22 | 141 | | | S22-23 |
| WISM-20_P1_ShP22_637359313309180212.jpeg | Detail | 1 | 1 | 22 | 141 | | | S22-23 |
| WISM-20_P1_SP22_637359315137722279.jpeg | Detail | 1 | 1 | 22 | 141 | | | |
| WISM-20_P1_SP22_637359315151048061.jpeg | Detail | 1 | 1 | 22 | 141 | | | |
| WISM-20_P1_SP22_637378401168064992.jpeg | Detail | 1 | 1 | 22 | 141 | | | IND 141 |
| WISM-20_P1_SP22_637378401192793102.jpeg | Detail | 1 | 1 | 22 | 141 | | | IND 141 |
| WISM-20_P1_SP22_637378401206645978.jpeg | Detail | 1 | 1 | 22 | 141 | | | IND 141 |
| WISM-20_P1_SP22_637378401221741081.jpeg | Detail | 1 | 1 | 22 | 141 | | | IND 141 |
| WISM-20_P1_SP22_637378401234240053.jpeg | Detail | 1 | 1 | 22 | 141 | | | IND 141 |
| WISM-20_P1_SP22_637378401248011984.jpeg | Detail | 1 | 1 | 22 | 141 | | | IND 141 |
| WISM-20_P1_SP22_637378401261947308.jpeg | Detail | 1 | 1 | 22 | 141 | | | IND 141 |
| WISM-20_P1_SP22_637378401275681345.jpeg | Detail | 1 | 1 | 22 | 141 | | | IND 141 |
| WISM-20_P1_SP22_637378401290236975.jpeg | Detail | 1 | 1 | 22 | 141 | | | IND 141 |
| WISM-20_P1_SP22_637378401304189352.jpeg | Detail | 1 | 1 | 22 | 141 | | | IND 141 |
| WISM-20_P1_SP22_637378401317066815.jpeg | Detail | 1 | 1 | 22 | 141 | | | IND 141 |
| WISM-20_P1_SP22_637378401329624976.jpeg | Detail | 1 | 1 | 22 | 141 | | | IND 141 |
| WISM-20_P1_SP22_637378401344319164.jpeg | Detail | 1 | 1 | 22 | 141 | | | IND 141 |

| Bestand | Soort | Put | Vlak | Spoor | Individu | Coupe | Profielnr. | Opmerking |
|---|---|---|---|---|---|---|---|---|
| WISM-20_P1_SP23_637358647491232082.jpeg | Detail | 1 | 1 | 23 | 101 | | | Kist |
| WISM-20_P1_SP23_637358647507562287.jpeg | Detail | 1 | 1 | 23 | 101 | | | Kist |
| WISM-20_P1_SP23_637358647526600069.jpeg | Detail | 1 | 1 | 23 | 101 | | | Kist |
| WISM-20_P1_SP23_637359314139595335.jpeg | Detail | 1 | 1 | 23 | 101 | | | |
| WISM-20_P1_SP23_637359314152623886.jpeg | Detail | 1 | 1 | 23 | 101 | | | |
| WISM-20_P1_SP23_637359314165945544.jpeg | Detail | 1 | 1 | 23 | 101 | | | |
| WISM-20_P1_SP23_637359314180439129.jpeg | Detail | 1 | 1 | 23 | 101 | | | |
| WISM-20_P1_SP23_637359314193609446.jpeg | Detail | 1 | 1 | 23 | 101 | | | |
| WISM-20_P1_SP23_637359314207619419.jpeg | Detail | 1 | 1 | 23 | 101 | | | |
| WISM-20_P1_SP23_637359314221187826.jpeg | Detail | 1 | 1 | 23 | 101 | | | |
| WISM-20_P1_SP23_637359471508374580.jpeg | Detail | 1 | 2 | 23 | 101 | | | |
| WISM-20_P1_SP23_637359471535260190.jpeg | Detail | 1 | 2 | 23 | 101 | | | |
| WISM-20_P1_SP23_637359471549503972.jpeg | Detail | 1 | 2 | 23 | 101 | | | |
| WISM-20_P1_SP23_637359471562303327.jpeg | Detail | 1 | 2 | 23 | 101 | | | |
| WISM-20_P1_SP23_637359471576170673.jpeg | Detail | 1 | 2 | 23 | 101 | | | |
| WISM-20_P1_SP23_637359471590049017.jpeg | Detail | 1 | 2 | 23 | 101 | | | |
| WISM-20_P1_SP23_637359471603392613.jpeg | Detail | 1 | 2 | 23 | 101 | | | |
| WISM-20_P1_SP23_637359471617417934.jpeg | Detail | 1 | 2 | 23 | 101 | | | |
| WISM-20_P1_SP23_637359512074973584.jpeg | Detail | 1 | 2 | 23 | 101 | | | |
| WISM-20_P1_SP23_637359512096483124.jpeg | Detail | 1 | 2 | 23 | 101 | | | |
| WISM-20_P1_SP23_637359512117224553.jpeg | Detail | 1 | 2 | 23 | 101 | | | |
| WISM-20_P1_SP23_VO0_637359371778427203.jpeg | Vondst | 1 | 1 | 23 | 101 | | | Afdruk beslag deksel |
| WISM-20_P1_SP23_VO0_637359371790975358.jpeg | Vondst | 1 | 1 | 23 | 101 | | | Afdruk beslag deksel |
| WISM-20_P1_SP23_VO0_637359371803551571.jpeg | Vondst | 1 | 1 | 23 | 101 | | | Afdruk beslag deksel |
| WISM-20_P1_SP23_VO0_637359371815894880.jpeg | Vondst | 1 | 1 | 23 | 101 | | | Afdruk beslag deksel |
| WISM-20_P1_SP23_VO0_637359371828609703.jpeg | Vondst | 1 | 1 | 23 | 101 | | | Afdruk beslag deksel |
| WISM-20_P1_SP23_VO0_637359371840794414.jpeg | Vondst | 1 | 1 | 23 | 101 | | | Afdruk beslag deksel |
| WISM-20_P1_SP23_VO0_637359371897581366.jpeg | Vondst | 1 | 1 | 23 | 101 | | | Afdruk beslag deksel |
| WISM-20_P1_SP23_VO0_637359388079050947.jpeg | Vondst | 1 | 1 | 23 | 101 | | | Afdruk beslag deksel |
| WISM-20_P1_SP23_VO0_637359388092076186.jpeg | Vondst | 1 | 1 | 23 | 101 | | | Afdruk beslag deksel |
| WISM-20_P1_SP23_VO0_637359388105094134.jpeg | Vondst | 1 | 1 | 23 | 101 | | | Afdruk beslag deksel |
| WISM-20_P1_SP23_VO0_637359388118269518.jpeg | Vondst | 1 | 1 | 23 | 101 | | | Afdruk beslag deksel |
| WISM-20_P1_SP23_VO0_637359388131443969.jpeg | Vondst | 1 | 1 | 23 | 101 | | | Afdruk beslag deksel |
| WISM-20_P1_SP24_637378522428320188.jpeg | Coupe | 1 | 1 | 24 | | AB | | |
| WISM-20_P1_SP24_637378522442506389.jpeg | Coupe | 1 | 1 | 24 | | AB | | |
| WISM-20_P1_SP24_637378522457373599.jpeg | Coupe | 1 | 1 | 24 | | AB | | |
| WISM-20_P1_SP27_637358677150399865.jpeg | Detail | 1 | 1 | 27 | 1 | | | INDividu 1 |

| Bestand | Soort | Put | Vlak | Spoor | Individu | Coupe | Profielnr. | Opmerking |
|---|---|---|---|---|---|---|---|---|
| WISM-20_P1_SP27_637358677166900792.jpeg | Detail | 1 | 1 | 27 | 1 | | | INDividu 1 |
| WISM-20_P1_SP27_637358677203173692.jpeg | Detail | 1 | 1 | 27 | 1 | | | INDividu 1 |
| WISM-20_P1_SP27_VO10_637358677806136385.jpeg | Vondst | 1 | 1 | 27 | 1 | | | Ring IND1 |
| WISM-20_P1_SP27_VO10_637358677837565240.jpeg | Vondst | 1 | 1 | 27 | 1 | | | Ring IND1 |
| WISM-20_P1_SP27_VO10_637358677856801040.jpeg | Vondst | 1 | 1 | 27 | 1 | | | Ring IND1 |
| WISM-20_P1_SP27_VO10_637358677877154791.jpeg | Vondst | 1 | 1 | 27 | 1 | | | Ring IND1 |
| WISM-20_P1_SP28_637363614587314443.jpeg | Detail | 1 | 1 | 28 | 102 | | | IND102 |
| WISM-20_P1_SP28_637363614603341942.jpeg | Detail | 1 | 1 | 28 | 102 | | | IND102 |
| WISM-20_P1_SP29_637363615597921725.jpeg | Detail | 1 | 1 | 29 | 103 | | | IND103 |
| WISM-20_P1_SP29_637363615631233181.jpeg | Detail | 1 | 1 | 29 | 103 | | | IND103 |
| WISM-20_P1_SP30_637363629081425660.jpeg | Detail | 1 | 1 | 30 | 104 | | | IND104 |
| WISM-20_P1_SP30_637363629095450887.jpeg | Detail | 1 | 1 | 30 | 104 | | | IND104 |
| WISM-20_P1_SP30_637363629309323179.jpeg | Detail | 1 | 1 | 30 | 104 | | | IND104 |
| WISM-20_P1_SP30_637363629324407240.jpeg | Detail | 1 | 1 | 30 | 104 | | | IND104 |
| WISM-20_P1_SP30_637365460319887054.jpeg | Detail | 1 | 1 | 30 | 104 | | | |
| WISM-20_P1_SP30_637365460353003471.jpeg | Detail | 1 | 1 | 30 | 104 | | | |
| WISM-20_P1_SP30_637365460365812904.jpeg | Detail | 1 | 1 | 30 | 104 | | | |
| WISM-20_P1_SP30_637365460380340422.jpeg | Detail | 1 | 1 | 30 | 104 | | | |
| WISM-20_P1_SP31_637363629533700126.jpeg | Detail | 1 | 1 | 31 | 105 | | | IND105 |
| WISM-20_P1_SP31_637363629552936719.jpeg | Detail | 1 | 1 | 31 | 105 | | | IND105 |
| WISM-20_P1_SP31_637363872629968456.jpeg | Werkfoto | 1 | 1 | 31 | 105 | | | S30 en S31 |
| WISM-20_P1_SP31_637363872649535413.jpeg | Werkfoto | 1 | 1 | 31 | 105 | | | S30 en S31 |
| WISM-20_P1_SP31_637363872663028240.jpeg | Werkfoto | 1 | 1 | 31 | 105 | | | S30 en S31 |
| WISM-20_P1_SP31_637363872677591852.jpeg | Werkfoto | 1 | 1 | 31 | 105 | | | S30 en S31 |
| WISM-20_P1_SP31_637363872691086518.jpeg | Werkfoto | 1 | 1 | 31 | 105 | | | S30 en S31 |
| WISM-20_P1_SP31_637363872704640943.jpeg | Werkfoto | 1 | 1 | 31 | 105 | | | S30 en S31 |
| WISM-20_P1_SP32_637363630287059988.jpeg | Detail | 1 | 1 | 32 | 106 | | | IND106 |
| WISM-20_P1_SP32_637363630319821921.jpeg | Detail | 1 | 1 | 32 | 106 | | | IND106 |
| WISM-20_P1_SP32_637363630334162194.jpeg | Detail | 1 | 1 | 32 | 106 | | | IND106 |
| WISM-20_P1_SP32_637363630359907164.jpeg | Detail | 1 | 1 | 32 | 106 | | | IND106 |
| WISM-20_P1_SP32_637363662156019807.jpeg | Detail | 1 | 1 | 32 | 106 | | | IND106 |
| WISM-20_P1_SP32_637363662175801912.jpeg | Detail | 1 | 1 | 32 | 106 | | | IND106 |
| WISM-20_P1_SP32_637363662198963141.jpeg | Detail | 1 | 1 | 32 | 106 | | | IND106 |
| WISM-20_P1_SP33_637363630920147135.jpeg | Detail | 1 | 1 | 33 | 107 | | | IND107 |
| WISM-20_P1_SP33_637363630938021478.jpeg | Detail | 1 | 1 | 33 | 107 | | | IND107 |
| WISM-20_P1_SP33_637363630955467788.jpeg | Detail | 1 | 1 | 33 | 107 | | | IND107 |
| WISM-20_P1_SP33_637363630971388333.jpeg | Detail | 1 | 1 | 33 | 107 | | | IND107 |

| Bestand | Soort | Put | Vlak | Spoor | Individu | Coupe | Profielnr. | Opmerking |
|---|---|---|---|---|---|---|---|---|
| WISM-20_P1_SP33_637363631289736992.jpeg | Detail | 1 | 1 | 33 | 107 | | | IND107 |
| WISM-20_P1_SP33_637363631306929100.jpeg | Detail | 1 | 1 | 33 | 107 | | | IND107 |
| WISM-20_P1_SP33_637364490906515574.jpeg | Detail | 1 | 1 | 33 | 107 | | | IND 107 |
| WISM-20_P1_SP33_637364490962885666.jpeg | Detail | 1 | 1 | 33 | 107 | | | IND 107 |
| WISM-20_P1_SP33_637364490983142927.jpeg | Detail | 1 | 1 | 33 | 107 | | | IND 107 |
| WISM-20_P1_SP33_637364490997574891.jpeg | Detail | 1 | 1 | 33 | 107 | | | IND 107 |
| WISM-20_P1_SP33_637364491011321210.jpeg | Detail | 1 | 1 | 33 | 107 | | | IND 107 |
| WISM-20_P1_SP33_637364491027502172.jpeg | Detail | 1 | 1 | 33 | 107 | | | IND 107 |
| WISM-20_P1_SP33_637364491044059397.jpeg | Detail | 1 | 1 | 33 | 107 | | | IND 107 |
| WISM-20_P1_SP33_637364491059228384.jpeg | Detail | 1 | 1 | 33 | 107 | | | IND 107 |
| WISM-20_P1_SP33_637364491075410747.jpeg | Detail | 1 | 1 | 33 | 107 | | | IND 107 |
| WISM-20_P1_SP33_637364491090031173.jpeg | Detail | 1 | 1 | 33 | 107 | | | IND 107 |
| WISM-20_P1_SP33_637364491105709553.jpeg | Detail | 1 | 1 | 33 | 107 | | | IND 107 |
| WISM-20_P1_SP33_637364491121040815.jpeg | Detail | 1 | 1 | 33 | 107 | | | IND 107 |
| WISM-20_P1_SP33_637364491136279914.jpeg | Detail | 1 | 1 | 33 | 107 | | | IND 107 |
| WISM-20_P1_SP33_637364491152633910.jpeg | Detail | 1 | 1 | 33 | 107 | | | IND 107 |
| WISM-20_P1_SP33_637364491167675799.jpeg | Detail | 1 | 1 | 33 | 107 | | | IND 107 |
| WISM-20_P1_SP33_637364491183009467.jpeg | Detail | 1 | 1 | 33 | 107 | | | IND 107 |
| WISM-20_P1_SP33_637364491198256869.jpeg | Detail | 1 | 1 | 33 | 107 | | | IND 107 |
| WISM-20_P1_SP33_637364491212596866.jpeg | Detail | 1 | 1 | 33 | 107 | | | IND 107 |
| WISM-20_P1_SP33_637364491226620258.jpeg | Detail | 1 | 1 | 33 | 107 | | | IND 107 |
| WISM-20_P1_SP33_637364491240950162.jpeg | Detail | 1 | 1 | 33 | 107 | | | IND 107 |
| WISM-20_P1_SP33_637364491255825462.jpeg | Detail | 1 | 1 | 33 | 107 | | | IND 107 |
| WISM-20_P1_SP33_637364491270009983.jpeg | Detail | 1 | 1 | 33 | 107 | | | IND 107 |
| WISM-20_P1_SP33_637364491287255190.jpeg | Detail | 1 | 1 | 33 | 107 | | | IND 107 |
| WISM-20_P1_SP33_637364491301061824.jpeg | Detail | 1 | 1 | 33 | 107 | | | IND 107 |
| WISM-20_P1_SP33_637364491314300905.jpeg | Detail | 1 | 1 | 33 | 107 | | | IND 107 |
| WISM-20_P1_SP33_637364491328334111.jpeg | Detail | 1 | 1 | 33 | 107 | | | IND 107 |
| WISM-20_P1_SP33_637364499393804731.jpeg | Detail | 1 | 1 | 33 | 107 | | | IND 107 |
| WISM-20_P1_SP33_637364499406830853.jpeg | Detail | 1 | 1 | 33 | 107 | | | IND 107 |
| WISM-20_P1_SP33_637364499420393816.jpeg | Detail | 1 | 1 | 33 | 107 | | | IND 107 |
| WISM-20_P1_SP33_637364499433886809.jpeg | Detail | 1 | 1 | 33 | 107 | | | IND 107 |
| WISM-20_P1_SP33_637364499448077163.jpeg | Detail | 1 | 1 | 33 | 107 | | | IND 107 |
| WISM-20_P1_SP33_637364499461416225.jpeg | Detail | 1 | 1 | 33 | 107 | | | IND 107 |
| WISM-20_P1_SP33_637364722650204724.jpeg | Detail | 1 | 1 | 33 | 107 | | | IND107 |
| WISM-20_P1_SP33_637364722663325392.jpeg | Detail | 1 | 1 | 33 | 107 | | | IND107 |
| WISM-20_P1_SP33_637364722676603489.jpeg | Detail | 1 | 1 | 33 | 107 | | | IND107 |

| Bestand | Soort | Put | Vlak | Spoor | Individu | Coupe | Profielnr. | Opmerking |
|---|---|---|---|---|---|---|---|---|
| WISM-20_P1_SP33_637364722689412960.jpeg | Detail | 1 | 1 | 33 | 107 | | | IND107 |
| WISM-20_P1_SP33_637364722701753785.jpeg | Detail | 1 | 1 | 33 | 107 | | | IND107 |
| WISM-20_P1_SP33_637364722714407111.jpeg | Detail | 1 | 1 | 33 | 107 | | | IND107 |
| WISM-20_P1_SP33_637364722726123041.jpeg | Detail | 1 | 1 | 33 | 107 | | | IND107 |
| WISM-20_P1_SP33_637364722739244918.jpeg | Detail | 1 | 1 | 33 | 107 | | | IND107 |
| WISM-20_P1_SP33_637364722750960919.jpeg | Detail | 1 | 1 | 33 | 107 | | | IND107 |
| WISM-20_P1_SP33_637364722764082845.jpeg | Detail | 1 | 1 | 33 | 107 | | | IND107 |
| WISM-20_P1_SP33_637364722777360931.jpeg | Detail | 1 | 1 | 33 | 107 | | | IND107 |
| WISM-20_P1_SP33_637364722789076951.jpeg | Detail | 1 | 1 | 33 | 107 | | | IND107 |
| WISM-20_P1_SP33_637364722800792885.jpeg | Detail | 1 | 1 | 33 | 107 | | | IND107 |
| WISM-20_P1_SP33_637364722812196514.jpeg | Detail | 1 | 1 | 33 | 107 | | | IND107 |
| WISM-20_P1_SP33_637364722825162125.jpeg | Detail | 1 | 1 | 33 | 107 | | | IND107 |
| WISM-20_P1_SP33_637364722837971630.jpeg | Detail | 1 | 1 | 33 | 107 | | | IND107 |
| WISM-20_P1_SP33_637364722850781062.jpeg | Detail | 1 | 1 | 33 | 107 | | | IND107 |
| WISM-20_P1_SP33_637364722863746746.jpeg | Detail | 1 | 1 | 33 | 107 | | | IND107 |
| WISM-20_P1_SP33_637364722876243802.jpeg | Detail | 1 | 1 | 33 | 107 | | | IND107 |
| WISM-20_P1_SP33_637364722888272199.jpeg | Detail | 1 | 1 | 33 | 107 | | | IND107 |
| WISM-20_P1_SP33_637364722900769546.jpeg | Detail | 1 | 1 | 33 | 107 | | | IND107 |
| WISM-20_P1_SP33_637364722912485230.jpeg | Detail | 1 | 1 | 33 | 107 | | | IND107 |
| WISM-20_P1_SP33_637364722925763339.jpeg | Detail | 1 | 1 | 33 | 107 | | | IND107 |
| WISM-20_P1_SP33_637364722938416642.jpeg | Detail | 1 | 1 | 33 | 107 | | | IND107 |
| WISM-20_P1_SP33_637364722951538568.jpeg | Detail | 1 | 1 | 33 | 107 | | | IND107 |
| WISM-20_P1_SP33_637364722964347971.jpeg | Detail | 1 | 1 | 33 | 107 | | | IND107 |
| WISM-20_P1_SP33_637364722976845035.jpeg | Detail | 1 | 1 | 33 | 107 | | | IND107 |
| WISM-20_P1_SP33_637364722989810790.jpeg | Detail | 1 | 1 | 33 | 107 | | | IND107 |
| WISM-20_P1_SP33_637364723001682883.jpeg | Detail | 1 | 1 | 33 | 107 | | | IND107 |
| WISM-20_P1_SP34_637363631974702764.jpeg | Detail | 1 | 1 | 34 | 108 | | | IND108 |
| WISM-20_P1_SP34_637363631988414192.jpeg | Detail | 1 | 1 | 34 | 108 | | | IND108 |
| WISM-20_P1_SP34_637363632000972617.jpeg | Detail | 1 | 1 | 34 | 108 | | | IND108 |
| WISM-20_P1_SP34_637363683080384346.jpeg | Detail | 1 | 1 | 34 | 108 | | | IND108 |
| WISM-20_P1_SP34_637363683105997299.jpeg | Detail | 1 | 1 | 34 | 108 | | | IND108 |
| WISM-20_P1_SP34_637363683133231832.jpeg | Detail | 1 | 1 | 34 | 108 | | | IND108 |
| WISM-20_P1_SP34_637363683156807983.jpeg | Detail | 1 | 1 | 34 | 108 | | | IND108 |
| WISM-20_P1_SP34_637363683172625286.jpeg | Detail | 1 | 1 | 34 | 108 | | | IND108 |
| WISM-20_P1_SP34_637363683189510927.jpeg | Detail | 1 | 1 | 34 | 108 | | | IND108 |
| WISM-20_P1_SP34_637363683214573681.jpeg | Detail | 1 | 1 | 34 | 108 | | | IND108 |
| WISM-20_P1_SP34_637364440505115973.jpeg | Detail | 1 | 1 | 34 | 108 | | | IND 108 |

| Bestand | Soort | Put | Vlak | Spoor | Individu | Coupe | Profielnr. | Opmerking |
|---|---|---|---|---|---|---|---|---|
| WISM-20_P1_SP34_637364440520296846.jpeg | Detail | 1 | 1 | 34 | 108 | | | IND 108 |
| WISM-20_P1_SP34_637364440534161167.jpeg | Detail | 1 | 1 | 34 | 108 | | | IND 108 |
| WISM-20_P1_SP34_637364440547038258.jpeg | Detail | 1 | 1 | 34 | 108 | | | IND 108 |
| WISM-20_P1_SP35_637363632809424227.jpeg | Detail | 1 | 1 | 35 | 109 | | | IND109 |
| WISM-20_P1_SP35_637363632822830773.jpeg | Detail | 1 | 1 | 35 | 109 | | | IND109 |
| WISM-20_P1_SP36_637387019183991618.jpeg | Detail | 1 | 1 | 36 | 163 | | | |
| WISM-20_P1_SP36_637387019198388039.jpeg | Detail | 1 | 1 | 36 | 163 | | | |
| WISM-20_P1_SP36_637387019212881993.jpeg | Detail | 1 | 1 | 36 | 163 | | | |
| WISM-20_P1_SP36_637387019226605751.jpeg | Detail | 1 | 1 | 36 | 163 | | | |
| WISM-20_P1_SP36_637387019239543042.jpeg | Detail | 1 | 1 | 36 | 163 | | | |
| WISM-20_P1_SP36_637387019252392150.jpeg | Detail | 1 | 1 | 36 | 163 | | | |
| WISM-20_P1_SP36_637387019265248436.jpeg | Detail | 1 | 1 | 36 | 163 | | | |
| WISM-20_P1_SP38_637387104226791271.jpeg | Detail | 1 | 1 | 38 | 164 | | | |
| WISM-20_P1_SP38_637387104245991050.jpeg | Detail | 1 | 1 | 38 | 164 | | | |
| WISM-20_P1_SP38_637387104260485483.jpeg | Detail | 1 | 1 | 38 | 164 | | | |
| WISM-20_P1_SP38_637387980111571438.jpeg | Detail | 1 | 1 | 38 | 164 | | | IND164: antropomorfe grafkuil |
| WISM-20_P1_SP38_637387980128918830.jpeg | Detail | 1 | 1 | 38 | 164 | | | IND164: antropomorfe grafkuil |
| WISM-20_P1_SP38_637387980150489572.jpeg | Detail | 1 | 1 | 38 | 164 | | | IND164: antropomorfe grafkuil |
| WISM-20_P1_SP38_637388028350635277.jpeg | Detail | 1 | 1 | 38 | 164 | | | IND164 |
| WISM-20_P1_SP38_637388028365669540.jpeg | Detail | 1 | 1 | 38 | 164 | | | IND164 |
| WISM-20_P1_SP38_637388028381321884.jpeg | Detail | 1 | 1 | 38 | 164 | | | IND164 |
| WISM-20_P1_SP40_637364650411591354.jpeg | Detail | 1 | 1 | 40 | 111 | | | |
| WISM-20_P1_SP40_637364650427071138.jpeg | Detail | 1 | 1 | 40 | 111 | | | |
| WISM-20_P1_SP40_637364650441648829.jpeg | Detail | 1 | 1 | 40 | 111 | | | |
| WISM-20_P1_SP40_637364650456989214.jpeg | Detail | 1 | 1 | 40 | 111 | | | |
| WISM-20_P1_SP40_637364650470831326.jpeg | Detail | 1 | 1 | 40 | 111 | | | |
| WISM-20_P1_SP40_637364650485823370.jpeg | Detail | 1 | 1 | 40 | 111 | | | |
| WISM-20_P1_SP40_637364650500481003.jpeg | Detail | 1 | 1 | 40 | 111 | | | |
| WISM-20_P1_SP40_637364682680059404.jpeg | Detail | 1 | 1 | 40 | 111 | | | |
| WISM-20_P1_SP40_637364682694998210.jpeg | Detail | 1 | 1 | 40 | 111 | | | |
| WISM-20_P1_SP40_637364682727015626.jpeg | Detail | 1 | 1 | 40 | 111 | | | |
| WISM-20_P1_SP40_637364682748134435.jpeg | Detail | 1 | 1 | 40 | 111 | | | |
| WISM-20_P1_SP40_637364682763130206.jpeg | Detail | 1 | 1 | 40 | 111 | | | |
| WISM-20_P1_SP41_637365523323615963.jpeg | Detail | 1 | 1 | 41 | 112 | | | IND 112/ koperafdruk zijkant (links)/ koperafdruk deksel (rechts) |
| WISM-20_P1_SP41_637365523336892924.jpeg | Detail | 1 | 1 | 41 | 112 | | | IND 112/ koperafdruk zijkant (links)/ koperafdruk deksel (rechts) |

| Bestand | Soort | Put | Vlak | Spoor | Individu | Coupe | Profielnr. | Opmerking |
|---|---|---|---|---|---|---|---|---|
| WISM-20_P1_SP41_637365523359543803.jpeg | Detail | 1 | 1 | 41 | 112 | | | IND 112/ koperafdruk zijkant (links)/ koperafdruk deksel (rechts) |
| WISM-20_P1_SP41_637365523373759221.jpeg | Detail | 1 | 1 | 41 | 112 | | | IND 112/ koperafdruk zijkant (links)/ koperafdruk deksel (rechts) |
| WISM-20_P1_SP41_637365526486753128.jpeg | Detail | 1 | 1 | 41 | 112 | | | IND 112/ koperafdruk zijkant (links)/ koperafdruk deksel (rechts) |
| WISM-20_P1_SP41_637365526500031071.jpeg | Detail | 1 | 1 | 41 | 112 | | | IND 112/ koperafdruk zijkant (links)/ koperafdruk deksel (rechts) |
| WISM-20_P1_SP41_637365526514090510.jpeg | Detail | 1 | 1 | 41 | 112 | | | IND 112/ koperafdruk zijkant (links)/ koperafdruk deksel (rechts) |
| WISM-20_P1_SP41_637365526527837011.jpeg | Detail | 1 | 1 | 41 | 112 | | | IND 112/ koperafdruk zijkant (links)/ koperafdruk deksel (rechts) |
| WISM-20_P1_SP42_637365369186489607.jpeg | Detail | 1 | 1 | 42 | 113 | | | Afdruk koperbeslag |
| WISM-20_P1_SP42_637365369201173323.jpeg | Detail | 1 | 1 | 42 | 113 | | | Afdruk koperbeslag |
| WISM-20_P1_SP42_637365369220075093.jpeg | Detail | 1 | 1 | 42 | 113 | | | Afdruk koperbeslag |
| WISM-20_P1_SP42_637365369235071951.jpeg | Detail | 1 | 1 | 42 | 113 | | | Afdruk koperbeslag |
| WISM-20_P1_SP42_637366298754046197.jpeg | Detail | 1 | 1 | 42 | 113 | | | Langs S34 |
| WISM-20_P1_SP42_637366298768082170.jpeg | Detail | 1 | 1 | 42 | 113 | | | Langs S34 |
| WISM-20_P1_SP42_637366298782091357.jpeg | Detail | 1 | 1 | 42 | 113 | | | Langs S34 |
| WISM-20_P1_SP42_637366298796321112.jpeg | Detail | 1 | 1 | 42 | 113 | | | Langs S34 |
| WISM-20_P1_SP42_637366298811128995.jpeg | Detail | 1 | 1 | 42 | 113 | | | Langs S34 |
| WISM-20_P1_SP42_637366298825581964.jpeg | Detail | 1 | 1 | 42 | 113 | | | Langs S34 |
| WISM-20_P1_SP42_637366298839474592.jpeg | Detail | 1 | 1 | 42 | 113 | | | Langs S34 |
| WISM-20_P1_SP42_637366298853032968.jpeg | Detail | 1 | 1 | 42 | 113 | | | Langs S34 |
| WISM-20_P1_SP42_637366298866738697.jpeg | Detail | 1 | 1 | 42 | 113 | | | Langs S34 |
| WISM-20_P1_SP42_637366298880759892.jpeg | Detail | 1 | 1 | 42 | 113 | | | Langs S34 |
| WISM-20_P1_SP42_637366298895789913.jpeg | Detail | 1 | 1 | 42 | 113 | | | Langs S34 |
| WISM-20_P1_SP42_637366298910808875.jpeg | Detail | 1 | 1 | 42 | 113 | | | Langs S34 |
| WISM-20_P1_SP42_637366298924455328.jpeg | Detail | 1 | 1 | 42 | 113 | | | Langs S34 |
| WISM-20_P1_SP43_637365461077315640.jpeg | Detail | 1 | 1 | 43 | 114 | | | |
| WISM-20_P1_SP43_637365461090437883.jpeg | Detail | 1 | 1 | 43 | 114 | | | |
| WISM-20_P1_SP43_637365461104184305.jpeg | Detail | 1 | 1 | 43 | 114 | | | |
| WISM-20_P1_SP44_637365461709495763.jpeg | Detail | 1 | 1 | 44 | 115 | | | |
| WISM-20_P1_SP44_637365461723554070.jpeg | Detail | 1 | 1 | 44 | 115 | | | |
| WISM-20_P1_SP44_637365461737300575.jpeg | Detail | 1 | 1 | 44 | 115 | | | |
| WISM-20_P1_SP47_637390428175075327.jpeg | Detail | 1 | 4 | 47 | 177 | | | IND177 |
| WISM-20_P1_SP47_637390428194867616.jpeg | Detail | 1 | 4 | 47 | 177 | | | IND177 |
| WISM-20_P1_SP47_637390428209134044.jpeg | Detail | 1 | 4 | 47 | 177 | | | IND177 |

| Bestand | Soort | Put | Vlak | Spoor | Individu | Coupe | Profielnr. | Opmerking |
|---|---|---|---|---|---|---|---|---|
| WISM-20_P1_SP47_637390428223488780.jpeg | Detail | 1 | 4 | 47 | 177 | | | IND177 |
| WISM-20_P1_SP47_637390428238356455.jpeg | Detail | 1 | 4 | 47 | 177 | | | IND177 |
| WISM-20_P1_SP47_637390428252806900.jpeg | Detail | 1 | 4 | 47 | 177 | | | IND177 |
| WISM-20_P1_SP47_637390428266833428.jpeg | Detail | 1 | 4 | 47 | 177 | | | IND177 |
| WISM-20_P1_SP48_637388039600946943.jpeg | Detail | 1 | 3 | 48 | 167 | | | IND167 |
| WISM-20_P1_SP48_637388039626300299.jpeg | Detail | 1 | 3 | 48 | 167 | | | IND167 |
| WISM-20_P1_SP48_637388039641317443.jpeg | Detail | 1 | 3 | 48 | 167 | | | IND167 |
| WISM-20_P1_SP48_637388039658188307.jpeg | Detail | 1 | 3 | 48 | 167 | | | IND167 |
| WISM-20_P1_SP48_637388039677389875.jpeg | Detail | 1 | 3 | 48 | 167 | | | IND167 |
| WISM-20_P1_SP48_637389765319773215.jpeg | Detail | 1 | 4 | 48 | 167 | | | S48 en S49 |
| WISM-20_P1_SP48_637389765336653292.jpeg | Detail | 1 | 4 | 48 | 167 | | | S48 en S49 |
| WISM-20_P1_SP48_637389765353309289.jpeg | Detail | 1 | 4 | 48 | 167 | | | S48 en S49 |
| WISM-20_P1_SP49_113_637388061793651520.jpeg | Detail | 1 | 4 | 49_113 | | | | Meerdere grafkuilen |
| WISM-20_P1_SP49_113_637388061840125777.jpeg | Detail | 1 | 4 | 49_113 | | | | Meerdere grafkuilen |
| WISM-20_P1_SP49_113_637388061853769080.jpeg | Detail | 1 | 4 | 49_113 | | | | Meerdere grafkuilen |
| WISM-20_P1_SP49_113_637388061866484268.jpeg | Detail | 1 | 4 | 49_113 | | | | Meerdere grafkuilen |
| WISM-20_P1_SP49_637388921175805533.jpeg | Detail | 1 | 4 | 120 | | | | S120 |
| WISM-20_P1_SP49_637388921193870419.jpeg | Detail | 1 | 4 | 120 | | | | S120 |
| WISM-20_P1_SP50_637365526274459391.jpeg | Detail | 1 | 1 | 50 | 118 | | | IND 118/ koperafdruk zijkant kist (links)/ koperafdruk deksel (rechts) |
| WISM-20_P1_SP50_637365526287893739.jpeg | Detail | 1 | 1 | 50 | 118 | | | IND 118/ koperafdruk zijkant kist (links)/ koperafdruk deksel (rechts) |
| WISM-20_P1_SP50_637365526300390784.jpeg | Detail | 1 | 1 | 50 | 118 | | | IND 118/ koperafdruk zijkant kist (links)/ koperafdruk deksel (rechts) |
| WISM-20_P1_SP50_637365526313044340.jpeg | Detail | 1 | 1 | 50 | 118 | | | IND 118/ koperafdruk zijkant kist (links)/ koperafdruk deksel (rechts) |
| WISM-20_P1_SP50_637365526326165972.jpeg | Detail | 1 | 1 | 50 | 118 | | | IND 118/ koperafdruk zijkant kist (links)/ koperafdruk deksel (rechts) |
| WISM-20_P1_SP50_637365526340225128.jpeg | Detail | 1 | 1 | 50 | 118 | | | IND 118/ koperafdruk zijkant kist (links)/ koperafdruk deksel (rechts) |
| WISM-20_P1_SP50_637365526353347028.jpeg | Detail | 1 | 1 | 50 | 118 | | | IND 118/ koperafdruk zijkant kist (links)/ koperafdruk deksel (rechts) |
| WISM-20_P1_SP50_637365526367093759.jpeg | Detail | 1 | 1 | 50 | 118 | | | IND 118/ koperafdruk zijkant kist (links)/ koperafdruk deksel (rechts) |
| WISM-20_P1_SP50_637365526380840577.jpeg | Detail | 1 | 1 | 50 | 118 | | | IND 118/ koperafdruk zijkant kist (links)/ koperafdruk deksel (rechts) |
| WISM-20_P1_SP50_637374960749430861.jpeg | Detail | 1 | 1 | 50 | 118 | | | IND 118/ Met deksel van kist en los bot erover |
| WISM-20_P1_SP50_637374960763614570.jpeg | Detail | 1 | 1 | 50 | 118 | | | IND 118/ Met deksel van kist en los bot erover |
| WISM-20_P1_SP50_637374960777733520.jpeg | Detail | 1 | 1 | 50 | 118 | | | IND 118/ Met deksel van kist en los bot erover |

| Bestand | Soort | Put | Vlak | Spoor | Individu | Coupe | Profielnr. | Opmerking |
|---|---|---|---|---|---|---|---|---|
| WISM-20_P1_SP50_637374960796573087.jpeg | Detail | 1 | 1 | 50 | 118 | | | IND 118/ Met deksel van kist en los bot erover |
| WISM-20_P1_SP50_637374960810997616.jpeg | Detail | 1 | 1 | 50 | 118 | | | IND 118/ Met deksel van kist en los bot erover |
| WISM-20_P1_SP50_637374960825905124.jpeg | Detail | 1 | 1 | 50 | 118 | | | IND 118/ Met deksel van kist en los bot erover |
| WISM-20_P1_SP50_637374960863469624.jpeg | Detail | 1 | 1 | 50 | 118 | | | IND 118/ Met deksel van kist en los bot erover |
| WISM-20_P1_SP50_637374960881283992.jpeg | Detail | 1 | 1 | 50 | 118 | | | IND 118/ Met deksel van kist en los bot erover |
| WISM-20_P1_SP50_637374960897695682.jpeg | Detail | 1 | 1 | 50 | 118 | | | IND 118/ Met deksel van kist en los bot erover |
| WISM-20_P1_SP50_637374960915593171.jpeg | Detail | 1 | 1 | 50 | 118 | | | IND 118/ Met deksel van kist en los bot erover |
| WISM-20_P1_SP50_637374960933102095.jpeg | Detail | 1 | 1 | 50 | 118 | | | IND 118/ Met deksel van kist en los bot erover |
| WISM-20_P1_SP50_637374966785062942.jpeg | Detail | 1 | 1 | 50 | 118 | | | IND 118/ Met deksel van kist |
| WISM-20_P1_SP50_637374966799565774.jpeg | Detail | 1 | 1 | 50 | 118 | | | IND 118/ Met deksel van kist |
| WISM-20_P1_SP50_637374966812424606.jpeg | Detail | 1 | 1 | 50 | 118 | | | IND 118/ Met deksel van kist |
| WISM-20_P1_SP50_637374966826597437.jpeg | Detail | 1 | 1 | 50 | 118 | | | IND 118/ Met deksel van kist |
| WISM-20_P1_SP50_637374966840299893.jpeg | Detail | 1 | 1 | 50 | 118 | | | IND 118/ Met deksel van kist |
| WISM-20_P1_SP50_637374966853165393.jpeg | Detail | 1 | 1 | 50 | 118 | | | IND 118/ Met deksel van kist |
| WISM-20_P1_SP50_637374966866427756.jpeg | Detail | 1 | 1 | 50 | 118 | | | IND 118/ Met deksel van kist |
| WISM-20_P1_SP50_637374966880603407.jpeg | Detail | 1 | 1 | 50 | 118 | | | IND 118/ Met deksel van kist |
| WISM-20_P1_SP53_637375016873502474.jpeg | Detail | 1 | 1 | 53 | 2 | | | Schoenzool soldaat |
| WISM-20_P1_SP53_637375016889909720.jpeg | Detail | 1 | 1 | 53 | 2 | | | Schoenzool soldaat |
| WISM-20_P1_SP53_637375016907943156.jpeg | Detail | 1 | 1 | 53 | 2 | | | Schoenzool soldaat |
| WISM-20_P1_SP53_637375016921737330.jpeg | Detail | 1 | 1 | 53 | 2 | | | Schoenzool soldaat |
| WISM-20_P1_SP54_637375767940161614.jpeg | Detail | 1 | 1 | 54 | 125 | | | Grafkuilaflijning? |
| WISM-20_P1_SP54_637375767956657781.jpeg | Detail | 1 | 1 | 54 | 125 | | | Grafkuilaflijning? |
| WISM-20_P1_SP54_637375767973383827.jpeg | Detail | 1 | 1 | 54 | 125 | | | Grafkuilaflijning? |
| WISM-20_P1_SP54_637375767987688495.jpeg | Detail | 1 | 1 | 54 | 125 | | | Grafkuilaflijning? |
| WISM-20_P1_SP54_637375768003725712.jpeg | Detail | 1 | 1 | 54 | 125 | | | Grafkuilaflijning? |
| WISM-20_P1_SP54_637375768020282549.jpeg | Detail | 1 | 1 | 54 | 125 | | | Grafkuilaflijning? |
| WISM-20_P1_SP54_637375768038003390.jpeg | Detail | 1 | 1 | 54 | 125 | | | Grafkuilaflijning? |
| WISM-20_P1_SP54_637375768053211201.jpeg | Detail | 1 | 1 | 54 | 125 | | | Grafkuilaflijning? |
| WISM-20_P1_SP54_637375768069019997.jpeg | Detail | 1 | 1 | 54 | 125 | | | Grafkuilaflijning? |
| WISM-20_P1_SP54_637375768087901046.jpeg | Detail | 1 | 1 | 54 | 125 | | | Grafkuilaflijning? |
| WISM-20_P1_SP54_637375768106096522.jpeg | Detail | 1 | 1 | 54 | 125 | | | Grafkuilaflijning? |
| WISM-20_P1_SP54_637375768122978913.jpeg | Detail | 1 | 1 | 54 | 125 | | | Grafkuilaflijning? |
| WISM-20_P1_SP54_637375768140007077.jpeg | Detail | 1 | 1 | 54 | 125 | | | Grafkuilaflijning? |
| WISM-20_P1_SP54_637375768158376387.jpeg | Detail | 1 | 1 | 54 | 125 | | | Grafkuilaflijning? |
| WISM-20_P1_SP54_637375768176417398.jpeg | Detail | 1 | 1 | 54 | 125 | | | Grafkuilaflijning? |
| WISM-20_P1_SP54_637375768192844932.jpeg | Detail | 1 | 1 | 54 | 125 | | | Grafkuilaflijning? |
| WISM-20_P1_SP54_637375768208170726.jpeg | Detail | 1 | 1 | 54 | 125 | | | Grafkuilaflijning? |

| Bestand | Soort | Put | Vlak | Spoor | Individu | Coupe | Profielnr. | Opmerking |
|---|---|---|---|---|---|---|---|---|
| WISM-20_P1_SP54_637375951631240967.jpeg | Detail | 1 | 1 | 54 | 125 | | | Los bot boven IND125 |
| WISM-20_P1_SP54_637375951646531344.jpeg | Detail | 1 | 1 | 54 | 125 | | | Los bot boven IND125 |
| WISM-20_P1_SP54_637375951660862374.jpeg | Detail | 1 | 1 | 54 | 125 | | | Los bot boven IND125 |
| WISM-20_P1_SP54_637375951674992172.jpeg | Detail | 1 | 1 | 54 | 125 | | | Los bot boven IND125 |
| WISM-20_P1_SP54_637375951688788947.jpeg | Detail | 1 | 1 | 54 | 125 | | | Los bot boven IND125 |
| WISM-20_P1_SP54_637375951703054018.jpeg | Detail | 1 | 1 | 54 | 125 | | | Los bot boven IND125 |
| WISM-20_P1_SP54_637375951717292329.jpeg | Detail | 1 | 1 | 54 | 125 | | | Los bot boven IND125 |
| WISM-20_P1_SP54_637375951731152126.jpeg | Detail | 1 | 1 | 54 | 125 | | | Los bot boven IND125 |
| WISM-20_P1_SP54_637375951745973517.jpeg | Detail | 1 | 1 | 54 | 125 | | | Los bot boven IND125 |
| WISM-20_P1_SP54_637375951760992323.jpeg | Detail | 1 | 1 | 54 | 125 | | | Los bot boven IND125 |
| WISM-20_P1_SP54_637375951778714311.jpeg | Detail | 1 | 1 | 54 | 125 | | | Los bot boven IND125 |
| WISM-20_P1_SP54_637375951794076213.jpeg | Detail | 1 | 1 | 54 | 125 | | | Los bot boven IND125 |
| WISM-20_P1_SP54_637375951811858758.jpeg | Detail | 1 | 1 | 54 | 125 | | | Los bot boven IND125 |
| WISM-20_P1_SP55_637375834815995866.jpeg | Detail | 1 | 1 | 55 | 122 | | | IND122 |
| WISM-20_P1_SP57_637375834587478816.jpeg | Detail | 1 | 1 | 57 | 123 | | | Knekelputje boven half skelet |
| WISM-20_P1_SP57_637375834601493252.jpeg | Detail | 1 | 1 | 57 | 123 | | | Knekelputje boven half skelet |
| WISM-20_P1_SP57_637375834616217348.jpeg | Detail | 1 | 1 | 57 | 123 | | | Knekelputje boven half skelet |
| WISM-20_P1_SP57_637375834631591971.jpeg | Detail | 1 | 1 | 57 | 123 | | | Knekelputje boven half skelet |
| WISM-20_P1_SP57_637375834647618597.jpeg | Detail | 1 | 1 | 57 | 123 | | | Knekelputje boven half skelet |
| WISM-20_P1_SP57_637375834663636399.jpeg | Detail | 1 | 1 | 57 | 123 | | | Knekelputje boven half skelet |
| WISM-20_P1_SP57_637375834679228686.jpeg | Detail | 1 | 1 | 57 | 123 | | | Knekelputje boven half skelet |
| WISM-20_P1_SP57_637375834693867709.jpeg | Detail | 1 | 1 | 57 | 123 | | | Knekelputje boven half skelet |
| WISM-20_P1_SP57_637375834708514174.jpeg | Detail | 1 | 1 | 57 | 123 | | | Knekelputje boven half skelet |
| WISM-20_P1_SP57_637375834722765984.jpeg | Detail | 1 | 1 | 57 | 123 | | | Knekelputje boven half skelet |
| WISM-20_P1_SP57_637375834737006696.jpeg | Detail | 1 | 1 | 57 | 123 | | | Knekelputje boven half skelet |
| WISM-20_P1_SP57_637375834752405975.jpeg | Detail | 1 | 1 | 57 | 123 | | | Knekelputje boven half skelet |
| WISM-20_P1_SP57_637375834767895534.jpeg | Detail | 1 | 1 | 57 | 123 | | | Knekelputje boven half skelet |
| WISM-20_P1_SP57_637375834782791282.jpeg | Detail | 1 | 1 | 57 | 123 | | | Knekelputje boven half skelet |
| WISM-20_P1_SP57_637375834797821094.jpeg | Detail | 1 | 1 | 57 | 123 | | | Knekelputje boven half skelet |
| WISM-20_P1_SP57_637375834831547835.jpeg | Detail | 1 | 1 | 57 | 123 | | | Knekelputje boven half skelet |
| WISM-20_P1_SP57_637375834845569766.jpeg | Detail | 1 | 1 | 57 | 123 | | | Knekelputje boven half skelet |
| WISM-20_P1_SP57_637375834860217688.jpeg | Detail | 1 | 1 | 57 | 123 | | | Knekelputje boven half skelet |
| WISM-20_P1_SP57_637375834874935293.jpeg | Detail | 1 | 1 | 57 | 123 | | | Knekelputje boven half skelet |
| WISM-20_P1_SP57_637375834889611508.jpeg | Detail | 1 | 1 | 57 | 123 | | | Knekelputje boven half skelet |
| WISM-20_P1_SP57_637375834904702247.jpeg | Detail | 1 | 1 | 57 | 123 | | | Knekelputje boven half skelet |
| WISM-20_P1_SP57_637375834920289164.jpeg | Detail | 1 | 1 | 57 | 123 | | | Knekelputje boven half skelet |
| WISM-20_P1_SP57_637375834935787849.jpeg | Detail | 1 | 1 | 57 | 123 | | | Knekelputje boven half skelet |

| Bestand | Soort | Put | Vlak | Spoor | Individu | Coupe | Profielnr. | Opmerking |
|---|---|---|---|---|---|---|---|---|
| WISM-20_P1_SP57_637375834950604414.jpeg | Detail | 1 | 1 | 57 | 123 | | | Knekelputje boven half skelet |
| WISM-20_P1_SP62_637376656881791911.jpeg | Detail | 1 | 1 | 62 | 135 | | | |
| WISM-20_P1_SP62_637376656899415309.jpeg | Detail | 1 | 1 | 62 | 135 | | | |
| WISM-20_P1_SP62_637376656959403034.jpeg | Detail | 1 | 1 | 62 | 135 | | | |
| WISM-20_P1_SP62_637376656975509402.jpeg | Detail | 1 | 1 | 62 | 135 | | | |
| WISM-20_P1_SP62_637376656990752679.jpeg | Detail | 1 | 1 | 62 | 135 | | | |
| WISM-20_P1_SP64_637377464801422807.jpeg | Detail | 1 | 1 | 64 | 131 | | | IND131 |
| WISM-20_P1_SP64_637377464815620007.jpeg | Detail | 1 | 1 | 64 | 131 | | | IND131 |
| WISM-20_P1_SP65_637380935468951998.jpeg | Detail | 1 | 1 | 65 | 144 | | | Grafkuil oversnijdt S74 en S75 |
| WISM-20_P1_SP65_637380935482124492.jpeg | Detail | 1 | 1 | 65 | 144 | | | Grafkuil oversnijdt S74 en S75 |
| WISM-20_P1_SP65_637380935496386474.jpeg | Detail | 1 | 1 | 65 | 144 | | | Grafkuil oversnijdt S74 en S75 |
| WISM-20_P1_SP65_637380935509731636.jpeg | Detail | 1 | 1 | 65 | 144 | | | Grafkuil oversnijdt S74 en S75 |
| WISM-20_P1_SP65_637380935523742054.jpeg | Detail | 1 | 1 | 65 | 144 | | | Grafkuil oversnijdt S74 en S75 |
| WISM-20_P1_SP65_637380935542903095.jpeg | Detail | 1 | 1 | 65 | 144 | | | Grafkuil oversnijdt S74 en S75 |
| WISM-20_P1_SP65_637380935556416250.jpeg | Detail | 1 | 1 | 65 | 144 | | | Grafkuil oversnijdt S74 en S75 |
| WISM-20_P1_SP65_637380935570436617.jpeg | Detail | 1 | 1 | 65 | 144 | | | Grafkuil oversnijdt S74 en S75 |
| WISM-20_P1_SP65_637380935585759021.jpeg | Detail | 1 | 1 | 65 | 144 | | | Grafkuil oversnijdt S74 en S75 |
| WISM-20_P1_SP65_637380935599245715.jpeg | Detail | 1 | 1 | 65 | 144 | | | Grafkuil oversnijdt S74 en S75 |
| WISM-20_P1_SP66_637377625462571998.jpeg | Detail | 1 | 1 | 66 | 134 | | | IND134. Kist en kuil |
| WISM-20_P1_SP66_637377625477200743.jpeg | Detail | 1 | 1 | 66 | 134 | | | IND134. Kist en kuil |
| WISM-20_P1_SP66_637377625492735785.jpeg | Detail | 1 | 1 | 66 | 134 | | | IND134. Kist en kuil |
| WISM-20_P1_SP66_637377625509569649.jpeg | Detail | 1 | 1 | 66 | 134 | | | IND134. Kist en kuil |
| WISM-20_P1_SP66_637377625525018875.jpeg | Detail | 1 | 1 | 66 | 134 | | | IND134. Kist en kuil |
| WISM-20_P1_SP66_637377625539964456.jpeg | Detail | 1 | 1 | 66 | 134 | | | IND134. Kist en kuil |
| WISM-20_P1_SP66_637377625553084549.jpeg | Detail | 1 | 1 | 66 | 134 | | | IND134. Kist en kuil |
| WISM-20_P1_SP66_637378333142267984.jpeg | Werkfoto | 1 | 1 | 66 | 134 | | | IND134 |
| WISM-20_P1_SP66_637378333171964564.jpeg | Werkfoto | 1 | 1 | 66 | 134 | | | IND134 |
| WISM-20_P1_SP66_637378333190516812.jpeg | Werkfoto | 1 | 1 | 66 | 134 | | | IND134 |
| WISM-20_P1_SP66_637378333234306779.jpeg | Werkfoto | 1 | 1 | 66 | 134 | | | IND134 |
| WISM-20_P1_SP66_637378333280622886.jpeg | Werkfoto | 1 | 1 | 66 | 134 | | | IND134 |
| WISM-20_P1_SP67_637377628942683815.jpeg | Detail | 1 | 1 | 67 | | | | Verstoord |
| WISM-20_P1_SP67_637377628966448156.jpeg | Detail | 1 | 1 | 67 | | | | Verstoord |
| WISM-20_P1_SP67_637377628978627667.jpeg | Detail | 1 | 1 | 67 | | | | Verstoord |
| WISM-20_P1_SP67_637377628992759399.jpeg | Detail | 1 | 1 | 67 | | | | Verstoord |
| WISM-20_P1_SP67_637377629005785584.jpeg | Detail | 1 | 1 | 67 | | | | Verstoord |
| WISM-20_P1_SP68_637378378341400401.jpeg | Detail | 1 | 2 | 68 | 136 | | | IND136/ NW van IND122 |
| WISM-20_P1_SP68_637378378355116766.jpeg | Detail | 1 | 2 | 68 | 136 | | | IND136/ NW van IND122 |

| Bestand | Soort | Put | Vlak | Spoor | Individu | Coupe | Profielnr. | Opmerking |
|---|---|---|---|---|---|---|---|---|
| WISM-20_P1_SP68_637378378367763901.jpeg | Detail | 1 | 2 | 68 | 136 | | | IND136/ NW van IND122 |
| WISM-20_P1_SP68_637378378379783968.jpeg | Detail | 1 | 2 | 68 | 136 | | | IND136/ NW van IND122 |
| WISM-20_P1_SP68_637378378393579547.jpeg | Detail | 1 | 2 | 68 | 136 | | | IND136/ NW van IND122 |
| WISM-20_P1_SP68_637378378400996038.jpeg | Detail | 1 | 2 | 68 | 136 | | | IND136/ NW van IND122 |
| WISM-20_P1_SP68_637378378406999284.jpeg | Detail | 1 | 2 | 68 | 136 | | | IND136/ NW van IND122 |
| WISM-20_P1_SP68_637378378416446641.jpeg | Detail | 1 | 2 | 68 | 136 | | | IND136/ NW van IND122 |
| WISM-20_P1_SP68_637378378426083797.jpeg | Detail | 1 | 2 | 68 | 136 | | | IND136/ NW van IND122 |
| WISM-20_P1_SP68_637378378435099568.jpeg | Detail | 1 | 2 | 68 | 136 | | | IND136/ NW van IND122 |
| WISM-20_P1_SP68_637378378446427128.jpeg | Detail | 1 | 2 | 68 | 136 | | | IND136/ NW van IND122 |
| WISM-20_P1_SP68_637378378454978458.jpeg | Detail | 1 | 2 | 68 | 136 | | | IND136/ NW van IND122 |
| WISM-20_P1_SP68_637378378464722915.jpeg | Detail | 1 | 2 | 68 | 136 | | | IND136/ NW van IND122 |
| WISM-20_P1_SP68_637378378475091665.jpeg | Detail | 1 | 2 | 68 | 136 | | | IND136/ NW van IND122 |
| WISM-20_P1_SP68_637378378486220565.jpeg | Detail | 1 | 2 | 68 | 136 | | | IND136/ NW van IND122 |
| WISM-20_P1_SP68_637378378495079518.jpeg | Detail | 1 | 2 | 68 | 136 | | | IND136/ NW van IND122 |
| WISM-20_P1_SP68_637378378504970038.jpeg | Detail | 1 | 2 | 68 | 136 | | | IND136/ NW van IND122 |
| WISM-20_P1_SP68_637378378515015397.jpeg | Detail | 1 | 2 | 68 | 136 | | | IND136/ NW van IND122 |
| WISM-20_P1_SP68_637378378524406940.jpeg | Detail | 1 | 2 | 68 | 136 | | | IND136/ NW van IND122 |
| WISM-20_P1_SP68_637378378533892342.jpeg | Detail | 1 | 2 | 68 | 136 | | | IND136/ NW van IND122 |
| WISM-20_P1_SP68_637378378544370307.jpeg | Detail | 1 | 2 | 68 | 136 | | | IND136/ NW van IND122 |
| WISM-20_P1_SP68_637378378553653605.jpeg | Detail | 1 | 2 | 68 | 136 | | | IND136/ NW van IND122 |
| WISM-20_P1_SP68_637378378562840526.jpeg | Detail | 1 | 2 | 68 | 136 | | | IND136/ NW van IND122 |
| WISM-20_P1_SP68_637378378572475107.jpeg | Detail | 1 | 2 | 68 | 136 | | | IND136/ NW van IND122 |
| WISM-20_P1_SP68_637378378581483695.jpeg | Detail | 1 | 2 | 68 | 136 | | | IND136/ NW van IND122 |
| WISM-20_P1_SP68_637378378590726732.jpeg | Detail | 1 | 2 | 68 | 136 | | | IND136/ NW van IND122 |
| WISM-20_P1_SP68_637378378599950161.jpeg | Detail | 1 | 2 | 68 | 136 | | | IND136/ NW van IND122 |
| WISM-20_P1_SP68_637378378608905858.jpeg | Detail | 1 | 2 | 68 | 136 | | | IND136/ NW van IND122 |
| WISM-20_P1_SP68_637378378663776115.jpeg | Detail | 1 | 2 | 68 | 136 | | | IND136/ NW van IND122 |
| WISM-20_P1_SP68_637378378672949126.jpeg | Detail | 1 | 2 | 68 | 136 | | | IND136/ NW van IND122 |
| WISM-20_P1_SP68_637378378681809586.jpeg | Detail | 1 | 2 | 68 | 136 | | | IND136/ NW van IND122 |
| WISM-20_P1_SP68_637378378691289241.jpeg | Detail | 1 | 2 | 68 | 136 | | | IND136/ NW van IND122 |
| WISM-20_P1_SP68_637378378701686502.jpeg | Detail | 1 | 2 | 68 | 136 | | | IND136/ NW van IND122 |
| WISM-20_P1_SP68_637378378710993818.jpeg | Detail | 1 | 2 | 68 | 136 | | | IND136/ NW van IND122 |
| WISM-20_P1_SP68_637378378720483940.jpeg | Detail | 1 | 2 | 68 | 136 | | | IND136/ NW van IND122 |
| WISM-20_P1_SP68_637378378729345344.jpeg | Detail | 1 | 2 | 68 | 136 | | | IND136/ NW van IND122 |
| WISM-20_P1_SP68_637378378739211197.jpeg | Detail | 1 | 2 | 68 | 136 | | | IND136/ NW van IND122 |
| WISM-20_P1_SP68_637378378748716792.jpeg | Detail | 1 | 2 | 68 | 136 | | | IND136/ NW van IND122 |
| WISM-20_P1_SP68_637378378758728059.jpeg | Detail | 1 | 2 | 68 | 136 | | | IND136/ NW van IND122 |

| Bestand | Soort | Put | Vlak | Spoor | Individu | Coupe | Profielnr. | Opmerking |
|---|---|---|---|---|---|---|---|---|
| WISM-20_P1_SP68_637378378768341325.jpeg | Detail | 1 | 2 | 68 | 136 | | | IND136/ NW van IND122 |
| WISM-20_P1_SP68_637378378783332609.jpeg | Detail | 1 | 2 | 68 | 136 | | | IND136/ NW van IND122 |
| WISM-20_P1_SP68_637378378792514662.jpeg | Detail | 1 | 2 | 68 | 136 | | | IND136/ NW van IND122 |
| WISM-20_P1_SP68_637378378801913504.jpeg | Detail | 1 | 2 | 68 | 136 | | | IND136/ NW van IND122 |
| WISM-20_P1_SP68_637378378820582530.jpeg | Detail | 1 | 2 | 68 | 136 | | | IND136/ NW van IND122 |
| WISM-20_P1_SP68_637378378829753048.jpeg | Detail | 1 | 2 | 68 | 136 | | | IND136/ NW van IND122 |
| WISM-20_P1_SP68_637378378839462647.jpeg | Detail | 1 | 2 | 68 | 136 | | | IND136/ NW van IND122 |
| WISM-20_P1_SP68_637378378848788219.jpeg | Detail | 1 | 2 | 68 | 136 | | | IND136/ NW van IND122 |
| WISM-20_P1_SP68_637378378865112511.jpeg | Detail | 1 | 2 | 68 | 136 | | | IND136/ NW van IND122 |
| WISM-20_P1_SP68_637378378873984982.jpeg | Detail | 1 | 2 | 68 | 136 | | | IND136/ NW van IND122 |
| WISM-20_P1_SP68_637378378884005402.jpeg | Detail | 1 | 2 | 68 | 136 | | | IND136/ NW van IND122 |
| WISM-20_P1_SP68_637378378893333062.jpeg | Detail | 1 | 2 | 68 | 136 | | | IND136/ NW van IND122 |
| WISM-20_P1_SP68_637378378911749071.jpeg | Detail | 1 | 2 | 68 | 136 | | | IND136/ NW van IND122 |
| WISM-20_P1_SP68_637378378925230256.jpeg | Detail | 1 | 2 | 68 | 136 | | | IND136/ NW van IND122 |
| WISM-20_P1_SP68_637378378938992350.jpeg | Detail | 1 | 2 | 68 | 136 | | | IND136/ NW van IND122 |
| WISM-20_P1_SP68_637378378952685650.jpeg | Detail | 1 | 2 | 68 | 136 | | | IND136/ NW van IND122 |
| WISM-20_P1_SP68_637378378966184313.jpeg | Detail | 1 | 2 | 68 | 136 | | | IND136/ NW van IND122 |
| WISM-20_P1_SP69_637377683971678565.jpeg | Detail | 1 | 1 | 69 | 137 | | | IND137 |
| WISM-20_P1_SP69_637377683985971863.jpeg | Detail | 1 | 1 | 69 | 137 | | | IND137 |
| WISM-20_P1_SP69_637377684000628251.jpeg | Detail | 1 | 1 | 69 | 137 | | | IND137 |
| WISM-20_P1_SP69_637377684014959440.jpeg | Detail | 1 | 1 | 69 | 137 | | | IND137 |
| WISM-20_P1_SP69_637377684030086921.jpeg | Detail | 1 | 1 | 69 | 137 | | | IND137 |
| WISM-20_P1_SP69_637377684043170437.jpeg | Detail | 1 | 1 | 69 | 137 | | | IND137 |
| WISM-20_P1_SP69_637377684056395928.jpeg | Detail | 1 | 1 | 69 | 137 | | | IND137 |
| WISM-20_P1_SP69_637377684070179624.jpeg | Detail | 1 | 1 | 69 | 137 | | | IND137 |
| WISM-20_P1_SP69_637377684085197339.jpeg | Detail | 1 | 1 | 69 | 137 | | | IND137 |
| WISM-20_P1_SP69_637377684099263442.jpeg | Detail | 1 | 1 | 69 | 137 | | | IND137 |
| WISM-20_P1_SP69_637377684113521754.jpeg | Detail | 1 | 1 | 69 | 137 | | | IND137 |
| WISM-20_P1_SP69_637377684128189379.jpeg | Detail | 1 | 1 | 69 | 137 | | | IND137 |
| WISM-20_P1_SP69_637377684141785545.jpeg | Detail | 1 | 1 | 69 | 137 | | | IND137 |
| WISM-20_P1_SP69_637377684155425707.jpeg | Detail | 1 | 1 | 69 | 137 | | | IND137 |
| WISM-20_P1_SP69_637377684169601566.jpeg | Detail | 1 | 1 | 69 | 137 | | | IND137 |
| WISM-20_P1_SP69_637377684183995705.jpeg | Detail | 1 | 1 | 69 | 137 | | | IND137 |
| WISM-20_P1_SP69_637377684198716992.jpeg | Detail | 1 | 1 | 69 | 137 | | | IND137 |
| WISM-20_P1_SP69_637377684212751337.jpeg | Detail | 1 | 1 | 69 | 137 | | | IND137 |
| WISM-20_P1_SP69_637382905737945165.jpeg | Detail | 1 | 1 | 69 | 137 | | | Kist |
| WISM-20_P1_SP69_637382905744663171.jpeg | Detail | 1 | 1 | 69 | 137 | | | Kist |

| Bestand | Soort | Put | Vlak | Spoor | Individu | Coupe | Profielnr. | Opmerking |
|---|---|---|---|---|---|---|---|---|
| WISM-20_P1_SP69_637382905750903013.jpeg | Detail | 1 | 1 | 69 | 137 | | | Kist |
| WISM-20_P1_SP69_637382905757046520.jpeg | Detail | 1 | 1 | 69 | 137 | | | Kist |
| WISM-20_P1_SP69_637382905763477652.jpeg | Detail | 1 | 1 | 69 | 137 | | | Kist |
| WISM-20_P1_SP69_637382905769759013.jpeg | Detail | 1 | 1 | 69 | 137 | | | Kist |
| WISM-20_P1_SP69_637382905775855110.jpeg | Detail | 1 | 1 | 69 | 137 | | | Kist |
| WISM-20_P1_SP69_637382905782398542.jpeg | Detail | 1 | 1 | 69 | 137 | | | Kist |
| WISM-20_P1_SP69_637382905788987193.jpeg | Detail | 1 | 1 | 69 | 137 | | | Kist |
| WISM-20_P1_SP69_637382905795521755.jpeg | Detail | 1 | 1 | 69 | 137 | | | Kist |
| WISM-20_P1_SP69_637382905801862396.jpeg | Detail | 1 | 1 | 69 | 137 | | | Kist |
| WISM-20_P1_SP69_637382905808793720.jpeg | Detail | 1 | 1 | 69 | 137 | | | Kist |
| WISM-20_P1_SP69_637382905823227187.jpeg | Detail | 1 | 1 | 69 | 137 | | | Kist |
| WISM-20_P1_SP69_637382905829085477.jpeg | Detail | 1 | 1 | 69 | 137 | | | Kist |
| WISM-20_P1_SP69_637382905836192697.jpeg | Detail | 1 | 1 | 69 | 137 | | | Kist |
| WISM-20_P1_SP69_637383587974847774.jpeg | Detail | 1 | 1 | 69 | 137 | | | IND137: bladgoud van versiering op buitenkant kist |
| WISM-20_P1_SP69_637383587981544679.jpeg | Detail | 1 | 1 | 69 | 137 | | | IND137: bladgoud van versiering op buitenkant kist |
| WISM-20_P1_SP69_637383587988473444.jpeg | Detail | 1 | 1 | 69 | 137 | | | IND137: bladgoud van versiering op buitenkant kist |
| WISM-20_P1_SP69_637383587994550018.jpeg | Detail | 1 | 1 | 69 | 137 | | | IND137: bladgoud van versiering op buitenkant kist |
| WISM-20_P1_SP70_637378367839569355.jpeg | Detail | 1 | 2 | 70 | 138 | | | IND 138 |
| WISM-20_P1_SP70_637378367853601469.jpeg | Detail | 1 | 2 | 70 | 138 | | | IND 138 |
| WISM-20_P1_SP70_637378367867808800.jpeg | Detail | 1 | 2 | 70 | 138 | | | IND 138 |
| WISM-20_P1_SP70_637378367883284712.jpeg | Detail | 1 | 2 | 70 | 138 | | | IND 138 |
| WISM-20_P1_SP70_637378367898618217.jpeg | Detail | 1 | 2 | 70 | 138 | | | IND 138 |
| WISM-20_P1_SP70_637378367912562826.jpeg | Detail | 1 | 2 | 70 | 138 | | | IND 138 |
| WISM-20_P1_SP70_637378367926646548.jpeg | Detail | 1 | 2 | 70 | 138 | | | IND 138 |
| WISM-20_P1_SP70_637378367939873172.jpeg | Detail | 1 | 2 | 70 | 138 | | | IND 138 |
| WISM-20_P1_SP70_637378367956921023.jpeg | Detail | 1 | 2 | 70 | 138 | | | IND 138 |
| WISM-20_P1_SP70_637378367971379015.jpeg | Detail | 1 | 2 | 70 | 138 | | | IND 138 |
| WISM-20_P1_SP70_637378367984432151.jpeg | Detail | 1 | 2 | 70 | 138 | | | IND 138 |
| WISM-20_P1_SP70_637378367997532365.jpeg | Detail | 1 | 2 | 70 | 138 | | | IND 138 |
| WISM-20_P1_SP70_637378368011191806.jpeg | Detail | 1 | 2 | 70 | 138 | | | IND 138 |
| WISM-20_P1_SP70_637378368024805103.jpeg | Detail | 1 | 2 | 70 | 138 | | | IND 138 |
| WISM-20_P1_SP70_637378368039782307.jpeg | Detail | 1 | 2 | 70 | 138 | | | IND 138 |
| WISM-20_P1_SP70_637378368053518008.jpeg | Detail | 1 | 2 | 70 | 138 | | | IND 138 |
| WISM-20_P1_SP70_637378368066227724.jpeg | Detail | 1 | 2 | 70 | 138 | | | IND 138 |
| WISM-20_P1_SP70_637378368080108261.jpeg | Detail | 1 | 2 | 70 | 138 | | | IND 138 |
| WISM-20_P1_SP70_637378368094590528.jpeg | Detail | 1 | 2 | 70 | 138 | | | IND 138 |
| WISM-20_P1_SP70_637378368143738101.jpeg | Detail | 1 | 2 | 70 | 138 | | | IND 138 |

| Bestand | Soort | Put | Vlak | Spoor | Individu | Coupe | Profielnr. | Opmerking |
|---|---|---|---|---|---|---|---|---|
| WISM-20_P1_SP70_637378368160383050.jpeg | Detail | 1 | 2 | 70 | 138 | | | IND 138 |
| WISM-20_P1_SP70_637378368175411842.jpeg | Detail | 1 | 2 | 70 | 138 | | | IND 138 |
| WISM-20_P1_SP70_637381172659952169.jpeg | Detail | 1 | 1 | 70 | 138 | | | IND138: detail kistversiering |
| WISM-20_P1_SP70_637381172694883803.jpeg | Detail | 1 | 1 | 70 | 138 | | | IND138: detail kistversiering |
| WISM-20_P1_SP70_637381172727623366.jpeg | Detail | 1 | 1 | 70 | 138 | | | IND138: detail kistversiering |
| WISM-20_P1_SP70_637381172835714534.jpeg | Detail | 1 | 1 | 70 | 138 | | | IND138: detail kistversiering |
| WISM-20_P1_SP70_637381172903102575.jpeg | Detail | 1 | 1 | 70 | 138 | | | IND138: detail kistversiering |
| WISM-20_P1_SP70_637381172918911824.jpeg | Detail | 1 | 1 | 70 | 138 | | | IND138: detail kistversiering |
| WISM-20_P1_SP70_637381172938895584.jpeg | Detail | 1 | 1 | 70 | 138 | | | IND138: detail kistversiering |
| WISM-20_P1_SP70_637381172954108402.jpeg | Detail | 1 | 1 | 70 | 138 | | | IND138: detail kistversiering |
| WISM-20_P1_SP70_637381172967679606.jpeg | Detail | 1 | 1 | 70 | 138 | | | IND138: detail kistversiering |
| WISM-20_P1_SP70_637381172981167675.jpeg | Detail | 1 | 1 | 70 | 138 | | | IND138: detail kistversiering |
| WISM-20_P1_SP70_637381172994899857.jpeg | Detail | 1 | 1 | 70 | 138 | | | IND138: detail kistversiering |
| WISM-20_P1_SP70_637381173008457348.jpeg | Detail | 1 | 1 | 70 | 138 | | | IND138: detail kistversiering |
| WISM-20_P1_SP70_637381173020792235.jpeg | Detail | 1 | 1 | 70 | 138 | | | IND138: detail kistversiering |
| WISM-20_P1_SP70_637381173037950332.jpeg | Detail | 1 | 1 | 70 | 138 | | | IND138: detail kistversiering |
| WISM-20_P1_SP71_637378364996426471.jpeg | Detail | 1 | 2 | 71 | 139 | | | IND 139: Onder S33 (IND 107) |
| WISM-20_P1_SP71_637378365016723873.jpeg | Detail | 1 | 2 | 71 | 139 | | | IND 139: Onder S33 (IND 107) |
| WISM-20_P1_SP71_637378365040729794.jpeg | Detail | 1 | 2 | 71 | 139 | | | IND 139: Onder S33 (IND 107) |
| WISM-20_P1_SP71_637378365057765502.jpeg | Detail | 1 | 2 | 71 | 139 | | | IND 139: Onder S33 (IND 107) |
| WISM-20_P1_SP71_637378365075015926.jpeg | Detail | 1 | 2 | 71 | 139 | | | IND 139: Onder S33 (IND 107) |
| WISM-20_P1_SP71_637378365091812678.jpeg | Detail | 1 | 2 | 71 | 139 | | | IND 139: Onder S33 (IND 107) |
| WISM-20_P1_SP71_637378365107673244.jpeg | Detail | 1 | 2 | 71 | 139 | | | IND 139: Onder S33 (IND 107) |
| WISM-20_P1_SP71_637378365121115135.jpeg | Detail | 1 | 2 | 71 | 139 | | | IND 139: Onder S33 (IND 107) |
| WISM-20_P1_SP71_637378365136475409.jpeg | Detail | 1 | 2 | 71 | 139 | | | IND 139: Onder S33 (IND 107) |
| WISM-20_P1_SP71_637378365158658591.jpeg | Detail | 1 | 2 | 71 | 139 | | | IND 139: Onder S33 (IND 107) |
| WISM-20_P1_SP71_637381852926352046.jpeg | Detail | 1 | 2 | 71 | 139 | | | IND138: Gele verf op kistdeksel en plaatselijk koperbeslag |
| WISM-20_P1_SP71_637381852940864874.jpeg | Detail | 1 | 2 | 71 | 139 | | | IND138: Gele verf op kistdeksel en plaatselijk koperbeslag |
| WISM-20_P1_SP71_637381852968396996.jpeg | Detail | 1 | 2 | 71 | 139 | | | IND138: Gele verf op kistdeksel en plaatselijk koperbeslag |
| WISM-20_P1_SP71_637381852980789037.jpeg | Detail | 1 | 2 | 71 | 139 | | | IND138: Gele verf op kistdeksel en plaatselijk koperbeslag |
| WISM-20_P1_SP71_637381852994433900.jpeg | Detail | 1 | 2 | 71 | 139 | | | IND138: Gele verf op kistdeksel en plaatselijk koperbeslag |
| WISM-20_P1_SP71_637381853007526361.jpeg | Detail | 1 | 2 | 71 | 139 | | | IND138: Gele verf op kistdeksel en plaatselijk koperbeslag |
| WISM-20_P1_SP71_637381853021331288.jpeg | Detail | 1 | 2 | 71 | 139 | | | IND138: Gele verf op kistdeksel en plaatselijk koperbeslag |
| WISM-20_P1_SP71_637381853035070445.jpeg | Detail | 1 | 2 | 71 | 139 | | | IND138: Gele verf op kistdeksel en plaatselijk koperbeslag |
| WISM-20_P1_SP71_637381853048109894.jpeg | Detail | 1 | 2 | 71 | 139 | | | IND138: Gele verf op kistdeksel en plaatselijk koperbeslag |
| WISM-20_P1_SP71_637381853061147422.jpeg | Detail | 1 | 2 | 71 | 139 | | | IND138: Gele verf op kistdeksel en plaatselijk koperbeslag |
| WISM-20_P1_SP71_637381853084092917.jpeg | Detail | 1 | 2 | 71 | 139 | | | IND138: Gele verf op kistdeksel en plaatselijk koperbeslag |

| Bestand | Soort | Put | Vlak | Spoor | Individu | Coupe | Profielnr. | Opmerking |
|---|---|---|---|---|---|---|---|---|
| WISM-20_P1_SP71_637381853096815742.jpeg | Detail | 1 | 2 | 71 | 139 | | | IND138: Gele verf op kistdeksel en plaatselijk koperbeslag |
| WISM-20_P1_SP71_637381853109918168.jpeg | Detail | 1 | 2 | 71 | 139 | | | IND138: Gele verf op kistdeksel en plaatselijk koperbeslag |
| WISM-20_P1_SP71_637381853123952212.jpeg | Detail | 1 | 2 | 71 | 139 | | | IND138: Gele verf op kistdeksel en plaatselijk koperbeslag |
| WISM-20_P1_SP71_637381853137964744.jpeg | Detail | 1 | 2 | 71 | 139 | | | IND138: Gele verf op kistdeksel en plaatselijk koperbeslag |
| WISM-20_P1_SP71_637381853151802212.jpeg | Detail | 1 | 2 | 71 | 139 | | | IND138: Gele verf op kistdeksel en plaatselijk koperbeslag |
| WISM-20_P1_SP71_637381853166130844.jpeg | Detail | 1 | 2 | 71 | 139 | | | IND138: Gele verf op kistdeksel en plaatselijk koperbeslag |
| WISM-20_P1_SP71_637381853182043459.jpeg | Detail | 1 | 2 | 71 | 139 | | | IND138: Gele verf op kistdeksel en plaatselijk koperbeslag |
| WISM-20_P1_SP72_637378406148269131.jpeg | Detail | 1 | 1 | 72 | 142 | | | IND142: N-richting begrensd door granaattrechter |
| WISM-20_P1_SP72_637378406931332036.jpeg | Detail | 1 | 1 | 72 | 142 | | | IND142: N-richting begrensd door granaattrechter |
| WISM-20_P1_SP72_637378406965238000.jpeg | Detail | 1 | 1 | 72 | 142 | | | IND142: N-richting begrensd door granaattrechter |
| WISM-20_P1_SP72_637378406979570457.jpeg | Detail | 1 | 1 | 72 | 142 | | | IND142: N-richting begrensd door granaattrechter |
| WISM-20_P1_SP72_637378406993425754.jpeg | Detail | 1 | 1 | 72 | 142 | | | IND142: N-richting begrensd door granaattrechter |
| WISM-20_P1_SP72_637378407008602373.jpeg | Detail | 1 | 1 | 72 | 142 | | | IND142: N-richting begrensd door granaattrechter |
| WISM-20_P1_SP72_637378407023605864.jpeg | Detail | 1 | 1 | 72 | 142 | | | IND142: N-richting begrensd door granaattrechter |
| WISM-20_P1_SP72_637378407037999901.jpeg | Detail | 1 | 1 | 72 | 142 | | | IND142: N-richting begrensd door granaattrechter |
| WISM-20_P1_SP72_637378407052644788.jpeg | Detail | 1 | 1 | 72 | 142 | | | IND142: N-richting begrensd door granaattrechter |
| WISM-20_P1_SP72_637378407066061395.jpeg | Detail | 1 | 1 | 72 | 142 | | | IND142: N-richting begrensd door granaattrechter |
| WISM-20_P1_SP72_637378556054409561.jpeg | Detail | 1 | 1 | 72 | 142 | | | |
| WISM-20_P1_SP72_637378556068779976.jpeg | Detail | 1 | 1 | 72 | 142 | | | |
| WISM-20_P1_SP72_637378556082636470.jpeg | Detail | 1 | 1 | 72 | 142 | | | |
| WISM-20_P1_SP73_637380930876445898.jpeg | Detail | 1 | 1 | 73 | 145 | | | Grafkuil |
| WISM-20_P1_SP73_637380930891464794.jpeg | Detail | 1 | 1 | 73 | 145 | | | Grafkuil |
| WISM-20_P1_SP73_637380930906195210.jpeg | Detail | 1 | 1 | 73 | 145 | | | Grafkuil |
| WISM-20_P1_SP73_637380930920678345.jpeg | Detail | 1 | 1 | 73 | 145 | | | Grafkuil |
| WISM-20_P1_SP73_637380930934377070.jpeg | Detail | 1 | 1 | 73 | 145 | | | Grafkuil |
| WISM-20_P1_SP73_637380930948932277.jpeg | Detail | 1 | 1 | 73 | 145 | | | Grafkuil |
| WISM-20_P1_SP73_637380930962101422.jpeg | Detail | 1 | 1 | 73 | 145 | | | Grafkuil |
| WISM-20_P1_SP73_637380936453052881.jpeg | Detail | 1 | 1 | 73 | 145 | | | Andere aflijning |
| WISM-20_P1_SP73_637380936466913743.jpeg | Detail | 1 | 1 | 73 | 145 | | | Andere aflijning |
| WISM-20_P1_SP73_637380936481628996.jpeg | Detail | 1 | 1 | 73 | 145 | | | Andere aflijning |
| WISM-20_P1_SP73_637381883119673934.jpeg | Detail | 1 | 1 | 73 | 145 | | | IND 145: met stukje kist |
| WISM-20_P1_SP73_637381883145583317.jpeg | Detail | 1 | 1 | 73 | 145 | | | IND 145: met stukje kist |
| WISM-20_P1_SP73_637381883163538345.jpeg | Detail | 1 | 1 | 73 | 145 | | | IND 145: met stukje kist |
| WISM-20_P1_SP73_637381883177262980.jpeg | Detail | 1 | 1 | 73 | 145 | | | IND 145: met stukje kist |
| WISM-20_P1_SP73_637381883192132916.jpeg | Detail | 1 | 1 | 73 | 145 | | | IND 145: met stukje kist |
| WISM-20_P1_SP73_637381883206999390.jpeg | Detail | 1 | 1 | 73 | 145 | | | IND 145: met stukje kist |
| WISM-20_P1_SP73_637381883222271990.jpeg | Detail | 1 | 1 | 73 | 145 | | | IND 145: met stukje kist |

| Bestand | Soort | Put | Vlak | Spoor | Individu | Coupe | Profielnr. | Opmerking |
|---|---|---|---|---|---|---|---|---|
| WISM-20_P1_SP73_637381883237890387.jpeg | Detail | 1 | 1 | 73 | 145 | | | IND 145: met stukje kist |
| WISM-20_P1_SP73_637381883251384150.jpeg | Detail | 1 | 1 | 73 | 145 | | | IND 145: met stukje kist |
| WISM-20_P1_SP73_637381883270954466.jpeg | Detail | 1 | 1 | 73 | 145 | | | IND 145: met stukje kist |
| WISM-20_P1_SP73_637381883302392647.jpeg | Detail | 1 | 1 | 73 | 145 | | | IND 145: met stukje kist |
| WISM-20_P1_SP73_637381883317444094.jpeg | Detail | 1 | 1 | 73 | 145 | | | IND 145: met stukje kist |
| WISM-20_P1_SP73_637381883332638939.jpeg | Detail | 1 | 1 | 73 | 145 | | | IND 145: met stukje kist |
| WISM-20_P1_SP73_637381883356176154.jpeg | Detail | 1 | 1 | 73 | 145 | | | IND 145: met stukje kist |
| WISM-20_P1_SP75_637382721952241400.jpeg | Detail | 1 | 1 | 75 | 147 | | | IND147 met kistdeksel |
| WISM-20_P1_SP75_637382721959409101.jpeg | Detail | 1 | 1 | 75 | 147 | | | IND147 met kistdeksel |
| WISM-20_P1_SP75_637382721966104562.jpeg | Detail | 1 | 1 | 75 | 147 | | | IND147 met kistdeksel |
| WISM-20_P1_SP75_637382721973428030.jpeg | Detail | 1 | 1 | 75 | 147 | | | IND147 met kistdeksel |
| WISM-20_P1_SP75_637382721979606900.jpeg | Detail | 1 | 1 | 75 | 147 | | | IND147 met kistdeksel |
| WISM-20_P1_SP75_637382721986155094.jpeg | Detail | 1 | 1 | 75 | 147 | | | IND147 met kistdeksel |
| WISM-20_P1_SP75_637382721992170974.jpeg | Detail | 1 | 1 | 75 | 147 | | | IND147 met kistdeksel |
| WISM-20_P1_SP75_637382721998676614.jpeg | Detail | 1 | 1 | 75 | 147 | | | IND147 met kistdeksel |
| WISM-20_P1_SP75_637382722004866827.jpeg | Detail | 1 | 1 | 75 | 147 | | | IND147 met kistdeksel |
| WISM-20_P1_SP75_637382722011187037.jpeg | Detail | 1 | 1 | 75 | 147 | | | IND147 met kistdeksel |
| WISM-20_P1_SP75_637382722017266079.jpeg | Detail | 1 | 1 | 75 | 147 | | | IND147 met kistdeksel |
| WISM-20_P1_SP75_637382722023582566.jpeg | Detail | 1 | 1 | 75 | 147 | | | IND147 met kistdeksel |
| WISM-20_P1_SP75_637382722029588482.jpeg | Detail | 1 | 1 | 75 | 147 | | | IND147 met kistdeksel |
| WISM-20_P1_SP75_637382722036224425.jpeg | Detail | 1 | 1 | 75 | 147 | | | IND147 met kistdeksel |
| WISM-20_P1_SP75_637382722042228846.jpeg | Detail | 1 | 1 | 75 | 147 | | | IND147 met kistdeksel |
| WISM-20_P1_SP75_637382722048933984.jpeg | Detail | 1 | 1 | 75 | 147 | | | IND147 met kistdeksel |
| WISM-20_P1_SP75_637382722055111801.jpeg | Detail | 1 | 1 | 75 | 147 | | | IND147 met kistdeksel |
| WISM-20_P1_SP75_637382722061659432.jpeg | Detail | 1 | 1 | 75 | 147 | | | IND147 met kistdeksel |
| WISM-20_P1_SP75_637382722068354500.jpeg | Detail | 1 | 1 | 75 | 147 | | | IND147 met kistdeksel |
| WISM-20_P1_SP75_637383504136711465.jpeg | Detail | 1 | 1 | 75 | 147 | | | Stof over handen en middenrif; paternoster in handen; IND 147 |
| WISM-20_P1_SP75_637383504143570975.jpeg | Detail | 1 | 1 | 75 | 147 | | | Stof over handen en middenrif; paternoster in handen; IND 147 |
| WISM-20_P1_SP75_637383504149794673.jpeg | Detail | 1 | 1 | 75 | 147 | | | Stof over handen en middenrif; paternoster in handen; IND 147 |
| WISM-20_P1_SP75_637383504155707993.jpeg | Detail | 1 | 1 | 75 | 147 | | | Stof over handen en middenrif; paternoster in handen; IND 147 |
| WISM-20_P1_SP77_637387063016882944.jpeg | Detail | 1 | 1 | 77 | 159 | | | IND159 met kistdeksel |
| WISM-20_P1_SP77_637387063030529158.jpeg | Detail | 1 | 1 | 77 | 159 | | | IND159 met kistdeksel |
| WISM-20_P1_SP77_637387063043771402.jpeg | Detail | 1 | 1 | 77 | 159 | | | IND159 met kistdeksel |
| WISM-20_P1_SP77_637387063058216410.jpeg | Detail | 1 | 1 | 77 | 159 | | | IND159 met kistdeksel |

| Bestand | Soort | Put | Vlak | Spoor | Individu | Coupe | Profielnr. | Opmerking |
|---|---|---|---|---|---|---|---|---|
| WISM-20_P1_SP77_637387063868760926.jpeg | Detail | 1 | 1 | 77 | 159 | | | IND159 met kistdeksel |
| WISM-20_P1_SP77_637387063883129999.jpeg | Detail | 1 | 1 | 77 | 159 | | | IND159 met kistdeksel |
| WISM-20_P1_SP77_637387063898160709.jpeg | Detail | 1 | 1 | 77 | 159 | | | IND159 met kistdeksel |
| WISM-20_P1_SP77_637387063914356595.jpeg | Detail | 1 | 1 | 77 | 159 | | | IND159 met kistdeksel |
| WISM-20_P1_SP77_637387063930241064.jpeg | Detail | 1 | 1 | 77 | 159 | | | IND159 met kistdeksel |
| WISM-20_P1_SP77_637387063945271914.jpeg | Detail | 1 | 1 | 77 | 159 | | | IND159 met kistdeksel |
| WISM-20_P1_SP77_637387063958954070.jpeg | Detail | 1 | 1 | 77 | 159 | | | IND159 met kistdeksel |
| WISM-20_P1_SP77_637387063972981648.jpeg | Detail | 1 | 1 | 77 | 159 | | | IND159 met kistdeksel |
| WISM-20_P1_SP77_637387064002146432.jpeg | Detail | 1 | 1 | 77 | 159 | | | IND159 met kistdeksel |
| WISM-20_P1_SP79_637381146802779826.jpeg | Detail | 1 | 1 | 79 | 155 | | | |
| WISM-20_P1_SP79_637381146822934321.jpeg | Detail | 1 | 1 | 79 | 155 | | | |
| WISM-20_P1_SP79_637381146836827874.jpeg | Detail | 1 | 1 | 79 | 155 | | | |
| WISM-20_P1_SP79_637381146850328320.jpeg | Detail | 1 | 1 | 79 | 155 | | | |
| WISM-20_P1_SP79_637381146864024605.jpeg | Detail | 1 | 1 | 79 | 155 | | | |
| WISM-20_P1_SP81_637381148470672307.jpeg | Detail | 1 | 1 | 81 | 165 | | | |
| WISM-20_P1_SP81_637381148484845338.jpeg | Detail | 1 | 1 | 81 | 165 | | | |
| WISM-20_P1_SP81_637381148498074322.jpeg | Detail | 1 | 1 | 81 | 165 | | | |
| WISM-20_P1_SP81_637381148511715606.jpeg | Detail | 1 | 1 | 81 | 165 | | | |
| WISM-20_P1_SP81_637387991529138152.jpeg | Detail | 1 | 1 | 81 | 165 | | | IND165 kraaltjes |
| WISM-20_P1_SP81_637387991560848591.jpeg | Detail | 1 | 1 | 81 | 165 | | | IND165 kraaltjes |
| WISM-20_P1_SP81_637387991573868399.jpeg | Detail | 1 | 1 | 81 | 165 | | | IND165 kraaltjes |
| WISM-20_P1_SP81_637387991587121484.jpeg | Detail | 1 | 1 | 81 | 165 | | | IND165 kraaltjes |
| WISM-20_P1_SP81_637387991600458509.jpeg | Detail | 1 | 1 | 81 | 165 | | | IND165 kraaltjes |
| WISM-20_P1_SP81_637387991641505233.jpeg | Detail | 1 | 1 | 81 | 165 | | | IND165 kraaltjes |
| WISM-20_P1_SP81_637387991654851788.jpeg | Detail | 1 | 1 | 81 | 165 | | | IND165 kraaltjes |
| WISM-20_P1_SP81_637387991668503137.jpeg | Detail | 1 | 1 | 81 | 165 | | | IND165 kraaltjes |
| WISM-20_P1_SP81_637387991682593015.jpeg | Detail | 1 | 1 | 81 | 165 | | | IND165 kraaltjes |
| WISM-20_P1_SP81_637387991695249943.jpeg | Detail | 1 | 1 | 81 | 165 | | | IND165 kraaltjes |
| WISM-20_P1_SP81_637387991708436226.jpeg | Detail | 1 | 1 | 81 | 165 | | | IND165 kraaltjes |
| WISM-20_P1_SP81_637387991722311133.jpeg | Detail | 1 | 1 | 81 | 165 | | | IND165 kraaltjes |
| WISM-20_P1_SP81_637387991736024654.jpeg | Detail | 1 | 1 | 81 | 165 | | | IND165 kraaltjes |
| WISM-20_P1_SP81_637387991750048641.jpeg | Detail | 1 | 1 | 81 | 165 | | | IND165 kraaltjes |
| WISM-20_P1_SP81_637387991763851600.jpeg | Detail | 1 | 1 | 81 | 165 | | | IND165 kraaltjes |
| WISM-20_P1_SP81_637387991776724866.jpeg | Detail | 1 | 1 | 81 | 165 | | | IND165 kraaltjes |
| WISM-20_P1_SP81_637387991789921646.jpeg | Detail | 1 | 1 | 81 | 165 | | | IND165 kraaltjes |
| WISM-20_P1_SP81_637387991803634986.jpeg | Detail | 1 | 1 | 81 | 165 | | | IND165 kraaltjes |
| WISM-20_P1_SP82_637381149546891190.jpeg | Detail | 1 | 1 | 82 | 156 | | | |

| Bestand | Soort | Put | Vlak | Spoor | Individu | Coupe | Profielnr. | Opmerking |
|---|---|---|---|---|---|---|---|---|
| WISM-20_P1_SP82_637381149564895081.jpeg | Detail | 1 | 1 | 82 | 156 | | | |
| WISM-20_P1_SP82_637381149579563627.jpeg | Detail | 1 | 1 | 82 | 156 | | | |
| WISM-20_P1_SP82_637381149593266415.jpeg | Detail | 1 | 1 | 82 | 156 | | | |
| WISM-20_P1_SP83_637381150334422289.jpeg | Detail | 1 | 1 | 83 | | | | |
| WISM-20_P1_SP83_637381150350329139.jpeg | Detail | 1 | 1 | 83 | | | | |
| WISM-20_P1_SP83_637381150445824331.jpeg | Detail | 1 | 1 | 83 | | | | |
| WISM-20_P1_SP83_637381150460314481.jpeg | Detail | 1 | 1 | 83 | | | | |
| WISM-20_P1_SP83_637381150633392512.jpeg | Detail | 1 | 1 | 83 | | | | |
| WISM-20_P1_SP84_637381151570290648.jpeg | Detail | 1 | 1 | 84 | 166 | | | |
| WISM-20_P1_SP84_637381151584782505.jpeg | Detail | 1 | 1 | 84 | 166 | | | |
| WISM-20_P1_SP84_637381151618657496.jpeg | Detail | 1 | 1 | 84 | 166 | | | |
| WISM-20_P1_SP84_637381151633142644.jpeg | Detail | 1 | 1 | 84 | 166 | | | |
| WISM-20_P1_SP84_637387212063061158.jpeg | Detail | 1 | 1 | 84 | 166 | | | Bronzen afdruk vleugel |
| WISM-20_P1_SP84_637387212076926033.jpeg | Detail | 1 | 1 | 84 | 166 | | | Bronzen afdruk vleugel |
| WISM-20_P1_SP84_637387212091468102.jpeg | Detail | 1 | 1 | 84 | 166 | | | Bronzen afdruk vleugel |
| WISM-20_P1_SP84_637387212104954962.jpeg | Detail | 1 | 1 | 84 | 166 | | | Bronzen afdruk vleugel |
| WISM-20_P1_SP84_637387212118668672.jpeg | Detail | 1 | 1 | 84 | 166 | | | Bronzen afdruk vleugel |
| WISM-20_P1_SP84_637387994148124730.jpeg | Detail | 1 | 1 | 84 | 166 | | | IND166 met kruisbeeld |
| WISM-20_P1_SP84_637387994174006212.jpeg | Detail | 1 | 1 | 84 | 166 | | | IND166 met kruisbeeld |
| WISM-20_P1_SP84_637387994196529060.jpeg | Detail | 1 | 1 | 84 | 166 | | | IND166 met kruisbeeld |
| WISM-20_P1_SP84_637387994220926312.jpeg | Detail | 1 | 1 | 84 | 166 | | | IND166 met kruisbeeld |
| WISM-20_P1_SP84_637387994252966469.jpeg | Detail | 1 | 1 | 84 | 166 | | | IND166 met kruisbeeld |
| WISM-20_P1_SP84_637387994266377122.jpeg | Detail | 1 | 1 | 84 | 166 | | | IND166 met kruisbeeld |
| WISM-20_P1_SP84_637387994281409747.jpeg | Detail | 1 | 1 | 84 | 166 | | | IND166 met kruisbeeld |
| WISM-20_P1_SP84_637387994295053612.jpeg | Detail | 1 | 1 | 84 | 166 | | | IND166 met kruisbeeld |
| WISM-20_P1_SP85_637381152319223392.jpeg | Detail | 1 | 1 | 85 | 154 | | | |
| WISM-20_P1_SP85_637381152332585526.jpeg | Detail | 1 | 1 | 85 | 154 | | | |
| WISM-20_P1_SP85_637381152347362034.jpeg | Detail | 1 | 1 | 85 | 154 | | | |
| WISM-20_P1_SP87_637381835263616153.jpeg | Detail | 1 | 2 | 87 | 151 | | | |
| WISM-20_P1_SP87_637381835276653424.jpeg | Detail | 1 | 2 | 87 | 151 | | | |
| WISM-20_P1_SP87_637381835290886456.jpeg | Detail | 1 | 2 | 87 | 151 | | | |
| WISM-20_P1_SP87_637381837852119115.jpeg | Detail | 1 | 2 | 87 | 151 | | | |
| WISM-20_P1_SP87_637381837866523385.jpeg | Detail | 1 | 2 | 87 | 151 | | | |
| WISM-20_P1_SP87_637381837881556833.jpeg | Detail | 1 | 2 | 87 | 151 | | | |
| WISM-20_P1_SP88_637381833330502683.jpeg | Detail | 1 | 1 | 88 | 152 | | | |
| WISM-20_P1_SP88_637381833345204396.jpeg | Detail | 1 | 1 | 88 | 152 | | | |
| WISM-20_P1_SP88_637381833360006881.jpeg | Detail | 1 | 1 | 88 | 152 | | | |

| Bestand | Soort | Put | Vlak | Spoor | Individu | Coupe | Profielnr. | Opmerking |
|---|---|---|---|---|---|---|---|---|
| WISM-20_P1_SP88_637381833374261390.jpeg | Detail | 1 | 1 | 88 | 152 | | | |
| WISM-20_P1_SP88_637381833389074497.jpeg | Detail | 1 | 1 | 88 | 152 | | | |
| WISM-20_P1_SP88_637381833402103265.jpeg | Detail | 1 | 1 | 88 | 152 | | | |
| WISM-20_P1_SP88_637381833415661782.jpeg | Detail | 1 | 1 | 88 | 152 | | | |
| WISM-20_P1_SP88_637381833430017910.jpeg | Detail | 1 | 1 | 88 | 152 | | | |
| WISM-20_P1_SP88_637381833987768844.jpeg | Detail | 1 | 1 | 88 | 152 | | | |
| WISM-20_P1_SP90_637383525889732863.jpeg | Detail | 1 | 1 | 90 | | | | |
| WISM-20_P1_SP90_637383525896587672.jpeg | Detail | 1 | 1 | 90 | | | | |
| WISM-20_P1_SP91_637383527481551796.jpeg | Detail | 1 | 1 | 91 | 175 | | | En S92 |
| WISM-20_P1_SP91_637383527488565846.jpeg | Detail | 1 | 1 | 91 | 175 | | | En S92 |
| WISM-20_P1_SP91_637383527496573097.jpeg | Detail | 1 | 1 | 91 | 175 | | | En S92 |
| WISM-20_P1_SP91_637383527503961733.jpeg | Detail | 1 | 1 | 91 | 175 | | | En S92 |
| WISM-20_P1_SP91_637383527516304249.jpeg | Detail | 1 | 1 | 91 | 175 | | | En S92 |
| WISM-20_P1_SP91_637383527517463462.jpeg | Detail | 1 | 1 | 91 | 175 | | | En S92 |
| WISM-20_P1_SP91_637383527524937616.jpeg | Detail | 1 | 1 | 91 | 175 | | | En S92 |
| WISM-20_P1_SP91_637383527531218132.jpeg | Detail | 1 | 1 | 91 | 175 | | | En S92 |
| WISM-20_P1_SP91_637383527538224400.jpeg | Detail | 1 | 1 | 91 | 175 | | | En S92 |
| WISM-20_P1_SP91_637383527544709508.jpeg | Detail | 1 | 1 | 91 | 175 | | | En S92 |
| WISM-20_P1_SP91_637383527557417869.jpeg | Detail | 1 | 1 | 91 | 175 | | | En S92 |
| WISM-20_P1_SP91_637383527563596809.jpeg | Detail | 1 | 1 | 91 | 175 | | | En S92 |
| WISM-20_P1_SP91_637383527570245693.jpeg | Detail | 1 | 1 | 91 | 175 | | | En S92 |
| WISM-20_P1_SP91_637383527576254831.jpeg | Detail | 1 | 1 | 91 | 175 | | | En S92 |
| WISM-20_P1_SP91_637383527582506667.jpeg | Detail | 1 | 1 | 91 | 175 | | | En S92 |
| WISM-20_P1_SP91_637383527588671141.jpeg | Detail | 1 | 1 | 91 | 175 | | | En S92 |
| WISM-20_P1_SP91_637383527595299938.jpeg | Detail | 1 | 1 | 91 | 175 | | | En S92 |
| WISM-20_P1_SP91_637383527601691078.jpeg | Detail | 1 | 1 | 91 | 175 | | | En S92 |
| WISM-20_P1_SP91_637383527608018513.jpeg | Detail | 1 | 1 | 91 | 175 | | | En S92 |
| WISM-20_P1_SP91_637383527614182051.jpeg | Detail | 1 | 1 | 91 | 175 | | | En S92 |
| WISM-20_P1_SP91_637383527621061999.jpeg | Detail | 1 | 1 | 91 | 175 | | | En S92 |
| WISM-20_P1_SP91_637383527627223778.jpeg | Detail | 1 | 1 | 91 | 175 | | | En S92 |
| WISM-20_P1_SP91_637383527682040313.jpeg | Detail | 1 | 1 | 91 | 175 | | | En S92 |
| WISM-20_P1_SP91_637383527689046520.jpeg | Detail | 1 | 1 | 91 | 175 | | | En S92 |
| WISM-20_P1_SP91_637383527695218165.jpeg | Detail | 1 | 1 | 91 | 175 | | | En S92 |
| WISM-20_P1_SP91_637383527702245268.jpeg | Detail | 1 | 1 | 91 | 175 | | | En S92 |
| WISM-20_P1_SP91_637383527708967300.jpeg | Detail | 1 | 1 | 91 | 175 | | | En S92 |
| WISM-20_P1_SP91_637383527715292239.jpeg | Detail | 1 | 1 | 91 | 175 | | | En S92 |
| WISM-20_P1_SP91_637383527721680566.jpeg | Detail | 1 | 1 | 91 | 175 | | | En S92 |

| Bestand | Soort | Put | Vlak | Spoor | Individu | Coupe | Profielnr. | Opmerking |
|---|---|---|---|---|---|---|---|---|
| WISM-20_P1_SP91_637383527728320146.jpeg | Detail | 1 | 1 | 91 | 175 | | | En S92 |
| WISM-20_P1_SP91_637383527734545903.jpeg | Detail | 1 | 1 | 91 | 175 | | | En S92 |
| WISM-20_P1_SP91_637383527741083774.jpeg | Detail | 1 | 1 | 91 | 175 | | | En S92 |
| WISM-20_P1_SP91_637383527748254304.jpeg | Detail | 1 | 1 | 91 | 175 | | | En S92 |
| WISM-20_P1_SP91_637383527754647528.jpeg | Detail | 1 | 1 | 91 | 175 | | | En S92 |
| WISM-20_P1_SP91_637383527760893300.jpeg | Detail | 1 | 1 | 91 | 175 | | | En S92 |
| WISM-20_P1_SP93_637383529172223625.jpeg | Detail | 1 | 1 | 93 | 171 | | | En S94 |
| WISM-20_P1_SP93_637383529179029684.jpeg | Detail | 1 | 1 | 93 | 171 | | | En S94 |
| WISM-20_P1_SP93_637383529185559940.jpeg | Detail | 1 | 1 | 93 | 171 | | | En S94 |
| WISM-20_P1_SP94_637383530118815566.jpeg | Detail | 1 | 1 | 94 | 172 | | | |
| WISM-20_P1_SP94_637383530132406298.jpeg | Detail | 1 | 1 | 94 | 172 | | | |
| WISM-20_P1_SP95_637383532242829626.jpeg | Detail | 1 | 1 | 95 | | | | |
| WISM-20_P1_SP95_637383532250680261.jpeg | Detail | 1 | 1 | 95 | | | | |
| WISM-20_P1_SP95_637383532257623322.jpeg | Detail | 1 | 1 | 95 | | | | |
| WISM-20_P1_SP96_637383533345498005.jpeg | Detail | 1 | 1 | 96 | | | | |
| WISM-20_P1_SP96_637383533354529353.jpeg | Detail | 1 | 1 | 96 | | | | |
| WISM-20_P1_SP96_637383533360686627.jpeg | Detail | 1 | 1 | 96 | | | | |
| WISM-20_P1_SP97_637383534479951090.jpeg | Detail | 1 | 1 | 97 | 179 | | | |
| WISM-20_P1_SP97_637383534487482496.jpeg | Detail | 1 | 1 | 97 | 179 | | | |
| WISM-20_P1_SP97_637383534494745782.jpeg | Detail | 1 | 1 | 97 | 179 | | | |
| WISM-20_P1_SP97_637383534500756004.jpeg | Detail | 1 | 1 | 97 | 179 | | | |
| WISM-20_P1_SP98_637383760766133356.jpeg | Detail | 1 | 1 | 98 | 180 | | | |
| WISM-20_P1_SP98_637383760781361262.jpeg | Detail | 1 | 1 | 98 | 180 | | | |
| WISM-20_P1_SP98_637383760795532860.jpeg | Detail | 1 | 1 | 98 | 180 | | | |
| WISM-20_P1_SP99_637383761635955874.jpeg | Detail | 1 | 1 | 99 | 160 | | | |
| WISM-20_P1_SP99_637383761651817869.jpeg | Detail | 1 | 1 | 99 | 160 | | | |
| WISM-20_P1_SP99_637383761668002949.jpeg | Detail | 1 | 1 | 99 | 160 | | | |
| WISM-20_P1_SP99_637383761687729954.jpeg | Detail | 1 | 1 | 99 | 160 | | | |
| WISM-20_P1_SP99_637383761718845482.jpeg | Detail | 1 | 1 | 99 | 160 | | | |
| WISM-20_P1_SP99_637383761759503147.jpeg | Detail | 1 | 1 | 99 | 160 | | | |
| WISM-20_P1_SP99_637383761773374207.jpeg | Detail | 1 | 1 | 99 | 160 | | | |
| WISM-20_P1_V1_637358645409656987.jpeg | Overzicht | 1 | 1 | | | | | |
| WISM-20_P1_V1_637358645424362138.jpeg | Overzicht | 1 | 1 | | | | | |
| WISM-20_P1_V1_637358645438161164.jpeg | Overzicht | 1 | 1 | | | | | |
| WISM-20_P1_V1_637358645452035966.jpeg | Overzicht | 1 | 1 | | | | | |
| WISM-20_P1_V1_637358645464642087.jpeg | Overzicht | 1 | 1 | | | | | |
| WISM-20_P1_V1_637358645477595461.jpeg | Overzicht | 1 | 1 | | | | | |

| Bestand | Soort | Put | Vlak | Spoor | Individu | Coupe | Profielnr. | Opmerking |
|---|---|---|---|---|---|---|---|---|
| WISM-20_P1_V1_637358645490998337.jpeg | Overzicht | 1 | 1 | | | | | |
| WISM-20_P1_V1_637358645505173611.jpeg | Overzicht | 1 | 1 | | | | | |
| WISM-20_P1_V1_637358645517818562.jpeg | Overzicht | 1 | 1 | | | | | |
| WISM-20_P1_V1_637358645530068138.jpeg | Overzicht | 1 | 1 | | | | | |
| WISM-20_P1_V1_637358645542875679.jpeg | Overzicht | 1 | 1 | | | | | |
| WISM-20_P1_V1_637358645561899883.jpeg | Overzicht | 1 | 1 | | | | | |
| WISM-20_P1_V1_637358645577079735.jpeg | Overzicht | 1 | 1 | | | | | |
| WISM-20_P1_V1_637358645650630982.jpeg | Overzicht | 1 | 1 | | | | | |
| WISM-20_P1_V1_637358645669381640.jpeg | Overzicht | 1 | 1 | | | | | |
| WISM-20_P1_V1_637358645684139596.jpeg | Overzicht | 1 | 1 | | | | | |
| WISM-20_P1_V1_637358645698754947.jpeg | Overzicht | 1 | 1 | | | | | |
| WISM-20_P1_V1_637358645713001610.jpeg | Overzicht | 1 | 1 | | | | | |
| WISM-20_P1_V1_637358645727700765.jpeg | Overzicht | 1 | 1 | | | | | |
| WISM-20_P1_V1_637358645742348701.jpeg | Overzicht | 1 | 1 | | | | | |
| WISM-20_P1_V1_637358645757672042.jpeg | Overzicht | 1 | 1 | | | | | |
| WISM-20_P1_V1_637358645778229785.jpeg | Overzicht | 1 | 1 | | | | | |
| WISM-20_P1_V1_637358645793087815.jpeg | Overzicht | 1 | 1 | | | | | |
| WISM-20_P1_V1_637358645810001495.jpeg | Overzicht | 1 | 1 | | | | | |
| WISM-20_P1_V1_637358645827327266.jpeg | Overzicht | 1 | 1 | | | | | |
| WISM-20_P1_V1_637358645841502573.jpeg | Overzicht | 1 | 1 | | | | | |
| WISM-20_P1_V1_637358645890716946.jpeg | Overzicht | 1 | 1 | | | | | |
| WISM-20_P1_V1_637358645963642552.jpeg | Overzicht | 1 | 1 | | | | | |
| WISM-20_P1_V1_637358645995309808.jpeg | Overzicht | 1 | 1 | | | | | |
| WISM-20_P1_V1_637358646010007785.jpeg | Overzicht | 1 | 1 | | | | | |
| WISM-20_P1_V1_637358646023573055.jpeg | Overzicht | 1 | 1 | | | | | |
| WISM-20_P1_V1_637375090276496162.jpeg | Overzicht | 1 | 1 | | | | | S42 (IND113), S34 (IND108), S41 (IND112) en S50 (IND118) |
| WISM-20_P1_V1_637375090299569652.jpeg | Overzicht | 1 | 1 | | | | | S42 (IND113), S34 (IND108), S41 (IND112) en S50 (IND118) |
| WISM-20_P1_V1_637375090313219908.jpeg | Overzicht | 1 | 1 | | | | | S42 (IND113), S34 (IND108), S41 (IND112) en S50 (IND118) |
| WISM-20_P1_V1_637375090326967488.jpeg | Overzicht | 1 | 1 | | | | | S42 (IND113), S34 (IND108), S41 (IND112) en S50 (IND118) |
| WISM-20_P1_V1_637375090342843494.jpeg | Overzicht | 1 | 1 | | | | | S42 (IND113), S34 (IND108), S41 (IND112) en S50 (IND118) |
| WISM-20_P1_V1_637375090360047654.jpeg | Overzicht | 1 | 1 | | | | | S42 (IND113), S34 (IND108), S41 (IND112) en S50 (IND118) |
| WISM-20_P1_V1_637376590088425741.jpeg | Overzicht | 1 | 1 | | | | | S13, S14 en S15: grafkuilen |

| Bestand | Soort | Put | Vlak | Spoor | Individu | Coupe | Profielnr. | Opmerking |
|---|---|---|---|---|---|---|---|---|
| WISM-20_P1_V1_637376590103167813.jpeg | Overzicht | 1 | 1 | | | | | S13, S14 en S15: grafkuilen |
| WISM-20_P1_V1_637376590117670601.jpeg | Overzicht | 1 | 1 | | | | | S13, S14 en S15: grafkuilen |
| WISM-20_P1_V1_637376590193065995.jpeg | Overzicht | 1 | 1 | | | | | S13, S14 en S15: grafkuilen |
| WISM-20_P1_V1_637376590273870084.jpeg | Overzicht | 1 | 1 | | | | | S13, S14 en S15: grafkuilen |
| WISM-20_P1_V1_637376590321615305.jpeg | Overzicht | 1 | 1 | | | | | S13, S14 en S15: grafkuilen |
| WISM-20_P1_V1_637376702437868533.jpeg | Overzicht | 1 | 1 | | | | | S61 (IND129) |
| WISM-20_P1_V1_637376702452425560.jpeg | Overzicht | 1 | 1 | | | | | S61 (IND129) |
| WISM-20_P1_V1_637376702466617746.jpeg | Overzicht | 1 | 1 | | | | | S61 (IND129) |
| WISM-20_P1_V1_637376702481172901.jpeg | Overzicht | 1 | 1 | | | | | S61 (IND129) |
| WISM-20_P1_V1_637376702499672842.jpeg | Overzicht | 1 | 1 | | | | | S61 (IND129) |
| WISM-20_P1_V1_637376702514687940.jpeg | Overzicht | 1 | 1 | | | | | S61 (IND129) |
| WISM-20_P1_V1_637376702530471075.jpeg | Overzicht | 1 | 1 | | | | | S61 (IND129) |
| WISM-20_P1_V1_637376702544612428.jpeg | Overzicht | 1 | 1 | | | | | S17, S62 en S63 |
| WISM-20_P1_V1_637376702557840048.jpeg | Overzicht | 1 | 1 | | | | | S17, S62 en S63 |
| WISM-20_P1_V1_637376702571432114.jpeg | Overzicht | 1 | 1 | | | | | S17, S62 en S63 |
| WISM-20_P1_V1_637376702586300989.jpeg | Overzicht | 1 | 1 | | | | | S17, S62 en S63 |
| WISM-20_P1_V1_637376702602813887.jpeg | Overzicht | 1 | 1 | | | | | S17, S62 en S63 |
| WISM-20_P1_V1_637376702618059963.jpeg | Overzicht | 1 | 1 | | | | | S17, S62 en S63 |
| WISM-20_P1_V1_637376702634038142.jpeg | Overzicht | 1 | 1 | | | | | S17, S62 en S63 |
| WISM-20_P1_V1_637376848810861306.jpeg | Overzicht | 1 | 1 | | | | | S45 (IND116) en S46 (IND117) |
| WISM-20_P1_V1_637376848823937660.jpeg | Overzicht | 1 | 1 | | | | | S45 (IND116) en S46 (IND117) |
| WISM-20_P1_V1_637376848836895295.jpeg | Overzicht | 1 | 1 | | | | | S45 (IND116) en S46 (IND117) |
| WISM-20_P1_V1_637376848848985773.jpeg | Overzicht | 1 | 1 | | | | | S45 (IND116) en S46 (IND117) |
| WISM-20_P1_V1_637380928460544692.jpeg | Overzicht | 1 | 1 | | | | | S65, S73, S74 en S75 |
| WISM-20_P1_V1_637380928484552717.jpeg | Overzicht | 1 | 1 | | | | | S65, S73, S74 en S75 |
| WISM-20_P1_V1_637380928497257467.jpeg | Overzicht | 1 | 1 | | | | | S65, S73, S74 en S75 |
| WISM-20_P1_V1_637380928511000807.jpeg | Overzicht | 1 | 1 | | | | | S65, S73, S74 en S75 |
| WISM-20_P1_V1_637380928524660966.jpeg | Overzicht | 1 | 1 | | | | | S65, S73, S74 en S75 |
| WISM-20_P1_V1_637380928538714028.jpeg | Overzicht | 1 | 1 | | | | | S65, S73, S74 en S75 |
| WISM-20_P1_V1_637380928551117298.jpeg | Overzicht | 1 | 1 | | | | | S65, S73, S74 en S75 |
| WISM-20_P1_V1_637380928563644883.jpeg | Overzicht | 1 | 1 | | | | | S65, S73, S74 en S75 |
| WISM-20_P1_V1_637380928576811857.jpeg | Overzicht | 1 | 1 | | | | | S65, S73, S74 en S75 |
| WISM-20_P1_V1_637381137056184415.jpeg | Overzicht | 1 | 1 | | | | | S79, S81, S82, S83, ... |
| WISM-20_P1_V1_637381137151714934.jpeg | Overzicht | 1 | 1 | | | | | S79, S81, S82, S83, ... |
| WISM-20_P1_V1_637381137216776224.jpeg | Overzicht | 1 | 1 | | | | | S79, S81, S82, S83, ... |
| WISM-20_P1_V1_637381137234024088.jpeg | Overzicht | 1 | 1 | | | | | S79, S81, S82, S83, ... |
| WISM-20_P1_V1_637381137341685395.jpeg | Overzicht | 1 | 1 | | | | | S79, S81, S82, S83, ... |

| Bestand | Soort | Put | Vlak | Spoor | Individu | Coupe | Profielnr. | Opmerking |
|---|---|---|---|---|---|---|---|---|
| WISM-20_P1_V1_637381137416454960.jpeg | Overzicht | 1 | 1 | | | | | S79, S81, S82, S83, ... |
| WISM-20_P1_V1_637381137436272814.jpeg | Overzicht | 1 | 1 | | | | | S79, S81, S82, S83, ... |
| WISM-20_P1_V1_637381137450295179.jpeg | Overzicht | 1 | 1 | | | | | S79, S81, S82, S83, ... |
| WISM-20_P1_V1_637381137466014824.jpeg | Overzicht | 1 | 1 | | | | | S79, S81, S82, S83, ... |
| WISM-20_P1_V1_637381137480198386.jpeg | Overzicht | 1 | 1 | | | | | S79, S81, S82, S83, ... |
| WISM-20_P1_V1_637381137494937853.jpeg | Overzicht | 1 | 1 | | | | | S79, S81, S82, S83, ... |
| WISM-20_P1_V1_637381137509892440.jpeg | Overzicht | 1 | 1 | | | | | S79, S81, S82, S83, ... |
| WISM-20_P1_V1_637381137524770736.jpeg | Overzicht | 1 | 1 | | | | | S79, S81, S82, S83, ... |
| WISM-20_P1_V1_637381144118564713.jpeg | Overzicht | 1 | 1 | | | | | S79, S81 t.e.m. S85 |
| WISM-20_P1_V1_637381144131634354.jpeg | Overzicht | 1 | 1 | | | | | S79, S81 t.e.m. S85 |
| WISM-20_P1_V1_637381144147725139.jpeg | Overzicht | 1 | 1 | | | | | S79, S81 t.e.m. S85 |
| WISM-20_P1_V1_637381144162105640.jpeg | Overzicht | 1 | 1 | | | | | S79, S81 t.e.m. S85 |
| WISM-20_P1_V1_637381144178069410.jpeg | Overzicht | 1 | 1 | | | | | S79, S81 t.e.m. S85 |
| WISM-20_P1_V1_637381144193471381.jpeg | Overzicht | 1 | 1 | | | | | S79, S81 t.e.m. S85 |
| WISM-20_P1_V1_637381144207811024.jpeg | Overzicht | 1 | 1 | | | | | S79, S81 t.e.m. S85 |
| WISM-20_P1_V1_637381144222460993.jpeg | Overzicht | 1 | 1 | | | | | S79, S81 t.e.m. S85 |
| WISM-20_P1_V1_637381144238164821.jpeg | Overzicht | 1 | 1 | | | | | S79, S81 t.e.m. S85 |
| WISM-20_P1_V1_637381831104937582.jpeg | Overzicht | 1 | 1 | | | | | S87 (vl2) en S88 (vl1) |
| WISM-20_P1_V1_637381831118274633.jpeg | Overzicht | 1 | 1 | | | | | S87 (vl2) en S88 (vl1) |
| WISM-20_P1_V1_637381831130931041.jpeg | Overzicht | 1 | 1 | | | | | S87 (vl2) en S88 (vl1) |
| WISM-20_P1_V1_637381831144804518.jpeg | Overzicht | 1 | 1 | | | | | S87 (vl2) en S88 (vl1) |
| WISM-20_P1_V1_637381831158204641.jpeg | Overzicht | 1 | 1 | | | | | S87 (vl2) en S88 (vl1) |
| WISM-20_P1_V1_637381831173849185.jpeg | Overzicht | 1 | 1 | | | | | S87 (vl2) en S88 (vl1) |
| WISM-20_P1_V1_637381831191704845.jpeg | Overzicht | 1 | 1 | | | | | S87 (vl2) en S88 (vl1) |
| WISM-20_P1_V1_637381831205438704.jpeg | Overzicht | 1 | 1 | | | | | S87 (vl2) en S88 (vl1) |
| WISM-20_P1_V1_637381831218621494.jpeg | Overzicht | 1 | 1 | | | | | S87 (vl2) en S88 (vl1) |
| WISM-20_P1_V1_637381831232182643.jpeg | Overzicht | 1 | 1 | | | | | S87 (vl2) en S88 (vl1) |
| WISM-20_P1_V1_637381831245523867.jpeg | Overzicht | 1 | 1 | | | | | S87 (vl2) en S88 (vl1) |
| WISM-20_P1_V1_637381831259700663.jpeg | Overzicht | 1 | 1 | | | | | S87 (vl2) en S88 (vl1) |
| WISM-20_P1_V1_637381987210689374.jpeg | Overzicht | 1 | 1 | | | | | S65 (IND144) en s73 (IND145) |
| WISM-20_P1_V1_637381987224313202.jpeg | Overzicht | 1 | 1 | | | | | S65 (IND144) en s73 (IND145) |
| WISM-20_P1_V1_637381987241720571.jpeg | Overzicht | 1 | 1 | | | | | S65 (IND144) en s73 (IND145) |
| WISM-20_P1_V1_637381987261403425.jpeg | Overzicht | 1 | 1 | | | | | S65 (IND144) en s73 (IND145) |
| WISM-20_P1_V1_637381987279167612.jpeg | Overzicht | 1 | 1 | | | | | S65 (IND144) en s73 (IND145) |
| WISM-20_P1_V1_637383519986831887.jpeg | Overzicht | 1 | 1 | | | | | S90 t.e.m. S97 |
| WISM-20_P1_V1_637383523610538469.jpeg | Overzicht | 1 | 1 | | | | | S90 t.e.m. S97 |
| WISM-20_P1_V1_637383523617328375.jpeg | Overzicht | 1 | 1 | | | | | S90 t.e.m. S97 |

| Bestand | Soort | Put | Vlak | Spoor | Individu | Coupe | Profielnr. | Opmerking |
|---|---|---|---|---|---|---|---|---|
| WISM-20_P1_V1_637383523624742256.jpeg | Overzicht | 1 | 1 | | | | | S90 t.e.m. S97 |
| WISM-20_P1_V1_637383523631452768.jpeg | Overzicht | 1 | 1 | | | | | S90 t.e.m. S97 |
| WISM-20_P1_V1_637383523638469717.jpeg | Overzicht | 1 | 1 | | | | | S90 t.e.m. S97 |
| WISM-20_P1_V1_637383523645005539.jpeg | Overzicht | 1 | 1 | | | | | S90 t.e.m. S97 |
| WISM-20_P1_V1_637383523662185342.jpeg | Overzicht | 1 | 1 | | | | | S90 t.e.m. S97 |
| WISM-20_P1_V1_637383523668815475.jpeg | Overzicht | 1 | 1 | | | | | S90 t.e.m. S97 |
| WISM-20_P1_V1_637383523675200434.jpeg | Overzicht | 1 | 1 | | | | | S90 t.e.m. S97 |
| WISM-20_P1_V1_637383523681520015.jpeg | Overzicht | 1 | 1 | | | | | S90 t.e.m. S97 |
| WISM-20_P1_V1_637383523687882127.jpeg | Overzicht | 1 | 1 | | | | | S90 t.e.m. S97 |
| WISM-20_P1_V1_637383523694207153.jpeg | Overzicht | 1 | 1 | | | | | S90 t.e.m. S97 |
| WISM-20_P1_V1_637383523700280766.jpeg | Overzicht | 1 | 1 | | | | | S90 t.e.m. S97 |
| WISM-20_P1_V1_637383523706075141.jpeg | Overzicht | 1 | 1 | | | | | S90 t.e.m. S97 |
| WISM-20_P1_V1_637383523711935501.jpeg | Overzicht | 1 | 1 | | | | | S90 t.e.m. S97 |
| WISM-20_P1_V1_637383523718102913.jpeg | Overzicht | 1 | 1 | | | | | S90 t.e.m. S97 |
| WISM-20_P1_V1_637383523724490693.jpeg | Overzicht | 1 | 1 | | | | | S90 t.e.m. S97 |
| WISM-20_P1_V1_637383523730499536.jpeg | Overzicht | 1 | 1 | | | | | S90 t.e.m. S97 |
| WISM-20_P1_V1_637383523736661406.jpeg | Overzicht | 1 | 1 | | | | | S90 t.e.m. S97 |
| WISM-20_P1_V1_637383524838305814.jpeg | Overzicht | 1 | 1 | | | | | S90 t.e.m. S97 |
| WISM-20_P1_V1_637383524845157224.jpeg | Overzicht | 1 | 1 | | | | | S90 t.e.m. S97 |
| WISM-20_P1_V1_637383524851629638.jpeg | Overzicht | 1 | 1 | | | | | S90 t.e.m. S97 |
| WISM-20_P1_V1_637383524860343399.jpeg | Overzicht | 1 | 1 | | | | | S90 t.e.m. S97 |
| WISM-20_P1_V1_637383524866419214.jpeg | Overzicht | 1 | 1 | | | | | S90 t.e.m. S97 |
| WISM-20_P1_V1_637383524872681430.jpeg | Overzicht | 1 | 1 | | | | | S90 t.e.m. S97 |
| WISM-20_P1_V1_637383756499857555.jpeg | Overzicht | 1 | 1 | | | | | S98 t.e.m. S100 |
| WISM-20_P1_V1_637383756513724393.jpeg | Overzicht | 1 | 1 | | | | | S98 t.e.m. S100 |
| WISM-20_P1_V1_637383756526217326.jpeg | Overzicht | 1 | 1 | | | | | S98 t.e.m. S100 |
| WISM-20_P1_V1_637383756538129027.jpeg | Overzicht | 1 | 1 | | | | | S98 t.e.m. S100 |
| WISM-20_P1_V1_637383756550858264.jpeg | Overzicht | 1 | 1 | | | | | S98 t.e.m. S100 |
| WISM-20_P1_V1_637383756564044151.jpeg | Overzicht | 1 | 1 | | | | | S98 t.e.m. S100 |
| WISM-20_P1_V1_637383756577689837.jpeg | Overzicht | 1 | 1 | | | | | S98 t.e.m. S100 |
| WISM-20_P1_V1_637383756594821661.jpeg | Overzicht | 1 | 1 | | | | | S98 t.e.m. S100 |
| WISM-20_P1_V1_637383756607480083.jpeg | Overzicht | 1 | 1 | | | | | S98 t.e.m. S100 |
| WISM-20_P1_V1_637383756620660291.jpeg | Overzicht | 1 | 1 | | | | | S98 t.e.m. S100 |
| WISM-20_P1_V1_637383756633860043.jpeg | Overzicht | 1 | 1 | | | | | S98 t.e.m. S100 |
| WISM-20_P1_V1_637383756646981239.jpeg | Overzicht | 1 | 1 | | | | | S98 t.e.m. S100 |
| WISM-20_P1_V1_637383756660476017.jpeg | Overzicht | 1 | 1 | | | | | S98 t.e.m. S100 |
| WISM-20_P1_V1_637383756673229842.jpeg | Overzicht | 1 | 1 | | | | | S98 t.e.m. S100 |

| Bestand | Soort | Put | Vlak | Spoor | Individu | Coupe | Profielnr. | Opmerking |
|---|---|---|---|---|---|---|---|---|
| WISM-20_P1_V1_637383756686585361.jpeg | Overzicht | 1 | 1 | | | | | S98 t.e.m. S100 |
| WISM-20_P1_V1_637383756700466472.jpeg | Overzicht | 1 | 1 | | | | | S98 t.e.m. S100 |
| WISM-20_P1_V1_637387010486954412.jpeg | Overzicht | 1 | 1 | | | | | S9, S11, S12, S36 en S39 |
| WISM-20_P1_V1_637387010514343036.jpeg | Overzicht | 1 | 1 | | | | | S9, S11, S12, S36 en S39 |
| WISM-20_P1_V1_637387010544844546.jpeg | Overzicht | 1 | 1 | | | | | S9, S11, S12, S36 en S39 |
| WISM-20_P1_V1_637387010557493989.jpeg | Overzicht | 1 | 1 | | | | | S9, S11, S12, S36 en S39 |
| WISM-20_P1_V1_637387010571055252.jpeg | Overzicht | 1 | 1 | | | | | S9, S11, S12, S36 en S39 |
| WISM-20_P1_V1_637387010584539046.jpeg | Overzicht | 1 | 1 | | | | | S9, S11, S12, S36 en S39 |
| WISM-20_P1_V1_637387010598116778.jpeg | Overzicht | 1 | 1 | | | | | S9, S11, S12, S36 en S39 |
| WISM-20_P1_V1_637388729243642844.jpeg | Overzicht | 1 | 1 | | | | | S114 en S115 |
| WISM-20_P1_V1_637388729263837248.jpeg | Overzicht | 1 | 1 | | | | | S114 en S115 |
| WISM-20_P1_V1_637388729279178017.jpeg | Overzicht | 1 | 1 | | | | | S114 en S115 |
| WISM-20_P1_V1_637388729292360403.jpeg | Overzicht | 1 | 1 | | | | | S114 en S115 |
| WISM-20_P1_V1_637388730285746004.jpeg | Overzicht | 1 | 1 | | | | | S114, S115 en S97 |
| WISM-20_P1_V1_637388730299253536.jpeg | Overzicht | 1 | 1 | | | | | S114, S115 en S97 |
| WISM-20_P1_V1_637388730312803305.jpeg | Overzicht | 1 | 1 | | | | | S114, S115 en S97 |
| WISM-20_P1_V1_637388730326143879.jpeg | Overzicht | 1 | 1 | | | | | S114, S115 en S97 |
| WISM-20_P1_V2_637365450783668964.jpeg | Overzicht | 1 | 2 | | | | | Zuidoostelijke hoek |
| WISM-20_P1_V2_637365450798820770.jpeg | Overzicht | 1 | 2 | | | | | Zuidoostelijke hoek |
| WISM-20_P1_V2_637365450812254812.jpeg | Overzicht | 1 | 2 | | | | | Zuidoostelijke hoek |
| WISM-20_P1_V2_637365450827251300.jpeg | Overzicht | 1 | 2 | | | | | Zuidoostelijke hoek |
| WISM-20_P1_V2_637365450840373159.jpeg | Overzicht | 1 | 2 | | | | | Zuidoostelijke hoek |
| WISM-20_P1_V2_637365450852870200.jpeg | Overzicht | 1 | 2 | | | | | Zuidoostelijke hoek |
| WISM-20_P1_V2_637365450866616954.jpeg | Overzicht | 1 | 2 | | | | | Zuidoostelijke hoek |
| WISM-20_P1_V2_637365450879426447.jpeg | Overzicht | 1 | 2 | | | | | Zuidoostelijke hoek |
| WISM-20_P1_V2_637365450891923829.jpeg | Overzicht | 1 | 2 | | | | | Zuidoostelijke hoek |
| WISM-20_P1_V2_637365450905514000.jpeg | Overzicht | 1 | 2 | | | | | Zuidoostelijke hoek |
| WISM-20_P1_V2_637365450917854836.jpeg | Overzicht | 1 | 2 | | | | | Zuidoostelijke hoek |
| WISM-20_P1_V2_637365450930508125.jpeg | Overzicht | 1 | 2 | | | | | Zuidoostelijke hoek |
| WISM-20_P1_V2_637365450942848927.jpeg | Overzicht | 1 | 2 | | | | | Zuidoostelijke hoek |
| WISM-20_P1_V2_637365450957064315.jpeg | Overzicht | 1 | 2 | | | | | Zuidoostelijke hoek |
| WISM-20_P1_V2_637365450969561368.jpeg | Overzicht | 1 | 2 | | | | | Zuidoostelijke hoek |
| WISM-20_P1_V2_637365450983151894.jpeg | Overzicht | 1 | 2 | | | | | Zuidoostelijke hoek |
| WISM-20_P1_V2_637378357468051263.jpeg | Overzicht | 1 | 2 | | | | | Onder tent zone 1 |
| WISM-20_P1_V2_637378357485075100.jpeg | Overzicht | 1 | 2 | | | | | Onder tent zone 1 |
| WISM-20_P1_V2_637378357497791861.jpeg | Overzicht | 1 | 2 | | | | | Onder tent zone 1 |
| WISM-20_P1_V2_637378357511271170.jpeg | Overzicht | 1 | 2 | | | | | Onder tent zone 1 |

| Bestand | Soort | Put | Vlak | Spoor | Individu | Coupe | Profielnr. | Opmerking |
|---|---|---|---|---|---|---|---|---|
| WISM-20_P1_V2_637378357524857904.jpeg | Overzicht | 1 | 2 | | | | | Onder tent zone 1 |
| WISM-20_P1_V2_637378357537898483.jpeg | Overzicht | 1 | 2 | | | | | Onder tent zone 1 |
| WISM-20_P1_V2_637378357550830846.jpeg | Overzicht | 1 | 2 | | | | | Onder tent zone 1 |
| WISM-20_P1_V2_637378357565536961.jpeg | Overzicht | 1 | 2 | | | | | Onder tent zone 1 |
| WISM-20_P1_V2_637378357578187948.jpeg | Overzicht | 1 | 2 | | | | | Onder tent zone 1 |
| WISM-20_P1_V2_637378357591365426.jpeg | Overzicht | 1 | 2 | | | | | Onder tent zone 1 |
| WISM-20_P1_V2_637378357606131750.jpeg | Overzicht | 1 | 2 | | | | | Onder tent zone 1 |
| WISM-20_P1_V2_637378357619889242.jpeg | Overzicht | 1 | 2 | | | | | Onder tent zone 1 |
| WISM-20_P1_V2_637378357633758373.jpeg | Overzicht | 1 | 2 | | | | | Onder tent zone 1 |
| WISM-20_P1_V2_637378357647570769.jpeg | Overzicht | 1 | 2 | | | | | Onder tent zone 1 |
| WISM-20_P1_V2_637378357662449001.jpeg | Overzicht | 1 | 2 | | | | | Onder tent zone 1 |
| WISM-20_P1_V2_637378357677045531.jpeg | Overzicht | 1 | 2 | | | | | Onder tent zone 1 |
| WISM-20_P1_V2_637378357691794664.jpeg | Overzicht | 1 | 2 | | | | | Onder tent zone 1 |
| WISM-20_P1_V2_637378357706568090.jpeg | Overzicht | 1 | 2 | | | | | Onder tent zone 1 |
| WISM-20_P1_V2_637378357720878002.jpeg | Overzicht | 1 | 2 | | | | | Onder tent zone 1 |
| WISM-20_P1_V2_637378357736060904.jpeg | Overzicht | 1 | 2 | | | | | Onder tent zone 1 |
| WISM-20_P1_V2_637381004335096422.jpeg | Overzicht | 1 | 2 | | | | | S74, S75 en S76 |
| WISM-20_P1_V2_637381004351761886.jpeg | Overzicht | 1 | 2 | | | | | S74, S75 en S76 |
| WISM-20_P1_V2_637381004366630010.jpeg | Overzicht | 1 | 2 | | | | | S74, S75 en S76 |
| WISM-20_P1_V2_637381004403398164.jpeg | Overzicht | 1 | 2 | | | | | S74, S75 en S76 |
| WISM-20_P1_V2_637381004440983298.jpeg | Overzicht | 1 | 2 | | | | | S74, S75 en S76 |
| WISM-20_P1_V2_637381004481638387.jpeg | Overzicht | 1 | 2 | | | | | S74, S75 en S76 |
| WISM-20_P1_V2_637381004532453207.jpeg | Overzicht | 1 | 2 | | | | | S74, S75 en S76 |
| WISM-20_P1_V2_637381004568409123.jpeg | Overzicht | 1 | 2 | | | | | S74, S75 en S76 |
| WISM-20_P1_V2_637381004588226574.jpeg | Overzicht | 1 | 2 | | | | | S74, S75 en S76 |
| WISM-20_P1_V2_637381079598960249.jpeg | Overzicht | 1 | 2 | | | | | S77, S78 en S79 |
| WISM-20_P1_V2_637381079617454028.jpeg | Overzicht | 1 | 2 | | | | | S77, S78 en S79 |
| WISM-20_P1_V2_637381079635177327.jpeg | Overzicht | 1 | 2 | | | | | S77, S78 en S79 |
| WISM-20_P1_V2_637381079652357290.jpeg | Overzicht | 1 | 2 | | | | | S77, S78 en S79 |
| WISM-20_P1_V2_637381079667464906.jpeg | Overzicht | 1 | 2 | | | | | S77, S78 en S79 |
| WISM-20_P1_V2_637381079683965638.jpeg | Overzicht | 1 | 2 | | | | | S77, S78 en S79 |
| WISM-20_P1_V2_637381079712780290.jpeg | Overzicht | 1 | 2 | | | | | S77, S78 en S79 |
| WISM-20_P1_V2_637381079729109461.jpeg | Overzicht | 1 | 2 | | | | | S77, S78 en S79 |
| WISM-20_P1_V2_637387052957293762.jpeg | Overzicht | 1 | 2 | | | | | S8, S7 en S37 |
| WISM-20_P1_V2_637387052976829195.jpeg | Overzicht | 1 | 2 | | | | | S8, S7 en S37 |
| WISM-20_P1_V2_637387052995177893.jpeg | Overzicht | 1 | 2 | | | | | S8, S7 en S37 |
| WISM-20_P1_V2_637387054232702805.jpeg | Overzicht | 1 | 2 | | | | | S48 en S49 |

| Bestand | Soort | Put | Vlak | Spoor | Individu | Coupe | Profielnr. | Opmerking |
|---|---|---|---|---|---|---|---|---|
| WISM-20_P1_V2_637387054248352513.jpeg | Overzicht | 1 | 2 | | | | | S48 en S49 |
| WISM-20_P1_V2_637387054263693813.jpeg | Overzicht | 1 | 2 | | | | | S48 en S49 |
| WISM-20_P1_V2_637387054356286767.jpeg | Overzicht | 1 | 2 | | | | | S48 en S49 |
| WISM-20_P1_V2_637389605522152802.jpeg | Overzicht | 1 | 2 | | | | | S12, S39 en S102 |
| WISM-20_P1_V2_637389605537620973.jpeg | Overzicht | 1 | 2 | | | | | S12, S39 en S102 |
| WISM-20_P1_V2_637389605551805779.jpeg | Overzicht | 1 | 2 | | | | | S12, S39 en S102 |
| WISM-20_P1_V2_637389605566152843.jpeg | Overzicht | 1 | 2 | | | | | S12, S39 en S102 |
| WISM-20_P1_V2_637389605580017842.jpeg | Overzicht | 1 | 2 | | | | | S12, S39 en S102 |
| WISM-20_P1_V2_637389605594351388.jpeg | Overzicht | 1 | 2 | | | | | S12, S39 en S102 |
| WISM-20_P1_V2_637389605607973056.jpeg | Overzicht | 1 | 2 | | | | | S12, S39 en S102 |
| WISM-20_P1_V2_637389605621169832.jpeg | Overzicht | 1 | 2 | | | | | S12, S39 en S102 |
| WISM-20_P1_V2_637389605636058285.jpeg | Overzicht | 1 | 2 | | | | | S12, S39 en S102 |
| WISM-20_P1_V2_637389605650248970.jpeg | Overzicht | 1 | 2 | | | | | S12, S39 en S102 |
| WISM-20_P1_V2_637389621538265458.jpeg | Overzicht | 1 | 2 | | | | | S121, S122, S123 en S124 |
| WISM-20_P1_V2_637389621551296650.jpeg | Overzicht | 1 | 2 | | | | | S121, S122, S123 en S124 |
| WISM-20_P1_V2_637389621564854865.jpeg | Overzicht | 1 | 2 | | | | | S121, S122, S123 en S124 |
| WISM-20_P1_V2_637389621578023070.jpeg | Overzicht | 1 | 2 | | | | | S121, S122, S123 en S124 |
| WISM-20_P1_V2_637389621591187352.jpeg | Overzicht | 1 | 2 | | | | | S121, S122, S123 en S124 |
| WISM-20_P1_V2_637389621605097917.jpeg | Overzicht | 1 | 2 | | | | | S121, S122, S123 en S124 |
| WISM-20_P1_V2_637389621619661085.jpeg | Overzicht | 1 | 2 | | | | | S121, S122, S123 en S124 |
| WISM-20_P1_V2_637389621634327163.jpeg | Overzicht | 1 | 2 | | | | | S121, S122, S123 en S124 |
| WISM-20_P1_V2_637389621647883739.jpeg | Overzicht | 1 | 2 | | | | | S121, S122, S123 en S124 |
| WISM-20_P1_V2_637389622056437304.jpeg | Overzicht | 1 | 2 | | | | | S121, S122, S123 en S124 |
| WISM-20_P1_V2_637389622141103763.jpeg | Overzicht | 1 | 2 | | | | | S121, S122, S123 en S124 |
| WISM-20_P1_V2_637389622177261928.jpeg | Overzicht | 1 | 2 | | | | | S121, S122, S123 en S124 |
| WISM-20_P1_V2_637389622199295810.jpeg | Overzicht | 1 | 2 | | | | | S121, S122, S123 en S124 |
| WISM-20_P1_V2_637389622215324028.jpeg | Overzicht | 1 | 2 | | | | | S121, S122, S123 en S124 |
| WISM-20_P1_V2_637389623976876208.jpeg | Overzicht | 1 | 2 | | | | | S121, S122, S123 en S124 |
| WISM-20_P1_V2_637389623990436613.jpeg | Overzicht | 1 | 2 | | | | | S121, S122, S123 en S124 |
| WISM-20_P1_V2_637389624003636950.jpeg | Overzicht | 1 | 2 | | | | | S121, S122, S123 en S124 |
| WISM-20_P1_V2_637389624016456285.jpeg | Overzicht | 1 | 2 | | | | | S121, S122, S123 en S124 |
| WISM-20_P1_V2_637389624029507886.jpeg | Overzicht | 1 | 2 | | | | | S121, S122, S123 en S124 |
| WISM-20_P1_V2_637389624629565335.jpeg | Overzicht | 1 | 2 | | | | | S121, S122, S123 en S124 |
| WISM-20_P1_V2_637389624641899227.jpeg | Overzicht | 1 | 2 | | | | | S121, S122, S123 en S124 |
| WISM-20_P1_V2_637389648424491924.jpeg | Overzicht | 1 | 2 | | | | | S91 en S97 |
| WISM-20_P1_V2_637389648462291461.jpeg | Overzicht | 1 | 2 | | | | | S91 en S97 |
| WISM-20_P1_V2_637389648477547564.jpeg | Overzicht | 1 | 2 | | | | | S91 en S97 |

| Bestand | Soort | Put | Vlak | Spoor | Individu | Coupe | Profielnr. | Opmerking |
|---|---|---|---|---|---|---|---|---|
| WISM-20_P1_V2_637389648491217740.jpeg | Overzicht | 1 | 2 | | | | | S91 en S97 |
| WISM-20_P1_V2_637389648505918501.jpeg | Overzicht | 1 | 2 | | | | | S91 en S97 |
| WISM-20_P1_V2_637389648520088053.jpeg | Overzicht | 1 | 2 | | | | | S91 en S97 |
| WISM-20_P1_V2_637389648534864478.jpeg | Overzicht | 1 | 2 | | | | | S91 en S97 |
| WISM-20_P1_V2_637389648548504073.jpeg | Overzicht | 1 | 2 | | | | | S91 en S97 |
| WISM-20_P1_V2_637389648561755810.jpeg | Overzicht | 1 | 2 | | | | | S91 en S97 |
| WISM-20_P1_V2_637389648576045210.jpeg | Overzicht | 1 | 2 | | | | | S91 en S97 |
| WISM-20_P1_V2_637389648590057095.jpeg | Overzicht | 1 | 2 | | | | | S91 en S97 |
| WISM-20_P1_V2_637389648603734112.jpeg | Overzicht | 1 | 2 | | | | | S91 en S97 |
| WISM-20_P1_V2_637389648619423587.jpeg | Overzicht | 1 | 2 | | | | | S91 en S97 |
| WISM-20_P1_V2_637389726441350723.jpeg | Overzicht | 1 | 2 | | | | | S125 en S130 |
| WISM-20_P1_V2_637389726459921971.jpeg | Overzicht | 1 | 2 | | | | | S125 en S130 |
| WISM-20_P1_V2_637389726475122747.jpeg | Overzicht | 1 | 2 | | | | | S125 en S130 |
| WISM-20_P1_V2_637389728074420312.jpeg | Overzicht | 1 | 2 | | | | | S125 en S130 |
| WISM-20_P1_V2_637389728099739025.jpeg | Overzicht | 1 | 2 | | | | | S125 en S130 |
| WISM-20_P1_V3_637376764511275214.jpeg | Overzicht | 1 | 3 | | | | | NW zijde van put, vlak 3, Naast IND127 |
| WISM-20_P1_V3_637376764526661092.jpeg | Overzicht | 1 | 3 | | | | | NW zijde van put, vlak 3, Naast IND127 |
| WISM-20_P1_V3_637376764541529156.jpeg | Overzicht | 1 | 3 | | | | | NW zijde van put, vlak 3, Naast IND127 |
| WISM-20_P1_V3_637376764556731870.jpeg | Overzicht | 1 | 3 | | | | | NW zijde van put, vlak 3, Naast IND127 |
| WISM-20_P1_V3_637376764571603694.jpeg | Overzicht | 1 | 3 | | | | | NW zijde van put, vlak 3, Naast IND127 |
| WISM-20_P1_V3_637376764585470401.jpeg | Overzicht | 1 | 3 | | | | | NW zijde van put, vlak 3, Naast IND127 |
| WISM-20_P1_V3_637376764601610389.jpeg | Overzicht | 1 | 3 | | | | | NW zijde van put, vlak 3, Naast IND127 |
| WISM-20_P1_V3_637376764617204802.jpeg | Overzicht | 1 | 3 | | | | | NW zijde van put, vlak 3, Naast IND127 |
| WISM-20_P1_V3_637376764631707408.jpeg | Overzicht | 1 | 3 | | | | | NW zijde van put, vlak 3, Naast IND127 |
| WISM-20_P1_V3_637376764645600391.jpeg | Overzicht | 1 | 3 | | | | | NW zijde van put, vlak 3, Naast IND127 |
| WISM-20_P1_V3_637376764660313073.jpeg | Overzicht | 1 | 3 | | | | | NW zijde van put, vlak 3, Naast IND127 |
| WISM-20_P1_V3_637376764673650135.jpeg | Overzicht | 1 | 3 | | | | | NW zijde van put, vlak 3, Naast IND127 |
| WISM-20_P1_V3_637376764688259431.jpeg | Overzicht | 1 | 3 | | | | | NW zijde van put, vlak 3, Naast IND127 |
| WISM-20_P1_V3_637376764702486498.jpeg | Overzicht | 1 | 3 | | | | | NW zijde van put, vlak 3, Naast IND127 |
| WISM-20_P1_V3_637376764717505810.jpeg | Overzicht | 1 | 3 | | | | | NW zijde van put, vlak 3, Naast IND127 |
| WISM-20_P1_V3_637376764732167812.jpeg | Overzicht | 1 | 3 | | | | | NW zijde van put, vlak 3, Naast IND127 |
| WISM-20_P1_V3_637376764747179613.jpeg | Overzicht | 1 | 3 | | | | | NW zijde van put, vlak 3, Naast IND127 |
| WISM-20_P1_V3_637376764762204653.jpeg | Overzicht | 1 | 3 | | | | | NW zijde van put, vlak 3, Naast IND127 |
| WISM-20_P1_V3_637376764776534637.jpeg | Overzicht | 1 | 3 | | | | | NW zijde van put, vlak 3, Naast IND127 |
| WISM-20_P1_V3_637376764791921690.jpeg | Overzicht | 1 | 3 | | | | | NW zijde van put, vlak 3, Naast IND127 |
| WISM-20_P1_V3_637376764805760592.jpeg | Overzicht | 1 | 3 | | | | | NW zijde van put, vlak 3, Naast IND127 |
| WISM-20_P1_V3_637376764819163814.jpeg | Overzicht | 1 | 3 | | | | | NW zijde van put, vlak 3, Naast IND127 |

| Bestand | Soort | Put | Vlak | Spoor | Individu | Coupe | Profielnr. | Opmerking |
|---|---|---|---|---|---|---|---|---|
| WISM-20_P1_V3_637376764833983343.jpeg | Overzicht | 1 | 3 | | | | | NW zijde van put, vlak 3, Naast IND127 |
| WISM-20_P1_V3_637387923117573731.jpeg | Overzicht | 1 | 3 | | | | | S109 en S112 |
| WISM-20_P1_V3_637387923141935675.jpeg | Overzicht | 1 | 3 | | | | | S109 en S112 |
| WISM-20_P1_V3_637387923162721510.jpeg | Overzicht | 1 | 3 | | | | | S109 en S112 |
| WISM-20_P1_V3_637387923180457410.jpeg | Overzicht | 1 | 3 | | | | | S109 en S112 |
| WISM-20_P1_V3_637387923204065356.jpeg | Overzicht | 1 | 3 | | | | | S109 en S112 |
| WISM-20_P1_V3_637387923222960065.jpeg | Overzicht | 1 | 3 | | | | | S109 en S112 |
| WISM-20_P1_V3_637389609555234979.jpeg | Overzicht | 1 | 3 | | | | | S12, S39 en S102 |
| WISM-20_P1_V3_637389609568562523.jpeg | Overzicht | 1 | 3 | | | | | S12, S39 en S102 |
| WISM-20_P1_V3_637389609584281694.jpeg | Overzicht | 1 | 3 | | | | | S12, S39 en S102 |
| WISM-20_P1_V3_637389609596928963.jpeg | Overzicht | 1 | 3 | | | | | S12, S39 en S102 |
| WISM-20_P1_V3_637389609610495625.jpeg | Overzicht | 1 | 3 | | | | | S12, S39 en S102 |
| WISM-20_P1_V3_637389609629059139.jpeg | Overzicht | 1 | 3 | | | | | S12, S39 en S102 |
| WISM-20_P1_V4_637389796437470719.jpeg | Overzicht | 1 | 4 | | | | | S48, S47, S49 en S110 |
| WISM-20_P1_V4_637389796453805917.jpeg | Overzicht | 1 | 4 | | | | | S48, S47, S49 en S110 |
| WISM-20_P1_V4_637389796480561309.jpeg | Overzicht | 1 | 4 | | | | | S48, S47, S49 en S110 |
| WISM-20_P1_V4_637389796495118420.jpeg | Overzicht | 1 | 4 | | | | | S48, S47, S49 en S110 |
| WISM-20_P1_V4_637389796510303674.jpeg | Overzicht | 1 | 4 | | | | | S48, S47, S49 en S110 |
| WISM-20_P1_V4_637389796531451024.jpeg | Overzicht | 1 | 4 | | | | | S48, S47, S49 en S110 |
| WISM-20_P1_V4_637389796546167523.jpeg | Overzicht | 1 | 4 | | | | | S48, S47, S49 en S110 |
| WISM-20_P1_V4_637389796562524934.jpeg | Overzicht | 1 | 4 | | | | | S48, S47, S49 en S110 |
| WISM-20_P1_V4_637389796581037241.jpeg | Overzicht | 1 | 4 | | | | | S48, S47, S49 en S110 |
| WISM-20_P1_V4_637389796597606131.jpeg | Overzicht | 1 | 4 | | | | | S48, S47, S49 en S110 |
| WISM-20_P1_V4_637389796620652796.jpeg | Overzicht | 1 | 4 | | | | | S48, S47, S49 en S110 |
| WISM-20_P1_V4_637389796646879968.jpeg | Overzicht | 1 | 4 | | | | | S48, S47, S49 en S110 |
| WISM-20_P1_V4_637389796677084050.jpeg | Overzicht | 1 | 4 | | | | | S48, S47, S49 en S110 |
| WISM-20_P1_V4_637389796700503271.jpeg | Overzicht | 1 | 4 | | | | | S48, S47, S49 en S110 |
| WISM-20_P1_V4_637389796727338045.jpeg | Overzicht | 1 | 4 | | | | | S48, S47, S49 en S110 |
| WISM-20_P1_V4_637389796756637875.jpeg | Overzicht | 1 | 4 | | | | | S48, S47, S49 en S110 |
| WISM-20_P1_V4_637389796811144413.jpeg | Overzicht | 1 | 4 | | | | | S48, S47, S49 en S110 |
| WISM-20_P1_SP10_IND110_637377521844911166.jpeg | Skelet | 1 | 1 | 10 | 110 | | | |
| WISM-20_P1_SP10_IND110_637377521865177614.jpeg | Skelet | 1 | 1 | 10 | 110 | | | |
| WISM-20_P1_SP10_IND110_637377521880502626.jpeg | Skelet | 1 | 1 | 10 | 110 | | | |
| WISM-20_P1_SP10_IND110_637377521895987880.jpeg | Skelet | 1 | 1 | 10 | 110 | | | |
| WISM-20_P1_SP10_IND110_637377521910011684.jpeg | Skelet | 1 | 1 | 10 | 110 | | | |
| WISM-20_P1_SP10_IND110_637377521924033105.jpeg | Skelet | 1 | 1 | 10 | 110 | | | |
| WISM-20_P1_SP10_IND110_637377521937765506.jpeg | Skelet | 1 | 1 | 10 | 110 | | | |

| Bestand | Soort | Put | Vlak | Spoor | Individu | Coupe | Profielnr. | Opmerking |
|---|---|---|---|---|---|---|---|---|
| WISM-20_P1_SP10_IND110_637377521952785172.jpeg | Skelet | 1 | 1 | 10 | 110 | | | |
| WISM-20_P1_SP10_IND110_637377521967121772.jpeg | Skelet | 1 | 1 | 10 | 110 | | | |
| WISM-20_P1_SP10_IND110_637377521981359871.jpeg | Skelet | 1 | 1 | 10 | 110 | | | |
| WISM-20_P1_SP10_IND110_637377522006784180.jpeg | Skelet | 1 | 1 | 10 | 110 | | | |
| WISM-20_P1_SP10_IND110_637377522020281454.jpeg | Skelet | 1 | 1 | 10 | 110 | | | |
| WISM-20_P1_SP10_IND110_637377522033873709.jpeg | Skelet | 1 | 1 | 10 | 110 | | | |
| WISM-20_P1_SP10_IND110_637377522047221838.jpeg | Skelet | 1 | 1 | 10 | 110 | | | |
| WISM-20_P1_SP10_IND110_637377522061776442.jpeg | Skelet | 1 | 1 | 10 | 110 | | | |
| WISM-20_P1_SP10_IND110_637377522075808714.jpeg | Skelet | 1 | 1 | 10 | 110 | | | |
| WISM-20_P1_SP10_IND110_637377522089835655.jpeg | Skelet | 1 | 1 | 10 | 110 | | | |
| WISM-20_P1_SP100_IND158_637387106540340175.jpeg | Skelet | 1 | 1 | 100 | 158 | | | |
| WISM-20_P1_SP100_IND158_637387106555052865.jpeg | Skelet | 1 | 1 | 100 | 158 | | | |
| WISM-20_P1_SP100_IND158_637387106584527095.jpeg | Skelet | 1 | 1 | 100 | 158 | | | |
| WISM-20_P1_SP100_IND158_637387106603379889.jpeg | Skelet | 1 | 1 | 100 | 158 | | | |
| WISM-20_P1_SP100_IND158_637387106626685488.jpeg | Skelet | 1 | 1 | 100 | 158 | | | |
| WISM-20_P1_SP100_IND158_637387106640694866.jpeg | Skelet | 1 | 1 | 100 | 158 | | | |
| WISM-20_P1_SP100_IND158_637387106668399080.jpeg | Skelet | 1 | 1 | 100 | 158 | | | |
| WISM-20_P1_SP100_IND158_637387106696813892.jpeg | Skelet | 1 | 1 | 100 | 158 | | | |
| WISM-20_P1_SP100_IND158_637387106720069971.jpeg | Skelet | 1 | 1 | 100 | 158 | | | |
| WISM-20_P1_SP100_IND158_637387106748533985.jpeg | Skelet | 1 | 1 | 100 | 158 | | | |
| WISM-20_P1_SP100_IND158_637387106776516974.jpeg | Skelet | 1 | 1 | 100 | 158 | | | |
| WISM-20_P1_SP100_IND158_637387106795119655.jpeg | Skelet | 1 | 1 | 100 | 158 | | | |
| WISM-20_P1_SP101_IND157_637386945739522521.jpeg | Skelet | 1 | 1 | 101 | 157 | | | |
| WISM-20_P1_SP101_IND157_637386945753558069.jpeg | Skelet | 1 | 1 | 101 | 157 | | | |
| WISM-20_P1_SP101_IND157_637386945766724058.jpeg | Skelet | 1 | 1 | 101 | 157 | | | |
| WISM-20_P1_SP101_IND157_637386945779486941.jpeg | Skelet | 1 | 1 | 101 | 157 | | | |
| WISM-20_P1_SP101_IND157_637386945793717367.jpeg | Skelet | 1 | 1 | 101 | 157 | | | |
| WISM-20_P1_SP101_IND157_637386945807774305.jpeg | Skelet | 1 | 1 | 101 | 157 | | | |
| WISM-20_P1_SP101_IND157_637386945821607670.jpeg | Skelet | 1 | 1 | 101 | 157 | | | |
| WISM-20_P1_SP101_IND157_637386945835624487.jpeg | Skelet | 1 | 1 | 101 | 157 | | | |
| WISM-20_P1_SP101_IND157_637386945848206510.jpeg | Skelet | 1 | 1 | 101 | 157 | | | |
| WISM-20_P1_SP101_IND157_637386945862178697.jpeg | Skelet | 1 | 1 | 101 | 157 | | | |
| WISM-20_P1_SP105_IND162_637387221322664624.jpeg | Skelet | 1 | 1 | 105 | 162 | | | |
| WISM-20_P1_SP105_IND162_637387221336456278.jpeg | Skelet | 1 | 1 | 105 | 162 | | | |
| WISM-20_P1_SP105_IND162_637387221350017767.jpeg | Skelet | 1 | 1 | 105 | 162 | | | |
| WISM-20_P1_SP105_IND162_637387221364578601.jpeg | Skelet | 1 | 1 | 105 | 162 | | | |
| WISM-20_P1_SP105_IND162_637387221400158729.jpeg | Skelet | 1 | 1 | 105 | 162 | | | |

| Bestand | Soort | Put | Vlak | Spoor | Individu | Coupe | Profielnr. | Opmerking |
|---|---|---|---|---|---|---|---|---|
| WISM-20_P1_SP105_IND162_637387221473299030.jpeg | Skelet | 1 | 1 | 105 | 162 | | | |
| WISM-20_P1_SP105_IND162_637387221532348744.jpeg | Skelet | 1 | 1 | 105 | 162 | | | |
| WISM-20_P1_SP105_IND162_637387221558484315.jpeg | Skelet | 1 | 1 | 105 | 162 | | | |
| WISM-20_P1_SP109_IND169_637388842142451974.jpeg | Skelet | 1 | 3 | 109 | 169 | | | |
| WISM-20_P1_SP109_IND169_637388842156253842.jpeg | Skelet | 1 | 3 | 109 | 169 | | | |
| WISM-20_P1_SP109_IND169_637388842170314937.jpeg | Skelet | 1 | 3 | 109 | 169 | | | |
| WISM-20_P1_SP109_IND169_637388842183806849.jpeg | Skelet | 1 | 3 | 109 | 169 | | | |
| WISM-20_P1_SP109_IND169_637388842196560105.jpeg | Skelet | 1 | 3 | 109 | 169 | | | |
| WISM-20_P1_SP109_IND169_637388842211308381.jpeg | Skelet | 1 | 3 | 109 | 169 | | | |
| WISM-20_P1_SP109_IND169_637388842224516387.jpeg | Skelet | 1 | 3 | 109 | 169 | | | |
| WISM-20_P1_SP109_IND169_637388842237927538.jpeg | Skelet | 1 | 3 | 109 | 169 | | | |
| WISM-20_P1_SP109_IND169_637388842250421177.jpeg | Skelet | 1 | 3 | 109 | 169 | | | |
| WISM-20_P1_SP110_IND182_637389807249443448.jpeg | Skelet | 1 | 4 | 110 | 182 | | | |
| WISM-20_P1_SP110_IND182_637389807263848228.jpeg | Skelet | 1 | 4 | 110 | 182 | | | |
| WISM-20_P1_SP110_IND182_637389807305954549.jpeg | Skelet | 1 | 4 | 110 | 182 | | | |
| WISM-20_P1_SP110_IND182_637389807319461470.jpeg | Skelet | 1 | 4 | 110 | 182 | | | |
| WISM-20_P1_SP110_IND183_637389802525677254.jpeg | Skelet | 1 | 4 | 110 | 183 | | | |
| WISM-20_P1_SP110_IND183_637389802580207958.jpeg | Skelet | 1 | 4 | 110 | 183 | | | |
| WISM-20_P1_SP110_IND183_637389802594386012.jpeg | Skelet | 1 | 4 | 110 | 183 | | | |
| WISM-20_P1_SP110_IND183_637389802608782241.jpeg | Skelet | 1 | 4 | 110 | 183 | | | |
| WISM-20_P1_SP110_IND183_637389802623478203.jpeg | Skelet | 1 | 4 | 110 | 183 | | | |
| WISM-20_P1_SP110_IND183_637389802642359863.jpeg | Skelet | 1 | 4 | 110 | 183 | | | |
| WISM-20_P1_SP110_IND183_637389802658193427.jpeg | Skelet | 1 | 4 | 110 | 183 | | | |
| WISM-20_P1_SP110_IND183_637389802672607473.jpeg | Skelet | 1 | 4 | 110 | 183 | | | |
| WISM-20_P1_SP110_IND183_637389802725989022.jpeg | Skelet | 1 | 4 | 110 | 183 | | | |
| WISM-20_P1_SP110_IND183_637389802749186316.jpeg | Skelet | 1 | 4 | 110 | 183 | | | |
| WISM-20_P1_SP110_IND183_637389802767548089.jpeg | Skelet | 1 | 4 | 110 | 183 | | | |
| WISM-20_P1_SP110_IND183_637389802789753978.jpeg | Skelet | 1 | 4 | 110 | 183 | | | |
| WISM-20_P1_SP110_IND183_637389802809648999.jpeg | Skelet | 1 | 4 | 110 | 183 | | | |
| WISM-20_P1_SP111_IND189_637390671273518404.jpeg | Skelet | 1 | 4 | 111 | 189 | | | |
| WISM-20_P1_SP111_IND189_637390671297961147.jpeg | Skelet | 1 | 4 | 111 | 189 | | | |
| WISM-20_P1_SP111_IND189_637390671310775638.jpeg | Skelet | 1 | 4 | 111 | 189 | | | |
| WISM-20_P1_SP111_IND189_637390671346083900.jpeg | Skelet | 1 | 4 | 111 | 189 | | | |
| WISM-20_P1_SP111_IND189_637390671421691607.jpeg | Skelet | 1 | 4 | 111 | 189 | | | |
| WISM-20_P1_SP111_IND189_637390671500227890.jpeg | Skelet | 1 | 4 | 111 | 189 | | | |
| WISM-20_P1_SP111_IND189_637390671528781399.jpeg | Skelet | 1 | 4 | 111 | 189 | | | |
| WISM-20_P1_SP111_IND189_637390671542388148.jpeg | Skelet | 1 | 4 | 111 | 189 | | | |

| Bestand | Soort | Put | Vlak | Spoor | Individu | Coupe | Profielnr. | Opmerking |
|---|---|---|---|---|---|---|---|---|
| WISM-20_P1_SP111_IND189_637390671555281754.jpeg | Skelet | 1 | 4 | 111 | 189 | | | |
| WISM-20_P1_SP111_IND189_637390671567897827.jpeg | Skelet | 1 | 4 | 111 | 189 | | | |
| WISM-20_P1_SP111_IND189_637390671580778447.jpeg | Skelet | 1 | 4 | 111 | 189 | | | |
| WISM-20_P1_SP111_IND189_637390671594269012.jpeg | Skelet | 1 | 4 | 111 | 189 | | | |
| WISM-20_P1_SP111_IND189_637390671613268763.jpeg | Skelet | 1 | 4 | 111 | 189 | | | |
| WISM-20_P1_SP111_IND189_637390671626051549.jpeg | Skelet | 1 | 4 | 111 | 189 | | | |
| WISM-20_P1_SP112_IND170_637388072713568498.jpeg | Skelet | 1 | 3 | 112 | 170 | | | |
| WISM-20_P1_SP112_IND170_637388072735903946.jpeg | Skelet | 1 | 3 | 112 | 170 | | | |
| WISM-20_P1_SP112_IND170_637388072748935727.jpeg | Skelet | 1 | 3 | 112 | 170 | | | |
| WISM-20_P1_SP112_IND170_637388072762103705.jpeg | Skelet | 1 | 3 | 112 | 170 | | | |
| WISM-20_P1_SP112_IND170_637388072775668808.jpeg | Skelet | 1 | 3 | 112 | 170 | | | |
| WISM-20_P1_SP112_IND170_637388072788228904.jpeg | Skelet | 1 | 3 | 112 | 170 | | | |
| WISM-20_P1_SP112_IND170_637388072800565001.jpeg | Skelet | 1 | 3 | 112 | 170 | | | |
| WISM-20_P1_SP112_IND170_637388072812753181.jpeg | Skelet | 1 | 3 | 112 | 170 | | | |
| WISM-20_P1_SP112_IND170_637388072825316721.jpeg | Skelet | 1 | 3 | 112 | 170 | | | |
| WISM-20_P1_SP112_IND170_637388072838346237.jpeg | Skelet | 1 | 3 | 112 | 170 | | | |
| WISM-20_P1_SP112_IND170_637388072849992688.jpeg | Skelet | 1 | 3 | 112 | 170 | | | |
| WISM-20_P1_SP112_IND170_637388072851151255.jpeg | Skelet | 1 | 3 | 112 | 170 | | | |
| WISM-20_P1_SP112_IND170_637388072863722823.jpeg | Skelet | 1 | 3 | 112 | 170 | | | |
| WISM-20_P1_SP112_IND170_637388072882229923.jpeg | Skelet | 1 | 3 | 112 | 170 | | | |
| WISM-20_P1_SP112_IND170_637388072895100398.jpeg | Skelet | 1 | 3 | 112 | 170 | | | |
| WISM-20_P1_SP112_IND170_637388072908663662.jpeg | Skelet | 1 | 3 | 112 | 170 | | | |
| WISM-20_P1_SP112_IND170_637388072921993716.jpeg | Skelet | 1 | 3 | 112 | 170 | | | |
| WISM-20_P1_SP112_IND170_637388072935718369.jpeg | Skelet | 1 | 3 | 112 | 170 | | | |
| WISM-20_P1_SP112_IND170_637388072949592256.jpeg | Skelet | 1 | 3 | 112 | 170 | | | |
| WISM-20_P1_SP112_IND170_637388072963096160.jpeg | Skelet | 1 | 3 | 112 | 170 | | | |
| WISM-20_P1_SP112_IND170_637388072976869260.jpeg | Skelet | 1 | 3 | 112 | 170 | | | |
| WISM-20_P1_SP112_IND170_637388072990320873.jpeg | Skelet | 1 | 3 | 112 | 170 | | | |
| WISM-20_P1_SP113_IND168_637388869315235640.jpeg | Skelet | 1 | 3 | 113 | 168 | | | |
| WISM-20_P1_SP113_IND168_637388869343331872.jpeg | Skelet | 1 | 3 | 113 | 168 | | | |
| WISM-20_P1_SP113_IND168_637388869363118301.jpeg | Skelet | 1 | 3 | 113 | 168 | | | |
| WISM-20_P1_SP113_IND168_637388869379462025.jpeg | Skelet | 1 | 3 | 113 | 168 | | | |
| WISM-20_P1_SP114_IND178_637389590904483851.jpeg | Skelet | 1 | 2 | 114 | 178 | | | |
| WISM-20_P1_SP114_IND178_637389590919057606.jpeg | Skelet | 1 | 2 | 114 | 178 | | | |
| WISM-20_P1_SP114_IND178_637389590948011599.jpeg | Skelet | 1 | 2 | 114 | 178 | | | |
| WISM-20_P1_SP114_IND178_637389590966309369.jpeg | Skelet | 1 | 2 | 114 | 178 | | | |
| WISM-20_P1_SP114_IND178_637389590979948594.jpeg | Skelet | 1 | 2 | 114 | 178 | | | |

| Bestand | Soort | Put | Vlak | Spoor | Individu | Coupe | Profielnr. | Opmerking |
|---|---|---|---|---|---|---|---|---|
| WISM-20_P1_SP114_IND178_637389590992814198.jpeg | Skelet | 1 | 2 | 114 | 178 | | | |
| WISM-20_P1_SP114_IND178_637389591007160261.jpeg | Skelet | 1 | 2 | 114 | 178 | | | |
| WISM-20_P1_SP114_IND178_637389591020024461.jpeg | Skelet | 1 | 2 | 114 | 178 | | | |
| WISM-20_P1_SP114_IND178_637389591032735412.jpeg | Skelet | 1 | 2 | 114 | 178 | | | |
| WISM-20_P1_SP114_IND178_637389591047070167.jpeg | Skelet | 1 | 2 | 114 | 178 | | | |
| WISM-20_P1_SP114_IND178_637389591060839374.jpeg | Skelet | 1 | 2 | 114 | 178 | | | |
| WISM-20_P1_SP114_IND178_637389591074389090.jpeg | Skelet | 1 | 2 | 114 | 178 | | | |
| WISM-20_P1_SP116_IND173_637388908569647262.jpeg | Skelet | 1 | 1 | 116 | 173 | | | |
| WISM-20_P1_SP116_IND173_637388908584681110.jpeg | Skelet | 1 | 1 | 116 | 173 | | | |
| WISM-20_P1_SP116_IND173_637388908605592382.jpeg | Skelet | 1 | 1 | 116 | 173 | | | |
| WISM-20_P1_SP116_IND173_637388908618646485.jpeg | Skelet | 1 | 1 | 116 | 173 | | | |
| WISM-20_P1_SP116_IND173_637388908631206695.jpeg | Skelet | 1 | 1 | 116 | 173 | | | |
| WISM-20_P1_SP116_IND173_637388908644262804.jpeg | Skelet | 1 | 1 | 116 | 173 | | | |
| WISM-20_P1_SP116_IND173_637388908657913349.jpeg | Skelet | 1 | 1 | 116 | 173 | | | |
| WISM-20_P1_SP116_IND173_637388908670636945.jpeg | Skelet | 1 | 1 | 116 | 173 | | | |
| WISM-20_P1_SP116_IND173_637388908682998280.jpeg | Skelet | 1 | 1 | 116 | 173 | | | |
| WISM-20_P1_SP116_IND173_637388908696710216.jpeg | Skelet | 1 | 1 | 116 | 173 | | | |
| WISM-20_P1_SP116_IND173_637388908709726762.jpeg | Skelet | 1 | 1 | 116 | 173 | | | |
| WISM-20_P1_SP116_IND173_637388908722965748.jpeg | Skelet | 1 | 1 | 116 | 173 | | | |
| WISM-20_P1_SP116_IND173_637388908736864318.jpeg | Skelet | 1 | 1 | 116 | 173 | | | |
| WISM-20_P1_SP116_IND173_637388908752442550.jpeg | Skelet | 1 | 1 | 116 | 173 | | | |
| WISM-20_P1_SP116_IND173_637388908766574819.jpeg | Skelet | 1 | 1 | 116 | 173 | | | |
| WISM-20_P1_SP116_IND173_637388908779583810.jpeg | Skelet | 1 | 1 | 116 | 173 | | | |
| WISM-20_P1_SP116_IND173_637388908792445536.jpeg | Skelet | 1 | 1 | 116 | 173 | | | |
| WISM-20_P1_SP117_118_IND174_176_637388944901264427.jpeg | Skelet | 1 | 1 | 117_118 | 174_176 | | | IND117 wordt aangesneden door IND118. Artilleriegranaat onder IND118 |
| WISM-20_P1_SP117_118_IND174_176_637388944936178854.jpeg | Skelet | 1 | 1 | 117_118 | 174_176 | | | IND117 wordt aangesneden door IND118. Artilleriegranaat onder IND118 |
| WISM-20_P1_SP117_118_IND174_176_637388944968383406.jpeg | Skelet | 1 | 1 | 117_118 | 174_176 | | | IND117 wordt aangesneden door IND118. Artilleriegranaat onder IND118 |
| WISM-20_P1_SP117_118_IND174_176_637388944998933224.jpeg | Skelet | 1 | 1 | 117_118 | 174_176 | | | IND117 wordt aangesneden door IND118. Artilleriegranaat onder IND118 |
| WISM-20_P1_SP117_118_IND174_176_637388945014607852.jpeg | Skelet | 1 | 1 | 117_118 | 174_176 | | | IND117 wordt aangesneden door IND118. Artilleriegranaat onder IND118 |
| WISM-20_P1_SP117_118_IND174_176_637388945030528463.jpeg | Skelet | 1 | 1 | 117_118 | 174_176 | | | IND117 wordt aangesneden door IND118. Artilleriegranaat onder IND118 |
| WISM-20_P1_SP117_118_IND174_176_637388945076022087.jpeg | Skelet | 1 | 1 | 117_118 | 174_176 | | | IND117 wordt aangesneden door IND118. Artilleriegranaat onder IND118 |

| Bestand | Soort | Put | Vlak | Spoor | Individu | Coupe | Profielnr. | Opmerking |
|---|---|---|---|---|---|---|---|---|
| WISM-20_P1_SP117_118_IND174_176_637388945102868649.jpeg | Skelet | 1 | 1 | 117_118 | 174_176 | | | IND117 wordt aangesneden door IND118. Artilleriegranaat onder IND118 |
| WISM-20_P1_SP117_118_IND174_176_637388945132704764.jpeg | Skelet | 1 | 1 | 117_118 | 174_176 | | | IND117 wordt aangesneden door IND118. Artilleriegranaat onder IND118 |
| WISM-20_P1_SP117_118_IND174_176_637388945168253572.jpeg | Skelet | 1 | 1 | 117_118 | 174_176 | | | IND117 wordt aangesneden door IND118. Artilleriegranaat onder IND118 |
| WISM-20_P1_SP117_118_IND174_176_637388945182284732.jpeg | Skelet | 1 | 1 | 117_118 | 174_176 | | | IND117 wordt aangesneden door IND118. Artilleriegranaat onder IND118 |
| WISM-20_P1_SP117_118_IND174_176_637388945222396972.jpeg | Skelet | 1 | 1 | 117_118 | 174_176 | | | IND117 wordt aangesneden door IND118. Artilleriegranaat onder IND118 |
| WISM-20_P1_SP117_118_IND174_176_637388945235415327.jpeg | Skelet | 1 | 1 | 117_118 | 174_176 | | | IND117 wordt aangesneden door IND118. Artilleriegranaat onder IND118 |
| WISM-20_P1_SP117_118_IND174_176_637388945248438541.jpeg | Skelet | 1 | 1 | 117_118 | 174_176 | | | IND117 wordt aangesneden door IND118. Artilleriegranaat onder IND118 |
| WISM-20_P1_SP117_118_IND174_176_637388945263083281.jpeg | Skelet | 1 | 1 | 117_118 | 174_176 | | | IND117 wordt aangesneden door IND118. Artilleriegranaat onder IND118 |
| WISM-20_P1_SP117_118_IND174_176_637388945277420191.jpeg | Skelet | 1 | 1 | 117_118 | 174_176 | | | IND117 wordt aangesneden door IND118. Artilleriegranaat onder IND118 |
| WISM-20_P1_SP117_118_IND174_176_637388945291490235.jpeg | Skelet | 1 | 1 | 117_118 | 174_176 | | | IND117 wordt aangesneden door IND118. Artilleriegranaat onder IND118 |
| WISM-20_P1_SP117_118_IND174_176_637388945304676900.jpeg | Skelet | 1 | 1 | 117_118 | 174_176 | | | IND117 wordt aangesneden door IND118. Artilleriegranaat onder IND118 |
| WISM-20_P1_SP117_118_IND174_176_637388945318537210.jpeg | Skelet | 1 | 1 | 117_118 | 174_176 | | | IND117 wordt aangesneden door IND118. Artilleriegranaat onder IND118 |
| WISM-20_P1_SP117_118_IND174_176_637388945330958402.jpeg | Skelet | 1 | 1 | 117_118 | 174_176 | | | IND117 wordt aangesneden door IND118. Artilleriegranaat onder IND118 |
| WISM-20_P1_SP12_IND161_637387201613788042.jpeg | Skelet | 1 | 1 | 12 | 161 | | | |
| WISM-20_P1_SP12_IND161_637387201628087523.jpeg | Skelet | 1 | 1 | 12 | 161 | | | |
| WISM-20_P1_SP12_IND161_637387201642341222.jpeg | Skelet | 1 | 1 | 12 | 161 | | | |
| WISM-20_P1_SP12_IND161_637387201655824382.jpeg | Skelet | 1 | 1 | 12 | 161 | | | |
| WISM-20_P1_SP12_IND161_637387201669695517.jpeg | Skelet | 1 | 1 | 12 | 161 | | | |
| WISM-20_P1_SP12_IND161_637387201683191254.jpeg | Skelet | 1 | 1 | 12 | 161 | | | |
| WISM-20_P1_SP12_IND161_637387201696953340.jpeg | Skelet | 1 | 1 | 12 | 161 | | | |
| WISM-20_P1_SP12_IND161_637387201711010599.jpeg | Skelet | 1 | 1 | 12 | 161 | | | |
| WISM-20_P1_SP12_IND161_637387201724881809.jpeg | Skelet | 1 | 1 | 12 | 161 | | | |
| WISM-20_P1_SP12_IND161_637387201738916905.jpeg | Skelet | 1 | 1 | 12 | 161 | | | |
| WISM-20_P1_SP121_IND184_637390472214710297.jpeg | Skelet | 1 | 2 | 121 | 184 | | | |
| WISM-20_P1_SP121_IND184_637390472230550449.jpeg | Skelet | 1 | 2 | 121 | 184 | | | |
| WISM-20_P1_SP121_IND184_637390472245723156.jpeg | Skelet | 1 | 2 | 121 | 184 | | | |
| WISM-20_P1_SP121_IND184_637390473607842213.jpeg | Skelet | 1 | 2 | 121 | 184 | | | S122 (IND185) |

| Bestand | Soort | Put | Vlak | Spoor | Individu | Coupe | Profielnr. | Opmerking |
|---|---|---|---|---|---|---|---|---|
| WISM-20_P1_SP121_IND184_637390473644938703.jpeg | Skelet | 1 | 2 | 121 | 184 | | | S122 (IND185) |
| WISM-20_P1_SP121_IND184_637390515275246839.jpeg | Skelet | 1 | 2 | 121 | 184 | | | Ook samen met S122 |
| WISM-20_P1_SP121_IND184_637390515292107625.jpeg | Skelet | 1 | 2 | 121 | 184 | | | Ook samen met S122 |
| WISM-20_P1_SP121_IND184_637390515305761096.jpeg | Skelet | 1 | 2 | 121 | 184 | | | Ook samen met S122 |
| WISM-20_P1_SP121_IND184_637390515320169656.jpeg | Skelet | 1 | 2 | 121 | 184 | | | Ook samen met S122 |
| WISM-20_P1_SP121_IND184_637390515336877099.jpeg | Skelet | 1 | 2 | 121 | 184 | | | Ook samen met S122 |
| WISM-20_P1_SP121_IND184_637390515350437115.jpeg | Skelet | 1 | 2 | 121 | 184 | | | Ook samen met S122 |
| WISM-20_P1_SP121_IND184_637390515364147468.jpeg | Skelet | 1 | 2 | 121 | 184 | | | Ook samen met S122 |
| WISM-20_P1_SP121_IND184_637390515377571246.jpeg | Skelet | 1 | 2 | 121 | 184 | | | Ook samen met S122 |
| WISM-20_P1_SP121_IND184_637390515394813822.jpeg | Skelet | 1 | 2 | 121 | 184 | | | Ook samen met S122 |
| WISM-20_P1_SP122_IND185_637390473101144602.jpeg | Skelet | 1 | 2 | 122 | 185 | | | |
| WISM-20_P1_SP122_IND185_637390473133734622.jpeg | Skelet | 1 | 2 | 122 | 185 | | | |
| WISM-20_P1_SP122_IND185_637390512589346561.jpeg | Skelet | 1 | 2 | 122 | 185 | | | |
| WISM-20_P1_SP122_IND185_637390512603361429.jpeg | Skelet | 1 | 2 | 122 | 185 | | | |
| WISM-20_P1_SP122_IND185_637390512618872694.jpeg | Skelet | 1 | 2 | 122 | 185 | | | |
| WISM-20_P1_SP122_IND185_637390512632432212.jpeg | Skelet | 1 | 2 | 122 | 185 | | | |
| WISM-20_P1_SP122_IND185_637390512679364537.jpeg | Skelet | 1 | 2 | 122 | 185 | | | |
| WISM-20_P1_SP122_IND185_637390512691765333.jpeg | Skelet | 1 | 2 | 122 | 185 | | | |
| WISM-20_P1_SP122_IND185_637390512705737463.jpeg | Skelet | 1 | 2 | 122 | 185 | | | |
| WISM-20_P1_SP122_IND185_637390512719127768.jpeg | Skelet | 1 | 2 | 122 | 185 | | | |
| WISM-20_P1_SP122_IND185_637390512733169743.jpeg | Skelet | 1 | 2 | 122 | 185 | | | |
| WISM-20_P1_SP125_IND183_637390432837498543.jpeg | Skelet | 1 | 1 | 125 | 183 | | | Verstoord door leiding |
| WISM-20_P1_SP125_IND183_637390432853318759.jpeg | Skelet | 1 | 1 | 125 | 183 | | | Verstoord door leiding |
| WISM-20_P1_SP125_IND183_637390432867726602.jpeg | Skelet | 1 | 1 | 125 | 183 | | | Verstoord door leiding |
| WISM-20_P1_SP125_IND183_637390432882110623.jpeg | Skelet | 1 | 1 | 125 | 183 | | | Verstoord door leiding |
| WISM-20_P1_SP125_IND183_637390432896105071.jpeg | Skelet | 1 | 1 | 125 | 183 | | | Verstoord door leiding |
| WISM-20_P1_SP125_IND183_637390432910724823.jpeg | Skelet | 1 | 1 | 125 | 183 | | | Verstoord door leiding |
| WISM-20_P1_SP125_IND183_637390432925059835.jpeg | Skelet | 1 | 1 | 125 | 183 | | | Verstoord door leiding |
| WISM-20_P1_SP125_IND183_637390432961497459.jpeg | Skelet | 1 | 1 | 125 | 183 | | | Verstoord door leiding |
| WISM-20_P1_SP125_IND183_637390432980990021.jpeg | Skelet | 1 | 1 | 125 | 183 | | | Verstoord door leiding |
| WISM-20_P1_SP125_IND183_637390432995016670.jpeg | Skelet | 1 | 1 | 125 | 183 | | | Verstoord door leiding |
| WISM-20_P1_SP126_IND186_637389834171075588.jpeg | Skelet | 1 | 2 | 126 | 186 | | | |
| WISM-20_P1_SP126_IND186_637389834198299931.jpeg | Skelet | 1 | 2 | 126 | 186 | | | |
| WISM-20_P1_SP126_IND186_637389834218598000.jpeg | Skelet | 1 | 2 | 126 | 186 | | | |
| WISM-20_P1_SP126_IND186_637389834259478514.jpeg | Skelet | 1 | 2 | 126 | 186 | | | |
| WISM-20_P1_SP126_IND186_637390453089913962.jpeg | Skelet | 1 | 1 | 126 | 186 | | | |
| WISM-20_P1_SP126_IND186_637390453103616368.jpeg | Skelet | 1 | 1 | 126 | 186 | | | |

| Bestand | Soort | Put | Vlak | Spoor | Individu | Coupe | Profielnr. | Opmerking |
|---|---|---|---|---|---|---|---|---|
| WISM-20_P1_SP126_IND186_637390453124499690.jpeg | Skelet | 1 | 1 | 126 | 186 | | | |
| WISM-20_P1_SP126_IND186_637390453138688408.jpeg | Skelet | 1 | 1 | 126 | 186 | | | |
| WISM-20_P1_SP126_IND186_637390453152487791.jpeg | Skelet | 1 | 1 | 126 | 186 | | | |
| WISM-20_P1_SP126_IND186_637390453166053664.jpeg | Skelet | 1 | 1 | 126 | 186 | | | |
| WISM-20_P1_SP126_IND186_637390453179385644.jpeg | Skelet | 1 | 1 | 126 | 186 | | | |
| WISM-20_P1_SP126_IND186_637390453197794845.jpeg | Skelet | 1 | 1 | 126 | 186 | | | |
| WISM-20_P1_SP126_IND186_637390453212442863.jpeg | Skelet | 1 | 1 | 126 | 186 | | | |
| WISM-20_P1_SP126_IND186_637390453228014023.jpeg | Skelet | 1 | 1 | 126 | 186 | | | |
| WISM-20_P1_SP126_IND186_637390453253780441.jpeg | Skelet | 1 | 1 | 126 | 186 | | | |
| WISM-20_P1_SP126_IND186_637390453319309781.jpeg | Skelet | 1 | 1 | 126 | 186 | | | |
| WISM-20_P1_SP126_IND186_637390453340714988.jpeg | Skelet | 1 | 1 | 126 | 186 | | | |
| WISM-20_P1_SP127_IND187_637390653735173063.jpeg | Skelet | 1 | 1 | 127 | 187 | | | |
| WISM-20_P1_SP127_IND187_637390653753794854.jpeg | Skelet | 1 | 1 | 127 | 187 | | | |
| WISM-20_P1_SP127_IND187_637390653769774952.jpeg | Skelet | 1 | 1 | 127 | 187 | | | |
| WISM-20_P1_SP127_IND187_637390653800307072.jpeg | Skelet | 1 | 1 | 127 | 187 | | | |
| WISM-20_P1_SP127_IND187_637390653815127267.jpeg | Skelet | 1 | 1 | 127 | 187 | | | |
| WISM-20_P1_SP127_IND187_637390653852870469.jpeg | Skelet | 1 | 1 | 127 | 187 | | | |
| WISM-20_P1_SP127_IND187_637390653872256425.jpeg | Skelet | 1 | 1 | 127 | 187 | | | |
| WISM-20_P1_SP127_IND187_637390653940939984.jpeg | Skelet | 1 | 1 | 127 | 187 | | | |
| WISM-20_P1_SP128_IND195_637393157158736327.jpeg | Skelet | 1 | 3 | 128 | 195 | | | |
| WISM-20_P1_SP128_IND195_637393157216605818.jpeg | Skelet | 1 | 3 | 128 | 195 | | | |
| WISM-20_P1_SP128_IND195_637393157231111945.jpeg | Skelet | 1 | 3 | 128 | 195 | | | |
| WISM-20_P1_SP129_IND188_637389768386752052.jpeg | Skelet | 1 | 1 | 129 | 188 | | | |
| WISM-20_P1_SP129_IND188_637389768403019844.jpeg | Skelet | 1 | 1 | 129 | 188 | | | |
| WISM-20_P1_SP130_IND194_637390586848664341.jpeg | Skelet | 1 | 3 | 130 | 194 | | | Enkel benen |
| WISM-20_P1_SP130_IND194_637390586863376498.jpeg | Skelet | 1 | 3 | 130 | 194 | | | Enkel benen |
| WISM-20_P1_SP130_IND194_637390586878398955.jpeg | Skelet | 1 | 3 | 130 | 194 | | | Enkel benen |
| WISM-20_P1_SP130_IND194_637390586898600606.jpeg | Skelet | 1 | 3 | 130 | 194 | | | Enkel benen |
| WISM-20_P1_SP130_IND194_637390586915848804.jpeg | Skelet | 1 | 3 | 130 | 194 | | | Enkel benen |
| WISM-20_P1_SP130_IND194_637390586950839714.jpeg | Skelet | 1 | 3 | 130 | 194 | | | Enkel benen |
| WISM-20_P1_SP130_IND194_637390586976825313.jpeg | Skelet | 1 | 3 | 130 | 194 | | | Enkel benen |
| WISM-20_P1_SP130_IND194_637390587005353143.jpeg | Skelet | 1 | 3 | 130 | 194 | | | Enkel benen |
| WISM-20_P1_SP130_IND194_637390587039959060.jpeg | Skelet | 1 | 3 | 130 | 194 | | | Enkel benen |
| WISM-20_P1_SP133_IND190_637390689686629553.jpeg | Skelet | 1 | 3 | 133 | 190 | | | S127 (IND187) |
| WISM-20_P1_SP133_IND190_637390689700165774.jpeg | Skelet | 1 | 3 | 133 | 190 | | | S127 (IND187) |
| WISM-20_P1_SP135_IND192_637390611675228904.jpeg | Skelet | 1 | 2 | 135 | 192 | | | Enkel benen |
| WISM-20_P1_SP135_IND192_637390611689817373.jpeg | Skelet | 1 | 2 | 135 | 192 | | | Enkel benen |

| Bestand | Soort | Put | Vlak | Spoor | Individu | Coupe | Profielnr. | Opmerking |
|---|---|---|---|---|---|---|---|---|
| WISM-20_P1_SP135_IND192_637390611704854831.jpeg | Skelet | 1 | 2 | 135 | 192 | | | Enkel benen |
| WISM-20_P1_SP135_IND192_637390611720481609.jpeg | Skelet | 1 | 2 | 135 | 192 | | | Enkel benen |
| WISM-20_P1_SP135_IND192_637390611736083123.jpeg | Skelet | 1 | 2 | 135 | 192 | | | Enkel benen |
| WISM-20_P1_SP135_IND192_637390611751433285.jpeg | Skelet | 1 | 2 | 135 | 192 | | | Enkel benen |
| WISM-20_P1_SP138_IND193_637390579172192399.jpeg | Skelet | 1 | 1 | 138 | 193 | | | Enkel armen |
| WISM-20_P1_SP138_IND193_637390579185545437.jpeg | Skelet | 1 | 1 | 138 | 193 | | | Enkel armen |
| WISM-20_P1_SP138_IND193_637390579199432853.jpeg | Skelet | 1 | 1 | 138 | 193 | | | Enkel armen |
| WISM-20_P1_SP138_IND193_637390579270843810.jpeg | Skelet | 1 | 1 | 138 | 193 | | | Enkel armen |
| WISM-20_P1_SP138_IND193_637390579366319903.jpeg | Skelet | 1 | 1 | 138 | 193 | | | Enkel armen |
| WISM-20_P1_SP14_IND130_637376800680191065.jpeg | Skelet | 1 | 1 | 14 | 130 | | | Enkel schedel, slecht bewaard (antropomorf) |
| WISM-20_P1_SP14_IND130_637376800695218755.jpeg | Skelet | 1 | 1 | 14 | 130 | | | Enkel schedel, slecht bewaard (antropomorf) |
| WISM-20_P1_SP14_IND130_637376800710455957.jpeg | Skelet | 1 | 1 | 14 | 130 | | | Enkel schedel, slecht bewaard (antropomorf) |
| WISM-20_P1_SP14_IND130_637376800724567903.jpeg | Skelet | 1 | 1 | 14 | 130 | | | Enkel schedel, slecht bewaard (antropomorf) |
| WISM-20_P1_SP14_IND130_637376800738616687.jpeg | Skelet | 1 | 1 | 14 | 130 | | | Enkel schedel, slecht bewaard (antropomorf) |
| WISM-20_P1_SP14_IND130_637376800753293095.jpeg | Skelet | 1 | 1 | 14 | 130 | | | Enkel schedel, slecht bewaard (antropomorf) |
| WISM-20_P1_SP14_IND130_637376800768011776.jpeg | Skelet | 1 | 1 | 14 | 130 | | | Enkel schedel, slecht bewaard (antropomorf) |
| WISM-20_P1_SP14_IND130_637376800783674199.jpeg | Skelet | 1 | 1 | 14 | 130 | | | Enkel schedel, slecht bewaard (antropomorf) |
| WISM-20_P1_SP14_IND130_637376800799769484.jpeg | Skelet | 1 | 1 | 14 | 130 | | | Enkel schedel, slecht bewaard (antropomorf) |
| WISM-20_P1_SP14_IND130_637376824486658174.jpeg | Skelet | 1 | 1 | 14 | 130 | | | Antropomorf |
| WISM-20_P1_SP14_IND130_637376824500681339.jpeg | Skelet | 1 | 1 | 14 | 130 | | | Antropomorf |
| WISM-20_P1_SP14_IND130_637376824516705564.jpeg | Skelet | 1 | 1 | 14 | 130 | | | Antropomorf |
| WISM-20_P1_SP14_IND130_637376824532719311.jpeg | Skelet | 1 | 1 | 14 | 130 | | | Antropomorf |
| WISM-20_P1_SP14_IND130_637376824546271111.jpeg | Skelet | 1 | 1 | 14 | 130 | | | Antropomorf |
| WISM-20_P1_SP14_IND130_637376824560307005.jpeg | Skelet | 1 | 1 | 14 | 130 | | | Antropomorf |
| WISM-20_P1_SP14_IND130_637376824574019142.jpeg | Skelet | 1 | 1 | 14 | 130 | | | Antropomorf |
| WISM-20_P1_SP14_IND130_637376824588031297.jpeg | Skelet | 1 | 1 | 14 | 130 | | | Antropomorf |
| WISM-20_P1_SP14_IND130_637376824601042590.jpeg | Skelet | 1 | 1 | 14 | 130 | | | Antropomorf |
| WISM-20_P1_SP14_IND130_637376824614226068.jpeg | Skelet | 1 | 1 | 14 | 130 | | | Antropomorf |
| WISM-20_P1_SP14_IND130_637376830048219057.jpeg | Skelet | 1 | 1 | 14 | 130 | | | Antropomorf |
| WISM-20_P1_SP14_IND130_637376830062716913.jpeg | Skelet | 1 | 1 | 14 | 130 | | | Antropomorf |
| WISM-20_P1_SP14_IND130_637376830076889212.jpeg | Skelet | 1 | 1 | 14 | 130 | | | Antropomorf |
| WISM-20_P1_SP14_IND130_637377532916884315.jpeg | Skelet | 1 | 1 | 14 | 130 | | | |
| WISM-20_P1_SP14_IND130_637377532943935085.jpeg | Skelet | 1 | 1 | 14 | 130 | | | |
| WISM-20_P1_SP14_IND130_637377532961264880.jpeg | Skelet | 1 | 1 | 14 | 130 | | | |
| WISM-20_P1_SP14_IND130_637377533034913348.jpeg | Skelet | 1 | 1 | 14 | 130 | | | |
| WISM-20_P1_SP14_IND130_637377533061504885.jpeg | Skelet | 1 | 1 | 14 | 130 | | | |
| WISM-20_P1_SP14_IND130_637377533075622997.jpeg | Skelet | 1 | 1 | 14 | 130 | | | |

| Bestand | Soort | Put | Vlak | Spoor | Individu | Coupe | Profielnr. | Opmerking |
|---|---|---|---|---|---|---|---|---|
| WISM-20_P1_SP14_IND130_637377533088041325.jpeg | Skelet | 1 | 1 | 14 | 130 | | | |
| WISM-20_P1_SP14_IND130_637377533102358170.jpeg | Skelet | 1 | 1 | 14 | 130 | | | |
| WISM-20_P1_SP14_IND130_637377533115716792.jpeg | Skelet | 1 | 1 | 14 | 130 | | | |
| WISM-20_P1_SP14_IND130_637377533129281362.jpeg | Skelet | 1 | 1 | 14 | 130 | | | |
| WISM-20_P1_SP14_IND130_637377533141780312.jpeg | Skelet | 1 | 1 | 14 | 130 | | | |
| WISM-20_P1_SP140_IND191_637393076874248305.jpeg | Skelet | 1 | 1 | 140 | 191 | | | |
| WISM-20_P1_SP140_IND191_637393076888121856.jpeg | Skelet | 1 | 1 | 140 | 191 | | | |
| WISM-20_P1_SP140_IND191_637393076903149954.jpeg | Skelet | 1 | 1 | 140 | 191 | | | |
| WISM-20_P1_SP17_IND131_637377473163822633.jpeg | Skelet | 1 | 1 | 17 | 131 | | | En S63 (IND132) |
| WISM-20_P1_SP17_IND131_637377473178867043.jpeg | Skelet | 1 | 1 | 17 | 131 | | | En S63 (IND132) |
| WISM-20_P1_SP17_IND131_637377473194103327.jpeg | Skelet | 1 | 1 | 17 | 131 | | | En S63 (IND132) |
| WISM-20_P1_SP17_IND143_637378482444877138.jpeg | Skelet | 1 | 1 | 17 | 143 | | | |
| WISM-20_P1_SP17_IND143_637378482481117589.jpeg | Skelet | 1 | 1 | 17 | 143 | | | |
| WISM-20_P1_SP17_IND143_637378482501853914.jpeg | Skelet | 1 | 1 | 17 | 143 | | | |
| WISM-20_P1_SP21_IND140_637378566865917605.jpeg | Skelet | 1 | 1 | 21 | 140 | | | |
| WISM-20_P1_SP21_IND140_637378566884914557.jpeg | Skelet | 1 | 1 | 21 | 140 | | | |
| WISM-20_P1_SP21_IND140_637378566900940348.jpeg | Skelet | 1 | 1 | 21 | 140 | | | |
| WISM-20_P1_SP21_IND140_637378566915860888.jpeg | Skelet | 1 | 1 | 21 | 140 | | | |
| WISM-20_P1_SP21_IND140_637378566928984659.jpeg | Skelet | 1 | 1 | 21 | 140 | | | |
| WISM-20_P1_SP21_IND140_637378566943876220.jpeg | Skelet | 1 | 1 | 21 | 140 | | | |
| WISM-20_P1_SP21_IND140_637378566960062861.jpeg | Skelet | 1 | 1 | 21 | 140 | | | |
| WISM-20_P1_SP21_IND140_637378566975925946.jpeg | Skelet | 1 | 1 | 21 | 140 | | | |
| WISM-20_P1_SP22_IND141_637378512057042502.jpeg | Skelet | 1 | 1 | 22 | 141 | | | |
| WISM-20_P1_SP22_IND141_637378512075775268.jpeg | Skelet | 1 | 1 | 22 | 141 | | | |
| WISM-20_P1_SP22_IND141_637378512094905151.jpeg | Skelet | 1 | 1 | 22 | 141 | | | |
| WISM-20_P1_SP28_IND102_637363676988593490.jpeg | Skelet | 1 | 1 | 28 | 102 | | | |
| WISM-20_P1_SP28_IND102_637363677002300865.jpeg | Skelet | 1 | 1 | 28 | 102 | | | |
| WISM-20_P1_SP28_IND102_637363677016015861.jpeg | Skelet | 1 | 1 | 28 | 102 | | | |
| WISM-20_P1_SP28_IND102_637363677029249536.jpeg | Skelet | 1 | 1 | 28 | 102 | | | |
| WISM-20_P1_SP28_IND102_637363677041891119.jpeg | Skelet | 1 | 1 | 28 | 102 | | | |
| WISM-20_P1_SP28_IND102_637363677055229406.jpeg | Skelet | 1 | 1 | 28 | 102 | | | |
| WISM-20_P1_SP28_IND102_637363677067631902.jpeg | Skelet | 1 | 1 | 28 | 102 | | | |
| WISM-20_P1_SP28_IND102_637363677080973062.jpeg | Skelet | 1 | 1 | 28 | 102 | | | |
| WISM-20_P1_SP29_IND103_637363710123435125.jpeg | Skelet | 1 | 1 | 29 | 103 | | | |
| WISM-20_P1_SP29_IND103_637363710142985426.jpeg | Skelet | 1 | 1 | 29 | 103 | | | |
| WISM-20_P1_SP29_IND103_637363710158483376.jpeg | Skelet | 1 | 1 | 29 | 103 | | | |
| WISM-20_P1_SP29_IND103_637363710173666691.jpeg | Skelet | 1 | 1 | 29 | 103 | | | |

| Bestand | Soort | Put | Vlak | Spoor | Individu | Coupe | Profielnr. | Opmerking |
|---|---|---|---|---|---|---|---|---|
| WISM-20_P1_SP29_IND103_637363710197548845.jpeg | Skelet | 1 | 1 | 29 | 103 | | | |
| WISM-20_P1_SP29_IND103_637363710212888143.jpeg | Skelet | 1 | 1 | 29 | 103 | | | |
| WISM-20_P1_SP29_IND103_637363710228132656.jpeg | Skelet | 1 | 1 | 29 | 103 | | | |
| WISM-20_P1_SP29_IND103_637363710243153178.jpeg | Skelet | 1 | 1 | 29 | 103 | | | |
| WISM-20_P1_SP29_IND103_637363710259958756.jpeg | Skelet | 1 | 1 | 29 | 103 | | | |
| WISM-20_P1_SP29_IND103_637363710274668642.jpeg | Skelet | 1 | 1 | 29 | 103 | | | |
| WISM-20_P1_SP29_IND103_637363710307038213.jpeg | Skelet | 1 | 1 | 29 | 103 | | | |
| WISM-20_P1_SP29_IND103_637363710322446649.jpeg | Skelet | 1 | 1 | 29 | 103 | | | |
| WISM-20_P1_SP29_IND103_637363710339101279.jpeg | Skelet | 1 | 1 | 29 | 103 | | | |
| WISM-20_P1_SP29_IND103_637363710357127952.jpeg | Skelet | 1 | 1 | 29 | 103 | | | |
| WISM-20_P1_SP29_IND103_637363710382374490.jpeg | Skelet | 1 | 1 | 29 | 103 | | | |
| WISM-20_P1_SP29_IND103_637363710400723565.jpeg | Skelet | 1 | 1 | 29 | 103 | | | |
| WISM-20_P1_SP29_IND103_637363710424463994.jpeg | Skelet | 1 | 1 | 29 | 103 | | | |
| WISM-20_P1_SP29_IND103_637363710452129402.jpeg | Skelet | 1 | 1 | 29 | 103 | | | |
| WISM-20_P1_SP29_IND103_637363710471170291.jpeg | Skelet | 1 | 1 | 29 | 103 | | | |
| WISM-20_P1_SP29_IND103_637363710489041632.jpeg | Skelet | 1 | 1 | 29 | 103 | | | |
| WISM-20_P1_SP30_IND104_637363679503408656.jpeg | Skelet | 1 | 1 | 30 | 104 | | | |
| WISM-20_P1_SP30_IND104_637363679521301225.jpeg | Skelet | 1 | 1 | 30 | 104 | | | |
| WISM-20_P1_SP30_IND104_637363679534484670.jpeg | Skelet | 1 | 1 | 30 | 104 | | | |
| WISM-20_P1_SP30_IND104_637363679547198741.jpeg | Skelet | 1 | 1 | 30 | 104 | | | |
| WISM-20_P1_SP30_IND104_637366258829710493.jpeg | Skelet | 1 | 1 | 30 | 104 | | | Verstoring vanaf bekken naar voeten toe |
| WISM-20_P1_SP30_IND104_637366258845432397.jpeg | Skelet | 1 | 1 | 30 | 104 | | | Verstoring vanaf bekken naar voeten toe |
| WISM-20_P1_SP30_IND104_637366258859241538.jpeg | Skelet | 1 | 1 | 30 | 104 | | | Verstoring vanaf bekken naar voeten toe |
| WISM-20_P1_SP30_IND104_637366258873499060.jpeg | Skelet | 1 | 1 | 30 | 104 | | | Verstoring vanaf bekken naar voeten toe |
| WISM-20_P1_SP30_IND104_637366258887829455.jpeg | Skelet | 1 | 1 | 30 | 104 | | | Verstoring vanaf bekken naar voeten toe |
| WISM-20_P1_SP30_IND104_637366258900710130.jpeg | Skelet | 1 | 1 | 30 | 104 | | | Verstoring vanaf bekken naar voeten toe |
| WISM-20_P1_SP30_IND104_637366258913887693.jpeg | Skelet | 1 | 1 | 30 | 104 | | | Verstoring vanaf bekken naar voeten toe |
| WISM-20_P1_SP30_IND104_637366258927543733.jpeg | Skelet | 1 | 1 | 30 | 104 | | | Verstoring vanaf bekken naar voeten toe |
| WISM-20_P1_SP30_IND104_637366258940840365.jpeg | Skelet | 1 | 1 | 30 | 104 | | | Verstoring vanaf bekken naar voeten toe |
| WISM-20_P1_SP30_IND104_637366258953865563.jpeg | Skelet | 1 | 1 | 30 | 104 | | | Verstoring vanaf bekken naar voeten toe |
| WISM-20_P1_SP30_IND104_637366258966679595.jpeg | Skelet | 1 | 1 | 30 | 104 | | | Verstoring vanaf bekken naar voeten toe |
| WISM-20_P1_SP30_IND104_637366258979925937.jpeg | Skelet | 1 | 1 | 30 | 104 | | | Verstoring vanaf bekken naar voeten toe |
| WISM-20_P1_SP30_IND104_637366258993738798.jpeg | Skelet | 1 | 1 | 30 | 104 | | | Verstoring vanaf bekken naar voeten toe |
| WISM-20_P1_SP30_IND104_637366259007606305.jpeg | Skelet | 1 | 1 | 30 | 104 | | | Verstoring vanaf bekken naar voeten toe |
| WISM-20_P1_SP31_IND105_637365462685020804.jpeg | Skelet | 1 | 2 | 31 | 105 | | | |
| WISM-20_P1_SP31_IND105_637365462705328793.jpeg | Skelet | 1 | 2 | 31 | 105 | | | |
| WISM-20_P1_SP31_IND105_637365462720325364.jpeg | Skelet | 1 | 2 | 31 | 105 | | | |

| Bestand | Soort | Put | Vlak | Spoor | Individu | Coupe | Profielnr. | Opmerking |
|---|---|---|---|---|---|---|---|---|
| WISM-20_P1_SP31_IND105_637365462733759655.jpeg | Skelet | 1 | 2 | 31 | 105 | | | |
| WISM-20_P1_SP31_IND105_637365462748131233.jpeg | Skelet | 1 | 2 | 31 | 105 | | | |
| WISM-20_P1_SP31_IND105_637365462761877673.jpeg | Skelet | 1 | 2 | 31 | 105 | | | |
| WISM-20_P1_SP32_IND106_637363893230139685.jpeg | Skelet | 1 | 1 | 32 | 106 | | | |
| WISM-20_P1_SP32_IND106_637363893245002933.jpeg | Skelet | 1 | 1 | 32 | 106 | | | |
| WISM-20_P1_SP32_IND106_637363893263406406.jpeg | Skelet | 1 | 1 | 32 | 106 | | | |
| WISM-20_P1_SP33_IND107_637365373370985247.jpeg | Skelet | 1 | 1 | 33 | 107 | | | |
| WISM-20_P1_SP33_IND107_637365373385668143.jpeg | Skelet | 1 | 1 | 33 | 107 | | | |
| WISM-20_P1_SP33_IND107_637365373398946622.jpeg | Skelet | 1 | 1 | 33 | 107 | | | |
| WISM-20_P1_SP33_IND107_637365373417536079.jpeg | Skelet | 1 | 1 | 33 | 107 | | | |
| WISM-20_P1_SP33_IND107_637365373430501649.jpeg | Skelet | 1 | 1 | 33 | 107 | | | |
| WISM-20_P1_SP33_IND107_637365373444091824.jpeg | Skelet | 1 | 1 | 33 | 107 | | | |
| WISM-20_P1_SP33_IND107_637365373457370370.jpeg | Skelet | 1 | 1 | 33 | 107 | | | |
| WISM-20_P1_SP33_IND107_637365373471897761.jpeg | Skelet | 1 | 1 | 33 | 107 | | | |
| WISM-20_P1_SP33_IND107_637365373486425562.jpeg | Skelet | 1 | 1 | 33 | 107 | | | |
| WISM-20_P1_SP33_IND107_637365373499547805.jpeg | Skelet | 1 | 1 | 33 | 107 | | | |
| WISM-20_P1_SP33_IND107_637365373513763197.jpeg | Skelet | 1 | 1 | 33 | 107 | | | |
| WISM-20_P1_SP33_IND107_637365373528135046.jpeg | Skelet | 1 | 1 | 33 | 107 | | | |
| WISM-20_P1_SP33_IND107_637365373542506058.jpeg | Skelet | 1 | 1 | 33 | 107 | | | |
| WISM-20_P1_SP34_IND108_637364536773081102.jpeg | Skelet | 1 | 1 | 34 | 108 | | | Koperbeslag met knopjes binnenkant kist (zie detail foto) |
| WISM-20_P1_SP34_IND108_637364536845691210.jpeg | Skelet | 1 | 1 | 34 | 108 | | | Koperbeslag met knopjes binnenkant kist (zie detail foto) |
| WISM-20_P1_SP34_IND108_637364536870881842.jpeg | Skelet | 1 | 1 | 34 | 108 | | | Koperbeslag met knopjes binnenkant kist (zie detail foto) |
| WISM-20_P1_SP34_IND108_637364536884061244.jpeg | Skelet | 1 | 1 | 34 | 108 | | | Koperbeslag met knopjes binnenkant kist (zie detail foto) |
| WISM-20_P1_SP34_IND108_637364536896306987.jpeg | Skelet | 1 | 1 | 34 | 108 | | | Koperbeslag met knopjes binnenkant kist (zie detail foto) |
| WISM-20_P1_SP34_IND108_637364536908799550.jpeg | Skelet | 1 | 1 | 34 | 108 | | | Koperbeslag met knopjes binnenkant kist (zie detail foto) |
| WISM-20_P1_SP34_IND108_637364536922983716.jpeg | Skelet | 1 | 1 | 34 | 108 | | | Koperbeslag met knopjes binnenkant kist (zie detail foto) |
| WISM-20_P1_SP34_IND108_637364536936166455.jpeg | Skelet | 1 | 1 | 34 | 108 | | | Koperbeslag met knopjes binnenkant kist (zie detail foto) |
| WISM-20_P1_SP34_IND108_637364536950885343.jpeg | Skelet | 1 | 1 | 34 | 108 | | | Koperbeslag met knopjes binnenkant kist (zie detail foto) |
| WISM-20_P1_SP34_IND108_637364536965754624.jpeg | Skelet | 1 | 1 | 34 | 108 | | | Koperbeslag met knopjes binnenkant kist (zie detail foto) |
| WISM-20_P1_SP34_IND108_637364536987412199.jpeg | Skelet | 1 | 1 | 34 | 108 | | | Koperbeslag met knopjes binnenkant kist (zie detail foto) |
| WISM-20_P1_SP34_IND108_637364537001585800.jpeg | Skelet | 1 | 1 | 34 | 108 | | | Koperbeslag met knopjes binnenkant kist (zie detail foto) |
| WISM-20_P1_SP34_IND108_637364537016463652.jpeg | Skelet | 1 | 1 | 34 | 108 | | | Koperbeslag met knopjes binnenkant kist (zie detail foto) |
| WISM-20_P1_SP34_IND108_637364537031167452.jpeg | Skelet | 1 | 1 | 34 | 108 | | | Koperbeslag met knopjes binnenkant kist (zie detail foto) |
| WISM-20_P1_SP34_IND108_637364645560135675.jpeg | Skelet | 1 | 2 | 34 | 108 | | | IND 108 |
| WISM-20_P1_SP34_IND108_637364645574349421.jpeg | Skelet | 1 | 2 | 34 | 108 | | | IND 108 |
| WISM-20_P1_SP34_IND108_637364645588565099.jpeg | Skelet | 1 | 2 | 34 | 108 | | | IND 108 |
| WISM-20_P1_SP34_IND108_637364645602936719.jpeg | Skelet | 1 | 2 | 34 | 108 | | | IND 108 |

| Bestand | Soort | Put | Vlak | Spoor | Individu | Coupe | Profielnr. | Opmerking |
|---|---|---|---|---|---|---|---|---|
| WISM-20_P1_SP34_IND108_637364645666671620.jpeg | Skelet | 1 | 2 | 34 | 108 | | | IND 108 |
| WISM-20_P1_SP34_IND108_637364645753838256.jpeg | Skelet | 1 | 2 | 34 | 108 | | | IND 108 |
| WISM-20_P1_SP35_IND109_637377550223142191.jpeg | Skelet | 1 | 1 | 35 | 109 | | | Verstoord door granaattrechter |
| WISM-20_P1_SP35_IND109_637377550237844862.jpeg | Skelet | 1 | 1 | 35 | 109 | | | Verstoord door granaattrechter |
| WISM-20_P1_SP35_IND109_637377550252166895.jpeg | Skelet | 1 | 1 | 35 | 109 | | | Verstoord door granaattrechter |
| WISM-20_P1_SP35_IND109_637377550265884555.jpeg | Skelet | 1 | 1 | 35 | 109 | | | Verstoord door granaattrechter |
| WISM-20_P1_SP35_IND109_637377550279907694.jpeg | Skelet | 1 | 1 | 35 | 109 | | | Verstoord door granaattrechter |
| WISM-20_P1_SP35_IND109_637377550293777633.jpeg | Skelet | 1 | 1 | 35 | 109 | | | Verstoord door granaattrechter |
| WISM-20_P1_SP36_IND136_637387827087325181.jpeg | Skelet | 1 | 1 | 36 | 163 | | | Enkel tanden en morfologie zichtbaar |
| WISM-20_P1_SP36_IND136_637387827101670794.jpeg | Skelet | 1 | 1 | 36 | 163 | | | Enkel tanden en morfologie zichtbaar |
| WISM-20_P1_SP36_IND136_637387827127971017.jpeg | Skelet | 1 | 1 | 36 | 163 | | | Enkel tanden en morfologie zichtbaar |
| WISM-20_P1_SP36_IND136_637387827157511165.jpeg | Skelet | 1 | 1 | 36 | 163 | | | Enkel tanden en morfologie zichtbaar |
| WISM-20_P1_SP36_IND136_637387827185126304.jpeg | Skelet | 1 | 1 | 36 | 163 | | | Enkel tanden en morfologie zichtbaar |
| WISM-20_P1_SP36_IND136_637387827209246853.jpeg | Skelet | 1 | 1 | 36 | 163 | | | Enkel tanden en morfologie zichtbaar |
| WISM-20_P1_SP36_IND136_637387827242472499.jpeg | Skelet | 1 | 1 | 36 | 163 | | | Enkel tanden en morfologie zichtbaar |
| WISM-20_P1_SP36_IND136_637387827255811046.jpeg | Skelet | 1 | 1 | 36 | 163 | | | Enkel tanden en morfologie zichtbaar |
| WISM-20_P1_SP36_IND136_637387827268687071.jpeg | Skelet | 1 | 1 | 36 | 163 | | | Enkel tanden en morfologie zichtbaar |
| WISM-20_P1_SP36_IND136_637387827282342166.jpeg | Skelet | 1 | 1 | 36 | 163 | | | Enkel tanden en morfologie zichtbaar |
| WISM-20_P1_SP36_IND136_637387827296203729.jpeg | Skelet | 1 | 1 | 36 | 163 | | | Enkel tanden en morfologie zichtbaar |
| WISM-20_P1_SP36_IND136_637387827308917294.jpeg | Skelet | 1 | 1 | 36 | 163 | | | Enkel tanden en morfologie zichtbaar |
| WISM-20_P1_SP36_IND136_637387827322468225.jpeg | Skelet | 1 | 1 | 36 | 163 | | | Enkel tanden en morfologie zichtbaar |
| WISM-20_P1_SP36_IND163_637387832839359278.jpeg | Skelet | 1 | 1 | 36 | 163 | | | Ingekrast |
| WISM-20_P1_SP36_IND163_637387832852549756.jpeg | Skelet | 1 | 1 | 36 | 163 | | | Ingekrast |
| WISM-20_P1_SP36_IND163_637387832866109149.jpeg | Skelet | 1 | 1 | 36 | 163 | | | Ingekrast |
| WISM-20_P1_SP36_IND163_637387832879446703.jpeg | Skelet | 1 | 1 | 36 | 163 | | | Ingekrast |
| WISM-20_P1_SP36_IND163_637387832893162607.jpeg | Skelet | 1 | 1 | 36 | 163 | | | Ingekrast |
| WISM-20_P1_SP36_IND163_637387832906353625.jpeg | Skelet | 1 | 1 | 36 | 163 | | | Ingekrast |
| WISM-20_P1_SP36_IND163_637387832919561359.jpeg | Skelet | 1 | 1 | 36 | 163 | | | Ingekrast |
| WISM-20_P1_SP36_IND163_637387925638882635.jpeg | Skelet | 1 | 1 | 36 | 163 | | | |
| WISM-20_P1_SP36_IND163_637387925662641342.jpeg | Skelet | 1 | 1 | 36 | 163 | | | |
| WISM-20_P1_SP36_IND163_637387925675597283.jpeg | Skelet | 1 | 1 | 36 | 163 | | | |
| WISM-20_P1_SP36_IND163_637387925688712018.jpeg | Skelet | 1 | 1 | 36 | 163 | | | |
| WISM-20_P1_SP36_IND163_637387925709207219.jpeg | Skelet | 1 | 1 | 36 | 163 | | | |
| WISM-20_P1_SP36_IND163_637387925723545700.jpeg | Skelet | 1 | 1 | 36 | 163 | | | |
| WISM-20_P1_SP36_IND163_637387925748748730.jpeg | Skelet | 1 | 1 | 36 | 163 | | | |
| WISM-20_P1_SP36_IND163_637387925761582184.jpeg | Skelet | 1 | 1 | 36 | 163 | | | |
| WISM-20_P1_SP36_IND163_637387925774335741.jpeg | Skelet | 1 | 1 | 36 | 163 | | | |

| Bestand | Soort | Put | Vlak | Spoor | Individu | Coupe | Profielnr. | Opmerking |
|---|---|---|---|---|---|---|---|---|
| WISM-20_P1_SP36_IND163_637387925787523520.jpeg | Skelet | 1 | 1 | 36 | 163 | | | |
| WISM-20_P1_SP36_IND163_637387925801238125.jpeg | Skelet | 1 | 1 | 36 | 163 | | | |
| WISM-20_P1_SP36_IND163_637387925814200994.jpeg | Skelet | 1 | 1 | 36 | 163 | | | |
| WISM-20_P1_SP38_IND164_637388058972901559.jpeg | Skelet | 1 | 1 | 38 | 164 | | | |
| WISM-20_P1_SP38_IND164_637388058989783051.jpeg | Skelet | 1 | 1 | 38 | 164 | | | |
| WISM-20_P1_SP38_IND164_637388059006648764.jpeg | Skelet | 1 | 1 | 38 | 164 | | | |
| WISM-20_P1_SP38_IND164_637388059023670396.jpeg | Skelet | 1 | 1 | 38 | 164 | | | |
| WISM-20_P1_SP40_IND111_637364688348667571.jpeg | Skelet | 1 | 1 | 40 | 111 | | | |
| WISM-20_P1_SP40_IND111_637364688362569389.jpeg | Skelet | 1 | 1 | 40 | 111 | | | |
| WISM-20_P1_SP40_IND111_637364688375222693.jpeg | Skelet | 1 | 1 | 40 | 111 | | | |
| WISM-20_P1_SP40_IND111_637364688388656995.jpeg | Skelet | 1 | 1 | 40 | 111 | | | |
| WISM-20_P1_SP40_IND111_637364688401935065.jpeg | Skelet | 1 | 1 | 40 | 111 | | | |
| WISM-20_P1_SP40_IND111_637364688414432156.jpeg | Skelet | 1 | 1 | 40 | 111 | | | |
| WISM-20_P1_SP41_IND112_637365363134803918.jpeg | Skelet | 1 | 1 | 41 | 112 | | | Mogelijk deel van IND 108/ Gevlochten haar? met koperen speld |
| WISM-20_P1_SP41_IND112_637365363154530686.jpeg | Skelet | 1 | 1 | 41 | 112 | | | Mogelijk deel van IND 108/ Gevlochten haar? met koperen speld |
| WISM-20_P1_SP41_IND112_637365363168190441.jpeg | Skelet | 1 | 1 | 41 | 112 | | | Mogelijk deel van IND 108/ Gevlochten haar? met koperen speld |
| WISM-20_P1_SP41_IND112_637365363181541634.jpeg | Skelet | 1 | 1 | 41 | 112 | | | Mogelijk deel van IND 108/ Gevlochten haar? met koperen speld |
| WISM-20_P1_SP41_IND112_637365363194442457.jpeg | Skelet | 1 | 1 | 41 | 112 | | | Mogelijk deel van IND 108/ Gevlochten haar? met koperen speld |
| WISM-20_P1_SP41_IND112_637365363207305578.jpeg | Skelet | 1 | 1 | 41 | 112 | | | Mogelijk deel van IND 108/ Gevlochten haar? met koperen speld |
| WISM-20_P1_SP41_IND112_637365363221488286.jpeg | Skelet | 1 | 1 | 41 | 112 | | | Mogelijk deel van IND 108/ Gevlochten haar? met koperen speld |
| WISM-20_P1_SP41_IND112_637365363235925721.jpeg | Skelet | 1 | 1 | 41 | 112 | | | Mogelijk deel van IND 108/ Gevlochten haar? met koperen speld |
| WISM-20_P1_SP41_IND112_637365363249724464.jpeg | Skelet | 1 | 1 | 41 | 112 | | | Mogelijk deel van IND 108/ Gevlochten haar? met koperen speld |
| WISM-20_P1_SP41_IND112_637365363265604513.jpeg | Skelet | 1 | 1 | 41 | 112 | | | Mogelijk deel van IND 108/ Gevlochten haar? met koperen speld |
| WISM-20_P1_SP41_IND112_637365363280201590.jpeg | Skelet | 1 | 1 | 41 | 112 | | | Mogelijk deel van IND 108/ Gevlochten haar? met koperen speld |
| WISM-20_P1_SP42_IND113_637375085332250693.jpeg | Skelet | 1 | 1 | 42 | 113 | | | Zonder deksel |
| WISM-20_P1_SP42_IND113_637375085345970328.jpeg | Skelet | 1 | 1 | 42 | 113 | | | Zonder deksel |
| WISM-20_P1_SP42_IND113_637375085359589407.jpeg | Skelet | 1 | 1 | 42 | 113 | | | Zonder deksel |
| WISM-20_P1_SP42_IND113_637375085372042234.jpeg | Skelet | 1 | 1 | 42 | 113 | | | Zonder deksel |

| Bestand | Soort | Put | Vlak | Spoor | Individu | Coupe | Profielnr. | Opmerking |
|---|---|---|---|---|---|---|---|---|
| WISM-20_P1_SP42_IND113_637375085388072961.jpeg | Skelet | 1 | 1 | 42 | 113 | | | Zonder deksel |
| WISM-20_P1_SP42_IND113_637375085401411818.jpeg | Skelet | 1 | 1 | 42 | 113 | | | Zonder deksel |
| WISM-20_P1_SP42_IND113_637375085414112927.jpeg | Skelet | 1 | 1 | 42 | 113 | | | Zonder deksel |
| WISM-20_P1_SP43_IND114_637375114283692946.jpeg | Skelet | 1 | 1 | 43 | 114 | | | Bovenlichaam bewaard |
| WISM-20_P1_SP43_IND114_637375114297393879.jpeg | Skelet | 1 | 1 | 43 | 114 | | | Bovenlichaam bewaard |
| WISM-20_P1_SP43_IND114_637375114312416627.jpeg | Skelet | 1 | 1 | 43 | 114 | | | Bovenlichaam bewaard |
| WISM-20_P1_SP43_IND114_637375114326433743.jpeg | Skelet | 1 | 1 | 43 | 114 | | | Bovenlichaam bewaard |
| WISM-20_P1_SP43_IND114_637375114339452758.jpeg | Skelet | 1 | 1 | 43 | 114 | | | Bovenlichaam bewaard |
| WISM-20_P1_SP43_IND114_637375114353173979.jpeg | Skelet | 1 | 1 | 43 | 114 | | | Bovenlichaam bewaard |
| WISM-20_P1_SP43_IND114_637375114366665106.jpeg | Skelet | 1 | 1 | 43 | 114 | | | Bovenlichaam bewaard |
| WISM-20_P1_SP43_IND114_637375114379917526.jpeg | Skelet | 1 | 1 | 43 | 114 | | | Bovenlichaam bewaard |
| WISM-20_P1_SP43_IND114_637375114393420132.jpeg | Skelet | 1 | 1 | 43 | 114 | | | Bovenlichaam bewaard |
| WISM-20_P1_SP43_IND114_637375114407443924.jpeg | Skelet | 1 | 1 | 43 | 114 | | | Bovenlichaam bewaard |
| WISM-20_P1_SP43_IND114_637375114421172886.jpeg | Skelet | 1 | 1 | 43 | 114 | | | Bovenlichaam bewaard |
| WISM-20_P1_SP44_IND115_637366281838751911.jpeg | Skelet | 1 | 1 | 44 | 115 | | | Onderbenen verstoord door S43 |
| WISM-20_P1_SP44_IND115_637366281854476714.jpeg | Skelet | 1 | 1 | 44 | 115 | | | Onderbenen verstoord door S43 |
| WISM-20_P1_SP44_IND115_637366281890520551.jpeg | Skelet | 1 | 1 | 44 | 115 | | | Onderbenen verstoord door S43 |
| WISM-20_P1_SP44_IND115_637366281905553336.jpeg | Skelet | 1 | 1 | 44 | 115 | | | Onderbenen verstoord door S43 |
| WISM-20_P1_SP44_IND115_637366281919783416.jpeg | Skelet | 1 | 1 | 44 | 115 | | | Onderbenen verstoord door S43 |
| WISM-20_P1_SP44_IND115_637366281933589665.jpeg | Skelet | 1 | 1 | 44 | 115 | | | Onderbenen verstoord door S43 |
| WISM-20_P1_SP44_IND115_637366281948775091.jpeg | Skelet | 1 | 1 | 44 | 115 | | | Onderbenen verstoord door S43 |
| WISM-20_P1_SP44_IND115_637366281963073482.jpeg | Skelet | 1 | 1 | 44 | 115 | | | Onderbenen verstoord door S43 |
| WISM-20_P1_SP44_IND115_637366281977575076.jpeg | Skelet | 1 | 1 | 44 | 115 | | | Onderbenen verstoord door S43 |
| WISM-20_P1_SP44_IND115_637366281991606793.jpeg | Skelet | 1 | 1 | 44 | 115 | | | Onderbenen verstoord door S43 |
| WISM-20_P1_SP44_IND115_637366282005154755.jpeg | Skelet | 1 | 1 | 44 | 115 | | | Onderbenen verstoord door S43 |
| WISM-20_P1_SP44_IND115_637366282019179094.jpeg | Skelet | 1 | 1 | 44 | 115 | | | Onderbenen verstoord door S43 |
| WISM-20_P1_SP44_IND115_637366282034009296.jpeg | Skelet | 1 | 1 | 44 | 115 | | | Onderbenen verstoord door S43 |
| WISM-20_P1_SP44_IND115_637366282048573176.jpeg | Skelet | 1 | 1 | 44 | 115 | | | Onderbenen verstoord door S43 |
| WISM-20_P1_SP44_IND115_637366282063497516.jpeg | Skelet | 1 | 1 | 44 | 115 | | | Onderbenen verstoord door S43 |
| WISM-20_P1_SP44_IND115_637366282078150048.jpeg | Skelet | 1 | 1 | 44 | 115 | | | Onderbenen verstoord door S43 |
| WISM-20_P1_SP44_IND115_637366282093182588.jpeg | Skelet | 1 | 1 | 44 | 115 | | | Onderbenen verstoord door S43 |
| WISM-20_P1_SP44_IND115_637366282107905062.jpeg | Skelet | 1 | 1 | 44 | 115 | | | Onderbenen verstoord door S43 |
| WISM-20_P1_SP44_IND115_637366282122090142.jpeg | Skelet | 1 | 1 | 44 | 115 | | | Onderbenen verstoord door S43 |
| WISM-20_P1_SP44_IND115_637366282141805219.jpeg | Skelet | 1 | 1 | 44 | 115 | | | Onderbenen verstoord door S43 |
| WISM-20_P1_SP44_IND115_637366282156900275.jpeg | Skelet | 1 | 1 | 44 | 115 | | | Onderbenen verstoord door S43 |
| WISM-20_P1_SP44_IND115_637366282172052644.jpeg | Skelet | 1 | 1 | 44 | 115 | | | Onderbenen verstoord door S43 |
| WISM-20_P1_SP45_IND116_637375979190491393.jpeg | Skelet | 1 | 1 | 45 | 116 | | | Hoofd verstoord |

| Bestand | Soort | Put | Vlak | Spoor | Individu | Coupe | Profielnr. | Opmerking |
|---|---|---|---|---|---|---|---|---|
| WISM-20_P1_SP45_IND116_637375979205578994.jpeg | Skelet | 1 | 1 | 45 | 116 | | | Hoofd verstoord |
| WISM-20_P1_SP45_IND116_637375979220527422.jpeg | Skelet | 1 | 1 | 45 | 116 | | | Hoofd verstoord |
| WISM-20_P1_SP45_IND116_637375979242160502.jpeg | Skelet | 1 | 1 | 45 | 116 | | | Hoofd verstoord |
| WISM-20_P1_SP45_IND116_637375979270435300.jpeg | Skelet | 1 | 1 | 45 | 116 | | | Hoofd verstoord |
| WISM-20_P1_SP45_IND116_637375979288293595.jpeg | Skelet | 1 | 1 | 45 | 116 | | | Hoofd verstoord |
| WISM-20_P1_SP45_IND116_637375979302782650.jpeg | Skelet | 1 | 1 | 45 | 116 | | | Hoofd verstoord |
| WISM-20_P1_SP45_IND116_637375979317525836.jpeg | Skelet | 1 | 1 | 45 | 116 | | | Hoofd verstoord |
| WISM-20_P1_SP45_IND116_637375979332561576.jpeg | Skelet | 1 | 1 | 45 | 116 | | | Hoofd verstoord |
| WISM-20_P1_SP45_IND116_637375979347446922.jpeg | Skelet | 1 | 1 | 45 | 116 | | | Hoofd verstoord |
| WISM-20_P1_SP45_IND116_637375979362265523.jpeg | Skelet | 1 | 1 | 45 | 116 | | | Hoofd verstoord |
| WISM-20_P1_SP45_IND116_637375979377162192.jpeg | Skelet | 1 | 1 | 45 | 116 | | | Hoofd verstoord |
| WISM-20_P1_SP45_IND116_637375979391893707.jpeg | Skelet | 1 | 1 | 45 | 116 | | | Hoofd verstoord |
| WISM-20_P1_SP45_IND116_637375979405921751.jpeg | Skelet | 1 | 1 | 45 | 116 | | | Hoofd verstoord |
| WISM-20_P1_SP46_IND117_637376769040021210.jpeg | Skelet | 1 | 1 | 46 | 117 | | | Geen schedel aanwezig |
| WISM-20_P1_SP46_IND117_637376769054355419.jpeg | Skelet | 1 | 1 | 46 | 117 | | | Geen schedel aanwezig |
| WISM-20_P1_SP46_IND117_637376769068543554.jpeg | Skelet | 1 | 1 | 46 | 117 | | | Geen schedel aanwezig |
| WISM-20_P1_SP46_IND117_637376769082101165.jpeg | Skelet | 1 | 1 | 46 | 117 | | | Geen schedel aanwezig |
| WISM-20_P1_SP46_IND117_637376769096275763.jpeg | Skelet | 1 | 1 | 46 | 117 | | | Geen schedel aanwezig |
| WISM-20_P1_SP46_IND117_637376769110302217.jpeg | Skelet | 1 | 1 | 46 | 117 | | | Geen schedel aanwezig |
| WISM-20_P1_SP46_IND117_637376769124325436.jpeg | Skelet | 1 | 1 | 46 | 117 | | | Geen schedel aanwezig |
| WISM-20_P1_SP46_IND117_637376769137659840.jpeg | Skelet | 1 | 1 | 46 | 117 | | | Geen schedel aanwezig |
| WISM-20_P1_SP46_IND117_637376769151013327.jpeg | Skelet | 1 | 1 | 46 | 117 | | | Geen schedel aanwezig |
| WISM-20_P1_SP46_IND117_637376769165786471.jpeg | Skelet | 1 | 1 | 46 | 117 | | | Geen schedel aanwezig |
| WISM-20_P1_SP46_IND117_637376769179209879.jpeg | Skelet | 1 | 1 | 46 | 117 | | | Geen schedel aanwezig |
| WISM-20_P1_SP46_IND117_637376769192410079.jpeg | Skelet | 1 | 1 | 46 | 117 | | | Geen schedel aanwezig |
| WISM-20_P1_SP46_IND117_637376769206762092.jpeg | Skelet | 1 | 1 | 46 | 117 | | | Geen schedel aanwezig |
| WISM-20_P1_SP46_IND117_637376769222034401.jpeg | Skelet | 1 | 1 | 46 | 117 | | | Geen schedel aanwezig |
| WISM-20_P1_SP47_IND177_637388955402374404.jpeg | Skelet | 1 | 3 | 47 | 177 | | | |
| WISM-20_P1_SP47_IND177_637388955419958989.jpeg | Skelet | 1 | 3 | 47 | 177 | | | |
| WISM-20_P1_SP47_IND177_637388955436146779.jpeg | Skelet | 1 | 3 | 47 | 177 | | | |
| WISM-20_P1_SP47_IND177_637388955450321375.jpeg | Skelet | 1 | 3 | 47 | 177 | | | |
| WISM-20_P1_SP47_IND177_637388955463274661.jpeg | Skelet | 1 | 3 | 47 | 177 | | | |
| WISM-20_P1_SP47_IND177_637388955477621257.jpeg | Skelet | 1 | 3 | 47 | 177 | | | |
| WISM-20_P1_SP47_IND177_637388955490522252.jpeg | Skelet | 1 | 3 | 47 | 177 | | | |
| WISM-20_P1_SP47_IND177_637388955503555022.jpeg | Skelet | 1 | 3 | 47 | 177 | | | |
| WISM-20_P1_SP47_IND177_637388955517536169.jpeg | Skelet | 1 | 3 | 47 | 177 | | | |
| WISM-20_P1_SP47_IND177_637388955530978055.jpeg | Skelet | 1 | 3 | 47 | 177 | | | |

| Bestand | Soort | Put | Vlak | Spoor | Individu | Coupe | Profielnr. | Opmerking |
|---|---|---|---|---|---|---|---|---|
| WISM-20_P1_SP47_IND177_637388955545321611.jpeg | Skelet | 1 | 3 | 47 | 177 | | | |
| WISM-20_P1_SP47_IND177_637388955560033549.jpeg | Skelet | 1 | 3 | 47 | 177 | | | |
| WISM-20_P1_SP47_IND177_637388955574952489.jpeg | Skelet | 1 | 3 | 47 | 177 | | | |
| WISM-20_P1_SP47_IND177_637388955589906747.jpeg | Skelet | 1 | 3 | 47 | 177 | | | |
| WISM-20_P1_SP47_IND177_637388955607579787.jpeg | Skelet | 1 | 3 | 47 | 177 | | | |
| WISM-20_P1_SP47_IND177_637388955622515415.jpeg | Skelet | 1 | 3 | 47 | 177 | | | |
| WISM-20_P1_SP47_IND177_637388955641144187.jpeg | Skelet | 1 | 3 | 47 | 177 | | | |
| WISM-20_P1_SP47_IND177_637388955655476260.jpeg | Skelet | 1 | 3 | 47 | 177 | | | |
| WISM-20_P1_SP47_IND177_637388955669875626.jpeg | Skelet | 1 | 3 | 47 | 177 | | | |
| WISM-20_P1_SP47_IND177_637388955683220531.jpeg | Skelet | 1 | 3 | 47 | 177 | | | |
| WISM-20_P1_SP47_IND177_637389809043469882.jpeg | Skelet | 1 | 4 | 47 | 177 | | | |
| WISM-20_P1_SP47_IND177_637389809058333649.jpeg | Skelet | 1 | 4 | 47 | 177 | | | |
| WISM-20_P1_SP47_IND177_637389809074838354.jpeg | Skelet | 1 | 4 | 47 | 177 | | | |
| WISM-20_P1_SP47_IND177_637389809090725767.jpeg | Skelet | 1 | 4 | 47 | 177 | | | |
| WISM-20_P1_SP47_IND177_637389809107502258.jpeg | Skelet | 1 | 4 | 47 | 177 | | | |
| WISM-20_P1_SP47_IND177_637389809124283371.jpeg | Skelet | 1 | 4 | 47 | 177 | | | |
| WISM-20_P1_SP47_IND177_637389809141777438.jpeg | Skelet | 1 | 4 | 47 | 177 | | | |
| WISM-20_P1_SP47_IND177_637389809157808204.jpeg | Skelet | 1 | 4 | 47 | 177 | | | |
| WISM-20_P1_SP47_IND177_637389809174991383.jpeg | Skelet | 1 | 4 | 47 | 177 | | | |
| WISM-20_P1_SP47_IND177_637389809191561338.jpeg | Skelet | 1 | 4 | 47 | 177 | | | |
| WISM-20_P1_SP47_IND177_637389809208214998.jpeg | Skelet | 1 | 4 | 47 | 177 | | | |
| WISM-20_P1_SP47_IND177_637389809222777278.jpeg | Skelet | 1 | 4 | 47 | 177 | | | |
| WISM-20_P1_SP47_IND177_637389809239441768.jpeg | Skelet | 1 | 4 | 47 | 177 | | | |
| WISM-20_P1_SP47_IND177_637389809257324433.jpeg | Skelet | 1 | 4 | 47 | 177 | | | |
| WISM-20_P1_SP47_IND177_637389809274899140.jpeg | Skelet | 1 | 4 | 47 | 177 | | | |
| WISM-20_P1_SP47_IND177_637389813534234580.jpeg | Skelet | 1 | 4 | 47 | 177 | | | |
| WISM-20_P1_SP47_IND177_637389813548731928.jpeg | Skelet | 1 | 4 | 47 | 177 | | | |
| WISM-20_P1_SP47_IND177_637389813563298049.jpeg | Skelet | 1 | 4 | 47 | 177 | | | |
| WISM-20_P1_SP47_IND177_637389813577806954.jpeg | Skelet | 1 | 4 | 47 | 177 | | | |
| WISM-20_P1_SP47_IND177_637389813592148902.jpeg | Skelet | 1 | 4 | 47 | 177 | | | |
| WISM-20_P1_SP48_IND167_637388760879024028.jpeg | Skelet | 1 | 0 | 48 | 167 | | | Antropomorf |
| WISM-20_P1_SP48_IND167_637388760894227734.jpeg | Skelet | 1 | 0 | 48 | 167 | | | Antropomorf |
| WISM-20_P1_SP48_IND167_637388760909797407.jpeg | Skelet | 1 | 0 | 48 | 167 | | | Antropomorf |
| WISM-20_P1_SP48_IND167_637388771272608640.jpeg | Skelet | 1 | 1 | 48 | 167 | | | |
| WISM-20_P1_SP48_IND167_637388771286012372.jpeg | Skelet | 1 | 1 | 48 | 167 | | | |
| WISM-20_P1_SP49_IND181_637389762047295337.jpeg | Skelet | 1 | 4 | 49 | 181 | | | |
| WISM-20_P1_SP49_IND181_637389762096560951.jpeg | Skelet | 1 | 4 | 49 | 181 | | | |

| Bestand | Soort | Put | Vlak | Spoor | Individu | Coupe | Profielnr. | Opmerking |
|---|---|---|---|---|---|---|---|---|
| WISM-20_P1_SP50_IND118_637375072679468109.jpeg | Skelet | 1 | 1 | 50 | 118 | | | Skelet zonder kistdeksel met ketting in handen |
| WISM-20_P1_SP50_IND118_637375072708549486.jpeg | Skelet | 1 | 1 | 50 | 118 | | | Skelet zonder kistdeksel met ketting in handen |
| WISM-20_P1_SP50_IND118_637375072721249398.jpeg | Skelet | 1 | 1 | 50 | 118 | | | Skelet zonder kistdeksel met ketting in handen |
| WISM-20_P1_SP50_IND118_637375072735013970.jpeg | Skelet | 1 | 1 | 50 | 118 | | | Skelet zonder kistdeksel met ketting in handen |
| WISM-20_P1_SP50_IND118_637375072748704902.jpeg | Skelet | 1 | 1 | 50 | 118 | | | Skelet zonder kistdeksel met ketting in handen |
| WISM-20_P1_SP50_IND118_637375072761182914.jpeg | Skelet | 1 | 1 | 50 | 118 | | | Skelet zonder kistdeksel met ketting in handen |
| WISM-20_P1_SP50_IND118_637375072773904291.jpeg | Skelet | 1 | 1 | 50 | 118 | | | Skelet zonder kistdeksel met ketting in handen |
| WISM-20_P1_SP50_IND118_637375072786957433.jpeg | Skelet | 1 | 1 | 50 | 118 | | | Skelet zonder kistdeksel met ketting in handen |
| WISM-20_P1_SP50_IND118_637375072800973391.jpeg | Skelet | 1 | 1 | 50 | 118 | | | Skelet zonder kistdeksel met ketting in handen |
| WISM-20_P1_SP50_IND118_637375072814629238.jpeg | Skelet | 1 | 1 | 50 | 118 | | | Skelet zonder kistdeksel met ketting in handen |
| WISM-20_P1_SP50_IND118_637375072828043955.jpeg | Skelet | 1 | 1 | 50 | 118 | | | Skelet zonder kistdeksel met ketting in handen |
| WISM-20_P1_SP50_IND118_637375072841412724.jpeg | Skelet | 1 | 1 | 50 | 118 | | | Skelet zonder kistdeksel met ketting in handen |
| WISM-20_P1_SP50_IND118_637375072853638369.jpeg | Skelet | 1 | 1 | 50 | 118 | | | Skelet zonder kistdeksel met ketting in handen |
| WISM-20_P1_SP50_IND118_637375072865980897.jpeg | Skelet | 1 | 1 | 50 | 118 | | | Skelet zonder kistdeksel met ketting in handen |
| WISM-20_P1_SP50_IND118_637375072879466690.jpeg | Skelet | 1 | 1 | 50 | 118 | | | Skelet zonder kistdeksel met ketting in handen |
| WISM-20_P1_SP51_IND119_637366237377167028.jpeg | Skelet | 1 | 1 | 51 | 119 | | | Gelegen boven IND 106 |
| WISM-20_P1_SP51_IND119_637366237399058574.jpeg | Skelet | 1 | 1 | 51 | 119 | | | Gelegen boven IND 106 |
| WISM-20_P1_SP51_IND119_637366237415929376.jpeg | Skelet | 1 | 1 | 51 | 119 | | | Gelegen boven IND 106 |
| WISM-20_P1_SP51_IND119_637366237431113454.jpeg | Skelet | 1 | 1 | 51 | 119 | | | Gelegen boven IND 106 |
| WISM-20_P1_SP51_IND119_637366237444920685.jpeg | Skelet | 1 | 1 | 51 | 119 | | | Gelegen boven IND 106 |
| WISM-20_P1_SP51_IND119_637366237460531387.jpeg | Skelet | 1 | 1 | 51 | 119 | | | Gelegen boven IND 106 |
| WISM-20_P1_SP51_IND119_637366237480773179.jpeg | Skelet | 1 | 1 | 51 | 119 | | | Gelegen boven IND 106 |
| WISM-20_P1_SP51_IND119_637366237494952390.jpeg | Skelet | 1 | 1 | 51 | 119 | | | Gelegen boven IND 106 |
| WISM-20_P1_SP52_IND120_637375039085105582.jpeg | Skelet | 1 | 1 | 52 | 120 | | | Nog met metaalknoppen kist en hout aan hoofd |
| WISM-20_P1_SP52_IND120_637375039098127095.jpeg | Skelet | 1 | 1 | 52 | 120 | | | Nog met metaalknoppen kist en hout aan hoofd |
| WISM-20_P1_SP52_IND120_637375039112161417.jpeg | Skelet | 1 | 1 | 52 | 120 | | | Nog met metaalknoppen kist en hout aan hoofd |
| WISM-20_P1_SP52_IND120_637375039125639930.jpeg | Skelet | 1 | 1 | 52 | 120 | | | Nog met metaalknoppen kist en hout aan hoofd |
| WISM-20_P1_SP52_IND120_637375039138962310.jpeg | Skelet | 1 | 1 | 52 | 120 | | | Nog met metaalknoppen kist en hout aan hoofd |
| WISM-20_P1_SP52_IND120_637375039152545443.jpeg | Skelet | 1 | 1 | 52 | 120 | | | Nog met metaalknoppen kist en hout aan hoofd |
| WISM-20_P1_SP52_IND120_637375039166220880.jpeg | Skelet | 1 | 1 | 52 | 120 | | | Nog met metaalknoppen kist en hout aan hoofd |
| WISM-20_P1_SP52_IND120_637375039180625990.jpeg | Skelet | 1 | 1 | 52 | 120 | | | Nog met metaalknoppen kist en hout aan hoofd |
| WISM-20_P1_SP52_IND120_637375039192971826.jpeg | Skelet | 1 | 1 | 52 | 120 | | | Nog met metaalknoppen kist en hout aan hoofd |
| WISM-20_P1_SP52_IND120_637375039205889787.jpeg | Skelet | 1 | 1 | 52 | 120 | | | Nog met metaalknoppen kist en hout aan hoofd |
| WISM-20_P1_SP52_IND120_637375039218946025.jpeg | Skelet | 1 | 1 | 52 | 120 | | | Nog met metaalknoppen kist en hout aan hoofd |
| WISM-20_P1_SP52_IND120_637375039233026356.jpeg | Skelet | 1 | 1 | 52 | 120 | | | Nog met metaalknoppen kist en hout aan hoofd |
| WISM-20_P1_SP52_IND120_637375039246362223.jpeg | Skelet | 1 | 1 | 52 | 120 | | | Nog met metaalknoppen kist en hout aan hoofd |
| WISM-20_P1_SP52_IND120_637375039260470529.jpeg | Skelet | 1 | 1 | 52 | 120 | | | Nog met metaalknoppen kist en hout aan hoofd |

| Bestand | Soort | Put | Vlak | Spoor | Individu | Coupe | Profielnr. | Opmerking |
|---|---|---|---|---|---|---|---|---|
| WISM-20_P1_SP52_IND120_637375039274177924.jpeg | Skelet | 1 | 1 | 52 | 120 | | | Nog met metaalknoppen kist en hout aan hoofd |
| WISM-20_P1_SP52_IND120_637375039288426486.jpeg | Skelet | 1 | 1 | 52 | 120 | | | Nog met metaalknoppen kist en hout aan hoofd |
| WISM-20_P1_SP52_IND120_637375061968463866.jpeg | Skelet | 1 | 1 | 52 | 120 | | | |
| WISM-20_P1_SP52_IND120_637375061981797320.jpeg | Skelet | 1 | 1 | 52 | 120 | | | |
| WISM-20_P1_SP52_IND120_637375061994236109.jpeg | Skelet | 1 | 1 | 52 | 120 | | | |
| WISM-20_P1_SP52_IND120_637375062007887512.jpeg | Skelet | 1 | 1 | 52 | 120 | | | |
| WISM-20_P1_SP52_IND120_637375062021066812.jpeg | Skelet | 1 | 1 | 52 | 120 | | | |
| WISM-20_P1_SP52_IND120_637375062033946350.jpeg | Skelet | 1 | 1 | 52 | 120 | | | |
| WISM-20_P1_SP52_IND120_637375062047814103.jpeg | Skelet | 1 | 1 | 52 | 120 | | | |
| WISM-20_P1_SP52_IND120_637375062061843740.jpeg | Skelet | 1 | 1 | 52 | 120 | | | |
| WISM-20_P1_SP52_IND120_637375062074721005.jpeg | Skelet | 1 | 1 | 52 | 120 | | | |
| WISM-20_P1_SP52_IND120_637375062087587698.jpeg | Skelet | 1 | 1 | 52 | 120 | | | |
| WISM-20_P1_SP52_IND120_637375062100468381.jpeg | Skelet | 1 | 1 | 52 | 120 | | | |
| WISM-20_P1_SP52_IND120_637375062113521164.jpeg | Skelet | 1 | 1 | 52 | 120 | | | |
| WISM-20_P1_SP52_IND120_637375062126174282.jpeg | Skelet | 1 | 1 | 52 | 120 | | | |
| WISM-20_P1_SP52_IND120_637375062139576804.jpeg | Skelet | 1 | 1 | 52 | 120 | | | |
| WISM-20_P1_SP52_IND120_637375062152066214.jpeg | Skelet | 1 | 1 | 52 | 120 | | | |
| WISM-20_P1_SP52_IND120_637375062164845584.jpeg | Skelet | 1 | 1 | 52 | 120 | | | |
| WISM-20_P1_SP52_IND120_637375062178595834.jpeg | Skelet | 1 | 1 | 52 | 120 | | | |
| WISM-20_P1_SP52_IND120_637375062191168264.jpeg | Skelet | 1 | 1 | 52 | 120 | | | |
| WISM-20_P1_SP52_IND120_637375062203990651.jpeg | Skelet | 1 | 1 | 52 | 120 | | | |
| WISM-20_P1_SP54_IND125_637377560787163004.jpeg | Skelet | 1 | 1 | 54 | 125 | | | |
| WISM-20_P1_SP54_IND125_637377560801353687.jpeg | Skelet | 1 | 1 | 54 | 125 | | | |
| WISM-20_P1_SP54_IND125_637377560815671392.jpeg | Skelet | 1 | 1 | 54 | 125 | | | |
| WISM-20_P1_SP54_IND125_637377560829701074.jpeg | Skelet | 1 | 1 | 54 | 125 | | | |
| WISM-20_P1_SP54_IND125_637377560842724374.jpeg | Skelet | 1 | 1 | 54 | 125 | | | |
| WISM-20_P1_SP54_IND125_637377560855680420.jpeg | Skelet | 1 | 1 | 54 | 125 | | | |
| WISM-20_P1_SP54_IND125_637377560868539381.jpeg | Skelet | 1 | 1 | 54 | 125 | | | |
| WISM-20_P1_SP54_IND125_637377560882311765.jpeg | Skelet | 1 | 1 | 54 | 125 | | | |
| WISM-20_P1_SP54_IND125_637377560895648650.jpeg | Skelet | 1 | 1 | 54 | 125 | | | |
| WISM-20_P1_SP54_IND125_637377560908054292.jpeg | Skelet | 1 | 1 | 54 | 125 | | | |
| WISM-20_P1_SP54_IND125_637377560920811495.jpeg | Skelet | 1 | 1 | 54 | 125 | | | |
| WISM-20_P1_SP54_IND125_637377560933674878.jpeg | Skelet | 1 | 1 | 54 | 125 | | | |
| WISM-20_P1_SP54_IND125_637377560947289263.jpeg | Skelet | 1 | 1 | 54 | 125 | | | |
| WISM-20_P1_SP54_IND125_637377560960306552.jpeg | Skelet | 1 | 1 | 54 | 125 | | | |
| WISM-20_P1_SP54_IND125_637377560973946914.jpeg | Skelet | 1 | 1 | 54 | 125 | | | |
| WISM-20_P1_SP54_IND125_637377560987296093.jpeg | Skelet | 1 | 1 | 54 | 125 | | | |

| Bestand | Soort | Put | Vlak | Spoor | Individu | Coupe | Profielnr. | Opmerking |
|---|---|---|---|---|---|---|---|---|
| WISM-20_P1_SP55_IND122_637375775728754535.jpeg | Skelet | 1 | 1 | 55 | 122 | | | Skelet zonder schedel, bij openleggen sporen van houten kist (niet bewaard) |
| WISM-20_P1_SP55_IND122_637375775747116116.jpeg | Skelet | 1 | 1 | 55 | 122 | | | Skelet zonder schedel, bij openleggen sporen van houten kist (niet bewaard) |
| WISM-20_P1_SP55_IND122_637375775763827414.jpeg | Skelet | 1 | 1 | 55 | 122 | | | Skelet zonder schedel, bij openleggen sporen van houten kist (niet bewaard) |
| WISM-20_P1_SP55_IND122_637375775783714415.jpeg | Skelet | 1 | 1 | 55 | 122 | | | Skelet zonder schedel, bij openleggen sporen van houten kist (niet bewaard) |
| WISM-20_P1_SP55_IND122_637375775799887467.jpeg | Skelet | 1 | 1 | 55 | 122 | | | Skelet zonder schedel, bij openleggen sporen van houten kist (niet bewaard) |
| WISM-20_P1_SP55_IND122_637375775817423637.jpeg | Skelet | 1 | 1 | 55 | 122 | | | Skelet zonder schedel, bij openleggen sporen van houten kist (niet bewaard) |
| WISM-20_P1_SP55_IND122_637375775833336803.jpeg | Skelet | 1 | 1 | 55 | 122 | | | Skelet zonder schedel, bij openleggen sporen van houten kist (niet bewaard) |
| WISM-20_P1_SP55_IND122_637375775848139901.jpeg | Skelet | 1 | 1 | 55 | 122 | | | Skelet zonder schedel, bij openleggen sporen van houten kist (niet bewaard) |
| WISM-20_P1_SP55_IND122_637375775864498927.jpeg | Skelet | 1 | 1 | 55 | 122 | | | Skelet zonder schedel, bij openleggen sporen van houten kist (niet bewaard) |
| WISM-20_P1_SP55_IND122_637375775880902704.jpeg | Skelet | 1 | 1 | 55 | 122 | | | Skelet zonder schedel, bij openleggen sporen van houten kist (niet bewaard) |
| WISM-20_P1_SP55_IND122_637375775901137234.jpeg | Skelet | 1 | 1 | 55 | 122 | | | Skelet zonder schedel, bij openleggen sporen van houten kist (niet bewaard) |
| WISM-20_P1_SP55_IND122_637375775914995287.jpeg | Skelet | 1 | 1 | 55 | 122 | | | Skelet zonder schedel, bij openleggen sporen van houten kist (niet bewaard) |
| WISM-20_P1_SP55_IND122_637375775929395664.jpeg | Skelet | 1 | 1 | 55 | 122 | | | Skelet zonder schedel, bij openleggen sporen van houten kist (niet bewaard) |
| WISM-20_P1_SP55_IND122_637375775944437256.jpeg | Skelet | 1 | 1 | 55 | 122 | | | Skelet zonder schedel, bij openleggen sporen van houten kist (niet bewaard) |
| WISM-20_P1_SP56_IND126_637375945254118525.jpeg | Skelet | 1 | 1 | 56 | 126 | | | Verstoord door S54 en S52 |
| WISM-20_P1_SP56_IND126_637375945269205563.jpeg | Skelet | 1 | 1 | 56 | 126 | | | Verstoord door S54 en S52 |
| WISM-20_P1_SP56_IND126_637375945286026979.jpeg | Skelet | 1 | 1 | 56 | 126 | | | Verstoord door S54 en S52 |
| WISM-20_P1_SP56_IND126_637375945302783390.jpeg | Skelet | 1 | 1 | 56 | 126 | | | Verstoord door S54 en S52 |
| WISM-20_P1_SP56_IND126_637375945317819708.jpeg | Skelet | 1 | 1 | 56 | 126 | | | Verstoord door S54 en S52 |
| WISM-20_P1_SP56_IND126_637375945332707889.jpeg | Skelet | 1 | 1 | 56 | 126 | | | Verstoord door S54 en S52 |
| WISM-20_P1_SP56_IND126_637375945348275732.jpeg | Skelet | 1 | 1 | 56 | 126 | | | Verstoord door S54 en S52 |
| WISM-20_P1_SP56_IND126_637375945363624384.jpeg | Skelet | 1 | 1 | 56 | 126 | | | Verstoord door S54 en S52 |
| WISM-20_P1_SP58_IND124_637375908565589162.jpeg | Skelet | 1 | 1 | 58 | 124 | | | Verstoord door kraan en knekelput S57 |
| WISM-20_P1_SP58_IND124_637375908580302625.jpeg | Skelet | 1 | 1 | 58 | 124 | | | Verstoord door kraan en knekelput S57 |
| WISM-20_P1_SP58_IND124_637375908594333350.jpeg | Skelet | 1 | 1 | 58 | 124 | | | Verstoord door kraan en knekelput S57 |
| WISM-20_P1_SP58_IND124_637375908608997191.jpeg | Skelet | 1 | 1 | 58 | 124 | | | Verstoord door kraan en knekelput S57 |

| Bestand | Soort | Put | Vlak | Spoor | Individu | Coupe | Profielnr. | Opmerking |
|---|---|---|---|---|---|---|---|---|
| WISM-20_P1_SP58_IND124_637375908622188723.jpeg | Skelet | 1 | 1 | 58 | 124 | | | Verstoord door kraan en knekelput S57 |
| WISM-20_P1_SP58_IND124_637375908636894249.jpeg | Skelet | 1 | 1 | 58 | 124 | | | Verstoord door kraan en knekelput S57 |
| WISM-20_P1_SP58_IND124_637375908651304937.jpeg | Skelet | 1 | 1 | 58 | 124 | | | Verstoord door kraan en knekelput S57 |
| WISM-20_P1_SP58_IND124_637375908664711796.jpeg | Skelet | 1 | 1 | 58 | 124 | | | Verstoord door kraan en knekelput S57 |
| WISM-20_P1_SP58_IND124_637375908678737921.jpeg | Skelet | 1 | 1 | 58 | 124 | | | Verstoord door kraan en knekelput S57 |
| WISM-20_P1_SP59_IND127_637375972975593621.jpeg | Skelet | 1 | 1 | 59 | 127 | | | Onderlichaam ontbreekt |
| WISM-20_P1_SP59_IND127_637375972995486838.jpeg | Skelet | 1 | 1 | 59 | 127 | | | Onderlichaam ontbreekt |
| WISM-20_P1_SP59_IND127_637375973087169037.jpeg | Skelet | 1 | 1 | 59 | 127 | | | Onderlichaam ontbreekt |
| WISM-20_P1_SP59_IND127_637375973102197290.jpeg | Skelet | 1 | 1 | 59 | 127 | | | Onderlichaam ontbreekt |
| WISM-20_P1_SP59_IND127_637375973115952342.jpeg | Skelet | 1 | 1 | 59 | 127 | | | Onderlichaam ontbreekt |
| WISM-20_P1_SP59_IND127_637375973131314981.jpeg | Skelet | 1 | 1 | 59 | 127 | | | Onderlichaam ontbreekt |
| WISM-20_P1_SP59_IND127_637375973146856676.jpeg | Skelet | 1 | 1 | 59 | 127 | | | Onderlichaam ontbreekt |
| WISM-20_P1_SP59_IND127_637375973164436943.jpeg | Skelet | 1 | 1 | 59 | 127 | | | Onderlichaam ontbreekt |
| WISM-20_P1_SP59_IND127_637375973180307594.jpeg | Skelet | 1 | 1 | 59 | 127 | | | Onderlichaam ontbreekt |
| WISM-20_P1_SP60_IND128_637376755961393412.jpeg | Skelet | 1 | 1 | 60 | 128 | | | |
| WISM-20_P1_SP60_IND128_637376755976044317.jpeg | Skelet | 1 | 1 | 60 | 128 | | | |
| WISM-20_P1_SP60_IND128_637376755993465581.jpeg | Skelet | 1 | 1 | 60 | 128 | | | |
| WISM-20_P1_SP61_IND129_637376680049315703.jpeg | Skelet | 1 | 1 | 61 | 129 | | | Slecht bewaard |
| WISM-20_P1_SP61_IND129_637376680073384095.jpeg | Skelet | 1 | 1 | 61 | 129 | | | Slecht bewaard |
| WISM-20_P1_SP61_IND129_637376680087117837.jpeg | Skelet | 1 | 1 | 61 | 129 | | | Slecht bewaard |
| WISM-20_P1_SP61_IND129_637376680101461422.jpeg | Skelet | 1 | 1 | 61 | 129 | | | Slecht bewaard |
| WISM-20_P1_SP61_IND129_637376680114317616.jpeg | Skelet | 1 | 1 | 61 | 129 | | | Slecht bewaard |
| WISM-20_P1_SP61_IND129_637376680131787754.jpeg | Skelet | 1 | 1 | 61 | 129 | | | Slecht bewaard |
| WISM-20_P1_SP61_IND129_637376680144432869.jpeg | Skelet | 1 | 1 | 61 | 129 | | | Slecht bewaard |
| WISM-20_P1_SP61_IND129_637376680158518339.jpeg | Skelet | 1 | 1 | 61 | 129 | | | Slecht bewaard |
| WISM-20_P1_SP61_IND129_637376680172877359.jpeg | Skelet | 1 | 1 | 61 | 129 | | | Slecht bewaard |
| WISM-20_P1_SP61_IND129_637376680185906519.jpeg | Skelet | 1 | 1 | 61 | 129 | | | Slecht bewaard |
| WISM-20_P1_SP61_IND129_637376680199555656.jpeg | Skelet | 1 | 1 | 61 | 129 | | | Slecht bewaard |
| WISM-20_P1_SP61_IND129_637376680212862055.jpeg | Skelet | 1 | 1 | 61 | 129 | | | Slecht bewaard |
| WISM-20_P1_SP61_IND129_637376680225795907.jpeg | Skelet | 1 | 1 | 61 | 129 | | | Slecht bewaard |
| WISM-20_P1_SP61_IND129_637376680238814430.jpeg | Skelet | 1 | 1 | 61 | 129 | | | Slecht bewaard |
| WISM-20_P1_SP61_IND129_637376680252148918.jpeg | Skelet | 1 | 1 | 61 | 129 | | | Slecht bewaard |
| WISM-20_P1_SP61_IND129_637376680265947573.jpeg | Skelet | 1 | 1 | 61 | 129 | | | Slecht bewaard |
| WISM-20_P1_SP61_IND129_637376680279973208.jpeg | Skelet | 1 | 1 | 61 | 129 | | | Slecht bewaard |
| WISM-20_P1_SP61_IND129_637376680293157373.jpeg | Skelet | 1 | 1 | 61 | 129 | | | Slecht bewaard |
| WISM-20_P1_SP61_IND129_637376680306958861.jpeg | Skelet | 1 | 1 | 61 | 129 | | | Slecht bewaard |
| WISM-20_P1_SP61_IND129_637376682663605913.jpeg | Skelet | 1 | 1 | 61 | 129 | | | Slecht bewaard |

| Bestand | Soort | Put | Vlak | Spoor | Individu | Coupe | Profielnr. | Opmerking |
|---|---|---|---|---|---|---|---|---|
| WISM-20_P1_SP61_IND129_637376682677427258.jpeg | Skelet | 1 | 1 | 61 | 129 | | | Slecht bewaard |
| WISM-20_P1_SP61_IND129_637376682690695921.jpeg | Skelet | 1 | 1 | 61 | 129 | | | Slecht bewaard |
| WISM-20_P1_SP61_IND129_637376698692813540.jpeg | Skelet | 1 | 1 | 61 | 129 | | | Slecht bewaard |
| WISM-20_P1_SP62_IND135_637377644909613490.jpeg | Skelet | 1 | 1 | 62 | 135 | | | |
| WISM-20_P1_SP62_IND135_637377644925051060.jpeg | Skelet | 1 | 1 | 62 | 135 | | | |
| WISM-20_P1_SP62_IND135_637377644939937364.jpeg | Skelet | 1 | 1 | 62 | 135 | | | |
| WISM-20_P1_SP62_IND135_637377644953297040.jpeg | Skelet | 1 | 1 | 62 | 135 | | | |
| WISM-20_P1_SP62_IND135_637377645526889612.jpeg | Skelet | 1 | 1 | 62 | 135 | | | |
| WISM-20_P1_SP63_IND132_637377466738179754.jpeg | Skelet | 1 | 1 | 63 | 132 | | | |
| WISM-20_P1_SP63_IND132_637377466751725559.jpeg | Skelet | 1 | 1 | 63 | 132 | | | |
| WISM-20_P1_SP63_IND132_637377466765743615.jpeg | Skelet | 1 | 1 | 63 | 132 | | | |
| WISM-20_P1_SP63_IND132_637377466778916770.jpeg | Skelet | 1 | 1 | 63 | 132 | | | |
| WISM-20_P1_SP64_IND131_637377463722143462.jpeg | Skelet | 1 | 1 | 64 | 131 | | | |
| WISM-20_P1_SP64_IND131_637377463738000622.jpeg | Skelet | 1 | 1 | 64 | 131 | | | |
| WISM-20_P1_SP64_IND131_637377465548080564.jpeg | Skelet | 1 | 1 | 64 | 131 | | | |
| WISM-20_P1_SP65_IND144_637381969713196377.jpeg | Skelet | 1 | 1 | 65 | 144 | | | |
| WISM-20_P1_SP65_IND144_637381969727917131.jpeg | Skelet | 1 | 1 | 65 | 144 | | | |
| WISM-20_P1_SP65_IND144_637381969742267882.jpeg | Skelet | 1 | 1 | 65 | 144 | | | |
| WISM-20_P1_SP65_IND144_637381969754933776.jpeg | Skelet | 1 | 1 | 65 | 144 | | | |
| WISM-20_P1_SP65_IND144_637381969769660386.jpeg | Skelet | 1 | 1 | 65 | 144 | | | |
| WISM-20_P1_SP65_IND144_637381969783401336.jpeg | Skelet | 1 | 1 | 65 | 144 | | | |
| WISM-20_P1_SP65_IND144_637381969796890216.jpeg | Skelet | 1 | 1 | 65 | 144 | | | |
| WISM-20_P1_SP65_IND144_637381969810299476.jpeg | Skelet | 1 | 1 | 65 | 144 | | | |
| WISM-20_P1_SP65_IND144_637381969823367293.jpeg | Skelet | 1 | 1 | 65 | 144 | | | Resten kistdeksel |
| WISM-20_P1_SP65_IND144_637381969836552285.jpeg | Skelet | 1 | 1 | 65 | 144 | | | Met hout deksel |
| WISM-20_P1_SP65_IND144_637381981205682508.jpeg | Skelet | 1 | 1 | 65 | 144 | | | |
| WISM-20_P1_SP65_IND144_637381981221122388.jpeg | Skelet | 1 | 1 | 65 | 144 | | | |
| WISM-20_P1_SP65_IND144_637381981236166238.jpeg | Skelet | 1 | 1 | 65 | 144 | | | |
| WISM-20_P1_SP65_IND144_637381981251717278.jpeg | Skelet | 1 | 1 | 65 | 144 | | | |
| WISM-20_P1_SP65_IND144_637381981267624846.jpeg | Skelet | 1 | 1 | 65 | 144 | | | |
| WISM-20_P1_SP65_IND144_637381981282191619.jpeg | Skelet | 1 | 1 | 65 | 144 | | | |
| WISM-20_P1_SP65_IND144_637381981297478888.jpeg | Skelet | 1 | 1 | 65 | 144 | | | |
| WISM-20_P1_SP65_IND144_637381981312981341.jpeg | Skelet | 1 | 1 | 65 | 144 | | | |
| WISM-20_P1_SP65_IND144_637381981327988906.jpeg | Skelet | 1 | 1 | 65 | 144 | | | |
| WISM-20_P1_SP65_IND144_637381981341963401.jpeg | Skelet | 1 | 1 | 65 | 144 | | | |
| WISM-20_P1_SP65_IND144_637381981357154878.jpeg | Skelet | 1 | 1 | 65 | 144 | | | |
| WISM-20_P1_SP66_IND134_637377670953540278.jpeg | Skelet | 1 | 1 | 66 | 134 | | | |

| Bestand | Soort | Put | Vlak | Spoor | Individu | Coupe | Profielnr. | Opmerking |
|---|---|---|---|---|---|---|---|---|
| WISM-20_P1_SP66_IND134_637377670967762165.jpeg | Skelet | 1 | 1 | 66 | 134 | | | |
| WISM-20_P1_SP66_IND134_637377670982625233.jpeg | Skelet | 1 | 1 | 66 | 134 | | | |
| WISM-20_P1_SP66_IND134_637377670996169236.jpeg | Skelet | 1 | 1 | 66 | 134 | | | |
| WISM-20_P1_SP66_IND134_637377671009507564.jpeg | Skelet | 1 | 1 | 66 | 134 | | | |
| WISM-20_P1_SP66_IND134_637377671023851715.jpeg | Skelet | 1 | 1 | 66 | 134 | | | |
| WISM-20_P1_SP66_IND134_637377671037432260.jpeg | Skelet | 1 | 1 | 66 | 134 | | | |
| WISM-20_P1_SP66_IND134_637377671050775111.jpeg | Skelet | 1 | 1 | 66 | 134 | | | |
| WISM-20_P1_SP66_IND134_637377671065435026.jpeg | Skelet | 1 | 1 | 66 | 134 | | | |
| WISM-20_P1_SP66_IND134_637377671078770174.jpeg | Skelet | 1 | 1 | 66 | 134 | | | |
| WISM-20_P1_SP66_IND134_637377671091487853.jpeg | Skelet | 1 | 1 | 66 | 134 | | | |
| WISM-20_P1_SP66_IND134_637377671104663733.jpeg | Skelet | 1 | 1 | 66 | 134 | | | |
| WISM-20_P1_SP66_IND134_637377671117527441.jpeg | Skelet | 1 | 1 | 66 | 134 | | | |
| WISM-20_P1_SP66_IND134_637377671130866739.jpeg | Skelet | 1 | 1 | 66 | 134 | | | |
| WISM-20_P1_SP66_IND134_637377671144734768.jpeg | Skelet | 1 | 1 | 66 | 134 | | | |
| WISM-20_P1_SP66_IND134_637377671158605141.jpeg | Skelet | 1 | 1 | 66 | 134 | | | |
| WISM-20_P1_SP66_IND134_637377671172467211.jpeg | Skelet | 1 | 1 | 66 | 134 | | | |
| WISM-20_P1_SP66_IND134_637377671185812392.jpeg | Skelet | 1 | 1 | 66 | 134 | | | |
| WISM-20_P1_SP68_IND136_637381011669622964.jpeg | Skelet | 1 | 1 | 68 | 136 | | | |
| WISM-20_P1_SP68_IND136_637381011687930743.jpeg | Skelet | 1 | 1 | 68 | 136 | | | |
| WISM-20_P1_SP68_IND136_637381011702960400.jpeg | Skelet | 1 | 1 | 68 | 136 | | | |
| WISM-20_P1_SP68_IND136_637381011719005536.jpeg | Skelet | 1 | 1 | 68 | 136 | | | |
| WISM-20_P1_SP68_IND136_637381011733333885.jpeg | Skelet | 1 | 1 | 68 | 136 | | | |
| WISM-20_P1_SP68_IND136_637381011748892767.jpeg | Skelet | 1 | 1 | 68 | 136 | | | |
| WISM-20_P1_SP68_IND136_637381011763700916.jpeg | Skelet | 1 | 1 | 68 | 136 | | | |
| WISM-20_P1_SP68_IND136_637381011778266228.jpeg | Skelet | 1 | 1 | 68 | 136 | | | |
| WISM-20_P1_SP68_IND136_637381011792753648.jpeg | Skelet | 1 | 1 | 68 | 136 | | | |
| WISM-20_P1_SP68_IND136_637381011807413246.jpeg | Skelet | 1 | 1 | 68 | 136 | | | |
| WISM-20_P1_SP68_IND136_637381011822694130.jpeg | Skelet | 1 | 1 | 68 | 136 | | | |
| WISM-20_P1_SP68_IND136_637381011838749656.jpeg | Skelet | 1 | 1 | 68 | 136 | | | |
| WISM-20_P1_SP68_IND136_637381011853553241.jpeg | Skelet | 1 | 1 | 68 | 136 | | | |
| WISM-20_P1_SP69_IND137_637381090217902043.jpeg | Skelet | 1 | 1 | 69 | 137 | | | |
| WISM-20_P1_SP69_IND137_637381090234225754.jpeg | Skelet | 1 | 1 | 69 | 137 | | | |
| WISM-20_P1_SP69_IND137_637381090246654968.jpeg | Skelet | 1 | 1 | 69 | 137 | | | |
| WISM-20_P1_SP69_IND137_637381090259758081.jpeg | Skelet | 1 | 1 | 69 | 137 | | | |
| WISM-20_P1_SP69_IND137_637381090272707851.jpeg | Skelet | 1 | 1 | 69 | 137 | | | |
| WISM-20_P1_SP69_IND137_637381090285333506.jpeg | Skelet | 1 | 1 | 69 | 137 | | | |
| WISM-20_P1_SP69_IND137_637381090298912579.jpeg | Skelet | 1 | 1 | 69 | 137 | | | |

| Bestand | Soort | Put | Vlak | Spoor | Individu | Coupe | Profielnr. | Opmerking |
|---|---|---|---|---|---|---|---|---|
| WISM-20_P1_SP69_IND137_637381090312324527.jpeg | Skelet | 1 | 1 | 69 | 137 | | | |
| WISM-20_P1_SP69_IND137_637381090325161113.jpeg | Skelet | 1 | 1 | 69 | 137 | | | |
| WISM-20_P1_SP69_IND137_637381090338023726.jpeg | Skelet | 1 | 1 | 69 | 137 | | | |
| WISM-20_P1_SP69_IND137_637381090351463506.jpeg | Skelet | 1 | 1 | 69 | 137 | | | |
| WISM-20_P1_SP69_IND137_637381090365470930.jpeg | Skelet | 1 | 1 | 69 | 137 | | | |
| WISM-20_P1_SP69_IND137_637381090379325751.jpeg | Skelet | 1 | 1 | 69 | 137 | | | |
| WISM-20_P1_SP69_IND137_637381090392039721.jpeg | Skelet | 1 | 1 | 69 | 137 | | | |
| WISM-20_P1_SP69_IND137_637381090406053987.jpeg | Skelet | 1 | 1 | 69 | 137 | | | |
| WISM-20_P1_SP69_IND137_637381090419738647.jpeg | Skelet | 1 | 1 | 69 | 137 | | | |
| WISM-20_P1_SP69_IND137_637381090432981870.jpeg | Skelet | 1 | 1 | 69 | 137 | | | |
| WISM-20_P1_SP69_IND137_637381090447206701.jpeg | Skelet | 1 | 1 | 69 | 137 | | | |
| WISM-20_P1_SP69_IND137_637381090461382213.jpeg | Skelet | 1 | 1 | 69 | 137 | | | |
| WISM-20_P1_SP69_IND137_637381090474609954.jpeg | Skelet | 1 | 1 | 69 | 137 | | | |
| WISM-20_P1_SP69_IND137_637381090487021120.jpeg | Skelet | 1 | 1 | 69 | 137 | | | |
| WISM-20_P1_SP69_IND137_637381090500733396.jpeg | Skelet | 1 | 1 | 69 | 137 | | | |
| WISM-20_P1_SP69_IND137_637381091375860020.jpeg | Skelet | 1 | 1 | 69 | 137 | | | |
| WISM-20_P1_SP70_IND138_637382886373782574.jpeg | Skelet | 1 | 1 | 70 | 138 | | | |
| WISM-20_P1_SP70_IND138_637382886380258231.jpeg | Skelet | 1 | 1 | 70 | 138 | | | |
| WISM-20_P1_SP70_IND138_637382886386962610.jpeg | Skelet | 1 | 1 | 70 | 138 | | | |
| WISM-20_P1_SP70_IND138_637382886393512672.jpeg | Skelet | 1 | 1 | 70 | 138 | | | |
| WISM-20_P1_SP70_IND138_637382886400685025.jpeg | Skelet | 1 | 1 | 70 | 138 | | | |
| WISM-20_P1_SP70_IND138_637382886407549038.jpeg | Skelet | 1 | 1 | 70 | 138 | | | |
| WISM-20_P1_SP70_IND138_637382886414034606.jpeg | Skelet | 1 | 1 | 70 | 138 | | | |
| WISM-20_P1_SP70_IND138_637382886427744942.jpeg | Skelet | 1 | 1 | 70 | 138 | | | |
| WISM-20_P1_SP70_IND138_637382886434137677.jpeg | Skelet | 1 | 1 | 70 | 138 | | | |
| WISM-20_P1_SP70_IND138_637382886440846542.jpeg | Skelet | 1 | 1 | 70 | 138 | | | |
| WISM-20_P1_SP70_IND138_637382886447016090.jpeg | Skelet | 1 | 1 | 70 | 138 | | | |
| WISM-20_P1_SP70_IND138_637382886453713175.jpeg | Skelet | 1 | 1 | 70 | 138 | | | |
| WISM-20_P1_SP70_IND138_637382886460188763.jpeg | Skelet | 1 | 1 | 70 | 138 | | | |
| WISM-20_P1_SP70_IND138_637382886466732263.jpeg | Skelet | 1 | 1 | 70 | 138 | | | |
| WISM-20_P1_SP70_IND138_637382886473547160.jpeg | Skelet | 1 | 1 | 70 | 138 | | | |
| WISM-20_P1_SP70_IND138_637382886480400575.jpeg | Skelet | 1 | 1 | 70 | 138 | | | |
| WISM-20_P1_SP70_IND138_637382886486566758.jpeg | Skelet | 1 | 1 | 70 | 138 | | | |
| WISM-20_P1_SP70_IND138_637382886493845630.jpeg | Skelet | 1 | 1 | 70 | 138 | | | |
| WISM-20_P1_SP70_IND138_637382886500090732.jpeg | Skelet | 1 | 1 | 70 | 138 | | | |
| WISM-20_P1_SP70_IND138_637382886506943621.jpeg | Skelet | 1 | 1 | 70 | 138 | | | |
| WISM-20_P1_SP70_IND138_637382886513579734.jpeg | Skelet | 1 | 1 | 70 | 138 | | | |

| Bestand | Soort | Put | Vlak | Spoor | Individu | Coupe | Profielnr. | Opmerking |
|---|---|---|---|---|---|---|---|---|
| WISM-20_P1_SP70_IND138_637382886520809483.jpeg | Skelet | 1 | 1 | 70 | 138 | | | |
| WISM-20_P1_SP71_INDIND139_637381889608123313.jpeg | Skelet | 1 | 1 | 71 | 139 | | | |
| WISM-20_P1_SP71_INDIND139_637381889622109963.jpeg | Skelet | 1 | 1 | 71 | 139 | | | |
| WISM-20_P1_SP71_INDIND139_637381889636716978.jpeg | Skelet | 1 | 1 | 71 | 139 | | | |
| WISM-20_P1_SP71_INDIND139_637381889649904685.jpeg | Skelet | 1 | 1 | 71 | 139 | | | |
| WISM-20_P1_SP71_INDIND139_637381889663440200.jpeg | Skelet | 1 | 1 | 71 | 139 | | | |
| WISM-20_P1_SP71_INDIND139_637381889676790456.jpeg | Skelet | 1 | 1 | 71 | 139 | | | |
| WISM-20_P1_SP71_INDIND139_637381889690449433.jpeg | Skelet | 1 | 1 | 71 | 139 | | | |
| WISM-20_P1_SP71_INDIND139_637381889704782819.jpeg | Skelet | 1 | 1 | 71 | 139 | | | |
| WISM-20_P1_SP71_INDIND139_637381889717862397.jpeg | Skelet | 1 | 1 | 71 | 139 | | | |
| WISM-20_P1_SP71_INDIND139_637381889730885758.jpeg | Skelet | 1 | 1 | 71 | 139 | | | |
| WISM-20_P1_SP71_INDIND139_637381889744394072.jpeg | Skelet | 1 | 1 | 71 | 139 | | | |
| WISM-20_P1_SP71_INDIND139_637381889759116174.jpeg | Skelet | 1 | 1 | 71 | 139 | | | |
| WISM-20_P1_SP71_INDIND139_637381889774991157.jpeg | Skelet | 1 | 1 | 71 | 139 | | | |
| WISM-20_P1_SP71_INDIND139_637381889788486943.jpeg | Skelet | 1 | 1 | 71 | 139 | | | |
| WISM-20_P1_SP71_INDIND139_637381889802991173.jpeg | Skelet | 1 | 1 | 71 | 139 | | | |
| WISM-20_P1_SP71_INDIND139_637381889816620423.jpeg | Skelet | 1 | 1 | 71 | 139 | | | |
| WISM-20_P1_SP71_INDIND139_637381889829918187.jpeg | Skelet | 1 | 1 | 71 | 139 | | | |
| WISM-20_P1_SP71_INDIND139_637381889843764950.jpeg | Skelet | 1 | 1 | 71 | 139 | | | |
| WISM-20_P1_SP71_INDIND139_637381889863261174.jpeg | Skelet | 1 | 1 | 71 | 139 | | | |
| WISM-20_P1_SP71_INDIND139_637381889877578437.jpeg | Skelet | 1 | 1 | 71 | 139 | | | |
| WISM-20_P1_SP73_IND145_637381952371345697.jpeg | Skelet | 1 | 1 | 73 | 145 | | | |
| WISM-20_P1_SP73_IND145_637381952386188542.jpeg | Skelet | 1 | 1 | 73 | 145 | | | |
| WISM-20_P1_SP73_IND145_637381952401510617.jpeg | Skelet | 1 | 1 | 73 | 145 | | | |
| WISM-20_P1_SP73_IND145_637381952417234234.jpeg | Skelet | 1 | 1 | 73 | 145 | | | |
| WISM-20_P1_SP73_IND145_637381952432593897.jpeg | Skelet | 1 | 1 | 73 | 145 | | | |
| WISM-20_P1_SP73_IND145_637381952448065559.jpeg | Skelet | 1 | 1 | 73 | 145 | | | |
| WISM-20_P1_SP73_IND145_637381952462511305.jpeg | Skelet | 1 | 1 | 73 | 145 | | | |
| WISM-20_P1_SP73_IND145_637381952477163525.jpeg | Skelet | 1 | 1 | 73 | 145 | | | |
| WISM-20_P1_SP73_IND145_637381952491331447.jpeg | Skelet | 1 | 1 | 73 | 145 | | | |
| WISM-20_P1_SP73_IND145_637381952506605203.jpeg | Skelet | 1 | 1 | 73 | 145 | | | |
| WISM-20_P1_SP73_IND145_637381952521661608.jpeg | Skelet | 1 | 1 | 73 | 145 | | | |
| WISM-20_P1_SP73_IND145_637381952539962051.jpeg | Skelet | 1 | 1 | 73 | 145 | | | |
| WISM-20_P1_SP73_IND145_637381952555177648.jpeg | Skelet | 1 | 1 | 73 | 145 | | | |
| WISM-20_P1_SP74_INDIND146_637384365853929106.jpeg | Skelet | 1 | 1 | 74 | 146 | | | Volledig verstoord |
| WISM-20_P1_SP74_INDIND146_637384365868260908.jpeg | Skelet | 1 | 1 | 74 | 147 | | | Volledig verstoord |
| WISM-20_P1_SP74_INDIND146_637384365883197692.jpeg | Skelet | 1 | 1 | 74 | 148 | | | Volledig verstoord |

| Bestand | Soort | Put | Vlak | Spoor | Individu | Coupe | Profielnr. | Opmerking |
|---|---|---|---|---|---|---|---|---|
| WISM-20_P1_SP74_INDIND146_637384365898008046.jpeg | Skelet | 1 | 1 | 74 | 149 | | | Volledig verstoord |
| WISM-20_P1_SP74_INDIND146_637384365913027576.jpeg | Skelet | 1 | 1 | 74 | 150 | | | Volledig verstoord |
| WISM-20_P1_SP74_INDIND146_637384365928274939.jpeg | Skelet | 1 | 1 | 74 | 151 | | | Volledig verstoord |
| WISM-20_P1_SP74_INDIND146_637384365942081972.jpeg | Skelet | 1 | 1 | 74 | 152 | | | Volledig verstoord |
| WISM-20_P1_SP74_INDIND146_637384365958692814.jpeg | Skelet | 1 | 1 | 74 | 153 | | | Volledig verstoord |
| WISM-20_P1_SP75_IND147_637382823430801308.jpeg | Skelet | 1 | 1 | 75 | 147 | | | |
| WISM-20_P1_SP75_IND147_637382823437443882.jpeg | Skelet | 1 | 1 | 75 | 147 | | | |
| WISM-20_P1_SP75_IND147_637382823444145954.jpeg | Skelet | 1 | 1 | 75 | 147 | | | |
| WISM-20_P1_SP75_IND147_637382823450468853.jpeg | Skelet | 1 | 1 | 75 | 147 | | | |
| WISM-20_P1_SP75_IND147_637382823457477384.jpeg | Skelet | 1 | 1 | 75 | 147 | | | |
| WISM-20_P1_SP75_IND147_637382823464646724.jpeg | Skelet | 1 | 1 | 75 | 147 | | | |
| WISM-20_P1_SP75_IND147_637382823472036163.jpeg | Skelet | 1 | 1 | 75 | 147 | | | |
| WISM-20_P1_SP75_IND147_637382823478678305.jpeg | Skelet | 1 | 1 | 75 | 147 | | | |
| WISM-20_P1_SP75_IND147_637382823484689326.jpeg | Skelet | 1 | 1 | 75 | 147 | | | |
| WISM-20_P1_SP75_IND147_637382823490918109.jpeg | Skelet | 1 | 1 | 75 | 147 | | | |
| WISM-20_P1_SP75_IND147_637382823497246664.jpeg | Skelet | 1 | 1 | 75 | 147 | | | |
| WISM-20_P1_SP75_IND147_637382823504266278.jpeg | Skelet | 1 | 1 | 75 | 147 | | | |
| WISM-20_P1_SP75_IND147_637382823510907348.jpeg | Skelet | 1 | 1 | 75 | 147 | | | |
| WISM-20_P1_SP75_IND147_637382823517297985.jpeg | Skelet | 1 | 1 | 75 | 147 | | | |
| WISM-20_P1_SP75_IND147_637382823523779286.jpeg | Skelet | 1 | 1 | 75 | 147 | | | |
| WISM-20_P1_SP75_IND147_637382823530320271.jpeg | Skelet | 1 | 1 | 75 | 147 | | | |
| WISM-20_P1_SP75_IND147_637382823536486220.jpeg | Skelet | 1 | 1 | 75 | 147 | | | |
| WISM-20_P1_SP75_IND147_637382823542817630.jpeg | Skelet | 1 | 1 | 75 | 147 | | | |
| WISM-20_P1_SP76_IND148_637381109028709512.jpeg | Skelet | 1 | 1 | 76 | 148 | | | |
| WISM-20_P1_SP76_IND148_637381109042221466.jpeg | Skelet | 1 | 1 | 76 | 148 | | | |
| WISM-20_P1_SP76_IND148_637381109057060033.jpeg | Skelet | 1 | 1 | 76 | 148 | | | |
| WISM-20_P1_SP76_IND148_637381109070874974.jpeg | Skelet | 1 | 1 | 76 | 148 | | | |
| WISM-20_P1_SP76_IND148_637381109096766913.jpeg | Skelet | 1 | 1 | 76 | 148 | | | |
| WISM-20_P1_SP76_IND148_637381109121602494.jpeg | Skelet | 1 | 1 | 76 | 148 | | | |
| WISM-20_P1_SP76_IND148_637381109140768968.jpeg | Skelet | 1 | 1 | 76 | 148 | | | |
| WISM-20_P1_SP76_IND148_637381109158892805.jpeg | Skelet | 1 | 1 | 76 | 148 | | | |
| WISM-20_P1_SP76_IND148_637381109172827190.jpeg | Skelet | 1 | 1 | 76 | 148 | | | |
| WISM-20_P1_SP76_IND148_637381109185853461.jpeg | Skelet | 1 | 1 | 76 | 148 | | | |
| WISM-20_P1_SP76_IND148_637381109199271972.jpeg | Skelet | 1 | 1 | 76 | 148 | | | |
| WISM-20_P1_SP76_IND148_637381109213045779.jpeg | Skelet | 1 | 1 | 76 | 148 | | | |
| WISM-20_P1_SP76_IND148_637381109226215547.jpeg | Skelet | 1 | 1 | 76 | 148 | | | |
| WISM-20_P1_SP77_IND159_637387110929495154.jpeg | Skelet | 1 | 1 | 77 | 159 | | | |

| Bestand | Soort | Put | Vlak | Spoor | Individu | Coupe | Profielnr. | Opmerking |
|---|---|---|---|---|---|---|---|---|
| WISM-20_P1_SP77_IND159_637387110943391877.jpeg | Skelet | 1 | 1 | 77 | 159 | | | |
| WISM-20_P1_SP77_IND159_637387110957104319.jpeg | Skelet | 1 | 1 | 77 | 159 | | | |
| WISM-20_P1_SP77_IND159_637387110971161284.jpeg | Skelet | 1 | 1 | 77 | 159 | | | |
| WISM-20_P1_SP77_IND159_637387110985337250.jpeg | Skelet | 1 | 1 | 77 | 159 | | | |
| WISM-20_P1_SP77_IND159_637387111037531362.jpeg | Skelet | 1 | 1 | 77 | 159 | | | |
| WISM-20_P1_SP77_IND159_637387111050721082.jpeg | Skelet | 1 | 1 | 77 | 159 | | | |
| WISM-20_P1_SP77_IND159_637387111065216466.jpeg | Skelet | 1 | 1 | 77 | 159 | | | |
| WISM-20_P1_SP77_IND159_637387111079563681.jpeg | Skelet | 1 | 1 | 77 | 159 | | | |
| WISM-20_P1_SP77_IND159_637387111093444863.jpeg | Skelet | 1 | 1 | 77 | 159 | | | |
| WISM-20_P1_SP77_IND159_637387111107482579.jpeg | Skelet | 1 | 1 | 77 | 159 | | | |
| WISM-20_P1_SP79_IND155_637383659939700029.jpeg | Skelet | 1 | 1 | 79 | 155 | | | |
| WISM-20_P1_SP79_IND155_637383659946084301.jpeg | Skelet | 1 | 1 | 79 | 155 | | | |
| WISM-20_P1_SP79_IND155_637383659952735008.jpeg | Skelet | 1 | 1 | 79 | 155 | | | |
| WISM-20_P1_SP79_IND155_637383659958993546.jpeg | Skelet | 1 | 1 | 79 | 155 | | | |
| WISM-20_P1_SP79_IND155_637383659968484907.jpeg | Skelet | 1 | 1 | 79 | 155 | | | |
| WISM-20_P1_SP79_IND155_637383659974844746.jpeg | Skelet | 1 | 1 | 79 | 155 | | | |
| WISM-20_P1_SP79_IND155_637383659981012317.jpeg | Skelet | 1 | 1 | 79 | 155 | | | |
| WISM-20_P1_SP79_IND155_637383659986862505.jpeg | Skelet | 1 | 1 | 79 | 155 | | | |
| WISM-20_P1_SP79_IND155_637383659993245191.jpeg | Skelet | 1 | 1 | 79 | 155 | | | |
| WISM-20_P1_SP79_IND155_637383659999570281.jpeg | Skelet | 1 | 1 | 79 | 155 | | | |
| WISM-20_P1_SP79_IND155_637383660005891319.jpeg | Skelet | 1 | 1 | 79 | 155 | | | |
| WISM-20_P1_SP79_IND155_637383660012908725.jpeg | Skelet | 1 | 1 | 79 | 155 | | | |
| WISM-20_P1_SP79_IND155_637383660019145197.jpeg | Skelet | 1 | 1 | 79 | 155 | | | |
| WISM-20_P1_SP79_IND155_637383660074982710.jpeg | Skelet | 1 | 1 | 79 | 155 | | | |
| WISM-20_P1_SP79_IND155_637383660081212672.jpeg | Skelet | 1 | 1 | 79 | 155 | | | |
| WISM-20_P1_SP79_IND155_637383660087545167.jpeg | Skelet | 1 | 1 | 79 | 155 | | | |
| WISM-20_P1_SP79_IND155_637383660094072134.jpeg | Skelet | 1 | 1 | 79 | 155 | | | |
| WISM-20_P1_SP80_IND149_637381100092584148.jpeg | Skelet | 1 | 1 | 80 | 149 | | | |
| WISM-20_P1_SP80_IND149_637381100118509179.jpeg | Skelet | 1 | 1 | 80 | 149 | | | |
| WISM-20_P1_SP80_IND149_637381100135537739.jpeg | Skelet | 1 | 1 | 80 | 149 | | | |
| WISM-20_P1_SP80_IND149_637381100161036167.jpeg | Skelet | 1 | 1 | 80 | 149 | | | |
| WISM-20_P1_SP80_IND149_637381100188045607.jpeg | Skelet | 1 | 1 | 80 | 149 | | | |
| WISM-20_P1_SP80_IND149_637381100211125061.jpeg | Skelet | 1 | 1 | 80 | 149 | | | |
| WISM-20_P1_SP80_IND149_637381100235178916.jpeg | Skelet | 1 | 1 | 80 | 149 | | | |
| WISM-20_P1_SP80_IND149_637381100250388306.jpeg | Skelet | 1 | 1 | 80 | 149 | | | |
| WISM-20_P1_SP80_IND149_637381100265801359.jpeg | Skelet | 1 | 1 | 80 | 149 | | | |
| WISM-20_P1_SP80_IND149_637381100280031760.jpeg | Skelet | 1 | 1 | 80 | 149 | | | |

| Bestand | Soort | Put | Vlak | Spoor | Individu | Coupe | Profielnr. | Opmerking |
|---|---|---|---|---|---|---|---|---|
| WISM-20_P1_SP80_IND149_637381100293831982.jpeg | Skelet | 1 | 1 | 80 | 149 | | | |
| WISM-20_P1_SP80_IND149_637381100308852823.jpeg | Skelet | 1 | 1 | 80 | 149 | | | |
| WISM-20_P1_SP80_IND149_637381100323883088.jpeg | Skelet | 1 | 1 | 80 | 149 | | | |
| WISM-20_P1_SP80_IND149_637381100338947588.jpeg | Skelet | 1 | 1 | 80 | 149 | | | |
| WISM-20_P1_SP80_IND149_637381100354845686.jpeg | Skelet | 1 | 1 | 80 | 149 | | | |
| WISM-20_P1_SP80_IND149_637381100369881199.jpeg | Skelet | 1 | 1 | 80 | 149 | | | |
| WISM-20_P1_SP82_IND156_637383713750510788.jpeg | Skelet | 1 | 1 | 82 | 156 | | | Zonder benen, zonder hoofd |
| WISM-20_P1_SP82_IND156_637383713765580533.jpeg | Skelet | 1 | 1 | 82 | 156 | | | Zonder benen, zonder hoofd |
| WISM-20_P1_SP82_IND156_637383713779791524.jpeg | Skelet | 1 | 1 | 82 | 156 | | | Zonder benen, zonder hoofd |
| WISM-20_P1_SP82_IND156_637383713795824646.jpeg | Skelet | 1 | 1 | 82 | 156 | | | Zonder benen, zonder hoofd |
| WISM-20_P1_SP82_IND156_637383713809995867.jpeg | Skelet | 1 | 1 | 82 | 156 | | | Zonder benen, zonder hoofd |
| WISM-20_P1_SP82_IND156_637383713836956255.jpeg | Skelet | 1 | 1 | 82 | 156 | | | Zonder benen, zonder hoofd |
| WISM-20_P1_SP82_IND156_637383713856341527.jpeg | Skelet | 1 | 1 | 82 | 156 | | | Zonder benen, zonder hoofd |
| WISM-20_P1_SP82_IND156_637383713871254546.jpeg | Skelet | 1 | 1 | 82 | 156 | | | Zonder benen, zonder hoofd |
| WISM-20_P1_SP82_IND156_637383713888145081.jpeg | Skelet | 1 | 1 | 82 | 156 | | | Zonder benen, zonder hoofd |
| WISM-20_P1_SP82_IND156_637383713907482001.jpeg | Skelet | 1 | 1 | 82 | 156 | | | Zonder benen, zonder hoofd |
| WISM-20_P1_SP82_IND156_637383713936590024.jpeg | Skelet | 1 | 1 | 82 | 156 | | | Zonder benen, zonder hoofd |
| WISM-20_P1_SP82_IND156_637383713953011337.jpeg | Skelet | 1 | 1 | 82 | 156 | | | Zonder benen, zonder hoofd |
| WISM-20_P1_SP82_IND156_637383713967826381.jpeg | Skelet | 1 | 1 | 82 | 156 | | | Zonder benen, zonder hoofd |
| WISM-20_P1_SP82_IND156_637383713983099755.jpeg | Skelet | 1 | 1 | 82 | 156 | | | Zonder benen, zonder hoofd |
| WISM-20_P1_SP82_IND156_637383713999280560.jpeg | Skelet | 1 | 1 | 82 | 156 | | | Zonder benen, zonder hoofd |
| WISM-20_P1_SP82_IND156_637383714015503020.jpeg | Skelet | 1 | 1 | 82 | 156 | | | Zonder benen, zonder hoofd |
| WISM-20_P1_SP84_IND166_637388022444370169.jpeg | Skelet | 1 | 1 | 84 | 166 | | | |
| WISM-20_P1_SP84_IND166_637388022459188075.jpeg | Skelet | 1 | 1 | 84 | 166 | | | |
| WISM-20_P1_SP84_IND166_637388022472439673.jpeg | Skelet | 1 | 1 | 84 | 166 | | | |
| WISM-20_P1_SP84_IND166_637388022487088124.jpeg | Skelet | 1 | 1 | 84 | 166 | | | |
| WISM-20_P1_SP84_IND166_637388022500804606.jpeg | Skelet | 1 | 1 | 84 | 166 | | | |
| WISM-20_P1_SP84_IND166_637388022513562513.jpeg | Skelet | 1 | 1 | 84 | 166 | | | |
| WISM-20_P1_SP84_IND166_637388022527066685.jpeg | Skelet | 1 | 1 | 84 | 166 | | | |
| WISM-20_P1_SP84_IND166_637388022541246621.jpeg | Skelet | 1 | 1 | 84 | 166 | | | |
| WISM-20_P1_SP84_IND166_637388022555121528.jpeg | Skelet | 1 | 1 | 84 | 166 | | | |
| WISM-20_P1_SP84_IND166_637388022569687229.jpeg | Skelet | 1 | 1 | 84 | 166 | | | |
| WISM-20_P1_SP84_IND166_637388022583719594.jpeg | Skelet | 1 | 1 | 84 | 166 | | | |
| WISM-20_P1_SP84_IND166_637388022597064458.jpeg | Skelet | 1 | 1 | 84 | 166 | | | |
| WISM-20_P1_SP84_IND166_637388022610409276.jpeg | Skelet | 1 | 1 | 84 | 166 | | | |
| WISM-20_P1_SP84_IND166_637388023711082464.jpeg | Skelet | 1 | 1 | 84 | 166 | | | |
| WISM-20_P1_SP85_IND154_637382895843956412.jpeg | Skelet | 1 | 1 | 85 | 154 | | | |

| Bestand | Soort | Put | Vlak | Spoor | Individu | Coupe | Profielnr. | Opmerking |
|---|---|---|---|---|---|---|---|---|
| WISM-20_P1_SP85_IND154_637382895850828596.jpeg | Skelet | 1 | 1 | 85 | 154 | | | |
| WISM-20_P1_SP85_IND154_637382895857011167.jpeg | Skelet | 1 | 1 | 85 | 154 | | | |
| WISM-20_P1_SP85_IND154_637382895868805769.jpeg | Skelet | 1 | 1 | 85 | 154 | | | |
| WISM-20_P1_SP85_IND154_637382895875210085.jpeg | Skelet | 1 | 1 | 85 | 154 | | | |
| WISM-20_P1_SP85_IND154_637382895881551376.jpeg | Skelet | 1 | 1 | 85 | 154 | | | |
| WISM-20_P1_SP85_IND154_637382895887520753.jpeg | Skelet | 1 | 1 | 85 | 154 | | | |
| WISM-20_P1_SP85_IND154_637382895893988911.jpeg | Skelet | 1 | 1 | 85 | 154 | | | |
| WISM-20_P1_SP85_IND154_637382895900112707.jpeg | Skelet | 1 | 1 | 85 | 154 | | | |
| WISM-20_P1_SP85_IND154_637382895906546033.jpeg | Skelet | 1 | 1 | 85 | 154 | | | |
| WISM-20_P1_SP85_IND154_637382896178463020.jpeg | Skelet | 1 | 1 | 85 | 154 | | | |
| WISM-20_P1_SP86_IND150_637382831498933338.jpeg | Skelet | 1 | 2 | 86 | 150 | | | Onder rioolbuis |
| WISM-20_P1_SP86_IND150_637382831506102300.jpeg | Skelet | 1 | 2 | 86 | 150 | | | Onder rioolbuis |
| WISM-20_P1_SP86_IND150_637382831513515961.jpeg | Skelet | 1 | 2 | 86 | 150 | | | Onder rioolbuis |
| WISM-20_P1_SP86_IND150_637382831520384267.jpeg | Skelet | 1 | 2 | 86 | 150 | | | Onder rioolbuis |
| WISM-20_P1_SP86_IND150_637382832053778625.jpeg | Skelet | 1 | 2 | 86 | 150 | | | Onder rioolbuis |
| WISM-20_P1_SP86_IND150_637382886420513230.jpeg | Skelet | 1 | 1 | 86 | 150 | | | |
| WISM-20_P1_SP87_IND151_637381948148741833.jpeg | Skelet | 1 | 2 | 87 | 151 | | | |
| WISM-20_P1_SP87_IND151_637381948165305244.jpeg | Skelet | 1 | 2 | 87 | 151 | | | |
| WISM-20_P1_SP87_IND151_637381948185177633.jpeg | Skelet | 1 | 2 | 87 | 151 | | | |
| WISM-20_P1_SP87_IND151_637381948209714845.jpeg | Skelet | 1 | 2 | 87 | 151 | | | |
| WISM-20_P1_SP87_IND151_637381948230839750.jpeg | Skelet | 1 | 2 | 87 | 151 | | | |
| WISM-20_P1_SP88_IND152_637381972443168111.jpeg | Skelet | 1 | 2 | 88 | 152 | | | |
| WISM-20_P1_SP88_IND152_637381972461264687.jpeg | Skelet | 1 | 2 | 88 | 152 | | | |
| WISM-20_P1_SP88_IND152_637381972481833471.jpeg | Skelet | 1 | 2 | 88 | 152 | | | |
| WISM-20_P1_SP89_IND153_637381944581344492.jpeg | Skelet | 1 | 3 | 89 | 153 | | | |
| WISM-20_P1_SP89_IND153_637381944750524835.jpeg | Skelet | 1 | 3 | 89 | 153 | | | |
| WISM-20_P1_SP89_IND153_637381944773165450.jpeg | Skelet | 1 | 3 | 89 | 153 | | | |
| WISM-20_P1_SP91_IND175_637388858686003287.jpeg | Skelet | 1 | 1 | 91 | 175 | | | |
| WISM-20_P1_SP91_IND175_637388858700534651.jpeg | Skelet | 1 | 1 | 91 | 175 | | | |
| WISM-20_P1_SP91_IND175_637388858713551299.jpeg | Skelet | 1 | 1 | 91 | 175 | | | |
| WISM-20_P1_SP91_IND175_637388858726949609.jpeg | Skelet | 1 | 1 | 91 | 175 | | | |
| WISM-20_P1_SP91_IND175_637388858740484709.jpeg | Skelet | 1 | 1 | 91 | 175 | | | |
| WISM-20_P1_SP91_IND175_637388858754370667.jpeg | Skelet | 1 | 1 | 91 | 175 | | | |
| WISM-20_P1_SP91_IND175_637388858767193994.jpeg | Skelet | 1 | 1 | 91 | 175 | | | |
| WISM-20_P1_SP91_IND175_637388858780384710.jpeg | Skelet | 1 | 1 | 91 | 175 | | | |
| WISM-20_P1_SP91_IND175_637388858793561490.jpeg | Skelet | 1 | 1 | 91 | 175 | | | |
| WISM-20_P1_SP91_IND175_637388858806123173.jpeg | Skelet | 1 | 1 | 91 | 175 | | | |

| Bestand | Soort | Put | Vlak | Spoor | Individu | Coupe | Profielnr. | Opmerking |
|---|---|---|---|---|---|---|---|---|
| WISM-20_P1_SP91_IND175_637388858819450392.jpeg | Skelet | 1 | 1 | 91 | 175 | | | |
| WISM-20_P1_SP91_IND175_637388858832492164.jpeg | Skelet | 1 | 1 | 91 | 175 | | | |
| WISM-20_P1_SP91_IND175_637388858846099729.jpeg | Skelet | 1 | 1 | 91 | 175 | | | |
| WISM-20_P1_SP91_IND175_637388858859648882.jpeg | Skelet | 1 | 1 | 91 | 175 | | | |
| WISM-20_P1_SP91_IND175_637388858872149676.jpeg | Skelet | 1 | 1 | 91 | 175 | | | |
| WISM-20_P1_SP91_IND175_637388858886895778.jpeg | Skelet | 1 | 1 | 91 | 175 | | | |
| WISM-20_P1_SP91_IND175_637388858914675156.jpeg | Skelet | 1 | 1 | 91 | 175 | | | |
| WISM-20_P1_SP91_IND175_637388871121394368.jpeg | Skelet | 1 | 1 | 91 | 175 | | | |
| WISM-20_P1_SP91_IND175_637388871138448471.jpeg | Skelet | 1 | 1 | 91 | 175 | | | |
| WISM-20_P1_SP91_IND175_637388871154321174.jpeg | Skelet | 1 | 1 | 91 | 175 | | | |
| WISM-20_P1_SP91_IND175_637388871168344383.jpeg | Skelet | 1 | 1 | 91 | 175 | | | |
| WISM-20_P1_SP91_IND175_637389627822635648.jpeg | Skelet | 1 | 2 | 91 | 175 | | | |
| WISM-20_P1_SP91_IND175_637389627836762258.jpeg | Skelet | 1 | 2 | 91 | 175 | | | |
| WISM-20_P1_SP91_IND175_637389627850462930.jpeg | Skelet | 1 | 2 | 91 | 175 | | | |
| WISM-20_P1_SP91_IND175_637389627863662044.jpeg | Skelet | 1 | 2 | 91 | 175 | | | |
| WISM-20_P1_SP91_IND175_637389627877898393.jpeg | Skelet | 1 | 2 | 91 | 175 | | | |
| WISM-20_P1_SP91_IND175_637389627891378725.jpeg | Skelet | 1 | 2 | 91 | 175 | | | |
| WISM-20_P1_SP91_IND175_637389627905956475.jpeg | Skelet | 1 | 2 | 91 | 175 | | | |
| WISM-20_P1_SP91_IND175_637389627918157583.jpeg | Skelet | 1 | 2 | 91 | 175 | | | |
| WISM-20_P1_SP91_IND175_637389627930966173.jpeg | Skelet | 1 | 2 | 91 | 175 | | | |
| WISM-20_P1_SP91_IND175_637389627946030416.jpeg | Skelet | 1 | 2 | 91 | 175 | | | |
| WISM-20_P1_SP93_IND171_637388744230589861.jpeg | Skelet | 1 | 1 | 93 | 171 | | | |
| WISM-20_P1_SP93_IND171_637388744244044423.jpeg | Skelet | 1 | 1 | 93 | 171 | | | |
| WISM-20_P1_SP93_IND171_637388744257009607.jpeg | Skelet | 1 | 1 | 93 | 171 | | | |
| WISM-20_P1_SP93_IND171_637388744270571205.jpeg | Skelet | 1 | 1 | 93 | 171 | | | |
| WISM-20_P1_SP93_IND171_637388744283757873.jpeg | Skelet | 1 | 1 | 93 | 171 | | | |
| WISM-20_P1_SP93_IND171_637388744297780614.jpeg | Skelet | 1 | 1 | 93 | 171 | | | |
| WISM-20_P1_SP93_IND171_637388744312193064.jpeg | Skelet | 1 | 1 | 93 | 171 | | | |
| WISM-20_P1_SP94_IND172_637388742969615983.jpeg | Skelet | 1 | 1 | 94 | 172 | | | S93 en IND171 |
| WISM-20_P1_SP94_IND172_637388742983794061.jpeg | Skelet | 1 | 1 | 94 | 172 | | | S93 en IND171 |
| WISM-20_P1_SP94_IND172_637388742997813656.jpeg | Skelet | 1 | 1 | 94 | 172 | | | S93 en IND171 |
| WISM-20_P1_SP94_IND172_637388743011071710.jpeg | Skelet | 1 | 1 | 94 | 172 | | | S93 en IND171 |
| WISM-20_P1_SP94_IND172_637388743024971500.jpeg | Skelet | 1 | 1 | 94 | 172 | | | S93 en IND171 |
| WISM-20_P1_SP94_IND172_637388743039042023.jpeg | Skelet | 1 | 1 | 94 | 172 | | | S93 en IND171 |
| WISM-20_P1_SP94_IND172_637388743053223994.jpeg | Skelet | 1 | 1 | 94 | 172 | | | S93 en IND171 |
| WISM-20_P1_SP94_IND172_637388743066417138.jpeg | Skelet | 1 | 1 | 94 | 172 | | | S93 en IND171 |
| WISM-20_P1_SP94_IND172_637388743079600333.jpeg | Skelet | 1 | 1 | 94 | 172 | | | S93 en IND171 |

| Bestand | Soort | Put | Vlak | Spoor | Individu | Coupe | Profielnr. | Opmerking |
|---|---|---|---|---|---|---|---|---|
| WISM-20_P1_SP94_IND172_637388745077924990.jpeg | Skelet | 1 | 1 | 94 | 172 | | | |
| WISM-20_P1_SP94_IND172_637388745093441967.jpeg | Skelet | 1 | 1 | 94 | 172 | | | |
| WISM-20_P1_SP94_IND172_637388745109722831.jpeg | Skelet | 1 | 1 | 94 | 172 | | | |
| WISM-20_P1_SP94_IND172_637388745123219221.jpeg | Skelet | 1 | 1 | 94 | 172 | | | |
| WISM-20_P1_SP94_IND172_637388745144026854.jpeg | Skelet | 1 | 1 | 94 | 172 | | | |
| WISM-20_P1_SP94_IND172_637388745157514685.jpeg | Skelet | 1 | 1 | 94 | 172 | | | |
| WISM-20_P1_SP94_IND172_637388745170846574.jpeg | Skelet | 1 | 1 | 94 | 172 | | | |
| WISM-20_P1_SP97_IND179_637389587912134961.jpeg | Skelet | 1 | 2 | 97 | 179 | | | |
| WISM-20_P1_SP97_IND179_637389587927040402.jpeg | Skelet | 1 | 2 | 97 | 179 | | | |
| WISM-20_P1_SP97_IND179_637389587941537573.jpeg | Skelet | 1 | 2 | 97 | 179 | | | |
| WISM-20_P1_SP97_IND179_637389587956638241.jpeg | Skelet | 1 | 2 | 97 | 179 | | | |
| WISM-20_P1_SP97_IND179_637389587972056965.jpeg | Skelet | 1 | 2 | 97 | 179 | | | |
| WISM-20_P1_SP97_IND179_637389587986271954.jpeg | Skelet | 1 | 2 | 97 | 179 | | | |
| WISM-20_P1_SP97_IND179_637389588001993312.jpeg | Skelet | 1 | 2 | 97 | 179 | | | |
| WISM-20_P1_SP97_IND179_637389588018191184.jpeg | Skelet | 1 | 2 | 97 | 179 | | | |
| WISM-20_P1_SP97_IND179_637389588033848228.jpeg | Skelet | 1 | 2 | 97 | 179 | | | |
| WISM-20_P1_SP97_IND179_637389588048867279.jpeg | Skelet | 1 | 2 | 97 | 179 | | | |
| WISM-20_P1_SP97_IND179_637389588062572634.jpeg | Skelet | 1 | 2 | 97 | 179 | | | |
| WISM-20_P1_SP97_IND179_637389588077916913.jpeg | Skelet | 1 | 2 | 97 | 179 | | | |
| WISM-20_P1_SP97_IND179_637389588092318669.jpeg | Skelet | 1 | 2 | 97 | 179 | | | |
| WISM-20_P1_SP97_IND179_637389588106981598.jpeg | Skelet | 1 | 2 | 97 | 179 | | | |
| WISM-20_P1_SP97_IND179_637389588122549394.jpeg | Skelet | 1 | 2 | 97 | 179 | | | |
| WISM-20_P1_SP98_IND180_637389596963692628.jpeg | Skelet | 1 | 2 | 98 | 180 | | | |
| WISM-20_P1_SP98_IND180_637389596978872762.jpeg | Skelet | 1 | 2 | 98 | 180 | | | |
| WISM-20_P1_SP98_IND180_637389596998095407.jpeg | Skelet | 1 | 2 | 98 | 180 | | | |
| WISM-20_P1_SP98_IND180_637389597010966003.jpeg | Skelet | 1 | 2 | 98 | 180 | | | |
| WISM-20_P1_SP98_IND180_637389597024707835.jpeg | Skelet | 1 | 2 | 98 | 180 | | | |
| WISM-20_P1_SP98_IND180_637389597056450995.jpeg | Skelet | 1 | 2 | 98 | 180 | | | |
| WISM-20_P1_SP98_IND180_637389597132944263.jpeg | Skelet | 1 | 2 | 98 | 180 | | | |
| WISM-20_P1_SP98_IND180_637389597218701593.jpeg | Skelet | 1 | 2 | 98 | 180 | | | |
| WISM-20_P1_SP98_IND180_637389597263955310.jpeg | Skelet | 1 | 2 | 98 | 180 | | | |
| WISM-20_P1_SP98_IND180_637389597274448902.jpeg | Skelet | 1 | 2 | 98 | 180 | | | |
| WISM-20_P1_SP98_IND180_637389597284457111.jpeg | Skelet | 1 | 2 | 98 | 180 | | | |
| WISM-20_P1_SP98_IND180_637389597293658392.jpeg | Skelet | 1 | 2 | 98 | 180 | | | |
| WISM-20_P1_SP98_IND180_637389597312547007.jpeg | Skelet | 1 | 2 | 98 | 180 | | | |
| WISM-20_P1_SP98_IND180_637389597326897326.jpeg | Skelet | 1 | 2 | 98 | 180 | | | |
| WISM-20_P1_SP98_IND180_637389597342491745.jpeg | Skelet | 1 | 2 | 98 | 180 | | | |

| Bestand | Soort | Put | Vlak | Spoor | Individu | Coupe | Profielnr. | Opmerking |
|---|---|---|---|---|---|---|---|---|
| WISM-20_P1_SP98_IND180_637389597359339840.jpeg | Skelet | 1 | 2 | 98 | 180 | | | |
| WISM-20_P1_SP98_IND180_637389602708818991.jpeg | Skelet | 1 | 2 | 98 | 180 | | | |
| WISM-20_P1_SP98_IND180_637389602721872309.jpeg | Skelet | 1 | 2 | 98 | 180 | | | |
| WISM-20_P1_SP98_IND180_637389602735728382.jpeg | Skelet | 1 | 2 | 98 | 180 | | | |
| WISM-20_P1_SP98_IND180_637389602748685210.jpeg | Skelet | 1 | 2 | 98 | 180 | | | |
| WISM-20_P1_SP98_IND180_637389602775426854.jpeg | Skelet | 1 | 2 | 98 | 180 | | | |
| WISM-20_P1_SP98_IND180_637389602793444444.jpeg | Skelet | 1 | 2 | 98 | 180 | | | |
| WISM-20_P1_SP99_IND160_637387156551029410.jpeg | Skelet | 1 | 1 | 99 | 160 | | | Met wat kisthout |
| WISM-20_P1_SP99_IND160_637387156570755411.jpeg | Skelet | 1 | 1 | 99 | 160 | | | Met wat kisthout |
| WISM-20_P1_SP99_IND160_637387156584621098.jpeg | Skelet | 1 | 1 | 99 | 160 | | | Met wat kisthout |
| WISM-20_P1_SP99_IND160_637387172680288567.jpeg | Skelet | 1 | 1 | 99 | 160 | | | |
| WISM-20_P1_SP99_IND160_637387172696052259.jpeg | Skelet | 1 | 1 | 99 | 160 | | | |
| WISM-20_P1_SP99_IND160_637387172710622035.jpeg | Skelet | 1 | 1 | 99 | 160 | | | |
| WISM-20_P1_SP99_IND160_637387172724635548.jpeg | Skelet | 1 | 1 | 99 | 160 | | | |
| WISM-20_P1_SP99_IND160_637387172738283329.jpeg | Skelet | 1 | 1 | 99 | 160 | | | |
| WISM-20_P1_SP99_IND160_637387172751850738.jpeg | Skelet | 1 | 1 | 99 | 160 | | | |
| WISM-20_P1_SP99_IND160_637387172766196865.jpeg | Skelet | 1 | 1 | 99 | 160 | | | |
| WISM-20_P1_SP99_IND160_637387172780366772.jpeg | Skelet | 1 | 1 | 99 | 160 | | | |
| WISM-20_P1_SP99_IND160_637387172795236652.jpeg | Skelet | 1 | 1 | 99 | 160 | | | |
| WISM-20_P1_SP99_IND160_637387172807966814.jpeg | Skelet | 1 | 1 | 99 | 160 | | | |
| WISM-20_P1_SP99_IND160_637387172821058333.jpeg | Skelet | 1 | 1 | 99 | 160 | | | |
| WISM-20_P1_SP99_IND160_637387172836113473.jpeg | Skelet | 1 | 1 | 99 | 160 | | | |
| WISM-20_P1_SP99_IND160_637387172851290798.jpeg | Skelet | 1 | 1 | 99 | 160 | | | |
| WISM-20_P1_SP99_IND160_637387172867099497.jpeg | Skelet | 1 | 1 | 99 | 160 | | | |
| WISM-20_P1_SP99_IND160_637387172879856359.jpeg | Skelet | 1 | 1 | 99 | 160 | | | |
| WISM-20_P1_SP99_IND160_637387172894740035.jpeg | Skelet | 1 | 1 | 99 | 160 | | | |

WISM-20_P1_PR1_637390458992659522.jpeg

WISM-20_P1_PR1_637390459007304376.jpeg

WISM-20_P1_PR1_637390459022167237.jpeg

WISM-20_P1_PR1_637390459045585442.jpeg

WISM-20_P1_PR1_637390460236028649.jpeg

WISM-20_P1_PR1_637390460249624675.jpeg

WISM-20_P1_PR1_637390460262104419.jpeg

WISM-20_P1_PR1_637390460274986282.jpeg

WISM-20_P1_PR2_637393059868972518.jpeg

WISM-20_P1_PR2_637393059881239435.jpeg

WISM-20_P1_PR2_637393059894892147.jpeg

WISM-20_P1_PR2_637393059907919032.jpeg

WISM-20_P1_PR2_637393059921495016.jpeg

WISM-20_P1_PR2_637393069065832330.jpeg

WISM-20_P1_PR2_637393069101072794.jpeg

WISM-20_P1_PR2_637393069124983865.jpeg

WISM-20_P1_PR2_637393069139204557.jpeg

WISM-20_P1_PR2_637393069152717277.jpeg

WISM-20_P1_PR2_637393069166906807.jpeg

WISM-20_P1_PR2_637393069179933464.jpeg

WISM-20_P1_PR2_637393088651308936.jpeg

WISM-20_P1_PR2_637393088669012274.jpeg

WISM-20_P1_PR2_637393088690234128.jpeg

WISM-20_P1_PR2_637393088703042472.jpeg

WISM-20_P1_PR2_637393088723603647.jpeg

WISM-20_P1_SP1_637358646790613424.jpeg

WISM-20_P1_SP1_637358646804414772.jpeg

WISM-20_P1_SP1_637366249343643221.jpeg

WISM-20_P1_SP1_637366249358833298.jpeg

WISM-20_P1_SP1_637366249374163742.jpeg

WISM-20_P1_SP1_637366249391570191.jpeg

WISM-20_P1_SP1_637366249410062870.jpeg

WISM-20_P1_SP1_637366249429456620.jpeg

WISM-20_P1_SP1_637366249445686267.jpeg

WISM-20_P1_SP1_637366249463337524.jpeg

WISM-20_P1_SP1_637366249479728153.jpeg

WISM-20_P1_SP1_637366249495904275.jpeg

WISM-20_P1_SP1_637366249513236317.jpeg

WISM-20_P1_SP1_637366249531427005.jpeg

WISM-20_P1_SP1_637366249550037810.jpeg

WISM-20_P1_SP1_637366249573797058.jpeg

WISM-20_P1_SP1_637366249592977592.jpeg

WISM-20_P1_SP1_637366249615534465.jpeg

WISM-20_P1_SP1_637374941938015455.jpeg

WISM-20_P1_SP1_637374941952841009.jpeg

WISM-20_P1_SP1_637374941966062802.jpeg

WISM-20_P1_SP1_637374941979152856.jpeg

WISM-20_P1_SP10_637363633888185435.jpeg

WISM-20_P1_SP10_637363633901671609.jpeg

WISM-20_P1_SP10_637363633915077562.jpeg

WISM-20_P1_SP10_637363633928573062.jpeg

WISM-20_P1_SP10_637363633941134901.jpeg

WISM-20_P1_SP10_637377455892042991.jpeg

WISM-20_P1_SP10_637377455906054950.jpeg

WISM-20_P1_SP10_637377455921253915.jpeg

WISM-20_P1_SP10_637377455937288727.jpeg

WISM-20_P1_SP10_637377455951327109.jpeg

WISM-20_P1_SP10_637377455976176301.jpeg

WISM-20_P1_SP10_637377456017729213.jpeg

WISM-20_P1_SP10_637377456031514850.jpeg

WISM-20_P1_SP10_637377456045011429.jpeg

WISM-20_P1_SP10_637377456059269888.jpeg

WISM-20_P1_SP10_637377456073137935.jpeg

WISM-20_P1_SP10_637377456085625142.jpeg

WISM-20_P1_SP10_637377456099812147.jpeg

WISM-20_P1_SP10_637377456112845525.jpeg

WISM-20_P1_SP10_637377456126240818.jpeg

WISM-20_P1_SP10_637377456152765916.jpeg

WISM-20_P1_SP10_637377456165162737.jpeg

WISM-20_P1_SP10_637377456178648733.jpeg

WISM-20_P1_SP10_637377456192358796.jpeg

WISM-20_P1_SP10_637377456204854797.jpeg

WISM-20_P1_SP10_637377456218407254.jpeg

WISM-20_P1_SP100_637383762870096700.jpeg

WISM-20_P1_SP100_637383762894685928.jpeg

WISM-20_P1_SP101_637384455880947992.jpeg

WISM-20_P1_SP101_637384455905832194.jpeg

WISM-20_P1_SP101_637384455920859820.jpeg

WISM-20_P1_SP101_637384455934479928.jpeg

WISM-20_P1_SP101_637384455947836281.jpeg

WISM-20_P1_SP101_637384455960921388.jpeg

WISM-20_P1_SP101_637384455975095641.jpeg

WISM-20_P1_SP101_637384455988282294.jpeg

WISM-20_P1_SP101_637384456001569610.jpeg

WISM-20_P1_SP101_637384456015612465.jpeg

WISM-20_P1_SP101_637384456028633236.jpeg

WISM-20_P1_SP101_637384456042696688.jpeg

WISM-20_P1_SP101_637384456056301319.jpeg

WISM-20_P1_SP102_637387017468415278.jpeg

WISM-20_P1_SP102_637387017482740532.jpeg

WISM-20_P1_SP102_637387017494912699.jpeg

WISM-20_P1_SP102_637387017508011678.jpeg

WISM-20_P1_SP102_637387017521573594.jpeg

WISM-20_P1_SP102_637389606842361215.jpeg

WISM-20_P1_SP102_637389606856106110.jpeg

WISM-20_P1_SP102_637389606869788877.jpeg

WISM-20_P1_SP102_637389610014605443.jpeg

WISM-20_P1_SP102_637389610028092458.jpeg

WISM-20_P1_SP103_637387020745889243.jpeg

WISM-20_P1_SP103_637387020761608618.jpeg

WISM-20_P1_SP103_637387020776725107.jpeg

WISM-20_P1_SP103_637387020797084352.jpeg

WISM-20_P1_SP105_637387099197276042.jpeg

WISM-20_P1_SP105_637387099210146997.jpeg

WISM-20_P1_SP105_637387099224363263.jpeg

WISM-20_P1_SP105_637387099238914160.jpeg

WISM-20_P1_SP105_637387099251625066.jpeg

WISM-20_P1_SP105_637387099264655507.jpeg

WISM-20_P1_SP106_637387103298733808.jpeg

WISM-20_P1_SP106_637387103343340009.jpeg

WISM-20_P1_SP106_637387103445231641.jpeg

WISM-20_P1_SP107_637387100633050707.jpeg

WISM-20_P1_SP107_637387100647607830.jpeg

WISM-20_P1_SP107_637387100666196404.jpeg

WISM-20_P1_SP107_637387100679912339.jpeg

WISM-20_P1_SP107_637387100694241614.jpeg

WISM-20_P1_SP107_637387222700034848.jpeg

WISM-20_P1_SP107_637387222713595997.jpeg

WISM-20_P1_SP107_637387222726922688.jpeg

WISM-20_P1_SP107_637387222739507214.jpeg

WISM-20_P1_SP107_637387222752308679.jpeg

WISM-20_P1_SP108_637387102078454380.jpeg

WISM-20_P1_SP108_637387102092782663.jpeg

WISM-20_P1_SP108_637387102108345527.jpeg

WISM-20_P1_SP11_637387016225669468.jpeg

WISM-20_P1_SP11_637387016239843966.jpeg

WISM-20_P1_SP11_637387016253410307.jpeg

WISM-20_P1_SP111_637390450218019147.jpeg

WISM-20_P1_SP111_637390450232328823.jpeg

WISM-20_P1_SP111_637390450245194287.jpeg

WISM-20_P1_SP111_637390450259442685.jpeg

WISM-20_P1_SP111_637390450272943686.jpeg

WISM-20_P1_SP111_637390450302553819.jpeg

WISM-20_P1_SP111_637390450331616627.jpeg

WISM-20_P1_SP111_637390450348286281.jpeg

WISM-20_P1_SP111_637390450369620084.jpeg

WISM-20_P1_SP111_637390450392351851.jpeg

WISM-20_P1_SP111_637390450411231657.jpeg

WISM-20_P1_SP111_637390450419017507.jpeg

WISM-20_P1_SP111_637390450435339131.jpeg

WISM-20_P1_SP111_637390450453083779.jpeg

WISM-20_P1_SP111_637390450463374429.jpeg

WISM-20_P1_SP111_637390450473176498.jpeg

WISM-20_P1_SP111_637390450484356980.jpeg

WISM-20_P1_SP111_637390450495909813.jpeg

WISM-20_P1_SP111_637390450506933974.jpeg

WISM-20_P1_SP111_637390450518530829.jpeg

WISM-20_P1_SP111_637390450528021012.jpeg

WISM-20_P1_SP111_637390450537768906.jpeg

WISM-20_P1_SP111_637390450546948344.jpeg

WISM-20_P1_SP111_637390450568837624.jpeg

WISM-20_P1_SP111_637390450584658946.jpeg

WISM-20_P1_SP111_637390450598898256.jpeg

WISM-20_P1_SP111_637390450612549530.jpeg

WISM-20_P1_SP111_637390450627902173.jpeg

WISM-20_P1_SP111_637390450643232806.jpeg

WISM-20_P1_SP111_637390450658602588.jpeg

WISM-20_P1_SP111_637390450672950999.jpeg

WISM-20_P1_SP111_637390450686988281.jpeg

WISM-20_P1_SP116_637388753469519240.jpeg

WISM-20_P1_SP116_637388753501070355.jpeg

WISM-20_P1_SP116_637388753513812853.jpeg

WISM-20_P1_SP116_637388753541562606.jpeg

WISM-20_P1_SP116_637388753555061054.jpeg

WISM-20_P1_SP117_637388757615248028.jpeg

WISM-20_P1_SP117_637388757628968969.jpeg

WISM-20_P1_SP117_637388757642990596.jpeg

WISM-20_P1_SP117_637388757656176581.jpeg

WISM-20_P1_SP117_637388757669384119.jpeg

WISM-20_P1_SP117_637388757683428374.jpeg

WISM-20_P1_SP117_637388757701120041.jpeg

WISM-20_P1_SP117_637388757715206241.jpeg

WISM-20_P1_SP117_637388757729177254.jpeg

WISM-20_P1_SP117_637388757743268371.jpeg

WISM-20_P1_SP117_637388757766018149.jpeg

WISM-20_P1_SP117_637388757793262794.jpeg

WISM-20_P1_SP117_637388757806652457.jpeg

WISM-20_P1_SP117_637388757820025352.jpeg

WISM-20_P1_SP117_637388757833884782.jpeg

WISM-20_P1_SP117_637388757847904057.jpeg

WISM-20_P1_SP117_637388757862561099.jpeg

WISM-20_P1_SP117_637388757875429467.jpeg

WISM-20_P1_SP117_637388757888299542.jpeg

WISM-20_P1_SP117_637388757901634713.jpeg

WISM-20_P1_SP12_637387014824462310.jpeg

WISM-20_P1_SP12_637387014838485251.jpeg

WISM-20_P1_SP12_637387014852396829.jpeg

WISM-20_P1_SP12_637387014871146037.jpeg

WISM-20_P1_SP12_637387014915646255.jpeg

WISM-20_P1_SP12_637387014928236531.jpeg

WISM-20_P1_SP12_637387014941796706.jpeg

WISM-20_P1_SP12_637387014956247280.jpeg

WISM-20_P1_SP125_637389817670058288.jpeg

WISM-20_P1_SP125_637389817696273653.jpeg

WISM-20_P1_SP125_637389817726225017.jpeg

WISM-20_P1_SP125_637389817795254643.jpeg

WISM-20_P1_SP127_637390605265083626.jpeg

WISM-20_P1_SP127_637390605280007447.jpeg

WISM-20_P1_SP127_637390605295062825.jpeg

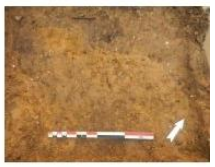
WISM-20_P1_SP127_637390605368295498.jpeg

WISM-20_P1_SP127_637390605440131282.jpeg

WISM-20_P1_SP127_637390605498980214.jpeg

WISM-20_P1_SP127_637390605513851030.jpeg

WISM-20_P1_SP127_637390605533104912.jpeg

WISM-20_P1_SP127_637390605564710048.jpeg

WISM-20_P1_SP127_637390605579054638.jpeg

WISM-20_P1_SP127_637390605592076199.jpeg

WISM-20_P1_SP127_637390605606401668.jpeg

WISM-20_P1_SP13_637376592987639892.jpeg

WISM-20_P1_SP13_637376593002937934.jpeg

WISM-20_P1_SP13_637376593017501022.jpeg

WISM-20_P1_SP13_637376593034393800.jpeg

WISM-20_P1_SP13_637376593050196891.jpeg

WISM-20_P1_SP13_637376593065376512.jpeg

WISM-20_P1_SP13_637376617772942964.jpeg

WISM-20_P1_SP13_637376617791435659.jpeg

WISM-20_P1_SP130_637389825634990016.jpeg

WISM-20_P1_SP130_637389825664528979.jpeg

WISM-20_P1_SP130_637389825679188132.jpeg

WISM-20_P1_SP130_637389825690982401.jpeg

WISM-20_P1_SP132_637390437845234820.jpeg

WISM-20_P1_SP132_637390437882124121.jpeg

WISM-20_P1_SP132_637390437914561738.jpeg

WISM-20_P1_SP133_637390659609355306.jpeg

WISM-20_P1_SP133_637390659631665708.jpeg

WISM-20_P1_SP133_637390659647322870.jpeg

WISM-20_P1_SP133_637390659662348589.jpeg

WISM-20_P1_SP133_637390659691646463.jpeg

WISM-20_P1_SP133_637390659712679077.jpeg

WISM-20_P1_SP133_637390659730568517.jpeg

WISM-20_P1_SP133_637390659758106274.jpeg

WISM-20_P1_SP133_637390659788781818.jpeg

WISM-20_P1_SP133_637390659802821908.jpeg

WISM-20_P1_SP133_637390659825412227.jpeg

WISM-20_P1_SP133_637390659849998193.jpeg

WISM-20_P1_SP133_637390659869642101.jpeg

WISM-20_P1_SP134_637390526809641738.jpeg

WISM-20_P1_SP134_637390526824648850.jpeg

WISM-20_P1_SP134_637390526901390554.jpeg

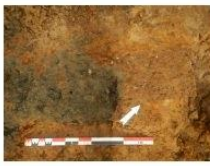
WISM-20_P1_SP134_637390526974384079.jpeg

WISM-20_P1_SP134_637390527057622907.jpeg

WISM-20_P1_SP134_637390527077621068.jpeg

WISM-20_P1_SP134_637390527092579170.jpeg

WISM-20_P1_SP134_637390527107790915.jpeg

WISM-20_P1_SP134_637390527121652531.jpeg

WISM-20_P1_SP135_637390527828264299.jpeg

WISM-20_P1_SP135_637390527842913083.jpeg

WISM-20_P1_SP135_637390527857618334.jpeg

WISM-20_P1_SP135_637390527873798954.jpeg

WISM-20_P1_SP135_637390527889004277.jpeg

WISM-20_P1_SP136_637390529130907538.jpeg

WISM-20_P1_SP136_637390529144951273.jpeg

WISM-20_P1_SP136_637390529160455839.jpeg

WISM-20_P1_SP136_637390529174796261.jpeg

WISM-20_P1_SP136_637390529189201540.jpeg

WISM-20_P1_SP136_637390529203320896.jpeg

WISM-20_P1_SP136_637390529217458991.jpeg

WISM-20_P1_SP136_637390529231654441.jpeg

WISM-20_P1_SP136_637390529245742862.jpeg

WISM-20_P1_SP137_637390525611550898.jpeg

WISM-20_P1_SP137_637390525628112889.jpeg

WISM-20_P1_SP137_637390525640765802.jpeg

WISM-20_P1_SP137_637390525654793731.jpeg

WISM-20_P1_SP137_637390525668192396.jpeg

WISM-20_P1_SP14_637376594536422121.jpeg

WISM-20_P1_SP14_637376594550736058.jpeg

WISM-20_P1_SP14_637376594565605832.jpeg

WISM-20_P1_SP14_637376594579900127.jpeg

WISM-20_P1_SP14_637376594594134666.jpeg

WISM-20_P1_SP14_637376594607171847.jpeg

WISM-20_P1_SP140_637390665040912443.jpeg

WISM-20_P1_SP140_637390665058402557.jpeg

WISM-20_P1_SP140_637390665074437714.jpeg

WISM-20_P1_SP140_637390722482233804.jpeg

WISM-20_P1_SP140_637390722511542191.jpeg

WISM-20_P1_SP140_637390722525675174.jpeg

WISM-20_P1_SP140_637390722541487876.jpeg

WISM-20_P1_SP140_637390722556218969.jpeg

WISM-20_P1_SP140_637390722576000531.jpeg

WISM-20_P1_SP140_637390722589024813.jpeg

WISM-20_P1_SP140_637390722603388857.jpeg

WISM-20_P1_SP140_637390722648928927.jpeg

WISM-20_P1_SP15_637376598415049149.jpeg

WISM-20_P1_SP15_637376598430611230.jpeg

WISM-20_P1_SP15_637376598444522159.jpeg

WISM-20_P1_SP15_637376598458852200.jpeg

WISM-20_P1_SP15_637376598472719035.jpeg

WISM-20_P1_SP15_637376598486787711.jpeg

WISM-20_P1_SP15_637376598500584524.jpeg

WISM-20_P1_SP15_637376598513765377.jpeg

WISM-20_P1_SP15_637376598527786919.jpeg

WISM-20_P1_SP18_637378476770199157.jpeg

WISM-20_P1_SP18_637378476783696000.jpeg

WISM-20_P1_SP18_637378476798552646.jpeg

WISM-20_P1_SP18_637378476815118352.jpeg

WISM-20_P1_SP18_637378476830474712.jpeg

WISM-20_P1_SP20_637358648098585304.jpeg

WISM-20_P1_SP20_637358648112759471.jpeg

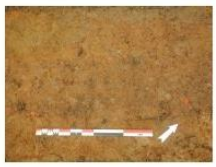
WISM-20_P1_SP21_637378393082708233.jpeg

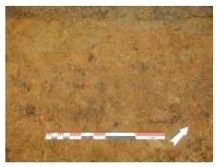
WISM-20_P1_SP21_637378393097356352.jpeg

WISM-20_P1_SP21_6373783931122 36841.jpeg

WISM-20_P1_SP21_6373783931297 32897.jpeg

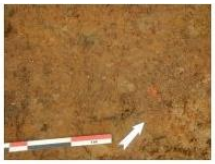
WISM-20_P1_SP21_6373783931489 14844.jpeg

WISM-20_P1_SP21_6373783931721 66188.jpeg

WISM-20_P1_SP21_6373783931950 27125.jpeg

WISM-20_P1_SP21_6373783932202 87356.jpeg

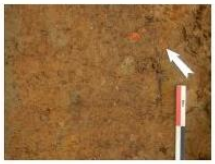
WISM-20_P1_SP21_6373783932425 10342.jpeg

WISM-20_P1_SP21_6373783932601 60711.jpeg

WISM-20_P1_SP21_6373783932757 20213.jpeg

WISM-20_P1_SP21_6373783932914 02497.jpeg

WISM-20_P1_SP21_6373783933061 37874.jpeg

WISM-20_P1_SP21_6373783933200 01515.jpeg

WISM-20_P1_SP21_6373783933355 05301.jpeg

WISM-20_P1_SP21_6373783933502 22687.jpeg

WISM-20_P1_SP21_6373783933646 99619.jpeg

WISM-20_P1_SP21_6373783933798 71801.jpeg

WISM-20_P1_SP21_6373783933961 85869.jpeg

WISM-20_P1_SP21_6373783934121 64255.jpeg

WISM-20_P1_SP21_6373783934284 10747.jpeg

WISM-20_P1_SP21_6373783934437 58388.jpeg

WISM-20_P1_SP21_6373783934595 15161.jpeg

WISM-20_P1_SP21_6373783934807 93813.jpeg

WISM-20_P1_SP21_6373783934962 80139.jpeg

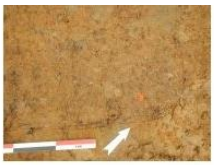
WISM-20_P1_SP21_6373783935098 47134.jpeg

WISM-20_P1_SP21_6373783935249 24827.jpeg

WISM-20_P1_SP21_6373783935397 42740.jpeg

WISM-20_P1_SP21_6373783935556 06452.jpeg

WISM-20_P1_SP21_6373783935711 96190.jpeg

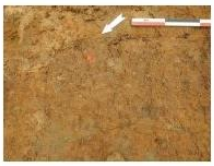
WISM-20_P1_SP21_6373783935852 22939.jpeg

WISM-20_P1_SP22_6373593132749 78421.jpeg

WISM-20_P1_SP22_6373593132941 61639.jpeg

WISM-20_P1_SP22_6373593133091 80212.jpeg

WISM-20_P1_SP22_6373593151377 22279.jpeg

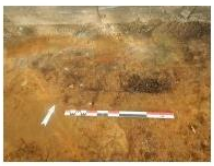
WISM-20_P1_SP22_6373593151510 48061.jpeg

WISM-20_P1_SP22_6373784011680 64992.jpeg

WISM-20_P1_SP22_6373784011927 93102.jpeg

WISM-20_P1_SP22_6373784012066 45978.jpeg

WISM-20_P1_SP22_6373784012217 41081.jpeg

WISM-20_P1_SP22_6373784012342 40053.jpeg

WISM-20_P1_SP22_6373784012480 11984.jpeg

WISM-20_P1_SP22_6373784012619 47308.jpeg

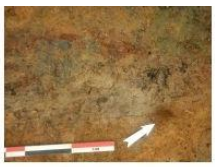
WISM-20_P1_SP22_6373784012756 81345.jpeg

WISM-20_P1_SP22_6373784012902 36975.jpeg

WISM-20_P1_SP22_6373784013041 89352.jpeg

WISM-20_P1_SP22_6373784013170 66815.jpeg

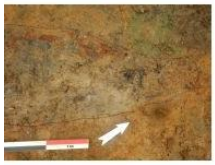
WISM-20_P1_SP22_6373784013296 24976.jpeg

WISM-20_P1_SP22_6373784013443 19164.jpeg

WISM-20_P1_SP23_6373586474912 32082.jpeg

WISM-20_P1_SP23_6373586475075 62287.jpeg

WISM-20_P1_SP23_6373586475266 00069.jpeg

WISM-20_P1_SP23_6373593141395 95335.jpeg

WISM-20_P1_SP23_6373593141526 23886.jpeg

WISM-20_P1_SP23_6373593141659 45544.jpeg

WISM-20_P1_SP23_6373593141804 39129.jpeg

WISM-20_P1_SP23_6373593141936 09446.jpeg

WISM-20_P1_SP23_6373593142076 19419.jpeg

WISM-20_P1_SP23_6373593142211 87826.jpeg

WISM-20_P1_SP23_6373594715083 74580.jpeg

WISM-20_P1_SP23_6373594715352 60190.jpeg

WISM-20_P1_SP23_6373594715495 03972.jpeg

WISM-20_P1_SP23_6373594715623 03327.jpeg

WISM-20_P1_SP23_6373594715761 70673.jpeg

WISM-20_P1_SP23_6373594715900 49017.jpeg

WISM-20_P1_SP23_6373594716033 92613.jpeg

WISM-20_P1_SP23_6373594716174 17934.jpeg

WISM-20_P1_SP23_6373595120749 73584.jpeg

WISM-20_P1_SP23_6373595120964 83124.jpeg

WISM-20_P1_SP23_6373595121172 24553.jpeg

WISM-20_P1_SP23_VO0_63735937 1778427203.jpeg

WISM-20_P1_SP23_VO0_63735937 1790975358.jpeg

WISM-20_P1_SP23_VO0_63735937 1803551571.jpeg

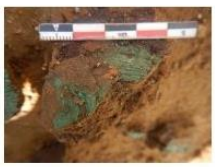
WISM-20_P1_SP23_VO0_63735937 1815894880.jpeg

WISM-20_P1_SP23_VO0_63735937 1828609703.jpeg

WISM-20_P1_SP23_VO0_63735937 1840794414.jpeg

WISM-20_P1_SP23_VO0_63735937 1897581366.jpeg

WISM-20_P1_SP23_VO0_63735938 8079050947.jpeg

WISM-20_P1_SP23_VO0_63735938 8092076186.jpeg

WISM-20_P1_SP23_VO0_63735938 8105094134.jpeg

WISM-20_P1_SP23_VO0_63735938 8118269518.jpeg

WISM-20_P1_SP23_VO0_63735938 8131443969.jpeg

WISM-20_P1_SP24_6373785224283 20188.jpeg

WISM-20_P1_SP24_6373785224425 06389.jpeg

WISM-20_P1_SP24_6373785224573 73599.jpeg

WISM-20_P1_SP27_6373586771503 99865.jpeg

WISM-20_P1_SP27_6373586771669 00792.jpeg

WISM-20_P1_SP27_6373586772031 73692.jpeg

WISM-20_P1_SP27_VO10_6373586 77806136385.jpeg

WISM-20_P1_SP27_VO10_6373586 77837565240.jpeg

WISM-20_P1_SP27_VO10_6373586 77856801040.jpeg

WISM-20_P1_SP27_VO10_6373586 77877154791.jpeg

WISM-20_P1_SP28_6373636145873 14443.jpeg

WISM-20_P1_SP28_6373636146033 41942.jpeg

WISM-20_P1_SP29_6373636155979 21725.jpeg

WISM-20_P1_SP29_6373636156312 33181.jpeg

WISM-20_P1_SP30_6373636290814 25660.jpeg

WISM-20_P1_SP30_6373636290954 50887.jpeg

WISM-20_P1_SP30_6373636293093 23179.jpeg

WISM-20_P1_SP30_6373636293244 07240.jpeg

WISM-20_P1_SP30_6373654603198 87054.jpeg

WISM-20_P1_SP30_6373654603530 03471.jpeg

WISM-20_P1_SP30_6373654603658 12904.jpeg

WISM-20_P1_SP30_6373654603803 40422.jpeg

WISM-20_P1_SP31_6373636295337 00126.jpeg

WISM-20_P1_SP31_6373636295529 36719.jpeg

WISM-20_P1_SP31_6373638726299 68456.jpeg

WISM-20_P1_SP31_6373638726495 35413.jpeg

WISM-20_P1_SP31_6373638726630 28240.jpeg

WISM-20_P1_SP31_6373638726775 91852.jpeg

WISM-20_P1_SP31_6373638726910 86518.jpeg

WISM-20_P1_SP31_6373638727046 40943.jpeg

WISM-20_P1_SP32_6373636302870 59988.jpeg

WISM-20_P1_SP32_6373636303198 21921.jpeg

WISM-20_P1_SP32_6373636303341 62194.jpeg

WISM-20_P1_SP32_6373636303599 07164.jpeg

WISM-20_P1_SP32_6373636621560 19807.jpeg

WISM-20_P1_SP32_6373636621758 01912.jpeg

WISM-20_P1_SP32_6373636621989 63141.jpeg

WISM-20_P1_SP33_6373636309201 47135.jpeg

WISM-20_P1_SP33_6373636309380 21478.jpeg

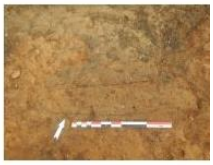
WISM-20_P1_SP33_6373636309554 67788.jpeg

WISM-20_P1_SP33_6373636309713 88333.jpeg

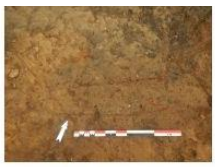
WISM-20_P1_SP33_6373636312897 36992.jpeg

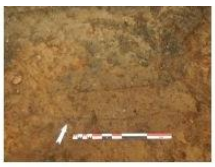
WISM-20_P1_SP33_6373636313069 29100.jpeg

WISM-20_P1_SP33_6373644909065 15574.jpeg

WISM-20_P1_SP33_6373644909628 85666.jpeg

WISM-20_P1_SP33_6373644909831 42927.jpeg

WISM-20_P1_SP33_6373644909975 74891.jpeg

WISM-20_P1_SP33_6373644910113 21210.jpeg

WISM-20_P1_SP33_6373644910275 02172.jpeg

WISM-20_P1_SP33_6373644910440 59397.jpeg

WISM-20_P1_SP33_6373644910592 28384.jpeg

WISM-20_P1_SP33_6373644910754 10747.jpeg

WISM-20_P1_SP33_6373644910900 31173.jpeg

WISM-20_P1_SP33_6373644911057 09553.jpeg

WISM-20_P1_SP33_6373644911210 40815.jpeg

WISM-20_P1_SP33_6373644911362 79914.jpeg

WISM-20_P1_SP33_6373644911526 33910.jpeg

WISM-20_P1_SP33_6373644911676 75799.jpeg

WISM-20_P1_SP33_6373644911830 09467.jpeg

WISM-20_P1_SP33_6373644911982 56869.jpeg

WISM-20_P1_SP33_6373644912125 96866.jpeg

WISM-20_P1_SP33_6373644912266 20258.jpeg

WISM-20_P1_SP33_6373644912409 50162.jpeg

WISM-20_P1_SP33_6373644912558 25462.jpeg

WISM-20_P1_SP33_6373644912700 09983.jpeg

WISM-20_P1_SP33_6373644912872 55190.jpeg

WISM-20_P1_SP33_6373644913010 61824.jpeg

WISM-20_P1_SP33_6373644913143 00905.jpeg

WISM-20_P1_SP33_6373644913283 34111.jpeg

WISM-20_P1_SP33_6373644993938 04731.jpeg

WISM-20_P1_SP33_6373644994068 30853.jpeg

WISM-20_P1_SP33_6373644994203 93816.jpeg

WISM-20_P1_SP33_6373644994338 86809.jpeg

WISM-20_P1_SP33_6373644994480 77163.jpeg

WISM-20_P1_SP33_6373644994614 16225.jpeg

WISM-20_P1_SP33_6373647226502 04724.jpeg

WISM-20_P1_SP33_6373647226633 25392.jpeg

WISM-20_P1_SP33_6373647226766 03489.jpeg

WISM-20_P1_SP33_6373647226894 12960.jpeg

WISM-20_P1_SP33_6373647227017 53785.jpeg

WISM-20_P1_SP33_6373647227144 07111.jpeg

WISM-20_P1_SP33_6373647227261 23041.jpeg

WISM-20_P1_SP33_6373647227392 44918.jpeg

WISM-20_P1_SP33_6373647227509 60919.jpeg

WISM-20_P1_SP33_6373647227640 82845.jpeg

WISM-20_P1_SP33_6373647227773 60931.jpeg

WISM-20_P1_SP33_6373647227890 76951.jpeg

WISM-20_P1_SP33_6373647228007 92885.jpeg

WISM-20_P1_SP33_6373647228121 96514.jpeg

WISM-20_P1_SP33_6373647228251 62125.jpeg

WISM-20_P1_SP33_6373647228379 71630.jpeg

WISM-20_P1_SP33_6373647228507 81062.jpeg

WISM-20_P1_SP33_6373647228637 46746.jpeg

WISM-20_P1_SP33_6373647228762 43802.jpeg

WISM-20_P1_SP33_6373647228882 72199.jpeg

WISM-20_P1_SP33_6373647229007 69546.jpeg

WISM-20_P1_SP33_6373647229124 85230.jpeg

WISM-20_P1_SP33_6373647229257 63339.jpeg

WISM-20_P1_SP33_6373647229384 16642.jpeg

WISM-20_P1_SP33_6373647229515 38568.jpeg

WISM-20_P1_SP33_6373647229643 47971.jpeg

WISM-20_P1_SP33_6373647229768 45035.jpeg

WISM-20_P1_SP33_6373647229898 10790.jpeg

WISM-20_P1_SP33_6373647230016 82883.jpeg

WISM-20_P1_SP34_6373636319747 02764.jpeg

WISM-20_P1_SP34_6373636319884 14192.jpeg

WISM-20_P1_SP34_6373636320009 72617.jpeg

WISM-20_P1_SP34_6373636830803 84346.jpeg

WISM-20_P1_SP34_6373636831059 97299.jpeg

WISM-20_P1_SP34_6373636831332 31832.jpeg

WISM-20_P1_SP34_6373636831568 07983.jpeg

WISM-20_P1_SP34_6373636831726 25286.jpeg

WISM-20_P1_SP34_6373636831895 10927.jpeg

WISM-20_P1_SP34_6373636832145 73681.jpeg

WISM-20_P1_SP34_6373644405051 15973.jpeg

WISM-20_P1_SP34_6373644405202 96846.jpeg

WISM-20_P1_SP34_6373644405341 61167.jpeg

WISM-20_P1_SP34_6373644405470 38258.jpeg

WISM-20_P1_SP35_6373636328094 24227.jpeg

WISM-20_P1_SP35_6373636328228 30773.jpeg

WISM-20_P1_SP36_6373870191839 91618.jpeg

WISM-20_P1_SP36_6373870191983 88039.jpeg

WISM-20_P1_SP36_6373870192128 81993.jpeg

WISM-20_P1_SP36_6373870192266 05751.jpeg

WISM-20_P1_SP36_6373870192395 43042.jpeg

WISM-20_P1_SP36_6373870192523 92150.jpeg

WISM-20_P1_SP36_6373870192652 48436.jpeg

WISM-20_P1_SP38_6373871042267 91271.jpeg

WISM-20_P1_SP38_6373871042459 91050.jpeg

WISM-20_P1_SP38_6373871042604 85483.jpeg

WISM-20_P1_SP38_6373879801115 71438.jpeg

WISM-20_P1_SP38_6373879801289 18830.jpeg

WISM-20_P1_SP38_6373879801504 89572.jpeg

WISM-20_P1_SP38_6373880283506 35277.jpeg

WISM-20_P1_SP38_6373880283656 69540.jpeg

WISM-20_P1_SP38_6373880283813 21884.jpeg

WISM-20_P1_SP40_6373646504115 91354.jpeg

WISM-20_P1_SP40_6373646504270 71138.jpeg

WISM-20_P1_SP40_6373646504416 48829.jpeg

WISM-20_P1_SP40_6373646504569 89214.jpeg

WISM-20_P1_SP40_6373646504708 31326.jpeg

WISM-20_P1_SP40_6373646504858 23370.jpeg

WISM-20_P1_SP40_6373646505004 81003.jpeg

WISM-20_P1_SP40_6373646826800 59404.jpeg

WISM-20_P1_SP40_6373646826949 98210.jpeg

WISM-20_P1_SP40_6373646827270 15626.jpeg

WISM-20_P1_SP40_6373646827481 34435.jpeg

WISM-20_P1_SP40_6373646827631 30206.jpeg

WISM-20_P1_SP41_6373655233236 15963.jpeg

WISM-20_P1_SP41_6373655233368 92924.jpeg

WISM-20_P1_SP41_6373655233595 43803.jpeg

WISM-20_P1_SP41_6373655233737 59221.jpeg

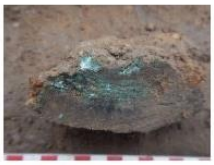
WISM-20_P1_SP41_6373655264867 53128.jpeg

WISM-20_P1_SP41_6373655265000 31071.jpeg

WISM-20_P1_SP41_6373655265140 90510.jpeg

WISM-20_P1_SP41_6373655265278 37011.jpeg

WISM-20_P1_SP42_6373653691864 89607.jpeg

WISM-20_P1_SP42_6373653692011 73323.jpeg

WISM-20_P1_SP42_6373653692200 75093.jpeg

WISM-20_P1_SP42_6373653692350 71951.jpeg

WISM-20_P1_SP42_6373662987540 46197.jpeg

WISM-20_P1_SP42_6373662987680 82170.jpeg

WISM-20_P1_SP42_6373662987820 91357.jpeg

WISM-20_P1_SP42_6373662987963 21112.jpeg

WISM-20_P1_SP42_6373662988111 28995.jpeg

WISM-20_P1_SP42_6373662988255 81964.jpeg

WISM-20_P1_SP42_6373662988394 74592.jpeg

WISM-20_P1_SP42_6373662988530 32968.jpeg

WISM-20_P1_SP42_6373662988667 38697.jpeg

WISM-20_P1_SP42_6373662988807 59892.jpeg

WISM-20_P1_SP42_6373662988957 89913.jpeg

WISM-20_P1_SP42_6373662989108 08875.jpeg

WISM-20_P1_SP42_6373662989244 55328.jpeg

WISM-20_P1_SP43_6373654610773 15640.jpeg

WISM-20_P1_SP43_6373654610904 37883.jpeg

WISM-20_P1_SP43_6373654611041 84305.jpeg

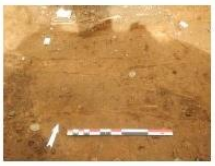
WISM-20_P1_SP44_6373654617094 95763.jpeg

WISM-20_P1_SP44_6373654617235 54070.jpeg

WISM-20_P1_SP44_6373654617373 00575.jpeg

WISM-20_P1_SP47_6373904281750 75327.jpeg

WISM-20_P1_SP47_6373904281948 67616.jpeg

WISM-20_P1_SP47_6373904282091 34044.jpeg

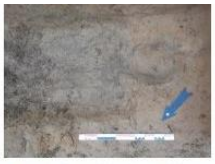
WISM-20_P1_SP47_6373904282234 88780.jpeg

WISM-20_P1_SP47_6373904282383 56455.jpeg

WISM-20_P1_SP47_6373904282528 06900.jpeg

WISM-20_P1_SP47_6373904282668 33428.jpeg

WISM-20_P1_SP48_6373880396009 46943.jpeg

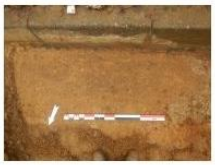
WISM-20_P1_SP48_6373880396263 00299.jpeg

WISM-20_P1_SP48_6373880396413 17443.jpeg

WISM-20_P1_SP48_6373880396581 88307.jpeg

WISM-20_P1_SP48_6373880396773 89875.jpeg

WISM-20_P1_SP48_6373897653197 73215.jpeg

WISM-20_P1_SP48_6373897653366 53292.jpeg

WISM-20_P1_SP48_6373897653533 09289.jpeg

WISM-20_P1_SP49_113_637388061 793651520.jpeg

WISM-20_P1_SP49_113_637388061 840125777.jpeg

WISM-20_P1_SP49_113_637388061 853769080.jpeg

WISM-20_P1_SP49_113_637388061 866484268.jpeg

WISM-20_P1_SP49_6373889211758 05533.jpeg

WISM-20_P1_SP49_6373889211938 70419.jpeg

WISM-20_P1_SP50_637365526274459391.jpeg

WISM-20_P1_SP50_637365526287893739.jpeg

WISM-20_P1_SP50_637365526300390784.jpeg

WISM-20_P1_SP50_637365526313044340.jpeg

WISM-20_P1_SP50_637365526326165972.jpeg

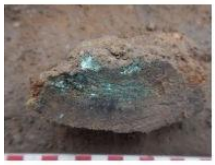
WISM-20_P1_SP50_637365526340225128.jpeg

WISM-20_P1_SP50_637365526353347028.jpeg

WISM-20_P1_SP50_637365526367093759.jpeg

WISM-20_P1_SP50_637365526380840577.jpeg

WISM-20_P1_SP50_637374960749430861.jpeg

WISM-20_P1_SP50_637374960763614570.jpeg

WISM-20_P1_SP50_637374960777733520.jpeg

WISM-20_P1_SP50_637374960796573087.jpeg

WISM-20_P1_SP50_637374960810997616.jpeg

WISM-20_P1_SP50_637374960825905124.jpeg

WISM-20_P1_SP50_637374960863469624.jpeg

WISM-20_P1_SP50_637374960881283992.jpeg

WISM-20_P1_SP50_637374960897695682.jpeg

WISM-20_P1_SP50_637374960915593171.jpeg

WISM-20_P1_SP50_637374960933102095.jpeg

WISM-20_P1_SP50_637374966785062942.jpeg

WISM-20_P1_SP50_637374966799565774.jpeg

WISM-20_P1_SP50_637374966812424606.jpeg

WISM-20_P1_SP50_637374966826597437.jpeg

WISM-20_P1_SP50_637374966840299893.jpeg

WISM-20_P1_SP50_637374966853165393.jpeg

WISM-20_P1_SP50_637374966866427756.jpeg

WISM-20_P1_SP50_637374966880603407.jpeg

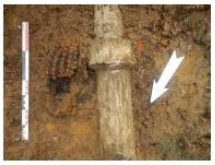
WISM-20_P1_SP53_637375016873502474.jpeg

WISM-20_P1_SP53_637375016889909720.jpeg

WISM-20_P1_SP53_637375016907943156.jpeg

WISM-20_P1_SP53_637375016921737330.jpeg

WISM-20_P1_SP54_637375767940161614.jpeg

WISM-20_P1_SP54_637375767956657781.jpeg

WISM-20_P1_SP54_637375767973383827.jpeg

WISM-20_P1_SP54_637375767987688495.jpeg

WISM-20_P1_SP54_637375768003725712.jpeg

WISM-20_P1_SP54_637375768020282549.jpeg

WISM-20_P1_SP54_637375768038003390.jpeg

WISM-20_P1_SP54_637375768053211201.jpeg

WISM-20_P1_SP54_6373757680690 19997.jpeg

WISM-20_P1_SP54_6373757680879 01046.jpeg

WISM-20_P1_SP54_6373757681060 96522.jpeg

WISM-20_P1_SP54_6373757681229 78913.jpeg

WISM-20_P1_SP54_6373757681400 07077.jpeg

WISM-20_P1_SP54_6373757681583 76387.jpeg

WISM-20_P1_SP54_6373757681764 17398.jpeg

WISM-20_P1_SP54_6373757681928 44932.jpeg

WISM-20_P1_SP54_6373757682081 70726.jpeg

WISM-20_P1_SP54_6373759516312 40967.jpeg

WISM-20_P1_SP54_6373759516465 31344.jpeg

WISM-20_P1_SP54_6373759516608 62374.jpeg

WISM-20_P1_SP54_6373759516749 92172.jpeg

WISM-20_P1_SP54_6373759516887 88947.jpeg

WISM-20_P1_SP54_6373759517030 54018.jpeg

WISM-20_P1_SP54_6373759517172 92329.jpeg

WISM-20_P1_SP54_6373759517311 52126.jpeg

WISM-20_P1_SP54_6373759517459 73517.jpeg

WISM-20_P1_SP54_6373759517609 92323.jpeg

WISM-20_P1_SP54_6373759517787 14311.jpeg

WISM-20_P1_SP54_6373759517940 76213.jpeg

WISM-20_P1_SP54_6373759518118 58758.jpeg

WISM-20_P1_SP55_6373758348159 95866.jpeg

WISM-20_P1_SP57_6373758345874 78816.jpeg

WISM-20_P1_SP57_6373758346014 93252.jpeg

WISM-20_P1_SP57_6373758346162 17348.jpeg

WISM-20_P1_SP57_6373758346315 91971.jpeg

WISM-20_P1_SP57_6373758346476 18597.jpeg

WISM-20_P1_SP57_6373758346636 36399.jpeg

WISM-20_P1_SP57_6373758346792 28686.jpeg

WISM-20_P1_SP57_6373758346938 67709.jpeg

WISM-20_P1_SP57_6373758347085 14174.jpeg

WISM-20_P1_SP57_6373758347227 65984.jpeg

WISM-20_P1_SP57_6373758347370 06696.jpeg

WISM-20_P1_SP57_6373758347524 05975.jpeg

WISM-20_P1_SP57_6373758347678 95534.jpeg

WISM-20_P1_SP57_6373758347827 91282.jpeg

WISM-20_P1_SP57_6373758347978 21094.jpeg

WISM-20_P1_SP57_6373758348315 47835.jpeg

WISM-20_P1_SP57_6373758348455 69766.jpeg

WISM-20_P1_SP57_6373758348602 17688.jpeg

WISM-20_P1_SP57_6373758348749 35293.jpeg

WISM-20_P1_SP57_6373758348896 11508.jpeg

WISM-20_P1_SP57_6373758349047 02247.jpeg

WISM-20_P1_SP57_6373758349202 89164.jpeg

WISM-20_P1_SP57_6373758349357 87849.jpeg

WISM-20_P1_SP57_6373758349506 04414.jpeg

WISM-20_P1_SP62_6373766568817 91911.jpeg

WISM-20_P1_SP62_6373766568994 15309.jpeg

WISM-20_P1_SP62_6373766569594 03034.jpeg

WISM-20_P1_SP62_6373766569755 09402.jpeg

WISM-20_P1_SP62_6373766569907 52679.jpeg

WISM-20_P1_SP64_6373774648014 22807.jpeg

WISM-20_P1_SP64_6373774648156 20007.jpeg

WISM-20_P1_SP65_6373809354689 51998.jpeg

WISM-20_P1_SP65_6373809354821 24492.jpeg

WISM-20_P1_SP65_6373809354963 86474.jpeg

WISM-20_P1_SP65_6373809355097 31636.jpeg

WISM-20_P1_SP65_6373809355237 42054.jpeg

WISM-20_P1_SP65_6373809355429 03095.jpeg

WISM-20_P1_SP65_6373809355564 16250.jpeg

WISM-20_P1_SP65_6373809355704 36617.jpeg

WISM-20_P1_SP65_6373809355857 59021.jpeg

WISM-20_P1_SP65_6373809355992 45715.jpeg

WISM-20_P1_SP66_6373776254625 71998.jpeg

WISM-20_P1_SP66_6373776254772 00743.jpeg

WISM-20_P1_SP66_6373776254927 35785.jpeg

WISM-20_P1_SP66_6373776255095 69649.jpeg

WISM-20_P1_SP66_6373776255250 18875.jpeg

WISM-20_P1_SP66_6373776255399 64456.jpeg

WISM-20_P1_SP66_6373776255530 84549.jpeg

WISM-20_P1_SP66_6373783331422 67984.jpeg

WISM-20_P1_SP66_6373783331719 64564.jpeg

WISM-20_P1_SP66_6373783331905 16812.jpeg

WISM-20_P1_SP66_6373783332343 06779.jpeg

WISM-20_P1_SP66_6373783332806 22886.jpeg

WISM-20_P1_SP67_6373776289426 83815.jpeg

WISM-20_P1_SP67_6373776289664 48156.jpeg

WISM-20_P1_SP67_6373776289786 27667.jpeg

WISM-20_P1_SP67_6373776289927 59399.jpeg

WISM-20_P1_SP67_6373776290057 85584.jpeg

WISM-20_P1_SP68_6373783783414 00401.jpeg

WISM-20_P1_SP68_6373783783551 16766.jpeg

WISM-20_P1_SP68_6373783783677 63901.jpeg

WISM-20_P1_SP68_6373783783797 83968.jpeg

WISM-20_P1_SP68_6373783783935 79547.jpeg

WISM-20_P1_SP68_6373783784009 96038.jpeg

WISM-20_P1_SP68_6373783784069 99284.jpeg

WISM-20_P1_SP68_6373783784164 46641.jpeg

WISM-20_P1_SP68_6373783784260 83797.jpeg

WISM-20_P1_SP68_6373783784350 99568.jpeg

WISM-20_P1_SP68_6373783784464 27128.jpeg

WISM-20_P1_SP68_6373783784549 78458.jpeg

WISM-20_P1_SP68_6373783784647 22915.jpeg

WISM-20_P1_SP68_6373783784750 91665.jpeg

WISM-20_P1_SP68_6373783784862 20565.jpeg

WISM-20_P1_SP68_6373783784950 79518.jpeg

WISM-20_P1_SP68_6373783785049 70038.jpeg

WISM-20_P1_SP68_6373783785150 15397.jpeg

WISM-20_P1_SP68_6373783785244 06940.jpeg

WISM-20_P1_SP68_6373783785338 92342.jpeg

WISM-20_P1_SP68_6373783785443 70307.jpeg

WISM-20_P1_SP68_6373783785536 53605.jpeg

WISM-20_P1_SP68_6373783785628 40526.jpeg

WISM-20_P1_SP68_6373783785724 75107.jpeg

WISM-20_P1_SP68_6373783785814 83695.jpeg

WISM-20_P1_SP68_6373783785907 26732.jpeg

WISM-20_P1_SP68_6373783785999 50161.jpeg

WISM-20_P1_SP68_6373783786089 05858.jpeg

WISM-20_P1_SP68_6373783786637 76115.jpeg

WISM-20_P1_SP68_6373783786729 49126.jpeg

WISM-20_P1_SP68_6373783786818 09586.jpeg

WISM-20_P1_SP68_6373783786912 89241.jpeg

WISM-20_P1_SP68_6373783787016 86502.jpeg

WISM-20_P1_SP68_6373783787109 93818.jpeg

WISM-20_P1_SP68_6373783787204 83940.jpeg

WISM-20_P1_SP68_6373783787293 45344.jpeg

WISM-20_P1_SP68_6373783787392 11197.jpeg

WISM-20_P1_SP68_6373783787487 16792.jpeg

WISM-20_P1_SP68_6373783787587 28059.jpeg

WISM-20_P1_SP68_6373783787683 41325.jpeg

WISM-20_P1_SP68_6373783787833 32609.jpeg

WISM-20_P1_SP68_6373783787925 14662.jpeg

WISM-20_P1_SP68_6373783788019 13504.jpeg

WISM-20_P1_SP68_6373783788205 82530.jpeg

WISM-20_P1_SP68_6373783788297 53048.jpeg

WISM-20_P1_SP68_6373783788394 62647.jpeg

WISM-20_P1_SP68_6373783788487 88219.jpeg

WISM-20_P1_SP68_6373783788651 12511.jpeg

WISM-20_P1_SP68_6373783788739 84982.jpeg

WISM-20_P1_SP68_6373783788840 05402.jpeg

WISM-20_P1_SP68_6373783788933 33062.jpeg

WISM-20_P1_SP68_6373783789117 49071.jpeg

WISM-20_P1_SP68_6373783789252 30256.jpeg

WISM-20_P1_SP68_6373783789389 92350.jpeg

WISM-20_P1_SP68_6373783789526 85650.jpeg

WISM-20_P1_SP68_6373783789661 84313.jpeg

WISM-20_P1_SP69_6373776839716 78565.jpeg

WISM-20_P1_SP69_6373776839859 71863.jpeg

WISM-20_P1_SP69_6373776840006 28251.jpeg

WISM-20_P1_SP69_6373776840149 59440.jpeg

WISM-20_P1_SP69_6373776840300 86921.jpeg

WISM-20_P1_SP69_6373776840431 70437.jpeg

WISM-20_P1_SP69_6373776840563 95928.jpeg

WISM-20_P1_SP69_6373776840701 79624.jpeg

WISM-20_P1_SP69_6373776840851 97339.jpeg

WISM-20_P1_SP69_6373776840992 63442.jpeg

WISM-20_P1_SP69_6373776841135 21754.jpeg

WISM-20_P1_SP69_6373776841281 89379.jpeg

WISM-20_P1_SP69_6373776841417 85545.jpeg

WISM-20_P1_SP69_6373776841554 25707.jpeg

WISM-20_P1_SP69_6373776841696 01566.jpeg

WISM-20_P1_SP69_6373776841839 95705.jpeg

WISM-20_P1_SP69_6373776841987 16992.jpeg

WISM-20_P1_SP69_6373776842127 51337.jpeg

WISM-20_P1_SP69_6373829057379 45165.jpeg

WISM-20_P1_SP69_6373829057446 63171.jpeg

WISM-20_P1_SP69_6373829057509 03013.jpeg

WISM-20_P1_SP69_6373829057570 46520.jpeg

WISM-20_P1_SP69_6373829057634 77652.jpeg

WISM-20_P1_SP69_6373829057697 59013.jpeg

WISM-20_P1_SP69_6373829057758 55110.jpeg

WISM-20_P1_SP69_6373829057823 98542.jpeg

WISM-20_P1_SP69_6373829057889 87193.jpeg

WISM-20_P1_SP69_6373829057955 21755.jpeg

WISM-20_P1_SP69_6373829058018 62396.jpeg

WISM-20_P1_SP69_6373829058087 93720.jpeg

WISM-20_P1_SP69_6373829058232 27187.jpeg

WISM-20_P1_SP69_6373829058290 85477.jpeg

WISM-20_P1_SP69_6373829058361 92697.jpeg

WISM-20_P1_SP69_6373835879748 47774.jpeg

WISM-20_P1_SP69_6373835879815 44679.jpeg

WISM-20_P1_SP69_6373835879884 73444.jpeg

WISM-20_P1_SP69_6373835879945 50018.jpeg

WISM-20_P1_SP70_6373783678395 69355.jpeg

WISM-20_P1_SP70_6373783678536 01469.jpeg

WISM-20_P1_SP70_6373783678678 08800.jpeg

WISM-20_P1_SP70_6373783678832 84712.jpeg

WISM-20_P1_SP70_6373783678986 18217.jpeg

WISM-20_P1_SP70_6373783679125 62826.jpeg

WISM-20_P1_SP70_6373783679266 46548.jpeg

WISM-20_P1_SP70_6373783679398 73172.jpeg

WISM-20_P1_SP70_6373783679569 21023.jpeg

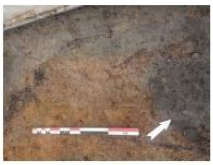
WISM-20_P1_SP70_6373783679713 79015.jpeg

WISM-20_P1_SP70_6373783679844 32151.jpeg

WISM-20_P1_SP70_6373783679975 32365.jpeg

WISM-20_P1_SP70_6373783680111 91806.jpeg

WISM-20_P1_SP70_6373783680248 05103.jpeg

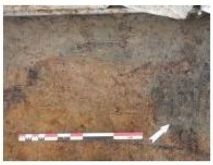
WISM-20_P1_SP70_6373783680397 82307.jpeg

WISM-20_P1_SP70_6373783680535 18008.jpeg

WISM-20_P1_SP70_6373783680662 27724.jpeg

WISM-20_P1_SP70_6373783680801 08261.jpeg

WISM-20_P1_SP70_6373783680945 90528.jpeg

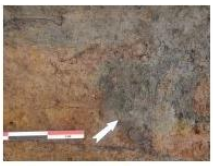
WISM-20_P1_SP70_6373783681437 38101.jpeg

WISM-20_P1_SP70_6373783681603 83050.jpeg

WISM-20_P1_SP70_6373783681754 11842.jpeg

WISM-20_P1_SP70_6373811726599 52169.jpeg

WISM-20_P1_SP70_6373811726948 83803.jpeg

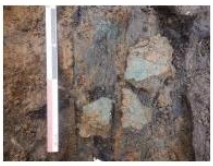
WISM-20_P1_SP70_6373811727276 23366.jpeg

WISM-20_P1_SP70_6373811728357 14534.jpeg

WISM-20_P1_SP70_6373811729031 02575.jpeg

WISM-20_P1_SP70_6373811729189 11824.jpeg

WISM-20_P1_SP70_6373811729388 95584.jpeg

WISM-20_P1_SP70_6373811729541 08402.jpeg

WISM-20_P1_SP70_6373811729676 79606.jpeg

WISM-20_P1_SP70_6373811729811 67675.jpeg

WISM-20_P1_SP70_6373811729948 99857.jpeg

WISM-20_P1_SP70_6373811730084 57348.jpeg

WISM-20_P1_SP70_6373811730207 92235.jpeg

WISM-20_P1_SP70_6373811730379 50332.jpeg

WISM-20_P1_SP71_6373783649964 26471.jpeg

WISM-20_P1_SP71_6373783650167 23873.jpeg

WISM-20_P1_SP71_6373783650407 29794.jpeg

WISM-20_P1_SP71_6373783650577 65502.jpeg

WISM-20_P1_SP71_6373783650750 15926.jpeg

WISM-20_P1_SP71_6373783650918 12678.jpeg

WISM-20_P1_SP71_6373783651076 73244.jpeg

WISM-20_P1_SP71_6373783651211 15135.jpeg

WISM-20_P1_SP71_6373783651364 75409.jpeg

WISM-20_P1_SP71_6373783651586 58591.jpeg

WISM-20_P1_SP71_6373818529263 52046.jpeg

WISM-20_P1_SP71_6373818529408 64874.jpeg

WISM-20_P1_SP71_6373818529683 96996.jpeg

WISM-20_P1_SP71_6373818529807 89037.jpeg

WISM-20_P1_SP71_6373818529944 33900.jpeg

WISM-20_P1_SP71_6373818530075 26361.jpeg

WISM-20_P1_SP71_6373818530213 31288.jpeg

WISM-20_P1_SP71_6373818530350 70445.jpeg

WISM-20_P1_SP71_6373818530481 09894.jpeg

WISM-20_P1_SP71_6373818530611 47422.jpeg

WISM-20_P1_SP71_6373818530840 92917.jpeg

WISM-20_P1_SP71_6373818530968 15742.jpeg

WISM-20_P1_SP71_6373818531099 18168.jpeg

WISM-20_P1_SP71_6373818531239 52212.jpeg

WISM-20_P1_SP71_6373818531379 64744.jpeg

WISM-20_P1_SP71_6373818531518 02212.jpeg

WISM-20_P1_SP71_6373818531661 30844.jpeg

WISM-20_P1_SP71_6373818531820 43459.jpeg

WISM-20_P1_SP72_6373784061482 69131.jpeg

WISM-20_P1_SP72_6373784069313 32036.jpeg

WISM-20_P1_SP72_6373784069652 38000.jpeg

WISM-20_P1_SP72_6373784069795 70457.jpeg

WISM-20_P1_SP72_6373784069934 25754.jpeg

WISM-20_P1_SP72_6373784070086 02373.jpeg

WISM-20_P1_SP72_6373784070236 05864.jpeg

WISM-20_P1_SP72_6373784070379 99901.jpeg

WISM-20_P1_SP72_6373784070526 44788.jpeg

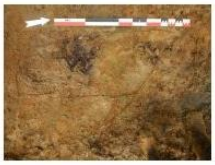
WISM-20_P1_SP72_6373784070660 61395.jpeg

WISM-20_P1_SP72_6373785560544 09561.jpeg

WISM-20_P1_SP72_6373785560687 79976.jpeg

WISM-20_P1_SP72_6373785560826 36470.jpeg

WISM-20_P1_SP73_6373809308764 45898.jpeg

WISM-20_P1_SP73_6373809308914 64794.jpeg

WISM-20_P1_SP73_6373809309061 95210.jpeg

WISM-20_P1_SP73_6373809309206 78345.jpeg

WISM-20_P1_SP73_6373809309343 77070.jpeg

WISM-20_P1_SP73_6373809309489 32277.jpeg

WISM-20_P1_SP73_6373809309621 01422.jpeg

WISM-20_P1_SP73_6373809364530 52881.jpeg

WISM-20_P1_SP73_6373809364669 13743.jpeg

WISM-20_P1_SP73_6373809364816 28996.jpeg

WISM-20_P1_SP73_6373818831196 73934.jpeg

WISM-20_P1_SP73_6373818831455 83317.jpeg

WISM-20_P1_SP73_6373818831635 38345.jpeg

WISM-20_P1_SP73_6373818831772 62980.jpeg

WISM-20_P1_SP73_6373818831921 32916.jpeg

WISM-20_P1_SP73_6373818832069 99390.jpeg

WISM-20_P1_SP73_6373818832222 71990.jpeg

WISM-20_P1_SP73_6373818832378 90387.jpeg

WISM-20_P1_SP73_6373818832513 84150.jpeg

WISM-20_P1_SP73_6373818832709 54466.jpeg

WISM-20_P1_SP73_6373818833023 92647.jpeg

WISM-20_P1_SP73_6373818833174 44094.jpeg

WISM-20_P1_SP73_6373818833326 38939.jpeg

WISM-20_P1_SP73_6373818833561 76154.jpeg

WISM-20_P1_SP75_6373827219522 41400.jpeg

WISM-20_P1_SP75_6373827219594 09101.jpeg

WISM-20_P1_SP75_6373827219661 04562.jpeg

WISM-20_P1_SP75_6373827219734 28030.jpeg

WISM-20_P1_SP75_6373827219796 06900.jpeg

WISM-20_P1_SP75_6373827219861 55094.jpeg

WISM-20_P1_SP75_6373827219921 70974.jpeg

WISM-20_P1_SP75_6373827219986 76614.jpeg

WISM-20_P1_SP75_6373827220048 66827.jpeg

WISM-20_P1_SP75_6373827220111 87037.jpeg

WISM-20_P1_SP75_6373827220172 66079.jpeg

WISM-20_P1_SP75_6373827220235 82566.jpeg

WISM-20_P1_SP75_6373827220295 88482.jpeg

WISM-20_P1_SP75_6373827220362 24425.jpeg

WISM-20_P1_SP75_6373827220422 28846.jpeg

WISM-20_P1_SP75_6373827220489 33984.jpeg

WISM-20_P1_SP75_6373827220551 11801.jpeg

WISM-20_P1_SP75_6373827220616 59432.jpeg

WISM-20_P1_SP75_6373827220683 54500.jpeg

WISM-20_P1_SP75_6373835041367 11465.jpeg

WISM-20_P1_SP75_6373835041435 70975.jpeg

WISM-20_P1_SP75_6373835041497 94673.jpeg

WISM-20_P1_SP75_6373835041557 07993.jpeg

WISM-20_P1_SP77_6373870630168 82944.jpeg

WISM-20_P1_SP77_6373870630305 29158.jpeg

WISM-20_P1_SP77_6373870630437 71402.jpeg

WISM-20_P1_SP77_6373870630582 16410.jpeg

WISM-20_P1_SP77_6373870638687 60926.jpeg

WISM-20_P1_SP77_6373870638831 29999.jpeg

WISM-20_P1_SP77_6373870638981 60709.jpeg

WISM-20_P1_SP77_6373870639143 56595.jpeg

WISM-20_P1_SP77_6373870639302 41064.jpeg

WISM-20_P1_SP77_6373870639452 71914.jpeg

WISM-20_P1_SP77_6373870639589 54070.jpeg

WISM-20_P1_SP77_6373870639729 81648.jpeg

WISM-20_P1_SP77_6373870640021 46432.jpeg

WISM-20_P1_SP79_6373811468027 79826.jpeg

WISM-20_P1_SP79_6373811468229 34321.jpeg

WISM-20_P1_SP79_6373811468368 27874.jpeg

WISM-20_P1_SP79_6373811468503 28320.jpeg

WISM-20_P1_SP79_6373811468640 24605.jpeg

WISM-20_P1_SP81_6373811484706 72307.jpeg

WISM-20_P1_SP81_6373811484848 45338.jpeg

WISM-20_P1_SP81_6373811484980 74322.jpeg

WISM-20_P1_SP81_6373811485117 15606.jpeg

WISM-20_P1_SP81_6373879915291 38152.jpeg

WISM-20_P1_SP81_6373879915608 48591.jpeg

WISM-20_P1_SP81_6373879915738 68399.jpeg

WISM-20_P1_SP81_6373879915871 21484.jpeg

WISM-20_P1_SP81_6373879916004 58509.jpeg

WISM-20_P1_SP81_6373879916415 05233.jpeg

WISM-20_P1_SP81_6373879916548 51788.jpeg

WISM-20_P1_SP81_6373879916685 03137.jpeg

WISM-20_P1_SP81_6373879916825 93015.jpeg

WISM-20_P1_SP81_6373879916952 49943.jpeg

WISM-20_P1_SP81_6373879917084 36226.jpeg

WISM-20_P1_SP81_6373879917223 11133.jpeg

WISM-20_P1_SP81_6373879917360 24654.jpeg

WISM-20_P1_SP81_6373879917500 48641.jpeg

WISM-20_P1_SP81_6373879917638 51600.jpeg

WISM-20_P1_SP81_6373879917767 24866.jpeg

WISM-20_P1_SP81_6373879917899 21646.jpeg

WISM-20_P1_SP81_6373879918036 34986.jpeg

WISM-20_P1_SP82_6373811495468 91190.jpeg

WISM-20_P1_SP82_6373811495648 95081.jpeg

WISM-20_P1_SP82_6373811495795 63627.jpeg

WISM-20_P1_SP82_6373811495932 66415.jpeg

WISM-20_P1_SP83_6373811503344 22289.jpeg

WISM-20_P1_SP83_6373811503503 29139.jpeg

WISM-20_P1_SP83_6373811504458 24331.jpeg

WISM-20_P1_SP83_6373811504603 14481.jpeg

WISM-20_P1_SP83_6373811506333 92512.jpeg

WISM-20_P1_SP84_6373811515702 90648.jpeg

WISM-20_P1_SP84_6373811515847 82505.jpeg

WISM-20_P1_SP84_6373811516186 57496.jpeg

WISM-20_P1_SP84_6373811516331 42644.jpeg

WISM-20_P1_SP84_6373872120630 61158.jpeg

WISM-20_P1_SP84_6373872120769 26033.jpeg

WISM-20_P1_SP84_6373872120914 68102.jpeg

WISM-20_P1_SP84_6373872121049 54962.jpeg

WISM-20_P1_SP84_6373872121186 68672.jpeg

WISM-20_P1_SP84_6373879941481 24730.jpeg

WISM-20_P1_SP84_6373879941740 06212.jpeg

WISM-20_P1_SP84_6373879941965 29060.jpeg

WISM-20_P1_SP84_6373879942209 26312.jpeg

WISM-20_P1_SP84_6373879942529 66469.jpeg

WISM-20_P1_SP84_6373879942663 77122.jpeg

WISM-20_P1_SP84_6373879942814 09747.jpeg

WISM-20_P1_SP84_6373879942950 53612.jpeg

WISM-20_P1_SP85_6373811523192 23392.jpeg

WISM-20_P1_SP85_6373811523325 85526.jpeg

WISM-20_P1_SP85_6373811523473 62034.jpeg

WISM-20_P1_SP87_6373818352636 16153.jpeg

WISM-20_P1_SP87_6373818352766 53424.jpeg

WISM-20_P1_SP87_6373818352908 86456.jpeg

WISM-20_P1_SP87_6373818378521 19115.jpeg

WISM-20_P1_SP87_6373818378665 23385.jpeg

WISM-20_P1_SP87_6373818378815 56833.jpeg

WISM-20_P1_SP88_6373818333305 02683.jpeg

WISM-20_P1_SP88_6373818333452 04396.jpeg

WISM-20_P1_SP88_6373818333600 06881.jpeg

WISM-20_P1_SP88_6373818333742 61390.jpeg

WISM-20_P1_SP88_6373818333890 74497.jpeg

WISM-20_P1_SP88_6373818334021 03265.jpeg

WISM-20_P1_SP88_6373818334156 61782.jpeg

WISM-20_P1_SP88_6373818334300 17910.jpeg

WISM-20_P1_SP88_6373818339877 68844.jpeg

WISM-20_P1_SP90_6373835258897 32863.jpeg

WISM-20_P1_SP90_6373835258965 87672.jpeg

WISM-20_P1_SP91_6373835274815 51796.jpeg

WISM-20_P1_SP91_6373835274885 65846.jpeg

WISM-20_P1_SP91_6373835274965 73097.jpeg

WISM-20_P1_SP91_6373835275039 61733.jpeg

WISM-20_P1_SP91_6373835275163 04249.jpeg

WISM-20_P1_SP91_6373835275174 63462.jpeg

WISM-20_P1_SP91_6373835275249 37616.jpeg

WISM-20_P1_SP91_6373835275312 18132.jpeg

WISM-20_P1_SP91_6373835275382 24400.jpeg

WISM-20_P1_SP91_6373835275447 09508.jpeg

WISM-20_P1_SP91_6373835275574 17869.jpeg

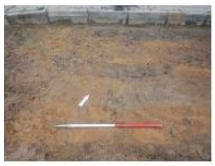
WISM-20_P1_SP91_6373835275635 96809.jpeg

WISM-20_P1_SP91_6373835275702 45693.jpeg

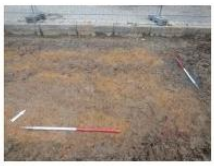
WISM-20_P1_SP91_6373835275762 54831.jpeg

WISM-20_P1_SP91_6373835275825 06667.jpeg

WISM-20_P1_SP91_6373835275886 71141.jpeg

WISM-20_P1_SP91_6373835275952 99938.jpeg

WISM-20_P1_SP91_6373835276016 91078.jpeg

WISM-20_P1_SP91_6373835276080 18513.jpeg

WISM-20_P1_SP91_6373835276141 82051.jpeg

WISM-20_P1_SP91_6373835276210 61999.jpeg

WISM-20_P1_SP91_6373835276272 23778.jpeg

WISM-20_P1_SP91_6373835276820 40313.jpeg

WISM-20_P1_SP91_6373835276890 46520.jpeg

WISM-20_P1_SP91_6373835276952 18165.jpeg

WISM-20_P1_SP91_6373835277022 45268.jpeg

WISM-20_P1_SP91_6373835277089 67300.jpeg

WISM-20_P1_SP91_6373835277152 92239.jpeg

WISM-20_P1_SP91_6373835277216 80566.jpeg

WISM-20_P1_SP91_6373835277283 20146.jpeg

WISM-20_P1_SP91_6373835277345 45903.jpeg

WISM-20_P1_SP91_6373835277410 83774.jpeg

WISM-20_P1_SP91_6373835277482 54304.jpeg

WISM-20_P1_SP91_6373835277546 47528.jpeg

WISM-20_P1_SP91_6373835277608 93300.jpeg

WISM-20_P1_SP93_6373835291722 23625.jpeg

WISM-20_P1_SP93_6373835291790 29684.jpeg

WISM-20_P1_SP93_6373835291855 59940.jpeg

WISM-20_P1_SP94_6373835301188 15566.jpeg

WISM-20_P1_SP94_6373835301324 06298.jpeg

WISM-20_P1_SP95_6373835322428 29626.jpeg

WISM-20_P1_SP95_6373835322506 80261.jpeg

WISM-20_P1_SP95_6373835322576 23322.jpeg

WISM-20_P1_SP96_6373835333454 98005.jpeg

WISM-20_P1_SP96_6373835333545 29353.jpeg

WISM-20_P1_SP96_6373835333606 86627.jpeg

WISM-20_P1_SP97_6373835344799 51090.jpeg

WISM-20_P1_SP97_6373835344874 82496.jpeg

WISM-20_P1_SP97_6373835344947 45782.jpeg

WISM-20_P1_SP97_6373835345007 56004.jpeg

WISM-20_P1_SP98_6373837607661 33356.jpeg

WISM-20_P1_SP98_6373837607813 61262.jpeg

WISM-20_P1_SP98_6373837607955 32860.jpeg

WISM-20_P1_SP99_6373837616359 55874.jpeg

WISM-20_P1_SP99_6373837616518 17869.jpeg

WISM-20_P1_SP99_6373837616680 02949.jpeg

WISM-20_P1_SP99_6373837616877 29954.jpeg

WISM-20_P1_SP99_6373837617188 45482.jpeg

WISM-20_P1_SP99_6373837617595 03147.jpeg

WISM-20_P1_SP99_6373837617733 74207.jpeg

WISM-20_P1_V1_637358645409656 987.jpeg

WISM-20_P1_V1_637358645424362 138.jpeg

WISM-20_P1_V1_637358645438161 164.jpeg

WISM-20_P1_V1_637358645452035 966.jpeg

WISM-20_P1_V1_637358645464642 087.jpeg

WISM-20_P1_V1_637358645477595 461.jpeg

WISM-20_P1_V1_637358645490998 337.jpeg

WISM-20_P1_V1_637358645505173 611.jpeg

WISM-20_P1_V1_637358645517818 562.jpeg

WISM-20_P1_V1_637358645530068 138.jpeg

WISM-20_P1_V1_637358645542875 679.jpeg

WISM-20_P1_V1_637358645561899 883.jpeg

WISM-20_P1_V1_637358645577079 735.jpeg

WISM-20_P1_V1_637358645650630 982.jpeg

WISM-20_P1_V1_637358645669381 640.jpeg

WISM-20_P1_V1_637358645684139 596.jpeg

WISM-20_P1_V1_637358645698754 947.jpeg

WISM-20_P1_V1_637358645713001 610.jpeg

WISM-20_P1_V1_637358645727700 765.jpeg

WISM-20_P1_V1_637358645742348 701.jpeg

WISM-20_P1_V1_637358645757672 042.jpeg

WISM-20_P1_V1_637358645778229 785.jpeg

WISM-20_P1_V1_637358645793087 815.jpeg

WISM-20_P1_V1_637358645810001 495.jpeg

WISM-20_P1_V1_637358645827327 266.jpeg

WISM-20_P1_V1_637358645841502 573.jpeg

WISM-20_P1_V1_637358645890716 946.jpeg

WISM-20_P1_V1_637358645963642 552.jpeg

WISM-20_P1_V1_637358645995309 808.jpeg

WISM-20_P1_V1_637358646010007 785.jpeg

WISM-20_P1_V1_637358646023573 055.jpeg

WISM-20_P1_V1_637375090276496 162.jpeg

WISM-20_P1_V1_637375090299569 652.jpeg

WISM-20_P1_V1_637375090313219 908.jpeg

WISM-20_P1_V1_637375090326967 488.jpeg

WISM-20_P1_V1_637375090342843 494.jpeg

WISM-20_P1_V1_637375090360047654.jpeg

WISM-20_P1_V1_637376590088425741.jpeg

WISM-20_P1_V1_637376590103167813.jpeg

WISM-20_P1_V1_637376590117670601.jpeg

WISM-20_P1_V1_637376590193065995.jpeg

WISM-20_P1_V1_637376590273870084.jpeg

WISM-20_P1_V1_637376590321615305.jpeg

WISM-20_P1_V1_637376702437868533.jpeg

WISM-20_P1_V1_637376702452425560.jpeg

WISM-20_P1_V1_637376702466617746.jpeg

WISM-20_P1_V1_637376702481172901.jpeg

WISM-20_P1_V1_637376702499672842.jpeg

WISM-20_P1_V1_637376702514687940.jpeg

WISM-20_P1_V1_637376702530471075.jpeg

WISM-20_P1_V1_637376702544612428.jpeg

WISM-20_P1_V1_637376702557840048.jpeg

WISM-20_P1_V1_637376702571432114.jpeg

WISM-20_P1_V1_637376702586300989.jpeg

WISM-20_P1_V1_637376702602813887.jpeg

WISM-20_P1_V1_637376702618059963.jpeg

WISM-20_P1_V1_637376702634038142.jpeg

WISM-20_P1_V1_637376848810861306.jpeg

WISM-20_P1_V1_637376848823937660.jpeg

WISM-20_P1_V1_637376848836895295.jpeg

WISM-20_P1_V1_637376848848985773.jpeg

WISM-20_P1_V1_637380928460544692.jpeg

WISM-20_P1_V1_637380928484552717.jpeg

WISM-20_P1_V1_637380928497257467.jpeg

WISM-20_P1_V1_637380928511000807.jpeg

WISM-20_P1_V1_637380928524660966.jpeg

WISM-20_P1_V1_637380928538714028.jpeg

WISM-20_P1_V1_637380928551117298.jpeg

WISM-20_P1_V1_637380928563644883.jpeg

WISM-20_P1_V1_637380928576811857.jpeg

WISM-20_P1_V1_637381137056184415.jpeg

WISM-20_P1_V1_637381137151714934.jpeg

WISM-20_P1_V1_637381137216776224.jpeg

WISM-20_P1_V1_637381137234024088.jpeg

WISM-20_P1_V1_637381137341685395.jpeg

WISM-20_P1_V1_637381137416454960.jpeg

WISM-20_P1_V1_637381137436272814.jpeg

WISM-20_P1_V1_637381137450295179.jpeg

WISM-20_P1_V1_637381137466014824.jpeg

WISM-20_P1_V1_637381137480198386.jpeg

WISM-20_P1_V1_637381137494937853.jpeg

WISM-20_P1_V1_637381137509892440.jpeg

WISM-20_P1_V1_637381137524770736.jpeg

WISM-20_P1_V1_637381144118564713.jpeg

WISM-20_P1_V1_637381144131634354.jpeg

WISM-20_P1_V1_637381144147725139.jpeg

WISM-20_P1_V1_637381144162105640.jpeg

WISM-20_P1_V1_637381144178069410.jpeg

WISM-20_P1_V1_637381144193471381.jpeg

WISM-20_P1_V1_637381144207811024.jpeg

WISM-20_P1_V1_637381144222460993.jpeg

WISM-20_P1_V1_637381144238164821.jpeg

WISM-20_P1_V1_637381831104937582.jpeg

WISM-20_P1_V1_637381831118274633.jpeg

WISM-20_P1_V1_637381831130931041.jpeg

WISM-20_P1_V1_637381831144804518.jpeg

WISM-20_P1_V1_637381831158204641.jpeg

WISM-20_P1_V1_637381831173849185.jpeg

WISM-20_P1_V1_637381831191704845.jpeg

WISM-20_P1_V1_637381831205438704.jpeg

WISM-20_P1_V1_637381831218621494.jpeg

WISM-20_P1_V1_637381831232182643.jpeg

WISM-20_P1_V1_637381831245523867.jpeg

WISM-20_P1_V1_637381831259700663.jpeg

WISM-20_P1_V1_637381987210689374.jpeg

WISM-20_P1_V1_637381987224313202.jpeg

WISM-20_P1_V1_637381987241720571.jpeg

WISM-20_P1_V1_637381987261403425.jpeg

WISM-20_P1_V1_637381987279167612.jpeg

WISM-20_P1_V1_637383519986831887.jpeg

WISM-20_P1_V1_637383523610538469.jpeg

WISM-20_P1_V1_637383523617328375.jpeg

WISM-20_P1_V1_637383523624742256.jpeg

WISM-20_P1_V1_637383523631452768.jpeg

WISM-20_P1_V1_637383523638469717.jpeg

WISM-20_P1_V1_637383523645005539.jpeg

WISM-20_P1_V1_637383523662185342.jpeg

WISM-20_P1_V1_637383523668815475.jpeg

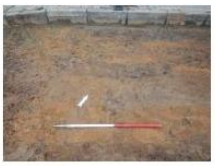
WISM-20_P1_V1_637383523675200434.jpeg

WISM-20_P1_V1_637383523681520015.jpeg

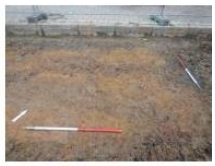
WISM-20_P1_V1_637383523687882127.jpeg

WISM-20_P1_V1_637383523694207153.jpeg

WISM-20_P1_V1_637383523700280766.jpeg

WISM-20_P1_V1_637383523706075141.jpeg

WISM-20_P1_V1_637383523711935501.jpeg

WISM-20_P1_V1_637383523718102913.jpeg

WISM-20_P1_V1_637383523724490693.jpeg

WISM-20_P1_V1_637383523730499536.jpeg

WISM-20_P1_V1_637383523736661406.jpeg

WISM-20_P1_V1_637383524838305814.jpeg

WISM-20_P1_V1_637383524845157224.jpeg

WISM-20_P1_V1_637383524851629638.jpeg

WISM-20_P1_V1_637383524860343399.jpeg

WISM-20_P1_V1_637383524866419214.jpeg

WISM-20_P1_V1_637383524872681430.jpeg

WISM-20_P1_V1_637383756499857555.jpeg

WISM-20_P1_V1_637383756513724393.jpeg

WISM-20_P1_V1_637383756526217326.jpeg

WISM-20_P1_V1_637383756538129027.jpeg

WISM-20_P1_V1_637383756550858264.jpeg

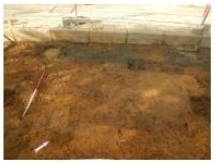
WISM-20_P1_V1_637383756564044151.jpeg

WISM-20_P1_V1_637383756577689837.jpeg

WISM-20_P1_V1_637383756594821661.jpeg

WISM-20_P1_V1_637383756607480083.jpeg

WISM-20_P1_V1_637383756620660291.jpeg

WISM-20_P1_V1_637383756633860043.jpeg

WISM-20_P1_V1_637383756646981239.jpeg

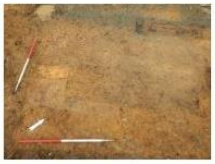
WISM-20_P1_V1_637383756660476017.jpeg

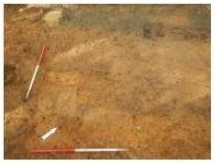
WISM-20_P1_V1_637383756673229842.jpeg

WISM-20_P1_V1_637383756686585361.jpeg

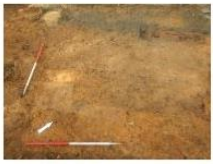
WISM-20_P1_V1_637383756700466472.jpeg

WISM-20_P1_V1_637387010486954412.jpeg

WISM-20_P1_V1_637387010514343036.jpeg

WISM-20_P1_V1_637387010544844546.jpeg

WISM-20_P1_V1_637387010557493989.jpeg

WISM-20_P1_V1_637387010571055252.jpeg

WISM-20_P1_V1_637387010584539046.jpeg

WISM-20_P1_V1_637387010598116778.jpeg

WISM-20_P1_V1_637388729243642844.jpeg

WISM-20_P1_V1_637388729263837248.jpeg

WISM-20_P1_V1_637388729279178017.jpeg

WISM-20_P1_V1_637388729292360403.jpeg

WISM-20_P1_V1_637388730285746004.jpeg

WISM-20_P1_V1_637388730299253536.jpeg

WISM-20_P1_V1_637388730312803305.jpeg

WISM-20_P1_V1_637388730326143879.jpeg

WISM-20_P1_V2_637365450783668964.jpeg

WISM-20_P1_V2_637365450798820770.jpeg

WISM-20_P1_V2_637365450812254812.jpeg

WISM-20_P1_V2_637365450827251300.jpeg

WISM-20_P1_V2_637365450840373159.jpeg

WISM-20_P1_V2_637365450852870200.jpeg

WISM-20_P1_V2_637365450866616954.jpeg

WISM-20_P1_V2_637365450879426447.jpeg

WISM-20_P1_V2_637365450891923829.jpeg

WISM-20_P1_V2_637365450905514000.jpeg

WISM-20_P1_V2_637365450917854836.jpeg

WISM-20_P1_V2_637365450930508125.jpeg

WISM-20_P1_V2_637365450942848927.jpeg

WISM-20_P1_V2_637365450957064315.jpeg

WISM-20_P1_V2_637365450969561368.jpeg

WISM-20_P1_V2_637365450983151894.jpeg

WISM-20_P1_V2_637378357468051263.jpeg

WISM-20_P1_V2_637378357485075100.jpeg

WISM-20_P1_V2_637378357497791861.jpeg

WISM-20_P1_V2_637378357511271170.jpeg

WISM-20_P1_V2_637378357524857904.jpeg

WISM-20_P1_V2_637378357537898483.jpeg

WISM-20_P1_V2_637378357550830846.jpeg

WISM-20_P1_V2_637378357565536961.jpeg

WISM-20_P1_V2_637378357578187948.jpeg

WISM-20_P1_V2_637378357591365426.jpeg

WISM-20_P1_V2_637378357606131750.jpeg

WISM-20_P1_V2_637378357619889242.jpeg

WISM-20_P1_V2_637378357633758373.jpeg

WISM-20_P1_V2_637378357647570769.jpeg

WISM-20_P1_V2_637378357662449001.jpeg

WISM-20_P1_V2_637378357677045531.jpeg

WISM-20_P1_V2_637378357691794664.jpeg

WISM-20_P1_V2_637378357706568090.jpeg

WISM-20_P1_V2_637378357720878002.jpeg

WISM-20_P1_V2_637378357736060904.jpeg

WISM-20_P1_V2_637381004335096422.jpeg

WISM-20_P1_V2_637381004351761886.jpeg

WISM-20_P1_V2_637381004366630010.jpeg

WISM-20_P1_V2_637381004403398164.jpeg

WISM-20_P1_V2_637381004440983298.jpeg

WISM-20_P1_V2_637381004481638387.jpeg

WISM-20_P1_V2_637381004532453207.jpeg

WISM-20_P1_V2_637381004568409123.jpeg

WISM-20_P1_V2_637381004588226574.jpeg

WISM-20_P1_V2_637381079598960249.jpeg

WISM-20_P1_V2_637381079617454028.jpeg

WISM-20_P1_V2_637381079635177327.jpeg

WISM-20_P1_V2_637381079652357290.jpeg

WISM-20_P1_V2_637381079667464906.jpeg

WISM-20_P1_V2_637381079683965638.jpeg

WISM-20_P1_V2_637381079712780290.jpeg

WISM-20_P1_V2_637381079729109461.jpeg

WISM-20_P1_V2_637387052957293762.jpeg

WISM-20_P1_V2_637387052976829195.jpeg

WISM-20_P1_V2_637387052995177893.jpeg

WISM-20_P1_V2_637387054232702805.jpeg

WISM-20_P1_V2_637387054248352513.jpeg

WISM-20_P1_V2_637387054263693813.jpeg

WISM-20_P1_V2_637387054356286767.jpeg

WISM-20_P1_V2_637389605522152802.jpeg

WISM-20_P1_V2_637389605537620973.jpeg

WISM-20_P1_V2_637389605551805779.jpeg

WISM-20_P1_V2_637389605566152843.jpeg

WISM-20_P1_V2_637389605580017842.jpeg

WISM-20_P1_V2_637389605594351388.jpeg

WISM-20_P1_V2_637389605607973056.jpeg

WISM-20_P1_V2_637389605621169832.jpeg

WISM-20_P1_V2_637389605636058285.jpeg

WISM-20_P1_V2_637389605650248970.jpeg

WISM-20_P1_V2_637389621538265458.jpeg

WISM-20_P1_V2_637389621551296650.jpeg

WISM-20_P1_V2_637389621564854865.jpeg

WISM-20_P1_V2_637389621578023070.jpeg

WISM-20_P1_V2_637389621591187352.jpeg

WISM-20_P1_V2_637389621605097917.jpeg

WISM-20_P1_V2_637389621619661085.jpeg

WISM-20_P1_V2_637389621634327163.jpeg

WISM-20_P1_V2_637389621647883739.jpeg

WISM-20_P1_V2_637389622056437304.jpeg

WISM-20_P1_V2_637389622141103763.jpeg

WISM-20_P1_V2_637389622177261928.jpeg

WISM-20_P1_V2_637389622199295810.jpeg

WISM-20_P1_V2_637389622215324028.jpeg

WISM-20_P1_V2_637389623976876208.jpeg

WISM-20_P1_V2_637389623990436613.jpeg

WISM-20_P1_V2_637389624003636950.jpeg

WISM-20_P1_V2_637389624016456285.jpeg

WISM-20_P1_V2_637389624029507886.jpeg

WISM-20_P1_V2_637389624629565335.jpeg

WISM-20_P1_V2_637389624641899227.jpeg

WISM-20_P1_V2_637389648424491924.jpeg

WISM-20_P1_V2_637389648462291461.jpeg

WISM-20_P1_V2_637389648477547564.jpeg

WISM-20_P1_V2_637389648491217740.jpeg

WISM-20_P1_V2_637389648505918501.jpeg

WISM-20_P1_V2_637389648520088053.jpeg

WISM-20_P1_V2_637389648534864478.jpeg

WISM-20_P1_V2_637389648548504073.jpeg

WISM-20_P1_V2_637389648561755810.jpeg

WISM-20_P1_V2_637389648576045210.jpeg

WISM-20_P1_V2_637389648590057095.jpeg

WISM-20_P1_V2_637389648603734112.jpeg

WISM-20_P1_V2_637389648619423587.jpeg

WISM-20_P1_V2_637389726441350723.jpeg

WISM-20_P1_V2_637389726459921971.jpeg

WISM-20_P1_V2_637389726475122747.jpeg

WISM-20_P1_V2_637389728074420312.jpeg

WISM-20_P1_V2_637389728099739025.jpeg

WISM-20_P1_V3_637376764511275214.jpeg

WISM-20_P1_V3_637376764526661092.jpeg

WISM-20_P1_V3_637376764541529156.jpeg

WISM-20_P1_V3_637376764556731870.jpeg

WISM-20_P1_V3_637376764571603694.jpeg

WISM-20_P1_V3_637376764585470401.jpeg

WISM-20_P1_V3_637376764601610389.jpeg

WISM-20_P1_V3_637376764617204802.jpeg

WISM-20_P1_V3_637376764631707408.jpeg

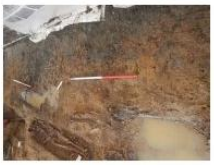
WISM-20_P1_V3_637376764645600391.jpeg

WISM-20_P1_V3_637376764660313073.jpeg

WISM-20_P1_V3_637376764673650135.jpeg

WISM-20_P1_V3_637376764688259431.jpeg

WISM-20_P1_V3_637376764702486498.jpeg

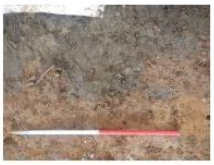
WISM-20_P1_V3_637376764717505810.jpeg

WISM-20_P1_V3_637376764732167812.jpeg

WISM-20_P1_V3_637376764747179613.jpeg

WISM-20_P1_V3_637376764762204653.jpeg

WISM-20_P1_V3_637376764776534637.jpeg

WISM-20_P1_V3_637376764791921690.jpeg

WISM-20_P1_V3_637376764805760592.jpeg

WISM-20_P1_V3_637376764819163814.jpeg

WISM-20_P1_V3_637376764833983343.jpeg

WISM-20_P1_V3_637387923117573731.jpeg

WISM-20_P1_V3_637387923141935675.jpeg

WISM-20_P1_V3_637387923162721510.jpeg

WISM-20_P1_V3_637387923180457410.jpeg

WISM-20_P1_V3_637387923204065356.jpeg

WISM-20_P1_V3_637387923222960065.jpeg

WISM-20_P1_V3_637389609555234979.jpeg

WISM-20_P1_V3_637389609568562523.jpeg

WISM-20_P1_V3_637389609584281694.jpeg

WISM-20_P1_V3_637389609596928963.jpeg

WISM-20_P1_V3_637389609610495625.jpeg

WISM-20_P1_V3_637389609629059139.jpeg

WISM-20_P1_V4_637389796437470719.jpeg

WISM-20_P1_V4_637389796453805917.jpeg

WISM-20_P1_V4_637389796480561309.jpeg

WISM-20_P1_V4_637389796495118420.jpeg

WISM-20_P1_V4_637389796510303674.jpeg

WISM-20_P1_V4_637389796531451024.jpeg

WISM-20_P1_V4_637389796546167523.jpeg

WISM-20_P1_V4_637389796562524934.jpeg

WISM-20_P1_V4_637389796581037241.jpeg

WISM-20_P1_V4_637389796597606131.jpeg

WISM-20_P1_V4_637389796620652796.jpeg

WISM-20_P1_V4_637389796646879968.jpeg

WISM-20_P1_V4_637389796677084050.jpeg

WISM-20_P1_V4_637389796700503271.jpeg

WISM-20_P1_V4_637389796727338045.jpeg

WISM-20_P1_V4_637389796756637875.jpeg

WISM-20_P1_V4_637389796811144413.jpeg

WISM-20_P1_SP10_IND110_637377521844911166.jpeg

WISM-20_P1_SP10_IND110_637377521865177614.jpeg

WISM-20_P1_SP10_IND110_637377521880502626.jpeg

WISM-20_P1_SP10_IND110_637377521895987880.jpeg

WISM-20_P1_SP10_IND110_637377521910011684.jpeg

WISM-20_P1_SP10_IND110_637377521924033105.jpeg

WISM-20_P1_SP10_IND110_637377521937765506.jpeg

WISM-20_P1_SP10_IND110_637377521952785172.jpeg

WISM-20_P1_SP10_IND110_637377521967121772.jpeg

WISM-20_P1_SP10_IND110_637377521981359871.jpeg

WISM-20_P1_SP10_IND110_637377522006784180.jpeg

WISM-20_P1_SP10_IND110_637377522020281454.jpeg

WISM-20_P1_SP10_IND110_637377522033873709.jpeg

WISM-20_P1_SP10_IND110_637377522047221838.jpeg

WISM-20_P1_SP10_IND110_637377522061776442.jpeg

WISM-20_P1_SP10_IND110_637377522075808714.jpeg

WISM-20_P1_SP10_IND110_637377522089835655.jpeg

WISM-20_P1_SP100_IND158_637387106540340175.jpeg

WISM-20_P1_SP100_IND158_637387106555052865.jpeg

WISM-20_P1_SP100_IND158_637387106584527095.jpeg

WISM-20_P1_SP100_IND158_637387106603379889.jpeg

WISM-20_P1_SP100_IND158_637387106626685488.jpeg

WISM-20_P1_SP100_IND158_637387106640694866.jpeg

WISM-20_P1_SP100_IND158_637387106668399080.jpeg

WISM-20_P1_SP100_IND158_637387106696813892.jpeg

WISM-20_P1_SP100_IND158_637387106720069971.jpeg

WISM-20_P1_SP100_IND158_637387106748533985.jpeg

WISM-20_P1_SP100_IND158_637387106776516974.jpeg

WISM-20_P1_SP100_IND158_637387106795119655.jpeg

WISM-20_P1_SP101_IND157_6373
86945739522521.jpeg

WISM-20_P1_SP101_IND157_6373
86945753558069.jpeg

WISM-20_P1_SP101_IND157_6373
86945766724058.jpeg

WISM-20_P1_SP101_IND157_6373
86945779486941.jpeg

WISM-20_P1_SP101_IND157_6373
86945793717367.jpeg

WISM-20_P1_SP101_IND157_6373
86945807774305.jpeg

WISM-20_P1_SP101_IND157_6373
86945821607670.jpeg

WISM-20_P1_SP101_IND157_6373
86945835624487.jpeg

WISM-20_P1_SP101_IND157_6373
86945848206510.jpeg

WISM-20_P1_SP101_IND157_6373
86945862178697.jpeg

WISM-20_P1_SP105_IND162_6373
87221322664624.jpeg

WISM-20_P1_SP105_IND162_6373
87221336456278.jpeg

WISM-20_P1_SP105_IND162_6373
87221350017767.jpeg

WISM-20_P1_SP105_IND162_6373
87221364578601.jpeg

WISM-20_P1_SP105_IND162_6373
87221400158729.jpeg

WISM-20_P1_SP105_IND162_6373
87221473299030.jpeg

WISM-20_P1_SP105_IND162_6373
87221532348744.jpeg

WISM-20_P1_SP105_IND162_6373
87221558484315.jpeg

WISM-20_P1_SP109_IND169_6373
88842142451974.jpeg

WISM-20_P1_SP109_IND169_6373
88842156253842.jpeg

WISM-20_P1_SP109_IND169_6373
88842170314937.jpeg

WISM-20_P1_SP109_IND169_6373
88842183806849.jpeg

WISM-20_P1_SP109_IND169_6373
88842196560105.jpeg

WISM-20_P1_SP109_IND169_6373
88842211308381.jpeg

WISM-20_P1_SP109_IND169_6373
88842224516387.jpeg

WISM-20_P1_SP109_IND169_6373
88842237927538.jpeg

WISM-20_P1_SP109_IND169_6373
88842250421177.jpeg

WISM-20_P1_SP110_IND182_6373
89807249443448.jpeg

WISM-20_P1_SP110_IND182_6373
89807263848228.jpeg

WISM-20_P1_SP110_IND182_6373
89807305954549.jpeg

WISM-20_P1_SP110_IND182_6373
89807319461470.jpeg

WISM-20_P1_SP110_IND183_6373
89802525677254.jpeg

WISM-20_P1_SP110_IND183_6373
89802580207958.jpeg

WISM-20_P1_SP110_IND183_6373
89802594386012.jpeg

WISM-20_P1_SP110_IND183_6373
89802608782241.jpeg

WISM-20_P1_SP110_IND183_6373
89802623478203.jpeg

WISM-20_P1_SP110_IND183_6373
89802642359863.jpeg

WISM-20_P1_SP110_IND183_6373
89802658193427.jpeg

WISM-20_P1_SP110_IND183_6373
89802672607473.jpeg

WISM-20_P1_SP110_IND183_6373
89802725989022.jpeg

WISM-20_P1_SP110_IND183_6373 89802749186316.jpeg

WISM-20_P1_SP110_IND183_6373 89802767548089.jpeg

WISM-20_P1_SP110_IND183_6373 89802789753978.jpeg

WISM-20_P1_SP110_IND183_6373 89802809648999.jpeg

WISM-20_P1_SP111_IND189_6373 90671273518404.jpeg

WISM-20_P1_SP111_IND189_6373 90671297961147.jpeg

WISM-20_P1_SP111_IND189_6373 90671310775638.jpeg

WISM-20_P1_SP111_IND189_6373 90671346083900.jpeg

WISM-20_P1_SP111_IND189_6373 90671421691607.jpeg

WISM-20_P1_SP111_IND189_6373 90671500227890.jpeg

WISM-20_P1_SP111_IND189_6373 90671528781399.jpeg

WISM-20_P1_SP111_IND189_6373 90671542388148.jpeg

WISM-20_P1_SP111_IND189_6373 90671555281754.jpeg

WISM-20_P1_SP111_IND189_6373 90671567897827.jpeg

WISM-20_P1_SP111_IND189_6373 90671580778447.jpeg

WISM-20_P1_SP111_IND189_6373 90671594269012.jpeg

WISM-20_P1_SP111_IND189_6373 90671613268763.jpeg

WISM-20_P1_SP111_IND189_6373 90671626051549.jpeg

WISM-20_P1_SP112_IND170_6373 88072713568498.jpeg

WISM-20_P1_SP112_IND170_6373 88072735903946.jpeg

WISM-20_P1_SP112_IND170_6373 88072748935727.jpeg

WISM-20_P1_SP112_IND170_6373 88072762103705.jpeg

WISM-20_P1_SP112_IND170_6373 88072775668808.jpeg

WISM-20_P1_SP112_IND170_6373 88072788228904.jpeg

WISM-20_P1_SP112_IND170_6373 88072800565001.jpeg

WISM-20_P1_SP112_IND170_6373 88072812753181.jpeg

WISM-20_P1_SP112_IND170_6373 88072825316721.jpeg

WISM-20_P1_SP112_IND170_6373 88072838346237.jpeg

WISM-20_P1_SP112_IND170_6373 88072849992688.jpeg

WISM-20_P1_SP112_IND170_6373 88072851151255.jpeg

WISM-20_P1_SP112_IND170_6373 88072863722823.jpeg

WISM-20_P1_SP112_IND170_6373 88072882229923.jpeg

WISM-20_P1_SP112_IND170_6373 88072895100398.jpeg

WISM-20_P1_SP112_IND170_6373 88072908663662.jpeg

WISM-20_P1_SP112_IND170_6373 88072921993716.jpeg

WISM-20_P1_SP112_IND170_6373 88072935718369.jpeg

WISM-20_P1_SP112_IND170_6373 88072949592256.jpeg

WISM-20_P1_SP112_IND170_6373 88072963096160.jpeg

WISM-20_P1_SP112_IND170_6373 88072976869260.jpeg

WISM-20_P1_SP112_IND170_6373 88072990320873.jpeg

WISM-20_P1_SP113_IND168_6373
88869315235640.jpeg

WISM-20_P1_SP113_IND168_6373
88869343331872.jpeg

WISM-20_P1_SP113_IND168_6373
88869363118301.jpeg

WISM-20_P1_SP113_IND168_6373
88869379462025.jpeg

WISM-20_P1_SP114_IND178_6373
89590904483851.jpeg

WISM-20_P1_SP114_IND178_6373
89590919057606.jpeg

WISM-20_P1_SP114_IND178_6373
89590948011599.jpeg

WISM-20_P1_SP114_IND178_6373
89590966309369.jpeg

WISM-20_P1_SP114_IND178_6373
89590979948594.jpeg

WISM-20_P1_SP114_IND178_6373
89590992814198.jpeg

WISM-20_P1_SP114_IND178_6373
89591007160261.jpeg

WISM-20_P1_SP114_IND178_6373
89591020024461.jpeg

WISM-20_P1_SP114_IND178_6373
89591032735412.jpeg

WISM-20_P1_SP114_IND178_6373
89591047070167.jpeg

WISM-20_P1_SP114_IND178_6373
89591060839374.jpeg

WISM-20_P1_SP114_IND178_6373
89591074389090.jpeg

WISM-20_P1_SP116_IND173_6373
88908569647262.jpeg

WISM-20_P1_SP116_IND173_6373
88908584681110.jpeg

WISM-20_P1_SP116_IND173_6373
88908605592382.jpeg

WISM-20_P1_SP116_IND173_6373
88908618646485.jpeg

WISM-20_P1_SP116_IND173_6373
88908631206695.jpeg

WISM-20_P1_SP116_IND173_6373
88908644262804.jpeg

WISM-20_P1_SP116_IND173_6373
88908657913349.jpeg

WISM-20_P1_SP116_IND173_6373
88908670636945.jpeg

WISM-20_P1_SP116_IND173_6373
88908682998280.jpeg

WISM-20_P1_SP116_IND173_6373
88908696710216.jpeg

WISM-20_P1_SP116_IND173_6373
88908709726762.jpeg

WISM-20_P1_SP116_IND173_6373
88908722965748.jpeg

WISM-20_P1_SP116_IND173_6373
88908736864318.jpeg

WISM-20_P1_SP116_IND173_6373
88908752442550.jpeg

WISM-20_P1_SP116_IND173_6373
88908766574819.jpeg

WISM-20_P1_SP116_IND173_6373
88908779583810.jpeg

WISM-20_P1_SP116_IND173_6373
88908792445536.jpeg

WISM-20_P1_SP117_118_IND174_
176_637388944901264427.jpeg

WISM-20_P1_SP117_118_IND174_
176_637388944936178854.jpeg

WISM-20_P1_SP117_118_IND174_
176_637388944968383406.jpeg

WISM-20_P1_SP117_118_IND174_
176_637388944998933224.jpeg

WISM-20_P1_SP117_118_IND174_
176_637388945014607852.jpeg

WISM-20_P1_SP117_118_IND174_
176_637388945030528463.jpeg

WISM-20_P1_SP117_118_IND174_
176_637388945076022087.jpeg

WISM-20_P1_SP117_118_IND174_176_637388945102868649.jpeg

WISM-20_P1_SP117_118_IND174_176_637388945132704764.jpeg

WISM-20_P1_SP117_118_IND174_176_637388945168253572.jpeg

WISM-20_P1_SP117_118_IND174_176_637388945182284732.jpeg

WISM-20_P1_SP117_118_IND174_176_637388945222396972.jpeg

WISM-20_P1_SP117_118_IND174_176_637388945235415327.jpeg

WISM-20_P1_SP117_118_IND174_176_637388945248438541.jpeg

WISM-20_P1_SP117_118_IND174_176_637388945263083281.jpeg

WISM-20_P1_SP117_118_IND174_176_637388945277420191.jpeg

WISM-20_P1_SP117_118_IND174_176_637388945291490235.jpeg

WISM-20_P1_SP117_118_IND174_176_637388945304676900.jpeg

WISM-20_P1_SP117_118_IND174_176_637388945318537210.jpeg

WISM-20_P1_SP117_118_IND174_176_637388945330958402.jpeg

WISM-20_P1_SP12_IND161_63738720161378804 2.jpeg

WISM-20_P1_SP12_IND161_63738720162808752 3.jpeg

WISM-20_P1_SP12_IND161_63738720164234122 2.jpeg

WISM-20_P1_SP12_IND161_63738720165582438 2.jpeg

WISM-20_P1_SP12_IND161_63738720166969551 7.jpeg

WISM-20_P1_SP12_IND161_63738720168319125 4.jpeg

WISM-20_P1_SP12_IND161_63738720169695334 0.jpeg

WISM-20_P1_SP12_IND161_63738720171101059 9.jpeg

WISM-20_P1_SP12_IND161_63738720172488180 9.jpeg

WISM-20_P1_SP12_IND161_63738720173891690 5.jpeg

WISM-20_P1_SP121_IND184_637390472214710297.jpeg

WISM-20_P1_SP121_IND184_637390472230550449.jpeg

WISM-20_P1_SP121_IND184_637390472245723156.jpeg

WISM-20_P1_SP121_IND184_637390473607842213.jpeg

WISM-20_P1_SP121_IND184_637390473644938703.jpeg

WISM-20_P1_SP121_IND184_637390515275246839.jpeg

WISM-20_P1_SP121_IND184_637390515292107625.jpeg

WISM-20_P1_SP121_IND184_637390515305761096.jpeg

WISM-20_P1_SP121_IND184_637390515320169656.jpeg

WISM-20_P1_SP121_IND184_637390515336877099.jpeg

WISM-20_P1_SP121_IND184_637390515350437115.jpeg

WISM-20_P1_SP121_IND184_637390515364147468.jpeg

WISM-20_P1_SP121_IND184_637390515377571246.jpeg

WISM-20_P1_SP121_IND184_637390515394813822.jpeg

WISM-20_P1_SP122_IND185_637390473101144602.jpeg

WISM-20_P1_SP122_IND185_637390473133734622.jpeg

WISM-20_P1_SP122_IND185_637390512589346561.jpeg

WISM-20_P1_SP122_IND185_6373
90512603361429.jpeg

WISM-20_P1_SP122_IND185_6373
90512618872694.jpeg

WISM-20_P1_SP122_IND185_6373
90512632432212.jpeg

WISM-20_P1_SP122_IND185_6373
90512679364537.jpeg

WISM-20_P1_SP122_IND185_6373
90512691765333.jpeg

WISM-20_P1_SP122_IND185_6373
90512705737463.jpeg

WISM-20_P1_SP122_IND185_6373
90512719127768.jpeg

WISM-20_P1_SP122_IND185_6373
90512733169743.jpeg

WISM-20_P1_SP125_IND183_6373
90432837498543.jpeg

WISM-20_P1_SP125_IND183_6373
90432853318759.jpeg

WISM-20_P1_SP125_IND183_6373
90432867726602.jpeg

WISM-20_P1_SP125_IND183_6373
90432882110623.jpeg

WISM-20_P1_SP125_IND183_6373
90432896105071.jpeg

WISM-20_P1_SP125_IND183_6373
90432910724823.jpeg

WISM-20_P1_SP125_IND183_6373
90432925059835.jpeg

WISM-20_P1_SP125_IND183_6373
90432961497459.jpeg

WISM-20_P1_SP125_IND183_6373
90432980990021.jpeg

WISM-20_P1_SP125_IND183_6373
90432995016670.jpeg

WISM-20_P1_SP126_IND186_6373
89834171075588.jpeg

WISM-20_P1_SP126_IND186_6373
89834198299931.jpeg

WISM-20_P1_SP126_IND186_6373
89834218598000.jpeg

WISM-20_P1_SP126_IND186_6373
89834259478514.jpeg

WISM-20_P1_SP126_IND186_6373
90453089913962.jpeg

WISM-20_P1_SP126_IND186_6373
90453103616368.jpeg

WISM-20_P1_SP126_IND186_6373
90453124499690.jpeg

WISM-20_P1_SP126_IND186_6373
90453138688408.jpeg

WISM-20_P1_SP126_IND186_6373
90453152487791.jpeg

WISM-20_P1_SP126_IND186_6373
90453166053664.jpeg

WISM-20_P1_SP126_IND186_6373
90453179385644.jpeg

WISM-20_P1_SP126_IND186_6373
90453197794845.jpeg

WISM-20_P1_SP126_IND186_6373
90453212442863.jpeg

WISM-20_P1_SP126_IND186_6373
90453228014023.jpeg

WISM-20_P1_SP126_IND186_6373
90453253780441.jpeg

WISM-20_P1_SP126_IND186_6373
90453319309781.jpeg

WISM-20_P1_SP126_IND186_6373
90453340714988.jpeg

WISM-20_P1_SP127_IND187_6373
90653735173063.jpeg

WISM-20_P1_SP127_IND187_6373
90653753794854.jpeg

WISM-20_P1_SP127_IND187_6373
90653769774952.jpeg

WISM-20_P1_SP127_IND187_6373
90653800307072.jpeg

WISM-20_P1_SP127_IND187_6373
90653815127267.jpeg

WISM-20_P1_SP127_IND187_6373 90653852870469.jpeg

WISM-20_P1_SP127_IND187_6373 90653872256425.jpeg

WISM-20_P1_SP127_IND187_6373 90653940939984.jpeg

WISM-20_P1_SP128_IND195_6373 93157158736327.jpeg

WISM-20_P1_SP128_IND195_6373 93157216605818.jpeg

WISM-20_P1_SP128_IND195_6373 93157231111945.jpeg

WISM-20_P1_SP129_IND188_6373 89768386752052.jpeg

WISM-20_P1_SP129_IND188_6373 89768403019844.jpeg

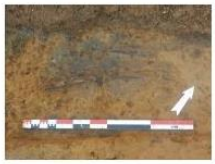
WISM-20_P1_SP130_IND194_6373 90586848664341.jpeg

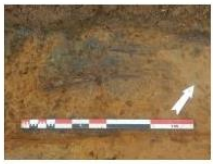
WISM-20_P1_SP130_IND194_6373 90586863376498.jpeg

WISM-20_P1_SP130_IND194_6373 90586878398955.jpeg

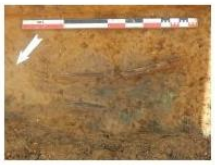
WISM-20_P1_SP130_IND194_6373 90586898600606.jpeg

WISM-20_P1_SP130_IND194_6373 90586915848804.jpeg

WISM-20_P1_SP130_IND194_6373 90586950839714.jpeg

WISM-20_P1_SP130_IND194_6373 90586976825313.jpeg

WISM-20_P1_SP130_IND194_6373 90587005353143.jpeg

WISM-20_P1_SP130_IND194_6373 90587039959060.jpeg

WISM-20_P1_SP133_IND190_6373 90689686629553.jpeg

WISM-20_P1_SP133_IND190_6373 90689700165774.jpeg

WISM-20_P1_SP135_IND192_6373 90611675228904.jpeg

WISM-20_P1_SP135_IND192_6373 90611689817373.jpeg

WISM-20_P1_SP135_IND192_6373 90611704854831.jpeg

WISM-20_P1_SP135_IND192_6373 90611720481609.jpeg

WISM-20_P1_SP135_IND192_6373 90611736083123.jpeg

WISM-20_P1_SP135_IND192_6373 90611751433285.jpeg

WISM-20_P1_SP138_IND193_6373 90579172192399.jpeg

WISM-20_P1_SP138_IND193_6373 90579185545437.jpeg

WISM-20_P1_SP138_IND193_6373 90579199432853.jpeg

WISM-20_P1_SP138_IND193_6373 90579270843810.jpeg

WISM-20_P1_SP138_IND193_6373 90579366319903.jpeg

WISM-20_P1_SP14_IND130_63737 6800680191065.jpeg

WISM-20_P1_SP14_IND130_63737 6800695218755.jpeg

WISM-20_P1_SP14_IND130_63737 6800710455957.jpeg

WISM-20_P1_SP14_IND130_63737 6800724567903.jpeg

WISM-20_P1_SP14_IND130_63737 6800738616687.jpeg

WISM-20_P1_SP14_IND130_63737 6800753293095.jpeg

WISM-20_P1_SP14_IND130_63737 6800768011776.jpeg

WISM-20_P1_SP14_IND130_63737 6800783674199.jpeg

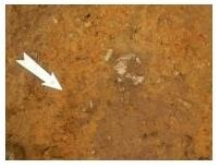
WISM-20_P1_SP14_IND130_63737 6800799769484.jpeg

WISM-20_P1_SP14_IND130_63737 6824486658174.jpeg

WISM-20_P1_SP14_IND130_63737 6824500681339.jpeg

WISM-20_P1_SP14_IND130_63737 6824516705564.jpeg

WISM-20_P1_SP14_IND130_63737 6824532719311.jpeg

WISM-20_P1_SP14_IND130_63737 6824546271111.jpeg

WISM-20_P1_SP14_IND130_63737 6824560307005.jpeg

WISM-20_P1_SP14_IND130_63737 6824574019142.jpeg

WISM-20_P1_SP14_IND130_63737 6824588031297.jpeg

WISM-20_P1_SP14_IND130_63737 6824601042590.jpeg

WISM-20_P1_SP14_IND130_63737 6824614226068.jpeg

WISM-20_P1_SP14_IND130_63737 6830048219057.jpeg

WISM-20_P1_SP14_IND130_63737 6830062716913.jpeg

WISM-20_P1_SP14_IND130_63737 6830076889212.jpeg

WISM-20_P1_SP14_IND130_63737 7532916884315.jpeg

WISM-20_P1_SP14_IND130_63737 7532943935085.jpeg

WISM-20_P1_SP14_IND130_63737 7532961264880.jpeg

WISM-20_P1_SP14_IND130_63737 7533034913348.jpeg

WISM-20_P1_SP14_IND130_63737 7533061504885.jpeg

WISM-20_P1_SP14_IND130_63737 7533075622997.jpeg

WISM-20_P1_SP14_IND130_63737 7533088041325.jpeg

WISM-20_P1_SP14_IND130_63737 7533102358170.jpeg

WISM-20_P1_SP14_IND130_63737 7533115716792.jpeg

WISM-20_P1_SP14_IND130_63737 7533129281362.jpeg

WISM-20_P1_SP14_IND130_63737 7533141780312.jpeg

WISM-20_P1_SP140_IND191_6373 93076874248305.jpeg

WISM-20_P1_SP140_IND191_6373 93076888121856.jpeg

WISM-20_P1_SP140_IND191_6373 93076903149954.jpeg

WISM-20_P1_SP17_IND131_63737 7473163822633.jpeg

WISM-20_P1_SP17_IND131_63737 7473178867043.jpeg

WISM-20_P1_SP17_IND131_63737 7473194103327.jpeg

WISM-20_P1_SP17_IND143_63737 8482444877138.jpeg

WISM-20_P1_SP17_IND143_63737 8482481117589.jpeg

WISM-20_P1_SP17_IND143_63737 8482501853914.jpeg

WISM-20_P1_SP21_IND140_63737 8566865917605.jpeg

WISM-20_P1_SP21_IND140_63737 8566884914557.jpeg

WISM-20_P1_SP21_IND140_63737 8566900940348.jpeg

WISM-20_P1_SP21_IND140_63737 8566915860888.jpeg

WISM-20_P1_SP21_IND140_63737 8566928984659.jpeg

WISM-20_P1_SP21_IND140_63737 8566943876220.jpeg

WISM-20_P1_SP21_IND140_63737 8566960062861.jpeg

WISM-20_P1_SP21_IND140_63737 8566975925946.jpeg

WISM-20_P1_SP22_IND141_63737
8512057042502.jpeg

WISM-20_P1_SP22_IND141_63737
8512075775268.jpeg

WISM-20_P1_SP22_IND141_63737
8512094905151.jpeg

WISM-20_P1_SP28_IND102_63736
3676988593490.jpeg

WISM-20_P1_SP28_IND102_63736
3677002300865.jpeg

WISM-20_P1_SP28_IND102_63736
3677016015861.jpeg

WISM-20_P1_SP28_IND102_63736
3677029249536.jpeg

WISM-20_P1_SP28_IND102_63736
3677041891119.jpeg

WISM-20_P1_SP28_IND102_63736
3677055229406.jpeg

WISM-20_P1_SP28_IND102_63736
3677067631902.jpeg

WISM-20_P1_SP28_IND102_63736
3677080973062.jpeg

WISM-20_P1_SP29_IND103_63736
3710123435125.jpeg

WISM-20_P1_SP29_IND103_63736
3710142985426.jpeg

WISM-20_P1_SP29_IND103_63736
3710158483376.jpeg

WISM-20_P1_SP29_IND103_63736
3710173666691.jpeg

WISM-20_P1_SP29_IND103_63736
3710197548845.jpeg

WISM-20_P1_SP29_IND103_63736
3710212888143.jpeg

WISM-20_P1_SP29_IND103_63736
3710228132656.jpeg

WISM-20_P1_SP29_IND103_63736
3710243153178.jpeg

WISM-20_P1_SP29_IND103_63736
3710259958756.jpeg

WISM-20_P1_SP29_IND103_63736
3710274668642.jpeg

WISM-20_P1_SP29_IND103_63736
3710307038213.jpeg

WISM-20_P1_SP29_IND103_63736
3710322446649.jpeg

WISM-20_P1_SP29_IND103_63736
3710339101279.jpeg

WISM-20_P1_SP29_IND103_63736
3710357127952.jpeg

WISM-20_P1_SP29_IND103_63736
3710382374490.jpeg

WISM-20_P1_SP29_IND103_63736
3710400723565.jpeg

WISM-20_P1_SP29_IND103_63736
3710424463994.jpeg

WISM-20_P1_SP29_IND103_63736
3710452129402.jpeg

WISM-20_P1_SP29_IND103_63736
3710471170291.jpeg

WISM-20_P1_SP29_IND103_63736
3710489041632.jpeg

WISM-20_P1_SP30_IND104_63736
3679503408656.jpeg

WISM-20_P1_SP30_IND104_63736
3679521301225.jpeg

WISM-20_P1_SP30_IND104_63736
3679534484670.jpeg

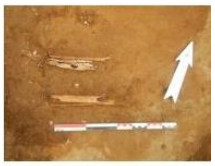
WISM-20_P1_SP30_IND104_63736
3679547198741.jpeg

WISM-20_P1_SP30_IND104_63736
6258829710493.jpeg

WISM-20_P1_SP30_IND104_63736
6258845432397.jpeg

WISM-20_P1_SP30_IND104_63736
6258859241538.jpeg

WISM-20_P1_SP30_IND104_63736
6258873499060.jpeg

WISM-20_P1_SP30_IND104_63736
6258887829455.jpeg

WISM-20_P1_SP30_IND104_63736 6258900710130.jpeg

WISM-20_P1_SP30_IND104_63736 6258913887693.jpeg

WISM-20_P1_SP30_IND104_63736 6258927543733.jpeg

WISM-20_P1_SP30_IND104_63736 6258940840365.jpeg

WISM-20_P1_SP30_IND104_63736 6258953865563.jpeg

WISM-20_P1_SP30_IND104_63736 6258966679595.jpeg

WISM-20_P1_SP30_IND104_63736 6258979925937.jpeg

WISM-20_P1_SP30_IND104_63736 6258993738798.jpeg

WISM-20_P1_SP30_IND104_63736 6259007606305.jpeg

WISM-20_P1_SP31_IND105_63736 5462685020804.jpeg

WISM-20_P1_SP31_IND105_63736 5462705328793.jpeg

WISM-20_P1_SP31_IND105_63736 5462720325364.jpeg

WISM-20_P1_SP31_IND105_63736 5462733759655.jpeg

WISM-20_P1_SP31_IND105_63736 5462748131233.jpeg

WISM-20_P1_SP31_IND105_63736 5462761877673.jpeg

WISM-20_P1_SP32_IND106_63736 3893230139685.jpeg

WISM-20_P1_SP32_IND106_63736 3893245002933.jpeg

WISM-20_P1_SP32_IND106_63736 3893263406406.jpeg

WISM-20_P1_SP33_IND107_63736 5373370985247.jpeg

WISM-20_P1_SP33_IND107_63736 5373385668143.jpeg

WISM-20_P1_SP33_IND107_63736 5373398946622.jpeg

WISM-20_P1_SP33_IND107_63736 5373417536079.jpeg

WISM-20_P1_SP33_IND107_63736 5373430501649.jpeg

WISM-20_P1_SP33_IND107_63736 5373444091824.jpeg

WISM-20_P1_SP33_IND107_63736 5373457370370.jpeg

WISM-20_P1_SP33_IND107_63736 5373471897761.jpeg

WISM-20_P1_SP33_IND107_63736 5373486425562.jpeg

WISM-20_P1_SP33_IND107_63736 5373499547805.jpeg

WISM-20_P1_SP33_IND107_63736 5373513763197.jpeg

WISM-20_P1_SP33_IND107_63736 5373528135046.jpeg

WISM-20_P1_SP33_IND107_63736 5373542506058.jpeg

WISM-20_P1_SP34_IND108_63736 4536773081102.jpeg

WISM-20_P1_SP34_IND108_63736 4536845691210.jpeg

WISM-20_P1_SP34_IND108_63736 4536870881842.jpeg

WISM-20_P1_SP34_IND108_63736 4536884061244.jpeg

WISM-20_P1_SP34_IND108_63736 4536896306987.jpeg

WISM-20_P1_SP34_IND108_63736 4536908799550.jpeg

WISM-20_P1_SP34_IND108_63736 4536922983716.jpeg

WISM-20_P1_SP34_IND108_63736 4536936166455.jpeg

WISM-20_P1_SP34_IND108_63736 4536950885343.jpeg

WISM-20_P1_SP34_IND108_63736 4536965754624.jpeg

WISM-20_P1_SP34_IND108_63736 4536987412199.jpeg

WISM-20_P1_SP34_IND108_63736 4537001585800.jpeg

WISM-20_P1_SP34_IND108_63736 4537016463652.jpeg

WISM-20_P1_SP34_IND108_63736 4537031167452.jpeg

WISM-20_P1_SP34_IND108_63736 4645560135675.jpeg

WISM-20_P1_SP34_IND108_63736 4645574349421.jpeg

WISM-20_P1_SP34_IND108_63736 4645588565099.jpeg

WISM-20_P1_SP34_IND108_63736 4645602936719.jpeg

WISM-20_P1_SP34_IND108_63736 4645666671620.jpeg

WISM-20_P1_SP34_IND108_63736 4645753838256.jpeg

WISM-20_P1_SP35_IND109_63737 7550223142191.jpeg

WISM-20_P1_SP35_IND109_63737 7550237844862.jpeg

WISM-20_P1_SP35_IND109_63737 7550252166895.jpeg

WISM-20_P1_SP35_IND109_63737 7550265884555.jpeg

WISM-20_P1_SP35_IND109_63737 7550279907694.jpeg

WISM-20_P1_SP35_IND109_63737 7550293777633.jpeg

WISM-20_P1_SP36_IND136_63738 7827087325181.jpeg

WISM-20_P1_SP36_IND136_63738 7827101670794.jpeg

WISM-20_P1_SP36_IND136_63738 7827127971017.jpeg

WISM-20_P1_SP36_IND136_63738 7827157511165.jpeg

WISM-20_P1_SP36_IND136_63738 7827185126304.jpeg

WISM-20_P1_SP36_IND136_63738 7827209246853.jpeg

WISM-20_P1_SP36_IND136_63738 7827242472499.jpeg

WISM-20_P1_SP36_IND136_63738 7827255811046.jpeg

WISM-20_P1_SP36_IND136_63738 7827268687071.jpeg

WISM-20_P1_SP36_IND136_63738 7827282342166.jpeg

WISM-20_P1_SP36_IND136_63738 7827296203729.jpeg

WISM-20_P1_SP36_IND136_63738 7827308917294.jpeg

WISM-20_P1_SP36_IND136_63738 7827322468225.jpeg

WISM-20_P1_SP36_IND163_63738 7832839359278.jpeg

WISM-20_P1_SP36_IND163_63738 7832852549756.jpeg

WISM-20_P1_SP36_IND163_63738 7832866109149.jpeg

WISM-20_P1_SP36_IND163_63738 7832879446703.jpeg

WISM-20_P1_SP36_IND163_63738 7832893162607.jpeg

WISM-20_P1_SP36_IND163_63738 7832906353625.jpeg

WISM-20_P1_SP36_IND163_63738 7832919561359.jpeg

WISM-20_P1_SP36_IND163_63738 7925638882635.jpeg

WISM-20_P1_SP36_IND163_63738 7925662641342.jpeg

WISM-20_P1_SP36_IND163_63738 7925675597283.jpeg

WISM-20_P1_SP36_IND163_63738 7925688712018.jpeg

WISM-20_P1_SP36_IND163_63738 7925709207219.jpeg

WISM-20_P1_SP36_IND163_63738 7925723545700.jpeg

WISM-20_P1_SP36_IND163_63738 7925748748730.jpeg

WISM-20_P1_SP36_IND163_63738 7925761582184.jpeg

WISM-20_P1_SP36_IND163_63738 7925774335741.jpeg

WISM-20_P1_SP36_IND163_63738 7925787523520.jpeg

WISM-20_P1_SP36_IND163_63738 7925801238125.jpeg

WISM-20_P1_SP36_IND163_63738 7925814200994.jpeg

WISM-20_P1_SP38_IND164_63738 8058972901559.jpeg

WISM-20_P1_SP38_IND164_63738 8058989783051.jpeg

WISM-20_P1_SP38_IND164_63738 8059006648764.jpeg

WISM-20_P1_SP38_IND164_63738 8059023670396.jpeg

WISM-20_P1_SP40_IND111_63736 4688348667571.jpeg

WISM-20_P1_SP40_IND111_63736 4688362569389.jpeg

WISM-20_P1_SP40_IND111_63736 4688375222693.jpeg

WISM-20_P1_SP40_IND111_63736 4688388656995.jpeg

WISM-20_P1_SP40_IND111_63736 4688401935065.jpeg

WISM-20_P1_SP40_IND111_63736 4688414432156.jpeg

WISM-20_P1_SP41_IND112_63736 5363134803918.jpeg

WISM-20_P1_SP41_IND112_63736 5363154530686.jpeg

WISM-20_P1_SP41_IND112_63736 5363168190441.jpeg

WISM-20_P1_SP41_IND112_63736 5363181541634.jpeg

WISM-20_P1_SP41_IND112_63736 5363194442457.jpeg

WISM-20_P1_SP41_IND112_63736 5363207305578.jpeg

WISM-20_P1_SP41_IND112_63736 5363221488286.jpeg

WISM-20_P1_SP41_IND112_63736 5363235925721.jpeg

WISM-20_P1_SP41_IND112_63736 5363249724464.jpeg

WISM-20_P1_SP41_IND112_63736 5363265604513.jpeg

WISM-20_P1_SP41_IND112_63736 5363280201590.jpeg

WISM-20_P1_SP42_IND113_63737 5085332250693.jpeg

WISM-20_P1_SP42_IND113_63737 5085345970328.jpeg

WISM-20_P1_SP42_IND113_63737 5085359589407.jpeg

WISM-20_P1_SP42_IND113_63737 5085372042234.jpeg

WISM-20_P1_SP42_IND113_63737 5085388072961.jpeg

WISM-20_P1_SP42_IND113_63737 5085401411818.jpeg

WISM-20_P1_SP42_IND113_63737 5085414112927.jpeg

WISM-20_P1_SP43_IND114_63737 5114283692946.jpeg

WISM-20_P1_SP43_IND114_63737 5114297393879.jpeg

WISM-20_P1_SP43_IND114_63737 5114312416627.jpeg

WISM-20_P1_SP43_IND114_63737 5114326433743.jpeg

WISM-20_P1_SP43_IND114_63737 5114339452758.jpeg

WISM-20_P1_SP43_IND114_63737 5114353173979.jpeg

WISM-20_P1_SP43_IND114_63737 5114366665106.jpeg

WISM-20_P1_SP43_IND114_63737 5114379917526.jpeg

WISM-20_P1_SP43_IND114_63737 5114393420132.jpeg

WISM-20_P1_SP43_IND114_63737 5114407443924.jpeg

WISM-20_P1_SP43_IND114_63737 5114421172886.jpeg

WISM-20_P1_SP44_IND115_63736 6281838751911.jpeg

WISM-20_P1_SP44_IND115_63736 6281854476714.jpeg

WISM-20_P1_SP44_IND115_63736 6281890520551.jpeg

WISM-20_P1_SP44_IND115_63736 6281905553336.jpeg

WISM-20_P1_SP44_IND115_63736 6281919783416.jpeg

WISM-20_P1_SP44_IND115_63736 6281933589665.jpeg

WISM-20_P1_SP44_IND115_63736 6281948775091.jpeg

WISM-20_P1_SP44_IND115_63736 6281963073482.jpeg

WISM-20_P1_SP44_IND115_63736 6281977575076.jpeg

WISM-20_P1_SP44_IND115_63736 6281991606793.jpeg

WISM-20_P1_SP44_IND115_63736 6282005154755.jpeg

WISM-20_P1_SP44_IND115_63736 6282019179094.jpeg

WISM-20_P1_SP44_IND115_63736 6282034009296.jpeg

WISM-20_P1_SP44_IND115_63736 6282048573176.jpeg

WISM-20_P1_SP44_IND115_63736 6282063497516.jpeg

WISM-20_P1_SP44_IND115_63736 6282078150048.jpeg

WISM-20_P1_SP44_IND115_63736 6282093182588.jpeg

WISM-20_P1_SP44_IND115_63736 6282107905062.jpeg

WISM-20_P1_SP44_IND115_63736 6282122090142.jpeg

WISM-20_P1_SP44_IND115_63736 6282141805219.jpeg

WISM-20_P1_SP44_IND115_63736 6282156900275.jpeg

WISM-20_P1_SP44_IND115_63736 6282172052644.jpeg

WISM-20_P1_SP45_IND116_63737 5979190491393.jpeg

WISM-20_P1_SP45_IND116_63737 5979205578994.jpeg

WISM-20_P1_SP45_IND116_63737 5979220527422.jpeg

WISM-20_P1_SP45_IND116_63737 5979242160502.jpeg

WISM-20_P1_SP45_IND116_63737 5979270435300.jpeg

WISM-20_P1_SP45_IND116_63737 5979288293595.jpeg

WISM-20_P1_SP45_IND116_63737 5979302782650.jpeg

WISM-20_P1_SP45_IND116_63737 5979317525836.jpeg

WISM-20_P1_SP45_IND116_63737 5979332561576.jpeg

WISM-20_P1_SP45_IND116_63737 5979347446922.jpeg

WISM-20_P1_SP45_IND116_63737
5979362265523.jpeg

WISM-20_P1_SP45_IND116_63737
5979377162192.jpeg

WISM-20_P1_SP45_IND116_63737
5979391893707.jpeg

WISM-20_P1_SP45_IND116_63737
5979405921751.jpeg

WISM-20_P1_SP46_IND117_63737
6769040021210.jpeg

WISM-20_P1_SP46_IND117_63737
6769054355419.jpeg

WISM-20_P1_SP46_IND117_63737
6769068543554.jpeg

WISM-20_P1_SP46_IND117_63737
6769082101165.jpeg

WISM-20_P1_SP46_IND117_63737
6769096275763.jpeg

WISM-20_P1_SP46_IND117_63737
6769110302217.jpeg

WISM-20_P1_SP46_IND117_63737
6769124325436.jpeg

WISM-20_P1_SP46_IND117_63737
6769137659840.jpeg

WISM-20_P1_SP46_IND117_63737
6769151013327.jpeg

WISM-20_P1_SP46_IND117_63737
6769165786471.jpeg

WISM-20_P1_SP46_IND117_63737
6769179209879.jpeg

WISM-20_P1_SP46_IND117_63737
6769192410079.jpeg

WISM-20_P1_SP46_IND117_63737
6769206762092.jpeg

WISM-20_P1_SP46_IND117_63737
6769222034401.jpeg

WISM-20_P1_SP47_IND177_63738
8955402374404.jpeg

WISM-20_P1_SP47_IND177_63738
8955419958989.jpeg

WISM-20_P1_SP47_IND177_63738
8955436146779.jpeg

WISM-20_P1_SP47_IND177_63738
8955450321375.jpeg

WISM-20_P1_SP47_IND177_63738
8955463274661.jpeg

WISM-20_P1_SP47_IND177_63738
8955477621257.jpeg

WISM-20_P1_SP47_IND177_63738
8955490522252.jpeg

WISM-20_P1_SP47_IND177_63738
8955503555022.jpeg

WISM-20_P1_SP47_IND177_63738
8955517536169.jpeg

WISM-20_P1_SP47_IND177_63738
8955530978055.jpeg

WISM-20_P1_SP47_IND177_63738
8955545321611.jpeg

WISM-20_P1_SP47_IND177_63738
8955560033549.jpeg

WISM-20_P1_SP47_IND177_63738
8955574952489.jpeg

WISM-20_P1_SP47_IND177_63738
8955589906747.jpeg

WISM-20_P1_SP47_IND177_63738
8955607579787.jpeg

WISM-20_P1_SP47_IND177_63738
8955622515415.jpeg

WISM-20_P1_SP47_IND177_63738
8955641144187.jpeg

WISM-20_P1_SP47_IND177_63738
8955655476260.jpeg

WISM-20_P1_SP47_IND177_63738
8955669875626.jpeg

WISM-20_P1_SP47_IND177_63738
8955683220531.jpeg

WISM-20_P1_SP47_IND177_63738
9809043469882.jpeg

WISM-20_P1_SP47_IND177_63738
9809058333649.jpeg

WISM-20_P1_SP47_IND177_63738 9809074838354.jpeg

WISM-20_P1_SP47_IND177_63738 9809090725767.jpeg

WISM-20_P1_SP47_IND177_63738 9809107502258.jpeg

WISM-20_P1_SP47_IND177_63738 9809124283371.jpeg

WISM-20_P1_SP47_IND177_63738 9809141777438.jpeg

WISM-20_P1_SP47_IND177_63738 9809157808204.jpeg

WISM-20_P1_SP47_IND177_63738 9809174991383.jpeg

WISM-20_P1_SP47_IND177_63738 9809191561338.jpeg

WISM-20_P1_SP47_IND177_63738 9809208214998.jpeg

WISM-20_P1_SP47_IND177_63738 9809222777278.jpeg

WISM-20_P1_SP47_IND177_63738 9809239441768.jpeg

WISM-20_P1_SP47_IND177_63738 9809257324433.jpeg

WISM-20_P1_SP47_IND177_63738 9809274899140.jpeg

WISM-20_P1_SP47_IND177_63738 9813534234580.jpeg

WISM-20_P1_SP47_IND177_63738 9813548731928.jpeg

WISM-20_P1_SP47_IND177_63738 9813563298049.jpeg

WISM-20_P1_SP47_IND177_63738 9813577806954.jpeg

WISM-20_P1_SP47_IND177_63738 9813592148902.jpeg

WISM-20_P1_SP48_IND167_63738 8760879024028.jpeg

WISM-20_P1_SP48_IND167_63738 8760894227734.jpeg

WISM-20_P1_SP48_IND167_63738 8760909797407.jpeg

WISM-20_P1_SP48_IND167_63738 8771272608640.jpeg

WISM-20_P1_SP48_IND167_63738 8771286012372.jpeg

WISM-20_P1_SP49_IND181_63738 9762047295337.jpeg

WISM-20_P1_SP49_IND181_63738 9762096560951.jpeg

WISM-20_P1_SP50_IND118_63737 5072679468109.jpeg

WISM-20_P1_SP50_IND118_63737 5072708549486.jpeg

WISM-20_P1_SP50_IND118_63737 5072721249398.jpeg

WISM-20_P1_SP50_IND118_63737 5072735013970.jpeg

WISM-20_P1_SP50_IND118_63737 5072748704902.jpeg

WISM-20_P1_SP50_IND118_63737 5072761182914.jpeg

WISM-20_P1_SP50_IND118_63737 5072773904291.jpeg

WISM-20_P1_SP50_IND118_63737 5072786957433.jpeg

WISM-20_P1_SP50_IND118_63737 5072800973391.jpeg

WISM-20_P1_SP50_IND118_63737 5072814629238.jpeg

WISM-20_P1_SP50_IND118_63737 5072828043955.jpeg

WISM-20_P1_SP50_IND118_63737 5072841412724.jpeg

WISM-20_P1_SP50_IND118_63737 5072853638369.jpeg

WISM-20_P1_SP50_IND118_63737 5072865980897.jpeg

WISM-20_P1_SP50_IND118_63737 5072879466690.jpeg

WISM-20_P1_SP51_IND119_63736
6237377167028.jpeg

WISM-20_P1_SP51_IND119_63736
6237399058574.jpeg

WISM-20_P1_SP51_IND119_63736
6237415929376.jpeg

WISM-20_P1_SP51_IND119_63736
6237431113454.jpeg

WISM-20_P1_SP51_IND119_63736
6237444920685.jpeg

WISM-20_P1_SP51_IND119_63736
6237460531387.jpeg

WISM-20_P1_SP51_IND119_63736
6237480773179.jpeg

WISM-20_P1_SP51_IND119_63736
6237494952390.jpeg

WISM-20_P1_SP52_IND120_63737
5039085105582.jpeg

WISM-20_P1_SP52_IND120_63737
5039098127095.jpeg

WISM-20_P1_SP52_IND120_63737
5039112161417.jpeg

WISM-20_P1_SP52_IND120_63737
5039125639930.jpeg

WISM-20_P1_SP52_IND120_63737
5039138962310.jpeg

WISM-20_P1_SP52_IND120_63737
5039152545443.jpeg

WISM-20_P1_SP52_IND120_63737
5039166220880.jpeg

WISM-20_P1_SP52_IND120_63737
5039180625990.jpeg

WISM-20_P1_SP52_IND120_63737
5039192971826.jpeg

WISM-20_P1_SP52_IND120_63737
5039205889787.jpeg

WISM-20_P1_SP52_IND120_63737
5039218946025.jpeg

WISM-20_P1_SP52_IND120_63737
5039233026356.jpeg

WISM-20_P1_SP52_IND120_63737
5039246362223.jpeg

WISM-20_P1_SP52_IND120_63737
5039260470529.jpeg

WISM-20_P1_SP52_IND120_63737
5039274177924.jpeg

WISM-20_P1_SP52_IND120_63737
5039288426486.jpeg

WISM-20_P1_SP52_IND120_63737
5061968463866.jpeg

WISM-20_P1_SP52_IND120_63737
5061981797320.jpeg

WISM-20_P1_SP52_IND120_63737
5061994236109.jpeg

WISM-20_P1_SP52_IND120_63737
5062007887512.jpeg

WISM-20_P1_SP52_IND120_63737
5062021066812.jpeg

WISM-20_P1_SP52_IND120_63737
5062033946350.jpeg

WISM-20_P1_SP52_IND120_63737
5062047814103.jpeg

WISM-20_P1_SP52_IND120_63737
5062061843740.jpeg

WISM-20_P1_SP52_IND120_63737
5062074721005.jpeg

WISM-20_P1_SP52_IND120_63737
5062087587698.jpeg

WISM-20_P1_SP52_IND120_63737
5062100468381.jpeg

WISM-20_P1_SP52_IND120_63737
5062113521164.jpeg

WISM-20_P1_SP52_IND120_63737
5062126174282.jpeg

WISM-20_P1_SP52_IND120_63737
5062139576804.jpeg

WISM-20_P1_SP52_IND120_63737
5062152066214.jpeg

WISM-20_P1_SP52_IND120_63737
5062164845584.jpeg

WISM-20_P1_SP52_IND120_63737 5062178595834.jpeg

WISM-20_P1_SP52_IND120_63737 5062191168264.jpeg

WISM-20_P1_SP52_IND120_63737 5062203990651.jpeg

WISM-20_P1_SP54_IND125_63737 7560787163004.jpeg

WISM-20_P1_SP54_IND125_63737 7560801353687.jpeg

WISM-20_P1_SP54_IND125_63737 7560815671392.jpeg

WISM-20_P1_SP54_IND125_63737 7560829701074.jpeg

WISM-20_P1_SP54_IND125_63737 7560842724374.jpeg

WISM-20_P1_SP54_IND125_63737 7560855680420.jpeg

WISM-20_P1_SP54_IND125_63737 7560868539381.jpeg

WISM-20_P1_SP54_IND125_63737 7560882311765.jpeg

WISM-20_P1_SP54_IND125_63737 7560895648650.jpeg

WISM-20_P1_SP54_IND125_63737 7560908054292.jpeg

WISM-20_P1_SP54_IND125_63737 7560920811495.jpeg

WISM-20_P1_SP54_IND125_63737 7560933674878.jpeg

WISM-20_P1_SP54_IND125_63737 7560947289263.jpeg

WISM-20_P1_SP54_IND125_63737 7560960306552.jpeg

WISM-20_P1_SP54_IND125_63737 7560973946914.jpeg

WISM-20_P1_SP54_IND125_63737 7560987296093.jpeg

WISM-20_P1_SP55_IND122_63737 5775728754535.jpeg

WISM-20_P1_SP55_IND122_63737 5775747116116.jpeg

WISM-20_P1_SP55_IND122_63737 5775763827414.jpeg

WISM-20_P1_SP55_IND122_63737 5775783714415.jpeg

WISM-20_P1_SP55_IND122_63737 5775799887467.jpeg

WISM-20_P1_SP55_IND122_63737 5775817423637.jpeg

WISM-20_P1_SP55_IND122_63737 5775833336803.jpeg

WISM-20_P1_SP55_IND122_63737 5775848139901.jpeg

WISM-20_P1_SP55_IND122_63737 5775864498927.jpeg

WISM-20_P1_SP55_IND122_63737 5775880902704.jpeg

WISM-20_P1_SP55_IND122_63737 5775901137234.jpeg

WISM-20_P1_SP55_IND122_63737 5775914995287.jpeg

WISM-20_P1_SP55_IND122_63737 5775929395664.jpeg

WISM-20_P1_SP55_IND122_63737 5775944437256.jpeg

WISM-20_P1_SP56_IND126_63737 5945254118525.jpeg

WISM-20_P1_SP56_IND126_63737 5945269205563.jpeg

WISM-20_P1_SP56_IND126_63737 5945286026979.jpeg

WISM-20_P1_SP56_IND126_63737 5945302783390.jpeg

WISM-20_P1_SP56_IND126_63737 5945317819708.jpeg

WISM-20_P1_SP56_IND126_63737 5945332707889.jpeg

WISM-20_P1_SP56_IND126_63737 5945348275732.jpeg

WISM-20_P1_SP56_IND126_63737
5945363624384.jpeg

WISM-20_P1_SP58_IND124_63737
5908565589162.jpeg

WISM-20_P1_SP58_IND124_63737
5908580302625.jpeg

WISM-20_P1_SP58_IND124_63737
5908594333350.jpeg

WISM-20_P1_SP58_IND124_63737
5908608997191.jpeg

WISM-20_P1_SP58_IND124_63737
5908622188723.jpeg

WISM-20_P1_SP58_IND124_63737
5908636894249.jpeg

WISM-20_P1_SP58_IND124_63737
5908651304937.jpeg

WISM-20_P1_SP58_IND124_63737
5908664711796.jpeg

WISM-20_P1_SP58_IND124_63737
5908678737921.jpeg

WISM-20_P1_SP59_IND127_63737
5972975593621.jpeg

WISM-20_P1_SP59_IND127_63737
5972995486838.jpeg

WISM-20_P1_SP59_IND127_63737
5973087169037.jpeg

WISM-20_P1_SP59_IND127_63737
5973102197290.jpeg

WISM-20_P1_SP59_IND127_63737
5973115952342.jpeg

WISM-20_P1_SP59_IND127_63737
5973131314981.jpeg

WISM-20_P1_SP59_IND127_63737
5973146856676.jpeg

WISM-20_P1_SP59_IND127_63737
5973164436943.jpeg

WISM-20_P1_SP59_IND127_63737
5973180307594.jpeg

WISM-20_P1_SP60_IND128_63737
6755961393412.jpeg

WISM-20_P1_SP60_IND128_63737
6755976044317.jpeg

WISM-20_P1_SP60_IND128_63737
6755993465581.jpeg

WISM-20_P1_SP61_IND129_63737
6680049315703.jpeg

WISM-20_P1_SP61_IND129_63737
6680073384095.jpeg

WISM-20_P1_SP61_IND129_63737
6680087117837.jpeg

WISM-20_P1_SP61_IND129_63737
6680101461422.jpeg

WISM-20_P1_SP61_IND129_63737
6680114317616.jpeg

WISM-20_P1_SP61_IND129_63737
6680131787754.jpeg

WISM-20_P1_SP61_IND129_63737
6680144432869.jpeg

WISM-20_P1_SP61_IND129_63737
6680158518339.jpeg

WISM-20_P1_SP61_IND129_63737
6680172877359.jpeg

WISM-20_P1_SP61_IND129_63737
6680185906519.jpeg

WISM-20_P1_SP61_IND129_63737
6680199555656.jpeg

WISM-20_P1_SP61_IND129_63737
6680212862055.jpeg

WISM-20_P1_SP61_IND129_63737
6680225795907.jpeg

WISM-20_P1_SP61_IND129_63737
6680238814430.jpeg

WISM-20_P1_SP61_IND129_63737
6680252148918.jpeg

WISM-20_P1_SP61_IND129_63737
6680265947573.jpeg

WISM-20_P1_SP61_IND129_63737
6680279973208.jpeg

WISM-20_P1_SP61_IND129_63737
6680293157373.jpeg

WISM-20_P1_SP61_IND129_63737 6680306958861.jpeg

WISM-20_P1_SP61_IND129_63737 6682663605913.jpeg

WISM-20_P1_SP61_IND129_63737 6682677427258.jpeg

WISM-20_P1_SP61_IND129_63737 6682690695921.jpeg

WISM-20_P1_SP61_IND129_63737 6698692813540.jpeg

WISM-20_P1_SP62_IND135_63737 7644909613490.jpeg

WISM-20_P1_SP62_IND135_63737 7644925051060.jpeg

WISM-20_P1_SP62_IND135_63737 7644939937364.jpeg

WISM-20_P1_SP62_IND135_63737 7644953297040.jpeg

WISM-20_P1_SP62_IND135_63737 7645526889612.jpeg

WISM-20_P1_SP63_IND132_63737 7466738179754.jpeg

WISM-20_P1_SP63_IND132_63737 7466751725559.jpeg

WISM-20_P1_SP63_IND132_63737 7466765743615.jpeg

WISM-20_P1_SP63_IND132_63737 7466778916770.jpeg

WISM-20_P1_SP64_IND131_63737 7463722143462.jpeg

WISM-20_P1_SP64_IND131_63737 7463738000622.jpeg

WISM-20_P1_SP64_IND131_63737 7465548080564.jpeg

WISM-20_P1_SP65_IND144_63738 1969713196377.jpeg

WISM-20_P1_SP65_IND144_63738 1969727917131.jpeg

WISM-20_P1_SP65_IND144_63738 1969742267882.jpeg

WISM-20_P1_SP65_IND144_63738 1969754933776.jpeg

WISM-20_P1_SP65_IND144_63738 1969769660386.jpeg

WISM-20_P1_SP65_IND144_63738 1969783401336.jpeg

WISM-20_P1_SP65_IND144_63738 1969796890216.jpeg

WISM-20_P1_SP65_IND144_63738 1969810299476.jpeg

WISM-20_P1_SP65_IND144_63738 1969823367293.jpeg

WISM-20_P1_SP65_IND144_63738 1969836552285.jpeg

WISM-20_P1_SP65_IND144_63738 1981205682508.jpeg

WISM-20_P1_SP65_IND144_63738 1981221122388.jpeg

WISM-20_P1_SP65_IND144_63738 1981236166238.jpeg

WISM-20_P1_SP65_IND144_63738 1981251717278.jpeg

WISM-20_P1_SP65_IND144_63738 1981267624846.jpeg

WISM-20_P1_SP65_IND144_63738 1981282191619.jpeg

WISM-20_P1_SP65_IND144_63738 1981297478888.jpeg

WISM-20_P1_SP65_IND144_63738 1981312981341.jpeg

WISM-20_P1_SP65_IND144_63738 1981327988906.jpeg

WISM-20_P1_SP65_IND144_63738 1981341963401.jpeg

WISM-20_P1_SP65_IND144_63738 1981357154878.jpeg

WISM-20_P1_SP66_IND134_63737 7670953540278.jpeg

WISM-20_P1_SP66_IND134_63737 7670967762165.jpeg

WISM-20_P1_SP66_IND134_63737 7670982625233.jpeg

WISM-20_P1_SP66_IND134_63737 7670996169236.jpeg

WISM-20_P1_SP66_IND134_63737 7671009507564.jpeg

WISM-20_P1_SP66_IND134_63737 7671023851715.jpeg

WISM-20_P1_SP66_IND134_63737 7671037432260.jpeg

WISM-20_P1_SP66_IND134_63737 7671050775111.jpeg

WISM-20_P1_SP66_IND134_63737 7671065435026.jpeg

WISM-20_P1_SP66_IND134_63737 7671078770174.jpeg

WISM-20_P1_SP66_IND134_63737 7671091487853.jpeg

WISM-20_P1_SP66_IND134_63737 7671104663733.jpeg

WISM-20_P1_SP66_IND134_63737 7671117527441.jpeg

WISM-20_P1_SP66_IND134_63737 7671130866739.jpeg

WISM-20_P1_SP66_IND134_63737 7671144734768.jpeg

WISM-20_P1_SP66_IND134_63737 7671158605141.jpeg

WISM-20_P1_SP66_IND134_63737 7671172467211.jpeg

WISM-20_P1_SP66_IND134_63737 7671185812392.jpeg

WISM-20_P1_SP68_IND136_63738 1011669622964.jpeg

WISM-20_P1_SP68_IND136_63738 1011687930743.jpeg

WISM-20_P1_SP68_IND136_63738 1011702960400.jpeg

WISM-20_P1_SP68_IND136_63738 1011719005536.jpeg

WISM-20_P1_SP68_IND136_63738 1011733333885.jpeg

WISM-20_P1_SP68_IND136_63738 1011748892767.jpeg

WISM-20_P1_SP68_IND136_63738 1011763700916.jpeg

WISM-20_P1_SP68_IND136_63738 1011778266228.jpeg

WISM-20_P1_SP68_IND136_63738 1011792753648.jpeg

WISM-20_P1_SP68_IND136_63738 1011807413246.jpeg

WISM-20_P1_SP68_IND136_63738 1011822694130.jpeg

WISM-20_P1_SP68_IND136_63738 1011838749656.jpeg

WISM-20_P1_SP68_IND136_63738 1011853553241.jpeg

WISM-20_P1_SP69_IND137_63738 1090217902043.jpeg

WISM-20_P1_SP69_IND137_63738 1090234225754.jpeg

WISM-20_P1_SP69_IND137_63738 1090246654968.jpeg

WISM-20_P1_SP69_IND137_63738 1090259758081.jpeg

WISM-20_P1_SP69_IND137_63738 1090272707851.jpeg

WISM-20_P1_SP69_IND137_63738 1090285333506.jpeg

WISM-20_P1_SP69_IND137_63738 1090298912579.jpeg

WISM-20_P1_SP69_IND137_63738 1090312324527.jpeg

WISM-20_P1_SP69_IND137_63738 1090325161113.jpeg

WISM-20_P1_SP69_IND137_63738 1090338023726.jpeg

WISM-20_P1_SP69_IND137_63738 1090351463506.jpeg

WISM-20_P1_SP69_IND137_63738
1090365470930.jpeg

WISM-20_P1_SP69_IND137_63738
1090379325751.jpeg

WISM-20_P1_SP69_IND137_63738
1090392039721.jpeg

WISM-20_P1_SP69_IND137_63738
1090406053987.jpeg

WISM-20_P1_SP69_IND137_63738
1090419738647.jpeg

WISM-20_P1_SP69_IND137_63738
1090432981870.jpeg

WISM-20_P1_SP69_IND137_63738
1090447206701.jpeg

WISM-20_P1_SP69_IND137_63738
1090461382213.jpeg

WISM-20_P1_SP69_IND137_63738
1090474609954.jpeg

WISM-20_P1_SP69_IND137_63738
1090487021120.jpeg

WISM-20_P1_SP69_IND137_63738
1090500733396.jpeg

WISM-20_P1_SP69_IND137_63738
1091375860020.jpeg

WISM-20_P1_SP70_IND138_63738
2886373782574.jpeg

WISM-20_P1_SP70_IND138_63738
2886380258231.jpeg

WISM-20_P1_SP70_IND138_63738
2886386962610.jpeg

WISM-20_P1_SP70_IND138_63738
2886393512672.jpeg

WISM-20_P1_SP70_IND138_63738
2886400685025.jpeg

WISM-20_P1_SP70_IND138_63738
2886407549038.jpeg

WISM-20_P1_SP70_IND138_63738
2886414034606.jpeg

WISM-20_P1_SP70_IND138_63738
2886427744942.jpeg

WISM-20_P1_SP70_IND138_63738
2886434137677.jpeg

WISM-20_P1_SP70_IND138_63738
2886440846542.jpeg

WISM-20_P1_SP70_IND138_63738
2886447016090.jpeg

WISM-20_P1_SP70_IND138_63738
2886453713175.jpeg

WISM-20_P1_SP70_IND138_63738
2886460188763.jpeg

WISM-20_P1_SP70_IND138_63738
2886466732263.jpeg

WISM-20_P1_SP70_IND138_63738
2886473547160.jpeg

WISM-20_P1_SP70_IND138_63738
2886480400575.jpeg

WISM-20_P1_SP70_IND138_63738
2886486566758.jpeg

WISM-20_P1_SP70_IND138_63738
2886493845630.jpeg

WISM-20_P1_SP70_IND138_63738
2886500090732.jpeg

WISM-20_P1_SP70_IND138_63738
2886506943621.jpeg

WISM-20_P1_SP70_IND138_63738
2886513579734.jpeg

WISM-20_P1_SP70_IND138_63738
2886520809483.jpeg

WISM-20_P1_SP71_INDIND139_63
7381889608123313.jpeg

WISM-20_P1_SP71_INDIND139_63
7381889622109963.jpeg

WISM-20_P1_SP71_INDIND139_63
7381889636716978.jpeg

WISM-20_P1_SP71_INDIND139_63
7381889649904685.jpeg

WISM-20_P1_SP71_INDIND139_63
7381889663440200.jpeg

WISM-20_P1_SP71_INDIND139_63
7381889676790456.jpeg

WISM-20_P1_SP71_INDIND139_63
7381889690449433.jpeg

WISM-20_P1_SP71_INDIND139_63
7381889704782819.jpeg

WISM-20_P1_SP71_INDIND139_63
7381889717862397.jpeg

WISM-20_P1_SP71_INDIND139_63
7381889730885758.jpeg

WISM-20_P1_SP71_INDIND139_63
7381889744394072.jpeg

WISM-20_P1_SP71_INDIND139_63
7381889759116174.jpeg

WISM-20_P1_SP71_INDIND139_63
7381889774991157.jpeg

WISM-20_P1_SP71_INDIND139_63
7381889788486943.jpeg

WISM-20_P1_SP71_INDIND139_63
7381889802991173.jpeg

WISM-20_P1_SP71_INDIND139_63
7381889816620423.jpeg

WISM-20_P1_SP71_INDIND139_63
7381889829918187.jpeg

WISM-20_P1_SP71_INDIND139_63
7381889843764950.jpeg

WISM-20_P1_SP71_INDIND139_63
7381889863261174.jpeg

WISM-20_P1_SP71_INDIND139_63
7381889877578437.jpeg

WISM-20_P1_SP73_IND145_63738
1952371345697.jpeg

WISM-20_P1_SP73_IND145_63738
1952386188542.jpeg

WISM-20_P1_SP73_IND145_63738
1952401510617.jpeg

WISM-20_P1_SP73_IND145_63738
1952417234234.jpeg

WISM-20_P1_SP73_IND145_63738
1952432593897.jpeg

WISM-20_P1_SP73_IND145_63738
1952448065559.jpeg

WISM-20_P1_SP73_IND145_63738
1952462511305.jpeg

WISM-20_P1_SP73_IND145_63738
1952477163525.jpeg

WISM-20_P1_SP73_IND145_63738
1952491331447.jpeg

WISM-20_P1_SP73_IND145_63738
1952506605203.jpeg

WISM-20_P1_SP73_IND145_63738
1952521661608.jpeg

WISM-20_P1_SP73_IND145_63738
1952539962051.jpeg

WISM-20_P1_SP73_IND145_63738
1952555177648.jpeg

WISM-20_P1_SP74_INDIND146_63
7384365853929106.jpeg

WISM-20_P1_SP74_INDIND146_63
7384365868260908.jpeg

WISM-20_P1_SP74_INDIND146_63
7384365883197692.jpeg

WISM-20_P1_SP74_INDIND146_63
7384365898008046.jpeg

WISM-20_P1_SP74_INDIND146_63
7384365913027576.jpeg

WISM-20_P1_SP74_INDIND146_63
7384365928274939.jpeg

WISM-20_P1_SP74_INDIND146_63
7384365942081972.jpeg

WISM-20_P1_SP74_INDIND146_63
7384365958692814.jpeg

WISM-20_P1_SP75_IND147_63738
2823430801308.jpeg

WISM-20_P1_SP75_IND147_63738
2823437443882.jpeg

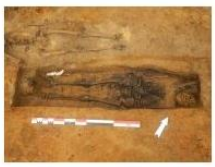
WISM-20_P1_SP75_IND147_63738
2823444145954.jpeg

WISM-20_P1_SP75_IND147_63738
2823450468853.jpeg

WISM-20_P1_SP75_IND147_63738
2823457477384.jpeg

WISM-20_P1_SP75_IND147_63738
2823464646724.jpeg

WISM-20_P1_SP75_IND147_63738
2823472036163.jpeg

WISM-20_P1_SP75_IND147_63738
2823478678305.jpeg

WISM-20_P1_SP75_IND147_63738
2823484689326.jpeg

WISM-20_P1_SP75_IND147_63738
2823490918109.jpeg

WISM-20_P1_SP75_IND147_63738
2823497246664.jpeg

WISM-20_P1_SP75_IND147_63738
2823504266278.jpeg

WISM-20_P1_SP75_IND147_63738
2823510907348.jpeg

WISM-20_P1_SP75_IND147_63738
2823517297985.jpeg

WISM-20_P1_SP75_IND147_63738
2823523779286.jpeg

WISM-20_P1_SP75_IND147_63738
2823530320271.jpeg

WISM-20_P1_SP75_IND147_63738
2823536486220.jpeg

WISM-20_P1_SP75_IND147_63738
2823542817630.jpeg

WISM-20_P1_SP76_IND148_63738
1109028709512.jpeg

WISM-20_P1_SP76_IND148_63738
1109042221466.jpeg

WISM-20_P1_SP76_IND148_63738
1109057060033.jpeg

WISM-20_P1_SP76_IND148_63738
1109070874974.jpeg

WISM-20_P1_SP76_IND148_63738
1109096766913.jpeg

WISM-20_P1_SP76_IND148_63738
1109121602494.jpeg

WISM-20_P1_SP76_IND148_63738
1109140768968.jpeg

WISM-20_P1_SP76_IND148_63738
1109158892805.jpeg

WISM-20_P1_SP76_IND148_63738
1109172827190.jpeg

WISM-20_P1_SP76_IND148_63738
1109185853461.jpeg

WISM-20_P1_SP76_IND148_63738
1109199271972.jpeg

WISM-20_P1_SP76_IND148_63738
1109213045779.jpeg

WISM-20_P1_SP76_IND148_63738
1109226215547.jpeg

WISM-20_P1_SP77_IND159_63738
7110929495154.jpeg

WISM-20_P1_SP77_IND159_63738
7110943391877.jpeg

WISM-20_P1_SP77_IND159_63738
7110957104319.jpeg

WISM-20_P1_SP77_IND159_63738
7110971161284.jpeg

WISM-20_P1_SP77_IND159_63738
7110985337250.jpeg

WISM-20_P1_SP77_IND159_63738
7111037531362.jpeg

WISM-20_P1_SP77_IND159_63738
7111050721082.jpeg

WISM-20_P1_SP77_IND159_63738
7111065216466.jpeg

WISM-20_P1_SP77_IND159_63738
7111079563681.jpeg

WISM-20_P1_SP77_IND159_63738
7111093444863.jpeg

WISM-20_P1_SP77_IND159_63738
7111107482579.jpeg

WISM-20_P1_SP79_IND155_63738
3659939700029.jpeg

WISM-20_P1_SP79_IND155_63738
3659946084301.jpeg

WISM-20_P1_SP79_IND155_63738
3659952735008.jpeg

WISM-20_P1_SP79_IND155_63738
3659958993546.jpeg

WISM-20_P1_SP79_IND155_63738
3659968484907.jpeg

WISM-20_P1_SP79_IND155_63738
3659974844746.jpeg

WISM-20_P1_SP79_IND155_63738
3659981012317.jpeg

WISM-20_P1_SP79_IND155_63738
3659986862505.jpeg

WISM-20_P1_SP79_IND155_63738
3659993245191.jpeg

WISM-20_P1_SP79_IND155_63738
3659999570281.jpeg

WISM-20_P1_SP79_IND155_63738
3660005891319.jpeg

WISM-20_P1_SP79_IND155_63738
3660012908725.jpeg

WISM-20_P1_SP79_IND155_63738
3660019145197.jpeg

WISM-20_P1_SP79_IND155_63738
3660074982710.jpeg

WISM-20_P1_SP79_IND155_63738
3660081212672.jpeg

WISM-20_P1_SP79_IND155_63738
3660087545167.jpeg

WISM-20_P1_SP79_IND155_63738
3660094072134.jpeg

WISM-20_P1_SP80_IND149_63738
1100092584148.jpeg

WISM-20_P1_SP80_IND149_63738
1100118509179.jpeg

WISM-20_P1_SP80_IND149_63738
1100135537739.jpeg

WISM-20_P1_SP80_IND149_63738
1100161036167.jpeg

WISM-20_P1_SP80_IND149_63738
1100188045607.jpeg

WISM-20_P1_SP80_IND149_63738
1100211125061.jpeg

WISM-20_P1_SP80_IND149_63738
1100235178916.jpeg

WISM-20_P1_SP80_IND149_63738
1100250388306.jpeg

WISM-20_P1_SP80_IND149_63738
1100265801359.jpeg

WISM-20_P1_SP80_IND149_63738
1100280031760.jpeg

WISM-20_P1_SP80_IND149_63738
1100293831982.jpeg

WISM-20_P1_SP80_IND149_63738
1100308852823.jpeg

WISM-20_P1_SP80_IND149_63738
1100323883088.jpeg

WISM-20_P1_SP80_IND149_63738
1100338947588.jpeg

WISM-20_P1_SP80_IND149_63738
1100354845686.jpeg

WISM-20_P1_SP80_IND149_63738
1100369881199.jpeg

WISM-20_P1_SP82_IND156_63738
3713750510788.jpeg

WISM-20_P1_SP82_IND156_63738
3713765580533.jpeg

WISM-20_P1_SP82_IND156_63738
3713779791524.jpeg

WISM-20_P1_SP82_IND156_63738
3713795824646.jpeg

WISM-20_P1_SP82_IND156_63738
3713809995867.jpeg

WISM-20_P1_SP82_IND156_63738
3713836956255.jpeg

WISM-20_P1_SP82_IND156_63738
3713856341527.jpeg

WISM-20_P1_SP82_IND156_63738
3713871254546.jpeg

WISM-20_P1_SP82_IND156_63738
3713888145081.jpeg

WISM-20_P1_SP82_IND156_63738
3713907482001.jpeg

WISM-20_P1_SP82_IND156_63738 3713936590024.jpeg

WISM-20_P1_SP82_IND156_63738 3713953011337.jpeg

WISM-20_P1_SP82_IND156_63738 3713967826381.jpeg

WISM-20_P1_SP82_IND156_63738 3713983099755.jpeg

WISM-20_P1_SP82_IND156_63738 3713999280560.jpeg

WISM-20_P1_SP82_IND156_63738 3714015503020.jpeg

WISM-20_P1_SP84_IND166_63738 8022444370169.jpeg

WISM-20_P1_SP84_IND166_63738 8022459188075.jpeg

WISM-20_P1_SP84_IND166_63738 8022472439673.jpeg

WISM-20_P1_SP84_IND166_63738 8022487088124.jpeg

WISM-20_P1_SP84_IND166_63738 8022500804606.jpeg

WISM-20_P1_SP84_IND166_63738 8022513562513.jpeg

WISM-20_P1_SP84_IND166_63738 8022527066685.jpeg

WISM-20_P1_SP84_IND166_63738 8022541246621.jpeg

WISM-20_P1_SP84_IND166_63738 8022555121528.jpeg

WISM-20_P1_SP84_IND166_63738 8022569687229.jpeg

WISM-20_P1_SP84_IND166_63738 8022583719594.jpeg

WISM-20_P1_SP84_IND166_63738 8022597064458.jpeg

WISM-20_P1_SP84_IND166_63738 8022610409276.jpeg

WISM-20_P1_SP84_IND166_63738 8023711082464.jpeg

WISM-20_P1_SP85_IND154_63738 2895843956412.jpeg

WISM-20_P1_SP85_IND154_63738 2895850828596.jpeg

WISM-20_P1_SP85_IND154_63738 2895857011167.jpeg

WISM-20_P1_SP85_IND154_63738 2895868805769.jpeg

WISM-20_P1_SP85_IND154_63738 2895875210085.jpeg

WISM-20_P1_SP85_IND154_63738 2895881551376.jpeg

WISM-20_P1_SP85_IND154_63738 2895887520753.jpeg

WISM-20_P1_SP85_IND154_63738 2895893988911.jpeg

WISM-20_P1_SP85_IND154_63738 2895900112707.jpeg

WISM-20_P1_SP85_IND154_63738 2895906546033.jpeg

WISM-20_P1_SP85_IND154_63738 2896178463020.jpeg

WISM-20_P1_SP86_IND150_63738 2831498933338.jpeg

WISM-20_P1_SP86_IND150_63738 2831506102300.jpeg

WISM-20_P1_SP86_IND150_63738 2831513515961.jpeg

WISM-20_P1_SP86_IND150_63738 2831520384267.jpeg

WISM-20_P1_SP86_IND150_63738 2832053778625.jpeg

WISM-20_P1_SP86_IND150_63738 2886420513230.jpeg

WISM-20_P1_SP87_IND151_63738 1948148741833.jpeg

WISM-20_P1_SP87_IND151_63738 1948165305244.jpeg

WISM-20_P1_SP87_IND151_63738 1948185177633.jpeg

WISM-20_P1_SP87_IND151_63738
1948209714845.jpeg

WISM-20_P1_SP87_IND151_63738
1948230839750.jpeg

WISM-20_P1_SP88_IND152_63738
1972443168111.jpeg

WISM-20_P1_SP88_IND152_63738
1972461264687.jpeg

WISM-20_P1_SP88_IND152_63738
1972481833471.jpeg

WISM-20_P1_SP89_IND153_63738
1944581344492.jpeg

WISM-20_P1_SP89_IND153_63738
1944750524835.jpeg

WISM-20_P1_SP89_IND153_63738
1944773165450.jpeg

WISM-20_P1_SP91_IND175_63738
8858686003287.jpeg

WISM-20_P1_SP91_IND175_63738
8858700534651.jpeg

WISM-20_P1_SP91_IND175_63738
8858713551299.jpeg

WISM-20_P1_SP91_IND175_63738
8858726949609.jpeg

WISM-20_P1_SP91_IND175_63738
8858740484709.jpeg

WISM-20_P1_SP91_IND175_63738
8858754370667.jpeg

WISM-20_P1_SP91_IND175_63738
8858767193994.jpeg

WISM-20_P1_SP91_IND175_63738
8858780384710.jpeg

WISM-20_P1_SP91_IND175_63738
8858793561490.jpeg

WISM-20_P1_SP91_IND175_63738
8858806123173.jpeg

WISM-20_P1_SP91_IND175_63738
8858819450392.jpeg

WISM-20_P1_SP91_IND175_63738
8858832492164.jpeg

WISM-20_P1_SP91_IND175_63738
8858846099729.jpeg

WISM-20_P1_SP91_IND175_63738
8858859648882.jpeg

WISM-20_P1_SP91_IND175_63738
8858872149676.jpeg

WISM-20_P1_SP91_IND175_63738
8858886895778.jpeg

WISM-20_P1_SP91_IND175_63738
8858914675156.jpeg

WISM-20_P1_SP91_IND175_63738
8871121394368.jpeg

WISM-20_P1_SP91_IND175_63738
8871138448471.jpeg

WISM-20_P1_SP91_IND175_63738
8871154321174.jpeg

WISM-20_P1_SP91_IND175_63738
8871168344383.jpeg

WISM-20_P1_SP91_IND175_63738
9627822635648.jpeg

WISM-20_P1_SP91_IND175_63738
9627836762258.jpeg

WISM-20_P1_SP91_IND175_63738
9627850462930.jpeg

WISM-20_P1_SP91_IND175_63738
9627863662044.jpeg

WISM-20_P1_SP91_IND175_63738
9627877898393.jpeg

WISM-20_P1_SP91_IND175_63738
9627891378725.jpeg

WISM-20_P1_SP91_IND175_63738
9627905956475.jpeg

WISM-20_P1_SP91_IND175_63738
9627918157583.jpeg

WISM-20_P1_SP91_IND175_63738
9627930966173.jpeg

WISM-20_P1_SP91_IND175_63738
9627946030416.jpeg

WISM-20_P1_SP93_IND171_63738
8744230589861.jpeg

WISM-20_P1_SP93_IND171_63738
8744244044423.jpeg

WISM-20_P1_SP93_IND171_63738
8744257009607.jpeg

WISM-20_P1_SP93_IND171_63738
8744270571205.jpeg

WISM-20_P1_SP93_IND171_63738
8744283757873.jpeg

WISM-20_P1_SP93_IND171_63738
8744297780614.jpeg

WISM-20_P1_SP93_IND171_63738
8744312193064.jpeg

WISM-20_P1_SP94_IND172_63738
8742969615983.jpeg

WISM-20_P1_SP94_IND172_63738
8742983794061.jpeg

WISM-20_P1_SP94_IND172_63738
8742997813656.jpeg

WISM-20_P1_SP94_IND172_63738
8743011071710.jpeg

WISM-20_P1_SP94_IND172_63738
8743024971500.jpeg

WISM-20_P1_SP94_IND172_63738
8743039042023.jpeg

WISM-20_P1_SP94_IND172_63738
8743053223994.jpeg

WISM-20_P1_SP94_IND172_63738
8743066417138.jpeg

WISM-20_P1_SP94_IND172_63738
8743079600333.jpeg

WISM-20_P1_SP94_IND172_63738
8745077924990.jpeg

WISM-20_P1_SP94_IND172_63738
8745093441967.jpeg

WISM-20_P1_SP94_IND172_63738
8745109722831.jpeg

WISM-20_P1_SP94_IND172_63738
8745123219221.jpeg

WISM-20_P1_SP94_IND172_63738
8745144026854.jpeg

WISM-20_P1_SP94_IND172_63738
8745157514685.jpeg

WISM-20_P1_SP94_IND172_63738
8745170846574.jpeg

WISM-20_P1_SP97_IND179_63738
9587912134961.jpeg

WISM-20_P1_SP97_IND179_63738
9587927040402.jpeg

WISM-20_P1_SP97_IND179_63738
9587941537573.jpeg

WISM-20_P1_SP97_IND179_63738
9587956638241.jpeg

WISM-20_P1_SP97_IND179_63738
9587972056965.jpeg

WISM-20_P1_SP97_IND179_63738
9587986271954.jpeg

WISM-20_P1_SP97_IND179_63738
9588001993312.jpeg

WISM-20_P1_SP97_IND179_63738
9588018191184.jpeg

WISM-20_P1_SP97_IND179_63738
9588033848228.jpeg

WISM-20_P1_SP97_IND179_63738
9588048867279.jpeg

WISM-20_P1_SP97_IND179_63738
9588062572634.jpeg

WISM-20_P1_SP97_IND179_63738
9588077916913.jpeg

WISM-20_P1_SP97_IND179_63738
9588092318669.jpeg

WISM-20_P1_SP97_IND179_63738
9588106981598.jpeg

WISM-20_P1_SP97_IND179_63738
9588122549394.jpeg

WISM-20_P1_SP98_IND180_63738
9596963692628.jpeg

WISM-20_P1_SP98_IND180_63738
9596978872762.jpeg

WISM-20_P1_SP98_IND180_63738
9596998095407.jpeg

WISM-20_P1_SP98_IND180_63738 9597010966003.jpeg

WISM-20_P1_SP98_IND180_63738 9597024707835.jpeg

WISM-20_P1_SP98_IND180_63738 9597056450995.jpeg

WISM-20_P1_SP98_IND180_63738 9597132944263.jpeg

WISM-20_P1_SP98_IND180_63738 9597218701593.jpeg

WISM-20_P1_SP98_IND180_63738 9597263955310.jpeg

WISM-20_P1_SP98_IND180_63738 9597274448902.jpeg

WISM-20_P1_SP98_IND180_63738 9597284457111.jpeg

WISM-20_P1_SP98_IND180_63738 9597293658392.jpeg

WISM-20_P1_SP98_IND180_63738 9597312547007.jpeg

WISM-20_P1_SP98_IND180_63738 9597326897326.jpeg

WISM-20_P1_SP98_IND180_63738 9597342491745.jpeg

WISM-20_P1_SP98_IND180_63738 9597359339840.jpeg

WISM-20_P1_SP98_IND180_63738 9602708818991.jpeg

WISM-20_P1_SP98_IND180_63738 9602721872309.jpeg

WISM-20_P1_SP98_IND180_63738 9602735728382.jpeg

WISM-20_P1_SP98_IND180_63738 9602748685210.jpeg

WISM-20_P1_SP98_IND180_63738 9602775426854.jpeg

WISM-20_P1_SP98_IND180_63738 9602793444444.jpeg

WISM-20_P1_SP99_IND160_63738 7156551029410.jpeg

WISM-20_P1_SP99_IND160_63738 7156570755411.jpeg

WISM-20_P1_SP99_IND160_63738 7156584621098.jpeg

WISM-20_P1_SP99_IND160_63738 7172680288567.jpeg

WISM-20_P1_SP99_IND160_63738 7172696052259.jpeg

WISM-20_P1_SP99_IND160_63738 7172710622035.jpeg

WISM-20_P1_SP99_IND160_63738 7172724635548.jpeg

WISM-20_P1_SP99_IND160_63738 7172738283329.jpeg

WISM-20_P1_SP99_IND160_63738 7172751850738.jpeg

WISM-20_P1_SP99_IND160_63738 7172766196865.jpeg

WISM-20_P1_SP99_IND160_63738 7172780366772.jpeg

WISM-20_P1_SP99_IND160_63738 7172795236652.jpeg

WISM-20_P1_SP99_IND160_63738 7172807966814.jpeg

WISM-20_P1_SP99_IND160_63738 7172821058333.jpeg

WISM-20_P1_SP99_IND160_63738 7172836113473.jpeg

WISM-20_P1_SP99_IND160_63738 7172851290798.jpeg

WISM-20_P1_SP99_IND160_63738 7172867099497.jpeg

WISM-20_P1_SP99_IND160_63738 7172879856359.jpeg

WISM-20_P1_SP99_IND160_63738 7172894740035.jpeg

### 8.1.2 Vondstenfoto's

#### 8.1.2.1 Kerkhof

| Projectcode | Bestand | Onderwerp |
|---|---|---|
| 2020I174 | 2020I174_WISM-20_V005 (1).JPG | Vondstnummer 5 |
| 2020I174 | 2020I174_WISM-20_V005 (2).JPG | Vondstnummer 5 |
| 2020I174 | 2020I174_WISM-20_V005 (3).JPG | Vondstnummer 5 |
| 2020I174 | 2020I174_WISM-20_V005 (4).JPG | Vondstnummer 5 |
| 2020I174 | 2020I174_WISM-20_V007 (1).JPG | Vondstnummer 7 |
| 2020I174 | 2020I174_WISM-20_V007 (1)1.JPG | Vondstnummer 7 |
| 2020I174 | 2020I174_WISM-20_V007 (2).JPG | Vondstnummer 7 |
| 2020I174 | 2020I174_WISM-20_V007 (2)1.JPG | Vondstnummer 7 |
| 2020I174 | 2020I174_WISM-20_V007 (3).JPG | Vondstnummer 7 |
| 2020I174 | 2020I174_WISM-20_V007 (3)1.JPG | Vondstnummer 7 |
| 2020I174 | 2020I174_WISM-20_V008 (1).JPG | Vondstnummer 8 |
| 2020I174 | 2020I174_WISM-20_V008 (2).JPG | Vondstnummer 8 |
| 2020I174 | 2020I174_WISM-20_V008 (3).JPG | Vondstnummer 8 |
| 2020I174 | 2020I174_WISM-20_V15 (1).JPG | Vondstnummer 15 |
| 2020I174 | 2020I174_WISM-20_V15 (2).JPG | Vondstnummer 15 |
| 2020I174 | 2020I174_WISM-20_V15 (3).JPG | Vondstnummer 15 |
| 2020I174 | 2020I174_WISM-20_V19 (1).JPG | Vondstnummer 19 |
| 2020I174 | 2020I174_WISM-20_V19 (2).JPG | Vondstnummer 19 |
| 2020I174 | 2020I174_WISM-20_V19 (3).JPG | Vondstnummer 19 |
| 2020I174 | 2020I174_WISM-20_V29 (1).JPG | Vondstnummer 29 |
| 2020I174 | 2020I174_WISM-20_V29 (2).JPG | Vondstnummer 29 |
| 2020I174 | 2020I174_WISM-20_V29 (3).JPG | Vondstnummer 29 |
| 2020I174 | 2020I174_WISM-20_V30 (1).JPG | Vondstnummer 30 |
| 2020I174 | 2020I174_WISM-20_V30 (2).JPG | Vondstnummer 30 |
| 2020I174 | 2020I174_WISM-20_V30 (3).JPG | Vondstnummer 30 |
| 2020I174 | 2020I174_WISM-20_V30 (4).JPG | Vondstnummer 30 |
| 2020I174 | 2020I174_WISM-20_V31 (1).JPG | Vondstnummer 31 |
| 2020I174 | 2020I174_WISM-20_V31 (2).JPG | Vondstnummer 31 |
| 2020I174 | 2020I174_WISM-20_V32 (1).JPG | Vondstnummer 32 |
| 2020I174 | 2020I174_WISM-20_V32 (2).JPG | Vondstnummer 32 |
| 2020I174 | 2020I174_WISM-20_V32 (3).JPG | Vondstnummer 32 |
| 2020I174 | 2020I174_WISM-20_V33 (1).JPG | Vondstnummer 33 |
| 2020I174 | 2020I174_WISM-20_V33 (2).JPG | Vondstnummer 33 |
| 2020I174 | 2020I174_WISM-20_V33 (3).JPG | Vondstnummer 33 |
| 2020I174 | 2020I174_WISM-20_V36 (1).JPG | Vondstnummer 36 |
| 2020I174 | 2020I174_WISM-20_V36 (2).JPG | Vondstnummer 36 |
| 2020I174 | 2020I174_WISM-20_V36 (3).JPG | Vondstnummer 36 |
| 2020I174 | 2020I174_WISM-20_V40 (1).JPG | Vondstnummer 40 |
| 2020I174 | 2020I174_WISM-20_V40 (2).JPG | Vondstnummer 40 |
| 2020I174 | 2020I174_WISM-20_V40 (3).JPG | Vondstnummer 40 |
| 2020I174 | 2020I174_WISM-20_V40 (4).JPG | Vondstnummer 40 |
| 2020I174 | 2020I174_WISM-20_V41 (1).JPG | Vondstnummer 41 |
| 2020I174 | 2020I174_WISM-20_V41 (2).JPG | Vondstnummer 41 |
| 2020I174 | 2020I174_WISM-20_V41 (3).JPG | Vondstnummer 41 |
| 2020I174 | 2020I174_WISM-20_V41 (4).JPG | Vondstnummer 41 |
| 2020I174 | 2020I174_WISM-20_V41 (5).JPG | Vondstnummer 41 |
| 2020I174 | 2020I174_WISM-20_V41 (6).JPG | Vondstnummer 41 |
| 2020I174 | 2020I174_WISM-20_V42 (1).JPG | Vondstnummer 42 |
| 2020I174 | 2020I174_WISM-20_V42 (1)1.JPG | Vondstnummer 42 |
| 2020I174 | 2020I174_WISM-20_V42 (2).JPG | Vondstnummer 42 |

| Projectcode | Bestand | Onderwerp |
|---|---|---|
| 2020I174 | 2020I174_WISM-20_V42 (2)1.JPG | Vondstnummer 42 |
| 2020I174 | 2020I174_WISM-20_V42 (2)2.JPG | Vondstnummer 42 |
| 2020I174 | 2020I174_WISM-20_V42 (3).JPG | Vondstnummer 42 |
| 2020I174 | 2020I174_WISM-20_V42 (3)1.JPG | Vondstnummer 42 |
| 2020I174 | 2020I174_WISM-20_V42 (3)2.JPG | Vondstnummer 42 |
| 2020I174 | 2020I174_WISM-20_V42 (4).JPG | Vondstnummer 42 |
| 2020I174 | 2020I174_WISM-20_V42 (4)1.JPG | Vondstnummer 42 |
| 2020I174 | 2020I174_WISM-20_V42 (5).JPG | Vondstnummer 42 |
| 2020I174 | 2020I174_WISM-20_V42 (6).JPG | Vondstnummer 42 |
| 2020I174 | 2020I174_WISM-20_V43 (1).JPG | Vondstnummer 43 |
| 2020I174 | 2020I174_WISM-20_V43 (2).JPG | Vondstnummer 43 |
| 2020I174 | 2020I174_WISM-20_V43 (3).JPG | Vondstnummer 43 |
| 2020I174 | 2020I174_WISM-20_V44 (1).JPG | Vondstnummer 44 |
| 2020I174 | 2020I174_WISM-20_V44 (2).JPG | Vondstnummer 44 |
| 2020I174 | 2020I174_WISM-20_V44 (3).JPG | Vondstnummer 44 |
| 2020I174 | 2020I174_WISM-20_V45 (1).JPG | Vondstnummer 45 |
| 2020I174 | 2020I174_WISM-20_V45 (2).JPG | Vondstnummer 45 |
| 2020I174 | 2020I174_WISM-20_V49 (1).JPG | Vondstnummer 49 |
| 2020I174 | 2020I174_WISM-20_V49 (2).JPG | Vondstnummer 49 |
| 2020I174 | 2020I174_WISM-20_V49 (3).JPG | Vondstnummer 49 |
| 2020I174 | 2020I174_WISM-20_V50 (1).JPG | Vondstnummer 50 |
| 2020I174 | 2020I174_WISM-20_V50 (2).JPG | Vondstnummer 50 |
| 2020I174 | 2020I174_WISM-20_V50 (3).JPG | Vondstnummer 50 |
| 2020I174 | 2020I174_WISM-20_V50 (4).JPG | Vondstnummer 50 |
| 2020I174 | 2020I174_WISM-20_V51 (1).JPG | Vondstnummer 51 |
| 2020I174 | 2020I174_WISM-20_V51 (2).JPG | Vondstnummer 51 |
| 2020I174 | 2020I174_WISM-20_V51 (3).JPG | Vondstnummer 51 |
| 2020I174 | 2020I174_WISM-20_V51 (4).JPG | Vondstnummer 51 |
| 2020I174 | 2020I174_WISM-20_V51 (5).JPG | Vondstnummer 51 |
| 2020I174 | 2020I174_WISM-20_V52 (1).JPG | Vondstnummer 52 |
| 2020I174 | 2020I174_WISM-20_V52 (2).JPG | Vondstnummer 52 |
| 2020I174 | 2020I174_WISM-20_V53 (1).JPG | Vondstnummer 53 |
| 2020I174 | 2020I174_WISM-20_V53 (2).JPG | Vondstnummer 53 |
| 2020I174 | 2020I174_WISM-20_V55 (1).JPG | Vondstnummer 55 |
| 2020I174 | 2020I174_WISM-20_V55 (2).JPG | Vondstnummer 55 |
| 2020I174 | 2020I174_WISM-20_V56 (1).JPG | Vondstnummer 56 |
| 2020I174 | 2020I174_WISM-20_V56 (2).JPG | Vondstnummer 56 |
| 2020I174 | 2020I174_WISM-20_V60 (1).JPG | Vondstnummer 60 |
| 2020I174 | 2020I174_WISM-20_V60 (2).JPG | Vondstnummer 60 |
| 2020I174 | 2020I174_WISM-20_V60 (3).JPG | Vondstnummer 60 |
| 2020I174 | 2020I174_WISM-20_V62 (1).JPG | Vondstnummer 62 |
| 2020I174 | 2020I174_WISM-20_V62 (2).JPG | Vondstnummer 62 |
| 2020I174 | 2020I174_WISM-20_V62 (3).JPG | Vondstnummer 62 |
| 2020I174 | 2020I174_WISM-20_V62 (4).JPG | Vondstnummer 62 |
| 2020I174 | 2020I174_WISM-20_V62 (5).JPG | Vondstnummer 62 |
| 2020I174 | 2020I174_WISM-20_V70 (1).JPG | Vondstnummer 70 |
| 2020I174 | 2020I174_WISM-20_V70 (2).JPG | Vondstnummer 70 |
| 2020I174 | 2020I174_WISM-20_V73 (1).JPG | Vondstnummer 73 |
| 2020I174 | 2020I174_WISM-20_V73 (2).JPG | Vondstnummer 73 |
| 2020I174 | 2020I174_WISM-20_V73 (3).JPG | Vondstnummer 73 |
| 2020I174 | 2020I174_WISM-20_V74 (1).JPG | Vondstnummer 74 |
| 2020I174 | 2020I174_WISM-20_V74 (2).JPG | Vondstnummer 74 |
| 2020I174 | 2020I174_WISM-20_V74 (3).JPG | Vondstnummer 74 |
| 2020I174 | 2020I174_WISM-20_V76 (1).JPG | Vondstnummer 76 |
| 2020I174 | 2020I174_WISM-20_V76 (2).JPG | Vondstnummer 76 |

| Projectcode | Bestand | Onderwerp |
|---|---|---|
| 2020I174 | 2020I174_WISM-20_V76 (3).JPG | Vondstnummer 76 |
| 2020I174 | 2020I174_WISM-20_V80 (1).JPG | Vondstnummer 80 |
| 2020I174 | 2020I174_WISM-20_V80 (2).JPG | Vondstnummer 80 |
| 2020I174 | 2020I174_WISM-20_V80 (3).JPG | Vondstnummer 80 |
| 2020I174 | 2020I174_WISM-20_V83 (1).JPG | Vondstnummer 83 |
| 2020I174 | 2020I174_WISM-20_V83 (2).JPG | Vondstnummer 83 |
| 2020I174 | 2020I174_WISM-20_V86 (1).JPG | Vondstnummer 86 |
| 2020I174 | 2020I174_WISM-20_V86 (2).JPG | Vondstnummer 86 |
| 2020I174 | 2020I174_WISM-20_V86 (3).JPG | Vondstnummer 86 |
| 2020I174 | 2020I174_WISM-20_V86 (4).JPG | Vondstnummer 86 |
| 2020I174 | 2020I174_WISM-20_V87 (1).JPG | Vondstnummer 87 |
| 2020I174 | 2020I174_WISM-20_V87 (2).JPG | Vondstnummer 87 |
| 2020I174 | 2020I174_WISM-20_V87 (3).JPG | Vondstnummer 87 |
| 2020I174 | 2020I174_WISM-20_V88 (1).JPG | Vondstnummer 88 |
| 2020I174 | 2020I174_WISM-20_V88 (2).JPG | Vondstnummer 88 |
| 2020I174 | 2020I174_WISM-20_V88 (3).JPG | Vondstnummer 88 |
| 2020I174 | 2020I174_WISM-20_V89 (1).JPG | Vondstnummer 89 |
| 2020I174 | 2020I174_WISM-20_V89 (2).JPG | Vondstnummer 89 |
| 2020I174 | 2020I174_WISM-20_V89 (3).JPG | Vondstnummer 89 |
| 2020I174 | 2020I174_WISM-20_V90 (1).JPG | Vondstnummer 90 |
| 2020I174 | 2020I174_WISM-20_V90 (2).JPG | Vondstnummer 90 |
| 2020I174 | 2020I174_WISM-20_V91 (1).JPG | Vondstnummer 91 |
| 2020I174 | 2020I174_WISM-20_V91 (2).JPG | Vondstnummer 91 |
| 2020I174 | 2020I174_WISM-20_V91 (3).JPG | Vondstnummer 91 |
| 2020I174 | 2020I174_WISM-20_V95 (1).JPG | Vondstnummer 95 |
| 2020I174 | 2020I174_WISM-20_V95 (2).JPG | Vondstnummer 95 |
| 2020I174 | 2020I174_WISM-20_V95 (3).JPG | Vondstnummer 95 |
| 2020I174 | 2020I174_WISM-20_V96 (1).JPG | Vondstnummer 96 |
| 2020I174 | 2020I174_WISM-20_V96 (2).JPG | Vondstnummer 96 |
| 2020I174 | 2020I174_WISM-20_V96 (3).JPG | Vondstnummer 96 |
| 2020I174 | 2020I174_WISM-20_V96 (4).JPG | Vondstnummer 96 |
| 2020I174 | 2020I174_WISM-20_V96 (5).JPG | Vondstnummer 96 |
| 2020I174 | 2020I174_WISM-20_V96 (6).JPG | Vondstnummer 96 |
| 2020I174 | 2020I174_WISM-20_V97 (1).JPG | Vondstnummer 97 |
| 2020I174 | 2020I174_WISM-20_V97 (2).JPG | Vondstnummer 97 |
| 2020I174 | 2020I174_WISM-20_V97 (3).JPG | Vondstnummer 97 |
| 2020I174 | 2020I174_WISM-20_V101 (1).JPG | Vondstnummer 101 |
| 2020I174 | 2020I174_WISM-20_V101 (2).JPG | Vondstnummer 101 |
| 2020I174 | 2020I174_WISM-20_V105 (1).JPG | Vondstnummer 105 |
| 2020I174 | 2020I174_WISM-20_V105 (2).JPG | Vondstnummer 105 |
| 2020I174 | 2020I174_WISM-20_V107 (1).JPG | Vondstnummer 107 |
| 2020I174 | 2020I174_WISM-20_V107 (2).JPG | Vondstnummer 107 |
| 2020I174 | 2020I174_WISM-20_V107 (3).JPG | Vondstnummer 107 |
| 2020I174 | 2020I174_WISM-20_V108 (1).JPG | Vondstnummer 108 |
| 2020I174 | 2020I174_WISM-20_V108 (2).JPG | Vondstnummer 108 |
| 2020I174 | 2020I174_WISM-20_V108 (3).JPG | Vondstnummer 108 |
| 2020I174 | 2020I174_WISM-20_V112 (1).JPG | Vondstnummer 112 |
| 2020I174 | 2020I174_WISM-20_V112 (2).JPG | Vondstnummer 112 |
| 2020I174 | 2020I174_WISM-20_V113 (1).JPG | Vondstnummer 113 |
| 2020I174 | 2020I174_WISM-20_V113 (2).JPG | Vondstnummer 113 |
| 2020I174 | 2020I174_WISM-20_V113 (3).JPG | Vondstnummer 113 |
| 2020I174 | 2020I174_WISM-20_V117 (1).JPG | Vondstnummer 117 |
| 2020I174 | 2020I174_WISM-20_V117 (2).JPG | Vondstnummer 117 |
| 2020I174 | 2020I174_WISM-20_V119 (1).JPG | Vondstnummer 119 |
| 2020I174 | 2020I174_WISM-20_V119 (2).JPG | Vondstnummer 119 |

| Projectcode | Bestand | Onderwerp |
|---|---|---|
| 2020I174 | 2020I174_WISM-20_V119 (3).JPG | Vondstnummer 119 |
| 2020I174 | 2020I174_WISM-20_V120 (1).JPG | Vondstnummer 120 |
| 2020I174 | 2020I174_WISM-20_V120 (2).JPG | Vondstnummer 120 |
| 2020I174 | 2020I174_WISM-20_V125 (1).JPG | Vondstnummer 125 |
| 2020I174 | 2020I174_WISM-20_V125 (2).JPG | Vondstnummer 125 |
| 2020I174 | 2020I174_WISM-20_V126 (1).JPG | Vondstnummer 126 |
| 2020I174 | 2020I174_WISM-20_V126 (2).JPG | Vondstnummer 126 |
| 2020I174 | 2020I174_WISM-20_V126 (3).JPG | Vondstnummer 126 |
| 2020I174 | 2020I174_WISM-20_V127 (1).JPG | Vondstnummer 127 |
| 2020I174 | 2020I174_WISM-20_V127 (2).JPG | Vondstnummer 127 |
| 2020I174 | 2020I174_WISM-20_V127 (3).JPG | Vondstnummer 127 |
| 2020I174 | 2020I174_WISM-20_V127 (4).JPG | Vondstnummer 127 |
| 2020I174 | 2020I174_WISM-20_V128 (1).JPG | Vondstnummer 128 |
| 2020I174 | 2020I174_WISM-20_V128 (2).JPG | Vondstnummer 128 |
| 2020I174 | 2020I174_WISM-20_V129 (1).JPG | Vondstnummer 129 |
| 2020I174 | 2020I174_WISM-20_V129 (2).JPG | Vondstnummer 129 |
| 2020I174 | 2020I174_WISM-20_V129 (3).JPG | Vondstnummer 129 |
| 2020I174 | 2020I174_WISM-20_V132 (1).JPG | Vondstnummer 132 |
| 2020I174 | 2020I174_WISM-20_V132 (2).JPG | Vondstnummer 132 |
| 2020I174 | 2020I174_WISM-20_V137 (1).JPG | Vondstnummer 137 |
| 2020I174 | 2020I174_WISM-20_V137 (2).JPG | Vondstnummer 137 |
| 2020I174 | 2020I174_WISM-20_V143 (1).JPG | Vondstnummer 143 |
| 2020I174 | 2020I174_WISM-20_V143 (1)1.JPG | Vondstnummer 143 |
| 2020I174 | 2020I174_WISM-20_V143 (2).JPG | Vondstnummer 143 |
| 2020I174 | 2020I174_WISM-20_V143 (2)1.JPG | Vondstnummer 143 |
| 2020I174 | 2020I174_WISM-20_V143 (3).JPG | Vondstnummer 143 |
| 2020I174 | 2020I174_WISM-20_V143 (4).JPG | Vondstnummer 143 |
| 2020I174 | 2020I174_WISM-20_V143 (5).JPG | Vondstnummer 143 |
| 2020I174 | 2020I174_WISM-20_V147 (1).JPG | Vondstnummer 147 |
| 2020I174 | 2020I174_WISM-20_V147 (2).JPG | Vondstnummer 147 |
| 2020I174 | 2020I174_WISM-20_V152 (1).JPG | Vondstnummer 152 |
| 2020I174 | 2020I174_WISM-20_V152 (2).JPG | Vondstnummer 152 |
| 2020I174 | 2020I174_WISM-20_V153 (1).JPG | Vondstnummer 153 |
| 2020I174 | 2020I174_WISM-20_V153 (2).JPG | Vondstnummer 153 |
| 2020I174 | 2020I174_WISM-20_V156 (1).JPG | Vondstnummer 156 |
| 2020I174 | 2020I174_WISM-20_V156 (2).JPG | Vondstnummer 156 |
| 2020I174 | 2020I174_WISM-20_V157 (1).JPG | Vondstnummer 157 |
| 2020I174 | 2020I174_WISM-20_V157 (2).JPG | Vondstnummer 157 |
| 2020I174 | 2020I174_WISM-20_V158 (1).JPG | Vondstnummer 158 |
| 2020I174 | 2020I174_WISM-20_V158 (2).JPG | Vondstnummer 158 |
| 2020I174 | 2020I174_WISM-20_V158 (3).JPG | Vondstnummer 158 |
| 2020I174 | 2020I174_WISM-20_V159 (1).JPG | Vondstnummer 159 |
| 2020I174 | 2020I174_WISM-20_V159 (2).JPG | Vondstnummer 159 |
| 2020I174 | 2020I174_WISM-20_V162 (1).JPG | Vondstnummer 162 |
| 2020I174 | 2020I174_WISM-20_V162 (2).JPG | Vondstnummer 162 |
| 2020I174 | 2020I174_WISM-20_V162 (3).JPG | Vondstnummer 162 |
| 2020I174 | 2020I174_WISM-20_V164 (1).JPG | Vondstnummer 164 |
| 2020I174 | 2020I174_WISM-20_V164 (2).JPG | Vondstnummer 164 |
| 2020I174 | 2020I174_WISM-20_V164 (3).JPG | Vondstnummer 164 |
| 2020I174 | 2020I174_WISM-20_V168 (1).JPG | Vondstnummer 168 |
| 2020I174 | 2020I174_WISM-20_V168 (2).JPG | Vondstnummer 168 |
| 2020I174 | 2020I174_WISM-20_V168 (3).JPG | Vondstnummer 168 |
| 2020I174 | 2020I174_WISM-20_V177 (1).JPG | Vondstnummer 177 |
| 2020I174 | 2020I174_WISM-20_V177 (2).JPG | Vondstnummer 177 |
| 2020I174 | 2020I174_WISM-20_V178 (1).JPG | Vondstnummer 178 |

| Projectcode | Bestand | Onderwerp |
|---|---|---|
| 2020I174 | 2020I174_WISM-20_V178 (2).JPG | Vondstnummer 178 |
| 2020I174 | 2020I174_WISM-20_V180 (1).JPG | Vondstnummer 180 |
| 2020I174 | 2020I174_WISM-20_V180 (2).JPG | Vondstnummer 180 |
| 2020I174 | 2020I174_WISM-20_V181 (1).JPG | Vondstnummer 181 |
| 2020I174 | 2020I174_WISM-20_V181 (2).JPG | Vondstnummer 181 |
| 2020I174 | 2020I174_WISM-20_V183 (1).JPG | Vondstnummer 183 |
| 2020I174 | 2020I174_WISM-20_V183 (2).JPG | Vondstnummer 183 |
| 2020I174 | 2020I174_WISM-20_V184 (1).JPG | Vondstnummer 184 |
| 2020I174 | 2020I174_WISM-20_V184 (2).JPG | Vondstnummer 184 |
| 2020I174 | 2020I174_WISM-20_V184 (3).JPG | Vondstnummer 184 |
| 2020I174 | 2020I174_WISM-20_V188 (1).JPG | Vondstnummer 188 |
| 2020I174 | 2020I174_WISM-20_V188 (2).JPG | Vondstnummer 188 |
| 2020I174 | 2020I174_WISM-20_V195 (1).JPG | Vondstnummer 195 |
| 2020I174 | 2020I174_WISM-20_V195 (2).JPG | Vondstnummer 195 |
| 2020I174 | 2020I174_WISM-20_V196 (1).JPG | Vondstnummer 196 |
| 2020I174 | 2020I174_WISM-20_V196 (2).JPG | Vondstnummer 196 |
| 2020I174 | 2020I174_WISM-20_V196 (3).JPG | Vondstnummer 196 |
| 2020I174 | 2020I174_WISM-20_V198 (1).JPG | Vondstnummer 198 |
| 2020I174 | 2020I174_WISM-20_V198 (2).JPG | Vondstnummer 198 |
| 2020I174 | 2020I174_WISM-20_V198 (3).JPG | Vondstnummer 198 |
| 2020I174 | 2020I174_WISM-20_V201 (1).JPG | Vondstnummer 201 |
| 2020I174 | 2020I174_WISM-20_V201 (2).JPG | Vondstnummer 201 |
| 2020I174 | 2020I174_WISM-20_V202 (1).JPG | Vondstnummer 202 |
| 2020I174 | 2020I174_WISM-20_V202 (2).JPG | Vondstnummer 202 |
| 2020I174 | 2020I174_WISM-20_V203 (1).JPG | Vondstnummer 203 |
| 2020I174 | 2020I174_WISM-20_V203 (2).JPG | Vondstnummer 203 |
| 2020I174 | 2020I174_WISM-20_V203 (3).JPG | Vondstnummer 203 |
| 2020I174 | 2020I174_WISM-20_V205 (1).JPG | Vondstnummer 205 |
| 2020I174 | 2020I174_WISM-20_V205 (2).JPG | Vondstnummer 205 |
| 2020I174 | 2020I174_WISM-20_V205 (3).JPG | Vondstnummer 205 |
| 2020I174 | 2020I174_WISM-20_V207 (1).JPG | Vondstnummer 207 |
| 2020I174 | 2020I174_WISM-20_V207 (2).JPG | Vondstnummer 207 |
| 2020I174 | 2020I174_WISM-20_V208 (1).JPG | Vondstnummer 208 |
| 2020I174 | 2020I174_WISM-20_V208 (2).JPG | Vondstnummer 208 |
| 2020I174 | 2020I174_WISM-20_V208 (3).JPG | Vondstnummer 208 |
| 2020I174 | 2020I174_WISM-20_V209 (1).JPG | Vondstnummer 209 |
| 2020I174 | 2020I174_WISM-20_V209 (2).JPG | Vondstnummer 209 |
| 2020I174 | 2020I174_WISM-20_V209 (3).JPG | Vondstnummer 209 |
| 2020I174 | 2020I174_WISM-20_V209 (4).JPG | Vondstnummer 209 |
| 2020I174 | 2020I174_WISM-20_V210 (1).JPG | Vondstnummer 210 |
| 2020I174 | 2020I174_WISM-20_V210 (2).JPG | Vondstnummer 210 |
| 2020I174 | 2020I174_WISM-20_V210 (3).JPG | Vondstnummer 210 |
| 2020I174 | 2020I174_WISM-20_V211 (1).JPG | Vondstnummer 211 |
| 2020I174 | 2020I174_WISM-20_V211 (2).JPG | Vondstnummer 211 |
| 2020I174 | 2020I174_WISM-20_V211 (3).JPG | Vondstnummer 211 |
| 2020I174 | 2020I174_WISM-20_V212 (1).JPG | Vondstnummer 212 |
| 2020I174 | 2020I174_WISM-20_V212 (2).JPG | Vondstnummer 212 |
| 2020I174 | 2020I174_WISM-20_V212 (3).JPG | Vondstnummer 212 |
| 2020I174 | 2020I174_WISM-20_V214 (1).JPG | Vondstnummer 214 |
| 2020I174 | 2020I174_WISM-20_V214 (2).JPG | Vondstnummer 214 |
| 2020I174 | 2020I174_WISM-20_V216 (1).JPG | Vondstnummer 216 |
| 2020I174 | 2020I174_WISM-20_V216 (2).JPG | Vondstnummer 216 |
| 2020I174 | 2020I174_WISM-20_V217 (1).JPG | Vondstnummer 217 |
| 2020I174 | 2020I174_WISM-20_V217 (2).JPG | Vondstnummer 217 |
| 2020I174 | 2020I174_WISM-20_V217 (3).JPG | Vondstnummer 217 |

| Projectcode | Bestand | Onderwerp |
|---|---|---|
| 2020I174 | 2020I174_WISM-20_V218 (1).JPG | Vondstnummer 218 |
| 2020I174 | 2020I174_WISM-20_V218 (2).JPG | Vondstnummer 218 |
| 2020I174 | 2020I174_WISM-20_V218 (3).JPG | Vondstnummer 218 |
| 2020I174 | 2020I174_WISM-20_V218 (4).JPG | Vondstnummer 218 |
| 2020I174 | 2020I174_WISM-20_V219 (1).JPG | Vondstnummer 219 |
| 2020I174 | 2020I174_WISM-20_V219 (2).JPG | Vondstnummer 219 |
| 2020I174 | 2020I174_WISM-20_V221 (1).JPG | Vondstnummer 221 |
| 2020I174 | 2020I174_WISM-20_V221 (2).JPG | Vondstnummer 221 |
| 2020I174 | 2020I174_WISM-20_V221 (3).JPG | Vondstnummer 221 |
| 2020I174 | 2020I174_WISM-20_V222 (1).JPG | Vondstnummer 222 |
| 2020I174 | 2020I174_WISM-20_V222 (2).JPG | Vondstnummer 222 |
| 2020I174 | 2020I174_WISM-20_V222 (3).JPG | Vondstnummer 222 |
| 2020I174 | 2020I174_WISM-20_V223 (1).JPG | Vondstnummer 223 |
| 2020I174 | 2020I174_WISM-20_V223 (2).JPG | Vondstnummer 223 |
| 2020I174 | 2020I174_WISM-20_V223 (3).JPG | Vondstnummer 223 |
| 2020I174 | 2020I174_WISM-20_V225 (1).JPG | Vondstnummer 225 |
| 2020I174 | 2020I174_WISM-20_V225 (2).JPG | Vondstnummer 225 |
| 2020I174 | 2020I174_WISM-20_V226 (1).JPG | Vondstnummer 226 |
| 2020I174 | 2020I174_WISM-20_V226 (2).JPG | Vondstnummer 226 |
| 2020I174 | 2020I174_WISM-20_V226 (3).JPG | Vondstnummer 226 |
| 2020I174 | 2020I174_WISM-20_V227 (1).JPG | Vondstnummer 227 |
| 2020I174 | 2020I174_WISM-20_V227 (2).JPG | Vondstnummer 227 |
| 2020I174 | 2020I174_WISM-20_V228 (1).JPG | Vondstnummer 228 |
| 2020I174 | 2020I174_WISM-20_V228 (2).JPG | Vondstnummer 228 |
| 2020I174 | 2020I174_WISM-20_V229 (1).JPG | Vondstnummer 229 |
| 2020I174 | 2020I174_WISM-20_V229 (2).JPG | Vondstnummer 229 |
| 2020I174 | 2020I174_WISM-20_V230 (1).JPG | Vondstnummer 230 |
| 2020I174 | 2020I174_WISM-20_V230 (2).JPG | Vondstnummer 230 |
| 2020I174 | 2020I174_WISM-20_V231 (1).JPG | Vondstnummer 231 |
| 2020I174 | 2020I174_WISM-20_V231 (2).JPG | Vondstnummer 231 |
| 2020I174 | 2020I174_WISM-20_V234 (1).JPG | Vondstnummer 234 |
| 2020I174 | 2020I174_WISM-20_V234 (2).JPG | Vondstnummer 234 |
| 2020I174 | 2020I174_WISM-20_V236 (1).JPG | Vondstnummer 236 |
| 2020I174 | 2020I174_WISM-20_V236 (2).JPG | Vondstnummer 236 |
| 2020I174 | 2020I174_WISM-20_V237 (1).JPG | Vondstnummer 237 |
| 2020I174 | 2020I174_WISM-20_V237 (2).JPG | Vondstnummer 237 |
| 2020I174 | 2020I174_WISM-20_V238 (1).JPG | Vondstnummer 238 |
| 2020I174 | 2020I174_WISM-20_V238 (2).JPG | Vondstnummer 238 |
| 2020I174 | 2020I174_WISM-20_V238 (3).JPG | Vondstnummer 238 |
| 2020I174 | 2020I174_WISM-20_V239 (1).JPG | Vondstnummer 239 |
| 2020I174 | 2020I174_WISM-20_V239 (2).JPG | Vondstnummer 239 |
| 2020I174 | 2020I174_WISM-20_V239 (3).JPG | Vondstnummer 239 |
| 2020I174 | 2020I174_WISM-20_V240 (1).JPG | Vondstnummer 240 |
| 2020I174 | 2020I174_WISM-20_V240 (2).JPG | Vondstnummer 240 |
| 2020I174 | 2020I174_WISM-20_V240 (3).JPG | Vondstnummer 240 |
| 2020I174 | 2020I174_WISM-20_V246 (1).JPG | Vondstnummer 246 |
| 2020I174 | 2020I174_WISM-20_V246 (2).JPG | Vondstnummer 246 |
| 2020I174 | 2020I174_WISM-20_V246 (3).JPG | Vondstnummer 246 |
| 2020I174 | 2020I174_WISM-20_V249 (1).JPG | Vondstnummer 249 |
| 2020I174 | 2020I174_WISM-20_V249 (2).JPG | Vondstnummer 249 |
| 2020I174 | 2020I174_WISM-20_V249 (3).JPG | Vondstnummer 249 |
| 2020I174 | 2020I174_WISM-20_V250 (1).JPG | Vondstnummer 250 |
| 2020I174 | 2020I174_WISM-20_V250 (2).JPG | Vondstnummer 250 |
| 2020I174 | 2020I174_WISM-20_V250 (3).JPG | Vondstnummer 250 |
| 2020I174 | 2020I174_WISM-20_V251 (1).JPG | Vondstnummer 251 |

| Projectcode | Bestand | Onderwerp |
|---|---|---|
| 2020I174 | 2020I174_WISM-20_V251 (2).JPG | Vondstnummer 251 |
| 2020I174 | 2020I174_WISM-20_V251 (3).JPG | Vondstnummer 251 |
| 2020I174 | 2020I174_WISM-20_V251 (4).JPG | Vondstnummer 251 |
| 2020I174 | 2020I174_WISM-20_V252 (1).JPG | Vondstnummer 252 |
| 2020I174 | 2020I174_WISM-20_V252 (2).JPG | Vondstnummer 252 |
| 2020I174 | 2020I174_WISM-20_V252 (3).JPG | Vondstnummer 252 |
| 2020I174 | 2020I174_WISM-20_V252 (4).JPG | Vondstnummer 252 |
| 2020I174 | 2020I174_WISM-20_V257 (1).JPG | Vondstnummer 257 |
| 2020I174 | 2020I174_WISM-20_V257 (2).JPG | Vondstnummer 257 |
| 2020I174 | 2020I174_WISM-20_V257 (3).JPG | Vondstnummer 257 |
| 2020I174 | 2020I174_WISM-20_V257 (4).JPG | Vondstnummer 257 |
| 2020I174 | 2020I174_WISM-20_V258 (1).JPG | Vondstnummer 258 |
| 2020I174 | 2020I174_WISM-20_V258 (2).JPG | Vondstnummer 258 |
| 2020I174 | 2020I174_WISM-20_V258 (3).JPG | Vondstnummer 258 |
| 2020I174 | 2020I174_WISM-20_V259 (1).JPG | Vondstnummer 259 |
| 2020I174 | 2020I174_WISM-20_V259 (2).JPG | Vondstnummer 259 |
| 2020I174 | 2020I174_WISM-20_V263 (1).JPG | Vondstnummer 263 |
| 2020I174 | 2020I174_WISM-20_V263 (2).JPG | Vondstnummer 263 |
| 2020I174 | 2020I174_WISM-20_V263 (3).JPG | Vondstnummer 263 |
| 2020I174 | 2020I174_WISM-20_V268 (1).JPG | Vondstnummer 268 |
| 2020I174 | 2020I174_WISM-20_V268 (2).JPG | Vondstnummer 268 |
| 2020I174 | 2020I174_WISM-20_V269 (1).JPG | Vondstnummer 269 |
| 2020I174 | 2020I174_WISM-20_V269 (2).JPG | Vondstnummer 269 |
| 2020I174 | 2020I174_WISM-20_V270 (1).JPG | Vondstnummer 270 |
| 2020I174 | 2020I174_WISM-20_V270 (2).JPG | Vondstnummer 270 |
| 2020I174 | 2020I174_WISM-20_V273 (1).JPG | Vondstnummer 273 |
| 2020I174 | 2020I174_WISM-20_V273 (2).JPG | Vondstnummer 273 |
| 2020I174 | 2020I174_WISM-20_V274 (1).JPG | Vondstnummer 274 |
| 2020I174 | 2020I174_WISM-20_V274 (2).JPG | Vondstnummer 274 |
| 2020I174 | 2020I174_WISM-20_V274 (3).JPG | Vondstnummer 274 |
| 2020I174 | 2020I174_WISM-20_V275 (1).JPG | Vondstnummer 275 |
| 2020I174 | 2020I174_WISM-20_V275 (2).JPG | Vondstnummer 275 |
| 2020I174 | 2020I174_WISM-20_V279 (1).JPG | Vondstnummer 279 |
| 2020I174 | 2020I174_WISM-20_V279 (2).JPG | Vondstnummer 279 |
| 2020I174 | 2020I174_WISM-20_V290 (1).JPG | Vondstnummer 290 |
| 2020I174 | 2020I174_WISM-20_V290 (2).JPG | Vondstnummer 290 |
| 2020I174 | 2020I174_WISM-20_V302 (1).JPG | Vondstnummer 302 |
| 2020I174 | 2020I174_WISM-20_V302 (2).JPG | Vondstnummer 302 |
| 2020I174 | 2020I174_WISM-20_V304 (1).JPG | Vondstnummer 304 |
| 2020I174 | 2020I174_WISM-20_V304 (2).JPG | Vondstnummer 304 |
| 2020I174 | 2020I174_WISM-20_V304 (3).JPG | Vondstnummer 304 |
| 2020I174 | 2020I174_WISM-20_V305 (1).JPG | Vondstnummer 305 |
| 2020I174 | 2020I174_WISM-20_V305 (2).JPG | Vondstnummer 305 |
| 2020I174 | 2020I174_WISM-20_V305 (3).JPG | Vondstnummer 305 |
| 2020I174 | 2020I174_WISM-20_V306 (1).JPG | Vondstnummer 306 |
| 2020I174 | 2020I174_WISM-20_V306 (2).JPG | Vondstnummer 306 |
| 2020I174 | 2020I174_WISM-20_V308 (1).JPG | Vondstnummer 308 |
| 2020I174 | 2020I174_WISM-20_V308 (2).JPG | Vondstnummer 308 |
| 2020I174 | 2020I174_WISM-20_V308 (3).JPG | Vondstnummer 308 |
| 2020I174 | 2020I174_WISM-20_V310 (1).JPG | Vondstnummer 310 |
| 2020I174 | 2020I174_WISM-20_V310 (2).JPG | Vondstnummer 310 |
| 2020I174 | 2020I174_WISM-20_V311 (1).JPG | Vondstnummer 311 |
| 2020I174 | 2020I174_WISM-20_V311 (2).JPG | Vondstnummer 311 |
| 2020I174 | 2020I174_WISM-20_V311 (3).JPG | Vondstnummer 311 |
| 2020I174 | 2020I174_WISM-20_V312 (1).JPG | Vondstnummer 312 |

| Projectcode | Bestand | Onderwerp |
|---|---|---|
| 2020I174 | 2020I174_WISM-20_V312 (2).JPG | Vondstnummer 312 |
| 2020I174 | 2020I174_WISM-20_V312 (3).JPG | Vondstnummer 312 |
| 2020I174 | 2020I174_WISM-20_V312 (4).JPG | Vondstnummer 312 |
| 2020I174 | 2020I174_WISM-20_V313 (1).JPG | Vondstnummer 313 |
| 2020I174 | 2020I174_WISM-20_V313 (2).JPG | Vondstnummer 313 |
| 2020I174 | 2020I174_WISM-20_V313 (3).JPG | Vondstnummer 313 |
| 2020I174 | 2020I174_WISM-20_V314 (1).JPG | Vondstnummer 314 |
| 2020I174 | 2020I174_WISM-20_V314 (2).JPG | Vondstnummer 314 |
| 2020I174 | 2020I174_WISM-20_V314 (3).JPG | Vondstnummer 314 |
| 2020I174 | 2020I174_WISM-20_V319 (1).JPG | Vondstnummer 319 |
| 2020I174 | 2020I174_WISM-20_V319 (2).JPG | Vondstnummer 319 |
| 2020I174 | 2020I174_WISM-20_V321 (1).JPG | Vondstnummer 321 |
| 2020I174 | 2020I174_WISM-20_V321 (2).JPG | Vondstnummer 321 |
| 2020I174 | 2020I174_WISM-20_V321 (3).JPG | Vondstnummer 321 |
| 2020I174 | 2020I174_WISM-20_V322 (1).JPG | Vondstnummer 322 |
| 2020I174 | 2020I174_WISM-20_V322 (2).JPG | Vondstnummer 322 |
| 2020I174 | 2020I174_WISM-20_V322 (3).JPG | Vondstnummer 322 |
| 2020I174 | 2020I174_WISM-20_V322 (4).JPG | Vondstnummer 322 |
| 2020I174 | 2020I174_WISM-20_V322 (5).JPG | Vondstnummer 322 |
| 2020I174 | 2020I174_WISM-20_V322 (6).JPG | Vondstnummer 322 |
| 2020I174 | 2020I174_WISM-20_V322 (7).JPG | Vondstnummer 322 |
| 2020I174 | 2020I174_WISM-20_V323 (1).JPG | Vondstnummer 323 |
| 2020I174 | 2020I174_WISM-20_V323 (2).JPG | Vondstnummer 323 |
| 2020I174 | 2020I174_WISM-20_V324 (1).JPG | Vondstnummer 324 |
| 2020I174 | 2020I174_WISM-20_V324 (2).JPG | Vondstnummer 324 |
| 2020I174 | 2020I174_WISM-20_V324 (3).JPG | Vondstnummer 324 |
| 2020I174 | 2020I174_WISM-20_V324 (4).JPG | Vondstnummer 324 |
| 2020I174 | 2020I174_WISM-20_V325 (1).JPG | Vondstnummer 325 |
| 2020I174 | 2020I174_WISM-20_V325 (2).JPG | Vondstnummer 325 |
| 2020I174 | 2020I174_WISM-20_V325 (3).JPG | Vondstnummer 325 |
| 2020I174 | 2020I174_WISM-20_V326 (1).JPG | Vondstnummer 326 |
| 2020I174 | 2020I174_WISM-20_V326 (2).JPG | Vondstnummer 326 |
| 2020I174 | 2020I174_WISM-20_V328 (1).JPG | Vondstnummer 328 |
| 2020I174 | 2020I174_WISM-20_V328 (2).JPG | Vondstnummer 328 |
| 2020I174 | 2020I174_WISM-20_V328 (3).JPG | Vondstnummer 328 |
| 2020I174 | 2020I174_WISM-20_V330 (1).JPG | Vondstnummer 330 |
| 2020I174 | 2020I174_WISM-20_V330 (2).JPG | Vondstnummer 330 |
| 2020I174 | 2020I174_WISM-20_V330 (3).JPG | Vondstnummer 330 |
| 2020I174 | 2020I174_WISM-20_V331 (1).JPG | Vondstnummer 331 |
| 2020I174 | 2020I174_WISM-20_V331 (2).JPG | Vondstnummer 331 |
| 2020I174 | 2020I174_WISM-20_V335 (1).JPG | Vondstnummer 335 |
| 2020I174 | 2020I174_WISM-20_V335 (2).JPG | Vondstnummer 335 |
| 2020I174 | 2020I174_WISM-20_V335 (3).JPG | Vondstnummer 335 |
| 2020I174 | 2020I174_WISM-20_V338 (1).JPG | Vondstnummer 338 |
| 2020I174 | 2020I174_WISM-20_V338 (2).JPG | Vondstnummer 338 |
| 2020I174 | 2020I174_WISM-20_V342 (1).JPG | Vondstnummer 342 |
| 2020I174 | 2020I174_WISM-20_V342 (2).JPG | Vondstnummer 342 |
| 2020I174 | 2020I174_WISM-20_V342 (3).JPG | Vondstnummer 342 |
| 2020I174 | 2020I174_WISM-20_V342 (4).JPG | Vondstnummer 342 |
| 2020I174 | 2020I174_WISM-20_V343 (1).JPG | Vondstnummer 343 |
| 2020I174 | 2020I174_WISM-20_V343 (2).JPG | Vondstnummer 343 |
| 2020I174 | 2020I174_WISM-20_V343 (3).JPG | Vondstnummer 343 |
| 2020I174 | 2020I174_WISM-20_V344 (1).JPG | Vondstnummer 344 |
| 2020I174 | 2020I174_WISM-20_V344 (2).JPG | Vondstnummer 344 |
| 2020I174 | 2020I174_WISM-20_V344 (3).JPG | Vondstnummer 344 |

| Projectcode | Bestand | Onderwerp |
|---|---|---|
| 2020I174 | 2020I174_WISM-20_V347 (1).JPG | Vondstnummer 347 |
| 2020I174 | 2020I174_WISM-20_V347 (2).JPG | Vondstnummer 347 |
| 2020I174 | 2020I174_WISM-20_V347 (3).JPG | Vondstnummer 347 |
| 2020I174 | 2020I174_WISM-20_V347 (4).JPG | Vondstnummer 347 |
| 2020I174 | 2020I174_WISM-20_V350 (1).JPG | Vondstnummer 350 |
| 2020I174 | 2020I174_WISM-20_V350 (2).JPG | Vondstnummer 350 |
| 2020I174 | 2020I174_WISM-20_V350 (3).JPG | Vondstnummer 350 |
| 2020I174 | 2020I174_WISM-20_V351 (1).JPG | Vondstnummer 351 |
| 2020I174 | 2020I174_WISM-20_V351 (2).JPG | Vondstnummer 351 |
| 2020I174 | 2020I174_WISM-20_V351 (3).JPG | Vondstnummer 351 |
| 2020I174 | 2020I174_WISM-20_V351 (4).JPG | Vondstnummer 351 |
| 2020I174 | 2020I174_WISM-20_V351 (5).JPG | Vondstnummer 351 |
| 2020I174 | 2020I174_WISM-20_V352 (1).JPG | Vondstnummer 352 |
| 2020I174 | 2020I174_WISM-20_V352 (2).JPG | Vondstnummer 352 |
| 2020I174 | 2020I174_WISM-20_V352 (3).JPG | Vondstnummer 352 |
| 2020I174 | 2020I174_WISM-20_V352 (4).JPG | Vondstnummer 352 |
| 2020I174 | 2020I174_WISM-20_V352 (5).JPG | Vondstnummer 352 |
| 2020I174 | 2020I174_WISM-20_V354 (1).JPG | Vondstnummer 354 |
| 2020I174 | 2020I174_WISM-20_V354 (2).JPG | Vondstnummer 354 |
| 2020I174 | 2020I174_WISM-20_V354 (3).JPG | Vondstnummer 354 |
| 2020I174 | 2020I174_WISM-20_V354 (4).JPG | Vondstnummer 354 |
| 2020I174 | 2020I174_WISM-20_V355 (1).JPG | Vondstnummer 355 |
| 2020I174 | 2020I174_WISM-20_V355 (2).JPG | Vondstnummer 355 |
| 2020I174 | 2020I174_WISM-20_V355 (3).JPG | Vondstnummer 355 |
| 2020I174 | 2020I174_WISM-20_V360 (1).JPG | Vondstnummer 360 |
| 2020I174 | 2020I174_WISM-20_V360 (2).JPG | Vondstnummer 360 |
| 2020I174 | 2020I174_WISM-20_V360 (3).JPG | Vondstnummer 360 |
| 2020I174 | 2020I174_WISM-20_V360 (4).JPG | Vondstnummer 360 |
| 2020I174 | 2020I174_WISM-20_V360 (5).JPG | Vondstnummer 360 |
| 2020I174 | 2020I174_WISM-20_V361 (1).JPG | Vondstnummer 361 |
| 2020I174 | 2020I174_WISM-20_V361 (2).JPG | Vondstnummer 361 |
| 2020I174 | 2020I174_WISM-20_V361 (3).JPG | Vondstnummer 361 |
| 2020I174 | 2020I174_WISM-20_V364 (1).JPG | Vondstnummer 364 |
| 2020I174 | 2020I174_WISM-20_V364 (2).JPG | Vondstnummer 364 |
| 2020I174 | 2020I174_WISM-20_V364 (3).JPG | Vondstnummer 364 |
| 2020I174 | 2020I174_WISM-20_V366 (1).JPG | Vondstnummer 366 |
| 2020I174 | 2020I174_WISM-20_V366 (2).JPG | Vondstnummer 366 |
| 2020I174 | 2020I174_WISM-20_V367 (1).JPG | Vondstnummer 367 |
| 2020I174 | 2020I174_WISM-20_V367 (2).JPG | Vondstnummer 367 |
| 2020I174 | 2020I174_WISM-20_V370 (1).JPG | Vondstnummer 370 |
| 2020I174 | 2020I174_WISM-20_V370 (2).JPG | Vondstnummer 370 |
| 2020I174 | 2020I174_WISM-20_V370 (3).JPG | Vondstnummer 370 |
| 2020I174 | 2020I174_WISM-20_V376 (1).JPG | Vondstnummer 376 |
| 2020I174 | 2020I174_WISM-20_V376 (2).JPG | Vondstnummer 376 |
| 2020I174 | 2020I174_WISM-20_V376 (3).JPG | Vondstnummer 376 |
| 2020I174 | 2020I174_WISM-20_V377 (1).JPG | Vondstnummer 377 |
| 2020I174 | 2020I174_WISM-20_V377 (2).JPG | Vondstnummer 377 |
| 2020I174 | 2020I174_WISM-20_V377 (3).JPG | Vondstnummer 377 |
| 2020I174 | 2020I174_WISM-20_V377 (4).JPG | Vondstnummer 377 |
| 2020I174 | 2020I174_WISM-20_V379 (1).JPG | Vondstnummer 379 |
| 2020I174 | 2020I174_WISM-20_V379 (2).JPG | Vondstnummer 379 |
| 2020I174 | 2020I174_WISM-20_V379 (3).JPG | Vondstnummer 379 |
| 2020I174 | 2020I174_WISM-20_V380 (1).JPG | Vondstnummer 380 |
| 2020I174 | 2020I174_WISM-20_V380 (2).JPG | Vondstnummer 380 |
| 2020I174 | 2020I174_WISM-20_V380 (3).JPG | Vondstnummer 380 |

| Projectcode | Bestand | Onderwerp |
|---|---|---|
| 2020I174 | 2020I174_WISM-20_V381 (1).JPG | Vondstnummer 381 |
| 2020I174 | 2020I174_WISM-20_V381 (2).JPG | Vondstnummer 381 |
| 2020I174 | 2020I174_WISM-20_V383 (1).JPG | Vondstnummer 383 |
| 2020I174 | 2020I174_WISM-20_V383 (2).JPG | Vondstnummer 383 |
| 2020I174 | 2020I174_WISM-20_V383 (3).JPG | Vondstnummer 383 |
| 2020I174 | 2020I174_WISM-20_V385 (1).JPG | Vondstnummer 385 |
| 2020I174 | 2020I174_WISM-20_V385 (2).JPG | Vondstnummer 385 |
| 2020I174 | 2020I174_WISM-20_V385 (3).JPG | Vondstnummer 385 |
| 2020I174 | 2020I174_WISM-20_V385 (4).JPG | Vondstnummer 385 |
| 2020I174 | 2020I174_WISM-20_V386 (1).JPG | Vondstnummer 386 |
| 2020I174 | 2020I174_WISM-20_V386 (2).JPG | Vondstnummer 386 |
| 2020I174 | 2020I174_WISM-20_V386 (3).JPG | Vondstnummer 386 |
| 2020I174 | 2020I174_WISM-20_V386 (4).JPG | Vondstnummer 386 |
| 2020I174 | 2020I174_WISM-20_V387 (1).JPG | Vondstnummer 387 |
| 2020I174 | 2020I174_WISM-20_V387 (2).JPG | Vondstnummer 387 |
| 2020I174 | 2020I174_WISM-20_V387 (3).JPG | Vondstnummer 387 |
| 2020I174 | 2020I174_WISM-20_V388 (1).JPG | Vondstnummer 388 |
| 2020I174 | 2020I174_WISM-20_V388 (2).JPG | Vondstnummer 388 |
| 2020I174 | 2020I174_WISM-20_V388 (3).JPG | Vondstnummer 388 |
| 2020I174 | 2020I174_WISM-20_V388 (4).JPG | Vondstnummer 388 |
| 2020I174 | 2020I174_WISM-20_V392 (1).JPG | Vondstnummer 392 |
| 2020I174 | 2020I174_WISM-20_V392 (2).JPG | Vondstnummer 392 |
| 2020I174 | 2020I174_WISM-20_V392 (3).JPG | Vondstnummer 392 |
| 2020I174 | 2020I174_WISM-20_V393 (1).JPG | Vondstnummer 393 |
| 2020I174 | 2020I174_WISM-20_V393 (2).JPG | Vondstnummer 393 |
| 2020I174 | 2020I174_WISM-20_V393 (3).JPG | Vondstnummer 393 |
| 2020I174 | 2020I174_WISM-20_V394 (1).JPG | Vondstnummer 394 |
| 2020I174 | 2020I174_WISM-20_V394 (2).JPG | Vondstnummer 394 |
| 2020I174 | 2020I174_WISM-20_V394 (3).JPG | Vondstnummer 394 |
| 2020I174 | 2020I174_WISM-20_V394 (4).JPG | Vondstnummer 394 |
| 2020I174 | 2020I174_WISM-20_V395 (1).JPG | Vondstnummer 395 |
| 2020I174 | 2020I174_WISM-20_V395 (2).JPG | Vondstnummer 395 |
| 2020I174 | 2020I174_WISM-20_V395 (3).JPG | Vondstnummer 395 |
| 2020I174 | 2020I174_WISM-20_V396 (1).JPG | Vondstnummer 396 |
| 2020I174 | 2020I174_WISM-20_V396 (2).JPG | Vondstnummer 396 |
| 2020I174 | 2020I174_WISM-20_V397 (1).JPG | Vondstnummer 397 |
| 2020I174 | 2020I174_WISM-20_V397 (2).JPG | Vondstnummer 397 |
| 2020I174 | 2020I174_WISM-20_V399 (1).JPG | Vondstnummer 399 |
| 2020I174 | 2020I174_WISM-20_V399 (2).JPG | Vondstnummer 399 |
| 2020I174 | 2020I174_WISM-20_V401 (1).JPG | Vondstnummer 401 |
| 2020I174 | 2020I174_WISM-20_V401 (2).JPG | Vondstnummer 401 |
| 2020I174 | 2020I174_WISM-20_V401.JPG | Vondstnummer 401 |
| 2020I174 | 2020I174_WISM-20_V402 (1).JPG | Vondstnummer 402 |
| 2020I174 | 2020I174_WISM-20_V402 (2).JPG | Vondstnummer 402 |
| 2020I174 | 2020I174_WISM-20_V403 (1).JPG | Vondstnummer 403 |
| 2020I174 | 2020I174_WISM-20_V403 (2).JPG | Vondstnummer 403 |
| 2020I174 | 2020I174_WISM-20_V403 (3).JPG | Vondstnummer 403 |
| 2020I174 | 2020I174_WISM-20_V404 (2).JPG | Vondstnummer 404 |
| 2020I174 | 2020I174_WISM-20_V404 (3).JPG | Vondstnummer 404 |
| 2020I174 | 2020I174_WISM-20_V405 (1).JPG | Vondstnummer 405 |
| 2020I174 | 2020I174_WISM-20_V405 (2).JPG | Vondstnummer 405 |
| 2020I174 | 2020I174_WISM-20_V405 (3).JPG | Vondstnummer 405 |
| 2020I174 | 2020I174_WISM-20_V405 (4).JPG | Vondstnummer 405 |
| 2020I174 | 2020I174_WISM-20_V406 (1).JPG | Vondstnummer 406 |
| 2020I174 | 2020I174_WISM-20_V406 (2).JPG | Vondstnummer 406 |

| Projectcode | Bestand | Onderwerp |
|---|---|---|
| 2020I174 | 2020I174_WISM-20_V406 (3).JPG | Vondstnummer 406 |
| 2020I174 | 2020I174_WISM-20_V406 (4).JPG | Vondstnummer 406 |
| 2020I174 | 2020I174_WISM-20_V406 (5).JPG | Vondstnummer 406 |
| 2020I174 | 2020I174_WISM-20_V406 (6).JPG | Vondstnummer 406 |
| 2020I174 | 2020I174_WISM-20_V407 (1).JPG | Vondstnummer 407 |
| 2020I174 | 2020I174_WISM-20_V407 (2).JPG | Vondstnummer 407 |
| 2020I174 | 2020I174_WISM-20_V408 (1).JPG | Vondstnummer 408 |
| 2020I174 | 2020I174_WISM-20_V408 (2).JPG | Vondstnummer 408 |
| 2020I174 | 2020I174_WISM-20_V408 (3).JPG | Vondstnummer 408 |
| 2020I174 | 2020I174_WISM-20_V410 (1).JPG | Vondstnummer 410 |
| 2020I174 | 2020I174_WISM-20_V410 (2).JPG | Vondstnummer 410 |
| 2020I174 | 2020I174_WISM-20_V410 (3).JPG | Vondstnummer 410 |
| 2020I174 | 2020I174_WISM-20_V410 (4).JPG | Vondstnummer 410 |
| 2020I174 | 2020I174_WISM-20_V413 (1).JPG | Vondstnummer 413 |
| 2020I174 | 2020I174_WISM-20_V413 (2).JPG | Vondstnummer 413 |
| 2020I174 | 2020I174_WISM-20_V413 (3).JPG | Vondstnummer 413 |
| 2020I174 | 2020I174_WISM-20_V413 (4).JPG | Vondstnummer 413 |
| 2020I174 | 2020I174_WISM-20_V415 (1).JPG | Vondstnummer 415 |
| 2020I174 | 2020I174_WISM-20_V415 (2).JPG | Vondstnummer 415 |
| 2020I174 | 2020I174_WISM-20_V415 (3).JPG | Vondstnummer 415 |
| 2020I174 | 2020I174_WISM-20_V416 (1).JPG | Vondstnummer 416 |
| 2020I174 | 2020I174_WISM-20_V416 (2).JPG | Vondstnummer 416 |
| 2020I174 | 2020I174_WISM-20_V416 (3).JPG | Vondstnummer 416 |
| 2020I174 | 2020I174_WISM-20_V417 (1).JPG | Vondstnummer 417 |
| 2020I174 | 2020I174_WISM-20_V417 (2).JPG | Vondstnummer 417 |
| 2020I174 | 2020I174_WISM-20_V417 (3).JPG | Vondstnummer 417 |
| 2020I174 | 2020I174_WISM-20_V418 (1).JPG | Vondstnummer 418 |
| 2020I174 | 2020I174_WISM-20_V418 (2).JPG | Vondstnummer 418 |
| 2020I174 | 2020I174_WISM-20_V418 (3).JPG | Vondstnummer 418 |
| 2020I174 | 2020I174_WISM-20_V419 (1).JPG | Vondstnummer 419 |
| 2020I174 | 2020I174_WISM-20_V419 (2).JPG | Vondstnummer 419 |
| 2020I174 | 2020I174_WISM-20_V419 (3).JPG | Vondstnummer 419 |
| 2020I174 | 2020I174_WISM-20_V422 (1).JPG | Vondstnummer 422 |
| 2020I174 | 2020I174_WISM-20_V422 (2).JPG | Vondstnummer 422 |
| 2020I174 | 2020I174_WISM-20_V422 (3).JPG | Vondstnummer 422 |
| 2020I174 | 2020I174_WISM-20_V422 (4).JPG | Vondstnummer 422 |
| 2020I174 | 2020I174_WISM-20_V423 (1).JPG | Vondstnummer 423 |
| 2020I174 | 2020I174_WISM-20_V423 (2).JPG | Vondstnummer 423 |
| 2020I174 | 2020I174_WISM-20_V423 (3).JPG | Vondstnummer 423 |
| 2020I174 | 2020I174_WISM-20_V433 (1).JPG | Vondstnummer 433 |
| 2020I174 | 2020I174_WISM-20_V433 (2).JPG | Vondstnummer 433 |
| 2020I174 | 2020I174_WISM-20_V443 (1).JPG | Vondstnummer 443 |
| 2020I174 | 2020I174_WISM-20_V443 (2).JPG | Vondstnummer 443 |
| 2020I174 | 2020I174_WISM-20_V443 (3).JPG | Vondstnummer 443 |
| 2020I174 | 2020I174_WISM-20_V451 (1).JPG | Vondstnummer 451 |
| 2020I174 | 2020I174_WISM-20_V451 (2).JPG | Vondstnummer 451 |
| 2020I174 | 2020I174_WISM-20_V451 (3).JPG | Vondstnummer 451 |
| 2020I174 | 2020I174_WISM-20_V453 (1).JPG | Vondstnummer 453 |
| 2020I174 | 2020I174_WISM-20_V453 (2).JPG | Vondstnummer 453 |
| 2020I174 | 2020I174_WISM-20_V454 (1).JPG | Vondstnummer 454 |
| 2020I174 | 2020I174_WISM-20_V454 (2).JPG | Vondstnummer 454 |
| 2020I174 | 2020I174_WISM-20_V454 (3).JPG | Vondstnummer 454 |
| 2020I174 | 2020I174_WISM-20_V455 (1).JPG | Vondstnummer 455 |
| 2020I174 | 2020I174_WISM-20_V455 (2).JPG | Vondstnummer 455 |
| 2020I174 | 2020I174_WISM-20_V455 (3).JPG | Vondstnummer 455 |

| Projectcode | Bestand | Onderwerp |
|---|---|---|
| 2020I174 | 2020I174_WISM-20_V458 (1).JPG | Vondstnummer 458 |
| 2020I174 | 2020I174_WISM-20_V458 (2).JPG | Vondstnummer 458 |
| 2020I174 | 2020I174_WISM-20_V462 (1).JPG | Vondstnummer 462 |
| 2020I174 | 2020I174_WISM-20_V462 (2).JPG | Vondstnummer 462 |
| 2020I174 | 2020I174_WISM-20_V465 (1).JPG | Vondstnummer 465 |
| 2020I174 | 2020I174_WISM-20_V465 (2).JPG | Vondstnummer 465 |
| 2020I174 | 2020I174_WISM-20_V466 (1).JPG | Vondstnummer 466 |
| 2020I174 | 2020I174_WISM-20_V466 (2).JPG | Vondstnummer 466 |
| 2020I174 | 2020I174_WISM-20_V466 (3).JPG | Vondstnummer 466 |
| 2020I174 | 2020I174_WISM-20_V467 (1).JPG | Vondstnummer 467 |
| 2020I174 | 2020I174_WISM-20_V467 (2).JPG | Vondstnummer 467 |
| 2020I174 | 2020I174_WISM-20_V467 (3).JPG | Vondstnummer 467 |
| 2020I174 | 2020I174_WISM-20_V467 (4).JPG | Vondstnummer 467 |
| 2020I174 | 2020I174_WISM-20_V468 (1).JPG | Vondstnummer 468 |
| 2020I174 | 2020I174_WISM-20_V468 (2).JPG | Vondstnummer 468 |
| 2020I174 | 2020I174_WISM-20_V468 (3).JPG | Vondstnummer 468 |
| 2020I174 | 2020I174_WISM-20_V468 (4).JPG | Vondstnummer 468 |
| 2020I174 | 2020I174_WISM-20_V468 (5).JPG | Vondstnummer 468 |
| 2020I174 | 2020I174_WISM-20_V468 (6).JPG | Vondstnummer 468 |
| 2020I174 | 2020I174_WISM-20_V473 (1).JPG | Vondstnummer 473 |
| 2020I174 | 2020I174_WISM-20_V473 (2).JPG | Vondstnummer 473 |
| 2020I174 | 2020I174_WISM-20_V474 (1).JPG | Vondstnummer 474 |
| 2020I174 | 2020I174_WISM-20_V474 (2).JPG | Vondstnummer 474 |
| 2020I174 | 2020I174_WISM-20_V474.JPG | Vondstnummer 474 |
| 2020I174 | 2020I174_WISM-20_V476 (1).JPG | Vondstnummer 476 |
| 2020I174 | 2020I174_WISM-20_V476 (1)1.JPG | Vondstnummer 476 |
| 2020I174 | 2020I174_WISM-20_V476 (2).JPG | Vondstnummer 476 |
| 2020I174 | 2020I174_WISM-20_V476 (2)1.JPG | Vondstnummer 476 |
| 2020I174 | 2020I174_WISM-20_V476 (3).JPG | Vondstnummer 476 |
| 2020I174 | 2020I174_WISM-20_V476 (3)1.JPG | Vondstnummer 476 |
| 2020I174 | 2020I174_WISM-20_V476 (4).JPG | Vondstnummer 476 |
| 2020I174 | 2020I174_WISM-20_V476 (5).JPG | Vondstnummer 476 |
| 2020I174 | 2020I174_WISM-20_V476 (6).JPG | Vondstnummer 476 |
| 2020I174 | 2020I174_WISM-20_V476 (7).JPG | Vondstnummer 476 |
| 2020I174 | 2020I174_WISM-20_V477 (1).JPG | Vondstnummer 477 |
| 2020I174 | 2020I174_WISM-20_V477 (2).JPG | Vondstnummer 477 |
| 2020I174 | 2020I174_WISM-20_V478 (1).JPG | Vondstnummer 478 |
| 2020I174 | 2020I174_WISM-20_V478 (2).JPG | Vondstnummer 478 |
| 2020I174 | 2020I174_WISM-20_V479 (1).JPG | Vondstnummer 479 |
| 2020I174 | 2020I174_WISM-20_V479 (2).JPG | Vondstnummer 479 |
| 2020I174 | 2020I174_WISM-20_V480 (1).JPG | Vondstnummer 480 |
| 2020I174 | 2020I174_WISM-20_V480 (2).JPG | Vondstnummer 480 |
| 2020I174 | 2020I174_WISM-20_V480 (3).JPG | Vondstnummer 480 |
| 2020I174 | 2020I174_WISM-20_V484 (1).JPG | Vondstnummer 484 |
| 2020I174 | 2020I174_WISM-20_V484 (2).JPG | Vondstnummer 484 |
| 2020I174 | 2020I174_WISM-20_V484 (3).JPG | Vondstnummer 484 |
| 2020I174 | 2020I174_WISM-20_V484 (4).JPG | Vondstnummer 484 |
| 2020I174 | 2020I174_WISM-20_V486 (1).JPG | Vondstnummer 486 |
| 2020I174 | 2020I174_WISM-20_V486 (2).JPG | Vondstnummer 486 |
| 2020I174 | 2020I174_WISM-20_V486 (3).JPG | Vondstnummer 486 |
| 2020I174 | 2020I174_WISM-20_V487 (1).JPG | Vondstnummer 487 |
| 2020I174 | 2020I174_WISM-20_V487 (2).JPG | Vondstnummer 487 |
| 2020I174 | 2020I174_WISM-20_V488 (1).JPG | Vondstnummer 488 |
| 2020I174 | 2020I174_WISM-20_V488 (2).JPG | Vondstnummer 488 |
| 2020I174 | 2020I174_WISM-20_V488 (3).JPG | Vondstnummer 488 |

| Projectcode | Bestand | Onderwerp |
|---|---|---|
| 2020I174 | 2020I174_WISM-20_V488 (4).JPG | Vondstnummer 488 |
| 2020I174 | 2020I174_WISM-20_V490 (1).JPG | Vondstnummer 490 |
| 2020I174 | 2020I174_WISM-20_V490 (2).JPG | Vondstnummer 490 |
| 2020I174 | 2020I174_WISM-20_V491 (1).JPG | Vondstnummer 491 |
| 2020I174 | 2020I174_WISM-20_V491 (2).JPG | Vondstnummer 491 |
| 2020I174 | 2020I174_WISM-20_V493 (1).JPG | Vondstnummer 493 |
| 2020I174 | 2020I174_WISM-20_V493 (2).JPG | Vondstnummer 493 |
| 2020I174 | 2020I174_WISM-20_V493 (3).JPG | Vondstnummer 493 |
| 2020I174 | 2020I174_WISM-20_V494 (1).JPG | Vondstnummer 494 |
| 2020I174 | 2020I174_WISM-20_V494 (2).JPG | Vondstnummer 494 |
| 2020I174 | 2020I174_WISM-20_V500 (1).JPG | Vondstnummer 500 |
| 2020I174 | 2020I174_WISM-20_V500 (2).JPG | Vondstnummer 500 |
| 2020I174 | 2020I174_WISM-20_V505 (1).JPG | Vondstnummer 505 |
| 2020I174 | 2020I174_WISM-20_V505 (2).JPG | Vondstnummer 505 |
| 2020I174 | 2020I174_WISM-20_V505 (3).JPG | Vondstnummer 505 |
| 2020I174 | 2020I174_WISM-20_V506 (1).JPG | Vondstnummer 506 |
| 2020I174 | 2020I174_WISM-20_V506 (2).JPG | Vondstnummer 506 |
| 2020I174 | 2020I174_WISM-20_V506 (3).JPG | Vondstnummer 506 |
| 2020I174 | 2020I174_WISM-20_V510 (1).JPG | Vondstnummer 510 |
| 2020I174 | 2020I174_WISM-20_V510 (2).JPG | Vondstnummer 510 |
| 2020I174 | 2020I174_WISM-20_V510 (3).JPG | Vondstnummer 510 |
| 2020I174 | 2020I174_WISM-20_V511 (1).JPG | Vondstnummer 511 |
| 2020I174 | 2020I174_WISM-20_V511 (3).JPG | Vondstnummer 511 |
| 2020I174 | 2020I174_WISM-20_V511 (4).JPG | Vondstnummer 511 |
| 2020I174 | 2020I174_WISM-20_V515 (1).JPG | Vondstnummer 515 |
| 2020I174 | 2020I174_WISM-20_V515 (2).JPG | Vondstnummer 515 |
| 2020I174 | 2020I174_WISM-20_V515 (3).JPG | Vondstnummer 515 |
| 2020I174 | 2020I174_WISM-20_V516 (1).JPG | Vondstnummer 516 |
| 2020I174 | 2020I174_WISM-20_V516 (2).JPG | Vondstnummer 516 |
| 2020I174 | 2020I174_WISM-20_V517 (1).JPG | Vondstnummer 517 |
| 2020I174 | 2020I174_WISM-20_V517 (2).JPG | Vondstnummer 517 |
| 2020I174 | 2020I174_WISM-20_V519 (1).JPG | Vondstnummer 519 |
| 2020I174 | 2020I174_WISM-20_V519 (2).JPG | Vondstnummer 519 |
| 2020I174 | 2020I174_WISM-20_V519 (3).JPG | Vondstnummer 519 |
| 2020I174 | 2020I174_WISM-20_V519 (4).JPG | Vondstnummer 519 |
| 2020I174 | 2020I174_WISM-20_V519 (5).JPG | Vondstnummer 519 |
| 2020I174 | 2020I174_WISM-20_V523 (1).JPG | Vondstnummer 523 |
| 2020I174 | 2020I174_WISM-20_V523 (2).JPG | Vondstnummer 523 |
| 2020I174 | 2020I174_WISM-20_V523 (3).JPG | Vondstnummer 523 |
| 2020I174 | 2020I174_WISM-20_V529 (1).JPG | Vondstnummer 529 |
| 2020I174 | 2020I174_WISM-20_V529 (2).JPG | Vondstnummer 529 |
| 2020I174 | 2020I174_WISM-20_V532 (1).JPG | Vondstnummer 532 |
| 2020I174 | 2020I174_WISM-20_V532 (2).JPG | Vondstnummer 532 |

2020I174_WISM-20_V005 (1).JPG

2020I174_WISM-20_V005 (2).JPG

2020I174_WISM-20_V005 (3).JPG

2020I174_WISM-20_V005 (4).JPG

2020I174_WISM-20_V007 (1).JPG

2020I174_WISM-20_V007 (1)1.JPG

2020I174_WISM-20_V007 (2).JPG

2020I174_WISM-20_V007 (2)1.JPG

2020I174_WISM-20_V007 (3).JPG

2020I174_WISM-20_V007 (3)1.JPG

2020I174_WISM-20_V008 (1).JPG

2020I174_WISM-20_V008 (2).JPG

2020I174_WISM-20_V008 (3).JPG

2020I174_WISM-20_V15 (1).JPG

2020I174_WISM-20_V15 (2).JPG

2020I174_WISM-20_V15 (3).JPG

2020I174_WISM-20_V19 (1).JPG

2020I174_WISM-20_V19 (2).JPG

2020I174_WISM-20_V19 (3).JPG

2020I174_WISM-20_V29 (1).JPG

2020I174_WISM-20_V29 (2).JPG

2020I174_WISM-20_V29 (3).JPG

2020I174_WISM-20_V30 (1).JPG

2020I174_WISM-20_V30 (2).JPG

2020I174_WISM-20_V30 (3).JPG

2020I174_WISM-20_V30 (4).JPG

2020I174_WISM-20_V31 (1).JPG

2020I174_WISM-20_V31 (2).JPG

2020I174_WISM-20_V32 (1).JPG

2020I174_WISM-20_V32 (2).JPG

2020I174_WISM-20_V32 (3).JPG

2020I174_WISM-20_V33 (1).JPG

2020I174_WISM-20_V33 (2).JPG

2020I174_WISM-20_V33 (3).JPG

2020I174_WISM-20_V36 (1).JPG

2020I174_WISM-20_V36 (2).JPG

2020I174_WISM-20_V36 (3).JPG

2020I174_WISM-20_V40 (1).JPG

2020I174_WISM-20_V40 (2).JPG

2020I174_WISM-20_V40 (3).JPG

2020I174_WISM-20_V40 (4).JPG

2020I174_WISM-20_V41 (1).JPG

2020I174_WISM-20_V41 (2).JPG

2020I174_WISM-20_V41 (3).JPG

2020I174_WISM-20_V41 (4).JPG

2020I174_WISM-20_V41 (5).JPG

2020I174_WISM-20_V41 (6).JPG

2020I174_WISM-20_V42 (1).JPG

2020I174_WISM-20_V42 (1)1.JPG

2020I174_WISM-20_V42 (2).JPG

2020I174_WISM-20_V42 (2)1.JPG

2020I174_WISM-20_V42 (2)2.JPG

2020I174_WISM-20_V42 (3).JPG

2020I174_WISM-20_V42 (3)1.JPG

2020I174_WISM-20_V42 (3)2.JPG

2020I174_WISM-20_V42 (4).JPG

2020I174_WISM-20_V42 (4)1.JPG

2020I174_WISM-20_V42 (5).JPG

2020I174_WISM-20_V42 (6).JPG

2020I174_WISM-20_V43 (1).JPG

2020I174_WISM-20_V43 (2).JPG

2020I174_WISM-20_V43 (3).JPG

2020I174_WISM-20_V44 (1).JPG

2020I174_WISM-20_V44 (2).JPG

2020I174_WISM-20_V44 (3).JPG

2020I174_WISM-20_V45 (1).JPG

2020I174_WISM-20_V45 (2).JPG

2020I174_WISM-20_V49 (1).JPG

2020I174_WISM-20_V49 (2).JPG

2020I174_WISM-20_V49 (3).JPG

2020I174_WISM-20_V50 (1).JPG

2020I174_WISM-20_V50 (2).JPG

2020I174_WISM-20_V50 (3).JPG

2020I174_WISM-20_V50 (4).JPG

2020I174_WISM-20_V51 (1).JPG

2020I174_WISM-20_V51 (2).JPG

2020I174_WISM-20_V51 (3).JPG

2020I174_WISM-20_V51 (4).JPG

2020I174_WISM-20_V51 (5).JPG

2020I174_WISM-20_V52 (1).JPG

2020I174_WISM-20_V52 (2).JPG

2020I174_WISM-20_V53 (1).JPG

2020I174_WISM-20_V53 (2).JPG

2020I174_WISM-20_V55 (1).JPG

2020I174_WISM-20_V55 (2).JPG

2020I174_WISM-20_V56 (1).JPG

2020I174_WISM-20_V56 (2).JPG

2020I174_WISM-20_V60 (1).JPG

2020I174_WISM-20_V60 (2).JPG

2020I174_WISM-20_V60 (3).JPG

2020I174_WISM-20_V62 (1).JPG

2020I174_WISM-20_V62 (2).JPG

2020I174_WISM-20_V62 (3).JPG

2020I174_WISM-20_V62 (4).JPG

2020I174_WISM-20_V62 (5).JPG

2020I174_WISM-20_V70 (1).JPG

2020I174_WISM-20_V70 (2).JPG

2020I174_WISM-20_V73 (1).JPG

2020I174_WISM-20_V73 (2).JPG

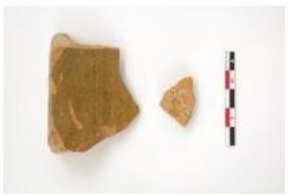

2020I174_WISM-20_V73 (3).JPG

2020I174_WISM-20_V74 (1).JPG

2020I174_WISM-20_V74 (2).JPG

2020I174_WISM-20_V74 (3).JPG

2020I174_WISM-20_V76 (1).JPG

2020I174_WISM-20_V76 (2).JPG

2020I174_WISM-20_V76 (3).JPG

2020I174_WISM-20_V80 (1).JPG

2020I174_WISM-20_V80 (2).JPG

2020I174_WISM-20_V80 (3).JPG

2020I174_WISM-20_V83 (1).JPG

2020I174_WISM-20_V83 (2).JPG

2020I174_WISM-20_V86 (1).JPG

2020I174_WISM-20_V86 (2).JPG

2020I174_WISM-20_V86 (3).JPG

2020I174_WISM-20_V86 (4).JPG

2020I174_WISM-20_V87 (1).JPG

2020I174_WISM-20_V87 (2).JPG

2020I174_WISM-20_V87 (3).JPG

2020I174_WISM-20_V88 (1).JPG

2020I174_WISM-20_V88 (2).JPG

2020I174_WISM-20_V88 (3).JPG

2020I174_WISM-20_V89 (1).JPG

2020I174_WISM-20_V89 (2).JPG

2020I174_WISM-20_V89 (3).JPG

2020I174_WISM-20_V90 (1).JPG

2020I174_WISM-20_V90 (2).JPG

2020I174_WISM-20_V91 (1).JPG

2020I174_WISM-20_V91 (2).JPG

2020I174_WISM-20_V91 (3).JPG

2020I174_WISM-20_V95 (1).JPG

2020I174_WISM-20_V95 (2).JPG

2020I174_WISM-20_V95 (3).JPG

2020I174_WISM-20_V96 (1).JPG

2020I174_WISM-20_V96 (2).JPG

2020I174_WISM-20_V96 (3).JPG

2020I174_WISM-20_V96 (4).JPG

2020I174_WISM-20_V96 (5).JPG

2020I174_WISM-20_V96 (6).JPG

2020I174_WISM-20_V97 (1).JPG

2020I174_WISM-20_V97 (2).JPG

2020I174_WISM-20_V97 (3).JPG

2020I174_WISM-20_V101 (1).JPG

2020I174_WISM-20_V101 (2).JPG

2020I174_WISM-20_V105 (1).JPG

2020I174_WISM-20_V105 (2).JPG

2020I174_WISM-20_V107 (1).JPG

2020I174_WISM-20_V107 (2).JPG

2020I174_WISM-20_V107 (3).JPG

2020I174_WISM-20_V108 (1).JPG

2020I174_WISM-20_V108 (2).JPG

2020I174_WISM-20_V108 (3).JPG

2020I174_WISM-20_V112 (1).JPG

2020I174_WISM-20_V112 (2).JPG

2020I174_WISM-20_V113 (1).JPG

2020I174_WISM-20_V113 (2).JPG

2020I174_WISM-20_V113 (3).JPG

2020I174_WISM-20_V117 (1).JPG

2020I174_WISM-20_V117 (2).JPG

2020I174_WISM-20_V119 (1).JPG

2020I174_WISM-20_V119 (2).JPG

2020I174_WISM-20_V119 (3).JPG

2020I174_WISM-20_V120 (1).JPG

2020I174_WISM-20_V120 (2).JPG

2020I174_WISM-20_V125 (1).JPG

2020I174_WISM-20_V125 (2).JPG

2020I174_WISM-20_V126 (1).JPG

2020I174_WISM-20_V126 (2).JPG

2020I174_WISM-20_V126 (3).JPG

2020I174_WISM-20_V127 (1).JPG

2020I174_WISM-20_V127 (2).JPG

2020I174_WISM-20_V127 (3).JPG

2020I174_WISM-20_V127 (4).JPG

2020I174_WISM-20_V128 (1).JPG

2020I174_WISM-20_V128 (2).JPG

2020I174_WISM-20_V129 (1).JPG

2020I174_WISM-20_V129 (2).JPG

2020I174_WISM-20_V129 (3).JPG

2020I174_WISM-20_V132 (1).JPG

2020I174_WISM-20_V132 (2).JPG

2020I174_WISM-20_V137 (1).JPG

2020I174_WISM-20_V137 (2).JPG

2020I174_WISM-20_V143 (1).JPG

2020I174_WISM-20_V143 (1)1.JPG

2020I174_WISM-20_V143 (2).JPG

2020I174_WISM-20_V143 (2)1.JPG

2020I174_WISM-20_V143 (3).JPG

2020I174_WISM-20_V143 (4).JPG

2020I174_WISM-20_V143 (5).JPG

2020I174_WISM-20_V147 (1).JPG

2020I174_WISM-20_V147 (2).JPG

2020I174_WISM-20_V152 (1).JPG

2020I174_WISM-20_V152 (2).JPG

2020I174_WISM-20_V153 (1).JPG

2020I174_WISM-20_V153 (2).JPG

2020I174_WISM-20_V156 (1).JPG

2020I174_WISM-20_V156 (2).JPG

2020I174_WISM-20_V157 (1).JPG

2020I174_WISM-20_V157 (2).JPG

2020I174_WISM-20_V158 (1).JPG

2020I174_WISM-20_V158 (2).JPG

2020I174_WISM-20_V158 (3).JPG

2020I174_WISM-20_V159 (1).JPG

2020I174_WISM-20_V159 (2).JPG

2020I174_WISM-20_V162 (1).JPG

2020I174_WISM-20_V162 (2).JPG

2020I174_WISM-20_V162 (3).JPG

2020I174_WISM-20_V164 (1).JPG

2020I174_WISM-20_V164 (2).JPG

2020I174_WISM-20_V164 (3).JPG

2020I174_WISM-20_V168 (1).JPG

2020I174_WISM-20_V168 (2).JPG

2020I174_WISM-20_V168 (3).JPG

2020I174_WISM-20_V177 (1).JPG

2020I174_WISM-20_V177 (2).JPG

2020I174_WISM-20_V178 (1).JPG

2020I174_WISM-20_V178 (2).JPG

2020I174_WISM-20_V180 (1).JPG

2020I174_WISM-20_V180 (2).JPG

2020I174_WISM-20_V181 (1).JPG

2020I174_WISM-20_V181 (2).JPG

2020I174_WISM-20_V183 (1).JPG

2020I174_WISM-20_V183 (2).JPG

2020I174_WISM-20_V184 (1).JPG

2020I174_WISM-20_V184 (2).JPG

2020I174_WISM-20_V184 (3).JPG

2020I174_WISM-20_V188 (1).JPG

2020I174_WISM-20_V188 (2).JPG

2020I174_WISM-20_V195 (1).JPG

2020I174_WISM-20_V195 (2).JPG

2020I174_WISM-20_V196 (1).JPG

2020I174_WISM-20_V196 (2).JPG

2020I174_WISM-20_V196 (3).JPG

2020I174_WISM-20_V198 (1).JPG

2020I174_WISM-20_V198 (2).JPG

2020I174_WISM-20_V198 (3).JPG

2020I174_WISM-20_V201 (1).JPG

2020I174_WISM-20_V201 (2).JPG

2020I174_WISM-20_V202 (1).JPG

2020I174_WISM-20_V202 (2).JPG

2020I174_WISM-20_V203 (1).JPG

2020I174_WISM-20_V203 (2).JPG

2020I174_WISM-20_V203 (3).JPG

2020I174_WISM-20_V205 (1).JPG

2020I174_WISM-20_V205 (2).JPG

2020I174_WISM-20_V205 (3).JPG

2020I174_WISM-20_V207 (1).JPG

2020I174_WISM-20_V207 (2).JPG

2020I174_WISM-20_V208 (1).JPG

2020I174_WISM-20_V208 (2).JPG

2020I174_WISM-20_V208 (3).JPG

2020I174_WISM-20_V209 (1).JPG

2020I174_WISM-20_V209 (2).JPG

2020I174_WISM-20_V209 (3).JPG

2020I174_WISM-20_V209 (4).JPG

2020I174_WISM-20_V210 (1).JPG

2020I174_WISM-20_V210 (2).JPG

2020I174_WISM-20_V210 (3).JPG

2020I174_WISM-20_V211 (1).JPG

2020I174_WISM-20_V211 (2).JPG

2020I174_WISM-20_V211 (3).JPG

2020I174_WISM-20_V212 (1).JPG

2020I174_WISM-20_V212 (2).JPG

2020I174_WISM-20_V212 (3).JPG

2020I174_WISM-20_V214 (1).JPG

2020I174_WISM-20_V214 (2).JPG

2020I174_WISM-20_V216 (1).JPG

2020I174_WISM-20_V216 (2).JPG

2020I174_WISM-20_V217 (1).JPG

2020I174_WISM-20_V217 (2).JPG

2020I174_WISM-20_V217 (3).JPG

2020I174_WISM-20_V218 (1).JPG

2020I174_WISM-20_V218 (2).JPG

2020I174_WISM-20_V218 (3).JPG

2020I174_WISM-20_V218 (4).JPG

2020I174_WISM-20_V219 (1).JPG

2020I174_WISM-20_V219 (2).JPG

2020I174_WISM-20_V221 (1).JPG

2020I174_WISM-20_V221 (2).JPG

2020I174_WISM-20_V221 (3).JPG

2020I174_WISM-20_V222 (1).JPG

2020I174_WISM-20_V222 (2).JPG

2020I174_WISM-20_V222 (3).JPG

2020I174_WISM-20_V223 (1).JPG

2020I174_WISM-20_V223 (2).JPG

2020I174_WISM-20_V223 (3).JPG

2020I174_WISM-20_V225 (1).JPG

2020I174_WISM-20_V225 (2).JPG

2020I174_WISM-20_V226 (1).JPG

2020I174_WISM-20_V226 (2).JPG

2020I174_WISM-20_V226 (3).JPG

2020I174_WISM-20_V227 (1).JPG

2020I174_WISM-20_V227 (2).JPG

2020I174_WISM-20_V228 (1).JPG

2020I174_WISM-20_V228 (2).JPG

2020I174_WISM-20_V229 (1).JPG

2020I174_WISM-20_V229 (2).JPG

2020I174_WISM-20_V230 (1).JPG

2020I174_WISM-20_V230 (2).JPG

2020I174_WISM-20_V231 (1).JPG

2020I174_WISM-20_V231 (2).JPG

2020I174_WISM-20_V234 (1).JPG

2020I174_WISM-20_V234 (2).JPG

2020I174_WISM-20_V236 (1).JPG

2020I174_WISM-20_V236 (2).JPG

2020I174_WISM-20_V237 (1).JPG

2020I174_WISM-20_V237 (2).JPG

2020I174_WISM-20_V238 (1).JPG

2020I174_WISM-20_V238 (2).JPG

2020I174_WISM-20_V238 (3).JPG

2020I174_WISM-20_V239 (1).JPG

2020I174_WISM-20_V239 (2).JPG

2020I174_WISM-20_V239 (3).JPG

2020I174_WISM-20_V240 (1).JPG

2020I174_WISM-20_V240 (2).JPG

2020I174_WISM-20_V240 (3).JPG

2020I174_WISM-20_V246 (1).JPG

2020I174_WISM-20_V246 (2).JPG

2020I174_WISM-20_V246 (3).JPG

2020I174_WISM-20_V249 (1).JPG

2020I174_WISM-20_V249 (2).JPG

2020I174_WISM-20_V249 (3).JPG

2020I174_WISM-20_V250 (1).JPG

2020I174_WISM-20_V250 (2).JPG

2020I174_WISM-20_V250 (3).JPG

2020I174_WISM-20_V251 (1).JPG

2020I174_WISM-20_V251 (2).JPG

2020I174_WISM-20_V251 (3).JPG

2020I174_WISM-20_V251 (4).JPG

2020I174_WISM-20_V252 (1).JPG

2020I174_WISM-20_V252 (2).JPG

2020I174_WISM-20_V252 (3).JPG

2020I174_WISM-20_V252 (4).JPG

2020I174_WISM-20_V257 (1).JPG

2020I174_WISM-20_V257 (2).JPG

2020I174_WISM-20_V257 (3).JPG

2020I174_WISM-20_V257 (4).JPG

2020I174_WISM-20_V258 (1).JPG

2020I174_WISM-20_V258 (2).JPG

2020I174_WISM-20_V258 (3).JPG

2020I174_WISM-20_V259 (1).JPG

2020I174_WISM-20_V259 (2).JPG

2020I174_WISM-20_V263 (1).JPG

2020I174_WISM-20_V263 (2).JPG

2020I174_WISM-20_V263 (3).JPG

2020I174_WISM-20_V268 (1).JPG

2020I174_WISM-20_V268 (2).JPG

2020I174_WISM-20_V269 (1).JPG

2020I174_WISM-20_V269 (2).JPG

2020I174_WISM-20_V270 (1).JPG

2020I174_WISM-20_V270 (2).JPG

2020I174_WISM-20_V273 (1).JPG

2020I174_WISM-20_V273 (2).JPG

2020I174_WISM-20_V274 (1).JPG

2020I174_WISM-20_V274 (2).JPG

2020I174_WISM-20_V274 (3).JPG

2020I174_WISM-20_V275 (1).JPG

2020I174_WISM-20_V275 (2).JPG

2020I174_WISM-20_V279 (1).JPG

2020I174_WISM-20_V279 (2).JPG

2020I174_WISM-20_V290 (1).JPG

2020I174_WISM-20_V290 (2).JPG

2020I174_WISM-20_V302 (1).JPG

2020I174_WISM-20_V302 (2).JPG

2020I174_WISM-20_V304 (1).JPG

2020I174_WISM-20_V304 (2).JPG

2020I174_WISM-20_V304 (3).JPG

2020I174_WISM-20_V305 (1).JPG

2020I174_WISM-20_V305 (2).JPG

2020I174_WISM-20_V305 (3).JPG

2020I174_WISM-20_V306 (1).JPG

2020I174_WISM-20_V306 (2).JPG

2020I174_WISM-20_V308 (1).JPG

2020I174_WISM-20_V308 (2).JPG

2020I174_WISM-20_V308 (3).JPG

2020I174_WISM-20_V310 (1).JPG

2020I174_WISM-20_V310 (2).JPG

2020I174_WISM-20_V311 (1).JPG

2020I174_WISM-20_V311 (2).JPG

2020I174_WISM-20_V311 (3).JPG

2020I174_WISM-20_V312 (1).JPG

2020I174_WISM-20_V312 (2).JPG

2020I174_WISM-20_V312 (3).JPG

2020I174_WISM-20_V312 (4).JPG

2020I174_WISM-20_V313 (1).JPG

2020I174_WISM-20_V313 (2).JPG

2020I174_WISM-20_V313 (3).JPG

2020I174_WISM-20_V314 (1).JPG

2020I174_WISM-20_V314 (2).JPG

2020I174_WISM-20_V314 (3).JPG

2020I174_WISM-20_V319 (1).JPG

2020I174_WISM-20_V319 (2).JPG

2020I174_WISM-20_V321 (1).JPG

2020I174_WISM-20_V321 (2).JPG

2020I174_WISM-20_V321 (3).JPG

2020I174_WISM-20_V322 (1).JPG

2020I174_WISM-20_V322 (2).JPG

2020I174_WISM-20_V322 (3).JPG

2020I174_WISM-20_V322 (4).JPG

2020I174_WISM-20_V322 (5).JPG

2020I174_WISM-20_V322 (6).JPG

2020I174_WISM-20_V322 (7).JPG

2020I174_WISM-20_V323 (1).JPG

2020I174_WISM-20_V323 (2).JPG

2020I174_WISM-20_V324 (1).JPG

2020I174_WISM-20_V324 (2).JPG

2020I174_WISM-20_V324 (3).JPG

2020I174_WISM-20_V324 (4).JPG

2020I174_WISM-20_V325 (1).JPG

2020I174_WISM-20_V325 (2).JPG

2020I174_WISM-20_V325 (3).JPG

2020I174_WISM-20_V326 (1).JPG

2020I174_WISM-20_V326 (2).JPG

2020I174_WISM-20_V328 (1).JPG

2020I174_WISM-20_V328 (2).JPG

2020I174_WISM-20_V328 (3).JPG

2020I174_WISM-20_V330 (1).JPG

2020I174_WISM-20_V330 (2).JPG

2020I174_WISM-20_V330 (3).JPG

2020I174_WISM-20_V331 (1).JPG

2020I174_WISM-20_V331 (2).JPG

2020I174_WISM-20_V335 (1).JPG

2020I174_WISM-20_V335 (2).JPG

2020I174_WISM-20_V335 (3).JPG

2020I174_WISM-20_V338 (1).JPG

2020I174_WISM-20_V338 (2).JPG

2020I174_WISM-20_V342 (1).JPG

2020I174_WISM-20_V342 (2).JPG

2020I174_WISM-20_V342 (3).JPG

2020I174_WISM-20_V342 (4).JPG

2020I174_WISM-20_V343 (1).JPG

2020I174_WISM-20_V343 (2).JPG

2020I174_WISM-20_V343 (3).JPG

2020I174_WISM-20_V344 (1).JPG

2020I174_WISM-20_V344 (2).JPG

2020I174_WISM-20_V344 (3).JPG

2020I174_WISM-20_V347 (1).JPG

2020I174_WISM-20_V347 (2).JPG

2020I174_WISM-20_V347 (3).JPG

2020I174_WISM-20_V347 (4).JPG

2020I174_WISM-20_V350 (1).JPG

2020I174_WISM-20_V350 (2).JPG

2020I174_WISM-20_V350 (3).JPG

2020I174_WISM-20_V351 (1).JPG

2020I174_WISM-20_V351 (2).JPG

2020I174_WISM-20_V351 (3).JPG

2020I174_WISM-20_V351 (4).JPG

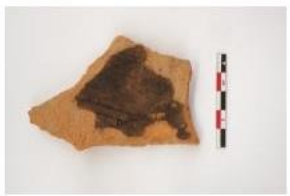

2020I174_WISM-20_V351 (5).JPG

2020I174_WISM-20_V352 (1).JPG

2020I174_WISM-20_V352 (2).JPG

2020I174_WISM-20_V352 (3).JPG

2020I174_WISM-20_V352 (4).JPG

2020I174_WISM-20_V352 (5).JPG

2020I174_WISM-20_V354 (1).JPG

2020I174_WISM-20_V354 (2).JPG

2020I174_WISM-20_V354 (3).JPG

2020I174_WISM-20_V354 (4).JPG

2020I174_WISM-20_V355 (1).JPG

2020I174_WISM-20_V355 (2).JPG

2020I174_WISM-20_V355 (3).JPG

2020I174_WISM-20_V360 (1).JPG

2020I174_WISM-20_V360 (2).JPG

2020I174_WISM-20_V360 (3).JPG

2020I174_WISM-20_V360 (4).JPG

2020I174_WISM-20_V360 (5).JPG

2020I174_WISM-20_V361 (1).JPG

2020I174_WISM-20_V361 (2).JPG

2020I174_WISM-20_V361 (3).JPG

2020I174_WISM-20_V364 (1).JPG

2020I174_WISM-20_V364 (2).JPG

2020I174_WISM-20_V364 (3).JPG

2020I174_WISM-20_V366 (1).JPG

2020I174_WISM-20_V366 (2).JPG

2020I174_WISM-20_V367 (1).JPG

2020I174_WISM-20_V367 (2).JPG

2020I174_WISM-20_V370 (1).JPG

2020I174_WISM-20_V370 (2).JPG

2020I174_WISM-20_V370 (3).JPG

2020I174_WISM-20_V376 (1).JPG

2020I174_WISM-20_V376 (2).JPG

2020I174_WISM-20_V376 (3).JPG

2020I174_WISM-20_V377 (1).JPG

2020I174_WISM-20_V377 (2).JPG

2020I174_WISM-20_V377 (3).JPG

2020I174_WISM-20_V377 (4).JPG

2020I174_WISM-20_V379 (1).JPG

2020I174_WISM-20_V379 (2).JPG

2020I174_WISM-20_V379 (3).JPG

2020I174_WISM-20_V380 (1).JPG

2020I174_WISM-20_V380 (2).JPG

2020I174_WISM-20_V380 (3).JPG

2020I174_WISM-20_V381 (1).JPG

2020I174_WISM-20_V381 (2).JPG

2020I174_WISM-20_V383 (1).JPG

2020I174_WISM-20_V383 (2).JPG

2020I174_WISM-20_V383 (3).JPG

2020I174_WISM-20_V385 (1).JPG

2020I174_WISM-20_V385 (2).JPG

2020I174_WISM-20_V385 (3).JPG

2020I174_WISM-20_V385 (4).JPG

2020I174_WISM-20_V386 (1).JPG

2020I174_WISM-20_V386 (2).JPG

2020I174_WISM-20_V386 (3).JPG

2020I174_WISM-20_V386 (4).JPG

2020I174_WISM-20_V387 (1).JPG

2020I174_WISM-20_V387 (2).JPG

2020I174_WISM-20_V387 (3).JPG

2020I174_WISM-20_V388 (1).JPG

2020I174_WISM-20_V388 (2).JPG

2020I174_WISM-20_V388 (3).JPG

2020I174_WISM-20_V388 (4).JPG

2020I174_WISM-20_V392 (1).JPG

2020I174_WISM-20_V392 (2).JPG

2020I174_WISM-20_V392 (3).JPG

2020I174_WISM-20_V393 (1).JPG

2020I174_WISM-20_V393 (2).JPG

2020I174_WISM-20_V393 (3).JPG

2020I174_WISM-20_V394 (1).JPG

2020I174_WISM-20_V394 (2).JPG

2020I174_WISM-20_V394 (3).JPG

2020I174_WISM-20_V394 (4).JPG

2020I174_WISM-20_V395 (1).JPG

2020I174_WISM-20_V395 (2).JPG

2020I174_WISM-20_V395 (3).JPG

2020I174_WISM-20_V396 (1).JPG

2020I174_WISM-20_V396 (2).JPG

2020I174_WISM-20_V397 (1).JPG

2020I174_WISM-20_V397 (2).JPG

2020I174_WISM-20_V399 (1).JPG

2020I174_WISM-20_V399 (2).JPG

2020I174_WISM-20_V401 (1).JPG

2020I174_WISM-20_V401 (2).JPG

2020I174_WISM-20_V401.JPG

2020I174_WISM-20_V402 (1).JPG

2020I174_WISM-20_V402 (2).JPG

2020I174_WISM-20_V403 (1).JPG

2020I174_WISM-20_V403 (2).JPG

2020I174_WISM-20_V403 (3).JPG

2020I174_WISM-20_V404 (2).JPG

2020I174_WISM-20_V404 (3).JPG

2020I174_WISM-20_V405 (1).JPG

2020I174_WISM-20_V405 (2).JPG

2020I174_WISM-20_V405 (3).JPG

2020I174_WISM-20_V405 (4).JPG

2020I174_WISM-20_V406 (1).JPG

2020I174_WISM-20_V406 (2).JPG

2020I174_WISM-20_V406 (3).JPG

2020I174_WISM-20_V406 (4).JPG

2020I174_WISM-20_V406 (5).JPG

2020I174_WISM-20_V406 (6).JPG

2020I174_WISM-20_V407 (1).JPG

2020I174_WISM-20_V407 (2).JPG

2020I174_WISM-20_V408 (1).JPG

2020I174_WISM-20_V408 (2).JPG

2020I174_WISM-20_V408 (3).JPG

2020I174_WISM-20_V410 (1).JPG

2020I174_WISM-20_V410 (2).JPG

2020I174_WISM-20_V410 (3).JPG

2020I174_WISM-20_V410 (4).JPG

2020I174_WISM-20_V413 (1).JPG

2020I174_WISM-20_V413 (2).JPG

2020I174_WISM-20_V413 (3).JPG

2020I174_WISM-20_V413 (4).JPG

2020I174_WISM-20_V415 (1).JPG

2020I174_WISM-20_V415 (2).JPG

2020I174_WISM-20_V415 (3).JPG

2020I174_WISM-20_V416 (1).JPG

2020I174_WISM-20_V416 (2).JPG

2020I174_WISM-20_V416 (3).JPG

2020I174_WISM-20_V417 (1).JPG

2020I174_WISM-20_V417 (2).JPG

2020I174_WISM-20_V417 (3).JPG

2020I174_WISM-20_V418 (1).JPG

2020I174_WISM-20_V418 (2).JPG

2020I174_WISM-20_V418 (3).JPG

2020I174_WISM-20_V419 (1).JPG

2020I174_WISM-20_V419 (2).JPG

2020I174_WISM-20_V419 (3).JPG

2020I174_WISM-20_V422 (1).JPG

2020I174_WISM-20_V422 (2).JPG

2020I174_WISM-20_V422 (3).JPG

2020I174_WISM-20_V422 (4).JPG

2020I174_WISM-20_V423 (1).JPG

2020I174_WISM-20_V423 (2).JPG

2020I174_WISM-20_V423 (3).JPG

2020I174_WISM-20_V433 (1).JPG

2020I174_WISM-20_V433 (2).JPG

2020I174_WISM-20_V443 (1).JPG

2020I174_WISM-20_V443 (2).JPG

2020I174_WISM-20_V443 (3).JPG

2020I174_WISM-20_V451 (1).JPG

2020I174_WISM-20_V451 (2).JPG

2020I174_WISM-20_V451 (3).JPG

2020I174_WISM-20_V453 (1).JPG

2020I174_WISM-20_V453 (2).JPG

2020I174_WISM-20_V454 (1).JPG

2020I174_WISM-20_V454 (2).JPG

2020I174_WISM-20_V454 (3).JPG

2020I174_WISM-20_V455 (1).JPG

2020I174_WISM-20_V455 (2).JPG

2020I174_WISM-20_V455 (3).JPG

2020I174_WISM-20_V458 (1).JPG

2020I174_WISM-20_V458 (2).JPG

2020I174_WISM-20_V462 (1).JPG

2020I174_WISM-20_V462 (2).JPG

2020I174_WISM-20_V465 (1).JPG

2020I174_WISM-20_V465 (2).JPG

2020I174_WISM-20_V466 (1).JPG

2020I174_WISM-20_V466 (2).JPG

2020I174_WISM-20_V466 (3).JPG

2020I174_WISM-20_V467 (1).JPG

2020I174_WISM-20_V467 (2).JPG

2020I174_WISM-20_V467 (3).JPG

2020I174_WISM-20_V467 (4).JPG

2020I174_WISM-20_V468 (1).JPG

2020I174_WISM-20_V468 (2).JPG

2020I174_WISM-20_V468 (3).JPG

2020I174_WISM-20_V468 (4).JPG

2020I174_WISM-20_V468 (5).JPG

2020I174_WISM-20_V468 (6).JPG

2020I174_WISM-20_V473 (1).JPG

2020I174_WISM-20_V473 (2).JPG

2020I174_WISM-20_V474 (1).JPG

2020I174_WISM-20_V474 (2).JPG

2020I174_WISM-20_V474.JPG

2020I174_WISM-20_V476 (1).JPG

2020I174_WISM-20_V476 (1)1.JPG

2020I174_WISM-20_V476 (2).JPG

2020I174_WISM-20_V476 (2)1.JPG

2020I174_WISM-20_V476 (3).JPG

2020I174_WISM-20_V476 (3)1.JPG

2020I174_WISM-20_V476 (4).JPG

2020I174_WISM-20_V476 (5).JPG

2020I174_WISM-20_V476 (6).JPG

2020I174_WISM-20_V476 (7).JPG

2020I174_WISM-20_V477 (1).JPG

2020I174_WISM-20_V477 (2).JPG

2020I174_WISM-20_V478 (1).JPG

2020I174_WISM-20_V478 (2).JPG

2020I174_WISM-20_V479 (1).JPG

2020I174_WISM-20_V479 (2).JPG

2020I174_WISM-20_V480 (1).JPG

2020I174_WISM-20_V480 (2).JPG

2020I174_WISM-20_V480 (3).JPG

2020I174_WISM-20_V484 (1).JPG

2020I174_WISM-20_V484 (2).JPG

2020I174_WISM-20_V484 (3).JPG

2020I174_WISM-20_V484 (4).JPG

2020I174_WISM-20_V486 (1).JPG

2020I174_WISM-20_V486 (2).JPG

2020I174_WISM-20_V486 (3).JPG

2020I174_WISM-20_V487 (1).JPG

2020I174_WISM-20_V487 (2).JPG

2020I174_WISM-20_V488 (1).JPG

2020I174_WISM-20_V488 (2).JPG

2020I174_WISM-20_V488 (3).JPG

2020I174_WISM-20_V488 (4).JPG

2020I174_WISM-20_V490 (1).JPG

2020I174_WISM-20_V490 (2).JPG

2020I174_WISM-20_V491 (1).JPG

2020I174_WISM-20_V491 (2).JPG

2020I174_WISM-20_V493 (1).JPG

2020I174_WISM-20_V493 (2).JPG

2020I174_WISM-20_V493 (3).JPG

2020I174_WISM-20_V494 (1).JPG

2020I174_WISM-20_V494 (2).JPG

2020I174_WISM-20_V500 (1).JPG

2020I174_WISM-20_V500 (2).JPG

2020I174_WISM-20_V505 (1).JPG

2020I174_WISM-20_V505 (2).JPG

2020I174_WISM-20_V505 (3).JPG

2020I174_WISM-20_V506 (1).JPG

2020I174_WISM-20_V506 (2).JPG

2020I174_WISM-20_V506 (3).JPG

2020I174_WISM-20_V510 (1).JPG

2020I174_WISM-20_V510 (2).JPG

2020I174_WISM-20_V510 (3).JPG

2020I174_WISM-20_V511 (1).JPG

2020I174_WISM-20_V511 (3).JPG

2020I174_WISM-20_V511 (4).JPG

2020I174_WISM-20_V515 (1).JPG

2020I174_WISM-20_V515 (2).JPG

2020I174_WISM-20_V515 (3).JPG

2020I174_WISM-20_V516 (1).JPG

2020I174_WISM-20_V516 (2).JPG

2020I174_WISM-20_V517 (1).JPG

2020I174_WISM-20_V517 (2).JPG

2020I174_WISM-20_V519 (1).JPG

2020I174_WISM-20_V519 (2).JPG

2020I174_WISM-20_V519 (3).JPG

2020I174_WISM-20_V519 (4).JPG

2020I174_WISM-20_V519 (5).JPG

2020I174_WISM-20_V523 (1).JPG

2020I174_WISM-20_V523 (2).JPG

2020I174_WISM-20_V523 (3).JPG

2020I174_WISM-20_V529 (1).JPG

2020I174_WISM-20_V529 (2).JPG

2020I174_WISM-20_V532 (1).JPG

2020I174_WISM-20_V532 (2).JPG

### 8.1.2.2 Gesneuvelden

| Projectcode | Bestand | Onderwerp | Individu |
|---|---|---|---|
| 2020I174 | WISM-20_IND1_V9 (1).JPG | Vondstnummer 9 | IND 1 |
| 2020I174 | WISM-20_IND1_V9 (2).JPG | Vondstnummer 9 | IND 1 |
| 2020I174 | WISM-20_IND1_V9 (3).JPG | Vondstnummer 9 | IND 1 |
| 2020I174 | WISM-20_IND1_V15 (1).JPG | Vondstnummer 15 | IND 1 |
| 2020I174 | WISM-20_IND1_V15 (2).JPG | Vondstnummer 15 | IND 1 |
| 2020I174 | WISM-20_IND1_V15 (3).JPG | Vondstnummer 15 | IND 1 |
| 2020I174 | WISM-20_IND1_V15 (4).JPG | Vondstnummer 15 | IND 1 |
| 2020I174 | WISM-20_IND1_V15 (5).JPG | Vondstnummer 15 | IND 1 |
| 2020I174 | WISM-20_IND1_V15 (6).JPG | Vondstnummer 15 | IND 1 |
| 2020I174 | WISM-20_IND1_V15 (7).JPG | Vondstnummer 15 | IND 1 |
| 2020I174 | WISM-20_IND1_V15 (8).JPG | Vondstnummer 15 | IND 1 |
| 2020I174 | WISM-20_IND1_V15 (9).JPG | Vondstnummer 15 | IND 1 |
| 2020I174 | WISM-20_IND1_V15 (10).JPG | Vondstnummer 15 | IND 1 |
| 2020I174 | WISM-20_IND1_V15 (11).JPG | Vondstnummer 15 | IND 1 |
| 2020I174 | WISM-20_IND1_V15 (12).JPG | Vondstnummer 15 | IND 1 |
| 2020I174 | WISM-20_IND1_V15 (13).JPG | Vondstnummer 15 | IND 1 |
| 2020I174 | WISM-20_IND1_V15 (14).JPG | Vondstnummer 15 | IND 1 |
| 2020I174 | WISM-20_IND1_V15 (15).JPG | Vondstnummer 15 | IND 1 |
| 2020I174 | WISM-20_IND1_V15 (16).JPG | Vondstnummer 15 | IND 1 |
| 2020I174 | WISM-20_IND1_V15 (17).JPG | Vondstnummer 15 | IND 1 |
| 2020I174 | WISM-20_IND1_V15 (18).JPG | Vondstnummer 15 | IND 1 |
| 2020I174 | WISM-20_IND1_V15 (19).JPG | Vondstnummer 15 | IND 1 |
| 2020I174 | WISM-20_IND1_V15 (20).JPG | Vondstnummer 15 | IND 1 |
| 2020I174 | WISM-20_IND1_V15 (21).JPG | Vondstnummer 15 | IND 1 |
| 2020I174 | WISM-20_IND1_V15 (22).JPG | Vondstnummer 15 | IND 1 |
| 2020I174 | WISM-20_IND1_V15 (23).JPG | Vondstnummer 15 | IND 1 |
| 2020I174 | WISM-20_IND1_V15 (24).JPG | Vondstnummer 15 | IND 1 |
| 2020I174 | WISM-20_IND1_V15 (25).JPG | Vondstnummer 15 | IND 1 |
| 2020I174 | WISM-20_IND1_V15 (26).JPG | Vondstnummer 15 | IND 1 |
| 2020I174 | WISM-20_IND1_V15 (27).JPG | Vondstnummer 15 | IND 1 |
| 2020I174 | WISM-20_IND1_V15 (28).JPG | Vondstnummer 15 | IND 1 |
| 2020I174 | WISM-20_IND1_V15 (29).JPG | Vondstnummer 15 | IND 1 |
| 2020I174 | WISM-20_IND1_V15 (30).JPG | Vondstnummer 15 | IND 1 |
| 2020I174 | WISM-20_IND1_V15 (31).JPG | Vondstnummer 15 | IND 1 |
| 2020I174 | WISM-20_IND1_V15 (32).JPG | Vondstnummer 15 | IND 1 |
| 2020I174 | WISM-20_IND1_V15 (33).JPG | Vondstnummer 15 | IND 1 |
| 2020I174 | WISM-20_IND1_V15 (34).JPG | Vondstnummer 15 | IND 1 |
| 2020I174 | WISM-20_IND1_V15 (35).JPG | Vondstnummer 15 | IND 1 |
| 2020I174 | WISM-20_IND1_V15 (36).JPG | Vondstnummer 15 | IND 1 |
| 2020I174 | WISM-20_IND1_V15 (37).JPG | Vondstnummer 15 | IND 1 |
| 2020I174 | WISM-20_IND1_V15 (38).JPG | Vondstnummer 15 | IND 1 |
| 2020I174 | WISM-20_IND1_V15 (39).JPG | Vondstnummer 15 | IND 1 |
| 2020I174 | WISM-20_IND1_V15 (40).JPG | Vondstnummer 15 | IND 1 |
| 2020I174 | WISM-20_IND1_V15 (41).JPG | Vondstnummer 15 | IND 1 |
| 2020I174 | WISM-20_IND1_V15 (42).JPG | Vondstnummer 15 | IND 1 |
| 2020I174 | WISM-20_IND1_V15 (43).JPG | Vondstnummer 15 | IND 1 |
| 2020I174 | WISM-20_IND1_V15 (44).JPG | Vondstnummer 15 | IND 1 |
| 2020I174 | WISM-20_IND1_V15 (45).JPG | Vondstnummer 15 | IND 1 |
| 2020I174 | WISM-20_IND1_V15 (46).JPG | Vondstnummer 15 | IND 1 |
| 2020I174 | WISM-20_IND1_V15 (47).JPG | Vondstnummer 15 | IND 1 |
| 2020I174 | WISM-20_IND1_V15 (48).JPG | Vondstnummer 15 | IND 1 |
| 2020I174 | WISM-20_IND1_V15 (49).JPG | Vondstnummer 15 | IND 1 |
| 2020I174 | WISM-20_IND1_V15 (50).JPG | Vondstnummer 15 | IND 1 |
| 2020I174 | WISM-20_IND1_V15 (51).JPG | Vondstnummer 15 | IND 1 |

| | | | |
|---|---|---|---|
| 2020I174 | WISM-20_IND1_V15 (52).JPG | Vondstnummer 15 | IND 1 |
| 2020I174 | WISM-20_IND1_V15 (53).JPG | Vondstnummer 15 | IND 1 |
| 2020I174 | WISM-20_IND1_V15 (54).JPG | Vondstnummer 15 | IND 1 |
| 2020I174 | WISM-20_IND1_V15 (55).JPG | Vondstnummer 15 | IND 1 |
| 2020I174 | WISM-20_IND1_V15 (56).JPG | Vondstnummer 15 | IND 1 |
| 2020I174 | WISM-20_IND1_V15 (57).JPG | Vondstnummer 15 | IND 1 |
| 2020I174 | WISM-20_IND1_V15 (58).JPG | Vondstnummer 15 | IND 1 |
| 2020I174 | WISM-20_IND1_V15 (59).JPG | Vondstnummer 15 | IND 1 |
| 2020I174 | WISM-20_IND1_V15 (60).JPG | Vondstnummer 15 | IND 1 |
| 2020I174 | WISM-20_IND2_V6 (1).JPG | Vondstnummer 6 | IND 2 |
| 2020I174 | WISM-20_IND2_V6 (2).JPG | Vondstnummer 6 | IND 2 |
| 2020I174 | WISM-20_IND2_V6 (3).JPG | Vondstnummer 6 | IND 2 |
| 2020I174 | WISM-20_IND2_V6 (4).JPG | Vondstnummer 6 | IND 2 |
| 2020I174 | WISM-20_IND2_V6 (5).JPG | Vondstnummer 6 | IND 2 |
| 2020I174 | WISM-20_IND2_V6 (6).JPG | Vondstnummer 6 | IND 2 |
| 2020I174 | WISM-20_IND2_V6 (7).JPG | Vondstnummer 6 | IND 2 |
| 2020I174 | WISM-20_IND3_V84 (1).JPG | Vondstnummer 84 | IND 3 |
| 2020I174 | WISM-20_IND3_V84 (2).JPG | Vondstnummer 84 | IND 3 |
| 2020I174 | WISM-20_IND3_V84 (3).JPG | Vondstnummer 84 | IND 3 |

WISM-20_IND1_V9 (1).JPG

WISM-20_IND1_V9 (2).JPG

WISM-20_IND1_V9 (3).JPG

WISM-20_IND1_V15 (1).JPG

WISM-20_IND1_V15 (2).JPG

WISM-20_IND1_V15 (3).JPG

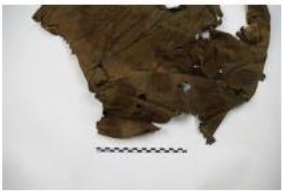

WISM-20_IND1_V15 (4).JPG

WISM-20_IND1_V15 (5).JPG

WISM-20_IND1_V15 (6).JPG

WISM-20_IND1_V15 (7).JPG

WISM-20_IND1_V15 (8).JPG

WISM-20_IND1_V15 (9).JPG

WISM-20_IND1_V15 (10).JPG

WISM-20_IND1_V15 (11).JPG

WISM-20_IND1_V15 (12).JPG

WISM-20_IND1_V15 (13).JPG

WISM-20_IND1_V15 (14).JPG

WISM-20_IND1_V15 (15).JPG

WISM-20_IND1_V15 (16).JPG

WISM-20_IND1_V15 (17).JPG

WISM-20_IND1_V15 (18).JPG

WISM-20_IND1_V15 (19).JPG

WISM-20_IND1_V15 (20).JPG

WISM-20_IND1_V15 (21).JPG

WISM-20_IND1_V15 (22).JPG

WISM-20_IND1_V15 (23).JPG

WISM-20_IND1_V15 (24).JPG

WISM-20_IND1_V15 (25).JPG

WISM-20_IND1_V15 (26).JPG

WISM-20_IND1_V15 (27).JPG

WISM-20_IND1_V15 (28).JPG

WISM-20_IND1_V15 (29).JPG

WISM-20_IND1_V15 (30).JPG

WISM-20_IND1_V15 (32).JPG

WISM-20_IND1_V15 (34).JPG

WISM-20_IND1_V15 (35).JPG

WISM-20_IND1_V15 (36).JPG

WISM-20_IND1_V15 (37).JPG

WISM-20_IND1_V15 (38).JPG

WISM-20_IND1_V15 (39).JPG

WISM-20_IND1_V15 (40).JPG

WISM-20_IND1_V15 (41).JPG

WISM-20_IND1_V15 (42).JPG

WISM-20_IND1_V15 (43).JPG

WISM-20_IND1_V15 (44).JPG

WISM-20_IND1_V15 (45).JPG

WISM-20_IND1_V15 (46).JPG

WISM-20_IND1_V15 (47).JPG

WISM-20_IND1_V15 (48).JPG

WISM-20_IND1_V15 (49).JPG

WISM-20_IND1_V15 (50).JPG

WISM-20_IND1_V15 (51).JPG

WISM-20_IND1_V15 (52).JPG

WISM-20_IND1_V15 (53).JPG

WISM-20_IND1_V15 (54).JPG

WISM-20_IND1_V15 (55).JPG

WISM-20_IND1_V15 (56).JPG

WISM-20_IND1_V15 (57).JPG

WISM-20_IND1_V15 (58).JPG

WISM-20_IND1_V15 (59).JPG

WISM-20_IND1_V15 (60).JPG

WISM-20_IND2_V6 (1).JPG

WISM-20_IND2_V6 (2).JPG

WISM-20_IND2_V6 (3).JPG

WISM-20_IND2_V6 (4).JPG

WISM-20_IND2_V6 (5).JPG

WISM-20_IND2_V6 (6).JPG

WISM-20_IND2_V6 (7).JPG

WISM-20_IND3_V84 (1).JPG

WISM-20_IND3_V84 (2).JPG

WISM-20_IND3_V84 (3).JPG

## 8.2 DEEL 2 (2021C69)

### 8.2.1 Terreinfoto's

| Bestand | Soort | Put | Spoor | Vlak | Individu | Vondstnr. | Coupe | Profielnr. | Opmerking |
|---|---|---|---|---|---|---|---|---|---|
| WISM-21_P1_PR1_637510735543110386.jpeg | Profiel | 1 | | | | | | 1 | Zuid |
| WISM-21_P1_PR1_637510735562679729.jpeg | Profiel | 1 | | | | | | 1 | Zuid |
| WISM-21_P1_PR1_637510735583484568.jpeg | Profiel | 1 | | | | | | 1 | Zuid |
| WISM-21_P1_PR1_637510735619501712.jpeg | Profiel | 1 | | | | | | 1 | Zuid |
| WISM-21_P1_PR2_637516618293618054.jpeg | Profiel | 1 | | | | | | 2 | |
| WISM-21_P1_PR2_637516618311890665.jpeg | Profiel | 1 | | | | | | 2 | |
| WISM-21_P1_PR2_637516618336688997.jpeg | Profiel | 1 | | | | | | 2 | |
| WISM-21_P1_PR2_637516618357392837.jpeg | Profiel | 1 | | | | | | 2 | |
| WISM-21_P1_PR2_637516618387030628.jpeg | Profiel | 1 | | | | | | 2 | |
| WISM-21_P1_PR2_637516618432906693.jpeg | Profiel | 1 | | | | | | 2 | |
| WISM-21_P1_SP1_637507993517882427.jpeg | Detail | 1 | 1 | 1 | | | | | |
| WISM-21_P1_SP1_637507993532629873.jpeg | Detail | 1 | 1 | 1 | | | | | |
| WISM-21_P1_SP1_637507993546656163.jpeg | Detail | 1 | 1 | 1 | | | | | |
| WISM-21_P1_SP1_637508869777500912.jpeg | Coupe | 1 | 1 | 1 | | | | | AB |
| WISM-21_P1_SP1_637508869790000477.jpeg | Coupe | 1 | 1 | 1 | | | | | AB |
| WISM-21_P1_SP1_637508869802019676.jpeg | Coupe | 1 | 1 | 1 | | | | | AB |
| WISM-21_P1_SP1_637508869815486444.jpeg | Coupe | 1 | 1 | 1 | | | | | AB |
| WISM-21_P1_SP11_637508775588229809.jpeg | Detail | 1 | 11 | 2 | | | | | Mogelijk graf |
| WISM-21_P1_SP11_637508775602029871.jpeg | Detail | 1 | 11 | 2 | | | | | Mogelijk graf |
| WISM-21_P1_SP11_637508775615070018.jpeg | Detail | 1 | 11 | 2 | | | | | Mogelijk graf |
| WISM-21_P1_SP11_637508810537581552.jpeg | Coupe | 1 | 11 | 2 | | | AB | | Ook S15 |
| WISM-21_P1_SP11_637508810566756512.jpeg | Coupe | 1 | 11 | 2 | | | AB | | Ook S14 |
| WISM-21_P1_SP11_637508810584367405.jpeg | Coupe | 1 | 11 | 2 | | | AB | | Ook S13 |
| WISM-21_P1_SP11_637508810599013085.jpeg | Coupe | 1 | 11 | 2 | | | AB | | Ook S12 |
| WISM-21_P1_SP12_637508814328112344.jpeg | Detail | 1 | 12 | 1 | | | | | |
| WISM-21_P1_SP12_637508814366684383.jpeg | Detail | 1 | 12 | 1 | | | | | |
| WISM-21_P1_SP12_637508817904510840.jpeg | Coupe | 1 | 12 | 1 | | | AB | | Ook S11 |
| WISM-21_P1_SP12_637508817923928924.jpeg | Coupe | 1 | 12 | 1 | | | AB | | Ook S11 |

| Bestand | Soort | Put | Spoor | Vlak | Individu | Vondstnr. | Coupe | Profielnr. | Opmerking |
|---|---|---|---|---|---|---|---|---|---|
| WISM-21_P1_SP12_637508817936954916.jpeg | Coupe | 1 | 12 | 1 | | | AB | | Ook S11 |
| WISM-21_P1_SP12_637508918660232723.jpeg | Coupe | 1 | 12 | 1 | | | 2 | | |
| WISM-21_P1_SP12_637508918674611907.jpeg | Coupe | 1 | 12 | 1 | | | 2 | | |
| WISM-21_P1_SP12_637508918688379818.jpeg | Coupe | 1 | 12 | 1 | | | 2 | | |
| WISM-21_P1_SP14_637508827081680386.jpeg | Detail | 1 | 14 | 1 | | | | | BK |
| WISM-21_P1_SP14_637508827094938964.jpeg | Detail | 1 | 14 | 1 | | | | | BK |
| WISM-21_P1_SP14_637508827108223432.jpeg | Detail | 1 | 14 | 1 | | | | | BK |
| WISM-21_P1_SP15_637508975882724533.jpeg | Werkfoto | 1 | 15 | 2 | 205 | | | | IND205 |
| WISM-21_P1_SP15_637508975895595365.jpeg | Werkfoto | 1 | 15 | 2 | 205 | | | | IND205 |
| WISM-21_P1_SP15_637508975908613442.jpeg | Werkfoto | 1 | 15 | 2 | 205 | | | | IND205 |
| WISM-21_P1_SP15_637508975922488299.jpeg | Werkfoto | 1 | 15 | 2 | 205 | | | | IND205 |
| WISM-21_P1_SP15_637509035004753507.jpeg | Werkfoto | 1 | 15 | 2 | 205 | | | | IND205 |
| WISM-21_P1_SP15_637509035035366374.jpeg | Werkfoto | 1 | 15 | 2 | 205 | | | | IND205 |
| WISM-21_P1_SP15_637509047585468822.jpeg | Werkfoto | 1 | 15 | 2 | 205 | | | | IND205 |
| WISM-21_P1_SP15_637509047609790429.jpeg | Werkfoto | 1 | 15 | 2 | 205 | | | | IND205 |
| WISM-21_P1_SP15_637509047625921553.jpeg | Werkfoto | 1 | 15 | 2 | 205 | | | | IND205 |
| WISM-21_P1_SP15_637509047647730697.jpeg | Werkfoto | 1 | 15 | 2 | 205 | | | | IND205 |
| WISM-21_P1_SP15_637509047661062302.jpeg | Werkfoto | 1 | 15 | 2 | 205 | | | | IND205 |
| WISM-21_P1_SP15_637509047674241602.jpeg | Werkfoto | 1 | 15 | 2 | 205 | | | | IND205 |
| WISM-21_P1_SP15_637509047701186760.jpeg | Werkfoto | 1 | 15 | 2 | 205 | | | | IND205 |
| WISM-21_P1_SP17_637509011762753980.jpeg | Detail | 1 | 17 | 1 | | | | | Kerkhoflaag |
| WISM-21_P1_SP17_637509011780825389.jpeg | Detail | 1 | 17 | 1 | | | | | Kerkhoflaag |
| WISM-21_P1_SP17_637509011792828545.jpeg | Detail | 1 | 17 | 1 | | | | | Kerkhoflaag |
| WISM-21_P1_SP17_637509673178574132.jpeg | Detail | 1 | 17 | 1 | | | | | Verstoring |
| WISM-21_P1_SP17_637509673204925480.jpeg | Detail | 1 | 17 | 1 | | | | | Verstoring |
| WISM-21_P1_SP17_637510613157416784.jpeg | Werkfoto | 1 | 17 | 2 | | | | | Los |
| WISM-21_P1_SP17_637510613171434064.jpeg | Werkfoto | 1 | 17 | 2 | | | | | Los |
| WISM-21_P1_SP17_637510613184981434.jpeg | Werkfoto | 1 | 17 | 2 | | | | | Los |
| WISM-21_P1_SP18_637509047717611800.jpeg | Werkfoto | 1 | 18 | 1 | 209 | | | | IND209 |
| WISM-21_P1_SP18_637509047733106119.jpeg | Werkfoto | 1 | 18 | 1 | 209 | | | | IND209 |
| WISM-21_P1_SP18_637509047749444931.jpeg | Werkfoto | 1 | 18 | 1 | 209 | | | | IND209 |
| WISM-21_P1_SP18_637509047771500726.jpeg | Werkfoto | 1 | 18 | 1 | 209 | | | | IND209 |
| WISM-21_P1_SP2_637507995077269905.jpeg | Detail | 1 | 2 | 1 | | | | | |
| WISM-21_P1_SP2_637507995101047542.jpeg | Detail | 1 | 2 | 1 | | | | | |

| Bestand | Soort | Put | Spoor | Vlak | Individu | Vondstnr. | Coupe | Profielnr. | Opmerking |
|---|---|---|---|---|---|---|---|---|---|
| WISM-21_P1_SP2_637507995115537663.jpeg | Detail | 1 | 2 | 1 | | | | | |
| WISM-21_P1_SP2_637507995130147326.jpeg | Detail | 1 | 2 | 1 | | | | | |
| WISM-21_P1_SP2_637507995143039718.jpeg | Detail | 1 | 2 | 1 | | | | | |
| WISM-21_P1_SP2_637508947628957007.jpeg | Coupe | 1 | 2 | 1 | | | 1 | | |
| WISM-21_P1_SP2_637508947642851638.jpeg | Coupe | 1 | 2 | 1 | | | 1 | | |
| WISM-21_P1_SP2_637508947656036081.jpeg | Coupe | 1 | 2 | 1 | | | 1 | | |
| WISM-21_P1_SP2_637508947669534848.jpeg | Coupe | 1 | 2 | 1 | | | 1 | | |
| WISM-21_P1_SP20_637509722803387179.jpeg | Detail | 1 | 20 | 3 | 211 | | | | IND211 |
| WISM-21_P1_SP20_637509722825426734.jpeg | Detail | 1 | 20 | 3 | 211 | | | | IND211 |
| WISM-21_P1_SP20_637509722845486622.jpeg | Detail | 1 | 20 | 3 | 211 | | | | IND211 |
| WISM-21_P1_SP20_637509722880112294.jpeg | Detail | 1 | 20 | 3 | 211 | | | | IND211 |
| WISM-21_P1_SP20_637509722895918344.jpeg | Detail | 1 | 20 | 3 | 211 | | | | IND211 |
| WISM-21_P1_SP20_637509722918204968.jpeg | Detail | 1 | 20 | 3 | 211 | | | | IND211 |
| WISM-21_P1_SP20_637509722945362114.jpeg | Detail | 1 | 20 | 3 | 211 | | | | IND211 |
| WISM-21_P1_SP20_637509848703546831.jpeg | Detail | 1 | 20 | 3 | 211 | | | | Versiering kist |
| WISM-21_P1_SP20_637509848719887320.jpeg | Detail | 1 | 20 | 3 | 211 | | | | Versiering kist |
| WISM-21_P1_SP21_637509751062124376.jpeg | Detail | 1 | 21 | 1 | 221 | | | | |
| WISM-21_P1_SP21_637509751088803792.jpeg | Detail | 1 | 21 | 1 | 221 | | | | |
| WISM-21_P1_SP21_637509751107988516.jpeg | Detail | 1 | 21 | 1 | 221 | | | | |
| WISM-21_P1_SP21_637509802326411668.jpeg | Detail | 1 | 21 | 1 | 221 | | | | Antropomorf |
| WISM-21_P1_SP21_637509802339740958.jpeg | Detail | 1 | 21 | 1 | 221 | | | | Antropomorf |
| WISM-21_P1_SP21_637509802353139282.jpeg | Detail | 1 | 21 | 1 | 221 | | | | Antropomorf |
| WISM-21_P1_SP21_637509802366630268.jpeg | Detail | 1 | 21 | 1 | 221 | | | | Antropomorf |
| WISM-21_P1_SP21_637515857453043505.jpeg | Detail | 1 | 21 | 1 | 221 | | | | |
| WISM-21_P1_SP21_637515857467280099.jpeg | Detail | 1 | 21 | 1 | 221 | | | | |
| WISM-21_P1_SP21_637515857484978323.jpeg | Detail | 1 | 21 | 1 | 221 | | | | |
| WISM-21_P1_SP21_637515857498474172.jpeg | Detail | 1 | 21 | 1 | 221 | | | | |
| WISM-21_P1_SP22_637509751379278267.jpeg | Detail | 1 | 22 | 1 | 212 | | | | |
| WISM-21_P1_SP22_637509751436120878.jpeg | Detail | 1 | 22 | 1 | 212 | | | | |
| WISM-21_P1_SP22_637509751458109202.jpeg | Detail | 1 | 22 | 1 | 212 | | | | |
| WISM-21_P1_SP22+23_637510557076462728.jpeg | Detail | 1 | 22+23 | 1 | 212-216 | | | | |
| WISM-21_P1_SP22+23_637510557104168250.jpeg | Detail | 1 | 22+23 | 1 | 212-216 | | | | |

| Bestand | Soort | Put | Spoor | Vlak | Individu | Vondstnr. | Coupe | Profielnr. | Opmerking |
|---|---|---|---|---|---|---|---|---|---|
| WISM-21_P1_SP22+23_637510557117676638.jpeg | Detail | 1 | 22+23 | 1 | 212-216 | | | | |
| WISM-21_P1_SP22+23_637510557137720577.jpeg | Detail | 1 | 22+23 | 1 | 212-216 | | | | |
| WISM-21_P1_SP22+23_637510557151170320.jpeg | Detail | 1 | 22+23 | 1 | 212-216 | | | | |
| WISM-21_P1_SP22+23_637510557165962094.jpeg | Detail | 1 | 22+23 | 1 | 212-216 | | | | |
| WISM-21_P1_SP22+23_637510557180466480.jpeg | Detail | 1 | 22+23 | 1 | 212-216 | | | | |
| WISM-21_P1_SP22+23_637510557194814419.jpeg | Detail | 1 | 22+23 | 1 | 212-216 | | | | |
| WISM-21_P1_SP22+23_637510557210860587.jpeg | Detail | 1 | 22+23 | 1 | 212-216 | | | | |
| WISM-21_P1_SP22+23_637510557225084166.jpeg | Detail | 1 | 22+23 | 1 | 212-216 | | | | |
| WISM-21_P1_SP23_637509751715802842.jpeg | Detail | 1 | 23 | 1 | 216 | | | | |
| WISM-21_P1_SP23_637509751826433616.jpeg | Detail | 1 | 23 | 1 | 216 | | | | |
| WISM-21_P1_SP23_637510597759575963.jpeg | Detail | 1 | 23 | 1 | 216 | | | | Antropomorf? |
| WISM-21_P1_SP23_637510597773600961.jpeg | Detail | 1 | 23 | 1 | 216 | | | | Antropomorf? |
| WISM-21_P1_SP23_637510597787317638.jpeg | Detail | 1 | 23 | 1 | 216 | | | | Antropomorf? |
| WISM-21_P1_SP23_637510597804212030.jpeg | Detail | 1 | 23 | 1 | 216 | | | | Antropomorf? |
| WISM-21_P1_SP24_637509752207826900.jpeg | Detail | 1 | 24 | 1 | 214 | | | | |
| WISM-21_P1_SP24_637509752244021945.jpeg | Detail | 1 | 24 | 1 | 214 | | | | |
| WISM-21_P1_SP25_637509752437814074.jpeg | Detail | 1 | 25 | 1 | 215 | | | | |
| WISM-21_P1_SP25_637509752452504939.jpeg | Detail | 1 | 25 | 1 | 215 | | | | |
| WISM-21_P1_SP26_637509752907961795.jpeg | Detail | 1 | 26 | 1 | 217 | | | | |
| WISM-21_P1_SP26_637509752926469185.jpeg | Detail | 1 | 26 | 1 | 217 | | | | |
| WISM-21_P1_SP28_637510717810421136.jpeg | Detail | 1 | 28 | 3 | 219 | | | | Doorsnijding IND219 door kist S32 |
| WISM-21_P1_SP28_637510717831637916.jpeg | Detail | 1 | 28 | 3 | 219 | | | | Doorsnijding IND219 door kist S32 |
| WISM-21_P1_SP28_637510717846664481.jpeg | Detail | 1 | 28 | 3 | 219 | | | | Doorsnijding IND219 door kist S32 |
| WISM-21_P1_SP29_637509886153248781.jpeg | Detail | 1 | 29 | 1 | | | | | |
| WISM-21_P1_SP29_637509886186351882.jpeg | Detail | 1 | 29 | 1 | | | | | |
| WISM-21_P1_SP3_637507995879971422.jpeg | Detail | 1 | 3 | 1 | | | | | |
| WISM-21_P1_SP3_637507995893227821.jpeg | Detail | 1 | 3 | 1 | | | | | |
| WISM-21_P1_SP3_637507995905937279.jpeg | Detail | 1 | 3 | 1 | | | | | |

| Bestand | Soort | Put | Spoor | Vlak | Individu | Vondstnr. | Coupe | Profielnr. | Opmerking |
|---|---|---|---|---|---|---|---|---|---|
| WISM-21_P1_SP3_637507995918490891.jpeg | Detail | 1 | 3 | 1 | | | | | |
| WISM-21_P1_SP3_637507995931505710.jpeg | Detail | 1 | 3 | 1 | | | | | |
| WISM-21_P1_SP3_637507995944683817.jpeg | Detail | 1 | 3 | 1 | | | | | |
| WISM-21_P1_SP3_637508959652112244.jpeg | Coupe | 1 | 3 | 1 | | | AB | | Recent |
| WISM-21_P1_SP3_637508959665974543.jpeg | Coupe | 1 | 3 | 1 | | | AB | | Recent |
| WISM-21_P1_SP3_637508998274464398.jpeg | Coupe | 1 | 3 | 1 | | | AB | | |
| WISM-21_P1_SP3_637508998288490585.jpeg | Coupe | 1 | 3 | 1 | | | AB | | |
| WISM-21_P1_SP3_637508998301514930.jpeg | Coupe | 1 | 3 | 1 | | | AB | | |
| WISM-21_P1_SP30_637509908099807752.jpeg | Detail | 1 | 30 | 2 | 222 | | | | Kist met versiering |
| WISM-21_P1_SP30_637509908129288794.jpeg | Detail | 1 | 30 | 2 | 222 | | | | Kist met versiering |
| WISM-21_P1_SP30_637509908145471080.jpeg | Detail | 1 | 30 | 2 | 222 | | | | Kist met versiering |
| WISM-21_P1_SP30_637510535789436394.jpeg | Detail | 1 | 30 | 1 | 222 | | | | |
| WISM-21_P1_SP30_637510535802918666.jpeg | Detail | 1 | 30 | 1 | 222 | | | | |
| WISM-21_P1_SP30_637510535816795324.jpeg | Detail | 1 | 30 | 1 | 222 | | | | |
| WISM-21_P1_SP30_637510535830005276.jpeg | Detail | 1 | 30 | 1 | 222 | | | | |
| WISM-21_P1_SP30_637510535843045280.jpeg | Detail | 1 | 30 | 1 | 222 | | | | |
| WISM-21_P1_SP30_637510535856599775.jpeg | Detail | 1 | 30 | 1 | 222 | | | | |
| WISM-21_P1_SP30_637510535870300348.jpeg | Detail | 1 | 30 | 1 | 222 | | | | |
| WISM-21_P1_SP30_637510535887707453.jpeg | Detail | 1 | 30 | 1 | 222 | | | | |
| WISM-21_P1_SP30_637510654631534187.jpeg | Detail | 1 | 30 | 2 | 222 | | | | |
| WISM-21_P1_SP30_637510654645547854.jpeg | Detail | 1 | 30 | 2 | 222 | | | | |
| WISM-21_P1_SP30_637510654668455923.jpeg | Detail | 1 | 30 | 2 | 222 | | | | |
| WISM-21_P1_SP30_637510654694377131.jpeg | Detail | 1 | 30 | 2 | 222 | | | | |
| WISM-21_P1_SP30_637510654711714923.jpeg | Detail | 1 | 30 | 2 | 222 | | | | |
| WISM-21_P1_SP32_637511394462465142.jpeg | Detail | 1 | 32 | 2 | 223 | | | | Kistaflijning |
| WISM-21_P1_SP32_637511394492828749.jpeg | Detail | 1 | 32 | 2 | 223 | | | | Kistaflijning |
| WISM-21_P1_SP32_637511394511333967.jpeg | Detail | 1 | 32 | 2 | 223 | | | | Kistaflijning |
| WISM-21_P1_SP32_637511394535536900.jpeg | Detail | 1 | 32 | 2 | 223 | | | | Kistaflijning |
| WISM-21_P1_SP32_637511405621635182.jpeg | Detail | 1 | 32 | 2 | 223 | | | | Kistaflijning verdiepen antropomorf |
| WISM-21_P1_SP32_637511405636726846.jpeg | Detail | 1 | 32 | 2 | 223 | | | | Kistaflijning verdiepen antropomorf |
| WISM-21_P1_SP33_637511414541963270.jpeg | Detail | 1 | 33 | 2 | 223 | | | | |
| WISM-21_P1_SP33_637511414568211606.jpeg | Detail | 1 | 33 | 2 | 223 | | | | |
| WISM-21_P1_SP33_637511414650828009.jpeg | Detail | 1 | 33 | 2 | 223 | | | | |
| WISM-21_P1_SP33_637511465454227179.jpeg | Detail | 1 | 33 | 2 | 224 | | | | IND224 |

| Bestand | Soort | Put | Spoor | Vlak | Individu | Vondstnr. | Coupe | Profielnr. | Opmerking |
|---|---|---|---|---|---|---|---|---|---|
| WISM-21_P1_SP33_637511465471309617.jpeg | Detail | 1 | 33 | 2 | 224 | | | | IND224 |
| WISM-21_P1_SP33_637511465497027430.jpeg | Detail | 1 | 33 | 2 | 224 | | | | IND224 |
| WISM-21_P1_SP33_637511465510195335.jpeg | Detail | 1 | 33 | 2 | 224 | | | | IND224 |
| WISM-21_P1_SP33_637511465523762332.jpeg | Detail | 1 | 33 | 2 | 224 | | | | IND224 |
| WISM-21_P1_SP34_VO0_637511484637180210.jpeg | Vondst | 1 | 34 | 3 | 225 | | | | IND225 |
| WISM-21_P1_SP35_637515760640232867.jpeg | Detail | 1 | 35 | 1 | | | | | |
| WISM-21_P1_SP35_637515760665353415.jpeg | Detail | 1 | 35 | 1 | | | | | |
| WISM-21_P1_SP36_637515760887379935.jpeg | Detail | 1 | 36 | 1 | | | | | |
| WISM-21_P1_SP36_637515760904267478.jpeg | Detail | 1 | 36 | 1 | | | | | |
| WISM-21_P1_SP36_637515844026512591.jpeg | Detail | 1 | 36 | 1 | | | | | |
| WISM-21_P1_SP36_637515844063276231.jpeg | Detail | 1 | 36 | 1 | | | | | |
| WISM-21_P1_SP36_637515844098367188.jpeg | Detail | 1 | 36 | 1 | | | | | |
| WISM-21_P1_SP37_637515761325422471.jpeg | Detail | 1 | 37 | 1 | | | | | |
| WISM-21_P1_SP37_637515761351436469.jpeg | Detail | 1 | 37 | 1 | | | | | |
| WISM-21_P1_SP37_637516795261285882.jpeg | Coupe | 1 | 37 | 2 | | | AB | | |
| WISM-21_P1_SP37_637516795288145408.jpeg | Coupe | 1 | 37 | 2 | | | AB | | |
| WISM-21_P1_SP37_637516795305264933.jpeg | Coupe | 1 | 37 | 2 | | | AB | | |
| WISM-21_P1_SP37_637516795323304187.jpeg | Coupe | 1 | 37 | 2 | | | AB | | |
| WISM-21_P1_SP37_637516795338174595.jpeg | Coupe | 1 | 37 | 2 | | | AB | | |
| WISM-21_P1_SP37_637516795352716116.jpeg | Coupe | 1 | 37 | 2 | | | AB | | |
| WISM-21_P1_SP37_637516795367766208.jpeg | Coupe | 1 | 37 | 2 | | | AB | | |
| WISM-21_P1_SP37_637516795381410529.jpeg | Coupe | 1 | 37 | 2 | | | AB | | |
| WISM-21_P1_SP37_637516795398903047.jpeg | Coupe | 1 | 37 | 2 | | | AB | | |
| WISM-21_P1_SP37_637516795414482552.jpeg | Coupe | 1 | 37 | 2 | | | AB | | |
| WISM-21_P1_SP37_637516801050346088.jpeg | Coupe | 1 | 37 | 2 | | | AB | | |
| WISM-21_P1_SP37_637516801070100260.jpeg | Coupe | 1 | 37 | 2 | | | AB | | |
| WISM-21_P1_SP37_637516801094789249.jpeg | Coupe | 1 | 37 | 2 | | | AB | | |
| WISM-21_P1_SP38_637515870258986224.jpeg | Coupe | 1 | 38 | 2 | | | AB | | |
| WISM-21_P1_SP38_637515870286572581.jpeg | Coupe | 1 | 38 | 2 | | | AB | | |
| WISM-21_P1_SP38_637515870315536900.jpeg | Coupe | 1 | 38 | 2 | | | AB | | |
| WISM-21_P1_SP38_637515870361701821.jpeg | Coupe | 1 | 38 | 2 | | | AB | | |
| WISM-21_P1_SP38_637515870391099037.jpeg | Coupe | 1 | 38 | 2 | | | AB | | |
| WISM-21_P1_SP38_637515870432973841.jpeg | Coupe | 1 | 38 | 2 | | | AB | | |
| WISM-21_P1_SP38_637515949263388720.jpeg | Werkfoto | 1 | 38 | 1 | | | | | Profiel 2 |

| Bestand | Soort | Put | Spoor | Vlak | Individu | Vondstnr. | Coupe | Profielnr. | Opmerking |
|---|---|---|---|---|---|---|---|---|---|
| WISM-21_P1_SP38_637515949276942051.jpeg | Werkfoto | 1 | 38 | 1 | | | | | Profiel 2 |
| WISM-21_P1_SP38_637515949290765943.jpeg | Werkfoto | 1 | 38 | 1 | | | | | Profiel 2 |
| WISM-21_P1_SP38_637515949391255582.jpeg | Werkfoto | 1 | 38 | 1 | | | | | Profiel 2 |
| WISM-21_P1_SP38_637515949480808756.jpeg | Werkfoto | 1 | 38 | 1 | | | | | Profiel 2 |
| WISM-21_P1_SP38_637515949909951754.jpeg | Werkfoto | 1 | 38 | 1 | | | | | Profiel 2 |
| WISM-21_P1_SP38_637515949925822242.jpeg | Werkfoto | 1 | 38 | 1 | | | | | Profiel 2 |
| WISM-21_P1_SP38_637515949956169253.jpeg | Werkfoto | 1 | 38 | 1 | | | | | Profiel 2 |
| WISM-21_P1_SP38_637516640149745486.jpeg | Coupe | 1 | 38 | 2 | | | CD | | |
| WISM-21_P1_SP38_637516640168242756.jpeg | Coupe | 1 | 38 | 2 | | | CD | | |
| WISM-21_P1_SP38_637516640191661636.jpeg | Coupe | 1 | 38 | 2 | | | CD | | |
| WISM-21_P1_SP38_637516640213360148.jpeg | Coupe | 1 | 38 | 2 | | | CD | | |
| WISM-21_P1_SP38_637516640233429253.jpeg | Coupe | 1 | 38 | 2 | | | CD | | |
| WISM-21_P1_SP38_637516640256720653.jpeg | Coupe | 1 | 38 | 2 | | | CD | | |
| WISM-21_P1_SP38_637516640281621521.jpeg | Coupe | 1 | 38 | 2 | | | CD | | |
| WISM-21_P1_SP38_637516640295148241.jpeg | Coupe | 1 | 38 | 2 | | | CD | | |
| WISM-21_P1_SP38_637516640309021324.jpeg | Coupe | 1 | 38 | 2 | | | CD | | |
| WISM-21_P1_SP38_637516706956212996.jpeg | Coupe | 1 | 38 | 2 | | | CD | | |
| WISM-21_P1_SP38_637516706971610692.jpeg | Coupe | 1 | 38 | 2 | | | CD | | |
| WISM-21_P1_SP38_637516706985115660.jpeg | Coupe | 1 | 38 | 2 | | | CD | | |
| WISM-21_P1_SP38_637516740614143677.jpeg | Coupe | 1 | 38 | 2 | | | CD | | |
| WISM-21_P1_SP38_637516740641799226.jpeg | Coupe | 1 | 38 | 2 | | | CD | | |
| WISM-21_P1_SP38_637516740676617177.jpeg | Coupe | 1 | 38 | 2 | | | CD | | |
| WISM-21_P1_SP38_637516740707929274.jpeg | Coupe | 1 | 38 | 2 | | | CD | | |
| WISM-21_P1_SP38_637516740732200643.jpeg | Coupe | 1 | 38 | 2 | | | CD | | |
| WISM-21_P1_SP38_637516745272943590.jpeg | Coupe | 1 | 38 | 2 | | | EF | | |
| WISM-21_P1_SP38_637516745292183256.jpeg | Coupe | 1 | 38 | 2 | | | EF | | |
| WISM-21_P1_SP38_637516745306071347.jpeg | Coupe | 1 | 38 | 2 | | | EF | | |
| WISM-21_P1_SP4_637507996928122153.jpeg | Detail | 1 | 4 | 1 | 203 | | | | |
| WISM-21_P1_SP4_637507996940305434.jpeg | Detail | 1 | 4 | 1 | 203 | | | | |
| WISM-21_P1_SP4_637507996953498361.jpeg | Detail | 1 | 4 | 1 | 203 | | | | |
| WISM-21_P1_SP4_637507996967385777.jpeg | Detail | 1 | 4 | 1 | 203 | | | | |
| WISM-21_P1_SP4_637507996981658388.jpeg | Detail | 1 | 4 | 1 | 203 | | | | |
| WISM-21_P1_SP5_637507997597031893.jpeg | Detail | 1 | 5 | 1 | 204 | | | | |
| WISM-21_P1_SP5_637507997611932908.jpeg | Detail | 1 | 5 | 1 | 204 | | | | |

| Bestand | Soort | Put | Spoor | Vlak | Individu | Vondstnr. | Coupe | Profielnr. | Opmerking |
|---|---|---|---|---|---|---|---|---|---|
| WISM-21_P1_SP5_637507997628002007.jpeg | Detail | 1 | 5 | 1 | 204 | | | | |
| WISM-21_P1_SP5_637507997650496429.jpeg | Detail | 1 | 5 | 1 | 204 | | | | |
| WISM-21_P1_SP5_637507997664149881.jpeg | Detail | 1 | 5 | 1 | 204 | | | | |
| WISM-21_P1_SP6_637507998602291708.jpeg | Detail | 1 | 6 | 1 | 206 | | | | |
| WISM-21_P1_SP6_637507998616619254.jpeg | Detail | 1 | 6 | 1 | 206 | | | | |
| WISM-21_P1_SP6_637507998631203766.jpeg | Detail | 1 | 6 | 1 | 206 | | | | |
| WISM-21_P1_SP6_637507998644695764.jpeg | Detail | 1 | 6 | 1 | 206 | | | | |
| WISM-21_P1_SP6_637507998658945294.jpeg | Detail | 1 | 6 | 1 | 206 | | | | |
| WISM-21_P1_SP6_637507998673436555.jpeg | Detail | 1 | 6 | 1 | 206 | | | | |
| WISM-21_P1_SP6_637508872463922320.jpeg | Detail | 1 | 6 | 1 | 206 | | | | IND206 |
| WISM-21_P1_SP6_637508872549524265.jpeg | Detail | 1 | 6 | 1 | 206 | | | | IND206 |
| WISM-21_P1_SP7_637507999479294296.jpeg | Detail | 1 | 7 | 1 | | | | | |
| WISM-21_P1_SP7_637507999493271979.jpeg | Detail | 1 | 7 | 1 | | | | | |
| WISM-21_P1_SP7_637507999508000621.jpeg | Detail | 1 | 7 | 1 | | | | | |
| WISM-21_P1_SP7_637507999522554523.jpeg | Detail | 1 | 7 | 1 | | | | | |
| WISM-21_P1_SP7_637507999536373963.jpeg | Detail | 1 | 7 | 1 | | | | | |
| WISM-21_P1_SP8_637508000384632768.jpeg | Detail | 1 | 8 | 1 | | | | | |
| WISM-21_P1_SP8_637508000414679033.jpeg | Detail | 1 | 8 | 1 | | | | | |
| WISM-21_P1_SP8_637508000438198553.jpeg | Detail | 1 | 8 | 1 | | | | | |
| WISM-21_P1_SP8_637508000467954919.jpeg | Detail | 1 | 8 | 1 | | | | | |
| WISM-21_P1_SP8_637508000501255918.jpeg | Detail | 1 | 8 | 1 | | | | | |
| WISM-21_P1_SP8_637509632174380824.jpeg | Detail | 1 | 8 | 2 | | | | | Bot niet in anatomisch verband |
| WISM-21_P1_SP8_637509632187723349.jpeg | Detail | 1 | 8 | 2 | | | | | Bot niet in anatomisch verband |
| WISM-21_P1_SP8_637509632201601536.jpeg | Detail | 1 | 8 | 2 | | | | | Bot niet in anatomisch verband |
| WISM-21_P1_SP8_637509632219748737.jpeg | Detail | 1 | 8 | 2 | | | | | Bot niet in anatomisch verband |
| WISM-21_P1_SP8_637509662834439088.jpeg | Coupe | 1 | 8 | 3 | | | | | |
| WISM-21_P1_SP8_637509662847306111.jpeg | Coupe | 1 | 8 | 3 | | | | | |
| WISM-21_P1_SP9_637508001468289818.jpeg | Detail | 1 | 9 | 1 | 208 | | | | |
| WISM-21_P1_SP9_637508001484811039.jpeg | Detail | 1 | 9 | 1 | 207 | | | | |
| WISM-21_P1_SP9_637508001501093335.jpeg | Detail | 1 | 9 | 1 | 206 | | | | |
| WISM-21_P1_SP9_637508001518088579.jpeg | Detail | 1 | 9 | 1 | 205 | | | | |
| WISM-21_P1_SP9_637508001532486978.jpeg | Detail | 1 | 9 | 1 | 204 | | | | |
| WISM-21_P1_SP9_637508001546515359.jpeg | Detail | 1 | 9 | 1 | 203 | | | | |
| WISM-21_P1_V1_637507989567044217.jpeg | Overzicht | 1 | | 1 | | | | | |

| Bestand | Soort | Put | Spoor | Vlak | Individu | Vondstnr. | Coupe | Profielnr. | Opmerking |
|---|---|---|---|---|---|---|---|---|---|
| WISM-21_P1_V1_637507989623636616.jpeg | Overzicht | 1 | | 1 | | | | | |
| WISM-21_P1_V1_637507989646396032.jpeg | Overzicht | 1 | | 1 | | | | | |
| WISM-21_P1_V1_637507989662283126.jpeg | Overzicht | 1 | | 1 | | | | | |
| WISM-21_P1_V1_637507989674941135.jpeg | Overzicht | 1 | | 1 | | | | | |
| WISM-21_P1_V1_637507989697366335.jpeg | Overzicht | 1 | | 1 | | | | | |
| WISM-21_P1_V1_637507989711779278.jpeg | Overzicht | 1 | | 1 | | | | | |
| WISM-21_P1_V1_637507989724489057.jpeg | Overzicht | 1 | | 1 | | | | | |
| WISM-21_P1_V1_637507989737016646.jpeg | Overzicht | 1 | | 1 | | | | | |
| WISM-21_P1_V1_637507989750215022.jpeg | Overzicht | 1 | | 1 | | | | | |
| WISM-21_P1_V1_637509747267258147.jpeg | Overzicht | 1 | | 1 | | | | | Uitbreiding |
| WISM-21_P1_V1_637509747284599896.jpeg | Overzicht | 1 | | 1 | | | | | Uitbreiding |
| WISM-21_P1_V1_637509747300148885.jpeg | Overzicht | 1 | | 1 | | | | | Uitbreiding |
| WISM-21_P1_V1_637509747313332286.jpeg | Overzicht | 1 | | 1 | | | | | Uitbreiding |
| WISM-21_P1_V1_637509747330817909.jpeg | Overzicht | 1 | | 1 | | | | | Uitbreiding |
| WISM-21_P1_V1_637509747343852468.jpeg | Overzicht | 1 | | 1 | | | | | Uitbreiding |
| WISM-21_P1_V1_637509747356722209.jpeg | Overzicht | 1 | | 1 | | | | | Uitbreiding |
| WISM-21_P1_V1_637509747371062559.jpeg | Overzicht | 1 | | 1 | | | | | Uitbreiding |
| WISM-21_P1_V1_637509747427294466.jpeg | Overzicht | 1 | | 1 | | | | | Uitbreiding |
| WISM-21_P1_V1_637515749588733615.jpeg | Overzicht | 1 | | 1 | | | | | Oversteek |
| WISM-21_P1_V1_637515749645783396.jpeg | Overzicht | 1 | | 1 | | | | | Oversteek |
| WISM-21_P1_V1_637515749666278204.jpeg | Overzicht | 1 | | 1 | | | | | Oversteek |
| WISM-21_P1_V1_637515749703693469.jpeg | Overzicht | 1 | | 1 | | | | | Oversteek |
| WISM-21_P1_V1_637515749734977001.jpeg | Overzicht | 1 | | 1 | | | | | Oversteek |
| WISM-21_P1_V1_637515749772669704.jpeg | Overzicht | 1 | | 1 | | | | | Oversteek |
| WISM-21_P1_V1_637515749795084185.jpeg | Overzicht | 1 | | 1 | | | | | Oversteek |
| WISM-21_P1_V1_637515749809431369.jpeg | Overzicht | 1 | | 1 | | | | | Oversteek |
| WISM-21_P1_V1_637515749826994022.jpeg | Overzicht | 1 | | 1 | | | | | Oversteek |
| WISM-21_P1_V1_637515749854798198.jpeg | Overzicht | 1 | | 1 | | | | | Oversteek |
| WISM-21_P1_V1_637515749878851998.jpeg | Overzicht | 1 | | 1 | | | | | Oversteek |
| WISM-21_P1_V1_637515749894674944.jpeg | Overzicht | 1 | | 1 | | | | | Oversteek |
| WISM-21_P1_V1_637515749908373550.jpeg | Overzicht | 1 | | 1 | | | | | Oversteek |
| WISM-21_P1_V1_637515749922556218.jpeg | Overzicht | 1 | | 1 | | | | | Oversteek |
| WISM-21_P1_V1_637515749936304061.jpeg | Overzicht | 1 | | 1 | | | | | Oversteek |
| WISM-21_P1_V1_637515749950634341.jpeg | Overzicht | 1 | | 1 | | | | | Oversteek |

| Bestand | Soort | Put | Spoor | Vlak | Individu | Vondstnr. | Coupe | Profielnr. | Opmerking |
|---|---|---|---|---|---|---|---|---|---|
| WISM-21_P1_V1_637515749963661850.jpeg | Overzicht | 1 | | 1 | | | | | Oversteek |
| WISM-21_P1_V1_637515749978396737.jpeg | Overzicht | 1 | | 1 | | | | | Oversteek |
| WISM-21_P1_V1_637515750000103957.jpeg | Overzicht | 1 | | 1 | | | | | Oversteek |
| WISM-21_P1_V1_637515750034156866.jpeg | Overzicht | 1 | | 1 | | | | | Oversteek |
| WISM-21_P1_V1_637515750047070282.jpeg | Overzicht | 1 | | 1 | | | | | Oversteek |
| WISM-21_P1_V1_637515750059573992.jpeg | Overzicht | 1 | | 1 | | | | | Oversteek |
| WISM-21_P1_V1_637515750078525300.jpeg | Overzicht | 1 | | 1 | | | | | Oversteek |
| WISM-21_P1_V1_637515750091383464.jpeg | Overzicht | 1 | | 1 | | | | | Oversteek |
| WISM-21_P1_V1_637515750105098329.jpeg | Overzicht | 1 | | 1 | | | | | Oversteek |
| WISM-21_P1_V1_637515750117646851.jpeg | Overzicht | 1 | | 1 | | | | | Oversteek |
| WISM-21_P1_V1_637515750146815301.jpeg | Overzicht | 1 | | 1 | | | | | Oversteek |
| WISM-21_P1_V1_637515750166434542.jpeg | Overzicht | 1 | | 1 | | | | | Oversteek |
| WISM-21_P1_V1_637515759816058131.jpeg | Overzicht | 1 | | 1 | | | | | Oversteek |
| WISM-21_P1_V1_637515759838597735.jpeg | Overzicht | 1 | | 1 | | | | | Oversteek |
| WISM-21_P1_V1_637515759862447932.jpeg | Overzicht | 1 | | 1 | | | | | Oversteek |
| WISM-21_P1_V1_637515759892800573.jpeg | Overzicht | 1 | | 1 | | | | | Oversteek |
| WISM-21_P1_V1_637515759921310421.jpeg | Overzicht | 1 | | 1 | | | | | Oversteek |
| WISM-21_Sfeer_HUIDIGE TOESTAND TERREIN_637507880606452492.jpeg | Sfeer | | | | | | | | Huidige toestand terrein |
| WISM-21_Sfeer_HUIDIGE TOESTAND TERREIN_637507880618005334.jpeg | Sfeer | | | | | | | | Huidige toestand terrein |
| WISM-21_Sfeer_HUIDIGE TOESTAND TERREIN_637507880628992409.jpeg | Sfeer | | | | | | | | Huidige toestand terrein |
| WISM-21_Sfeer_HUIDIGE TOESTAND TERREIN_637507880640358956.jpeg | Sfeer | | | | | | | | Huidige toestand terrein |
| WISM-21_Sfeer_HUIDIGE TOESTAND TERREIN_637507880651692635.jpeg | Sfeer | | | | | | | | Huidige toestand terrein |
| WISM-21_Sfeer_HUIDIGE TOESTAND TERREIN_637507880663045385.jpeg | Sfeer | | | | | | | | Huidige toestand terrein |
| WISM-21_Sfeer_HUIDIGE TOESTAND TERREIN_637507880673909528.jpeg | Sfeer | | | | | | | | Huidige toestand terrein |
| WISM-21_Sfeer_HUIDIGE TOESTAND TERREIN_637515630365131186.jpeg | Sfeer | | | | | | | | Huidige toestand terrein |
| WISM-21_Sfeer_HUIDIGE TOESTAND TERREIN_637515630376577467.jpeg | Sfeer | | | | | | | | Huidige toestand terrein |

| Bestand | Soort | Put | Spoor | Vlak | Individu | Vondstnr. | Coupe | Profielnr. | Opmerking |
|---|---|---|---|---|---|---|---|---|---|
| WISM-21_Sfeer_HUIDIGE TOESTAND TERREIN_637515630388447352.jpeg | Sfeer | | | | | | | | Huidige toestand terrein |
| WISM-21_Sfeer_HUIDIGE TOESTAND TERREIN_637515630399961586.jpeg | Sfeer | | | | | | | | Huidige toestand terrein |
| WISM-21_Sfeer_HUIDIGE TOESTAND TERREIN_637515630411890517.jpeg | Sfeer | | | | | | | | Huidige toestand terrein |
| WISM-21_Sfeer_HUIDIGE TOESTAND TERREIN_637515630423446029.jpeg | Sfeer | | | | | | | | Huidige toestand terrein |
| WISM-21_P1_SP13_IND207_637508823525861661.jpeg | Skelet | 1 | 13 | 1 | 207 | | | | |
| WISM-21_P1_SP13_IND207_637508823539725379.jpeg | Skelet | 1 | 13 | 1 | 207 | | | | |
| WISM-21_P1_SP13_IND207_637508823552905337.jpeg | Skelet | 1 | 13 | 1 | 207 | | | | |
| WISM-21_P1_SP13_IND207_637508823575499161.jpeg | Skelet | 1 | 13 | 1 | 207 | | | | |
| WISM-21_P1_SP13_IND207_637508823588364579.jpeg | Skelet | 1 | 13 | 1 | 207 | | | | |
| WISM-21_P1_SP13_IND207_637508823611738424.jpeg | Skelet | 1 | 13 | 1 | 207 | | | | |
| WISM-21_P1_SP13_IND207_637508823636131409.jpeg | Skelet | 1 | 13 | 1 | 207 | | | | |
| WISM-21_P1_SP15_IND205_637510513394485104.jpeg | Skelet | 1 | 15 | 2 | 205 | 9 | | | Ook S29 |
| WISM-21_P1_SP15_IND205_637510513409852379.jpeg | Skelet | 1 | 15 | 2 | 205 | 9 | | | Ook S29 |
| WISM-21_P1_SP15_IND205_637510513429332284.jpeg | Skelet | 1 | 15 | 2 | 205 | 9 | | | Ook S29 |
| WISM-21_P1_SP15_IND205_637510513442513869.jpeg | Skelet | 1 | 15 | 2 | 205 | 9 | | | Ook S29 |
| WISM-21_P1_SP15_IND205_637510513456389406.jpeg | Skelet | 1 | 15 | 2 | 205 | 9 | | | Ook S29 |
| WISM-21_P1_SP16_IND208_637509008230443904.jpeg | Skelet | 1 | 16 | 3 | 208 | | | | |
| WISM-21_P1_SP16_IND208_637509008243816937.jpeg | Skelet | 1 | 16 | 3 | 208 | | | | |
| WISM-21_P1_SP16_IND208_637509008257262308.jpeg | Skelet | 1 | 16 | 3 | 208 | | | | |
| WISM-21_P1_SP18_IND209_637509683687199584.jpeg | Skelet | 1 | 18 | 1 | 209 | 17 | | | |
| WISM-21_P1_SP18_IND209_637509683701411692.jpeg | Skelet | 1 | 18 | 1 | 209 | 17 | | | |
| WISM-21_P1_SP18_IND209_637509683769643044.jpeg | Skelet | 1 | 18 | 1 | 209 | 17 | | | |
| WISM-21_P1_SP18_IND209_637509683851533398.jpeg | Skelet | 1 | 18 | 1 | 209 | 17 | | | |
| WISM-21_P1_SP19_IND210_637509711513281909.jpeg | Skelet | 1 | 19 | 1 | 210 | 22 | | | |
| WISM-21_P1_SP19_IND210_637509711538363001.jpeg | Skelet | 1 | 19 | 1 | 210 | 22 | | | |
| WISM-21_P1_SP19_IND210_637509711556008212.jpeg | Skelet | 1 | 19 | 1 | 210 | 22 | | | |
| WISM-21_P1_SP20_IND211_637509901172117307.jpeg | Skelet | 1 | 20 | 3 | 211 | | | | |
| WISM-21_P1_SP20_IND211_637509901187833852.jpeg | Skelet | 1 | 20 | 3 | 211 | | | | |
| WISM-21_P1_SP20_IND211_637509901204332818.jpeg | Skelet | 1 | 20 | 3 | 211 | | | | |
| WISM-21_P1_SP20_IND211_637509901221355146.jpeg | Skelet | 1 | 20 | 3 | 211 | | | | |
| WISM-21_P1_SP20_IND211_637509901236930392.jpeg | Skelet | 1 | 20 | 3 | 211 | | | | |

| Bestand | Soort | Put | Spoor | Vlak | Individu | Vondstnr. | Coupe | Profielnr. | Opmerking |
|---|---|---|---|---|---|---|---|---|---|
| WISM-21_P1_SP21_IND216_637516536965869307.jpeg | Skelet | 1 | 21 | 1 | 216 | | | | |
| WISM-21_P1_SP21_IND216_637516536979033078.jpeg | Skelet | 1 | 21 | 1 | 216 | | | | |
| WISM-21_P1_SP21_IND216_637516536992843206.jpeg | Skelet | 1 | 21 | 1 | 216 | | | | |
| WISM-21_P1_SP21_IND216_637516537005334105.jpeg | Skelet | 1 | 21 | 1 | 216 | | | | |
| WISM-21_P1_SP21_IND221_637510608134161064.jpeg | Skelet | 1 | 21 | 1 | 221 | | | | Antropomorf |
| WISM-21_P1_SP21_IND221_637510608147494931.jpeg | Skelet | 1 | 21 | 1 | 221 | | | | Antropomorf |
| WISM-21_P1_SP21_IND221_637510608162900946.jpeg | Skelet | 1 | 21 | 1 | 221 | | | | Antropomorf |
| WISM-21_P1_SP21_IND221_637510608299255926.jpeg | Skelet | 1 | 21 | 1 | 221 | | | | Antropomorf |
| WISM-21_P1_SP21_IND221_637510608348766895.jpeg | Skelet | 1 | 21 | 1 | 221 | | | | Antropomorf |
| WISM-21_P1_SP21_IND221_637510608390862679.jpeg | Skelet | 1 | 21 | 1 | 221 | | | | Antropomorf |
| WISM-21_P1_SP22_IND212_637510538220736824.jpeg | Skelet | 1 | 22 | 1 | 212 | 39 | | | |
| WISM-21_P1_SP22_IND212_637510538235088516.jpeg | Skelet | 1 | 22 | 1 | 212 | 39 | | | |
| WISM-21_P1_SP23_IND216_637510663554506460.jpeg | Skelet | 1 | 23 | 1 | 216 | 43 | | | Antropomorf? |
| WISM-21_P1_SP23_IND216_637510663582098628.jpeg | Skelet | 1 | 23 | 1 | 216 | 43 | | | Antropomorf? |
| WISM-21_P1_SP23_IND216_637510663620497007.jpeg | Skelet | 1 | 23 | 1 | 216 | 43 | | | Antropomorf? |
| WISM-21_P1_SP23_IND216_637510663658468062.jpeg | Skelet | 1 | 23 | 1 | 216 | 43 | | | Antropomorf? |
| WISM-21_P1_SP24_IND214_637510761657974062.jpeg | Skelet | 1 | 24 | 1 | 214 | | | | |
| WISM-21_P1_SP24_IND214_637510761672146457.jpeg | Skelet | 1 | 24 | 1 | 214 | | | | |
| WISM-21_P1_SP24_IND214_637510761686163892.jpeg | Skelet | 1 | 24 | 1 | 214 | | | | |
| WISM-21_P1_SP24_IND214_637510761700722064.jpeg | Skelet | 1 | 24 | 1 | 214 | | | | |
| WISM-21_P1_SP24_IND214_637510761714079337.jpeg | Skelet | 1 | 24 | 1 | 214 | | | | |
| WISM-21_P1_SP24_IND214_637510761784226820.jpeg | Skelet | 1 | 24 | 1 | 214 | | | | |
| WISM-21_P1_SP24_IND214_637510761859400290.jpeg | Skelet | 1 | 24 | 1 | 214 | | | | |
| WISM-21_P1_SP25_IND215_637510704685223157.jpeg | Skelet | 1 | 25 | 1 | 215 | 47 | | | |
| WISM-21_P1_SP25_IND215_637510704699101061.jpeg | Skelet | 1 | 25 | 1 | 215 | 47 | | | |
| WISM-21_P1_SP26_IND217_637509883443055641.jpeg | Skelet | 1 | 26 | 1 | 217 | 29 | | | |
| WISM-21_P1_SP26_IND217_637509883720501595.jpeg | Skelet | 1 | 26 | 1 | 217 | 29 | | | |
| WISM-21_P1_SP26_IND217_637509883733687091.jpeg | Skelet | 1 | 26 | 1 | 217 | 29 | | | |
| WISM-21_P1_SP26_IND217_637509883747970332.jpeg | Skelet | 1 | 26 | 1 | 217 | 29 | | | |
| WISM-21_P1_SP27_IND218_637509810239369396.jpeg | Skelet | 1 | 27 | 1 | 218 | 27 | | | |
| WISM-21_P1_SP27_IND218_637509810256859543.jpeg | Skelet | 1 | 27 | 1 | 218 | 27 | | | |
| WISM-21_P1_SP28_IND219_637509818151082691.jpeg | Skelet | 1 | 28 | 3 | 219 | | | | Onder IND214 |
| WISM-21_P1_SP28_IND219_637509818170892693.jpeg | Skelet | 1 | 28 | 3 | 219 | | | | Onder IND213 |
| WISM-21_P1_SP28_IND219_637509818191925749.jpeg | Skelet | 1 | 28 | 3 | 219 | | | | Onder IND212 |

| Bestand | Soort | Put | Spoor | Vlak | Individu | Vondstnr. | Coupe | Profielnr. | Opmerking |
|---|---|---|---|---|---|---|---|---|---|
| WISM-21_P1_SP28_IND219_637509818223444107.jpeg | Skelet | 1 | 28 | 3 | 219 | | | | Onder IND211 |
| WISM-21_P1_SP28_IND219_637509876735662793.jpeg | Skelet | 1 | 28 | 3 | 219 | | | | Deel 6 |
| WISM-21_P1_SP28_IND219_637509876799427125.jpeg | Skelet | 1 | 28 | 3 | 219 | | | | Deel 5 |
| WISM-21_P1_SP28_IND219_637509876845911709.jpeg | Skelet | 1 | 28 | 3 | 219 | | | | Deel 4 |
| WISM-21_P1_SP28_IND219_637509876872898299.jpeg | Skelet | 1 | 28 | 3 | 219 | | | | Deel 3 |
| WISM-21_P1_SP28_IND219_637509876907712206.jpeg | Skelet | 1 | 28 | 3 | 219 | | | | Deel 2 |
| WISM-21_P1_SP30_IND222_637510766384824179.jpeg | Skelet | 1 | 30 | 2 | 222 | | | | |
| WISM-21_P1_SP30_IND222_637510766400850562.jpeg | Skelet | 1 | 30 | 2 | 222 | | | | |
| WISM-21_P1_SP30_IND222_637510766417282040.jpeg | Skelet | 1 | 30 | 2 | 222 | | | | |
| WISM-21_P1_SP30_IND222_637510766433527280.jpeg | Skelet | 1 | 30 | 2 | 222 | | | | |
| WISM-21_P1_SP30_IND222_637510766451888984.jpeg | Skelet | 1 | 30 | 2 | 222 | | | | |
| WISM-21_P1_SP30_IND222_637510766466739736.jpeg | Skelet | 1 | 30 | 2 | 222 | | | | |
| WISM-21_P1_SP30_IND222_637510766485484277.jpeg | Skelet | 1 | 30 | 2 | 222 | | | | |
| WISM-21_P1_SP30_IND222_637510766505283638.jpeg | Skelet | 1 | 30 | 2 | 222 | | | | |
| WISM-21_P1_SP31_IND220_637510575257945381.jpeg | Skelet | 1 | 31 | 1 | 220 | 40 | | | |
| WISM-21_P1_SP31_IND220_637510575274646018.jpeg | Skelet | 1 | 31 | 1 | 220 | 40 | | | |
| WISM-21_P1_SP31_IND220_637510575286980629.jpeg | Skelet | 1 | 31 | 1 | 220 | 40 | | | |
| WISM-21_P1_SP32_IND223_637511430016967183.jpeg | Skelet | 1 | 32 | 2 | 223 | | | | |
| WISM-21_P1_SP32_IND223_637511430030668908.jpeg | Skelet | 1 | 32 | 2 | 223 | | | | |
| WISM-21_P1_SP32_IND223_637511430044036671.jpeg | Skelet | 1 | 32 | 2 | 223 | | | | |
| WISM-21_P1_SP33_IND224_637511545159412527.jpeg | Skelet | 1 | 33 | 1 | 224 | | | | |
| WISM-21_P1_SP33_IND224_637511545182923389.jpeg | Skelet | 1 | 33 | 1 | 224 | | | | |
| WISM-21_P1_SP33_IND224_637511545218591305.jpeg | Skelet | 1 | 33 | 1 | 224 | | | | |
| WISM-21_P1_SP33_IND224_637511545240270553.jpeg | Skelet | 1 | 33 | 1 | 224 | | | | |
| WISM-21_P1_SP33_IND224_637511545253496726.jpeg | Skelet | 1 | 33 | 1 | 224 | | | | |
| WISM-21_P1_SP34_IND225_637511483001838585.jpeg | Skelet | 1 | 34 | 3 | 225 | | | | |
| WISM-21_P1_SP34_IND225_637511483026774526.jpeg | Skelet | 1 | 34 | 3 | 225 | | | | |
| WISM-21_P1_SP34_IND225_637511483041020477.jpeg | Skelet | 1 | 34 | 3 | 225 | | | | |
| WISM-21_P1_SP34_IND225_637511483055007064.jpeg | Skelet | 1 | 34 | 3 | 225 | | | | |
| WISM-21_P1_SP34_IND225_637511483068296856.jpeg | Skelet | 1 | 34 | 3 | 225 | | | | |
| WISM-21_P1_SP34_IND225_637511483082449435.jpeg | Skelet | 1 | 34 | 3 | 225 | | | | |
| WISM-21_P1_SP34_IND225_637511484575587349.jpeg | Skelet | 1 | 34 | 3 | 225 | | | | |
| WISM-21_P1_SP34_IND225_637511484600202641.jpeg | Skelet | 1 | 34 | 3 | 225 | | | | |
| WISM-21_P1_SP34_IND225_637511484616539188.jpeg | Skelet | 1 | 34 | 3 | 225 | | | | |

| Bestand | Soort | Put | Spoor | Vlak | Individu | Vondstnr. | Coupe | Profielnr. | Opmerking |
|---|---|---|---|---|---|---|---|---|---|
| WISM-21_P1_SP35_IND213_637515796277666519.jpeg | Skelet | 1 | 35 | 1 | 213 | | | | |
| WISM-21_P1_SP35_IND213_637515796309139001.jpeg | Skelet | 1 | 35 | 1 | 213 | | | | |
| WISM-21_P1_SP35_IND213_637515796327551874.jpeg | Skelet | 1 | 35 | 1 | 213 | | | | |
| WISM-21_P1_SP35_IND213_637515796352076431.jpeg | Skelet | 1 | 35 | 1 | 213 | | | | |
| WISM-21_P1_SP4_IND203_637508153310210284.jpeg | Skelet | 1 | 4 | 1 | 203 | 2 | | | |
| WISM-21_P1_SP4_IND203_637508153324076860.jpeg | Skelet | 1 | 4 | 1 | 203 | 2 | | | |
| WISM-21_P1_SP5_IND204_637508883781185382.jpeg | Skelet | 1 | 5 | 2 | 204 | 7 | | | |
| WISM-21_P1_SP5_IND204_637508883823838358.jpeg | Skelet | 1 | 5 | 2 | 204 | 7 | | | |
| WISM-21_P1_SP5_IND204_637508883848373169.jpeg | Skelet | 1 | 5 | 2 | 204 | 7 | | | |
| WISM-21_P1_SP9_IND202_637508151031626139.jpeg | Skelet | 1 | 9 | 1 | 202 | 1 | | | |
| WISM-21_P1_SP9_IND202_637508151044277348.jpeg | Skelet | 1 | 9 | 1 | 202 | 1 | | | |

WISM-21_P1_PR1_637510735543110386.jpeg

WISM-21_P1_PR1_637510735562679729.jpeg

WISM-21_P1_PR1_637510735583484568.jpeg

WISM-21_P1_PR1_637510735619501712.jpeg

WISM-21_P1_PR2_637516618293618054.jpeg

WISM-21_P1_PR2_637516618311890665.jpeg

WISM-21_P1_PR2_637516618336688997.jpeg

WISM-21_P1_PR2_637516618357392837.jpeg

WISM-21_P1_PR2_637516618387030628.jpeg

WISM-21_P1_PR2_637516618432906693.jpeg

WISM-21_P1_SP1_637507993517882427.jpeg

WISM-21_P1_SP1_637507993532629873.jpeg

WISM-21_P1_SP1_637507993546656163.jpeg

WISM-21_P1_SP1_637508869777500912.jpeg

WISM-21_P1_SP1_637508869790000477.jpeg

WISM-21_P1_SP1_637508869802019676.jpeg

WISM-21_P1_SP1_637508869815486444.jpeg

WISM-21_P1_SP2_637507995077269905.jpeg

WISM-21_P1_SP2_637507995101047542.jpeg

WISM-21_P1_SP2_637507995115537663.jpeg

WISM-21_P1_SP2_637507995130147326.jpeg

WISM-21_P1_SP2_637507995143039718.jpeg

WISM-21_P1_SP2_637508947628957007.jpeg

WISM-21_P1_SP2_637508947642851638.jpeg

WISM-21_P1_SP2_637508947656036081.jpeg

WISM-21_P1_SP2_637508947669534848.jpeg

WISM-21_P1_SP3_637507995879971422.jpeg

WISM-21_P1_SP3_637507995893227821.jpeg

WISM-21_P1_SP3_637507995905937279.jpeg

WISM-21_P1_SP3_637507995918490891.jpeg

WISM-21_P1_SP3_637507995931505710.jpeg

WISM-21_P1_SP3_637507995944683817.jpeg

WISM-21_P1_SP3_637508959652112244.jpeg

WISM-21_P1_SP3_637508959665974543.jpeg

WISM-21_P1_SP3_637508998274464398.jpeg

WISM-21_P1_SP3_637508998288490585.jpeg

WISM-21_P1_SP3_637508998301514930.jpeg

WISM-21_P1_SP4_637507996928122153.jpeg

WISM-21_P1_SP4_637507996940305434.jpeg

WISM-21_P1_SP4_637507996953498361.jpeg

WISM-21_P1_SP4_6375079969673857
77.jpeg

WISM-21_P1_SP4_6375079969816583
88.jpeg

WISM-21_P1_SP5_6375079975970318
93.jpeg

WISM-21_P1_SP5_6375079976119329
08.jpeg

WISM-21_P1_SP5_6375079976280020
07.jpeg

WISM-21_P1_SP5_6375079976504964
29.jpeg

WISM-21_P1_SP5_6375079976641498
81.jpeg

WISM-21_P1_SP6_6375079986022917
08.jpeg

WISM-21_P1_SP6_6375079986166192
54.jpeg

WISM-21_P1_SP6_6375079986312037
66.jpeg

WISM-21_P1_SP6_6375079986446957
64.jpeg

WISM-21_P1_SP6_6375079986589452
94.jpeg

WISM-21_P1_SP6_6375079986734365
55.jpeg

WISM-21_P1_SP6_6375088724639223
20.jpeg

WISM-21_P1_SP6_6375088725495242
65.jpeg

WISM-21_P1_SP7_6375079994792942
96.jpeg

WISM-21_P1_SP7_6375079994932719
79.jpeg

WISM-21_P1_SP7_6375079995080006
21.jpeg

WISM-21_P1_SP7_6375079995225545
23.jpeg

WISM-21_P1_SP7_6375079995363739
63.jpeg

WISM-21_P1_SP8_6375080003846327
68.jpeg

WISM-21_P1_SP8_6375080004146790
33.jpeg

WISM-21_P1_SP8_6375080004381985
53.jpeg

WISM-21_P1_SP8_6375080004679549
19.jpeg

WISM-21_P1_SP8_6375080005012559
18.jpeg

WISM-21_P1_SP8_6375096321743808
24.jpeg

WISM-21_P1_SP8_6375096321877233
49.jpeg

WISM-21_P1_SP8_6375096322016015
36.jpeg

WISM-21_P1_SP8_6375096322197487
37.jpeg

WISM-21_P1_SP8_637509662834439(
88.jpeg

WISM-21_P1_SP8_6375096628473061
11.jpeg

WISM-21_P1_SP9_6375080014682898
18.jpeg

WISM-21_P1_SP9_6375080014848110
39.jpeg

WISM-21_P1_SP9_6375080015010933
35.jpeg

WISM-21_P1_SP9_6375080015180885
79.jpeg

WISM-21_P1_SP9_6375080015324869
78.jpeg

WISM-21_P1_SP9_6375080015465153
59.jpeg

WISM-21_P1_SP11_637508775588229
809.jpeg

WISM-21_P1_SP11_637508775602029
871.jpeg

WISM-21_P1_SP11_63750877561507(
018.jpeg

WISM-21_P1_SP11_637508810537581552.jpeg

WISM-21_P1_SP11_637508810566756512.jpeg

WISM-21_P1_SP11_637508810584367405.jpeg

WISM-21_P1_SP11_637508810599013085.jpeg

WISM-21_P1_SP12_637508814328112344.jpeg

WISM-21_P1_SP12_637508814366684383.jpeg

WISM-21_P1_SP12_637508817904510840.jpeg

WISM-21_P1_SP12_637508817923928924.jpeg

WISM-21_P1_SP12_637508817936954916.jpeg

WISM-21_P1_SP12_637508918660232723.jpeg

WISM-21_P1_SP12_637508918674611907.jpeg

WISM-21_P1_SP12_637508918688379818.jpeg

WISM-21_P1_SP14_637508827081680386.jpeg

WISM-21_P1_SP14_637508827094938964.jpeg

WISM-21_P1_SP14_637508827108223432.jpeg

WISM-21_P1_SP15_637508975882724533.jpeg

WISM-21_P1_SP15_637508975895595365.jpeg

WISM-21_P1_SP15_637508975908613442.jpeg

WISM-21_P1_SP15_637508975922488299.jpeg

WISM-21_P1_SP15_637509035004753507.jpeg

WISM-21_P1_SP15_637509035035366374.jpeg

WISM-21_P1_SP15_637509047585468822.jpeg

WISM-21_P1_SP15_637509047609790429.jpeg

WISM-21_P1_SP15_637509047625921553.jpeg

WISM-21_P1_SP15_637509047647730697.jpeg

WISM-21_P1_SP15_637509047661062302.jpeg

WISM-21_P1_SP15_637509047674241602.jpeg

WISM-21_P1_SP15_637509047701186760.jpeg

WISM-21_P1_SP17_637509011762753980.jpeg

WISM-21_P1_SP17_637509011780825389.jpeg

WISM-21_P1_SP17_637509011792828545.jpeg

WISM-21_P1_SP17_637509673178574132.jpeg

WISM-21_P1_SP17_637509673204925480.jpeg

WISM-21_P1_SP17_637510613157416784.jpeg

WISM-21_P1_SP17_637510613171434064.jpeg

WISM-21_P1_SP17_637510613184981434.jpeg

WISM-21_P1_SP18_637509047717611800.jpeg

WISM-21_P1_SP18_637509047733106119.jpeg

WISM-21_P1_SP18_637509047749444931.jpeg

WISM-21_P1_SP18_637509047771500726.jpeg

WISM-21_P1_SP20_637509722803387179.jpeg

WISM-21_P1_SP20_637509722825426734.jpeg

WISM-21_P1_SP20_637509722845486622.jpeg

WISM-21_P1_SP20_637509722880112294.jpeg

WISM-21_P1_SP20_637509722895918344.jpeg

WISM-21_P1_SP20_637509722918204968.jpeg

WISM-21_P1_SP20_637509722945362114.jpeg

WISM-21_P1_SP20_637509848703546831.jpeg

WISM-21_P1_SP20_637509848719887320.jpeg

WISM-21_P1_SP21_637509751062124376.jpeg

WISM-21_P1_SP21_637509751088803792.jpeg

WISM-21_P1_SP21_637509751107988516.jpeg

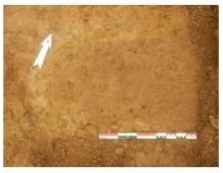
WISM-21_P1_SP21_637509802326411668.jpeg

WISM-21_P1_SP21_637509802339740958.jpeg

WISM-21_P1_SP21_637509802353139282.jpeg

WISM-21_P1_SP21_637509802366630268.jpeg

WISM-21_P1_SP21_637515857453043505.jpeg

WISM-21_P1_SP21_637515857467280099.jpeg

WISM-21_P1_SP21_637515857484978323.jpeg

WISM-21_P1_SP21_637515857498474172.jpeg

WISM-21_P1_SP22_637509751379278267.jpeg

WISM-21_P1_SP22_637509751436120878.jpeg

WISM-21_P1_SP22_637509751458109202.jpeg

WISM-21_P1_SP22+23_637510557076462728.jpeg

WISM-21_P1_SP22+23_637510557104168250.jpeg

WISM-21_P1_SP22+23_637510557117676638.jpeg

WISM-21_P1_SP22+23_637510557137720577.jpeg

WISM-21_P1_SP22+23_637510557151170320.jpeg

WISM-21_P1_SP22+23_637510557165962094.jpeg

WISM-21_P1_SP22+23_637510557180466480.jpeg

WISM-21_P1_SP22+23_637510557194814419.jpeg

WISM-21_P1_SP22+23_637510557210860587.jpeg

WISM-21_P1_SP22+23_637510557225084166.jpeg

WISM-21_P1_SP23_637509751715802842.jpeg

WISM-21_P1_SP23_637509751826433616.jpeg

WISM-21_P1_SP23_637510597759575963.jpeg

WISM-21_P1_SP23_637510597773600961.jpeg

WISM-21_P1_SP23_637510597787317638.jpeg

WISM-21_P1_SP23_637510597804212030.jpeg

WISM-21_P1_SP24_637509752207826900.jpeg

WISM-21_P1_SP24_637509752244021945.jpeg

WISM-21_P1_SP25_637509752437814074.jpeg

WISM-21_P1_SP25_637509752452504939.jpeg

WISM-21_P1_SP26_637509752907961795.jpeg

WISM-21_P1_SP26_637509752926469185.jpeg

WISM-21_P1_SP28_637510717810421136.jpeg

WISM-21_P1_SP28_637510717831637916.jpeg

WISM-21_P1_SP28_637510717846664481.jpeg

WISM-21_P1_SP29_637509886153248781.jpeg

WISM-21_P1_SP29_637509886186351882.jpeg

WISM-21_P1_SP30_637509908099807752.jpeg

WISM-21_P1_SP30_637509908129288794.jpeg

WISM-21_P1_SP30_637509908145471080.jpeg

WISM-21_P1_SP30_637510535789436394.jpeg

WISM-21_P1_SP30_637510535802918666.jpeg

WISM-21_P1_SP30_637510535816795324.jpeg

WISM-21_P1_SP30_637510535830005276.jpeg

WISM-21_P1_SP30_637510535843045280.jpeg

WISM-21_P1_SP30_637510535856599775.jpeg

WISM-21_P1_SP30_637510535870300348.jpeg

WISM-21_P1_SP30_637510535887707453.jpeg

WISM-21_P1_SP30_637510654631534187.jpeg

WISM-21_P1_SP30_637510654645547854.jpeg

WISM-21_P1_SP30_637510654668455923.jpeg

WISM-21_P1_SP30_637510654694377131.jpeg

WISM-21_P1_SP30_637510654711714923.jpeg

WISM-21_P1_SP32_637511394462465142.jpeg

WISM-21_P1_SP32_637511394492828749.jpeg

WISM-21_P1_SP32_637511394511333967.jpeg

WISM-21_P1_SP32_637511394535536900.jpeg

WISM-21_P1_SP32_637511405621635182.jpeg

WISM-21_P1_SP32_637511405636726846.jpeg

WISM-21_P1_SP33_637511414541963270.jpeg

WISM-21_P1_SP33_637511414568211606.jpeg

WISM-21_P1_SP33_637511414650828009.jpeg

WISM-21_P1_SP33_637511465454227179.jpeg

WISM-21_P1_SP33_637511465471309617.jpeg

WISM-21_P1_SP33_637511465497027430.jpeg

WISM-21_P1_SP33_637511465510195335.jpeg

WISM-21_P1_SP33_637511465523762332.jpeg

WISM-21_P1_SP34_VOO_637511484637180210.jpeg

WISM-21_P1_SP35_637515760640232867.jpeg

WISM-21_P1_SP35_637515760665353415.jpeg

WISM-21_P1_SP36_637515760887379935.jpeg

WISM-21_P1_SP36_637515760904267478.jpeg

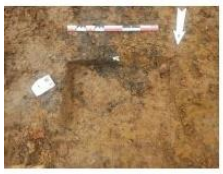
WISM-21_P1_SP36_637515844026512591.jpeg

WISM-21_P1_SP36_637515844063276231.jpeg

WISM-21_P1_SP36_637515844098367188.jpeg

WISM-21_P1_SP37_637515761325422471.jpeg

WISM-21_P1_SP37_637515761351436469.jpeg

WISM-21_P1_SP37_637516795261285882.jpeg

WISM-21_P1_SP37_637516795288145408.jpeg

WISM-21_P1_SP37_637516795305264933.jpeg

WISM-21_P1_SP37_637516795323304187.jpeg

WISM-21_P1_SP37_637516795338174595.jpeg

WISM-21_P1_SP37_637516795352716116.jpeg

WISM-21_P1_SP37_637516795367766208.jpeg

WISM-21_P1_SP37_637516795381410529.jpeg

WISM-21_P1_SP37_637516795398903047.jpeg

WISM-21_P1_SP37_637516795414482552.jpeg

WISM-21_P1_SP37_637516801050346088.jpeg

WISM-21_P1_SP37_637516801070100260.jpeg

WISM-21_P1_SP37_637516801094789249.jpeg

WISM-21_P1_SP38_637515870258986224.jpeg

WISM-21_P1_SP38_637515870286572581.jpeg

WISM-21_P1_SP38_637515870315536900.jpeg

WISM-21_P1_SP38_637515870361701821.jpeg

WISM-21_P1_SP38_637515870391099037.jpeg

WISM-21_P1_SP38_637515870432973841.jpeg

WISM-21_P1_SP38_637515949263388720.jpeg

WISM-21_P1_SP38_637515949276942051.jpeg

WISM-21_P1_SP38_637515949290765943.jpeg

WISM-21_P1_SP38_637515949391255582.jpeg

WISM-21_P1_SP38_637515949480808756.jpeg

WISM-21_P1_SP38_637515949909951754.jpeg

WISM-21_P1_SP38_637515949925822242.jpeg

WISM-21_P1_SP38_637515949956169253.jpeg

WISM-21_P1_SP38_637516640149745486.jpeg

WISM-21_P1_SP38_637516640168242756.jpeg

WISM-21_P1_SP38_637516640191661636.jpeg

WISM-21_P1_SP38_637516640213360148.jpeg

WISM-21_P1_SP38_637516640233429253.jpeg

WISM-21_P1_SP38_637516640256720653.jpeg

WISM-21_P1_SP38_637516640281621521.jpeg

WISM-21_P1_SP38_637516640295148241.jpeg

WISM-21_P1_SP38_637516640309021324.jpeg

WISM-21_P1_SP38_637516706956212996.jpeg

WISM-21_P1_SP38_637516706971610692.jpeg

WISM-21_P1_SP38_637516706985115660.jpeg

WISM-21_P1_SP38_637516740614143677.jpeg

WISM-21_P1_SP38_637516740641799226.jpeg

WISM-21_P1_SP38_637516740676617177.jpeg

WISM-21_P1_SP38_637516740707929274.jpeg

WISM-21_P1_SP38_637516740732200643.jpeg

WISM-21_P1_SP38_637516745272943590.jpeg

WISM-21_P1_SP38_637516745292183256.jpeg

WISM-21_P1_SP38_637516745306071347.jpeg

WISM-21_P1_V1_637507989567044217.jpeg

WISM-21_P1_V1_637507989623636616.jpeg

WISM-21_P1_V1_637507989646396032.jpeg

WISM-21_P1_V1_637507989662283126.jpeg

WISM-21_P1_V1_637507989674941135.jpeg

WISM-21_P1_V1_637507989697366335.jpeg

WISM-21_P1_V1_637507989711779278.jpeg

WISM-21_P1_V1_637507989724489057.jpeg

WISM-21_P1_V1_637507989737016646.jpeg

WISM-21_P1_V1_637507989750215022.jpeg

WISM-21_P1_V1_637509747267258147.jpeg

WISM-21_P1_V1_637509747284599896.jpeg

WISM-21_P1_V1_637509747300148885.jpeg

WISM-21_P1_V1_637509747313332286.jpeg

WISM-21_P1_V1_637509747330817909.jpeg

WISM-21_P1_V1_637509747343852468.jpeg

WISM-21_P1_V1_637509747356722209.jpeg

WISM-21_P1_V1_637509747371062559.jpeg

WISM-21_P1_V1_637509747427294466.jpeg

WISM-21_P1_V1_637515749588733615.jpeg

WISM-21_P1_V1_637515749645783396.jpeg

WISM-21_P1_V1_637515749666278204.jpeg

WISM-21_P1_V1_637515749703693469.jpeg

WISM-21_P1_V1_637515749734977001.jpeg

WISM-21_P1_V1_637515749772669704.jpeg

WISM-21_P1_V1_637515749795084185.jpeg

WISM-21_P1_V1_637515749809431369.jpeg

WISM-21_P1_V1_637515749826994022.jpeg

WISM-21_P1_V1_637515749854798198.jpeg

WISM-21_P1_V1_637515749878851998.jpeg

WISM-21_P1_V1_637515749894674944.jpeg

WISM-21_P1_V1_637515749908373550.jpeg

WISM-21_P1_V1_637515749922556218.jpeg

WISM-21_P1_V1_637515749936304061.jpeg

WISM-21_P1_V1_637515749950634341.jpeg

WISM-21_P1_V1_637515749963661850.jpeg

WISM-21_P1_V1_637515749978396737.jpeg

WISM-21_P1_V1_637515750000103957.jpeg

WISM-21_P1_V1_637515750034156866.jpeg

WISM-21_P1_V1_637515750047070282.jpeg

WISM-21_P1_V1_637515750059573992.jpeg

WISM-21_P1_V1_637515750078525300.jpeg

WISM-21_P1_V1_637515750091383464.jpeg

WISM-21_P1_V1_637515750105098329.jpeg

WISM-21_P1_V1_637515750117646851.jpeg

WISM-21_P1_V1_637515750146815301.jpeg

WISM-21_P1_V1_637515750166434542.jpeg

WISM-21_P1_V1_637515759816058131.jpeg

WISM-21_P1_V1_637515759838597735.jpeg

WISM-21_P1_V1_637515759862447932.jpeg

WISM-21_P1_V1_637515759892800573.jpeg

WISM-21_P1_V1_637515759921310421.jpeg

WISM-21_Sfeer_HUIDIGE TOESTAND TERREIN_637507880606452492.jpeg

WISM-21_Sfeer_HUIDIGE TOESTAND TERREIN_637507880618005334.jpeg

WISM-21_Sfeer_HUIDIGE TOESTAND TERREIN_637507880628992409.jpeg

WISM-21_Sfeer_HUIDIGE TOESTAND TERREIN_637507880640358956.jpeg

WISM-21_Sfeer_HUIDIGE TOESTAND TERREIN_637507880651692635.jpeg

WISM-21_Sfeer_HUIDIGE TOESTAND TERREIN_637507880663045385.jpeg

WISM-21_Sfeer_HUIDIGE TOESTAND TERREIN_637507880673909528.jpeg

WISM-21_Sfeer_HUIDIGE TOESTAND TERREIN_637515630365131186.jpeg

WISM-21_Sfeer_HUIDIGE TOESTAND TERREIN_637515630376577467.jpeg

WISM-21_Sfeer_HUIDIGE TOESTAND TERREIN_637515630388447352.jpeg

WISM-21_Sfeer_HUIDIGE TOESTAND TERREIN_637515630399961586.jpeg

WISM-21_Sfeer_HUIDIGE TOESTAND TERREIN_637515630411890517.jpeg

WISM-21_Sfeer_HUIDIGE TOESTAND TERREIN_637515630423446029.jpeg

WISM-21_P1_SP4_IND203_63750815 3310210284.jpeg

WISM-21_P1_SP4_IND203_63750815 3324076860.jpeg

WISM-21_P1_SP5_IND204_63750888 3781185382.jpeg

WISM-21_P1_SP5_IND204_63750888 3823838358.jpeg

WISM-21_P1_SP5_IND204_63750888 3848373169.jpeg

WISM-21_P1_SP9_IND202_63750815 1031626139.jpeg

WISM-21_P1_SP9_IND202_63750815 1044277348.jpeg

WISM-21_P1_SP13_IND207_6375088 23525861661.jpeg

WISM-21_P1_SP13_IND207_6375088 23539725379.jpeg

WISM-21_P1_SP13_IND207_6375088 23552905337.jpeg

WISM-21_P1_SP13_IND207_6375088 23575499161.jpeg

WISM-21_P1_SP13_IND207_6375088 23588364579.jpeg

WISM-21_P1_SP13_IND207_6375088 23611738424.jpeg

WISM-21_P1_SP13_IND207_6375088 23636131409.jpeg

WISM-21_P1_SP15_IND205_6375105 13394485104.jpeg

WISM-21_P1_SP15_IND205_6375105 13409852379.jpeg

WISM-21_P1_SP15_IND205_6375105 13429332284.jpeg

WISM-21_P1_SP15_IND205_6375105 13442513869.jpeg

WISM-21_P1_SP15_IND205_6375105 13456389406.jpeg

WISM-21_P1_SP16_IND208_6375090 08230443904.jpeg

WISM-21_P1_SP16_IND208_6375090 08243816937.jpeg

WISM-21_P1_SP16_IND208_6375090 08257262308.jpeg

WISM-21_P1_SP18_IND209_6375096 83687199584.jpeg

WISM-21_P1_SP18_IND209_6375096 83701411692.jpeg

WISM-21_P1_SP18_IND209_6375096 83769643044.jpeg

WISM-21_P1_SP18_IND209_6375096 83851533398.jpeg

WISM-21_P1_SP19_IND210_6375097 11513281909.jpeg

WISM-21_P1_SP19_IND210_6375097 11538363001.jpeg

WISM-21_P1_SP19_IND210_6375097 11556008212.jpeg

WISM-21_P1_SP20_IND211_6375099 01172117307.jpeg

WISM-21_P1_SP20_IND211_6375099 01187833852.jpeg

WISM-21_P1_SP20_IND211_6375099 01204332818.jpeg

WISM-21_P1_SP20_IND211_6375099 01221355146.jpeg

WISM-21_P1_SP20_IND211_6375099 01236930392.jpeg

WISM-21_P1_SP21_IND216_6375165 36965869307.jpeg

WISM-21_P1_SP21_IND216_6375165 36979033078.jpeg

WISM-21_P1_SP21_IND216_6375165 36992843206.jpeg

WISM-21_P1_SP21_IND216_6375165 37005334105.jpeg

WISM-21_P1_SP21_IND221_6375106 08134161064.jpeg

WISM-21_P1_SP21_IND221_6375106 08147494931.jpeg

WISM-21_P1_SP21_IND221_6375106 08162900946.jpeg

WISM-21_P1_SP21_IND221_6375106 08299255926.jpeg

WISM-21_P1_SP21_IND221_6375106 08348766895.jpeg

WISM-21_P1_SP21_IND221_6375106 08390862679.jpeg

WISM-21_P1_SP22_IND212_6375105 38220736824.jpeg

WISM-21_P1_SP22_IND212_6375105 38235088516.jpeg

WISM-21_P1_SP23_IND216_6375106 63554506460.jpeg

WISM-21_P1_SP23_IND216_6375106 63582098628.jpeg

WISM-21_P1_SP23_IND216_6375106 63620497007.jpeg

WISM-21_P1_SP23_IND216_6375106 63658468062.jpeg

WISM-21_P1_SP24_IND214_6375107 61657974062.jpeg

WISM-21_P1_SP24_IND214_6375107 61672146457.jpeg

WISM-21_P1_SP24_IND214_6375107 61686163892.jpeg

WISM-21_P1_SP24_IND214_6375107 61700722064.jpeg

WISM-21_P1_SP24_IND214_6375107 61714079337.jpeg

WISM-21_P1_SP24_IND214_6375107 61784226820.jpeg

WISM-21_P1_SP24_IND214_6375107 61859400290.jpeg

WISM-21_P1_SP25_IND215_6375107 04685223157.jpeg

WISM-21_P1_SP25_IND215_6375107 04699101061.jpeg

WISM-21_P1_SP26_IND217_6375098 83443055641.jpeg

WISM-21_P1_SP26_IND217_6375098 83720501595.jpeg

WISM-21_P1_SP26_IND217_6375098 83733687091.jpeg

WISM-21_P1_SP26_IND217_6375098 83747970332.jpeg

WISM-21_P1_SP27_IND218_6375098 10239369396.jpeg

WISM-21_P1_SP27_IND218_6375098 10256859543.jpeg

WISM-21_P1_SP28_IND219_6375098 18151082691.jpeg

WISM-21_P1_SP28_IND219_6375098 18170892693.jpeg

WISM-21_P1_SP28_IND219_6375098 18191925749.jpeg

WISM-21_P1_SP28_IND219_6375098 18223444107.jpeg

WISM-21_P1_SP28_IND219_6375098 76735662793.jpeg

WISM-21_P1_SP28_IND219_6375098 76799427125.jpeg

WISM-21_P1_SP28_IND219_6375098 76845911709.jpeg

WISM-21_P1_SP28_IND219_6375098 76872898299.jpeg

WISM-21_P1_SP28_IND219_6375098 76907712206.jpeg

WISM-21_P1_SP30_IND222_6375107 66384824179.jpeg

WISM-21_P1_SP30_IND222_6375107 66400850562.jpeg

WISM-21_P1_SP30_IND222_6375107 66417282040.jpeg

WISM-21_P1_SP30_IND222_6375107 66433527280.jpeg

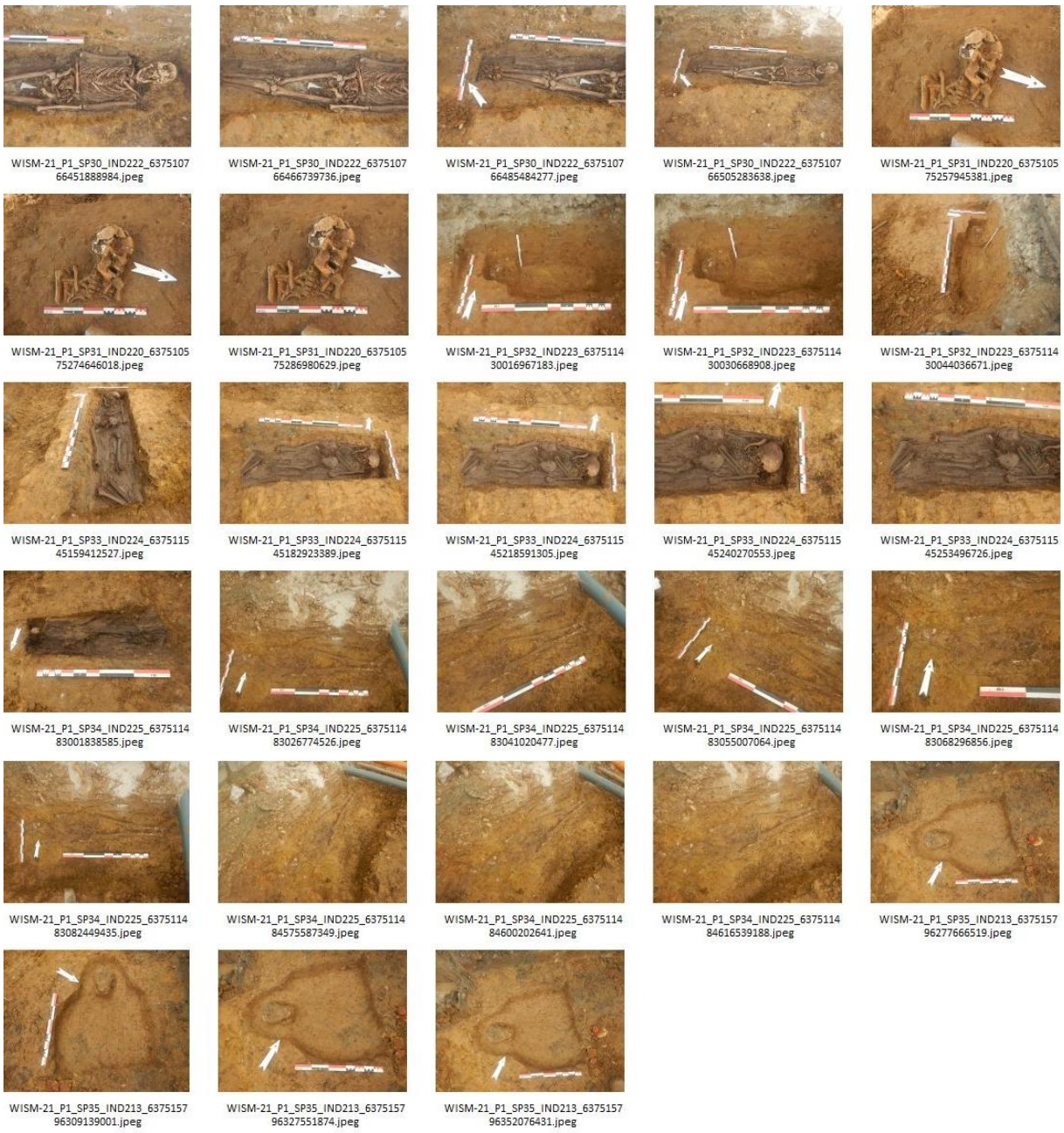


## 8.2.2 Vondstenfoto's

| Projectcode | Bestand | Onderwerp |
|---|---|---|
| 2021C69 | 2021C69_WISM-21_V003 (1).JPG | Vondstnummer 3 |
| 2021C69 | 2021C69_WISM-21_V003 (2).JPG | Vondstnummer 3 |
| 2021C69 | 2021C69_WISM-21_V003 (3).JPG | Vondstnummer 3 |
| 2021C69 | 2021C69_WISM-21_V004 (1).JPG | Vondstnummer 4 |
| 2021C69 | 2021C69_WISM-21_V004 (2).JPG | Vondstnummer 4 |
| 2021C69 | 2021C69_WISM-21_V10 (1).JPG | Vondstnummer 10 |
| 2021C69 | 2021C69_WISM-21_V10 (2).JPG | Vondstnummer 10 |
| 2021C69 | 2021C69_WISM-21_V10 (3).JPG | Vondstnummer 10 |
| 2021C69 | 2021C69_WISM-21_V11 (1).JPG | Vondstnummer 11 |
| 2021C69 | 2021C69_WISM-21_V11 (2).JPG | Vondstnummer 11 |
| 2021C69 | 2021C69_WISM-21_V12 (1).JPG | Vondstnummer 12 |
| 2021C69 | 2021C69_WISM-21_V12 (2).JPG | Vondstnummer 12 |

| Projectcode | Bestand | Onderwerp |
|---|---|---|
| 2021C69 | 2021C69_WISM-21_V14 (1).JPG | Vondstnummer 14 |
| 2021C69 | 2021C69_WISM-21_V14 (2).JPG | Vondstnummer 14 |
| 2021C69 | 2021C69_WISM-21_V14 (3).JPG | Vondstnummer 14 |
| 2021C69 | 2021C69_WISM-21_V16 (1).JPG | Vondstnummer 16 |
| 2021C69 | 2021C69_WISM-21_V16 (2).JPG | Vondstnummer 16 |
| 2021C69 | 2021C69_WISM-21_V16 (3).JPG | Vondstnummer 16 |
| 2021C69 | 2021C69_WISM-21_V18 (1).JPG | Vondstnummer 18 |
| 2021C69 | 2021C69_WISM-21_V18 (2).JPG | Vondstnummer 18 |
| 2021C69 | 2021C69_WISM-21_V23 (1).JPG | Vondstnummer 23 |
| 2021C69 | 2021C69_WISM-21_V23 (2).JPG | Vondstnummer 23 |
| 2021C69 | 2021C69_WISM-21_V24 (1).JPG | Vondstnummer 24 |
| 2021C69 | 2021C69_WISM-21_V24 (2).JPG | Vondstnummer 24 |
| 2021C69 | 2021C69_WISM-21_V025 (1).JPG | Vondstnummer 25 |
| 2021C69 | 2021C69_WISM-21_V025 (2).JPG | Vondstnummer 25 |
| 2021C69 | 2021C69_WISM-21_V025 (3).JPG | Vondstnummer 25 |
| 2021C69 | 2021C69_WISM-21_V30 (1).JPG | Vondstnummer 30 |
| 2021C69 | 2021C69_WISM-21_V30 (2).JPG | Vondstnummer 30 |
| 2021C69 | 2021C69_WISM-21_V31 (1).JPG | Vondstnummer 31 |
| 2021C69 | 2021C69_WISM-21_V31 (2).JPG | Vondstnummer 31 |
| 2021C69 | 2021C69_WISM-21_V33 (1).JPG | Vondstnummer 33 |
| 2021C69 | 2021C69_WISM-21_V33 (2).JPG | Vondstnummer 33 |
| 2021C69 | 2021C69_WISM-21_V33 (3).JPG | Vondstnummer 33 |
| 2021C69 | 2021C69_WISM-21_V34 (1).JPG | Vondstnummer 34 |
| 2021C69 | 2021C69_WISM-21_V34 (2).JPG | Vondstnummer 34 |
| 2021C69 | 2021C69_WISM-21_V44 (1).JPG | Vondstnummer 44 |
| 2021C69 | 2021C69_WISM-21_V44 (2).JPG | Vondstnummer 44 |
| 2021C69 | 2021C69_WISM-21_V56 (1).JPG | Vondstnummer 56 |
| 2021C69 | 2021C69_WISM-21_V56 (2).JPG | Vondstnummer 56 |
| 2021C69 | 2021C69_WISM-21_V60 (1).JPG | Vondstnummer 60 |
| 2021C69 | 2021C69_WISM-21_V60 (2).JPG | Vondstnummer 60 |
| 2021C69 | 2021C69_WISM-21_V60 (3).JPG | Vondstnummer 60 |
| 2021C69 | 2021C69_WISM-21_V60 (4).JPG | Vondstnummer 60 |
| 2021C69 | 2021C69_WISM-21_V60 (5).JPG | Vondstnummer 60 |
| 2021C69 | 2021C69_WISM-21_V60 (6).JPG | Vondstnummer 60 |
| 2021C69 | 2021C69_WISM-21_V60 (7).JPG | Vondstnummer 60 |
| 2021C69 | 2021C69_WISM-21_V61 (1).JPG | Vondstnummer 61 |
| 2021C69 | 2021C69_WISM-21_V61 (2).JPG | Vondstnummer 61 |
| 2021C69 | 2021C69_WISM-21_V61 (3).JPG | Vondstnummer 61 |
| 2021C69 | 2021C69_WISM-21_V063 (1).JPG | Vondstnummer 63 |
| 2021C69 | 2021C69_WISM-21_V063 (2).JPG | Vondstnummer 63 |
| 2021C69 | 2021C69_WISM-21_V063 (3).JPG | Vondstnummer 63 |
| 2021C69 | 2021C69_WISM-21_V063 (4).JPG | Vondstnummer 63 |
| 2021C69 | 2021C69_WISM-21_V65 (1).JPG | Vondstnummer 65 |
| 2021C69 | 2021C69_WISM-21_V65 (2).JPG | Vondstnummer 65 |
| 2021C69 | 2021C69_WISM-21_V066 (1).JPG | Vondstnummer 66 |
| 2021C69 | 2021C69_WISM-21_V066 (2).JPG | Vondstnummer 66 |
| 2021C69 | 2021C69_WISM-21_V066 (3).JPG | Vondstnummer 66 |

2021C69_WISM-21_V003 (1).JPG

2021C69_WISM-21_V003 (2).JPG

2021C69_WISM-21_V003 (3).JPG

2021C69_WISM-21_V004 (1).JPG

2021C69_WISM-21_V004 (2).JPG

2021C69_WISM-21_V10 (1).JPG

2021C69_WISM-21_V10 (2).JPG

2021C69_WISM-21_V10 (3).JPG

2021C69_WISM-21_V11 (1).JPG

2021C69_WISM-21_V11 (2).JPG

2021C69_WISM-21_V12 (1).JPG

2021C69_WISM-21_V12 (2).JPG

2021C69_WISM-21_V14 (1).JPG

2021C69_WISM-21_V14 (2).JPG

2021C69_WISM-21_V14 (3).JPG

2021C69_WISM-21_V16 (1).JPG

2021C69_WISM-21_V16 (2).JPG

2021C69_WISM-21_V16 (3).JPG

2021C69_WISM-21_V18 (1).JPG

2021C69_WISM-21_V18 (2).JPG

2021C69_WISM-21_V23 (1).JPG

2021C69_WISM-21_V23 (2).JPG

2021C69_WISM-21_V24 (1).JPG

2021C69_WISM-21_V24 (2).JPG

2021C69_WISM-21_V025 (1).JPG

2021C69_WISM-21_V025 (2).JPG

2021C69_WISM-21_V025 (3).JPG

2021C69_WISM-21_V30 (1).JPG

2021C69_WISM-21_V30 (2).JPG

2021C69_WISM-21_V31 (1).JPG

2021C69_WISM-21_V31 (2).JPG

2021C69_WISM-21_V33 (1).JPG

2021C69_WISM-21_V33 (2).JPG

2021C69_WISM-21_V33 (3).JPG

2021C69_WISM-21_V34 (1).JPG

2021C69_WISM-21_V34 (2).JPG

2021C69_WISM-21_V44 (1).JPG

2021C69_WISM-21_V44 (2).JPG

2021C69_WISM-21_V56 (1).JPG

2021C69_WISM-21_V56 (2).JPG

2021C69_WISM-21_V60 (1).JPG

2021C69_WISM-21_V60 (2).JPG

2021C69_WISM-21_V60 (3).JPG

2021C69_WISM-21_V60 (4).JPG

2021C69_WISM-21_V60 (5).JPG

2021C69_WISM-21_V60 (6).JPG

2021C69_WISM-21_V60 (7).JPG

2021C69_WISM-21_V61 (1).JPG

2021C69_WISM-21_V61 (2).JPG

2021C69_WISM-21_V61 (3).JPG

2021C69_WISM-21_V063 (1).JPG

2021C69_WISM-21_V063 (2).JPG

2021C69_WISM-21_V063 (3).JPG

2021C69_WISM-21_V063 (4).JPG

2021C69_WISM-21_V65 (1).JPG

2021C69_WISM-21_V65 (2).JPG

2021C69_WISM-21_V066 (1).JPG

2021C69_WISM-21_V066 (2).JPG

2021C69_WISM-21_V066 (3).JPG

## 8.3 DEEL 3 (2021D126)

### 8.3.1 Terreinfoto's

| Bestand | Soort | Put | Vlak | Spoor | Individu | Coupe | Profielnr. | Opmerking |
|---|---|---|---|---|---|---|---|---|
| DSCN6580 | Detail | 1 | 0 | 1 | 226 | - | - | Vondstlocatie bij aankomst |
| DSCN6581 | Detail | 1 | 0 | 1 | 226 | - | - | Vondstlocatie bij aankomst |
| DSCN6582 | Detail | 1 | 0 | 1 | 226 | - | - | Vondstlocatie bij aankomst |
| DSCN6583 | Detail | 1 | 0 | 1 | 226 | - | - | Vondstlocatie bij aankomst |
| DSCN6584 | Detail | 1 | 0 | 1 | 226 | - | - | Vondstlocatie bij aankomst |
| DSCN6585 | Detail | 1 | 0 | 1 | 226 | - | - | Vondstlocatie bij aankomst |
| DSCN6586 | Overzicht | 1 | - | - | - | - | - | Omgeving vondstlocatie |
| DSCN6587 | Overzicht | 2 | - | - | - | - | - | Omgeving vondstlocatie |
| DSCN6588 | Overzicht | 3 | - | - | - | - | - | Omgeving vondstlocatie |
| DSCN6589 | Detail | 1 | 1 | 1 | 226 | - | - | |
| DSCN6590 | Detail | 1 | 1 | 1 | 226 | - | - | |
| DSCN6591 | Detail | 1 | 1 | 1 | 226 | - | - | |
| DSCN6592 | Detail | 1 | 1 | 1 | 226 | - | - | |
| DSCN6593 | Detail | 1 | 1 | 1 | 226 | - | - | |
| DSCN6594 | Detail | 1 | 1 | 1 | 226 | - | - | |
| DSCN6595 | Detail | 1 | 1 | 1 | 226 | - | - | |
| DSCN6596 | Detail | 1 | 1 | 1 | 226 | - | - | |
| DSCN6597 | Detail | 1 | 1 | 1 | 226 | - | - | |
| DSCN6598 | Detail | 1 | 1 | 1 | 226 | - | - | |
| DSCN6599 | Detail | 1 | 2 | 1 | 226 | - | - | |
| DSCN6600 | Detail | 1 | 2 | 1 | 226 | - | - | |
| DSCN6601 | Detail | 1 | 2 | 1 | 226 | - | - | |
| DSCN6602 | Detail | 1 | 2 | 1 | 226 | - | - | |
| DSCN6603 | Detail | 1 | 2 | 1 | 226 | - | - | |

DSCN6580.JPG

DSCN6581.JPG

DSCN6582.JPG

DSCN6583.JPG

DSCN6584.JPG

DSCN6585.JPG

DSCN6586.JPG

DSCN6587.JPG

DSCN6588.JPG

DSCN6589.JPG

DSCN6590.JPG

DSCN6591.JPG

DSCN6592.JPG

DSCN6593.JPG

DSCN6594.JPG

DSCN6595.JPG

DSCN6596.JPG

DSCN6597.JPG

DSCN6598.JPG

DSCN6599.JPG

DSCN6600.JPG

DSCN6601.JPG

DSCN6602.JPG

DSCN6603.JPG

### 8.3.2 Vondstenfoto's

| Projectcode | Bestand | Onderwerp |
|---|---|---|
| 2021D126 | 2021D126_WISM-21_V001 (1).JPG | Vondstnummer 1 |
| 2021D126 | 2021D126_WISM-21_V001 (2).JPG | Vondstnummer 1 |
| 2021D126 | 2021D126_WISM-21_V001 (3).JPG | Vondstnummer 1 |
| 2021D126 | 2021D126_WISM-21_V001 (4).JPG | Vondstnummer 1 |
| 2021D126 | 2021D126_WISM-21_V001 (5).JPG | Vondstnummer 1 |
| 2021D126 | 2021D126_WISM-21_V001 (6).JPG | Vondstnummer 1 |
| 2021D126 | 2021D126_WISM-21_V001 (7).JPG | Vondstnummer 1 |
| 2021D126 | 2021D126_WISM-21_V001 (8).JPG | Vondstnummer 1 |
| 2021D126 | 2021D126_WISM-21_V001 (9).JPG | Vondstnummer 1 |
| 2021D126 | 2021D126_WISM-21_V001 (10).JPG | Vondstnummer 1 |
| 2021D126 | 2021D126_WISM-21_V001 (11).JPG | Vondstnummer 1 |
| 2021D126 | 2021D126_WISM-21_V001 (12).JPG | Vondstnummer 1 |
| 2021D126 | 2021D126_WISM-21_V001 (13).JPG | Vondstnummer 1 |
| 2021D126 | 2021D126_WISM-21_V002 (1).JPG | Vondstnummer 2 |
| 2021D126 | 2021D126_WISM-21_V002 (2).JPG | Vondstnummer 2 |
| 2021D126 | 2021D126_WISM-21_V002 (3).JPG | Vondstnummer 2 |
| 2021D126 | 2021D126_WISM-21_V002 (4).JPG | Vondstnummer 2 |
| 2021D126 | 2021D126_WISM-21_V007 (1).JPG | Vondstnummer 7 |
| 2021D126 | 2021D126_WISM-21_V007 (2).JPG | Vondstnummer 7 |
| 2021D126 | 2021D126_WISM-21_V007 (3).JPG | Vondstnummer 7 |
| 2021D126 | 2021D126_WISM-21_V009 (1).JPG | Vondstnummer 9 |
| 2021D126 | 2021D126_WISM-21_V009 (2).JPG | Vondstnummer 9 |
| 2021D126 | 2021D126_WISM-21_V009 (3).JPG | Vondstnummer 9 |
| 2021D126 | 2021D126_WISM-21_V009 (4).JPG | Vondstnummer 9 |
| 2021D126 | 2021D126_WISM-21_V009 (5).JPG | Vondstnummer 9 |
| 2021D126 | 2021D126_WISM-21_V009 (6).JPG | Vondstnummer 9 |
| 2021D126 | 2021D126_WISM-21_V009 (7).JPG | Vondstnummer 9 |
| 2021D126 | 2021D126_WISM-21_V009 (8).JPG | Vondstnummer 9 |
| 2021D126 | 2021D126_WISM-21_V009 (9).JPG | Vondstnummer 9 |
| 2021D126 | 2021D126_WISM-21_V009 (10).JPG | Vondstnummer 9 |
| 2021D126 | 2021D126_WISM-21_V009 (11).JPG | Vondstnummer 9 |
| 2021D126 | 2021D126_WISM-21_V009 (12).JPG | Vondstnummer 9 |
| 2021D126 | 2021D126_WISM-21_V009 (13).JPG | Vondstnummer 9 |
| 2021D126 | 2021D126_WISM-21_V009 (14).JPG | Vondstnummer 9 |
| 2021D126 | 2021D126_WISM-21_V009 (15).JPG | Vondstnummer 9 |
| 2021D126 | 2021D126_WISM-21_V009 (16).JPG | Vondstnummer 9 |
| 2021D126 | 2021D126_WISM-21_V009 (17).JPG | Vondstnummer 9 |

2021D126_WISM-21_V001 (1).JPG

2021D126_WISM-21_V001 (2).JPG

2021D126_WISM-21_V001 (3).JPG

2021D126_WISM-21_V001 (4).JPG

2021D126_WISM-21_V001 (5).JPG

2021D126_WISM-21_V001 (6).JPG

2021D126_WISM-21_V001 (7).JPG

2021D126_WISM-21_V001 (8).JPG

2021D126_WISM-21_V001 (9).JPG

2021D126_WISM-21_V001 (10).JPG

2021D126_WISM-21_V001 (11).JPG

2021D126_WISM-21_V001 (12).JPG

2021D126_WISM-21_V001 (13).JPG

2021D126_WISM-21_V002 (1).JPG

2021D126_WISM-21_V002 (2).JPG

2021D126_WISM-21_V002 (3).JPG

2021D126_WISM-21_V002 (4).JPG

2021D126_WISM-21_V007 (1).JPG

2021D126_WISM-21_V007 (2).JPG

2021D126_WISM-21_V007 (3).JPG

2021D126_WISM-21_V009 (1).JPG

2021D126_WISM-21_V009 (2).JPG

2021D126_WISM-21_V009 (3).JPG

2021D126_WISM-21_V009 (4).JPG

2021D126_WISM-21_V009 (5).JPG

2021D126_WISM-21_V009 (6).JPG

2021D126_WISM-21_V009 (7).JPG

2021D126_WISM-21_V009 (8).JPG

2021D126_WISM-21_V009 (9).JPG

2021D126_WISM-21_V009 (10).JPG

2021D126_WISM-21_V009 (11).JPG

2021D126_WISM-21_V009 (12).JPG

2021D126_WISM-21_V009 (13).JPG

2021D126_WISM-21_V009 (14).JPG

2021D126_WISM-21_V009 (15).JPG

2021D126_WISM-21_V009 (16).JPG

2021D126_WISM-21_V009 (17).JPG

## 8.4 DEEL 4 (2021D243)

### 8.4.1 Terreinfoto's

| Bestand | Soort | Put | Vlak | Spoor | Individu | Coupe | Profielnr. | Opmerking |
|---|---|---|---|---|---|---|---|---|
| DSCN6628 | Overzicht | 1 | 1 | - | - | - | - | - |
| DSCN6629 | Overzicht | 1 | 1 | - | - | - | - | - |
| DSCN6630 | Overzicht | 1 | 1 | - | - | - | - | - |
| DSCN6631 | Overzicht | 1 | 1 | - | - | - | - | - |
| DSCN6632 | Overzicht | 1 | 1 | - | - | - | - | - |
| DSCN6633 | Overzicht | 1 | 1 | - | - | - | - | - |
| DSCN6634 | Overzicht | 2 | 1 | - | - | - | - | - |
| DSCN6635 | Overzicht | 2 | 1 | - | - | - | - | - |
| DSCN6636 | Overzicht | 2 | 1 | - | - | - | - | - |
| DSCN6637 | Overzicht | 2 | 1 | - | - | - | - | - |
| DSCN6638 | Overzicht | 3 | 1 | - | - | - | - | - |
| DSCN6639 | Overzicht | 3 | 1 | - | - | - | - | - |
| DSCN6640 | Overzicht | 3 | 1 | - | - | - | - | - |
| DSCN6641 | Overzicht | 3 | 1 | - | - | - | - | - |
| DSCN6642 | Overzicht | 3 | 1 | - | - | - | - | - |
| DSCN6643 | Overzicht | 4 | 1 | - | - | - | - | - |
| DSCN6644 | Overzicht | 4 | 1 | - | - | - | - | - |
| DSCN6645 | Overzicht | 4 | 1 | - | - | - | - | - |
| DSCN6646 | Overzicht | 2 | 1 | - | - | - | - | - |
| DSCN6647 | Overzicht | 2 | 1 | - | - | - | - | - |
| DSCN6648 | Overzicht | 2 | 1 | - | - | - | - | - |
| DSCN6649 | Overzicht | 2 | 1 | - | - | - | - | - |
| DSCN6650 | Overzicht | 4 | 1 | - | - | - | - | - |
| DSCN6651 | Overzicht | 4 | 1 | - | - | - | - | - |
| DSCN6652 | Overzicht | 4 | 1 | - | - | - | - | - |
| DSCN6653 | Overzicht | 4 | 1 | - | - | - | - | - |
| DSCN6654 | Overzicht | 4 | 1 | - | - | - | - | - |
| DSCN6655 | Overzicht | 4 | 1 | - | - | - | - | - |
| DSCN6656 | Overzicht | 3 | 1 | - | - | - | - | - |
| DSCN6657 | Overzicht | 3 | 1 | - | - | - | - | - |
| DSCN6658 | Overzicht | 3 | 1 | - | - | - | - | - |
| DSCN6659 | Overzicht | 3 | 1 | - | - | - | - | - |
| DSCN6660 | Overzicht | 1 | 1 | - | - | - | - | - |
| DSCN6661 | Overzicht | 1 | 1 | - | - | - | - | - |
| DSCN6662 | Overzicht | 1 | 1 | - | - | - | - | - |
| DSCN6663 | Overzicht | 1 | 1 | - | - | - | - | - |
| DSCN6664 | Overzicht | 1 | 1 | - | - | - | - | - |
| DSCN6665 | Overzicht | 1 | 1 | - | - | - | - | - |
| DSCN6666 | Overzicht | 1 | 1 | - | - | - | - | - |
| DSCN6667 | Overzicht | 1 | 1 | - | - | - | - | - |
| DSCN6668 | Overzicht | 1 | 1 | - | - | - | - | - |
| DSCN6669 | Overzicht | 1 | 1 | - | - | - | - | - |
| DSCN6670 | Overzicht | 1 | 1 | - | - | - | - | - |
| DSCN6671 | Overzicht | 1 | 1 | - | - | - | - | - |
| DSCN6672 | Overzicht | 1 | 1 | - | - | - | - | - |
| DSCN6673 | Detail | 1 | 1 | 3 | 127 | - | - | - |
| DSCN6674 | Detail | 1 | 1 | 3 | 127 | - | - | - |
| DSCN6675 | Detail | 1 | 1 | 3 | 127 | - | - | - |
| DSCN6676 | Detail | 1 | 1 | 3 | 127 | - | - | - |
| DSCN6677 | Detail | 1 | 1 | 3 | 127 | - | - | - |

| Bestand | Soort | Put | Vlak | Spoor | Individu | Coupe | Profielnr. | Opmerking |
|---|---|---|---|---|---|---|---|---|
| DSCN6678 | Detail | 1 | 1 | 3 | 127 | - | - | - |
| DSCN6679 | Detail | 1 | 1 | 4 | 128 | - | - | - |
| DSCN6680 | Detail | 1 | 1 | 4 | 128 | - | - | - |
| DSCN6681 | Detail | 1 | 1 | 4 | 128 | - | - | - |
| DSCN6682 | Detail | 1 | 1 | 4 | 128 | - | - | - |
| DSCN6683 | Detail | 1 | 1 | 4 | 128 | - | - | - |
| DSCN6684 | Detail | 1 | 1 | 4 | 128 | - | - | - |
| DSCN6685 | Detail | 1 | 1 | 6 | 129 | - | - | - |
| DSCN6686 | Detail | 1 | 1 | 6 | 129 | - | - | - |
| DSCN6687 | Detail | 1 | 1 | 6 | 129 | - | - | - |
| DSCN6688 | Detail | 1 | 1 | 6 | 129 | - | - | - |
| DSCN6689 | Detail | 1 | 1 | 6 | 129 | - | - | - |
| DSCN6690 | Detail | 1 | 1 | 6 | 129 | - | - | - |
| DSCN6691 | Detail | 1 | 1 | 6 | 129 | - | - | - |
| DSCN6692 | Detail | 1 | 1 | 6 | 129 | - | - | - |
| DSCN6693 | Detail | 1 | 1 | 6 | 129 | - | - | - |
| DSCN6694 | Detail | 1 | 1 | 6 | 129 | - | - | - |
| DSCN6695 | Detail | 1 | 1 | 6 | 129 | - | - | - |
| DSCN6696 | Detail | 1 | 1 | 6 | 129 | - | - | - |
| DSCN6697 | Detail | 1 | 1 | 6 | 129 | - | - | - |
| DSCN6698 | Detail | 1 | 1 | 6 | 129 | - | - | - |
| DSCN6699 | Detail | 1 | 1 | 5 | - | - | - | - |
| DSCN6700 | Detail | 1 | 1 | 5 | - | - | - | - |
| DSCN6701 | Detail | 1 | 1 | 5 | - | - | - | - |
| DSCN6702 | Detail | 1 | 1 | 5 | - | - | - | - |
| DSCN6703 | Detail | 1 | 1 | 5 | - | - | - | - |
| DSCN6704 | Detail | 1 | 1 | 5 | - | - | - | - |
| DSCN6705 | Detail | 1 | 1 | 5 | - | - | - | - |
| DSCN6706 | Detail | 1 | 1 | 5 | - | - | - | - |
| DSCN6707 | Detail | 1 | 1 | 7;8 | - | - | - | - |
| DSCN6708 | Detail | 1 | 1 | 7;8 | - | - | - | - |
| DSCN6709 | Detail | 1 | 1 | 7;8 | - | - | - | - |
| DSCN6710 | Detail | 1 | 1 | 7 | 130 | - | - | - |
| DSCN6711 | Detail | 1 | 1 | 7 | 130 | - | - | - |
| DSCN6712 | Detail | 1 | 1 | 7 | 130 | - | - | - |
| DSCN6713 | Detail | 1 | 1 | 7 | 130 | - | - | - |
| DSCN6714 | Detail | 1 | 1 | 7 | 130 | - | - | - |

DSCN6628.JPG

DSCN6629.JPG

DSCN6630.JPG

DSCN6631.JPG

DSCN6632.JPG

DSCN6633.JPG

DSCN6634.JPG

DSCN6635.JPG

DSCN6636.JPG

DSCN6637.JPG

DSCN6638.JPG

DSCN6639.JPG

DSCN6640.JPG

DSCN6641.JPG

DSCN6642.JPG

DSCN6643.JPG

DSCN6644.JPG

DSCN6645.JPG

DSCN6646.JPG

DSCN6647.JPG

DSCN6648.JPG

DSCN6649.JPG

DSCN6650.JPG

DSCN6651.JPG

DSCN6652.JPG

DSCN6653.JPG

DSCN6654.JPG

DSCN6655.JPG

DSCN6656.JPG

DSCN6657.JPG

DSCN6658.JPG

DSCN6659.JPG

DSCN6660.JPG

DSCN6661.JPG

DSCN6662.JPG

DSCN6663.JPG

DSCN6664.JPG

DSCN6665.JPG

DSCN6666.JPG

DSCN6667.JPG

DSCN6668.JPG

DSCN6669.JPG

DSCN6670.JPG

DSCN6671.JPG

DSCN6672.JPG

DSCN6673.JPG

DSCN6674.JPG

DSCN6675.JPG

DSCN6676.JPG

DSCN6677.JPG

DSCN6678.JPG

DSCN6679.JPG

DSCN6680.JPG

DSCN6681.JPG

DSCN6682.JPG

DSCN6683.JPG

DSCN6684.JPG

DSCN6685.JPG

DSCN6686.JPG

DSCN6687.JPG

DSCN6688.JPG

DSCN6689.JPG

DSCN6690.JPG

DSCN6691.JPG

DSCN6692.JPG

DSCN6693.JPG

DSCN6694.JPG

DSCN6695.JPG

DSCN6696.JPG

DSCN6697.JPG

DSCN6698.JPG

DSCN6699.JPG

DSCN6700.JPG

DSCN6701.JPG

DSCN6702.JPG

DSCN6703.JPG

DSCN6704.JPG

DSCN6705.JPG

DSCN6706.JPG

DSCN6707.JPG

DSCN6708.JPG

DSCN6709.JPG

DSCN6710.JPG

DSCN6711.JPG

DSCN6712.JPG

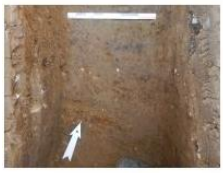
DSCN6713.JPG

DSCN6714.JPG

### 8.4.2 Vondstenfoto's

| Projectcode | Bestand | Onderwerp |
|---|---|---|
| 2021D243 | 2021D243_WISM-20_V11 (2).JPG | Vondstnummer 11 |
| 2021D243 | 2021D243_WISM-20_V11 (3).JPG | Vondstnummer 11 |
| 2021D243 | 2021D243_WISM-20_V11 (4).JPG | Vondstnummer 11 |

2021D243_WISM-20_V11 (2).JPG

2021D243_WISM-20_V11 (3).JPG

2021D243_WISM-20_V11 (4).JPG

# 9 LIJST VAN SPOREN

## 9.1 DEEL 1 (2020I174)

| Spoornr | Putnr | Vlaknr | Aard spoor | Vorm | Vulling | Tint | Hoofdkleur | Nevenkleur | Opmerking | Z |
|---|---|---|---|---|---|---|---|---|---|---|
| 1 | 1 | 1 | Inhumatie | Onregelmatig | Heterogeen | Midden | Bruin | Grijs | Kerkhoflaag | 80,36 |
| 2 | 1 | 1 | Greppel | Lineair | Heterogeen | Midden | Bruin | Grijs | Kerkhof afbakening? | 80,48 |
| 3 | 1 | 1 | Inhumatie | Onregelmatig | Heterogeen | Midden | Bruin | Grijs | Kerkhoflaag | 80,59 |
| 4 | 1 | 1 | Granaattrechter | Ovaal | Heterogeen | Midden | Bruin | Grijs | | 80,34 |
| 5 | 1 | 1 | Granaattrechter | Ovaal | Heterogeen | Midden | Bruin | Grijs | | 80,38 |
| 6 | 1 | 1 | Granaattrechter | Ovaal | Heterogeen | Midden | Bruin | Grijs | | 80,35 |
| 7 | 1 | 1 | Granaattrechter | Ovaal | Heterogeen | Midden | Bruin | Grijs | | 80,34 |
| 8 | 1 | 1 | Kuil | Rond | Heterogeen | Midden | Bruin | Grijs | | 80,40 |
| 9 | 1 | 1 | Granaattrechter | Ovaal | Heterogeen | Midden | Bruin | Grijs | | 80,52 |
| 10 | 1 | 1 | Inhumatie | Onregelmatig | Heterogeen | Midden | Grijs | Bruin | IND 110 | 80,61 |
| 11 | 1 | 1 | Inhumatie | Onregelmatig | Heterogeen | Midden | Grijs | Bruin | | 80,45 |
| 12 | 1 | 1 | Granaattrechter | Onregelmatig | Heterogeen | Midden | Bruin | Grijs | IND 161 | 80,53 |
| 13 | 1 | 1 | Inhumatie | Onregelmatig | Heterogeen | Midden | Bruin | Grijs | IND 133 | 80,64 |
| 14 | 1 | 1 | Inhumatie | Onregelmatig | Heterogeen | Midden | Bruin | Grijs | IND 130 | 80,65 |
| 15 | 1 | 1 | Inhumatie | Onregelmatig | Heterogeen | Midden | Bruin | Grijs | | 80,77 |
| 16 | 1 | 1 | Granaattrechter | Onregelmatig | Heterogeen | Midden | Bruin | Grijs | | 80,72 |
| 17 | 1 | 1 | Inhumatie | Onregelmatig | Heterogeen | Midden | Bruin | Grijs | IND 143 | 80,75 |
| 18 | 1 | 1 | Granaattrechter | Onregelmatig | Heterogeen | Midden | Bruin | Grijs | | 80,74 |
| 19 | 1 | 1 | Granaattrechter | Onregelmatig | Heterogeen | Midden | Bruin | Grijs | | 80,67 |
| 20 | 1 | 1 | Granaattrechter | Onregelmatig | Heterogeen | Midden | Bruin | Grijs | IND 2 | 80,78 |
| 21 | 1 | 1 | Inhumatie | Onregelmatig | Heterogeen | Midden | Bruin | Grijs | IND 140 | 80,80 |
| 22 | 1 | 1 | Inhumatie | Onregelmatig | Heterogeen | Midden | Bruin | Grijs | IND 141 | 80,80 |
| 23 | 1 | 1 | Inhumatie | Onregelmatig | Heterogeen | Midden | Bruin | Grijs | IND 101 | 80,76 |
| 24 | 1 | 1 | Granaattrechter | Onregelmatig | Heterogeen | Midden | Bruin | Grijs | | 80,74 |
| 25 | 1 | 1 | Granaattrechter | Onregelmatig | Heterogeen | Midden | Bruin | Grijs | | 80,80 |
| 26 | 1 | 1 | Granaattrechter | Onregelmatig | Heterogeen | Midden | Bruin | Grijs | | 80,70 |
| 27 | 1 | 2 | Granaattrechter | Onregelmatig | Heterogeen | Donker | Bruin | Grijs | IND 1 | 80,11 |

| Spoornr | Putnr | Vlaknr | Aard spoor | Vorm | Vulling | Tint | Hoofdkleur | Nevenkleur | Opmerking | Z |
|---|---|---|---|---|---|---|---|---|---|---|
| 28 | 1 | 1 | Inhumatie | Onregelmatig | Homogeen | Midden | Bruin | Grijs | IND 102 | 80,44 |
| 29 | 1 | 1 | Inhumatie | Onregelmatig | Homogeen | Midden | Bruin | Grijs | IND 103 | 80,47 |
| 30 | 1 | 1 | Inhumatie | Onregelmatig | Homogeen | Midden | Bruin | Grijs | IND 104 | 80,23 |
| 31 | 1 | 1 | Inhumatie | Onregelmatig | Homogeen | Midden | Bruin | Grijs | IND 105 | 80,16 |
| 32 | 1 | 1 | Inhumatie | Onregelmatig | Homogeen | Midden | Bruin | Grijs | IND 106 | 80,44 |
| 33 | 1 | 1 | Inhumatie | Onregelmatig | Homogeen | Midden | Bruin | Grijs | IND 107 | 80,44 |
| 34 | 1 | 1 | Inhumatie | Onregelmatig | Homogeen | Midden | Bruin | Grijs | IND 108 | 80,55 |
| 35 | 1 | 1 | Inhumatie | Onregelmatig | Homogeen | Midden | Bruin | Grijs | IND 109 | 80,71 |
| 36 | 1 | 1 | Inhumatie | Onregelmatig | Homogeen | Midden | Bruin | Grijs | IND 163 | 80,51 |
| 37 | 1 | 1 | Inhumatie | Onregelmatig | Homogeen | Midden | Bruin | Grijs |  | 80,42 |
| 38 | 1 | 1 | Inhumatie | Onregelmatig | Homogeen | Midden | Bruin | Grijs | IND 164 | 80,34 |
| 39 | 1 | 1 | Granaattrechter | Rond | Homogeen | Midden | Bruin | Grijs |  | 80,50 |
| 40 | 1 | 1 | Inhumatie | Onregelmatig | Heterogeen | Licht | Bruin | Grijs | IND 111 | 80,40 |
| 41 | 1 | 1 | Inhumatie | Onregelmatig | Heterogeen | Licht | Bruin | Grijs | IND 112 | 80,44 |
| 42 | 1 | 1 | Inhumatie | Onregelmatig | Heterogeen | Licht | Bruin | Grijs | IND 113 | 80,52 |
| 43 | 1 | 1 | Inhumatie | Onregelmatig | Heterogeen | Licht | Bruin | Grijs | IND 114 | 80,26 |
| 44 | 1 | 1 | Inhumatie | Onregelmatig | Heterogeen | Licht | Bruin | Grijs | IND 115 | 80,28 |
| 45 | 1 | 1 | Inhumatie | Onregelmatig | Heterogeen | Licht | Bruin | Grijs | IND 116 | 80,33 |
| 46 | 1 | 1 | Inhumatie | Onregelmatig | Heterogeen | Licht | Bruin | Grijs | IND 117 | 80,43 |
| 47 | 1 | 1 | Inhumatie | Onregelmatig | Heterogeen | Licht | Bruin | Grijs | IND 177 | 80,30 |
| 48 | 1 | 1 | Inhumatie | Onregelmatig | Heterogeen | Licht | Bruin | Grijs | IND 167 | 80,51 |
| 49 | 1 | 1 | Inhumatie | Onregelmatig | Heterogeen | Licht | Bruin | Grijs | IND 181 | 80,47 |
| 50 | 1 | 1 | Inhumatie | Onregelmatig | Heterogeen | Licht | Bruin | Grijs | IND 118 | 80,39 |
| 51 | 1 | 1 | Inhumatie | Onregelmatig | Heterogeen | Donker | Bruin | Grijs | IND 119 | 80,28 |
| 52 | 1 | 1 | Inhumatie | Rechthoekig | Heterogeen | Donker | Bruin | Grijs | IND 120 | 80,18 |
| 53 | 1 | 2 | Granaattrechter | Onregelmatig | Heterogeen | Midden | Grijs | Bruin | IND 3 | 79,99 |
| 54 | 1 | 1 | Inhumatie | Rechthoekig | Heterogeen | Donker | Bruin | Grijs | IND 121 | 80,20 |
| 55 | 1 | 1 | Inhumatie | Rechthoekig | Heterogeen | Donker | Bruin | Grijs | IND 122 | 80,16 |
| 56 | 1 | 1 | Inhumatie | Rechthoekig | Heterogeen | Donker | Bruin | Grijs | IND 126 | 80,26 |
| 57 | 1 | 1 | Inhumatie | Onregelmatig | Heterogeen | Donker | Bruin | Grijs | IND 123 | 80,35 |
| 58 | 1 | 1 | Inhumatie | Onregelmatig | Heterogeen | Donker | Bruin | Grijs | IND 124 | 80,26 |
| 59 | 1 | 1 | Inhumatie | Onregelmatig | Heterogeen | Donker | Bruin | Grijs | IND 127 | 80,31 |
| 60 | 1 | 1 | Inhumatie | Onregelmatig | Heterogeen | Donker | Bruin | Grijs | IND 128 | 80,26 |
| 61 | 1 | 2 | Inhumatie | Onregelmatig | Homogeen | Licht | Grijs | Grijs | IND 129 | 80,59 |

| Spoornr | Putnr | Vlaknr | Aard spoor | Vorm | Vulling | Tint | Hoofdkleur | Nevenkleur | Opmerking | Z |
|---|---|---|---|---|---|---|---|---|---|---|
| 62 | 1 | 2 | Inhumatie | Onregelmatig | Homogeen | Licht | Grijs | Grijs | IND 135 | 80,68 |
| 63 | 1 | 2 | Inhumatie | Onregelmatig | Homogeen | Licht | Bruin | Grijs | IND 132 | 80,68 |
| 64 | 1 | 2 | Inhumatie | Onregelmatig | Heterogeen | Licht | Grijs | Bruin | IND 131 | 80,63 |
| 65 | 1 | 2 | Inhumatie | Rechthoekig | Heterogeen | Licht | Bruin | Grijs | IND 133 | 80,52 |
| 66 | 1 | 2 | Inhumatie | Onregelmatig | Heterogeen | Licht | Grijs | Bruin | IND 134 | 80,61 |
| 67 | 1 | 2 | Inhumatie | Onregelmatig | Heterogeen | Licht | Grijs | Bruin |  | 80,65 |
| 68 | 1 | 2 | Inhumatie | Rechthoekig | Heterogeen | Licht | Grijs | Bruin | IND 136 | 80,05 |
| 69 | 1 | 2 | Inhumatie | Rechthoekig | Heterogeen | Licht | Grijs | Bruin | IND 137 | 80,22 |
| 70 | 1 | 2 | Inhumatie | Rechthoekig | Heterogeen | Licht | Grijs | Bruin | IND 138 | 80,25 |
| 71 | 1 | 2 | Inhumatie | Rechthoekig | Heterogeen | Licht | Grijs | Bruin | IND 139 | 80,25 |
| 72 | 1 | 2 | Inhumatie | Onregelmatig | Heterogeen | Licht | Grijs | Bruin | IND 142 | 80,66 |
| 73 | 1 | 2 | Inhumatie | Rechthoekig | Heterogeen | Licht | Bruin | Grijs | IND 145 | 80,56 |
| 74 | 1 | 2 | Inhumatie | Rechthoekig | Heterogeen | Licht | Bruin | Grijs | IND 146 | 80,58 |
| 75 | 1 | 2 | Inhumatie | Rechthoekig | Heterogeen | Licht | Bruin | Grijs | IND 147 | 80,58 |
| 76 | 1 | 2 | Inhumatie | Rechthoekig | Heterogeen | Licht | Bruin | Grijs | IND 148 | 80,59 |
| 77 | 1 | 2 | Inhumatie | Onregelmatig | Heterogeen | Midden | Grijs | Bruin | IND 159 | 80,29 |
| 78 | 1 | 2 | Onbekend | Onregelmatig | Heterogeen | Licht | Grijs | Blauw |  | 80,49 |
| 79 | 1 | 2 | Inhumatie | Rechthoekig | Heterogeen | Midden | Bruin | Grijs | IND 155 | 80,47 |
| 80 | 1 | 2 | Inhumatie | Rechthoekig | Heterogeen | Licht | Bruin | Grijs | IND 149 | 80,36 |
| 81 | 1 | 2 | Inhumatie | Onregelmatig | Heterogeen | Midden | Grijs | Bruin | IND 165 | 80,60 |
| 82 | 1 | 2 | Inhumatie | Rechthoekig | Heterogeen | Midden | Bruin | Grijs | IND 156 | 80,57 |
| 83 | 1 | 2 | Onbekend | Onregelmatig | Heterogeen | Licht | Grijs | Blauw |  | 80,48 |
| 84 | 1 | 2 | Inhumatie | Onregelmatig | Heterogeen | Midden | Grijs | Bruin | IND 166 | 80,44 |
| 85 | 1 | 2 | Inhumatie | Onregelmatig | Heterogeen | Licht | Bruin | Grijs | IND 154 | 80,29 |
| 86 | 1 | 3 | Inhumatie | Rechthoekig | Heterogeen | Midden | Grijs | Bruin | IND 150 | 79,98 |
| 87 | 1 | 3 | Inhumatie | Rechthoekig | Heterogeen | Midden | Grijs | Bruin | IND 151 | 80,33 |
| 88 | 1 | 3 | Inhumatie | Rechthoekig | Heterogeen | Midden | Grijs | Bruin | IND 152 | 80,19 |
| 89 | 1 | 3 | Inhumatie | Rechthoekig | Heterogeen | Midden | Grijs | Bruin | IND 153 | 80,05 |
| 90 | 1 | 2 | Inhumatie | Rechthoekig | Heterogeen | Midden | Grijs | Bruin | Grotendeels verstoord door S20 | 80,64 |
| 91 | 1 | 2 | Inhumatie | Rechthoekig | Heterogeen | Midden | Grijs | Bruin | IND 175 | 80,62 |
| 92 | 1 | 2 | Inhumatie | Rechthoekig | Heterogeen | Midden | Grijs | Bruin | Grotendeels verstoord door S21 | 80,66 |
| 93 | 1 | 2 | Inhumatie | Rechthoekig | Heterogeen | Midden | Grijs | Bruin | IND 171 | 80,66 |
| 94 | 1 | 2 | Inhumatie | Rechthoekig | Heterogeen | Midden | Grijs | Bruin | IND 172 | 80,65 |
| 95 | 1 | 2 | Inhumatie | Rechthoekig | Heterogeen | Midden | Grijs | Bruin | Grotendeels verstoord door S19 | 80,62 |

| Spoornr | Putnr | Vlaknr | Aard spoor | Vorm | Vulling | Tint | Hoofdkleur | Nevenkleur | Opmerking | Z |
|---|---|---|---|---|---|---|---|---|---|---|
| 96 | 1 | 2 | Inhumatie | Rechthoekig | Heterogeen | Midden | Grijs | Bruin | Grotendeels verstoord door S20 | 80,62 |
| 97 | 1 | 2 | Inhumatie | Onregelmatig | Heterogeen | Licht | Grijs | Bruin | IND 179 | 80,48 |
| 98 | 1 | 2 | Inhumatie | Onregelmatig | Heterogeen | Licht | Grijs | Bruin | IND 180 | 80,31 |
| 99 | 1 | 2 | Inhumatie | Onregelmatig | Heterogeen | Midden | Grijs | Bruin | IND 160 | 80,31 |
| 100 | 1 | 3 | Inhumatie | Onregelmatig | Heterogeen | Midden | Grijs | Bruin | IND 158 | 80,27 |
| 101 | 1 | 3 | Inhumatie | Onregelmatig | Heterogeen | Midden | Grijs | Bruin | IND 157 | 80,45 |
| 102 | 1 | 2 | Inhumatie | Rechthoekig | Heterogeen | Midden | Grijs | Bruin | | 80,31 |
| 103 | 1 | 2 | Inhumatie | Onregelmatig | Heterogeen | Midden | Grijs | Bruin | | 80,28 |
| 104 | 1 | 2 | Inhumatie | Onregelmatig | Heterogeen | Midden | Grijs | Bruin | Grotendeels verstoord door S6 | 80,32 |
| 105 | 1 | 2 | Inhumatie | Onregelmatig | Homogeen | Licht | Grijs | Bruin | IND 162 | 80,27 |
| 106 | 1 | 2 | Inhumatie | Onregelmatig | Heterogeen | Midden | Grijs | Bruin | Grotendeels buiten wp | 80,27 |
| 107 | 1 | 2 | Inhumatie | Onregelmatig | Heterogeen | Midden | Grijs | Bruin | Grotendeels verstoord door S4 | 80,26 |
| 108 | 1 | 2 | Inhumatie | Rechthoekig | Heterogeen | Midden | Grijs | Bruin | Geen bot | 80,19 |
| 109 | 1 | 2 | Inhumatie | Rechthoekig | Heterogeen | Midden | Grijs | Bruin | IND 169 | 80,20 |
| 110 | 1 | 4 | Inhumatie | Onregelmatig | Heterogeen | Midden | Grijs | Bruin | IND 182 | 79,99 |
| 111 | 1 | 4 | Inhumatie | Onregelmatig | Heterogeen | Midden | Grijs | Bruin | IND 189 | 80,05 |
| 112 | 1 | 2 | Inhumatie | Rechthoekig | Heterogeen | Midden | Grijs | Bruin | IND 170 | 80,21 |
| 113 | 1 | 2 | Inhumatie | Rechthoekig | Heterogeen | Midden | Grijs | Bruin | IND 168 | 80,24 |
| 114 | 1 | 2 | Inhumatie | Onregelmatig | Heterogeen | Licht | Grijs | Bruin | IND 178 | 80,51 |
| 115 | 1 | 2 | Laag | Onregelmatig | Heterogeen | Licht | Grijs | Blauw | | 80,61 |
| 116 | 1 | 2 | Inhumatie | Rechthoekig | Heterogeen | Midden | Grijs | Bruin | IND 173 | 80,45 |
| 117 | 1 | 2 | Inhumatie | Rechthoekig | Heterogeen | Midden | Grijs | Bruin | IND 174 | 80,25 |
| 118 | 1 | 2 | Inhumatie | Onregelmatig | Heterogeen | Licht | Grijs | Bruin | IND 176 | 80,13 |
| 119 | 1 | 2 | Kuil | Rechthoekig | Heterogeen | Licht | Grijs | Bruin | | 80,29 |
| 120 | 1 | 2 | Inhumatie | Rechthoekig | Heterogeen | Licht | Grijs | Bruin | Mogelijke inhumatie | 80,02 |
| 121 | 1 | 2 | Inhumatie | Rechthoekig | Heterogeen | Midden | Grijs | Bruin | IND 184 | 80,34 |
| 122 | 1 | 2 | Inhumatie | Rechthoekig | Heterogeen | Midden | Grijs | Bruin | IND 185 | 80,36 |
| 123 | 1 | 2 | Inhumatie | Rechthoekig | Heterogeen | Midden | Grijs | Bruin | Enkel los bot | 80,31 |
| 124 | 1 | 2 | Inhumatie | Rechthoekig | Heterogeen | Midden | Grijs | Bruin | Geen bot | 80,33 |
| 125 | 1 | 2 | Inhumatie | Rechthoekig | Heterogeen | Midden | Grijs | Bruin | IND 183 | 80,15 |
| 126 | 1 | 2 | Inhumatie | Rechthoekig | Heterogeen | Midden | Grijs | Bruin | IND 186 | 80,10 |
| 127 | 1 | 2 | Inhumatie | Rechthoekig | Heterogeen | Midden | Grijs | Bruin | IND 187 | 80,06 |
| 128 | 1 | 3 | Inhumatie | Rechthoekig | Heterogeen | Midden | Bruin | Grijs | IND 195 | 79,87 |
| 129 | 1 | 2 | Inhumatie | Rechthoekig | Heterogeen | Midden | Grijs | Bruin | IND 188 | 80,09 |

| Spoornr | Putnr | Vlaknr | Aard spoor | Vorm | Vulling | Tint | Hoofdkleur | Nevenkleur | Opmerking | Z |
|---|---|---|---|---|---|---|---|---|---|---|
| 130 | 1 | 1 | Inhumatie | Rechthoekig | Heterogeen | Midden | Bruin | Grijs | IND 194 | 80,22 |
| 131 | 1 | 1 | Inhumatie | Rechthoekig | Heterogeen | Midden | Bruin | Grijs | Geen bot | 80,31 |
| 132 | 1 | 2 | Inhumatie | Rechthoekig | Heterogeen | Midden | Grijs | Grijs | | 82,01 |
| 133 | 1 | 3 | Inhumatie | Rechthoekig | Heterogeen | Donker | Bruin | Grijs | IND 190 | 79,93 |
| 134 | 1 | 2 | Inhumatie | Rechthoekig | Heterogeen | Donker | Bruin | Grijs | Losse schedel | 80,48 |
| 135 | 1 | 1 | Inhumatie | Rechthoekig | Heterogeen | Midden | Bruin | Grijs | IND 192 | 80,60 |
| 136 | 1 | 2 | Inhumatie | Rechthoekig | Heterogeen | Midden | Bruin | Grijs | Geen bot | 80,35 |
| 137 | 1 | 1 | Granaattrechter | Ovaal | Heterogeen | Donker | Grijs | Bruin | | 80,61 |
| 138 | 1 | 1 | Inhumatie | Rechthoekig | Heterogeen | Midden | Bruin | Grijs | IND 193 | 80,08 |
| 139 | 1 | 3 | Granaattrechter | Rechthoekig | Heterogeen | Midden | Bruin | Grijs | | 80,00 |
| 140 | 1 | 3 | Inhumatie | Rechthoekig | Heterogeen | Midden | Bruin | Grijs | IND 191 | - |

## 9.2 DEEL 2 (2021C69)

| Spoornr | Putnr | Vlaknr | Aardspoor | Vorm | Vullign | Tint | Hoofdkleur | Nevenkleur | Opmerking | Z |
|---|---|---|---|---|---|---|---|---|---|---|
| 1 | 1 | 1 | Greppel | Rechthoekig | Heterogeen | Midden | Grijs | Beige | | 80,19 |
| 2 | 1 | 1 | Recente verstoring | Rechthoekig | Heterogeen | Midden | Grijs | Beige | | 80,11 |
| 3 | 1 | 1 | Recente verstoring | Ovaal | Heterogeen | Midden | Grijs | Bruin | | 80,09 |
| 4 | 1 | 1 | Inhumatie | Rechthoekig | Heterogeen | Midden | Grijs | Bruin | IND 203 | 80,41 |
| 5 | 1 | 2 | Inhumatie | Rechthoekig | Heterogeen | Midden | Grijs | Bruin | IND 204 | 80,40 |
| 6 | 1 | 1 | Inhumatie | Rechthoekig | Heterogeen | Midden | Grijs | Bruin | IND 206 | 80,37 |
| 7 | 1 | 1 | Inhumatie | Rechthoekig | Heterogeen | Midden | Grijs | Bruin | | 80,39 |
| 8 | 1 | 1 | Kuil | Onregelmatig | Heterogeen | Donker | Grijs | Bruin | | 80,21 |
| 9 | 1 | 1 | Inhumatie | Rechthoekig | Heterogeen | Midden | Grijs | Bruin | IND 202 | 80,18 |
| 10 | 1 | 1 | Inhumatie | Rechthoekig | Heterogeen | Midden | Grijs | Bruin | IND 201 | 80,09 |
| 11 | 1 | 1 | Greppel | Rechthoekig | Heterogeen | Midden | Bruin | Beige | | 79,92 |
| 12 | 1 | 1 | Greppel | Rechthoekig | Heterogeen | Midden | Bruin | Beige | | 79,92 |
| 13 | 1 | 1 | Inhumatie | Rechthoekig | Heterogeen | Midden | Bruin | Beige | IND 207 | 80,12 |
| 14 | 1 | 1 | Granaattrechter | Rond | Heterogeen | Midden | Bruin | Grijs | | 79,96 |
| 15 | 1 | 2 | Inhumatie | Rechthoekig | Heterogeen | Midden | Bruin | Grijs | IND 205 | 80,03 |
| 16 | 1 | 3 | Inhumatie | Rechthoekig | Heterogeen | Midden | Bruin | Grijs | IND 208 | 80,07 |
| 17 | 1 | 1 | Laag | Rechthoekig | Heterogeen | Midden | Bruin | Grijs | | 80,31 |
| 18 | 1 | 1 | Inhumatie | Rechthoekig | Heterogeen | Midden | Bruin | Grijs | IND 209 | 80,04 |

| Spoornr | Putnr | Vlaknr | Aardspoor | Vorm | Vullign | Tint | Hoofdkleur | Nevenkleur | Opmerking | Z |
|---|---|---|---|---|---|---|---|---|---|---|
| 19 | 1 | 1 | Inhumatie | Rechthoekig | Heterogeen | Midden | Bruin | Grijs | IND 210 | 80,14 |
| 20 | 1 | 3 | Inhumatie | Rechthoekig | Heterogeen | Midden | Bruin | Grijs | IND 211 | 80,11 |
| 21 | 1 | 1 | Inhumatie | Rechthoekig | Heterogeen | Midden | Bruin | Grijs | IND 221 | 79,98 |
| 22 | 1 | 1 | Inhumatie | Rechthoekig | Heterogeen | Midden | Bruin | Grijs | IND 212 | 80,02 |
| 23 | 1 | 1 | Inhumatie | Rechthoekig | Heterogeen | Midden | Bruin | Grijs | IND 216 | 80,05 |
| 24 | 1 | 1 | Inhumatie | Rechthoekig | Heterogeen | Midden | Bruin | Grijs | IND 214 | 80,29 |
| 25 | 1 | 1 | Inhumatie | Rechthoekig | Heterogeen | Midden | Bruin | Grijs | IND 215 | 80,22 |
| 26 | 1 | 1 | Inhumatie | Rechthoekig | Heterogeen | Midden | Bruin | Grijs | IND 217 | 80,26 |
| 27 | 1 | 1 | Inhumatie | Rechthoekig | Heterogeen | Midden | Bruin | Grijs | IND 218 | 80,16 |
| 28 | 1 | 3 | Inhumatie | Rechthoekig | Heterogeen | Midden | Bruin | Grijs | IND 219 | 80,10 |
| 29 | 1 | 2 | Inhumatie | Rechthoekig | Heterogeen | Midden | Bruin | Grijs | IND 205 | 80,09 |
| 30 | 1 | 2 | Inhumatie | Rechthoekig | Heterogeen | Midden | Bruin | Grijs | IND 222 | 79,92 |
| 31 | 1 | 1 | Inhumatie | Rechthoekig | Heterogeen | Midden | Bruin | Grijs | IND 220 | 80,09 |
| 32 | 1 | 2 | Inhumatie | Rechthoekig | Heterogeen | Midden | Bruin | Grijs | IND 223 | 80,03 |
| 33 | 1 | 2 | Inhumatie | Rechthoekig | Heterogeen | Midden | Bruin | Grijs | IND 224 | 79,86 |
| 34 | 1 | 3 | Inhumatie | Onregelmatig | Heterogeen | Midden | Bruin | Grijs | IND 225 | - |
| 35 | 1 | 1 | Inhumatie | Rechthoekig | Heterogeen | Midden | Bruin | Grijs | IND 213 | 79,90 |
| 36 | 1 | 1 | Inhumatie | Rechthoekig | Heterogeen | Midden | Bruin | Grijs | | 79,93 |
| 37 | 1 | 1 | Gracht | Rechthoekig | Heterogeen | Midden | Bruin | Grijs | | 79,89 |
| 38 | 1 | 2 | Loopgraaf | Lineair | Heterogeen | Midden | Bruin | Grijs | | 79,30 |

## 9.3 DEEL 3 (2021D126)

| Spoornr | Putnr | Vlaknr | Aardspoor | Vorm | Vullign | Tint | Hoofdkleur | Nevenkleur | Opmerking | Z |
|---|---|---|---|---|---|---|---|---|---|---|
| 1 | 1 | 1 | Inhumatie | Onregelmatig | Heterogeen | Midden | Bruin | Grijs | IND 226 | - |

## 9.4 DEEL 4 (2021D243)

| Spoornr | Putnr | Vlaknr | Aardspoor | Vorm | Vullign | Tint | Hoofdkleur | Nevenkleur | Opmerking | Z |
|---|---|---|---|---|---|---|---|---|---|---|
| 1 | 1 | 1 | Inhumatie | Onregelmatig | Heterogeen | Midden | Bruin | Grijs | IND 226 | - |

# 10 LIJST VAN VONDSTEN

## 10.1 DEEL 1 (2020I174)

### 10.1.1 Kerkhof

#### 10.1.1.1 Vondsteninventaris

| Vnr | Inhoud | Categorie | Artefacttype | # | Determinatie | Sp | Ind | Datering | Opmerking | Gew. (gr) | MAI |
|---|---|---|---|---|---|---|---|---|---|---|---|
| 1 | Menselijk bot | Botmateriaal | Menselijk botmateriaal | - | - | 1 | Xxx | | | | |
| 2 | Menselijk bot | Botmateriaal | Menselijk botmateriaal | - | - | 1 | Xxx | | | | |
| 3 | Menselijk bot | Botmateriaal | Menselijk botmateriaal | - | - | 1 | Xxx | | | | |
| 4 | Menselijk bot | Botmateriaal | Menselijk botmateriaal | - | - | 3 | Xxx | | | | |
| 5 | Keramiek | Rookwaren | Kleipijp | 1 | Witte pijpensteel met aanzet naar ketel | 23 | Xxx | 1821-1936 | 1 witte pijpensteel met aanzet naar de ketel en met op de steel 'scouflaire a onnaing' gestempeld | 14 | 1 |
| 7 | Koperlegering | Kistbeslag | Kistknoppen | 3 | Bolvormige kistknoppen | 1 | Xxx | 2de helft 19de eeuw - 1914 | 3 bolvormige kistknoppen, diameters van 3,1 cm (2 stuks) en 3,6 cm (1 stuk) | 52,5 | 3 |
| 7 | Menselijk bot | Botmateriaal | Menselijk botmateriaal | - | - | 1 | Xxx | | | | |
| 8 | Koperlegering | Kistbeslag | Siernagels | 1 | Siernagel met ronde kop | 27 | Xxx | 2de helft 19de eeuw - 1914 | 1 rond kopje van een siernagel, diameter van 1,1 cm | 0,8 | 1 |
| 19 | Hout, lood | Kisten | Kistfragmenten | 6 | Ondetermineerbaar | 23 | Xxx | Xxx | Ondetermineerbaar, brokken hout met fijn laagje metaal ertegen | 387 | 1 |
| 20 | Menselijk bot | Botmateriaal | Menselijk botmateriaal | - | - | 23 | 101 | | | | |
| 21 | Menselijk bot | Botmateriaal | Menselijk botmateriaal | - | - | 23 | 101 | | | | |
| 22 | Menselijk bot | Botmateriaal | Menselijk botmateriaal | - | - | 23 | 101 | | | | |

| Vnr | Inhoud | Categorie | Artefacttype | # | Determinatie | Sp | Ind | Datering | Opmerking | Gew. (gr) | MAI |
|---|---|---|---|---|---|---|---|---|---|---|---|
| 23 | Menselijk bot | Botmateriaal | Menselijk botmateriaal | - | - | 23 | 101 | | | | |
| 24 | Menselijk bot | Botmateriaal | Menselijk botmateriaal | - | - | 23 | 101 | | | | |
| 25 | Menselijk bot | Botmateriaal | Menselijk botmateriaal | - | - | 23 | 101 | | | | |
| 26 | Menselijk bot | Botmateriaal | Menselijk botmateriaal | - | - | 23 | 101 | | | | |
| 27 | Menselijk bot | Botmateriaal | Menselijk botmateriaal | - | - | 23 | 101 | | | | |
| 28 | Menselijk bot | Botmateriaal | Menselijk botmateriaal | - | - | 23 | 101 | | | | |
| 29 | Koperlegering ; parelmoer | Kledij | Keelknoop | 2 | Keelknoop met platte knop in parelmoer | 23 | Xxx | Xxx | Knoop met platte kop in parelmoer. Achterzijde en ringetje in koperlegering | 1,8 | 2 |
| 30 | Koperlegering | Sieraden | Paternoster | 3 | Crucifixhanger | 23 | Xxx | 2de helft 19de eeuw - 1914 | Crucifixhanger en schakelketting, geen kralen aangetroffen. Mogelijk zijn de houten kralen vergaan. | 35,9 | 1 |
| 31 | Porselein | Kledij | Knoop | 1 | Porseleinen knoop | 23 | 101 | 20ste eeuw | Witte ronde knoop met 4 gaatjes, diameter van 1 cm | 0,3 | 1 |
| 32 | Textiel | Kledij | Textiel | 4 | Textielfragmenten | 23 | Xxx | 2de helft 19de eeuw - 1914 | 4 kleine stukjes textiel | 1,6 | 1 |
| 33 | Koperlegering | Kistbeslag | Siernagels | 35 | Siernagels met ronde koppen | 23 | Xxx | Xxx | 35 ronde kopjes van siernagels in koperlegering met een diameter van 1,1 cm | 39,3 | 40 |
| 33 | Ijzer | Kisten | Kistnagels | 5 | Ijzeren kistnagels | 23 | Xxx | Xxx | 5 ijzeren nagels | | |
| 36 | Koperlegering | Kistbeslag | Siernagels | 5 | Siernagels met ronde koppen | 23 | 101 | Xxxx | | | |
| 36 | Ijzer | Kisten | Kistnagels | 6 | Ijzeren kistnagels | 23 | 101 | Xxxx | | 39,4 | 15 |
| 36 | Porselein | Kledij | Knoop | 2 | Knoop | 23 | 101 | Xxxx | 2 porseleinen witte ronde knopen waarvan 1 met 3 gaatjes (diameter 0,8 cm) en 1 met 4 gaatjes (diameter 1 cm) | | |
| 40 | Natuursteen | Grafmonumenten | Grafsteen | 1 | Uitgehouwen kruis | 1 | Xxx | 2de helft 19de eeuw - 1914 | Stuk van een natuurstenen kruis, aangepunte uiteindes en gedecoreerd met parallelle groefjes | 2384 | 1 |
| 41 | Lood | Kistbeslag | Crucifix | 1 | Loden crucifix | 33 | 107 | 2de helft 19de eeuw - 1914 | Volledig, op de rug gietersinitialen | 187,9 | 1 |
| 42 | Textiel | Kledij | Kous | 4 | Kous | 33 | 107 | 2de helft 19de eeuw - 1914 | Restanten van bruine kous | 4,5 | 1 |

| Vnr | Inhoud | Categorie | Artefacttype | # | Determinatie | Sp | Ind | Datering | Opmerking | Gew. (gr) | MAI |
|---|---|---|---|---|---|---|---|---|---|---|---|
| 42 | Textiel | Kledij | Kledingstuk | 2 | Bovenkleding | 33 | 107 | 20ste eeuw | Restanten van zwarte bovenkledij | 4,5 | 1 |
| 42 | Textiel | Kledij | Textiel | 30 | Textielfragmenten | 33 | 107 | 2de helft 19de eeuw - 1914 | Bruin fragmentarisch textiel | 52 | 1 |
| 42 | Textiel | Kledij | Textiel | 17 | Fragmenten van bruinkleurig onderhemd en zwartkleurige fragmenten | 33 | 107 | 2de helft 19de eeuw - 1914 | 14 stukken bruine textiel en 3 stukken zwarte textiel; de bruine textiel is van een soort onderhemd zonder mouwen ('marcelleke') | 90 | 2 |
| 43 | Glas | Glaswaren | Glasfragmenten | 3 | Wit glas + groen glas | 1 | Xxx | 19de/20ste eeuw | 2 fragmenten wit glas waarvan 1 bodemfragment, 1 fragment groen glas | 7,5 | 3 |
| 44 | Ijzer | Kisten | Kistnagels | 5 | Ijzeren kistnagels | 1 | 107 | Xxx | 5 (fragmenten van) (kist)nagels | 55,3 | 5 |
| 45 | Keramiek | Rookwaren | Kleipijp | 1 | Pijpensteel | 1 | 107 | 17de/20ste eeuw | 1 fragment van een wit, onversierd pijpensteeltje | 1,6 | 1 |
| 47 | Menselijk bot | Botmateriaal | Menselijk botmateriaal | - | - | 34 | 108 | | | | |
| 49 | Ijzer | Kisten | Kistnagels | 26 | Ijzeren kistnagels | 34 | 108 | Xxx | Ijzeren kistnagels, verschillende formaten | 45,4 | 26 |
| 50 | Lood | Kistbeslag | Crucifix | 18 | Loden crucifix | 34 | 108 | Xxx | Lood, fragmentarisch bewaarde crucifix | 47,2 | 1 |
| 51 | Been | Kledij | Knoop | 1 | Benen knoop | 34 | 108 | 20ste eeuw | 1 grijsbruine knoop met 2 gaatjes (diameter van 1,7 cm) | 1 | 1 |
| 51 | Porselein | Kledij | Knoop | 2 | Porseleinen knopen | 34 | 108 | 20ste eeuw | 2 kleine witte ronde knoopjes met 4 gaatjes (diameter van 1 en 1,1 cm) | 1 | 2 |
| 52 | Koperlegering | Ondetermineerbaar | Ondetermineerbaar | 2 | Ondetermineerbaar | 34 | 108 | Xxx | 2 ondetermineerbare fragmenten in koperlegering | 26,2 | 1 |
| 53 | Ijzer | Kisten | Kistnagels | 7 | Ijzeren kistnagels | 32 | 106 | Xxx | 7 ijzeren kistnagels, verschillende formaten | 17,7 | 7 |
| 54 | Menselijk bot | Botmateriaal | Menselijk botmateriaal | - | - | 32 | 106 | | | | |
| 55 | Ijzer | Kisten | Kistnagels | 7 | Ijzeren kistnagels | 40 | 111 | Xxx | 7 (fragmenten van) ijzeren kistnagels, verschillende formaten | 17 | 7 |
| 56 | Koperlegering | Kistbeslag | Siernagels | 16 | Siernagels met ronde koppen | 40 | 111 | 2de helft 19de eeuw - 1914 | 16 ronde koppen van siernagels in koperlegering, diameter van 1,1 cm | 6 | 16 |
| 57 | Menselijk bot | Botmateriaal | Menselijk botmateriaal | - | - | 40 | 111 | | | | |
| 58 | Menselijk bot | Botmateriaal | Menselijk botmateriaal | - | - | 1 | Xxx | | | | |

| Vnr | Inhoud | Categorie | Artefacttype | # | Determinatie | Sp | Ind | Datering | Opmerking | Gew. (gr) | MAI |
|---|---|---|---|---|---|---|---|---|---|---|---|
| 59 | Menselijk bot | Botmateriaal | Menselijk botmateriaal | - | - | 3 | Xxx | | | | |
| 60 | Ijzer | Kisten | Kistnagels | 4 | Ijzeren kistnagels | 41 | 112 | Xxx | 4 ijzeren nagels | 7 | 4 |
| 61 | Menselijk bot | Botmateriaal | Menselijk botmateriaal | - | - | 41 | 112 | | | | |
| 62 | Porselein | Kledij | Knoop | 1 | Porseleinen knoop | 41 | 112 | 20ste eeuw | Witte ronde knoop met centraal twee gaatjes, 1.8 cm diameter | 1,8 | 1 |
| 63 | Menselijk bot | Botmateriaal | Menselijk botmateriaal | - | - | 28 | 102 | | | | |
| 64 | Menselijk bot | Botmateriaal | Menselijk botmateriaal | - | - | 29 | 103 | | | | |
| 65 | Menselijk bot | Botmateriaal | Menselijk botmateriaal | - | - | 30 | 104 | | | | |
| 66 | Menselijk bot | Botmateriaal | Menselijk botmateriaal | - | - | 31 | 105 | | | | |
| 67 | Menselijk bot | Botmateriaal | Menselijk botmateriaal | - | - | 32 | 106 | | | | |
| 68 | Menselijk bot | Botmateriaal | Menselijk botmateriaal | - | - | 33 | 107 | | | | |
| 69 | Menselijk bot | Botmateriaal | Menselijk botmateriaal | - | - | 34 | 108 | | | | |
| 70 | Koperlegering | Kistbeslag | Siernagels | 4 | Siernagels met ronde koppen | 40 | 111 | 2de helft 19de eeuw - 1914 | 4 ronde kopjes van siernagels in koperlegering, diameter van 1,1 cm | 2,8 | 4 |
| 70 | Menselijk bot | Botmateriaal | Menselijk botmateriaal | - | - | 40 | 111 | | | | |
| 71 | Menselijk bot | Botmateriaal | Menselijk botmateriaal | - | - | 41 | 112 | | | | |
| 73 | Aardewerk | Aardewerk | Rood aardewerk | 2 | Rand van vermoedelijk een kamerpot en wandscherf | 1 | Xxx | Vroegmodern | Haaks uitstaande rand, afgeronde top van kamerpot, wandscherf met intern loodglazuur | 35,3 | 2 |
| 74 | Keramiek | Rookwaren | Kleipijp | 2 | Pijpenkop + pijpensteel | 1 | Xxx | 18de/20ste eeuw | Witte pijpenkop (rondbodem?) Zonder merk en versiering, zwarte pijpensteel | 14 | 2 |
| 76 | Ijzer | Kisten | Kistnagels | 14 | Ijzeren kistnagels | 50 | 118 | Xxx | 14 (fragmenten van) kistnagels | 47,3 | 14 |
| 77 | Organisch materiaal | Menselijke resten | Menselijk haar | 1 | Bruin haar | 41 | 112 | 2de helft 19de eeuw - 1914 | Bruine haren (in aarde, want ongewassen) | 151,1 | 1 |

| Vnr | Inhoud | Categorie | Artefacttype | # | Determinatie | Sp | Ind | Datering | Opmerking | Gew. (gr) | MAI |
|---|---|---|---|---|---|---|---|---|---|---|---|
| 80 | Kunststof | Sieraden | Insteekkam | 1 | Insteekkam | 33 | 107 | Eind 19de/begin 20ste eeuw | Zijkam (8,7 cm x 3,9 cm, 18 tanden) voor het opsteken van haar. Vroege vorm van kunststof? | 3,1 | 1 |
| 83 | Porselein | Kledij | Knoop | 1 | Porseleinen knoop | 40 | 111 | 20ste eeuw | 1 witte, ronde, porseleinen knoop met 4 gaatjes, diameter van 1,1 cm | 0,4 | 1 |
| 85 | Menselijk bot | Botmateriaal | Menselijk botmateriaal | - | - | 54 | 121 | | | | |
| 86 | Aardewerk | Aardewerk | Rood aardewerk | 1 | Wand, intern loodglazuur | 1 | Xxx | Middeleeuws | | | |
| 86 | Aardewerk | Aardewerk | Grijs aardewerk | 1 | Oorfragment kan/kruik, | 1 | Xxx | Romeins/middeleeuws | | | |
| 86 | Aardewerk | Aardewerk | Grijs aardewerk | 1 | Randfragment (kook)pot (eenvoudige, uitstaande, afgeronde rand) low lands ware? | 1 | Xxx | Romeins | | | |
| 86 | Aardewerk | Aardewerk | Kruikwaar | 5 | Wandfragmenten (noord-gallisch?) | 1 | Xxx | Romeins | | | |
| 86 | Aardewerk | Aardewerk | Grijs aardewerk | 1 | Wandscherf lokaal/regionaal grijs gedraaid | 1 | Xxx | Middeleeuws | | | |
| 86 | Metaal | Metaalslak | Slak | 3 | Metaalslakken | 1 | Xxx | Romeins/middeleeuws | | | |
| 86 | Natuursteen | Maalstenen | Maalsteen | 1 | Tefriet, fragment | 1 | Xxx | Romeins | | 170,8 | 9 |
| 87 | Ijzer | Kisten | Kistnagels | 26 | Ijzeren kistnagels | 52 | 120 | Xxx | 26 (fragmenten van) ijzeren kistnagels, verschillende formaten | 125,8 | 26 |
| 88 | Koperlegering | Kistbeslag | Siernagels | 1 | Siernagels met ronde koppen | 52 | 120 | Xxx | Rond kopje van siernagel in koperlegering, diameter van 1,1 cm | | |
| 88 | Koperlegering | Kledij | Speld | 3 | Kopseld | 52 | 120 | Xxx | 3 koperen kopspeldjes | 0,9 | 3 |
| 88 | Koperlegering | Kistbeslag | Siernagels | 1 | Kistversiering? | 52 | 120 | Xxx | 1 halfrond koperen kistversieringselement (kop spijker?) | | |
| 89 | Glas | Glaswaren | Drinkglas | 1 | Drinkglas wandfragment | 1 | 120 | 19de/20ste eeuw | 1 fijne (eerder van beker of drinkglas dan van fles) wandscherf kleurloos glas (enkele luchtbelletjes zichtbaar in glas) | 1,2 | 1 |
| 90 | Ijzer | Kisten | Kistnagels | 5 | Ijzeren kistnagels | 54 | Xxx | 2de helft 19de eeuw - 1914 | | | |
| 90 | Koperlegering | Kistbeslag | Kistknoppen | 1 | Bolvormige kistknop | 54 | Xxx | 2de helft 19de eeuw - 1914 | 1 bolvormige sierknop in koperlegering met een diameter van 2,9 cm | 33,1 | 6 |

| Vnr | Inhoud | Categorie | Artefacttype | # | Determinatie | Sp | Ind | Datering | Opmerking | Gew. (gr) | MAI |
|---|---|---|---|---|---|---|---|---|---|---|---|
| 91 | Koperlegering | Kistbeslag | Kistknoppen | 7 | Bolvormige kistknoppen | 52 | 120 | 2de helft 19de eeuw - 1914 | 4 afgeplat bolvormige kistknoppen (diameter 3,3 cm), 3 ronde schijfjes (diameter 3,1 cm) | 1065,2 | 7 |
| 92 | Menselijk bot | Botmateriaal | Menselijk botmateriaal | - | - | 50 | 118 | | | | |
| 94 | Menselijk bot | Botmateriaal | Menselijk botmateriaal | - | - | 50 | 118 | | | | |
| 95 | Koperlegering | Kistbeslag | Beslag | 8 | Kistbeslag | 50 | 118 | 2de helft 19de eeuw - 1914 | Snippers, verzilverd | 0,8 | 1 |
| 96 | Hout; metaal | Sieraden | Paternoster | 58 | Houten kralen, ketting en crucifixhanger in koperlegering | 50 | 118 | 2de helft 19de eeuw - 1914 | 45 houten kraaltjes, 11 fragmenten van koperen ketting, crucifix, hartvormig koperen plaatje aan ketting | 16,5 | 1 |
| 97 | Porselein | Kledij | Knoop | 4 | Porseleinen knopen | 50 | 118 | 20ste eeuw | 4 ronde witte plastieken knopen, 3 knopen hebben slechts 2 gaatjes (diameters knopen zijn 1,3 cm en 1,1 cm), 1 knoop heeft 4 gaatjes (diameter knoop is 1,1 cm) | 2,3 | 4 |
| 99 | Menselijk bot | Botmateriaal | Menselijk botmateriaal | - | - | 57 | 123 | | | | |
| 101 | Ijzer | Kisten | Kistnagels | 1 | Ijzeren kistnagel | 28 | 102 | Xxx | 1 ijzeren kistnagel | 3,6 | 1 |
| 102 | Menselijk bot | Botmateriaal | Menselijk botmateriaal | - | - | 44 | 115 | | | | |
| 105 | Koperlegering | Kistbeslag | Siernagels | 5 | Siernagels met ronde koppen | 55 | 122 | 2de helft 19de eeuw - 1914 | 5 ronde kopjes van siernagels in koperlegering, diameter van 1,1 cm | 1,6 | 5 |
| 106 | Menselijk bot | Botmateriaal | Menselijk botmateriaal | - | - | 55 | 122 | | | | |
| 107 | Aardewerk | Aardewerk | Rood aardewerk | 1 | Wandscherf van kom of teil | 1 | Xxx | Vroegmodern | 1 wandscherf rood aardewerk met intern loodglazuur, vermoedelijk van een kom of teil | 26,2 | 1 |
| 108 | Glas | Glaswaren | Fles | 1 | Bodemfragment | 1 | Xxx | 19de/20ste eeuw | Bodemfragmentje kleurloos glas (fles) | 2,9 | 1 |
| 109 | Menselijk bot | Botmateriaal | Menselijk botmateriaal | - | - | 51 | 119 | | | | |
| 110 | Menselijk bot | Botmateriaal | Menselijk botmateriaal | - | - | 58 | 124 | | | | |
| 112 | Ijzer | Kisten | Kistnagels | 9 | Ijzeren kistnagels | 42 | 113 | 2de helft 19de eeuw - 1914 | 9 ijzeren kistnagels, verschillende formaten + | | |

| Vnr | Inhoud | Categorie | Artefacttype | # | Determinatie | Sp | Ind | Datering | Opmerking | Gew. (gr) | MAI |
|---|---|---|---|---|---|---|---|---|---|---|---|
| 112 | Koperlegering | Kistbeslag | Siernagels | 2 | Siernagels met ronde koppen | 42 | 113 | 2de helft 19de eeuw - 1914 | 2 ronde kopjes van siernagels in koperlegering, diameter van 1,1 cm | 22,6 | 11 |
| 113 | Koperlegering | Kistbeslag | Siernagels | 104 | Siernagels met ronde koppen | 42 | 113 | 2de helft 19de eeuw - 1914 | 104 koperen ronde kopjes van siernagels, diameter van 1,1 cm | 62,4 | 104 |
| 114 | Menselijk bot | Botmateriaal | Menselijk botmateriaal | - | - | 42 | 113 | | | | |
| 116 | Menselijk bot | Botmateriaal | Menselijk botmateriaal | - | - | 42 | 113 | | | | |
| 117 | Glas | Glaswaren | Glasfragmenten | 2 | Kleurloos glas + groen glas | 60 | 128 | 19de/20ste eeuw | 1 fragment kleurloos glas, 1 fragment groen glas | 3,2 | 2 |
| 118 | Menselijk bot | Botmateriaal | Menselijk botmateriaal | - | - | 60 | 128 | | | | |
| 119 | Aardewerk | Aardewerk | Industrieel wit | 1 | Rand industrieel wit aardewerk | 60 | 128 | 19de/20ste eeuw | 1 randfragment industrieel wit aardewerk | | |
| 119 | Aardewerk | Aardewerk | Steengoed | 1 | Wandscherf steengoed | 60 | 128 | 19de/20ste eeuw | 1 wandscherf Rijnlands steengoed met paarsbruine engobe en zoutglazuur | | |
| 119 | Keramiek | Rookwaren | Kleipijp | 2 | Twee fragmenten pijpensteel | 60 | 128 | 19de/20ste eeuw | 2 witte pijpensteelfragmenten | 36,4 | 4 |
| 120 | Ijzer | Kisten | Kistnagels | 44 | Ijzeren kistnagels | 60 | Xxx | Xxx | 44 (fragmenten van) ijzeren kistnagels, verschillende formaten | 107,7 | 44 |
| 121 | Menselijk bot | Botmateriaal | Menselijk botmateriaal | - | - | 54 | 126 | | | | |
| 122 | Menselijk bot | Botmateriaal | Menselijk botmateriaal | - | - | 59 | 127 | | | | |
| 123 | Menselijk bot | Botmateriaal | Menselijk botmateriaal | - | - | 45 | 116 | | | | |
| 125 | Ijzer | Kisten | Kistnagels | 31 | Ijzeren kistnagels | 1 | Xxx | Xxx | 31 (fragmenten van) ijzeren kistnagels | 89,1 | 31 |
| 126 | Aardewerk | Aardewerk | Rood aardewerk | 1 | Bodemfragment rood | 1 | Xxx | 19de/20ste eeuw | 1 fragment van een vlakke bodem in rood aardewerk met intern loodglazuur en een sterk afgesleten bodem | | |
| 126 | Aardewerk | Aardewerk | Industrieel wit | 2 | Bodemfragment rood | 1 | Xxx | 19de/20ste eeuw | 2 wandscherven industrieel wit aardewerk | | |
| 126 | Keramiek | Rookwaren | Kleipijp | 2 | Pijpensteel | 1 | Xxx | 19de/20ste eeuw | 2 onversierde witte pijpensteeltjes | 42,9 | 4 |
| 127 | Koperlegering | Kistbeslag | Kistknoppen | 2 | Bolvormige kistknoppen | 54 | 125 | 2de helft 19de eeuw - 1914 | 2 bolvormige kistknoppen in koperlegering, diameter van 2,7 cm | 22,6 | 2 |
| 128 | Koperlegering | Sieraden | Vingerring | 2 | Koperen vingerring | 60 | 128 | Xxx | 2 fragmenten van een fijne (0,3 cm) vingerring | 0,7 | 1 |

| Vnr | Inhoud | Categorie | Artefacttype | # | Determinatie | Sp | Ind | Datering | Opmerking | Gew. (gr) | MAI |
|---|---|---|---|---|---|---|---|---|---|---|---|
| 129 | Aardewerk | Aardewerk | Handgevormd aardwerk | 3 | Handgevormde wandscherven | 14 | 130 | Metaaltijden/Romeins | Wandscherven reducerend gebakken handgevormd aardewerk | 5,6 | 3 |
| 132 | Aardewerk | Aardewerk | Lokaal/regionaal grijs gedraaid | 1 | Grijze wandscherf | 13 | Xxx | Romeins | Wandscherf, verschraling: zand, kwarts, mica, lokaal/regionaal grijs gedraaid | 2,3 | 1 |
| 133 | Menselijk bot | Botmateriaal | Menselijk botmateriaal | - | - | 46 | 117 | | | | |
| 134 | Menselijk bot | Botmateriaal | Menselijk botmateriaal | - | - | 43 | 114 | | | | |
| 136 | Menselijk bot | Botmateriaal | Menselijk botmateriaal | - | - | 13 | 133 | | | | |
| 137 | Koperlegering | Kistbeslag | Siernagels | 4 | Siernagels met ronde koppen | 35 | 109 | 2de helft 19de eeuw – 1914 | 4 ronde koppen van siernagels in koperlegering, diameter van 1,1 cm | 1,4 | 4 |
| 138 | Menselijk bot | Botmateriaal | Menselijk botmateriaal | - | - | 14 | 130 | | | | |
| 139 | Menselijk bot | Botmateriaal | Menselijk botmateriaal | - | - | 61 | 129 | | | | |
| 140 | Menselijk bot | Botmateriaal | Menselijk botmateriaal | - | - | 10 | 110 | | | | |
| 141 | Menselijk bot | Botmateriaal | Menselijk botmateriaal | - | - | 65 | 144 | | | | |
| 142 | Menselijk bot | Botmateriaal | Menselijk botmateriaal | - | - | 50 | 188 | | | | |
| 143 | Aardewerk | Aardewerk | Kruikwaar | 1 | Wandscherf kruikwaar | 1 | Xxx | Romeins | 1 wandscherf (Noord-Gallisch?) Kruikwaar | 8,7 | 1 |
| 143 | Porselein | Kledij | Knoop | 2 | Porseleinen knopen | 1 | Xxx | 20ste eeuw | 2 ronde witte porseleinen knopen met 4 gaatjes en een diameter van 1,1 cm | 1 | 2 |
| 143 | Koperlegering | Kisten | Kistversiering | 1 | Siernagel | 1 | Xxx | 2de helft 19de eeuw – 1914 | Koperen ronde kop van een siernagel, diameter van 1,1 cm | 0,5 | 1 |
| 143 | Menselijk bot | Botmateriaal | Menselijk botmateriaal | - | - | 1 | Xxx | | | | |
| 144 | Menselijk bot | Botmateriaal | Menselijk botmateriaal | - | - | 1 | 132 | | | | |
| 145 | Menselijk bot | Botmateriaal | Menselijk botmateriaal | - | - | 64 | 131 | | | | |
| 146 | Menselijk bot | Botmateriaal | Menselijk botmateriaal | - | - | 17 | 143 | | | | |
| 147 | Ijzer | Kisten | Kistnagels | 9 | Ijzeren kistnagels | 63 | 132 | Xxx | 9 (fragmenten van) ijzeren nagels | 18 | 9 |

| Vnr | Inhoud | Categorie | Artefacttype | # | Determinatie | Sp | Ind | Datering | Opmerking | Gew. (gr) | MAI |
|---|---|---|---|---|---|---|---|---|---|---|---|
| 148 | Menselijk bot | Botmateriaal | Menselijk botmateriaal | - | - | 62 | 135 | | | | |
| 149 | Menselijk bot | Botmateriaal | Menselijk botmateriaal | - | - | 35 | 109 | | | | |
| 152 | Ijzer | Kisten | Kistnagels | 4 | Ijzeren kistnagels | 35 | 109 | Xxx | 4 ijzeren kistnagels, verschillende formaten | 6 | 4 |
| 153 | Ijzer | Kisten | Kistnagels | 7 | Ijzeren kistnagels | 62 | 135 | Xxx | 7 (fragmenten van) ijzeren kistnagels, verschillende formaten | 19,4 | 7 |
| 154 | Menselijk bot | Botmateriaal | Menselijk botmateriaal | - | - | 66 | 134 | | | | |
| 156 | Ijzer | Kisten | Kistnagels | 15 | Ijzeren kistnagels | 66 | 134 | Xxx | 15 (fragmenten van) ijzeren kistnagels, verschillende formaten | 31,2 | 15 |
| 157 | Lood | Geschutsmuniti e | Kartetskogels | 4 | Loden balletjes | 66 | Xxx | Wo1 | 4 loden balletjes, *ca.* 1,3 cm diameter | 35,7 | 4 |
| 158 | Glas | Glaswaren | Glasfragmenten | 2 | Voet drink(wijn?)Glas in kleurloos glas, hals fles in groen glas | 66 | Xxx | 19de eeuw/begin 20ste eeuw | Ronde voet van een drink(wijn?)Glas in kleurloos glas, diameter van 6,7 cm ; groen glas, hals van een fles | 58,4 | 2 |
| 159 | Porselein | Kledij | Knoop | 1 | Porseleinen knoop | 66 | 134 | 20ste eeuw | 1 witte, ronde, porseleinen knoop met 4 gaatjes en een diameter van 1,1 cm | 0,4 | 1 |
| 160 | Menselijk bot | Botmateriaal | Menselijk botmateriaal | - | - | 1 | 138 | | | | |
| 161 | Menselijk bot | Botmateriaal | Menselijk botmateriaal | - | - | 1 | 138 | | | | |
| 162 | Keramiek | Rookwaren | Kleipijp | 1 | Pijpensteel | 55 | 122 | 17de/20ste eeuw | 1 fragment van een wit pijpensteeltje, versierd met ruitvormige radering | 1,1 | 1 |
| 163 | Menselijk bot | Botmateriaal | Menselijk botmateriaal | - | - | 69 | Xxx | | Los bot boven ind 137 | | |
| 164 | Lood | Kistbeslag | Crucifix | 16 | Loden crucifix | 69 | 137 | 2de helft 19de eeuw - 1914 | 13 fragmenten van een loden kruis met jezus: hoofd, armen, benen ; 3 ijzeren staafjes | | |
| 166 | Menselijk bot | Botmateriaal | Menselijk botmateriaal | - | - | 50 | 118 | | | | |
| 167 | Menselijk bot | Botmateriaal | Menselijk botmateriaal | - | - | 68 | 136 | | | | |
| 168 | Koperlegering | Sieraden | Vingerring | 1 | Vingerring | 68 | 136 | Xxx | Eenvoudige ring, legering, bandje is 0.5 cm | 1,2 | 1 |
| 174 | Menselijk bot | Botmateriaal | Menselijk botmateriaal | - | - | 55 | 122 | | | | |

| Vnr | Inhoud | Categorie | Artefacttype | # | Determinatie | Sp | Ind | Datering | Opmerking | Gew. (gr) | MAI |
|---|---|---|---|---|---|---|---|---|---|---|---|
| 177 | Ijzer | Kisten | Kistnagels | 6 | Ijzeren kistnagels | 55 | 122 | Xxx | 6 ijzeren kistnagels | 12,6 | 6 |
| 178 | Porselein | Kledij | Knoop | 1 | Porseleinen knoop | 55 | 122 | 20ste eeuw | 1 witte, ronde, porseleinen knoop met 4 gaatjes, diameter van 1,1 cm | 0,4 | 1 |
| 179 | Menselijk bot | Botmateriaal | Menselijk botmateriaal | - | - | 56 | 126 | | | | |
| 180 | Ijzer | Kisten | Kistnagels | 6 | Ijzeren kistnagels | 56 | 126 | Xxx | 6 ijzeren kistnagels, verschillende formaten | 10 | 6 |
| 181 | Porselein | Kledij | Knoop | 2 | Porseleinen knopen | 54 | Xxx | 20ste eeuw | 2 witte, ronde, porseleinen knopen met 4 gaatjes en een diameter van 1,1 cm | 0,8 | 2 |
| 181 | Menselijk bot | Botmateriaal | Menselijk botmateriaal | - | - | 54 | 125 | | | | |
| 183 | Porselein | Kledij | Knoop | 3 | Porseleinen knopen | 54 | 125 | 20ste eeuw | 3 ronde, witte, porseleinen knopen met diameter 1,1 cm; 2 knopen hebben 4 gaatjes en 1 knoop heeft 2 gaatjes | 1,2 | 3 |
| 184 | Porselein | Sieraden | Paternoster | 1 | Wit kraaltje vermoedelijk van paternoster | 54 | 125 | 2de helft 19de eeuw - 1914 | Wit porseleinen (of melkglas?) Kraaltje, diameter van *ca.* 0,5 cm | 0,3 | 1 |
| 185 | Menselijk bot | Botmateriaal | Menselijk botmateriaal | - | - | 52 | 120 | | | | |
| 188 | Porselein | Kledij | Knoop | 5 | Porseleinen knopen | 52 | 120 | 20ste eeuw | 5 porseleinen witte knopen met 4 gaatjes, 2 met diameter van 1 cm en 3 met diameter van 0,8 cm | 1,4 | 5 |
| 191 | Menselijk bot | Botmateriaal | Menselijk botmateriaal | - | - | 60 | 128 | | | | |
| 195 | Koperlegering | Kistbeslag | Kistknoppen | 2 | Paddenstoelvormige kistknoppen | 60 | 128 | 2de helft 19de eeuw - 1914 | 2 kistknoppen met een diameter van 3 centimeter | 30 | 2 |
| 196 | Koperlegering | Kistbeslag | Kistknoppen | 2 | Paddenstoelvormige kistknoppen | 60 | 128 | 2de helft 19de eeuw - 1914 | 2 kistknoppen met een diameter van 3 centimeter | 27,7 | 2 |
| 198 | Porselein | Kledij | Knoop | 4 | Porseleinen knopen | 42 | 113 | 20ste eeuw | 4 witte, ronde, porseleinen knopen met 4 gaatjes, een diameter van 1,1 cm en 3 knopen hebben aan één zijdegroefjes over de volledige rand | 1,7 | 4 |
| 200 | Menselijk bot | Botmateriaal | Menselijk botmateriaal | - | - | 59 | 127 | | | | |
| 201 | Ijzer | Kisten | Kistnagels | 3 | Ijzeren kistnagels | 59 | 127 | Xxx | 3 ijzeren kistnagels, verschillende formaten | 8,8 | 3 |
| 202 | Koperlegering | Kistbeslag | Siernagels | 3 | Siernagels met ronde koppen | 59 | 127 | 2de helft 19de eeuw - 1914 | 3 ronde kopjes van siernagels in koperlegering, diameter van 1,1 cm | 1,2 | 3 |
| 203 | Ijzer | Kisten | Kistnagels | 1 | Ijzeren kistnagel | Xxx | Xxx | Xxx | | | |

| Vnr | Inhoud | Categorie | Artefacttype | # | Determinatie | Sp | Ind | Datering | Opmerking | Gew. (gr) | MAI |
|---|---|---|---|---|---|---|---|---|---|---|---|
| 203 | Koperlegering | Kistbeslag | Kistknop | 2 | Bolvormige kistknop | Xxx | Xxx | Xxx | 1 bolvormige kistknop en 1 staafje (onderdeel van kistknop) in koperlegering | 26,3 | 2 |
| 204 | Menselijk bot | Botmateriaal | Menselijk botmateriaal | - | - | 68 | 136 | | | | |
| 205 | Keramiek | Rookwaren | Kleipijp | 1 | Pijpensteel | 1 | Xxx | 17de/20ste eeuw | Witte pijpensteel met radering (kruisen en punten) | 2,6 | 1 |
| 206 | Menselijk bot | Botmateriaal | Menselijk botmateriaal | - | - | 80 | 149 | | | | |
| 207 | Ijzer | Kisten | Kistnagels | 1 | Ijzeren kistnagel | 80 | 149 | Xxx | 1 ijzeren kistnagel | 3,8 | 1 |
| 208 | Glas | Kledij | Knoop | 9 | Glazen knopen | 80 | 149 | 20ste eeuw | Blauwkleurig glas, bloemvormige knoop, geïriseerd, diameter 1 cm | 4,2 | 9 |
| 209 | Lood | Kistbeslag | Kistknoppen | 1 | Bolvormige kistknop | 69 | 137 | 2de helft 19de eeuw - 1914 | Bolvormige loden kistversiering | 21,1 | 1 |
| 210 | Ijzer | Kledij | Speld | 1 | Speld? | 69 | 137 | Xxx | Haakvormig ijzeren fragmentje | 0,4 | 1 |
| 211 | Ijzer | Kisten | Kistnagels | 7 | Ijzeren kistnagels | 69 | 137 | Xxx | 7 (fragmenten van) kistnagels | 33,2 | 7 |
| 212 | Kunststof | Sieraden | Haarspeld | 2 | Haarspeld | 69 | 137 | 20ste eeuw | Kunststoffen eenvoudige haarspelden | 1,8 | 2 |
| 213 | Menselijk bot | Botmateriaal | Menselijk botmateriaal | - | - | 1 | Xxx | | | | |
| 214 | Ijzer | Kisten | Kistnagels | 12 | Ijzeren kistnagels | 70 | 138 | Xxx | 12 ijzeren kistnagels, verschillende formaten | 40,3 | 12 |
| 215 | Glas | Glaswaren | Glasfragmenten | 1 | Oudere glasscherf, onbepaald | 1 | Xxx | Eind 19de/begin 20ste eeuw | 1 oudere scherf (sterk geïriseerd) | | |
| 215 | Glas | Glaswaren | Drinkglas | 1 | Voet drinkglas, wijn (?) | 1 | Xxx | Eind 19de/begin 20ste eeuw | Voet drinkglas | | |
| 215 | Glas | Verlichting | Olielamp | 30 | Olielamp, drinkglas | 1 | Xxx | Eind 19de/begin 20ste eeuw | Fijn cilindrisch glas van olielamp | 183,6 | 4 |
| 216 | Koperlegering | Kistbeslag | Siernagels | 18 | Siernagels met ronde koppen | 70 | 138 | 2de helft 19de eeuw - 1914 | 18 ronde koppen van siernagels in koperlegering, diameters van 1 tot 1,2 cm | 8,6 | 19 |
| 216 | Zilver | Kledij | Knoop | 1 | Zilveren knoop | 70 | 138 | 2de helft 19de eeuw - 1914 | Platte knoop, zeer sterk geglad door intensief gebruik, diameter 1,6 cm | | |
| 217 | Glas | Glaswaren | Glasfragmenten | 4 | Wandfragmenten | 1 | Xxx | 19de eeuw/begin 20ste eeuw | 2 fragmenten kleurloos vlak glas, 2 fragmenten kleurloos glas van vermoedelijk een beker/drinkglas? | 5 | 2 |

| Vnr | Inhoud | Categorie | Artefacttype | # | Determinatie | Sp | Ind | Datering | Opmerking | Gew. (gr) | MAI |
|---|---|---|---|---|---|---|---|---|---|---|---|
| 218 | Aardewerk | Aardewerk | Rood aardewerk | 4 | Bodemfragment rode kom, 3 wandfragmenten rood | 1 | Xxx | 16de/17de eeuw | 3 wandfragmenten rood aardewerk met intern en extern loodglazuur, 1 bodemfragment van vermoedelijk een kom met intern gele slibversiering en loodglazuur | | |
| 218 | Aardewerk | Aardewerk | Majolica | 1 | Wandfragment majolica | 1 | Xxx | 16de/17de eeuw | 1 wandfragment majolica met polychrome beschildering (blauw en zwart) | | |
| 218 | Bouwmateriaal | Vloer | Tegel | 1 | 1 fragment tegel | 1 | Xxx | 16de/17de eeuw | 1 tegelfragment met loodglazuur | 36,4 | 4 |
| 219 | Porselein | Kledij | Knoop | 1 | Porseleinen knoop | 1 | Xxx | 20ste eeuw | 1 ronde, witte, porseleinen knoop met vier gaatjes, diameter van 1,1 cm | 0,4 | 1 |
| 220 | Menselijk bot | Botmateriaal | Menselijk botmateriaal | - | - | 1 | Xxx | | | | |
| 221 | Ijzer | Kisten | Kistnagels | 13 | Ijzeren kistnagels | 1+71 | Xxx | Xxx | Ijzeren kistnagels, verschillende formaten | 107,4 | 13 |
| 222 | Aardewerk | Aardewerk | Faience | 2 | Rand faience bord | 1 | Xxx | 18de/20ste eeuw | Rand bord faience | | |
| 222 | Aardewerk | Aardewerk | Rood aardewerk | 2 | Rand kom? Rood aardewerk | 1 | Xxx | 18de/20ste eeuw | Klein randfragment van vermoedelijk een kom intern en extern voorzien van loodglazuur | 13,5 | 2 |
| 223 | Glas | Glaswaren | Glasfragmenten | 1 | Groen glas | 1 | Xxx | Fase 1 | 1 vlak fragementje groen glas | 0,7 | 1 |
| 224 | Menselijk bot | Botmateriaal | Menselijk botmateriaal | - | - | 1 | Xxx | | | | |
| 225 | Ijzer | Kisten | Kistnagels | 14 | Ijzeren kistnagels | 88 | 152 | Xxx | 14 ijzeren kistnagels, verschillende formaten | 29,9 | 14 |
| 226 | Leder | Kledij | Schoenzool | 2 | Schoenzool met spijkertjes | 1 | Xxx | 2de helft 19de eeuw - 1914 | Schoenzool met spijkertjes ter bevestiging | 118,1 | 2 |
| 227 | Porselein | Kledij | Knoop | 3 | Porseleinen knopen | 88 | 152 | 20ste eeuw | 3 ronde witte porseleinen knopen met 4 gaatjes en een diameter van 1,1 cm | 1,4 | 3 |
| 228 | Lood | Kistbeslag | Crucifix | 7 | Crucifix? | 73 | 145 | Xxx | 7 loodfragmenten | 20,6 | 1 |
| 229 | Lood | Kistbeslag | Crucifix | 8 | Crucifix? | 73 | 145 | Xxx | Niet determineerbare loodfragmenten | 7,6 | 1 |
| 230 | Lood | Kistbeslag | Crucifix | 7 | Crucifix? | 73 | 145 | Xxx | 7 loodfragmenten | 8,1 | 1 |
| 231 | Ijzer | Kisten | Kistnagels | 11 | Ijzeren kistnagels | 73 | 145 | Xxx | 11 ijzeren kistnagels, verschillende formaten | 16,5 | 11 |
| 233 | Menselijk bot | Botmateriaal | Menselijk botmateriaal | - | - | 73 | 145 | | | | |

| Vnr | Inhoud | Categorie | Artefacttype | # | Determinatie | Sp | Ind | Datering | Opmerking | Gew. (gr) | MAI |
|---|---|---|---|---|---|---|---|---|---|---|---|
| 234 | Koperlegerin | Ondetermineerbaar | Ondetermineerbaar | 4 | Ondetermineerbare fragmenten in koperlegering | 88 | 152 | Xxx | | 12,3 | 4 |
| 236 | Porselein | Kledij | Knoop | 1 | Porseleinen knoop | 73 | 145 | 20ste eeuw | 1 witte, ronde, porseleinen knoop met 4 gaatjes, diameter van 1,1 cm | 0,4 | 1 |
| 237 | Ijzer | Kisten | Kistnagels | 8 | Ijzeren kistnagels | 65 | 144 | Xxx | 8 (fragmenten van) ijzeren nagels, verschillende formaten | 30 | 8 |
| 238 | Koperlegering | Kistbeslag | Kistknoppen | 1 | Bolvormige kistknop | 65 | 144 | 2de helft 19de eeuw - 1914 | 1 fragment van een bolvormige kistknop, diameter van 3 cm | | |
| 238 | Koperlegering | Kistbeslag | Siernagels | 7 | Siernagels met ronde koppen | 65 | 144 | 2de helft 19de eeuw - 1914 | 7 ronde kopjes van siernagels, diameter van 1,1 cm | 7,9 | 8 |
| 239 | Aardewerk | Aardewerk | Rood aardewerk | 1 | Wandscherf rood geglazuurd | 1 | Xxx | Me/vroegmodern | Wandscherf met intern en extern loodglazuur | 12,9 | 1 |
| 240 | Glas | Glaswaren | Glasfragmenten | 2 | Kleurloos vlakglas + groen steelfragmentje drinkglas? | 1 | Xxx | 19de eeuw/begin 20ste eeuw | Fragment kleurloos vlak glas, fragment groenkleurig glas, vermoedelijk een steeltje van een drinkglas | 5,8 | 2 |
| 241 | Menselijk bot | Botmateriaal | Menselijk botmateriaal | - | - | 65 | 144 | | | | |
| 246 | Koperlegering | Sieraden | Paternoster | 1 | Crucifixhanger | 65 | 144 | 2de helft 19de eeuw - 1914 | Crucifixhanger in koperlegering, hanger van paternoster? | 3,9 | 1 |
| 247 | Menselijk bot | Botmateriaal | Menselijk botmateriaal | - | - | 71 | 139 | | | | |
| 249 | Aardewerk | Aardewerk | Industrieel wit | 1 | Randfragment wit bord | 71 | 139 | 19de/20ste eeuw | 1 randfragment bord, industrieel wit aw | 13,4 | 1 |
| 250 | Ijzer | Kisten | Kistnagels | 25 | Ijzeren kistnagels | 71 | 139 | Xxx | 25 ijzeren nagels, verschillende formaten | 80 | 25 |
| 251 | Koperlegering | Kistbeslag | Kistknoppen | 1 | Bolvormige kistknop | 71 | 139 | 2de helft 19de eeuw - 1914 | Bolvormige kistversiering (diameter 2,9 cm) | | |
| 251 | Koperlegering | Kistbeslag | Kistknoppen | 1 | Paddenstoelvormige kistknop | 71 | 139 | 2de helft 19de eeuw - 1914 | Paddenstoelvormige kistversiering (diameter 2,6 cm) | | |
| 251 | Ijzer | Kisten | Kistnagels | 1 | Ijzeren kistnagel | 71 | 139 | 2de helft 19de eeuw - 1914 | Ijzeren kistnagel | 27,1 | 3 |
| 252 | Koperlegering | Kistbeslag | Kistknoppen | 2 | Bolvormige kistknop | 71 | 139 | 2de helft 19de eeuw - 1914 | Paddenstoelvormige kistknop, diameter 2,9 cm en cirkelvormig element (diameter 3,2 cm) | 15,5 | 2 |
| 255 | Menselijk bot | Botmateriaal | Menselijk botmateriaal | - | - | 69 | 136 | | | | |

| Vnr | Inhoud | Categorie | Artefacttype | # | Determinatie | Sp | Ind | Datering | Opmerking | Gew. (gr) | MAI |
|---|---|---|---|---|---|---|---|---|---|---|---|
| 257 | Koperlegering | Kistbeslag | Kistknoppen | 3 | Bolvormige kistknoppen | 68 | 136 | 2de helft 19de eeuw - 1914 | 3 fragmenten van bolvormige kistknoppen | 11,4 | 3 |
| 258 | Koperlegering | Kistbeslag | Siernagels | 1 | Siernagel met ronde kop | 68 | 136 | 2de helft 19de eeuw - 1914 | 1 rond kopje van een siernagel in koperlegering, diameter van 1,1 cm | 0,5 | 1 |
| 259 | Ijzer | Kisten | Kistnagels | 1 | Ijzeren kistnagel | 68 | 136 | Xxx | 1 ijzeren kistnagel | 2,9 | 1 |
| 263 | Textiel | Kledij | Textiel | 5 | Fragmenten fijn textiel | 69 | 157 | 2de helft 19de eeuw - 1914 | 5 textielsnippers | 6,3 | 1 |
| 265 | Menselijk bot | Botmateriaal | Menselijk botmateriaal | - | - | 89 | 153 | | | | |
| 268 | Koperlegering | Kistbeslag | Siernagels | 3 | Siernagel met ronde kop | 89 | 153 | 2de helft 19de eeuw - 1914 | 3 ronde koppen van siernagels | 1,1 | 3 |
| 269 | Ijzer | Kisten | Kistnagels | 10 | Ijzeren kistnagel | 89 | 153 | Xxx | 10 ijzeren (fragmenten van) kistnagels, verschillende formaten | 26,8 | 10 |
| 270 | Textiel | Kledij | Textiel | 1 | Fragment bruinkleurig textiel | 80 | 149 | 2de helft 19de eeuw - 1914 | Stuk bruin textiel | 37,3 | 1 |
| 272 | Menselijk bot | Botmateriaal | Menselijk botmateriaal | - | - | 88 | 152 | | | | |
| 273 | Porselein | Kledij | Knoop | 1 | Porseleinen knoop | 89 | 153 | 20ste eeuw | 1 ronde, witte, porseleinen knoop met vier gaatjes, diameter van 1,1 cm | 0,4 | 1 |
| 274 | Koperlegering | Kledij | Speld | 1 | Kopspeld | 88 | 152 | Xxx | Fragment van een kopspeldje | 0,1 | 1 |
| 275 | Koperlegering | Kistbeslag | Siernagels | 3 | Siernagel met ronde kop | 88 | 152 | 2de helft 19de eeuw - 1914 | 3 ronde kopjes van siernagels, diameter van 1 cm | 1 | 3 |
| 278 | Menselijk bot | Botmateriaal | Menselijk botmateriaal | - | - | 87 | 151 | | | | |
| 279 | Ijzer | Kisten | Kistnagels | 2 | Ijzeren kistnagel | 87 | Xxx | Xxx | 2 ijzeren kistnagels | 23,6 | 2 |
| 280 | Menselijk bot | Botmateriaal | Menselijk botmateriaal | - | - | 69 | 137 | | | | |
| 283 | Menselijk bot | Botmateriaal | Menselijk botmateriaal | - | - | 73 | 145 | | | | |
| 284 | Menselijk bot | Botmateriaal | Menselijk botmateriaal | - | - | 80 | 149 | | | | |
| 288 | Menselijk bot | Botmateriaal | Menselijk botmateriaal | - | - | 65 | 144 | | | | |
| 290 | Porselein | Kledij | Knoop | 1 | Porseleinen knoop | 65 | 144 | 20ste eeuw | 1 witte, ronde, porseleinen knoop met 4 gaatjes en een diameter van 1,1 cm | 0,4 | 1 |
| 298 | Menselijk bot | Botmateriaal | Menselijk botmateriaal | - | - | 17 | 143 | | | | |

| Vnr | Inhoud | Categorie | Artefacttype | # | Determinatie | Sp | Ind | Datering | Opmerking | Gew. (gr) | MAI |
|---|---|---|---|---|---|---|---|---|---|---|---|
| 299 | Menselijk bot | Botmateriaal | Menselijk botmateriaal | - | - | 22 | 141 | | | | |
| 302 | Porselein | Kledij | Knoop | 1 | Porseleinen knoop | Xxx | 150 | 20ste eeuw | 1 witte, ronde, porseleinen knoop met 4 gaatjes, diameter van 1,1 cm | 0,4 | 1 |
| 302 | Menselijk bot | Botmateriaal | Menselijk botmateriaal | - | - | 86 | 150 | | | | |
| 303 | Menselijk bot | Botmateriaal | Menselijk botmateriaal | - | - | 70 | 138 | | | | |
| 304 | Glas | Glaswaren | Fles | 5 | Flessen | 70 | 138 | 19de eeuw/begin 20ste eeuw | 3 bodems (of bodemfragmenten) in groen glas (diameter van 8,7 cm en van 9,2 cm) van wijnflessen, 2 bodems in kleurloos glas van flessen (diameter van 5,7 cm en van 6,4 cm) | 706 | 4 |
| 305 | Been | Kledij | Knoop | 3 | Benen knoop | 70 | 150 | 2de helft 19de eeuw - 1914 | 3 fragmentjes van een ronde houten knoop met vermoedelijk 3 gaatjes | 0,4 | 1 |
| 306 | Porselein | Kledij | Knoop | 4 | Porseleinen knopen | 70 | 150 | 20ste eeuw | 4 ronde witte plastieken knopen, 3 knopen hebben 4 gaatjes (diameters knopen zijn 2 van 1 cm en 1 van 1,1 cm), 1 knoop heeft 2 gaatjes (diameter knoop is 1,4 cm) | 2,1 | 4 |
| 308 | Textiel | Kledij | Textiel | 5 | Fragmenten zwartkleurige textiel | 75 | 147 | 2de helft 19de eeuw - 1914 | 5 fragmenten zwarte textiel | 5 | 1 |
| 309 | Menselijk bot | Botmateriaal | Menselijk botmateriaal | - | - | 75 | 147 | | | | |
| 310 | Aardewerk | Aardewerk | Grijs aardewerk | 1 | Grijze wandscherf | 75 | 147 | Me | 1 grijze wandscherf, verschraling: zand, wat mica en kwarts | 1,5 | 1 |
| 310 | Ijzer | Kisten | Kistnagels | 4 | Ijzeren kistnagels | 75 | 147 | Xxx | 4 ijzeren kistnagels, verschillende formaten | 26,7 | 4 |
| 310 | Menselijk bot | Botmateriaal | Menselijk botmateriaal | - | - | 75 | 147 | | | | |
| 311 | Aardewerk | Aardewerk | Rood aardewerk | 2 | Rand kom | 75 | 147 | 19de eeuw/begin 20ste eeuw | Eenvoudige, afgeronde, verdikte rand van kom in rood aardewerk; wandscherf rood aardewerk met intern zwart glazuur | | |
| 311 | Aardewerk | Aardewerk | Industrieel wit | 1 | Industrieel wit bord | 75 | 147 | 19de eeuw/begin 20ste eeuw | Wit bord | | |

| Vnr | Inhoud | Categorie | Artefacttype | # | Determinatie | Sp | Ind | Datering | Opmerking | Gew. (gr) | MAI |
|---|---|---|---|---|---|---|---|---|---|---|---|
| 311 | Aardewerk | Aardewerk | Steengoed | 1 | Wandscherf rijnlands steengoed | 75 | 147 | 19de eeuw/begin 20ste eeuw | Wandfragment steengoed met bruine engobe (extern) en zoutglazuur (intern en extern) | 117,8 | 4 |
| 311 | Bouwmateriaal | Vloer | Tegel | 1 | Rode tegel | 75 | 147 | Me/vroegmodern | 1 rood tegelfragment, dikte van 1,3 cm | 47,7 | 1 |
| 311 | Ijzer | Ondetermineerbaar | Ondetermineerbaar | 1 | Ijzeren ondetermineerbaar object | 75 | 147 | Xxx | Halfrond ijzeren object | 123,9 | 1 |
| 311 | Porselein | Kledij | Knoop | 1 | Porseleinen knoop | 75 | 147 | 20ste eeuw | 1 witte, ronde, porseleinen knoop met 4 gaatjes en een diameter van 1,1 cm | 0,4 | 1 |
| 312 | Hout; metaal | Sieraden | Paternoster | 46 | Houten kralen, schakelketting in koperlegering | 75 | 147 | 2de helft 19de eeuw - 1914 | 42 houten kralen, waarvan 3 sterk gedecoreerd met cirkelvormige motieven, koperen geweven draad als ketting, stukjes stof | 7,9 | 1 |
| 313 | Textiel | Kledij | Textiel | 20 | Fragmenten bruinkleurige textiel | 75 | 147 | 2de helft 19de eeuw - 1914 | 20 bruine textielfragmenten | 21,8 | 1 |
| 314 | Hout; metaal | Sieraden | Paternoster | 8 | Houten kralen, schakelketting in koperlegering | 75 | 147 | 2de helft 19de eeuw - 1914 | 1 houten versierde kraal (cirkelvormige motieven), koperen draad als ketting en stukjes stof | 2,1 | 1 |
| 317 | Menselijk bot | Botmateriaal | Menselijk botmateriaal | - | - | 21 | 140 | | | | |
| 319 | Ijzer | Kisten | Kistnagels | 4 | Ijzeren kistnagels | 21 | 140 | Xxx | 4 ijzeren kistnagels, verschillende formaten | 11,7 | 4 |
| 319 | Menselijk bot | Botmateriaal | Menselijk botmateriaal | - | - | 21 | 140 | | | | |
| 321 | Koperlegering | Kistbeslag | Kistknoppen | 3 | Bolvormige kistknop | 21 | 140 | 2de helft 19de eeuw - 1914 | 3 fragmenten van bolvormige kistknoppen | 3,3 | 3 |
| 322 | Aardewerk | Aardewerk | Industrieel wit | 64 | Borden + drinknap | 75 | 147 | 1851-1914 | Fragmenten van borden industrieel wit aardewerk, drinknap waarvan het glazuur geelwit kleurt | 587,5 | 4 |
| 323 | Porselein | Kledij | Knoop | 1 | Porseleinen knoop | 75 | 147 | 20ste eeuw | 1 witte, ronde, porseleinen knoop met 4 gaatjes en een diameter van 1,1 cm | 0,4 | 1 |
| 324 | Glas | Glaswaren | Glasfragmenten | 89 | Kleurloos vlakglas + kleurloos stuk bierglas | 75 | 147 | Eind 19de eeuw/begin 20ste eeuw | Kleurloos vlakglas + kleurloos stuk bierglas | 298,1 | 1 |
| 325 | Koperlegering | Kistbeslag | Kistknoppen | 9 | Bolvormige kistknop | 75 | 147 | 2de helft 19de eeuw - 1914 | Fragmenten van bolvormige kistknoppen, verzilverd, diameter van *ca.* 2,8 cm, mai: 3 | 23,5 | 3 |

| Vnr | Inhoud | Categorie | Artefacttype | # | Determinatie | Sp | Ind | Datering | Opmerking | Gew. (gr) | MAI |
|---|---|---|---|---|---|---|---|---|---|---|---|
| 326 | Ijzer | Kisten | Kistnagels | 3 | Ijzeren kistnagels | 75 | 147 | Xxx | 3 ijzeren nagels, verschillende formaten | 3,2 | 3 |
| 328 | Ijzer | Kisten | Kistnagels | 4 | Ijzeren kistnagels | 21 | 140 | Xxx | Ijzeren nagels, 3 soorten, 1) 2 lange smalle nagels, 5.6 en 6.1 cm lang, 2) korte smalle nagel, 3.4 cm lang, 3) korte dikke nagel, 3 cm lang | 8,4 | 45 |
| 329 | Menselijk bot | Botmateriaal | Menselijk botmateriaal | - | - | 76 | 148 | | | | |
| 330 | Ijzer | Kisten | Kistnagels | 5 | Ijzeren kistnagels | 76 | 148 | Xxx | 5 (fragmenten van) kistnagels | 10,6 | 5 |
| 331 | Porselein | Kledij | Knoop | 1 | Porseleinen knoop | 21 | 140 | 20ste eeuw | 1 ronde porseleinen witte knoop met 4 gaatjes, diameter van 1 cm | 0,4 | 1 |
| 333 | Menselijk bot | Botmateriaal | Menselijk botmateriaal | - | - | 85 | 154 | | | | |
| 334 | Menselijk bot | Botmateriaal | Menselijk botmateriaal | - | - | 72 | 142 | | | | |
| 335 | Keramiek | Rookwaren | Kleipijp | 1 | Witte pijpenkop met hielmerk en bijmerk | 72 | 142 | 18de eeuw? | Witte pijpenkop met hielmerk en bijmerk, ovale pijp, hielmerk: gekroonde ws, bijmerk: m en 3 | 7,5 | 1 |
| 336 | Menselijk bot | Botmateriaal | Menselijk botmateriaal | - | - | 82 | 156 | | | | |
| 337 | Menselijk bot | Botmateriaal | Menselijk botmateriaal | - | - | 83 | Xxx | | | | |
| 338 | Ijzer | Kisten | Kistnagels | 7 | Ijzeren kistnagels | 80 | 149 | Xxx | 7 ijzeren kistnagels | 20,9 | 7 |
| 339 | Menselijk bot | Botmateriaal | Menselijk botmateriaal | - | - | 74 | 146 | | | | |
| 340 | Menselijk bot | Botmateriaal | Menselijk botmateriaal | - | - | 101 | 157 | | | | |
| 341 | Menselijk bot | Botmateriaal | Menselijk botmateriaal | - | - | 100 | 158 | | | | |
| 342 | Ijzer | Kisten | Kistnagels | 11 | Ijzeren kistnagels | 100 | 158 | Xxx | 11 ijzeren kistnagels, verschillende formaten | 25,5 | 11 |
| 343 | Ijzer | Kledij | Kopspeld | 1 | Speld? | 100 | 158 | Xxx | 1 koperen kopspeld | 0,4 | 1 |
| 344 | Aardewerk | Aardewerk | Wit aardewerk | 1 | Bodemfragment (standring) wit aardewerk | 100 | 158 | 18de eeuw | 1 fragment standring wit aardewerk | | |
| 344 | Aardewerk | Aardewerk | Majolica | 1 | Randfragment majolica | 100 | 158 | 18de eeuw | 1 randfragment majolica met blauwe concentrisch circulaire beschildering | 9,1 | 2 |
| 347 | Koperlegering | Kistbeslag | Siernagels | 27 | Siernagel met ronde kop | 77 | 159 | 2de helft 19de eeuw - 1914 | 27 fragmenten van ronde kopjes van sierspijkers | | |

| Vnr | Inhoud | Categorie | Artefacttype | # | Determinatie | Sp | Ind | Datering | Opmerking | Gew. (gr) | MAI |
|---|---|---|---|---|---|---|---|---|---|---|---|
| 347 | Lood | Kistbeslag | Kistknoppen | 5 | Bolvormige kistknop | 77 | 159 | 2de helft 19de eeuw - 1914 | 5 fragmenten van bolvormige loden kistversiering | 42,8 | 32 |
| 348 | Menselijk bot | Botmateriaal | Menselijk botmateriaal | - | - | 77 | 159 | | | | |
| 350 | Ijzer | Kisten | Kistnagels | 27 | Ijzeren kistnagels | 99 | 160 | Xxx | 27 ijzeren kistnagels van verschillende formaten | 71,9 | 27 |
| 351 | Aardewerk | Aardewerk | Rood aardewerk | 1 | Wandscherf rood aardewerk | 99 | 160 | Me | Sterk verweerde rode wandscherf, intern donkergrijs aankoeksel | 42,9 | 1 |
| 352 | Koperlegering | Kistbeslag | Siernagels | 1 | Siernagel met ronde kop | 99 | 160 | 2de helft 19de eeuw - 1914 | 1 rond kopje van een nagel, diameter van 1 cm | 0,3 | 1 |
| 353 | Menselijk bot | Botmateriaal | Menselijk botmateriaal | - | - | 99 | 160 | | | | |
| 354 | Koperlegering | Kistbeslag | Cherubijn | 1 | Afdruk van vleugel (van engel?) | 84 | Xxx | 2de helft 19de eeuw - 1914 | Afdruk van vleugel, vermoedelijk van een engelbeeldje (cherubijn) | 92,9 | 1 |
| 355 | Koperlegering | Sieraden | Paternoster | 1 | Crucifixhanger | 75 | 147 | 2de helft 19de eeuw - 1914 | Crucifixhanger in koperlegering, hanger van paternoster | 1,8 | 1 |
| 356 | Menselijk bot | Botmateriaal | Menselijk botmateriaal | - | - | 107 | Xxx | | | | |
| 357 | Menselijk bot | Botmateriaal | Menselijk botmateriaal | - | - | 106 | Xxx | | | | |
| 358 | Menselijk bot | Botmateriaal | Menselijk botmateriaal | - | - | 99 | 160 | | | | |
| 360 | Koperlegering ; parelmoer | Sieraden | Broche | 1 | Broche | 99 | 160 | 20ste eeuw | Broche in koperlegering met restjes stof en kunststoffen parel en kunststoffen handjes | 3,4 | 1 |
| 361 | Ijzer | Kistbeslag | Beslag | 6 | Beslag | 99 | 160 | 2de helft 19de eeuw - 1914 | Fragmenten van smalle strips, tenminste 6,6 cm lang, 6 mm breed | 5,6 | 6 |
| 363 | Menselijk bot | Botmateriaal | Menselijk botmateriaal | - | - | 100 | 158 | | | | |
| 364 | Porselein | Kledij | Knoop | 2 | Porseleinen knopen | 100 | 158 | 20ste eeuw | 2 kleine witte ronde knoopjes met 4 gaatjes (diameter van 1 cm) | 0,6 | 2 |
| 365 | Menselijk bot | Botmateriaal | Menselijk botmateriaal | - | - | 82 | 156 | | | | |
| 366 | Porselein | Kledij | Knoop | 1 | Porseleinen knoop | 82 | 156 | 20ste eeuw | 1 ronde, witte, porseleinen knoop met vier gaatjes, diameter van 1 cm | 0,4 | 1 |
| 367 | Ijzer | Kisten | Kistnagels | 4 | Ijzeren kistnagels | 82 | 156 | Xxx | 4 (fragmenten van) ijzeren kistnagels | 11,4 | 4 |
| 369 | Menselijk bot | Botmateriaal | Menselijk botmateriaal | - | - | 79 | 155 | | | | |

| Vnr | Inhoud | Categorie | Artefacttype | # | Determinatie | Sp | Ind | Datering | Opmerking | Gew. (gr) | MAI |
|---|---|---|---|---|---|---|---|---|---|---|---|
| 370 | Koperlegering | Kledij | Speld | 2 | Kopspeld | 82 | 156 | 2de helft 19de eeuw - 1914 | 1 koperen kopspeldje | 0,1 | 1 |
| 371 | Menselijk bot | Botmateriaal | Menselijk botmateriaal | - | - | 12 | 161 | | | | |
| 372 | Menselijk bot | Botmateriaal | Menselijk botmateriaal | - | - | 36 | 163 | | | | |
| 373 | Menselijk bot | Botmateriaal | Menselijk botmateriaal | - | - | 105 | 162 | | | | |
| 374 | Menselijk bot | Botmateriaal | Menselijk botmateriaal | - | - | 77 | 159 | | | | |
| 376 | Ijzer | Kisten | Kistnagels | 4 | Ijzeren kistnagels | 77 | 159 | Xxx | 4 fragmenten van ijzeren kistnagels | 1,2 | 4 |
| 377 | Porselein | Kledij | Knoop | 2 | Porseleinen knopen | 77 | 159 | 20ste eeuw | 2 kleine witte knopen met 4 gaatjes, diameter van ca 1 cm | 0,7 | 2 |
| 378 | Menselijk bot | Botmateriaal | Menselijk botmateriaal | - | - | 79 | 155 | | | | |
| 379 | Porselein | Kledij | Knoop | 1 | Porseleinen knoop | 79 | 155 | 20ste eeuw | 1 ronde porseleinen witte knoop met 4 gaatjes, diameter van 1,1 cm | 0,5 | 1 |
| 379 | Menselijk bot | Botmateriaal | Menselijk botmateriaal | - | - | 79 | 155 | | | | |
| 380 | Ijzer | Kisten | Kistnagels | 1 | Ijzeren kistnagel | 79 | 155 | Xxx | 1 korte ijzeren nagel van 2.7 cm | | |
| 380 | Koperlegering | Kistbeslag | Kistknoppen | 2 | Paddenstoelvormige kistknop | 79 | 155 | Xxx | 2 paddenstoelvormige kistdecoratiestukken (diameter 2,6 cm) | 29 | 3 |
| 381 | Ijzer | Kisten | Kistnagels | 10 | Ijzeren kistnagels | 79 | 155 | Xxx | 10 (fragmenten van) ijzeren kistnagels | 48,5 | 10 |
| 383 | Lood | Kistbeslag | Crucifix | 4 | Loden crucifix | 84 | 166 | 2de helft 19de eeuw - 1914 | 4 fragmenten van een loden kruisbeeld met jezus, 2 armen, een deel van de bovenbenen en knieën | 38,3 | 1 |
| 385 | Glas | Sieraden | Ketting | 150 | Kralenketting | 81 | 165 | 20ste eeuw | Glaskralen, depositie in een glazen recipiënt | 96,5 | 150 |
| 386 | Aardewerk | Aardewerk | Geverfd aardewerk | 1 | Wandfragment | 81 | Xxx | Romeins + 18de/20ste eeuw | 1 wandfragment Romeins geverfd aardewerk (grijze tot zwarte verf) | | |
| 386 | Aardewerk | Aardewerk | Rood aardewerk | 1 | Wandfragment | 81 | Xxx | Romeins + 18de/20ste eeuw | 1 bodemfragment rood aardewerk met integraal aangebracht zwart glazuur | | |
| 386 | Bouwmateriaal | Vloer | Tegel | 1 | Tegel | 81 | Xxx | Romeins + 18de/20ste eeuw | 1 tegelfragment met witte slibversiering | 56,1 | 3 |
| 387 | Glas | Sieraden | Ketting | 23 | Kralenketting | 81 | 165 | Fase 1 | | 22,3 | 28 |
| 387 | Ijzer | Kisten | Kistnagels | 5 | Ijzeren kistnagels | 81 | 165 | Fase 1 | | | |

| Vnr | Inhoud | Categorie | Artefacttype | # | Determinatie | Sp | Ind | Datering | Opmerking | Gew. (gr) | MAI |
|---|---|---|---|---|---|---|---|---|---|---|---|
| 388 | Glas; porselein | Sieraden | Ketting | 141 | Kralenketting | 81 | 165 | 20ste eeuw | Kralen in glas en porselein (of wit melkglas), rijgdraad in koperlegering, depositie | 60 | 141 |
| 389 | Menselijk bot | Botmateriaal | Menselijk botmateriaal | - | - | 81 | 165 | | | | |
| 390 | Menselijk bot | Botmateriaal | Menselijk botmateriaal | - | - | 84 | 166 | | | | |
| 392 | Ijzer | Kisten | Kistnagels | 16 | Ijzeren kistnagels | 84 | 166 | Xxx | 16 ijzeren kistnagels, verschillende formaten | 67,3 | 16 |
| 393 | Koperlegering | Kistbeslag | Kistknoppen | 3 | Bolvormige kistknop | 84 | 166 | 2de helft 19de eeuw - 1914 | 3 (fragmenten van) bolvormige kistknoppen, diameter van 3,2 cm | 29,6 | 2 |
| 394 | Glas | Glaswaren | Fles | 11 | Flessen | 84 | 166 | 19de/vroege 20ste eeuw | 4 fragmenten olijfgroen glas, 7 fragmenten kleurloos glas | 94,1 | 3 |
| 395 | Porselein | Kledij | Knoop | 1 | Porseleinen knoop | 84-81 | 165 - 166 | 20ste eeuw | 1 ronde porseleinen knoop met 4 gaatjes en een diameter van 1 cm | 0,3 | 1 |
| 395 | Menselijk bot | Botmateriaal | Menselijk botmateriaal | - | - | 84 | 166 | | | | |
| 396 | Porselein | Kledij | Knoop | 1 | Porseleinen knoop | 84 | 166 | 20ste eeuw | 1 ronde, witte, porseleinen knoop met 4 gaatjes, diameter van 1,1 cm | 0,5 | 1 |
| 397 | Aardewerk | Aardewerk | Handgevormd aardwerk | 1 | Grijze, handgevormde wandscherf | 102 | Xxx | Metaaltijden/rom | Grijze handgevormde wandscherf, | 1,2 | 1 |
| 398 | Menselijk bot | Botmateriaal | Menselijk botmateriaal | - | - | 112 | 170 | | | | |
| 399 | Ijzer | Kisten | Kistnagels | 4 | Ijzeren kistnagels | 112 | 170 | Xxx | 4 ijzeren kistnagels, verschillende formaten | 9,9 | 4 |
| 401 | Glas | Glaswaren | Glasfragmenten | 1 | Wandfragment | 91 | 175 | 17de/18de eeuw | 1 geïriseerd fragment olijfgroen glas (17de/18de eeuw) | | |
| 401 | Glas | Glaswaren | Glasfragmenten | 72 | Fragmenten van flessen, fragmenten vlakglas, fragmenten drinkbeker/glas | 91 | 175 | 2de helft 19de eeuw - 1914 | 16 fragmenten kleurloos glas van flessen/drinkbekers; op 1 fragment zijn de letters 'phar' te lezen, 56 fragmenten kleurloos vlakglas | 124,8 | 5 |
| 402 | Ijzer | Kisten | Kistnagels | 9 | Ijzeren kistnagels | 91 | 175 | Xxx | 9 ijzeren kistnagels, verschillende formaten | 19 | 9 |
| 403 | Hout | Sieraden | Paternoster | 7 | Houten kralen | 91 | 175 | Xxx | 7 houten kralen, vermoedelijk van een paternoster | 1,2 | 7 |

| Vnr | Inhoud | Categorie | Artefacttype | # | Determinatie | Sp | Ind | Datering | Opmerking | Gew. (gr) | MAI |
|---|---|---|---|---|---|---|---|---|---|---|---|
| 404 | Menselijk bot | Botmateriaal | Menselijk botmateriaal | - | - | 91 | 175 | | | | |
| 405 | Lood | Kistbeslag | Crucifix | 13 | Jezusfiguur | 91 | 175 | Xxx | Fragmenten van een Jezusfiguur in lood | 384 | 1 |
| 406 | Lood | Kistbeslag | Doodshoofd | 1 | Doodshoofd | 91 | 175 | Xxx | Sterk gecorrodeerd met loodpest | 30,7 | 1 |
| 407 | Bouwmateriaal | Vloer | Tegels | 2 | Rode tegelfragmenten | 94 | 172 | Xxx | 2 rode tegelfragmenten (1,2 en 1,4 cm dik) | 117,9 | 2 |
| 408 | Bouwmateriaal | Vloer | Tegel | 1 | Rood tegelfragment | 91 | 175 | Me/vroegmodern | 1 fragment van een tegel met op één zijde groen glazuur | 62,1 | 1 |
| 410 | Aardewerk | Aardewerk | Grijs aardewerk | 4 | 4 wandfragmenten grijs aardewerk | 119 | Xxx | Me | 4 wandfragmenten grijs aardewerk | 25,7 | 1 |
| 413 | Aardewerk | Aardewerk | Rood aardewerk | 1 | Randfragment rood bord | 116 | 173 | 17de/18de eeuw | 1 randfragment bord, rood aardewerk, slib- en sgraffitoversiering (boogjes) op vlag | 33,6 | 1 |
| 414 | Menselijk bot | Botmateriaal | Menselijk botmateriaal | - | - | 116 | 173 | | | | |
| 415 | Koperlegering | Sieraden | Vingerring | 1 | Vingerring | 116 | 173 | Xxx | Fragment van een eenvoudige, fijne ring (0,3 cm dik) | 0,1 | 1 |
| 416 | Ijzer | Kledij | Speld | 5 | Speld? | 116 | 173 | Xxx | 5 (fragmenten van) vermoedelijke kopspeldjes | 0,8 | 5 |
| 417 | Ijzer | Kisten | Kistnagels | 5 | Ijzeren kistnagels | 116 | 173 | Xxx | 5 (fragmenten van) kistnagels | 8 | 5 |
| 418 | Koperlegering | Kistbeslag | Siernagels | 4 | Siernagel met ronde kop | 116 | 173 | 2de helft 19de eeuw - 1914 | 4 ronde kopjes van siernagels | 1,6 | 4 |
| 419 | Glas | Glaswaren | Glasfragmenten | 1 | Wandfragment | 117 - 118 | 174 - 176 | 17de/18de eeuw? | Geïriseerd olijfgroen wandfragment | 3,4 | 1 |
| 419 | Menselijk bot | Botmateriaal | Menselijk botmateriaal | - | - | 117 | 174 | | | | |
| 420 | Menselijk bot | Botmateriaal | Menselijk botmateriaal | - | - | 116 | 173 | | | | |
| 422 | Bouwmateriaal | Vloer | Tegel | 1 | Fragment grijze tegel | 1 | Xxx | 18de eeuw | | | |
| 422 | Aardewerk | Aardewerk | Rood aardewerk | 4 | Rand bord, rand kom | 1 | Xxx | 18de eeuw | Rand bord met intern 'gemarmerde' slibversiering, rand kom (?) Met extern glazuur en slibversiering, wandfragment met intern zwart glazuur | 69,7 | 5 |
| 423 | Glas | Glaswaren | Fles | 1 | Fles | 1 | Xxx | 17de/18de eeuw | Mond en hals van een fles in olijfgroen glas, onregelmatige glasdraad op hals gelegd | 13,8 | 1 |

| Vnr | Inhoud | Categorie | Artefacttype | # | Determinatie | Sp | Ind | Datering | Opmerking | Gew. (gr) | MAI |
|---|---|---|---|---|---|---|---|---|---|---|---|
| 424 | Ijzer | Kisten | Kistnagels | 9 | Ijzeren kistnagels | 117 - 118 | 174 - 176 | Xxx | 9 ijzeren kistnagels, verschillende formaten | 38,6 | 9 |
| 425 | Menselijk bot | Botmateriaal | Menselijk botmateriaal | - | - | 109 | 169 | | | | |
| 426 | Menselijk bot | Botmateriaal | Menselijk botmateriaal | - | - | 113 | 168 | | | | |
| 427 | Menselijk bot | Botmateriaal | Menselijk botmateriaal | - | - | 112 | 170 | | | | |
| 428 | Menselijk bot | Botmateriaal | Menselijk botmateriaal | - | - | 117 | 174 | | | | |
| 429 | Menselijk bot | Botmateriaal | Menselijk botmateriaal | - | - | 118 | 176 | | | | |
| 432 | Menselijk bot | Botmateriaal | Menselijk botmateriaal | - | - | 1 | Xxx | | | | |
| 433 | Aardewerk | Aardewerk | Grijs aardewerk | 1 | Grijze wandscherf | 123 | Xxx | Me | 1 grijze wandscherf, verschraling: zand, mica en kwarts | 6,9 | 1 |
| 434 | Menselijk bot | Botmateriaal | Menselijk botmateriaal | - | - | 123 | Xxx | | | | |
| 435 | Menselijk bot | Botmateriaal | Menselijk botmateriaal | - | - | 1 | Xxx | | | | |
| 436 | Menselijk bot | Botmateriaal | Menselijk botmateriaal | - | - | 47 | 177 | | | | |
| 441 | Menselijk bot | Botmateriaal | Menselijk botmateriaal | - | - | 110 | 182 | | | | |
| 442 | Menselijk bot | Botmateriaal | Menselijk botmateriaal | - | - | 49 | 181 | | | | |
| 443 | Aardewerk | Aardewerk | Rood (handgevormd?) Aardewerk | 1 | Wandscherf rood aardewerk | 47 | 177 | Volle me? | 1 wandfragment rood aardewerk, zeer sterk verweerd | 3,3 | 1 |
| 450 | Menselijk bot | Botmateriaal | Menselijk botmateriaal | - | - | 97 | 179 | | | | |
| 451 | Lood | Kistbeslag | Crucifix | 17 | Loden crucifix | 97 | 179 | 2de helft 19de eeuw - 1914 | 17 fragmenten van een loden kruis met jezus, fragmenten van de rug, armen, hoofd, benen | 107,7 | 1 |
| 452 | Menselijk bot | Botmateriaal | Menselijk botmateriaal | - | - | 97 | 179 | | | | |

| Vnr | Inhoud | Categorie | Artefacttype | # | Determinatie | Sp | Ind | Datering | Opmerking | Gew. (gr) | MAI |
|---|---|---|---|---|---|---|---|---|---|---|---|
| 453 | Glas | Glaswaren | Glasfragmenten | 4 | Vlak glas + flessen | 97 | 179 | 19de/begin 20ste eeuw | 1 kleurloos fragment vlakglas, 1 groen glasfragment fles?, 2 bruine fragmenten fles | 51,2 | 4 |
| 454 | Aardewerk | Aardewerk | Traag nagedraaid oxiderend aardewerk | 1 | Oorfragment, lintoor | 97 | 179 | 10de/14de eeuw | Wandfragment traag nagedraaid rood aardewerk, niet-parallelle striaties | | |
| 454 | Aardewerk | Aardewerk | Maaslands wit aardewerk | 1 | Wandfragment traag nagedraaid rood aardewerk | 97 | 179 | 10de/14de eeuw | Lintoor Maaslands wit aardewerk, deels geglazuurd | 34,7 | 2 |
| 454 | Bouwmateriaal | Vloer | Tegel | 2 | Rode tegels | 97 | 179 | Me/vroegmodern | Rode tegelfragmenten, dikte van 1,4 cm | 94,6 | 2 |
| 455 | Koperlegering | Sieraden | Hanger | 1 | Religiues medaillon | 97 | 179 | 2de helft 19de eeuw - 1914 | Min of meer ronde hanger in koperlegering, het oogje waaraan de ketting bevestigd was is nog herkenbaar | 4,7 | 1 |
| 458 | Porselein | Kledij | Knoop | 2 | Porseleinen knopen | 97 | 179 | 20ste eeuw | 2 witte, ronde, porseleinen knopen met 4 gaatjes en een diameter van 1,1 cm | 0,4 | 2 |
| 459 | Menselijk bot | Botmateriaal | Menselijk botmateriaal | - | - | 114 | 178 | | | | |
| 461 | Menselijk bot | Botmateriaal | Menselijk botmateriaal | - | - | 129 | 188 | | | | |
| 462 | Ijzer | Kisten | Kistnagels | 2 | Ijzeren kistnagels | 114 | 178 | Xxx | 2 ijzeren kistnagels, 4,6 cm lang | 4,8 | 2 |
| 463 | Menselijk bot | Botmateriaal | Menselijk botmateriaal | - | - | 94 | 173 | | | | |
| 464 | Menselijk bot | Botmateriaal | Menselijk botmateriaal | - | - | 121 | 184 | | | | |
| 465 | Porselein | Kledij | Knoop | 1 | Porseleinen knoop | 122 | Xxx | 20ste eeuw | 1 witte, ronde, porseleinen knoop met 4 gaatjes, diameter van 0,9 | 0,2 | 1 |
| 465 | Menselijk bot | Botmateriaal | Menselijk botmateriaal | - | - | 121 | 185 | | | | |
| 466 | Ijzer | Kisten | Kistnagels | 2 | Ijzeren kistnagels | 121 | 184 | Xxx | 2 ijzeren kistnagels, | | |
| 466 | Koperlegering | Kistbeslag | Siernagels | 22 | Siernagel met ronde kop | 121 | 184 | Xxx | 22 siernagels met ronde kop (diameter 1,2 cm) | 36,5 | 24 |
| 467 | Bouwmateriaal | Vloer | Tegels | 5 | Fragmenten rode tegels | 121 | 184 | 18de/19de eeuw | 3 ongeglazuurde tegelfragementen, 2 tegelfragementen met aan 1 zijde glazuur | | |
| 467 | Aardewerk | Aardewerk | Faience | 1 | Rand kom faience | 121 | 184 | 18de/19de eeuw | 1 randscherf van een kom in faience | 185,6 | 3 |
| 468 | Ijzer | Kisten | Kistnagels | 1 | Ijzeren kistnagel | 121 | 184 | 2de helft 19de eeuw - 1914 | 1 klein ijzeren nageltje | | |

| Vnr | Inhoud | Categorie | Artefacttype | # | Determinatie | Sp | Ind | Datering | Opmerking | Gew. (gr) | MAI |
|---|---|---|---|---|---|---|---|---|---|---|---|
| 468 | Koperlegering | Kistbeslag | Siernagels | 20 | Siernagel met ronde kop | 121 | 184 | 2de helft 19de eeuw - 1914 | 20 koperen siernagels met ronde kop met diameter 1,2 cm en vaak nog met resten hout bewaard | | |
| 468 | Koperlegering | Kistbeslag | Kistknoppen | 1 | Paddenstoelvormige kistknop | 121 | 184 | 2de helft 19de eeuw - 1914 | 1 'paddenstoelvormige' koperen sierknop | 38,9 | 22 |
| 473 | Ijzer | Kisten | Kistnagels | 2 | Ijzeren kistnagels | 97 | 179 | Xxx | 1 ijzeren kistnagels | 9,5 | 1 |
| 474 | Koperlegering | Kistbeslag | Siernagels | 2 | Siernagel met ronde kop | 81 | 165 | 2de helft 19de eeuw - 1914 | 2 fragmenten van een siernagel met ronde kop met diameter 2,2 cm | | |
| 474 | Lood | Kistbeslag | Kistknoppen | 3 | Bolvormige kistknop | 81 | 165 | 2de helft 19de eeuw - 1914 | 3 fragmenten van bolvormige kistknoppen | 34,3 | 3 |
| 476 | Glas | Glaswaren | Glasfragmenten | 3 | Kleurloos glas | 91 | 175 | 19de/20ste eeuw | 3 fragmentjes kleurloos glas | 1,6 | 1 |
| 476 | Glas | Glaswaren | Glasfragmenten | 1 | Kleurloos glas | 91 | 175 | 19de/20ste eeuw | 1 fijne (eerder van beker of drinkglas dan van fles) wandscherf kleurloos glas (enkele luchtbelletjes zichtbaar in glas) | 1 | 1 |
| 476 | Porselein | Kledij | Knoop | 2 | Porseleinen knopen | 91 | 175 | 20ste eeuw | 2 witte, ronde, porseleinen knopen met 4 gaatjes en een diameter van 1,1 cm | 0,9 | 2 |
| 476 | Menselijk bot | Botmateriaal | Menselijk botmateriaal | - | - | 91 | 175 | | | | |
| 477 | Ijzer | Kisten | Kistnagels | 1 | Ijzeren kistnagel | 94 | 172 | Xxx | 1 fragment van een ijzeren kistnagel | 1,3 | 1 |
| 478 | Porselein | Kledij | Knoop | 1 | Porseleinen knoop | 114 | 178 | 20ste eeuw | 1 witte, ronde, porseleinen knoop met 4 gaatjes, diameter van 1,1 cm | 0,4 | 1 |
| 479 | Porselein | Kledij | Knoop | 2 | Porseleinen knopen | 126 | 186 | 20ste eeuw | 2 witte ronde porseleinen knopen met 4 gaatjes, diameters van 1,1 cm | 0,8 | 2 |
| 479 | Menselijk bot | Botmateriaal | Menselijk botmateriaal | - | - | 126 | 186 | | | | |
| 480 | Glas | Glas | Glasfragmenten | 2 | Kleurloos glas | 125 | 183 | 19de/20ste eeuw | 1 rand van een glas/beker, 1 wandscherf, kleurloos, relatief fijn, enkele luchtbelletjes | 6,2 | 1 |
| 480 | Menselijk bot | Botmateriaal | Menselijk botmateriaal | - | - | 125 | 183 | | | | |
| 484 | Lood | Kistbeslag | Crucifix | 2 | Loden crucifix | 125 | 183 | 2de helft 19de eeuw - 1914 | Arm en hand van gekruisigde jezusfiguur, ondetermineerbaar fragment met parallelle strepen (lendendoek?) | 52,1 | 1 |
| 486 | Aardewerk | Aardewerk | Industrieel wit | 10 | Kan + kom + beker/kop | 1 | Xxx | 19de/begin 20ste eeuw | 10 fragmenten industrieel wit aardewerk (o.a. standring kan, rand kom, rand beker/kop) | | |

| Vnr | Inhoud | Categorie | Artefacttype | # | Determinatie | Sp | Ind | Datering | Opmerking | Gew. (gr) | MAI |
|---|---|---|---|---|---|---|---|---|---|---|---|
| 486 | Aardewerk | Aardewerk | Rood aardewerk | 1 | Rode wandscherf | 1 | Xxx | 19de/begin 20ste eeuw | Rode wandscherf met intern en extern loodglazuur | 111,4 | 4 |
| 487 | Ijzer | Kisten | Kistnagels | 9 | Ijzeren kistnagels | 125 | 185 | Xxx | 9 (fragmenten van) ijzeren nagels | 5,3 | 9 |
| 488 | Glas | Glaswaren | Glasfragmenten | 18 | Flessen + drinkglas + bierglas | 1 | Xxx | Eind 19de/begin 20ste eeuw | Kleurloos glas van flessen, van een drink(wijn)glas en van een bierglas. | 514,4 | 4 |
| 489 | Menselijk bot | Botmateriaal | Menselijk botmateriaal | - | - | 1 | Xxx | | | | |
| 490 | Ijzer | Kisten | Kistnagels | 3 | Ijzeren kistnagels | 126 | 186 | Xxx | 3 ijzeren kistnagels, verschillende formaten | | 3 |
| 491 | Koperlegering | Kistbeslag | Siernagels | 2 | Siernagel met ronde kop | 126 | 186 | 2de helft 19de eeuw - 1914 | Fragment van een rond kopje van een siernagel, ondetermineerbaar brokje metaal in koperlegering | 0,7 | 2 |
| 492 | Menselijk bot | Botmateriaal | Menselijk botmateriaal | - | - | 126 | 186 | | | | |
| 493 | Porselein | Kledij | Knoop | 2 | Porseleinen knopen | 116 | 186 | 20ste eeuw | 2 witte ronde porseleinen knopen met 4 gaatjes, diameters van 1,1 cm en 1 cm | 0,7 | 2 |
| 494 | Aardewerk | Aardewerk | Rood aardewerk | 1 | Hoogversierde wandscherf | 1 | Xxx | Eind 12de/midden 14de eeuw | 1 wandscherf hoogversierd aardewerk, versierd met witte sliblijn met driehoekige doorsnede en extern geglazuurd | 3,8 | 1 |
| 500 | Ijzer | Kisten | Kistnagels | 5 | Ijzeren kistnagels | 122 | 185 | Xxx | 5 fragmenten van ijzeren kistnagels | 6 | 5 |
| 501 | Menselijk bot | Botmateriaal | Menselijk botmateriaal | - | - | 138 | 196 | | | | |
| 502 | Menselijk bot | Botmateriaal | Menselijk botmateriaal | - | - | 130 | 194 | | | | |
| 503 | Menselijk bot | Botmateriaal | Menselijk botmateriaal | - | - | 134 | 191 | | | | |
| 504 | Menselijk bot | Botmateriaal | Menselijk botmateriaal | - | - | 134 | 191 | | | | |
| 505 | Koperlegering | Sieraden | Hanger | 2 | Religiues medaillon | 125 | 183 | 2de helft 19de eeuw - 1914 | Religieus medaillon?; *ca.* 2,2 x 1,6 cm, ovaalvormig, een stuk van het oogje voor het bevestigen van de ketting is nog zichtbaar, mai: 2 | 1,6 | 1 |
| 506 | Koperlegering | Kistbeslag | Beslag | 1 | Afbeelding stralenkrans | 125 | 183 | 2de helft 19de eeuw - 1914 | Plaatje met bolvormige knop en afbeelding van stralenkrans | 6,5 | 1 |
| 507 | Menselijk bot | Botmateriaal | Menselijk botmateriaal | - | - | 1 | 133 | | | | |
| 508 | Menselijk bot | Botmateriaal | Menselijk botmateriaal | - | - | 133 | 190 | | | | |

| Vnr | Inhoud | Categorie | Artefacttype | # | Determinatie | Sp | Ind | Datering | Opmerking | Gew. (gr) | MAI |
|---|---|---|---|---|---|---|---|---|---|---|---|
| 509 | Menselijk bot | Botmateriaal | Menselijk botmateriaal | - | - | 1 | Xxx | | | | |
| 510 | Koperlegering | Ondetermineerbaar | Ondetermineerbaar | 2 | Ondetermineerbare fragmenten in koperlegering | 127 | 187 | Xxx | 2 kleine snippers | 0,3 | 2 |
| 511 | Ijzer | Kisten | Kistnagels | 2 | Ijzeren kistnagels | 127 | 187 | Xxx | 2 ijzeren kistnagels | 15,4 | 2 |
| 512 | Menselijk bot | Botmateriaal | Menselijk botmateriaal | - | - | 111 | 189 | | | | |
| 515 | Aardewerk | Aardewerk | Rood handgevormd aardewerk | 1 | Wandscherf rood aardewerk | 111 | 189 | Volle me | 1 wandfragment handgevormd rood aardewerk, matig grof verschraald | 7,3 | 1 |
| 516 | Ijzer | Kisten | Kistnagels | 3 | Ijzeren kistnagels | 126 | 186 | Xxx | 3 (fragmenten van) ijzeren kistnagels | 25,5 | 3 |
| 517 | Porselein | Kledij | Knoop | 1 | Porseleinen knoop | 125 | 183 | 20ste eeuw | 1 witte, ronde, porseleinen knoop met 4 gaatjes en een diameter van 1,1 cm | 0,4 | 1 |
| 518 | Menselijk bot | Botmateriaal | Menselijk botmateriaal | - | - | 1 | Xxx | | | | |
| 519 | Aardewerk | Aardewerk | Grijs aardewerk | 1 | Wandscherf grijs aardewerk | 21 | 140 | Me | 1 grijze wandscherf, verschraling: zand, wat mica en kwarts | 5,8 | 1 |
| 519 | Ijzer | Kisten | Kistnagels | 2 | Ijzeren kistnagels | 140 | 191 | Xxx | 2 ijzeren kistnagels | 38,7 | 2 |
| 520 | Menselijk bot | Botmateriaal | Menselijk botmateriaal | - | - | 127 | 187 | | | | |
| 521 | Menselijk bot | Botmateriaal | Menselijk botmateriaal | - | - | 1 | Xxx | | | | |
| 522 | Menselijk bot | Botmateriaal | Menselijk botmateriaal | - | - | 1 | Xxx | | | | |
| 523 | Koperlegering | Kistbeslag | Kistknoppen | 2 | Bolvormige kistknoppen | 134 | Xxx | 2de helft 19de eeuw - 1914 | 2 bolvormige kistknoppen | 345,4 | 2 |
| 527 | Menselijk bot | Botmateriaal | Menselijk botmateriaal | - | - | 140 | 191 | | | | |
| 529 | Koperlegering | Kistbeslag | Siernagels | 2 | Siernagel met ronde kop | 140 | 191 | 2de helft 19de eeuw - 1914 | 2 ronde kopjes van siernagels, diameter van 1,1 cm | 1,1 | 2 |
| 531 | Menselijk bot | Botmateriaal | Menselijk botmateriaal | - | - | 133 | 190 | | | | |
| 532 | Aardewerk | Aardewerk | Rood aardewerk | 1 | Wandscherf rood aardewerk | 140 | 191 | 17de/18de eeuw | 1 wandscherf met slibversiering, vermoedelijk van een bord of kom | 19,1 | 1 |

### 10.1.1.2 Vondstencatalogus

#### 10.1.1.2.1 Textielresten

**VNR 32**: Vier fragmenten geweven textiel.

**VNR 42**: Kous.

**VNR 42:** Fragmenten bovenste kledingstuk.

**VNR 42:** Stukken geweven bruine textiel.

**VNR 42:** Stukken geweven bruine textiel van een onderhemd en stukken zwarte textiel.

**VNR 263:** Vijf fragmenten fijn geweven textiel.

**VNR 270:** Stuk geweven bruine textiel.

**VNR 308:** Vijf fragmenten geweven zwarte textiel.

**VNR 313:** Bruine geweven textielfragmenten.

#### 10.1.1.2.2 Knopen en kledingspeldjes

**VNR 29:** Twee knopen. Koperen knoopfragment en knoop gemaakt van een stukje schelp (?) met koperen haak.

**VNR 31:** Porseleinen knoop.

**VNR 51:** Benen knoop (boven) en porseleinen knopen (onder).

**VNR 62:** Porseleinen knoop.

**VNR 83:** Porseleinen knoop.

**VNR 88:** Koperen kopspeldjes en kistversiering.

**VNR 97:** Vier porseleinen knopen.

**VNR 143:** Twee porseleinen knopen.

**VNR 159:** Porseleinen knoop.

**VNR 178:** Porseleinen knoop.

**VNR 181:** Twee porseleinen knopen.

**VNR 183:** Drie porseleinen knopen.

**VNR 188:** Vijf porseleinen knopen.

**VNR 198:** Vier porseleinen knopen.

**VNR 208:** Negen glazen knopen.

**VNR 219:** Porseleinen knoop.

**VNR 227:** Drie porseleinen knopen.

**VNR 236:** Porseleinen knoop.

VNR 273: porseleinen knoop.

VNR 290: Porseleinen knoop.

**VNR 302:** Porseleinen knoop.

**VNR 305:** Benen knoop.

**VNR 306:** Vier porseleinen knopen.

**VNR 323:** Porseleinen knoop.

**VNR 331:** Porseleinen knoop.

**VNR 364:** Porseleinen knopen.

**VNR 366:** Porseleinen knoop.

**VNR 377:** Twee porseleinen knopen.

**VNR 379:** porseleinen knoop.

**VNR 395:** Porseleinen knoop.

**VNR 396:** Porseleinen knoop.

**VNR 458:** Twee porseleinen knopen.

**VNR 465:** Porseleinen knoop.

**VNR 476:** Twee porseleinen knopen.

**VNR 478:** Porseleinen knoop.

**VNR 479:** Twee porseleinen knopen.

**VNR 493:** Twee porseleinen knopen.

**VNR 517:** Porseleinen knoop.

**VNR 210:** Haakvormig ijzeren fragmentje.

**VNR 274:** Koperen kopspeld.

**VNR 343:** Koperen kopspeldje.

**VNR 370:** Koperen kopspeldje.

**VNR 416:** Koperen kopspeldjes.

### 10.1.1.2.3 Sieraden, paternosters en haarspelden

**VNR 30:** Koperen kruis met Jezus (hanger) en koperen ketting. Voorzijde en achterzijde.

**VNR 96:** Paternoster: houten kraaltjes, koperen kruis met Jezus en koperen ketting.

**VNR 128:** Koperen vingerring.

**VNR 168:** Vingerring uit metaallegering.

**VNR 184:** Wit kraaltje, vermoedelijk van een paternoster.

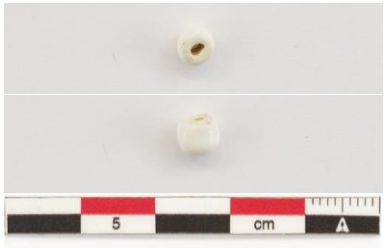

**VNR 246:** Hanger: koperen kruis met Jezus.

**VNR 312:** Paternoster: houten kralen, koperen draad en stukjes textiel.

**VNR 314:** Paternoster: houten kraal, koperen draad en stukjes textiel.

**VNR 355:** Hanger: koperen kruis met Jezus. Voorzijde en achterzijde.

**VNR 360:** Koperen speld met restjes stof, een kunststoffen parel en kunststoffen handjes. Voorzijde en achterzijde.

**VNR 385:** Fragmenten kleurloos glas en glazen en kunststoffen kralen.

**VNR 387:** Ijzeren kistnagels en glazen en kunststoffen kralen.

**VNR 388:** Glazen en kunststoffen kralen en koperen draadjes.

**VNR 403:** Paternoster: houten kralen.

**VNR 415:** Vingerring.

**VNR 455:** Min of meer ronde koperen hanger. Voorzijde en Achterzijde.

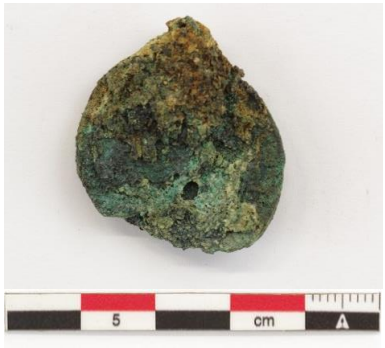

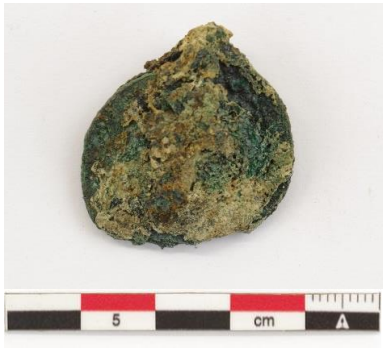

**VNR 505:** Koperen medaillons. Voorzijde en achterzijde.

**VNR 80**: Kunststoffen haarkam.

**VNR 212**: Kunststoffen, eenvoudige haarspelden.

#### 10.1.1.2.4 Kistbeslag

**VNR 7:** Koperen kistknoppen.

**VNR 8:** Koperen siernagel.

**VNR 33:** ijzeren kistnagels en koperen siernagels.

**VNR 36:** Houtfragmenten vermoedelijk van een kist, ijzeren kistnagels, koperen siernagels, menselijke botresten en kunststof knopen.

**VNR 44:** Ijzeren kistnagels en een koperen siernagel.

**VNR 56:** Koperen siernagels.

**VNR 70:** Koperen siernagels.

**VNR 90:** Ijzeren kistnagels en een koperen kistknop.

**VNR 91:** Koperen kistknoppen en schijfvormige kistversiering.

**VNR 95:** Kopersnippers van vermoedelijk kistbeslag.

**VNR 105:** Koperen siernagels.

**VNR 112:** Ijzeren kistnagels en koperen siernagels.

**VNR 113:** Koperen siernagels.

**VNR 127:** Koperen kistknoppen.

**VNR 137:** Koperen siernagels.

**VNR 143:** Koperen siernagel.

**VNR 195:** Koperen kistknoppen.

**VNR 196:** Koperen kistknoppen.

**VNR 202:** Koperen siernagels.

**VNR 203:** Ijzeren kistnagel en koperen kistknop.

**VNR 209:** Loden kistknop.

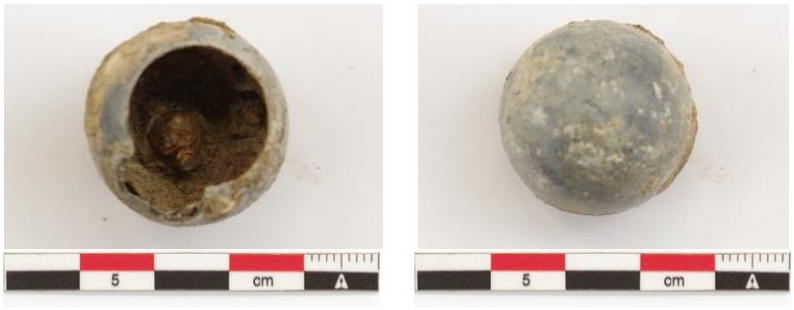


**VNR 216:** Koperen siernagels.

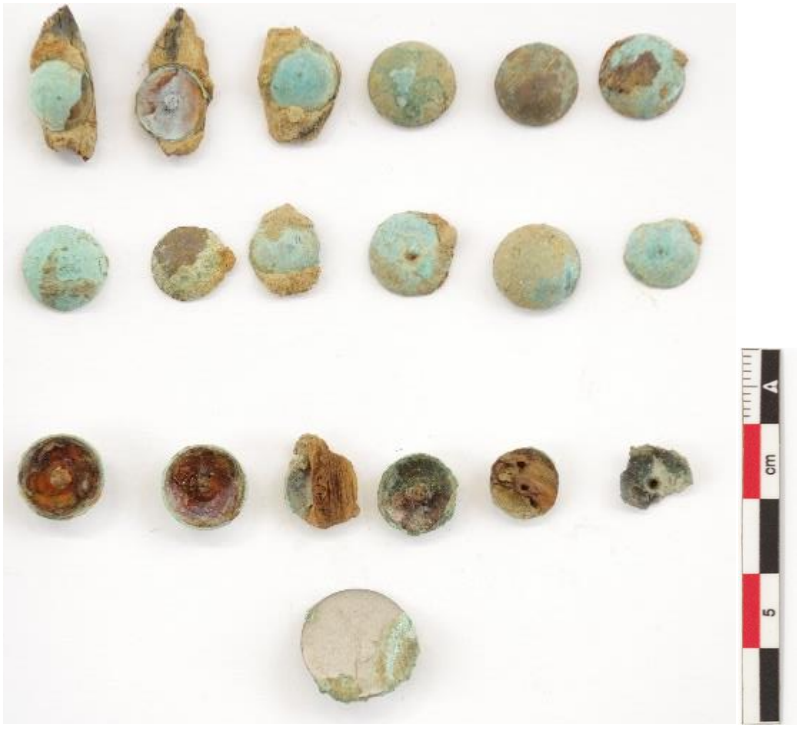

**VNR 238:** Koperen siernagels en kistknop.

**VNR 251:** Koperen kistknoppen en ijzeren kistnagel.

**VNR 252:** Koperen kistknop.

**VNR 257:** Koperen kistknoppen.

**VNR 258:** Koperen siernagel.

**VNR 268:** Koperen siernagels.

**VNR 275:** Koperen siernagels.

**VNR 321:** Koperen kistknoppen.

**VNR 325:** Koperen kistknoppen.

**VNR 347:** Loden kistknoppen en koperen siernagels.

**VNR 352:** Koperen siernagel.

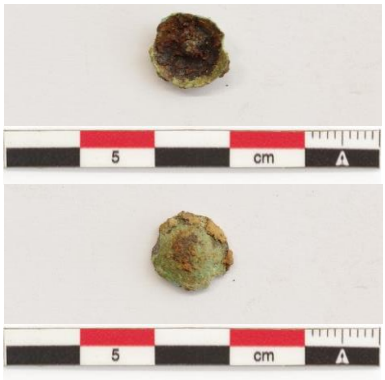

**VNR 361:** Fragmenten van kistbeslag.

**VNR 380:** Ijzeren kistnagel en koperen kistdecoratie.

**VNR 393:** Fragmenten van koperen kistknoppen.

**VNR 418:** Koperen siernagels.

**VNR 466:** Ijzeren kistnagels en koperen siernagels.

**VNR 468:** Koperen siernagels en houten fragmenten van vermoedelijk een kruis.

**VNR 474:** Koperen kistknoppen en siernagels.

**VNR 491:** Koperen siernagels.

**VNR 506:** Koperen kistbeslag.

**VNR 523:** Koperen kistknop en ondetermineerbaar stuk koper.

**VNR 529:** Koperen siernagels.

**VNR 41:** Loden gekruisigde Jezus.

**VNR 50:** Fragmentarisch bewaarde, gekruisigde Jezus.

**VNR 164:** Fragmenten van een loden kruis met Jezus en drie ijzeren staafjes.

**VNR 354:** Afdruk van koperen vleugel. De afdruk is vermoedelijk van een engelbeeldje.

**VNR 383:** Fragmenten van gekruisigde Jezus in lood.

**VNR 405:** Fragmenten van een gekruisigde Jezus in lood.

**VNR 406:** Loden doodshoofd.

**VNR 451:** Fragmenten van een gekruisigde Jezus in lood (o.a. rug, armen, benen, hoofd).

**VNR 484:** Arm en hand van een gekruisigde Jezus en een loden stuk met parallelle strepen, mogelijk deel van zijn lendendoek (?).

### 10.1.1.2.5 Kistnagels

**VNR 44:** Ijzeren kistnagels.

**VNR 49:** Ijzeren kistnagels.

**VNR 53:** Ijzeren kistnagels.

**VNR 55:** Ijzeren kistnagels.

**VNR 60:** Ijzeren kistnagels.

**VNR 76:** Ijzeren kistnagels.

**VNR 87:** Ijzeren kistnagels.

**VNR 101:** Ijzeren kistnagel.

**VNR 120:** Ijzeren kistnagels.

**VNR 125:** Ijzeren kistnagels.

**VNR 147:** Ijzeren kistnagels.

**VNR 152:** Ijzeren kistnagels.

**VNR 153:** Ijzeren kistnagels.

**VNR 156:** Ijzeren kistnagels.

**VNR 177:** Ijzeren kistnagels.

**VNR 180:** Ijzeren kistnagels.

**VNR 201:** Ijzeren kistnagels.

**VNR 207:** Ijzeren kistnagel.

**VNR 211:** Ijzeren kistnagels.

**VNR 214:** IJzeren kistnagels.

**VNR 221:** Ijzeren kistnagels.

**VNR 225:** Ijzeren kistnagels.

**VNR 231:** Ijzeren kistnagels.

**VNR 237:** Ijzeren kistnagels.

**VNR 250:** Ijzeren kistnagels.

**VNR 259:** Ijzeren kistnagel.

**VNR 269:** Ijzeren kistnagels.

**VNR 279:** Ijzeren kistnagels.

**VNR 310:** Ijzeren kistnagels.

**VNR 319:** Ijzeren kistnagels.

**VNR 326:** Ijzeren kistnagels.

**VNR 328:** Ijzeren kistnagels.

**VNR 330:** Ijzeren kistnagels.

**VNR 338:** Ijzeren kistnagels.

**VNR 342:** Ijzeren kistnagels.

**VNR 350:** Ijzeren kistnagels.

**VNR 367:** Ijzeren kistnagels.

**VNR 376:** Ijzeren kistnagels.

**VNR 381:** Ijzeren kistnagel.

**VNR 392:** Ijzeren kistnagels.

**VNR 399:** Ijzeren kistnagels.

**VNR 402:** Ijzeren kistnagels.

**VNR 417:** Ijzeren kistnagels.

**VNR 424:** Ijzeren kistnagels.

**VNR 462:** Ijzeren kistnagels.

**VNR 473:** Ijzeren kistnagels.

**VNR 477:** Ijzeren kistnagel.

**VNR 487:** Ijzeren kistnagels.

**VNR 490:** Ijzeren kistnagels.

**VNR 500:** Ijzeren kistnagels.

**VNR 511:** Ijzeren kistnagels.

**VNR 516:** Ijzeren kistnagels.

**VNR 519:** Ijzeren kistnagels.

### 10.1.1.2.6 Aardewerk

**VNR 73**: Rand van vermoedelijk een kamerpot en wandscherf rood aardewerk. Voorzijde en achterzijde.

**VNR 86:** Rood aardewerk, grijs aardewerk, Romeinse kruikwaar en vermoedelijk Romeins lokaal/regionaal grijs gedraaid en fragment maalsteen.

**VNR 107:** Wandscherf rood aardewerk van vermoedelijk een kom of teil.

**VNR 119:** Wandscherf Rijnlands steengoed, rand industrieel wit aardewerk, twee fragmenten pijpensteel.

**VNR 126:** Wandscherven wit aardewerk, bodemfragment rood aardewerk en twee fragmenten van witte pijpenstelen.

**VNR 129:** Handgevormde wandscherven.

**VNR 132:** Grijze wandscherf.

**VNR 143:** Wandscherf kruikwaar.

**VNR 218:** Bodemfragment rode kom, wandfragment majolica, drie wandfragmenten rood aardewerk en één fragment tegel.

**VNR 222:** Randfragment van een bord in faience en randfragment van vermoedelijk een kom in rood aardewerk.

**VNR 249:** Randfragment van een industrieel wit bord.

**VNR 239:** Wandscherf rood geglazuurd aardewerk. Voorzijde en achterzijde.

**VNR 311:** Bord in industrieel wit aardwerk, wandscherf Rijnlands steengoed, een randfragment van een kom in rood aardewerk, een kunststof knoop en een ondetermineerbaar halfrond ijzeren object.

**VNR 322:** Borden in faience en industrieel aardewerk, en drinknap in faience. Met detail van stempel van bord.

**VNR 344:** Bodemfragment (standring) in wit aardewerk en een randfragment majolica.

**VNR 351:** Wandscherf rood aardewerk.

**VNR 386:** Romeins geverfd aardewerk, vroegmodern rood aardewerk en een tegelfragment.

**VNR 397:** Grijze, handgevormde wandscherf.

**VNR 407:** Rode tegelfragmenten.

**VNR 408:** Rood tegelfragment.

**VNR 410:** Wandfragmenten grijs aardewerk.

**VNR 413:** Randfragment van een bord in rood aardewerk.

**VNR 422:** Fragment grijze tegel, rand van een bord in rood aardewerk, rand van een kom in rood aardewerk en een metaalslak.

**VNR 433:** Grijze wandscherf.

**VNR 443:** Wandscherf rood aardewerk.

**VNR 454:** Lintoor van een kan/kruik in Maaslands wit aardewerk, een wandfragment traag nagedraaid rood aardewerk en twee rode tegelfragmenten.

**VNR 467:** Rand van een kom in faience en frhagmenten van rode tegels.

**VNR 486:** Fragment van een kan, van een kom, van een beker/kop in industrieel wit aardewerk en een rode wandscherf.

**VNR 494:** Hoogversierde wandscherf.

**VNR 515**: Wandscherf rood aardewerk.

**VNR 519**: Wandscherf grijs aardewerk.

**VNR 532:** Wandscherf rood aardewerk.

**VNR 43:** Twee fragmenten kleurloos glas waarvan één bodemfragment en één fragment groen glas.

**VNR 89:** Fijne (eerder van beker of drinkglas dan van fles) wandscherf kleurloos glas.

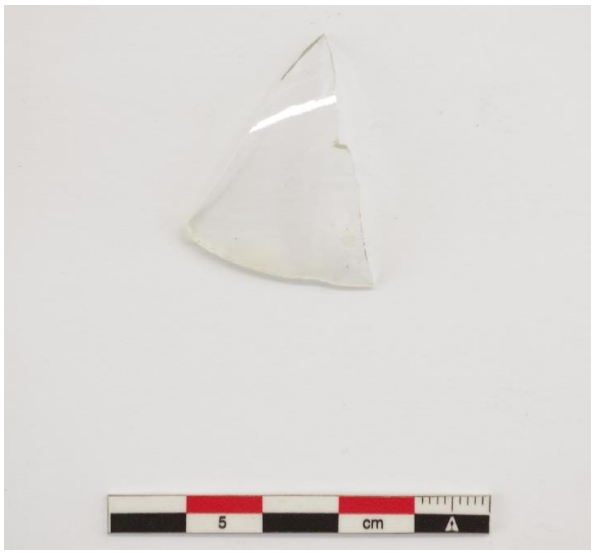


**VNR 108:** Bodemfragment van een fles in kleurloos glas.

**VNR 117:** Fragment kleurloos glas en een fragment groen glas.

**VNR 158:** Ronde voet van een drink(wijn)glas in kleurloos glas en hals van een fles in groen glas.

**VNR 217:** Twee fragmenten kleurloos vlakglas en twee fragmenten kleurloos glas van vermoedelijk een beker/drinkglas.

**VNR 223:** Vlak fragment groen glas.

**VNR 240:** Fragment kleurloos vlakglas en een fragment groen glas, vermoedelijk gaat het om een stuk van de steel van een drink(wijn)glas.

**VNR 304**: Drie bodems in groen glas van wijnflessen en twee bodems van flessen in kleurloos glas.

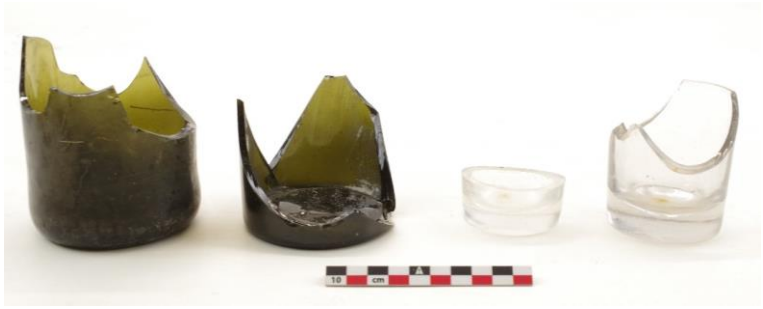

**VNR 324:** Fragmenten kleurloos vlakglas en een fragment van een bierglas in kleurloos glas.

**VNR 394:** Vier fragmenten olijfgroen glas en zeven fragmenten kleurloos glas, afkomstig van flessen.

**VNR 401:** Fragmenten kleurloos glas van flessen en drinkbekers, op een fragment is ‘PHAR’ te lezen. 56 Fragmenten kleurloos vlakglas en een geïriseerd fragment olijfgroen glas van oudere leeftijd.

**VNR 419:** Geïriseerd olijfgroen wandfragment.

**VNR 423:** Mond en hals van een fles in olijfgroen glas, onregelmatige glasdraad op hals.

**VNR 453:** Kleurloos fragment vlakglas, fragment groen glas van een fles en twee bruine fragmenten van een fles.

**VNR 476:** Drie fragmentjes kleurloos glas.

**VNR 476:** Fijne wandscherf in kleurloos glas, vermoedelijk van een beker of drinkglas.

**VNR 480:** Rand van een drink(wijn)glas of beker in kleurloos glas en een wandscherf.

**VNR 488:** Kleurloos glas van flessen, van een drink(wijn)glas en van een bierglas.

### 10.1.1.2.8 Monumenten

**VNR 40:** Natuurstenen kruis, van grafsteen.

### 10.1.1.2.9 Kleipijpen

**VNR 5:** Witte pijpensteel met aanzet naar ketel en met op de steel 'Scouflaire a Onnaing' gestempeld.

**VNR 45:** Fragment van een onversierd, wit pijpensteeltje.

**VNR 74:** Witte pijpenkop (rondbodem?) en een zwarte pijpensteel.

**VNR 119:** Wandscherf Rijnlands steengoed, rand industrieel wit aardewerk en twee fragmenten van witte pijpenstelen.

**VNR 126:** Wandscherf wit aardewerk, bodemfragment rood aardewerk en een witte pijpensteel.

**VNR 162:** Wit pijpensteeltje versierd met ruitvormige radering.

**VNR 205:** Wit pijpensteeltje met radering (kruisen en punten).

**VNR 335:** Witte pijpenkop met hielmerk (gekroonde ‘WS’) en bijmerk (‘M’ en ‘3’).

### 10.1.1.2.10Overige

**VNR 226:** Leren schoenzool met spijkertjes.

**VNR 19**: Ondetermineerbare brokken hout met een fijn laagje metaal.

**VNR 52**: Twee koperbrokken.

**VNR 228:** Zeven fragmenten lood.

**VNR 229**: Acht fragmenten lood.

**VNR 230**: Zeven fragmenten lood.

**VNR 234:** Vier koperen brokken.

**VNR 510:** Twee kleine kopersnippers.

## 10.1.2 Gesneuvelden

### 10.1.2.1 Vondsteninventaris

| Vondstnr. | Individu | Natio-naliteit | Artefacttype | Determinatie | Afmetingen | Aantal | Conditie | Materiaal | Opmerkingen |
|---|---|---|---|---|---|---|---|---|---|
| V6 | IND 2 | Brits | Stoffelijke resten | - | - | - | Gefragmenteerd | OMB | Voet en arm |
| V6 | IND 2 | Brits | Schoeisel | B5 boot (linkerschoen) | - | 1 | Gefragmenteerd | ODL | Geen standaard type (?) |
| V9 | IND 1 | Duits | Schoeisel | M1866 Laars (links) | - | - | Gefragmenteerd | ODL | Enkel zool |
| V9 | IND 1 | Duits | Stoffelijke resten | Linkervoet | - | - | Goed | OMB | - |
| V10 | IND 1 | Duits | Ring | Duitse patriottische ring | - | 1 | Goed | MXX | Koperlegering, met Duitse vlag (wapenschild?), gevonden aan rechterhand |
| V10 | IND 1 | Duits | Uniform | Fragment Feldgrau stof | - | 1 | Goed | OTE | |
| V11 | IND 1 | Duits | Stoffelijke resten | - | - | - | Gefragmenteerd | OMB | |
| V12 | IND 1 | Duits | Stoffelijke resten | Schedel | - | - | Gefragmenteerd | OMB | |
| V13 | IND 1 | Duits | Stoffelijke resten | Linkerarm | - | - | Gefragmenteerd | OMB | |
| V14 | IND 1 | Duits | Stoffelijke resten | Los bot | - | - | Gefragmenteerd | OMB | |
| V15 | IND 1 | Duits | Rookwaar | Sigarettendoosje | - | - | Gefragmenteerd | MXX | Koperlegering, volledig gefragmenteerd (afmetingen niet meer te achterhalen), wel nog mogelijk resten sigaretten bewaard |
| V15 | IND 1 | - | GSM | Karterskogels | - | 16 | Goed | MXX | |
| V15 | IND 1 | Duits | Uniform | M1907/10 Seitenhaken | - | 2 | Goed | MXX | |
| V15 | IND 1 | Duits | Uniform | Beierse M1907/10 Taillenhaken (21mm / L) | 21mm | 1 | Goed | MXX | Fragmenten uniform bewaard |
| V15 | IND 1 | Duits | Uniform | Beierse M1907/10 Taillenhaken (21mm / R) | 21mm | 1 | Goed | MXX | Fragmenten uniform bewaard |
| V15 | IND 1 | Duits | Uniform | Beierse M1907/10 Uniformknoop (18mm / L) | 18mm | 1 | Goed | MXX | Fragmenten uniform bewaard |
| V15 | IND 1 | Duits | Uniform | Beierse M1907/10 Uniformknoop (18mm / R) | 18mm | 1 | Goed | MXX | Fragmenten uniform bewaard |
| V15 | IND 1 | Duits | Uniform | Beierse M1907/10 Uniformknoop (21mm / L) | 21mm | 4 | Goed | MXX | Fragmenten uniform bewaard |
| V15 | IND 1 | Duits | Uniform | Beierse M1907/10 Uniformknoop (21mm / O) | 21mm | 8 | Goed | MXX | Fragmenten uniform bewaard |
| V15 | IND 1 | Duits | Uniform | Knoop overjas (vlak) | 24mm | 1 | Goed | MXX | |
| V15 | IND 1 | Duits | Uniform | M1907/10 Kraagsluiting | - | 1 | Goed | MXX | |
| V15 | IND 1 | Duits | Uniform | M1907/10 binnenknopen | 11mm | 2 | Goed | KUN | 2 ogen |

| Vondstnr. | Individu | Natio-naliteit | Artefacttype | Determinatie | Afmetingen | Aantal | Conditie | Materiaal | Opmerkingen |
|---|---|---|---|---|---|---|---|---|---|
| V15 | IND 1 | Duits | Uniform | Bretelgesp | - | 1 | Gefragmenteerd | MXX | |
| V15 | IND 1 | Duits | Uniform | Resten overjas | - | - | Gefragmenteerd | OTE | |
| V15 | IND 1 | Duits | Uniform | Resten M1907/10 uniformjas | - | - | Gefragmenteerd | OTE | |
| V15 | IND 1 | Duits | Uniform | Resten onderhemd | - | - | Gefragmenteerd | OTE | |
| V15 | IND 1 | Duits | Schrijfmateriaal | Potlood | - | 1 | Gefragmenteerd | HT | |
| V16 | IND 1 | Duits | Stoffelijke resten | Rechterarm (boven) | - | - | Gefragmenteerd | OMB | |
| V17 | IND 1 | Duits | Stoffelijke resten | Rechterarm (onder) | - | - | Gefragmenteerd | OMB | |
| V84 | IND 3 | Duits | Stoffelijke resten | Rechtervoet | - | - | Gefragmenteerd | OMB | Onvolledig |
| V84 | IND 3 | Duits | Schoeisel | M1866 Laars (rechts) | - | - | Gefragmenteerd | ODL | Enkel zool |

### 10.1.2.2 Vondstencatalogus

#### 10.1.2.2.1 Individu 1/3

**VNR 9:** Zool van een M1866 laars.

**VNR 10:** Duitse patriottische ring.

**VNR 15:** Fragmenten overjas.

**VNR 15:** Fragmenten M1907/10 Feldrock.

**VNR 15:** Potlood.

### 10.1.2.2.2 Individu 2

**VNR 6:** Zool van een Britse bottine.

## 10.2 DEEL 2 (2021C69)

### 10.2.1 Vondsteninventaris

| VNR | Inhoud | Categorie | Artefacttype | # | Determinatie | Sp | IND | Datering | Opmerking | Gew. (gr) | MAI |
|---|---|---|---|---|---|---|---|---|---|---|---|
| 1 | Menselijk bot | Botmateriaal | Menselijk botmateriaal | - | - | 9 | 202 | | | | |
| 2 | Menselijk bot | Botmateriaal | Menselijk botmateriaal | - | - | 4 | 203 | | | | |
| 3 | Aardewerk | Aardewerk | Noord-Frans hoogversierd | 1 | Wandscherf Noord-Frans hoogversierd | 4 | 203 | Midden 12de/midden 13de eeuw | Wandscherf, witbakkend aardewerk, groen glazuur extern | 7,3 | 1 |
| 4 | Ijzer | Kisten | Kistnagels | 2 | Ijzeren kistnagels | 4 | 203 | XXX | 2 fragmenten van ijzeren kistnagels | 13,2 | 2 |
| 5 | Menselijk bot | Botmateriaal | Menselijk bot | 0 | Niet in zakje aanwezig | 10 | 201 | XXX | Niet aanwezig in zakje | XXX | XXX |
| 5 | Menselijk bot | Botmateriaal | Menselijk botmateriaal | - | - | 10 | 201 | | | | |
| 6 | Menselijk bot | Botmateriaal | Menselijk botmateriaal | - | - | 13 | 207 | | | | |
| 7 | Menselijk bot | Botmateriaal | Menselijk botmateriaal | - | - | 5 | 204 | | | | |
| 8 | Menselijk bot | Botmateriaal | Menselijk botmateriaal | - | - | 6 | 206 | | | | |
| 9 | Menselijk bot | Botmateriaal | Menselijk botmateriaal | - | - | 15 | 205 | | | | |
| 10 | Aardewerk | Aardewerk | Rood aardewerk | 3 | 3 wandscherven | 6 | 206 | ME | 3 wandscherven, wat mica, witte en zwarte inclusies, enkele rode vlekjes (ijzeroxide?), kwarts, zanderig, ongeglazuurd | 36,1 | 1 |
| 11 | Ijzer | Kisten | Kistnagel | 1 | Ijzeren kistnagel | 6 | 206 | XXX | Ijzeren kistnagel | 6,9 | 1 |
| 12 | Glas | Glaswaren | Glasfragmenten | 1 | Vlak glas | 6 | 206 | 19de/begin 20ste eeuw | Kleurloos glas met parallelle lijnen aan één zijde | 1,9 | 1 |
| 13 | Menselijk bot | Botmateriaal | Menselijk botmateriaal | - | - | 16 | 208 | | | | |
| 14 | Aardewerk | Aardewerk | Rood aardewerk | 7 | Rand kom + wandscherven | 17 | XXX | ME/vroegmodern | 1 rood randfragment van een kom, verdikte en afgeronde rand, glazuurspatten; 6 wandfragmenten, ongeglazuurd | 89,9 | 1 |
| 15 | Menselijk bot | Botmateriaal | Menselijk botmateriaal | - | - | 17 | | XXX | | | |
| 16 | Aardewerk | Aardewerk | Industrieel wit + rood aardewerk | 9 | Kom + kom/teil + kan/kruik | 17 | XXX | ME (?) + 19de/begin 20ste eeuw | 3 fragmenten (1 rand, 2 wand) industrieel wit (kom), 1 randfragment kom/teil met intern donkerbruin glazuur, vlakke bodem kan/kruik met intern bruin glazuur, 4 ongeglazuurde wandfragmenten (ME?) | 167,4 | 4 |

| VNR | Inhoud | Categorie | Artefacttype | # | Determinatie | Sp | IND | Datering | Opmerking | Gew. (gr) | MAI |
|---|---|---|---|---|---|---|---|---|---|---|---|
| 17 | Menselijk bot | Botmateriaal | Menselijk botmateriaal | - | - | 18 | 209 | | | | |
| 18 | Ijzer | Kisten | Kistnagels | 3 | Ijzeren kistnagels | 18 | 209 | XXX | 3 ijzeren kistnagels | 12,5 | 3 |
| 22 | Menselijk bot | Botmateriaal | Menselijk botmateriaal | - | - | 19 | 210 | | | | |
| 23 | Ijzer | Kisten | Kistnagels | 4 | Ijzeren kistnagels | 17 | XXX | XXX | 4 ijzeren kistnagels, verschillende formaten | 13,1 | 4 |
| 24 | Ijzer | Kisten | Kistnagel | 1 | Ijzeren kistnagel | 19 | 210 | XXX | 1 ijzeren kistnagel | 2,4 | 1 |
| 25 | Glas | Glas | Kleurloos glas + groen glas | 11 | Bierglas? + wijnfles | 17 | XXX | 19de eeuw/begin 20ste eeuw | 1 kleurloos bodemfragment van een bierglas?, 10 fragmenten van een groene wijnfles waaronder 4 bodemfragmenten | 483,7 | 2 |
| 26 | Menselijk bot | Botmateriaal | Menselijk botmateriaal | - | - | 17 | | XXX | | | |
| 27 | Menselijk bot | Botmateriaal | Menselijk botmateriaal | - | - | 27 | 218 | | | | |
| 28 | Menselijk bot | Botmateriaal | Menselijk botmateriaal | - | - | 28 | 219 | | | | |
| 29 | Menselijk bot | Botmateriaal | Menselijk botmateriaal | - | - | 26 | 217 | | | | |
| 30 | Glas | Glas | Groen glas | 1 | Bodemfragment wijnfles | 29 | XXX | 19de eeuw/begin 20ste eeuw | Bodemfragment groen glas | 49,1 | 1 |
| 31 | Koperlegering | Kistbeslag | Kistknoppen | 2 | Bolvormige kistknoppen | 20 | 211 | 2de helft 19de eeuw - 1914 | 2 bolvormige kistknoppen, diameter van 3,7 cm | 41 | 2 |
| 32 | Menselijk bot | Botmateriaal | Menselijk botmateriaal | - | - | 8 | | XXX | | | |
| 33 | Koperlegering | Kistbeslag | Siernagels | 48 | Siernagels met ronde koppen | 20 | 211 | 2de helft 19de eeuw - 1914 | Houten kistfragmenten met beslag in koperlegering (siernagels), de siernagels hebben een rond kopje met een diameter van *ca.* 1,1 cm | 31,8 | 48 |
| 34 | Ijzer | Kisten | Kistnagels | 9 | Ijzeren kistnagels | 29 | XXX | XXX | 9 (fragmenten van) ijzeren kistnagels, verschillende formaten | 44,9 | 9 |
| 35 | Menselijk bot | Botmateriaal | Menselijk botmateriaal | - | - | 20 | 211 | | | | |
| 39 | Menselijk bot | Botmateriaal | Menselijk botmateriaal | - | - | 22 | 212 | | | | |
| 40 | Menselijk bot | Botmateriaal | Menselijk botmateriaal | - | - | 31 | 220 | | | | |
| 41 | Menselijk bot | Botmateriaal | Menselijk botmateriaal | - | - | 5000 | XXX | | | | |
| 42 | Menselijk bot | Botmateriaal | Menselijk botmateriaal | - | - | 21 | 221 | | | | |
| 43 | Menselijk bot | Botmateriaal | Menselijk botmateriaal | - | - | 23 | 216 | | | | |
| 44 | Ijzer | Kisten | Kistnagels | 60 | Ijzeren kistnagels | 30 | XXX | 2de helft 19de eeuw - 1914 | 60 (fragmenten van) ijzeren nagels, verschillende formaten | | |
| 44 | Koperlegering | Kistbeslag | Siernagels | 1 | Siernagels met ronde koppen | 30 | XXX | 2de helft 19de eeuw - 1914 | Siernagel met ronde kop | 88,9 | 61 |
| 47 | Menselijk bot | Botmateriaal | Menselijk botmateriaal | - | - | 25 | 215 | | | | |
| 48 | Menselijk bot | Botmateriaal | Menselijk botmateriaal | - | - | 30 | XXX | | | | |

| VNR | Inhoud | Categorie | Artefacttype | # | Determinatie | Sp | IND | Datering | Opmerking | Gew. (gr) | MAI |
|---|---|---|---|---|---|---|---|---|---|---|---|
| 49 | Menselijk bot | Botmateriaal | Menselijk botmateriaal | - | - | 24 | 214 | | | | |
| 50 | Menselijk bot | Botmateriaal | Menselijk botmateriaal | - | - | 30 | 222 | | | | |
| 56 | Koperlegering | Kistbeslag | Siernagels | 1 | Siernagels met ronde koppen | 30 | 222 | 20ste eeuw | | | |
| 56 | Been | Kledij | Knoop | 1 | Benen knoop | 30 | 222 | 20ste eeuw | 1 bruine knoop met 2 gaatjes en een diameter van 1,4 cm | 0,5 | 1 |
| 56 | Porselein | Kledij | Knoop | 2 | Porseleinen knopen | 30 | 222 | 20ste eeuw | 2 witte ronde knopen met 4 gaatjes en een diameter van 1,1 cm | 1 | 2 |
| 57 | Menselijk bot | Botmateriaal | Menselijk botmateriaal | - | - | 32 | 223 | | | | |
| 58 | Menselijk bot | Botmateriaal | Menselijk botmateriaal | - | - | 34 | 225 | | | | |
| 59 | Menselijk bot | Botmateriaal | Menselijk botmateriaal | - | - | 33 | 224 | | | | |
| 60 | Lood | Kistbeslag | Crucifix | 13 | Loden kruis met jezus + 2 loden cherubijnen | 33 | 224 | 2de helft 19de eeuw - 1914 | Fragmenten van een loden gekruisigde Jezus (oa armen) | | |
| 60 | Lood | Kistbeslag | Cherubijn | 2 | Loden kruis met jezus + 2 loden cherubijnen | 33 | 224 | 2de helft 19de eeuw - 1914 | 2 geknielde cherubijnen | 274 | 3 |
| 61 | Goud | Sieraden | Vingerring | 1 | Gouden vingerring | 33 | 224 | XXX | Gouden vingerring, diameter van *ca.* 2,2 cm, onversierd | 1,4 | 1 |
| 62 | Menselijk bot | Botmateriaal | Menselijk botmateriaal | - | - | 35 | 213 | | | | |
| 63 | Koperlegering | Geschutsmunitie | Artilleriehulzen | 4 | Koperen voeten van obus | 38 | XXX | WO1 | Koperen voeten van ontplofte obussen, diameter van 17 cm | 6955 | 4 |
| 64 | ijzer | militair materieel | schroefpiket | 1 | groot schroefpiket | 38 | XXX | WO1 | | | 1 |
| 65 | koperlegering | klein kaliber munitie | geweerpatronen | 3 | .303 British (UK produced) | 38 | XXX | WO1 | 1 volledig patroon, 2 kogels | 46,6 | 3 |
| 66 | ijzer | militair materieel | materiaal | 9 | schroefpiket ('varkensstaart'), nagel, prikkeldraad, haak, ijzerdraad | 38 | XXX | WO1 | stuk van een 'varkensstaart', ijzeren nagel, ijzeren haak, ijzerdraad, stuk prikkeldraad… | 1393 | 9 |

### 10.2.2 Vondstencatalogus

#### 10.2.2.1 Knopen en kledingspeldjes

**VNR 56:** Benen knoop (boven) en porseleinen knopen (onder).

#### 10.2.2.2 Sieraden, paternosters en haarspelden

**VNR 61:** Gouden vingerring.

#### 10.2.2.3 Aardewerk

VNR 3: Wandscherf Noord-Frans hoogversierd.

**VNR 10:** Wandscherven rood aardewerk.

**VNR 14:** Rand kom en wandscherven rood aardewerk.

**VNR 16:** Industrieel wit aardewerk en rood aardewerk.

### 10.2.2.4 Glas

**VNR 12:** Kleurloos vlakglas met parallelle lijnen aan één zijde.

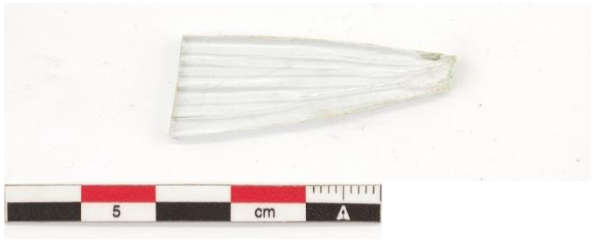


**VNR 30:** Bodemfragment van een wijnfles in groen glas.

**VNR 25:** Kleurloos bodemfragment van een bierglas en fragmenten (waaronder vier bodemfragmenten) groen glas van een wijnfles.

### 10.2.2.5 Kistbeslag

**VNR 31:** Koperen kistknoppen.

**VNR 33:** Houten kistfragmenten en koperen siernagels.

**VNR 60:** Loden gekruisigde Jezus en twee knielende cherubijnen.

**VNR 60:** Loden gekruisigde Jezus en twee knielende cherubijnen.

### 10.2.2.6 Kistnagels

**VNR 4:** Ijzeren kistnagels.

**VNR 11:** Ijzeren kistnagels.

**VNR 18:** Ijzeren kistnagels.

**VNR 23:** Ijzeren kistnagels.

**VNR 24:** Ijzeren kistnagel.

**VNR 34:** Ijzeren kistnagels.

### 10.2.2.7 Eerste Wereldoorlog

**VNR 63:** Vier koperen voeten van obussen

**VNR 65:** Eén volledig patroon en twee kogels (.303 British – *UK produced*).

**VNR 66:** Stuk van een 'varkensstaart', ijzeren nagel, ijzeren haak, ijzerdraad, stuk prikkeldraad.

## 10.3 DEEL 3 (2021D126)

### 10.3.1 Vondsteninventaris

| Vnr | Inhoud | Categorie | Artefacttype | # | Determinatie | Sp | Ind | Datering | Opmerking | Gew. (gr) | MAI |
|---|---|---|---|---|---|---|---|---|---|---|---|
| 1 | Textiel | Kledij | Textiel | 30 | Bruine textiel met wat loodfragmenten | 1 | 226 | 2de helft 19de eeuw - 1914 | Bruine textielfragmenten | 201 | 1 |
| 1 | Textiel | Kledij | Textiel | 11 | Bruine textiel met wat loodfragmenten | 1 | 226 | 2de helft 19de eeuw - 1914 | Bruine textielfragmenten | 198 | 1 |
| 1 | Lood | Kistbeslag | Beslag | 20 | Gefragmenteerd kistbeslag | 1 | 226 | 2de helft 19de eeuw - 1914 | Houten stukjes van kist?, fragmenten lood van vermoedelijk kistversiering, ijzeren kistnagel | 36,2 | 3 |
| 1 | Textiel | Kledij | Textiel | 25 | Bruine textiel met wat loodfragmenten + porseleinen knoop | 1 | 226 | 20ste eeuw | Bruine textielfragmenten | 98,7 | 2 |
| 1 | Porselein | Kledij | Knoop | 1 | Knoop | 1 | 226 | 20ste eeuw | Ronde witte knoop met 4 gaatjes en een diameter van 1,1 cm | | |
| 2 | Koperlegering | Sieraden | Hanger/medaillon | 2 | Heiligenhanger met schakelketting | 1 | 226 | 2de helft 19de eeuw - 1914 | Bronzen ketting met bronzen ovale hanger, puntjes in een ovaal zichtbaar aan één zijde van de hanger op de andere zijde is 'benedicti' en 'thix' te lezen, hanger ter ere van Benedictus (pater? -> cf. Benedictijnen?) | 4,7 | 1 |
| 3 | Menselijk bot | Botmateriaal | Menselijk botmateriaal | - | - | 1 | 226 | | | | |
| 4 | Menselijk bot | Botmateriaal | Menselijk botmateriaal | - | - | 1 | 226 | | | | |
| 5 | Menselijk bot | Botmateriaal | Menselijk botmateriaal | - | - | 1 | 226 | | | | |
| 7 | Textiel | Kledij | Textiel | 4 | Bruine textielfragmenten | 1 | Xxx | 2de helft 19de eeuw - 1914 | Bruin fragmentarisch textiel | 16,7 | 1 |
| 8 | Menselijk bot | Botmateriaal | Menselijk botmateriaal | - | - | 1 | 226 | | | | |
| 9 | Keramiek | Rookwaren | Kleipijp | 3 | Rode pijpensteelfragmenten | 1 | 226 | Begin 20ste eeuw | Rode gegoten pijpensteelfragmenten | 1,6 | 1 |
| 9 | Ijzer | Kledij | Knoop | 1 | Ijzeren knoop | 1 | 226 | 2de helft 19de eeuw - 1914 | Benen ronde knoop met 4 gaatjes en een diameter van *ca.* 1,6 cm | 0,4 | 1 |

| Vnr | Inhoud | Categorie | Artefacttype | # | Determinatie | Sp | Ind | Datering | Opmerking | Gew. (gr) | MAI |
|---|---|---|---|---|---|---|---|---|---|---|---|
| 9 | Textiel | Kledij | Textiel | 22 | Bruine textiel met wat fragmenten lood | 1 | 226 | 2de helft 19de eeuw - 1914 | Bruine textielfragmenten | 351 | 1 |
| 9 | Textiel | Kledij | Textiel | 5 | Bruine textiel met wat fragmenten lood | 1 | 226 | 2de helft 19de eeuw - 1914 | Bruine textielfragmenten | 523 | 1 |
| 9 | Lood | Kistbeslag | Beslag | 33 | Gefragmenteerd kistbeslag | 1 | 226 | 2de helft 19de eeuw - 1914 | Houten stukjes van kist?, fragmenten lood van vermoedelijk kistversiering | 70 | 2 |
| 9 | Porselein | Kledij | Knoop | 1 | Porseleinen knoop | 1 | 226 | 20ste eeuw | Witte, ronde, porseleinen knoop met 4 gaatjes en een diameter van *ca.* 1 cm | 0,4 | 1 |

### 10.3.2 Vondstencatalogus

#### 10.3.2.1 Textielresten

**VNR 1**: Bruine, geweven textiel, porseleinen knoop en loodfragmenten.

**VNR 7:** Bruine, geweven textielfragmenten.

**VNR 9:** Bruine, geweven textiel met fragmenten lood.

### 10.3.2.2 Knopen en kledingspeldjes

**VNR 9:** Ijzeren knoop.

**VNR 9:** Porseleinen knoop.

### 10.3.2.3 Kistbeslag

**VNR 1:** Houtfragmenten vermoedelijk van een kist, ijzeren kistnagel en fragmenten lood van vermoedelijk kistversiering.

**VNR 9:** Houtfragmenten vermoedelijk van een kist en fragmenten lood van vermoedelijk kistversiering.

### 10.3.2.4 Sieraden, paternosters en haarspelden

**VNR 2:** Bronzen halsketting met ovalen hanger/medaillon.

### 10.3.2.5 Kleipijpen

**VNR 9:** Rode pijpensteelfragmenten.

## 10.4 DEEL 4 (2021D243)

### 10.4.1 Vondsteninventaris

| Vnr | Inhoud | Categorie | Artefacttype | # | Determinatie | Sp | Ind | Datering | Opmerking | Gew. (gr) | MAI |
|---|---|---|---|---|---|---|---|---|---|---|---|
| 1 | Menselijk bot | Botmateriaal | Menselijk botmateriaal | - | - | 1 | Xxx | | | | |
| 2 | Menselijk bot | Botmateriaal | Menselijk botmateriaal | - | - | 2 | Xxx | | | | |
| 3 | Menselijk bot | Botmateriaal | Menselijk botmateriaal | - | - | 3 | 127.2 | | | | |
| 4 | Menselijk bot | Botmateriaal | Menselijk botmateriaal | - | - | 4 | 128.2 | | | | |
| 5 | Menselijk bot | Botmateriaal | Menselijk botmateriaal | - | - | - | Xxx | | | | |
| 6 | Menselijk bot | Botmateriaal | Menselijk botmateriaal | - | - | - | Xxx | | | | |
| 7 | Menselijk bot | Botmateriaal | Menselijk botmateriaal | - | - | 4 | 128.2 | | | | |
| 8 | Menselijk bot | Botmateriaal | Menselijk botmateriaal | - | - | 3 | 127.2 | | | | |
| 9 | Menselijk bot | Botmateriaal | Menselijk botmateriaal | - | - | 6 | 129.2 | | | | |
| 11 | Textiel | Kledij | Textiel | 3 | Bruine textiel | 6 | 129.2 | 2de helft 19de eeuw - 1914 | Bruine textielfragmenten | 4,6 | 1 |
| 12 | Menselijk bot | Botmateriaal | Menselijk botmateriaal | - | - | 5 | Xxx | | | | |
| 13 | Menselijk bot | Botmateriaal | Menselijk botmateriaal | - | - | 5 | Xxx | | | | |
| 14 | Menselijk bot | Botmateriaal | Menselijk botmateriaal | - | - | 7 | 130.2 | | | | |

## 10.4.2 Vondstencatalogus

### 10.4.2.1 Textielresten

**VNR 11:** Bruine, geweven textiel.

# 11 LIJST VAN STALEN

## 11.1 DEEL 1 (2020I174)

| Vondstnr | Putnr | Vlaknr | Spoornr | Monster | Opmerking |
|---|---|---|---|---|---|
| 34 | 1 | 1 | 29 | Buikmonster | Bekkenstaal IND 103 |
| 35 | 1 | 1 | 28 | Buikmonster | Bekken |
| 37 | 1 | 1 | 23 | Parasietenmonster | Hoofdstaal IND 101 |
| 38 | 1 | 1 | 23 | Houtmonster | IND 101 |
| 39 | 1 | 1 | 23 | Referentiestaal | |
| 46 | 1 | 1 | 33 | Houtmonster | Kist |
| 48 | 1 | 1 | 34 | Houtmonster | Kistdeksel |
| 72 | 1 | 1 | 50 | Houtmonster | Deksel |
| 75 | 1 | 1 | 1 | Houtmonster | Kistwand |
| 78 | 1 | 2 | 33 | Monster algemeen | Hoofdstaal IND 107 |
| 79 | 1 | 2 | 33 | Buikmonster | Bekkenstaal IND 107 |
| 81 | 1 | 2 | 40 | Monster algemeen | Hoofdstaal IND 111 |
| 82 | 1 | 2 | 33 | Houtmonster | Kistbodem IND 107 |
| 93 | 1 | 2 | 50 | Houtmonster | Kistdeksel IND 118 |
| 98 | 1 | 2 | 50 | Buikmonster | Bekkenstaal IND 118 |
| 100 | 1 | 2 | 28 | Monster algemeen | Hoofdstaal IND 102 |
| 103 | 1 | 2 | 44 | Buikmonster | Bekkenstaal IND 115 |
| 104 | 1 | 2 | 44 | Monster algemeen | Hoofdstaal IND 115 |
| 111 | 1 | 1 | 42 | Houtmonster | Deksel IND 113 |
| 115 | 1 | 1 | 42 | Buikmonster | Bekkenstaal IND 113 |
| 124 | 1 | 1 | 45 | Buikmonster | Bekkenstaal IND 116 |
| 130 | 1 | 1 | 46 | Buikmonster | Bekkenstaal IND 117 |
| 131 | 1 | 2 | 54 | Buikmonster | Bekkenstaal IND 125 |
| 135 | 1 | 1 | 43 | Buikmonster | Bekkenstaal IND 114 |
| 150 | 1 | 1 | 35 | Monster algemeen | Hoofdstaal IND 109 |
| 151 | 1 | 1 | 35 | Buikmonster | Bekkenstaal IND 109 |
| 155 | 1 | 1 | 66 | Buikmonster | Bekkenstaal IND 134 |
| 165 | 1 | 2 | 69 | Houtmonster | Deksel IND 137 |
| 169 | 1 | 2 | 50 | Houtmonster | Linkerwand IND 118 |
| 170 | 1 | 2 | 50 | Houtmonster | Rechterwand IND 118 |
| 171 | 1 | 2 | 50 | Houtmonster | Voeteinde IND 118 |
| 172 | 1 | 2 | 50 | Houtmonster | Hoofdeinde IND 118 |
| 173 | 1 | 2 | 50 | Houtmonster | Bodem kist IND 118 |
| 175 | 1 | 2 | 55 | Buikmonster | Bekkenstaal IND 122 |
| 176 | 1 | 2 | 50 | Monster algemeen | Hoofdstaal IND 118 |
| 182 | 1 | 2 | 54 | Monster algemeen | Hoofdstaal IND 125 |
| 186 | 1 | 2 | 52 | Monster algemeen | Hoofdstaal IND 120 |
| 187 | 1 | 2 | 52 | Buikmonster | Bekkenstaal IND 120 |
| 189 | 1 | 2 | 34 | Houtmonster | Bodem kist IND 108 |
| 190 | 1 | 2 | 34 | Buikmonster | Bekkenstaal IND 108 |
| 192 | 1 | 2 | 60 | Monster algemeen | Hoofdstaal IND 128 |
| 193 | 1 | 2 | 60 | Houtmonster | Hoofdeinde IND 128 |
| 194 | 1 | 2 | 60 | Houtmonster | Voeteinde IND 128 |
| 197 | 1 | 2 | 42 | Monster algemeen | Hoofdstaal IND 113 |
| 199 | 1 | 2 | 68 | Houtmonster | Deksel IND 136 |
| 232 | 1 | 2 | 73 | Buikmonster | Bekkenstaal IND 145 |
| 235 | 1 | 2 | 65 | Houtmonster | Deksel IND 144 |
| 242 | 1 | 2 | 87 | Monster algemeen | Hoofdstaal IND 151 |
| 243 | 1 | 2 | 88 | Monster algemeen | Hoofdstaal IND 152 |
| 244 | 1 | 2 | 88 | Buikmonster | Bekkenstaal IND 152 |

| Vondstnr | Putnr | Vlaknr | Spoornr | Monster | Opmerking |
|---|---|---|---|---|---|
| 245 | 1 | 2 | 73 | Houtmonster | Deksel IND 145 |
| 248 | 1 | 2 | 71 | Monster algemeen | Hoofdstaal IND 139 |
| 253 | 1 | 2 | 71 | Houtmonster | Deksel IND 138 |
| 254 | 1 | 2 | 71 | Buikmonster | Bekkenstaal IND 139 |
| 256 | 1 | 2 | 69 | Monster algemeen | Hoofdstaal IND 136 |
| 260 | 1 | 2 | 69 | Monster algemeen | Hoofdstaal IND 137 |
| 261 | 1 | 2 | 69 | Monster algemeen | Calcificaties IND 137 |
| 262 | 1 | 2 | 69 | Monster algemeen | Hersenen IND 137 |
| 264 | 1 | 2 | 68 | Houtmonster | Bodem kist IND 136 |
| 266 | 1 | 2 | 75 | Houtmonster | Deksel IND 147 |
| 267 | 1 | 3 | 80 | Monster algemeen | Haar IND 137 |
| 271 | 1 | 3 | 80 | Monster algemeen | Kiststaal IND 149 |
| 276 | 1 | 3 | 89 | Houtmonster | IND 153 |
| 277 | 1 | 3 | 88 | Houtmonster | IND 152 |
| 281 | 1 | 3 | 80 | Buikmonster | Bekkenstaal IND 137 |
| 282 | 1 | 2 | 75 | Buikmonster | Bekkenstaal IND 147 |
| 285 | 1 | 3 | 80 | Monster algemeen | Hoofdstaal IND 149 |
| 286 | 1 | 3 | 73 | Houtmonster | IND 145 |
| 287 | 1 | 2 | 73 | Houtmonster | IND 145 |
| 289 | 1 | 3 | 80 | Houtmonster | Kist IND 149 |
| 291 | 1 | 2 | 65 | Houtmonster | IND 144 |
| 292 | 1 | 2 | 65 | Houtmonster | IND 144 |
| 293 | 1 | 2 | 69 | Houtmonster | Hoofdeinde IND 137 |
| 294 | 1 | 2 | 69 | Houtmonster | Voeteinde IND 137 |
| 295 | 1 | 2 | 69 | Houtmonster | Linkerwand IND 137 |
| 296 | 1 | 2 | 69 | Houtmonster | Rechterwand IND 137 |
| 297 | 1 | 2 | 69 | Houtmonster | Bodem kist IND 137 |
| 300 | 1 | 1 | 22 | Houtmonster | IND 141 |
| 301 | 1 | 1 | 22 | Houtmonster | IND 141 |
| 307 | 1 | 2 | 75 | Monster algemeen | Hoofdstaal IND 147 |
| 315 | 1 | 2 | 69 | Houtmonster | Armsteun IND 137 |
| 316 | 1 | 2 | 70 | Buikmonster | Bekkenstaal IND 138 |
| 318 | 1 | 1 | 21 | Buikmonster | Bekkenstaal IND 140 |
| 320 | 1 | 1 | 21 | Monster algemeen | Hoofdstaal IND 140 |
| 327 | 1 | 2 | 75 | Houtmonster | Deksel IND 147 |
| 332 | 1 | 2 | 21 | Houtmonster | IND 140 |
| 345 | 1 | 2 | 77 | Houtmonster | Kistdeksel IND 159 |
| 346 | 1 | 2 | 77 | Buikmonster | Bekkenstaal IND 159 |
| 349 | 1 | 2 | 99 | Buikmonster | Bekkenstaal IND 160 |
| 359 | 1 | 2 | 99 | Monster algemeen | Hoofdstaal IND 160 |
| 362 | 1 | 2 | 99 | Houtmonster | Hoofdeinde IND 160 |
| 368 | 1 | 2 | 100 | Houtmonster | Bodem kist IND 158 |
| 375 | 1 | 2 | 77 | Monster algemeen | Hoofdstaal IND 159 |
| 376 | 1 | 2 | 77 | Monster algemeen | Kistnagels IND 159 |
| 377 | 1 | 2 | 77 | Monster algemeen | |
| 382 | 1 | 2 | 79 | Buikmonster | Bekkenstaal IND 155 |
| 384 | 1 | 2 | 84 | Houtmonster | Deksel IND 166 |
| 391 | 1 | 2 | 84 | Buikmonster | Bekkenstaal IND 166 |
| 400 | 1 | 3 | 112 | Buikmonster | Bekkenstaal IND 170 |
| 409 | 1 | 2 | 91 | Buikmonster | Bekkenstaal IND 175 |
| 411 | 1 | 2 | 118 | Buikmonster | Bekkenstaal IND 176 |
| 412 | 1 | 2 | 117 | Buikmonster | Bekkenstaal IND 174 |
| 421 | 1 | 2 | 116 | Monster algemeen | Hoofdstaal IND 173 |
| 430 | 1 | 2 | 118 | Houtmonster | Kistwand IND 176 |
| 431 | 1 | 2 | 118 | Houtmonster | Bodem kist IND 176 |

| Vondstnr | Putnr | Vlaknr | Spoornr | Monster | Opmerking |
|---|---|---|---|---|---|
| 437 | 1 | 4 | 47 | Parasietenmonster | Hoofdstaal IND 177 |
| 438 | 1 | 4 | 47 | Parasietenmonster | Bekkenstaal IND 177 |
| 439 | 1 | 4 | 110 | Parasietenmonster | Hoofdstaal IND 182 |
| 440 | 1 | 4 | 110 | Parasietenmonster | Bekkenstaal IND 182 |
| 444 | 1 | 2 | 1 | Referentiestaal | IND177 - IND181 - IND182 |
| 445 | 1 | 1 | 1 | Referentiestaal | Zone bij S125 |
| 446 | 1 | 1 | 1 | Referentiestaal | Zone bij S130-131-132 |
| 447 | 1 | 2 | 1 | Referentiestaal | Bij S12 |
| 448 | 1 | 1 | 1 | Referentiestaal | Zone bij S82 |
| 449 | 1 | 1 | 1 | Referentiestaal | Bij S91 |
| 456 | 1 | 1 | 97 | Parasietenmonster | Hoofdstaal IND 179 |
| 457 | 1 | 1 | 97 | Parasietenmonster | Bekkenstaal IND 179 |
| 460 | 1 | 1 | 114 | Parasietenmonster | Hoofdstaal IND 178 |
| 469 | 1 | 2 | 121 | Houtmonster | Kruis IND 184 |
| 470 | 1 | 2 | 121 | Parasietenmonster | Bekkenstaal IND 184 |
| 471 | 1 | 2 | 121 | Parasietenmonster | Hoofdstaal IND 184 |
| 472 | 1 | 2 | 122 | Houtmonster | Deksel IND 185 |
| 475 | 1 | 1 | 91 | Parasietenmonster | Hoofdstaal IND 175 |
| 481 | 1 | 1 | 126 | Parasietenmonster | Hoofdstaal IND 186 |
| 482 | 1 | 1 | 126 | Parasietenmonster | Bekkenstaal IND 186 |
| 483 | 1 | 1 | 125 | Parasietenmonster | Hoofdstaal IND 183 |
| 485 | 1 | 1 | 125 | Houtmonster | Deksel |
| 495 | 1 | 1 | 125 | Houtmonster | Rechterwand IND 183 |
| 496 | 1 | 1 | 125 | Houtmonster | Linkerwand IND 183 |
| 497 | 1 | 1 | 125 | Houtmonster | Voeteinde IND 183 |
| 498 | 1 | 1 | 125 | Houtmonster | Hoofdeinde IND 183 |
| 499 | 1 | 1 | 125 | Houtmonster | Kistbodem IND 183 |
| 513 | 1 | 4 | 111 | Parasietenmonster | Hoofdstaal IND 189 |
| 514 | 1 | 4 | 111 | Parasietenmonster | Bekkenstaal IND 189 |
| 524 | 1 | 1 | 127 | Houtmonster | Linkerwand IND 187 |
| 525 | 1 | 1 | 127 | Houtmonster | Bodem IND 187 |
| 526 | 1 | 1 | 127 | Houtmonster | Voeteinde IND 187 |
| 528 | 1 | 3 | 140 | Houtmonster | IND 191 |
| 530 | 1 | 3 | 133 | Houtmonster | IND 190 |

## 11.2 DEEL 2 (2021C69)

| Vondstnr | Putnr | Vlaknr | Spoornr | Monster | Opmerking |
|---|---|---|---|---|---|
| 19 | 1 | 1 | 18 | Parasietenmonster | IND 209 - Schedel |
| 20 | 1 | 1 | 18 | Parasietenmonster | IND 209 - Bekken |
| 21 | 1 | 1 | 18 | Referentiestaal | IND 209 |
| 36 | 1 | 3 | 20 | Parasietenmonster | IND 211 - Schedel |
| 37 | 1 | 3 | 20 | Parasietenmonster | IND 211 - Bekken |
| 38 | 1 | 3 | 20 | Referentiestaal | IND 211 |
| 45 | 1 | 1 | 23 | Monster algemeen | Vulling antropomorf graf |
| 46 | 1 | 2 | 30 | Houtmonster | |
| 51 | 1 | 2 | 30 | Parasietenmonster | IND 222 - Schedel |
| 52 | 1 | 2 | 30 | Parasietenmonster | IND 222 - Bekken |
| 53 | 1 | 2 | 30 | Referentiestaal | IND 222 |
| 54 | 1 | 1 | 24 | Parasietenmonster | IND 214 - Bekken |
| 55 | 1 | 1 | 24 | Referentiestaal | IND 214 |
| 67 | 1 | 2 | 38 | Houtmonster | Steunpijler |
| 68 | 1 | 2 | 38 | Houtmonster | Wandplank |
| 69 | 1 | 2 | 38 | Houtmonster | Loopplank |

| Vondstnr | Putnr | Vlaknr | Spoornr | Monster | Opmerking |
|---|---|---|---|---|---|
| 70 | 1 | 2 | 38 | Houtmonster | Ligger |
| 71 | 1 | 1 | 37 | Pollenbak | L1-L2-MB |

## 11.3 DEEL 3 (2021D126)

| Vondstnr | Putnr | Vlaknr | Spoornr | Monster | Opmerking |
|---|---|---|---|---|---|
| 6 | 1 | 1 | 1 | Houtmonster | |
| 10 | 1 | 1 | 1 | Houtmonster | Bodem kist |

## 11.4 DEEL 4 (2021D243)

| Vondstnr | Putnr | Vlaknr | Spoornr | Monster | Opmerking |
|---|---|---|---|---|---|
| 10 | 1 | 1 | 6 | Houtmonster | Kist |